



BİRSEN YAYINEVİ

ÇÖZÜMLÜ PROBLEMLERLE

MAKİNA ELEMANLARI

KAVRAMALAR-YAĞLAMA TEKNİĞİ-KAYMALI YATAKLAR
YUVARLANMALI YATAKLAR-DİŞLİ ÇARKLAR



CİLT 2

Prof. Dr. Müh. İsmail CÜRGÜL



244 → Sınıf dış sayıları

250 → Cetveller

ÇÖZÜMLÜ PROBLEMLERLE MAKİNA ELEMANLARI

İKİNCİ CİLT

KAVRAMALAR-YAĞLAMA TEKNİĞİ-KAYMALI
YATAKLAR-YUVARLANMALI YATAKLAR-
DİŞLİ ÇARKLAR

Prof. Dr. Müh. İsmail CÜRGÜL

BİRSEN YAYINEVİ

İSTANBUL 2020

İÇİNDEKİLER

BÖLÜM: E BAĞLANTI ELEMANLARI

21. KAVRAMALAR	1
21.1. Çözülemeyen kavramalar	2
21.1.1. Rijit kavramalar	2
21.1.2. Hareketli (oynak) kavramalar	7
21.1.3. Elastik kavramalar	17
21.2. Çözülebilin kavramalar	29
21.2.1. Şekil bağlı çözülebilin kavramalar	29
21.2.2. Kuvvet bağlı çözülebilin kavramalar	32
21.2.3. Çözülebilin özel kavramalar	55
22. KAVRAMA PROBLEMLERİ	71

BÖLÜM: F DESTEKLEME ELEMANLARI

23. YAĞLAMA TEKNİĞİ	107
23.1. Sürtünme	108
23.2. Aşınma	109
23.3. Yağlayıcı maddeler	111
23.3.1. Kati yağlayıcılar	111
23.3.2. Plastik yağlayıcılar	111
23.3.3. Sıvı yağlayıcılar	112
23.3.4. Gaz yağlayıcılar	113
23.4. Yağlayıcıların fizikal ve kimyasal özellikleri	113
23.5. Yağlama şekilleri	119
23.5.1. Açık devre yağlama sistemi	119
23.5.2. Kapalı devre yağlama sistemi	120
24. KAYMALI YATAKLAR	123
24.1. Hidrodinamik kaymali yataklar	123
24.1.1. Hidrodinamik radyal kaymali yataklar	123
24.1.2. Hidrodinamik eksenel kaymali yataklar	135
24.2. Hidrostatik kaymali yataklar	141
24.2.1. Hidrostatik radyal kaymali yataklar	142
24.2.2. Hidrostatik eksenel kaymali yataklar	145
24.3. Kaymali yataklarda işi kontrolü	148
24.4. Yatak malzemeleri	150
25. YAĞLAMA VE KAYMALI YATAK PROBLEMLERİ	153
26. YUVARLANMALI YATAKLAR	179
26.1. Genel bilgiler	179
26.2. Yuvarlanmalı yatakların yük ve çalışma özellikleri	181
26.3. Devir sayısı	183
26.4. İşletme sıcaklığı	184
26.5. Sürtünme	185

26.6. Montaj prensipleri	187
26.7. Yuvarlanmalı yatakların sembollerle gösterilmesi	190
26.8. Dinamik yüklerde yatak büyütüğünün tespiti	193
26.9. Static yüklerde yatak büyütüğünün tespiti	195
26.10. Yağlama	198
26.11. Sızdırılmazlık tertipleri	200
27. YUVARLANMALI YATAK PROBLEMLERİ	207

BÖLÜM: G GÜC VE HAREKET İLETİM ELEMANLARI

28. DİŞLİ ÇARKLAR	231
28.1. Tanım ve Özellikler	231
28.1.1. Dışlı ana kanunu	233
28.1.2. Eş çalışan profiller	236
28.1.3. Kavrama eğrisi	237
28.1.4. Takım dışı şartı	237
28.1.5. Kavrama uzunluğu	239
28.1.6. Kavrama oranı	240
28.1.7. Evolvent dışı profili	241
28.1.8. Smır dır sayısı ve alttan kesme	242
28.1.9. Yan boşluk	244
28.1.10. Sikloidal dışı profili	245
28.2. Silindirik düz dışı çarklar	247
28.2.1. Dışlıkların mukavemet ve aşınma kontrolü	247
28.2.2. Boyutlandırma	253
28.2.3. Isıtma kontrolü	257
28.2.4. Dışı çarkların mil yataklarına etkiyen kuvvetler	259
28.3. Silindirik helisel dışı çarklar	261
28.3.1. Eşdeğer dır sayısı	262
28.3.2. Smır dır sayısı	264
28.3.3. Helisel dışı çarklarda kavrama oranı	264
28.3.4. Helisel dışı çarkların boyutları	266
28.3.5. Helisel dışı çarkların mukavemet hesabı	268
28.3.6. Helisel dışı çarka ve yataklara etkiyen kuvvetler	269
28.4. Konik dışı çarklar	273
28.4.1. Tanım ve Özellikler	273
28.4.2. Kavrama eğrisi	276
28.4.3. Eşdeğer alın dışlığı	277
28.4.4. Konik dışı çark çeşitleri	280
28.4.5. Düz konik dışı çarkların boyutları	281
28.4.6. Konik dışlıkların mukavemet ve aşınma kontrolü	283
28.4.7. Konik dışı çarka ve yataklara etkiyen kuvvetler	284
28.5. Silindirik spiral dışı çarklar	287
28.5.1. Geometrik boyutlar arasındaki bağıntılar	287
28.5.2. Dışlıkların boyutları	289
28.5.3. Spiral dışı çarkların mukavemet hesabı	291

28.5.4. Dışlı çark çiftine etkiyen kuvvetler	
28.5.5. Mekanizmanın verimi	292
28.6. Sonsuz vida mekanizması	294
28.6.1. Sonsuz vida mekanizmasının özellikleri	295
28.6.2. Boyullar arasındaki bağıntılar	295
28.6.3. Sonsuz vida ve çarka etkiyen kuvvetler	299
28.6.4. Kayma hızı ve mekanizmanın verimi	303
29. DİŞLİ ÇARK PROBLEMLERİ	304
30. DÜZELTİLMİŞ DİŞLİLER	311
30.1. Düzeltme ilkeleri	373
30.2. Düzeltme yöntemleri	373
30.2.1. Kavrama açısını değiştirmek	376
30.2.2. Dış yüksekliğinin değiştirilmesi	376
30.2.3. Dış kalınlığının değiştirilmesi	380
30.2.4. Profil kaydırma yöntemiyle düzeltme	381
30.3. İstenen dış kalınlığının elde edilmesi	381
30.4. Herhangi bir kesitteki dış kalınlığının hesaplanması	387
30.5. Düzeltilmiş dişli mekanizmaları	390
30.6. Düzeltilmiş dişilerin mukavemet hesabı	392
31. DÜZELTİLMİŞ DİŞLİ PROBLEMLERİ	399
32. DİŞLİ ÇARK İMALATI VE YUZEY İŞLEMLERİ	403
32.1. Dişli çarkların imalat yöntemleri	421
32.1.1. Silindirik alım dişlerin imalat yöntemleri	421
32.1.2. Konik diş çarkların imalat yöntemleri	421
32.1.3. Diğer dişli imalat yöntemleri	427
32.2. Dişli çarkların ısıl işlemi	431
32.3. Dişli çark dış yüzeylerinin taşlanması	432
32.4. Dişli çark dış yüzeylerinin traşlanması	433
33. DİŞLİ ÇARKLARIN KONTROLU	436
33.1. Dişli çark hataları ve hataların ölçülmesi	439
33.2. Dişli çark toleransları	439
	445
KAYNAKÇA	449
YARDIMCI GETVELLER	451

BÖLÜM: E

BAĞLANTI ELEMANLARI

21. KAVRAMALAR

Tanım ve Özellikler:

Birbirlerine göre çeşitli konumlarda bulunan ve bir döndürme momenti veya bir güç ileten milleri birleştirmede kullanılan makina elemanlarına kavrama adı verilir. Kavramalar makinalarda birçok amaçla kullanılır. Bunlardan bazıları şu şekilde sıralanabilir:

1. Aynı ayrı yapılmış milleri birbirine bağlamak ve tamir, bakım, yenileme durumlarında bunları ayırmak amacıyla (bir motor-pompa bağlantısında olduğu gibi),
2. Eksenleri aynı doğrultuda bulunmayan millerin bağlanmasıında esneklik temin etmek amacıyla (radyal, eksenel veya açısal temaslı mil bağlantılarında olduğu gibi),
3. Darbeli yükün makinaların birinden diğerine iletilmemesi ve mekanik esneklik temin etmek amacıyla (örneğin konkasör, eksantrik pres, şahmerden gibi darbeli iş makinalarındaki darbenin kuvvet makinasına, yani motora iletilmemesi gibi),
4. Aşın yüklemelere karşı emniyet sağlamak amacıyla,

5. Dönen elemanların titreşim karakteristisini değiştirmek kritik frekansı yok etmek amacıyla.
6. Uzak mesafelere güç veya moment taşınmasında milleri aynı doğrultuda birleştirmek amacıyla (örneğin standart mil uzunluğundan daha uzak mesafeler için millerin birleştirilmesinde olduğu gibi).
7. Kuvvet makinasını durdurmadan iş makinası ile irtibatını kesmek amacıyla (örneğin laşıtlardaki debriyaj sisteminde olduğu gibi).

Sınıflandırma:

Yapılışları ve kullanma yerleri bakımından kavramalar aşağıdaki şekilde sınıflandırılabilir.

- Çözülemez kavramalar (rijit, oynak ve elastik)
- Çözülebilir kavramalar (şekil bağlı, kuvvet bağlı ve özel)

Kavramalarla birleştirilen millerde dikkat edilmesi gereken en önemli hususlardan birisi, kavramanın oluşturabileceği olumsuz etkileri ortadan kaldırmak için kavramanın her iki tarafına birer yatak yerleştirilmesidir.

21.1. ÇÖZÜLEMENYEN KAVRAMALAR

21.1.1. RİJİT KAVRAMALAR

Bu kavramalar, mil eksenleri arasındaki düzgünsüzlükleri karşılayamazlar. Bu nedenle bağlantı yerinde, düzgünsüluğun büyüğüğe bağlı olarak, tepki kuvvetleri ve moment olururlar. Rijit kavramalar, düşük devir sayıları ve küçük düzgünsüzlüklerin bulunduğu yerlerde kullanılmışlardır. Ayrıca mil eksenlerinin üst üste düşmesi için çok iyi merkezlenmeleri gereklidir.

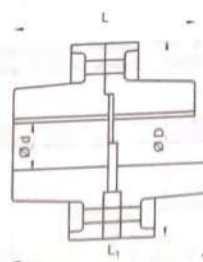
21.1.1.1. Flenşli Kavrama

Flenşli kavramaların flenşleri, genelde aynı parçalar halinde yapılmakla beraber (Şekil 21.1) nadir hallerde mil ile tek parça (bir bütün) halinde de yapılabilir (Şekil 21.2). Bu kavramalarda milleri aynı eksen doğrultusuna getirmek (merkezlemek) için, flenşlerden bir tanesinin üzerindeki çıktıtı diğerinin üzerinde bulunan aynı özellikteki girişinin içine girer (Şekil 21.1'in üst yarısı) veya iki flenş arasına, iki parçadan oluşan bir merkezleme bileziği yerleştirilir (Şekil 21.1'in alt yarısı). Ancak girişti ve çıkışları yoluyla yapılan merkezlemede, kavramayı sökmek gerekirse flenş veya flenş-mil sistemi eksenel yönde kaydırılmak gerekecektir. Merkezleme bileziği kullanıldığı takdirde paslanma ve eksenel basınç altında sıkışma nedeniyle sökmeye ortaya çıkacak zorluğu yemek için, merkezleme bileziğinin delik delinerek vida açılmış kısmına kancalı civata takılmak suretiyle sökme işlemi gerçekleştiriliyor.

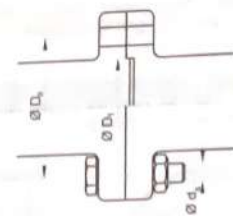
Flenşli kavramalarla ilgili olan moment

$$M_z = z \cdot F_{\text{m}} \cdot \mu \cdot \frac{D_s}{2}$$

F_{m} - civata sayısı, D_s - her bir civatalanın sirkumferansı (ön esilliği ile hesaplanır. Burada z - civata sayısı, F_{m} - her bir civatalanın sirkumferansı, μ - temas gerilimi, μ - flenş yüzeyleri arasındaki sürtünme katsayısı ve D_s - temas yüzeyleri ortalaması çapıdır (civatalanın yerleştirildiği çap olarak alınabilir)).

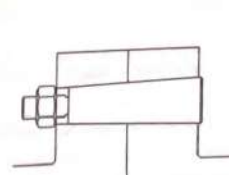


Şekil 21.1

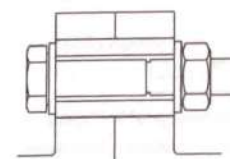


Şekil 21.2

Flenşli kavrama bağlantısında civatalar kesilmeye çalıştırılmamalıdır. Esasen civatalara yeterli bir ön gerilme verildiği takdirde, moment iletimi sürtünme yoluya sağlanacağından kesilme tehlikesi yoktur. Ancak bir emniyet önlemi olmak üzere faturalı alıştırılmış civata (Şekil 21.3) veya kesme burcu (Şekil 21.4) kullanılarak kesme kuvvetlerinin etkisi yok edilebilir.



Şekil 21.3 Faturalı alıştırılmış (burada konik) civata



Şekil 21.4 Kesme burcu

Civatalarda meydana gelen çekme gerilmesi

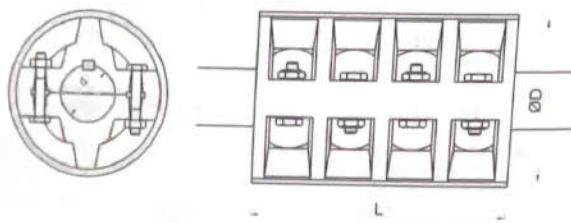
$$\sigma_c = \frac{F_{in}}{\pi d_i^2} \leq \sigma_m$$

eşitliği ile kontrol edilir. Burada d_i - civata vidasının dış dibî çapıdır.

21.1.1.2. Zarflı Kavrama

Bu kavramanınflenisi, eksen boyunca bölünmüş iki yarım zarftan oluşmaktadır. Her iki zarf yarısı mil uçlarına takıldıktan sonra civatalara sıkılarak bağlantı temin edilir (Şekil 21.5).

Yapısı itibarıyle bir sıkma geçme olan bağlantıda moment iletimi, sürtünme yoluya olmaktadır. Yüzeyler arasında oluşan basıncın düzgün yayıldığı kabul edilirse kavrama momentinin büyüklüğü



Şekil 21.5 Zarflı kavrama

$$M_k = \mu p d_i \ell \frac{d}{2}$$

eşitliği ile hesaplanabilir. Burada μ - kavrama zarfı ile mil arasındaki sürtünme katsayıısı, p - ortalama yüzey basıncı, d - mil çapı ve $\ell \geq L/2$ - her bir mil ucunun kavrama zarfı ile temas uzunluğudur. Her bir mil ucuna düşen civata sayısı z ise bağlantıda meydana gelen normal kuvvet

$$p d_i \ell = z F_{in}$$

olur. Momentin emniyetle iletilmesi için

$$M_k \geq M_b$$

veya $k \geq 1$ olmak üzere

$$M_k = k M_b$$

olması gereği de hatırlanarak, her bir civatayı sıkmak için gerekli ön gerilme kuvveti

$$F_{in} = \frac{k M_b}{z \mu \frac{d}{2}}$$

olmalıdır. Bu kuvvetin etkisi altında civatada meydana gelen çekme gerilmesi

$$\sigma_c = \frac{F_{in}}{\pi d_i^2} \leq \sigma_m$$

eşitliği ile kontrol edilir. Burada d_i - civata vidasının dış dibî çapıdır.

Zarflı kavramalarda, emniyet bakımından, karma kullanılabilir.

21.1.1.3. Konik Bilezikli Zarflı Kavrama

Kolay sökülop takılması ve paslanabilecek civata - somun gibi elemanları olmadığından nemli ve rutubetli yerlerde tercihen kullanılan bir kavrama türüdür. İki tarafı konik olan iki parçalı zarf ve iç yüzeyi buna uygun koniklikte iki bilezikten meydana gelen bu kavramada (Şekil 21.6), zarflı kavramalarda olduğu gibi, moment sürtünme yoluya iletilmektedir.

Konik bilezikli zarflı kavramadaki basınç yayılışı, zarflı kavramaya nazaran daha düzgündür. Toplam normal kuvvet

$$F = p \cdot \pi \cdot d \cdot \frac{L}{2}$$

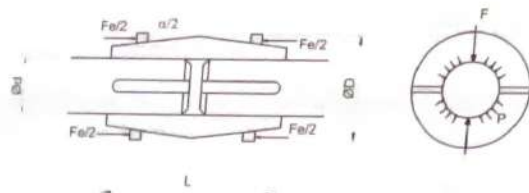
olduğuna göre bilezikleri yerine çakma kuvveti

$$F_c = 2 \cdot F \cdot \tan\left(\frac{\alpha}{2} + \rho\right)$$

eşitliği ile bulunur. Bu kavrama ile taşınabilecek moment ise

$$M_i = F \cdot \mu \cdot \frac{d}{2}$$

olur. Herhangi bir sebeple kavramada meydana gelebilecek kayma hareketine karşılık bağlantıda feder kullanılmaktadır. Bu nedenle federin de ietilen momente uygun şekilde boyutlandırılması gereklidir. Bileziklerin kendi kendine çözülmemesi için $\tan \frac{\alpha}{2} = 1.20$ veya 1.30 olmalıdır.



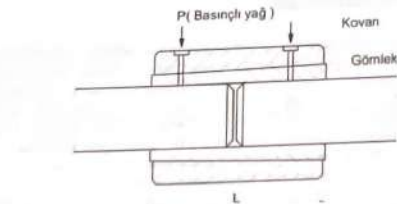
Şekil 21.6 Konik bilezikli zarflı kavrama

21.1.1.4. OK Kavraması (Basınçlı Yağ Kavraması)

SKF firmasından geliştirilen ve OK kavraması adı verilen bu kavrama gemi milleri gibi büyük moment taşıyan yerlere bile uygulanabilir. Kavrama, bir taraftı yarık içi silindirik, dişi konik ($\tan \frac{\alpha}{2} = 1.50$ veya 1:80) bir gömlek ile bu gömleği dıştan saracak olan ve içi gömleğe uygun koniklikte, dişi ise silindirik olan bir kovanдан ibarettir (Şekil 21.7). Gömlek miller üzerine rahatça yerleştirilir. Tüm yüzeyler temiz ıglemiş olduğundan, özellikle küçük OK kavramalarında, kovan bir çekirme yardımıyla gömlek üzerine yerleştirilerek (gomlek üzerinde illerek) yarık olan gömleğin milleri sıkarak bağlanması temin edilir. Büyük OK kavramalarında basınçlı yağ verilerek gömlek ile kovan arasında bir yağ tabakası oluşturulur. Böylece kovanın gömlek üzerinde rahatça kayması temin edilir. Kavramanın sıkılkınlığı da banzer şekilde basınçlı yağ ve çekirme yardımı ile yapılır.

OK kavramalarında momenti taşınaması sürünen yoluya temin edilir. Taşınan momentin büyüklüğü

$$M_i = \pi \cdot \mu \cdot p \cdot \frac{d^3 L}{4}$$



Şekil 21.7 Basınçlı yağ kavramasının (OK kavraması) prensip şeması

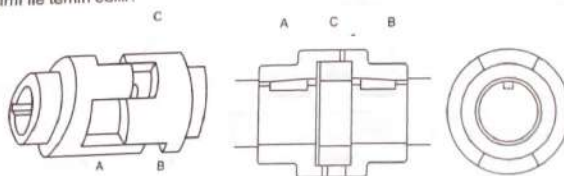
eşitliği ile hesaplanır.

21.1.2. HAREKETLİ (OYNAK) KAVRAMALAR

Birbirine bağlanacak millerin küçük eksenel, radyal ve açısal hareket serbestliğine sahip olması isteniyorsa oynak kavramalarla birleştirilmesi gereklidir. Örneğin işi etkisi ile uzayıp kısalan veya küçük eksantriklikler altında çalışan mil bağlantıları için bu kavramalar kullanılır.

21.1.2.1 Parmaklı Kavrama

Özellikle türbin milleri gibi fazla isınan ve eksenel doğrultuda uzayan millerin bağlantılarında kullanılan bir kavrama türüdür. Mil çapına bağlı olarak 10 – 25 mm arasındaki uzamaları karşılayabilecek durumda yapılabilir. Kavramanın düzgün çalışabilmesi için parmakların kayan yüzeyleri temiz işlenmeli ve bir gresörük yardımıyla sürekli yağlanmalıdır. Bu kavramalarda merkezleme işlemi genellikle flenşer (Şekil 21.8 de A ve B) arasına yerleştirilen bir merkezleme bileziği (C) yardımı ile temin edilir.



Şekil 21.8 Parmaklı kavrama

21.1.2.2. Oldham Kavraması

Eksenleri arasındaki açıklık çok büyük olmayan paralel millerin bağlanmasıında, bir döngle ve iki kayma serbestliğine sahip mekanizma hareketli bir kavrama olan Oldham kavraması kullanılır (Şekil 21.9). I ve II millerine A ve B flenşleri kama ile sıkı tespit edilmiştir. Her iki flenşin alın yüzeyinde çapsal doğrultuda birbirine dik ve dikdörtgen şeklinde birer girinti vardır. Bu iki flenşin birbirine bağlayan C ara disk üzerinde ise yine çapsal doğrultuda birbirine dik dikdörtgen şeklinde iki çıkıştı bulunmaktadır. A ve B flenşlerinin girintileri ara diskin çıkışlarından ile kayma geçmekte çalışacak durumda yapılmıştır. Kavramanın A flenşti θ açısı kadar dönünce, şekef bağı nedeniyle, B flenşti de aynı açı kadar dönmek zorundadır. Ara diskin (C) merkezi (M) ise daima A ve B flenşlerine ait girintilerin çap doğrultularının kesiştiği yerde olacaktır. Bunun anlamı, M noktası hareket esnasında sabit olan O_1 ve O_2 merkezlerini (A ve B flenşlerinin merkezleri) daima 90° lik bir açı altında görmektektir. O halde M merkezinin (ara diskin merkezi) düzlemsel yörüngesi O_1O_2 çaplı bir çemberdir. Şekil 21.9c'den de görüldüğü gibi A ve B flenşleri θ açısı kadar döndüğü zaman ara disk merkezinin yörüngede çemberi üzerinde $\phi = 2\theta$ 'lık bir açı kadar döndüğü anlaşılmaktadır. Yani ara diskin merkezi M, mil eksenleri merkezleri O_1 ve O_2 'nin iki katı bir hızla dönmektedir. Bu sonuca göre ara disk merkezi, dolayısıyla diskin ağırlık merkezi dairesel bir hareket yaptığından kütleSEL kuvvetler doğmaktadır. Bu kuvvetler yatakları zorlamakta ve mil eksenlerinde oluşturduğu titreşimlerle kırılmalarına sebep olmaktadır.

Ara diskin (C) bütün külesi M merkezinde olduğu kabul edildiğinde dönmeye esnasında oluşan merkezkaç kuvvet

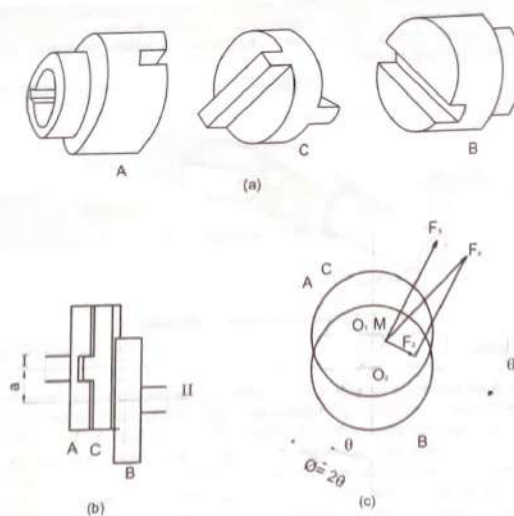
$$F_z = \frac{G}{g} (2\omega)^2 \frac{a}{2}$$

olar Burada G -(daN) ara diskin ağırlığı, g -(m/s^2) yerçekimi ivmesi, a -(m) mil eksenleri arasındaki aralık ve ω -(1/s) açısal hızıdır. Herhangi bir açısal konumda I ve II millerde etkiyen kuvvetler

$$F_1 = \frac{G}{g} (2\omega)^2 \frac{a}{2} \cos\theta$$

$$F_2 = \frac{G}{g} (2\omega)^2 \frac{a}{2} \sin\theta$$

şeklindedir. Bu kuvvetlerin büyüklüğü $(2\omega)^2$ ve (a)'nin büyüklüğe bağlıdır. Bu sonuca göre, bu tip kavramalar orta hızlar ve küçük eksen aralıkları ($a \leq 0.05 d_{as}$)



Şekil 21.9 Oldham kavraması

olan mil sistemlerinde kullanılmalıdır. Ayrıca ara diskin ağırlığı olanaklar çerçevesinde küçük tutulmalıdır.

21.1.2.3 Kardan Kavraması

Eksenleri birbiri ile kesişen millerin bağlanmasıında kardan kavraması kullanılır. Eksenleri birbirine dik iki mafsallı bir istavroz (haç şeklinde) ve mil uçlarına takılan iki çataldan oluşan bir kavramadır (Şekil 21.10). Böylece biri asal döngle eksenin etrafında sınırsız, diğerleri buna dik iki eksen etrafında sınırlı olmak üzere üç döngle serbestliği olan bir hareket düzeni ortaya çıkar.

Kardan kavramasının istavroz şeklindeki mafsalının yataklamasında kaymalı veya yuvarlanmalı yataklar kullanılabilir. Kaymalı yataklı tasarımlarda alüminyum veya sinter bronzu ile poliamid veya bazı durumlarda teflon içirilmiş malzemeler

yatakları olarak kullanılır. Yuvarlanmalı yataklarla yapılan yataklama türünde ise daha çok igneli yataklar kullanılır. Yağlama için genellikle litium gresi kullanılır. Kardan kavraması motorlu taşıtlar, takım tezgahları ve hadde makinaları gibi yerlerde oldukça yaygın kullanılır.

Çatallar



Şekil 21.10 Kardan kavramasının elemanları

a) Hız İletimi

I eksenine dik düzlemede hareket eden a mafsal noktası, bu düzlemede dairesel bir yörunge çizerken, II eksenine dik düzlemdeki b noktasında, kendi düzleminde bir dairesel yörunge çizmekle beraber I izdüşüm düzlemi içinde bir elips oluşturur (Şekil 21.11). a yöringesi üzerindeki 1 noktası θ açısı kadar döndüğünde (1 noktasından 1' noktasına), b yöringesi üzerindeki 2 noktası da izdüşüm düzleminde θ açısı kadar dönecektir (2 noktasından 2' noktasına). Ancak bu dönmeye 2 noktasının kendi düzlemlerindeki yeri 2' noktası olup, hakiki dönde açısı ϕ kadardır. a düzleme ile b düzleme arasındaki açı α olduğuna göre

$$\tan \theta = \frac{03}{2'3} \quad \text{ve} \quad \tan \phi = \frac{03'}{2''3'} = \frac{03'}{2'3}$$

yazılır ki buradan

$$\frac{\tan \theta}{\tan \phi} = \frac{03}{03'} = \cos \alpha$$

yazılabilir. Millerin açısal hızları

$$\frac{d\theta}{dt} = \omega_1 \quad \text{ve} \quad \frac{d\phi}{dt} = \omega_2$$

olduğuna göre

$$\tan \theta = \tan \phi \cos \alpha$$

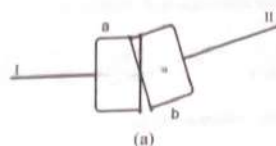
eşitliğinin iki tarafının zamana göre türevi alınırsa

$$\frac{\omega_1}{\omega_2} = \frac{\cos \alpha}{1 - \sin^2 \alpha \cos^2 \theta}$$

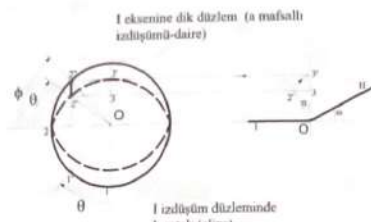
bağıntısı bulunur. Yukarıdaki eşitlikler gösteriyor ki a ve b noktaları aynı zamanda eşit açılar taramamakta, dolayısıyla iki mil arasındaki hareket iletimi düzgün olmamaktadır. Son eşitlikten yolaşanarak açısal hızın

$$\theta = \frac{\pi}{2} \quad \text{ve} \quad \frac{3\pi}{2} \quad (90^\circ \text{ ve } 270^\circ) \quad \text{için} \quad \frac{\omega_2}{\omega_1} = \cos \alpha$$

en küçük değerini ve



(a)



(b)

Şekil 21.11

$$\theta = 0 \text{ ve } \pi \quad (0^\circ \text{ ve } 180^\circ) \text{ için} \quad \frac{\omega_2}{\omega_1} = \frac{1}{\cos \alpha}$$

en büyük değeri bulunur. Buna göre I nolu mil düğün bir hızla dönerken, her tam dönmeye, II nolu milin hızı iki kez en büyük ve iki kez de en küçük döme savılarına ulaşmaktadır. Bu hız geçişindeki değişim

$$\delta = \frac{\omega_{\text{initial}} - \omega_{\text{final}}}{\omega} = \frac{1}{C \cos \alpha} - \cos \alpha = \frac{\sin^2 \alpha}{C \cos \alpha}$$

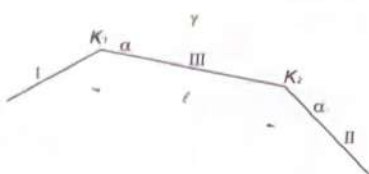
esiliğinden hesaplanan düzgünşüzlük sayısı ile tanımlanır.

b) Kardan Kavraması İle Düzgün Hız İletimi:

En genel durum olarak aynı düzlemden olmayan iki mili göz önüne alalım. Bu iki mil, ekseni III olan üçüncü bir mil ile bağlanacaktır I-III eksenlerinin kesim noktasına K_1 , II-III eksenlerinin kesim noktasına K_2 , kardan mafsallar takılırsa, yukarıdaki eşitlikler gereği, hızlar arasındaki ilişki (Şekil 21.12),

$$\frac{\omega_1}{\omega_1} = \frac{\text{Cosa}_1}{1 - S'n^2\alpha_1 \cdot \text{Cos}^2\theta}, \quad \text{ve} \quad \frac{\omega_2}{\omega_2} = \frac{\text{Cosa}_2}{1 - \text{Sin}^2\alpha_2 \cdot \text{Cos}^2\theta},$$

olacaktır. Bu eşitlikler taraf tarafa bölünecek olursa



Sekil 21-12

$$\frac{\omega_2}{\omega_1} = \frac{\text{Cos}\alpha_1(1 - \text{Sin}^2\alpha_2 \cdot \text{Cos}^2\theta_2)}{\text{Cos}\alpha_2(1 - \text{Sin}^2\alpha_1 \cdot \text{Cos}^2\theta_1)}$$

elde edilir. $\frac{\omega_1}{\omega_2}$ oranının sabit olması için ($\frac{\omega_1}{\omega_2} = 1$ için) $\alpha_1 = \alpha_2$ ve $\theta_1 = \theta_2$ olmalıdır.

Ara mil ekseni (III), esas mil eksenlerini (I ve II) eş açılarında ($\alpha_1 = \alpha_2 = \alpha$) kesmeliidir. Ayrıca K , kavramasının III miline bağlı mafsal ekseni I – III düzlemleri içindeyken K , kavramasının III miline bağlı mafsal ekseni de II – III düzlemleri içinde olmalıdır. Geometrik olarak III doğrusu, III veya II – III düzlemlerinin arası kesitidir ve bu sisteme III milin sağ ve sol ucundaki mafsal eksenleri arasındaki açı I – III ve II – III düzlemleri arasındaki açıya eşit olacaktır.

Ara mil ekseninin (III), I ve II eksenlerini eşit açıda (α) kesmesi için uzunluğu, (K ve k noktaları arasındaki uzaklık),

$$t \cdot \cos \alpha = \sqrt{f^2 - a^2} \sin \frac{\gamma}{2}$$

esitligi ile hesaplanir. Burada $\ell = K_i K_j$, $\alpha - 1$ ve II miliere arasındaki en kısa aralik ve γ - eksenler arasındaki açidır. Diğer taraftan $\theta_i = \theta_j$ şartının gerçekleşmesi için ise, III milinin iki ucuna bağlanacak kardan mafsallarının (çatalların) eksenleri arasındaki acı β olmak üzere

$$\tan \frac{\beta}{2} = \frac{a}{l} \cdot \tan \frac{\gamma}{2}$$

sartının gerçekleşmesi gereklidir.

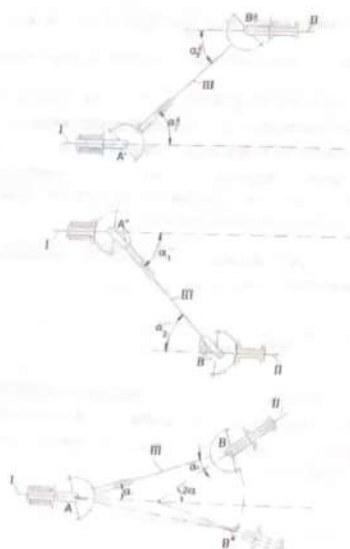
c) Özel Durumlar:

1. İve II milleri paralel ise

$$\sin \alpha = \frac{a}{\ell}$$

Özet: III. miliyon, her iki tarafındaki mafsal eksenin aynı düzlemede olmalıdır.

2. I ve II milleleri kesişiyorsa; bu durumda III eksenin daima I ve II eksenlerle arasındaki γ açısının açı ortayına dik olacaktır. Uzaklık (ℓ) keyfi alınıbilir. III milinin her iki tarafındaki mafsal eksenleri aynı düzlemden olacaktır. Pratikte kullanılan kardan kavramalarının (α) açısı genellikle 15° 'den büyük tutulmaz.



Şekil 21.13

d. Dönme Momenti Etkisi

Mafsallardaki sürünme kaybı göz ardı edilir ve enerjinin tamamının döndürden milden döndürulen mil aktarıldığı varsayırlrsa, her iki mildeki güç eşitliği

$$M_1 \omega_1 = M_2 \omega_2$$

bağıntısından ikinci mildeki toplam momentin büyüklüğü

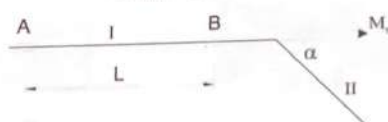
$$M_2 = M_1 \frac{\omega_2}{\omega_1}$$

eşitliği ile bulunur. II nolu mildeki açısal hız (ω_2) en küçük değerinde iken

$$(M_1)_{\text{maks}} = \frac{M_1}{\cos \alpha}$$

ve açısal hız (ω_2) en büyük değerinde iken bu momentin büyüklüğü

$$(M_2)_{\text{maks}} = M_2 \frac{M_{1,2}}{M_1}$$



Şekil 21.14

$$(M_1)_{\text{maks}} = M_1 \cos \alpha$$

değerlerini almaktadır. II milindeki bu momentin en büyük değerinde 1 mili yataklarında

$$M_{1,2} = M_1 \tan \alpha$$

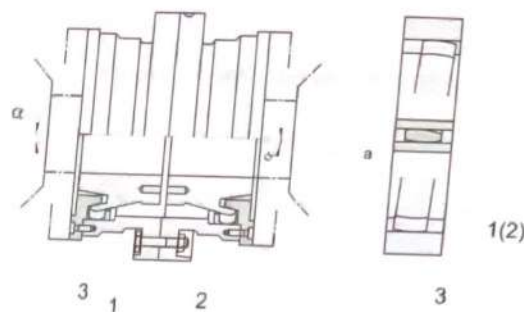
büyüklüğünde bir eğilme momenti meydana gelir. Eğer I mili A ve B noktalarından yataklanmış ise, bu yataklama yerlerine, ağırlık ve diğer dış kuvvet etkilerine ek olarak,

$$\pm F_{x,s} = \frac{M_1 \tan \alpha}{L}$$

büyüklüğünde bir kuvvet çifti daha etkiyecektir. Bu nedenle kardan kavrama ile bağlanan millerden en az birinin çok iyi yataklanması gereklidir.

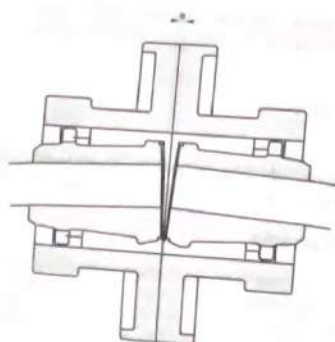
21.1.2.4 Dişli Kavrama

Termik makinaların, özellikle turbo makinaların, millerinin birbirine bağlanması sisteme ısıl uzama serbestliği vermek zorunludur. Aksi taktirde çok yüksek yatak ve mil zorlanmaları ortaya çıkar. Dişli kavrama, eksenel doğrultuda sahip olduğu kayma serbestliği nedeniyle, ısıl uzamaları büyük tepki kuvvetleri doğmaksızın karşılayan bir kavrama türüdür.



Şekil 21.15 Dişli kavrama

Dişli kavrama, iki tarafında iç dişli bulunan bir manşonla (3) buna iki taraftan kayma gecme olarak giren iki dişinden (1 ve 2) meydana gelir (Şekil 21.15). Dişlerine verilen özel şekil nedeniyle kavrama milleri arasında $1,5^\circ - 2^\circ$ ye kadar açısal oynamalara ve eksenel doğrultuda $2 - 10 \text{ mm}$ ' ye kadar kaymaya olanak tanınmaktadır.



Şekil 21.16 Dişli kavramanın çalışma konuma

21.1.3. ELASTİK KAVRAMALAR

Çözülemeyen kavramalar arasında en geniş uygulama alanı olan grubu elastik kavramalar teşkil eder. Elastik kavramaların yapısal ve dinamik özelliklerini şöyle sıralayabiliriz,

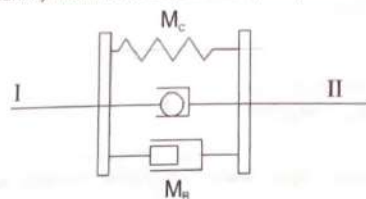
1. Millerin eksenel uzama ve kısalmalarına, radyal hareketlerine ve açısal sapmalarına sınırlı olmak sağlanır (örneğin fazla işinan mil sistemlerinde ve eğilme etkisindeki millerde olduğu gibi). Kavrama ile birleştirilen millerin her biri en az iki yataklı desteklenmelidir. Bu dört yatağın aynı eksende montajı oldukça zordur.
2. Kritik devir sayılarını düşüren dinamik dengelerme yapar.
3. Döndürme darbe momentini azaltır (örneğin kompresör, taş kırma makinası ve pistonlu makinalarda olduğu gibi).

Elastik kavramalardaki bu özellikler, kavramanın rıjt elemanlarını birbirine bağlayan elastik elemanlar tarafından temin edilir. Elastik eleman olarak metal veya kauçuk yayları kullanılır. Bazı durumlarda kösele ve diğer elastik elemanlar kullanılmaktadır. Elastik kavramalann kinematik ve dinamik davranışları, esas itibarıyle kullanılan yayların karakteristiğine bağlıdır.

21.1.3.1. Elastik Kavramaların Karakteristiği

21.1.3.1.1. Elastik Kavramaların Kinematik Karakteristiği:

Bir elastik kavramaya M statik döndürme momenti uygulandığında, I ve II miline bağlı kavrama parçaları arasında açısal sapma (θ) olsun (Şekil 21.17). Bu değerler kavramanın yüklenmesi ve boşaltılması için tespit edilecektir. Sistemde

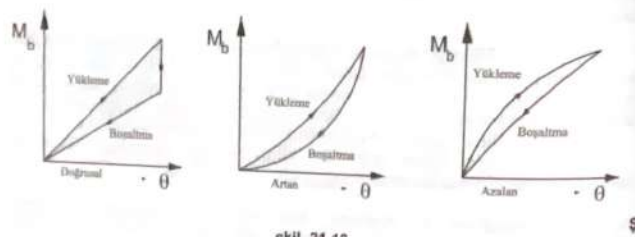


Şekil 21.17 Kinematik karakteristik testinde kabul edilen model

M_c – kavramanın yaylanma momenti ve M_R – sönm momenti olarak alınmıştır. İç sönmü olmayan kavramalarda yükleme ve boşaltma eğrileri üst üste döner. Bir iç sönm var ise, yükleme ve boşaltma eğrileri arasında bir alan meydana gelir (Şekil 21.18). Yükleme eğrisi altındaki alan kavrama içinde biriktirilen potansiyel

kavramalar

enerjiyi, boşalma eğrisi altındaki alan ise bunun geri verilen kısmını göstermektedir. İki eğri arasında kalan alan da elastik elemen tarafından yutulan sönümlü işini (isıya dönüştürilen enerjiyi) göstermektedir.



Şekil 21.18

Karakteristik eğrinin herhangi bir noktasındaki

$$C = \frac{dM_b}{d\theta}$$

değeri, kavramanın yayılma rıjitiği (yayılma sayısı) denir. Doğrusal karakteristikte bu değer bölgесel olarak sabit olmakla beraber diğerlerinde θ açısının veya M_b momentinin bir fonksiyonudur.

Metal yay elemenli elastik kavramaların iç sönümlü oldukça küçütür. Kauçuk yay elemenlerinde bu değer daha büyütür. Sönümlüme işi.

$$W_s = \int_{0}^{\theta} (M_{\text{hast}} - M_{\text{boz}}) d\theta$$

Eşitliği ile hesaplanır. Diğer taraftan sönümlüme momenti ile yük momenti arasındaki

$$M_p = M_{\text{top}} - M_{\text{boz}}$$

bağıntısı hatırlanırsa, yukarıdaki eşitlik

kavramalar

$$W_s = \int_0^\theta M_s d\theta$$

şeklini alır.

21.1.3.1.2. Elastik Kavramaların Dinamik Karakteristiği

Sönümlüme etkisi, açısal sapmanın değil de açısal hızın bir fonksiyonu ise, örneğin viskoz sönümlüme durumlu, bu taktırda bu etkiye statik olarak tespit etmek olanaksızdır. Bir kısım kavramalarda sönümlüme Coulomb Sürütmesi (kuru sürütme) ile olmaktadır. Bu durumu statik deneyde görmek mümkündür. Birçok durumda ise sistem içinde her iki sönümlüme şekli de farklı oranlarda mevcuttur. Bu gibi durumlarda sönümlümenin ve dolayısıyla kavrama karakteristiğinin dinamik bir deney yöntemi ile tespiti zorunludur.

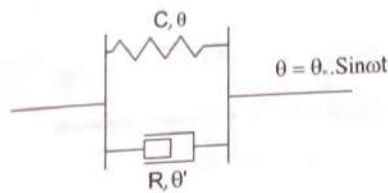
Örneğin θ 'nın zamana göre

$\theta = \theta_0 \cdot \sin \omega t$

şeklinde değiştğini varsayıyalım. Sönümlüme momenti sadece açısal hızın bir fonksiyonu olsun. Yani

$$M_s = R \cdot \frac{d\theta}{dt}$$

olsun. Burada R - kavramanın sönümlüme sayısını, t - zamanı göstermektedir.



Şekil 21.19 Dinamik karakteristik tespitinde kabul edilen model

Bu durumda sönümlüme momenti

$$M_s = R \cdot \theta_0 \cdot \omega \cdot \cos \omega t$$

olur. Diğer taraftan harmonik değişimin periyodu $T = \frac{2\pi}{\omega}$ ile gösterilirse, yukarıdaki eşitlik

$$M_s = R\theta_c \omega \cos 2\pi \frac{t}{T}$$

şeklini alır. Burada

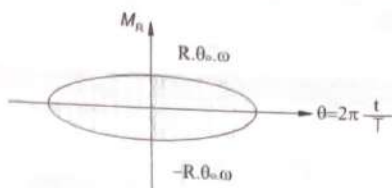
$$t = t_0 = 0 \quad \text{için} \quad M_s = R\theta_c \omega$$

$$t = \frac{1}{4}T \quad \text{için} \quad M_s = 0$$

$$t = \frac{1}{2}T \quad \text{için} \quad M_s = -R\theta_c \omega$$

değerleri vardır. Bu durumu bir diyagram şeklinde gösterirsek, sönümlenenin dinamik yapısı ortaya çıkar (Şekil 21.20).

Sistemde yayılma momenti de göz önüne alınırsa, toplam döndürme momenti



Şekil 21.20 Dinamik sönümlenme karakteristiği

$$M_s = M_s + M_c = C\theta_c \sin \omega t + R\theta_c \omega \dot{\theta}_c \cos \omega t$$

eşitliği ile gösterilebilir.

21.1.3.2. Elastik Kavrama Örnekleri

21.1.3.2.1. Kauçuk Yay Elemanlı Elastik Kavramalar

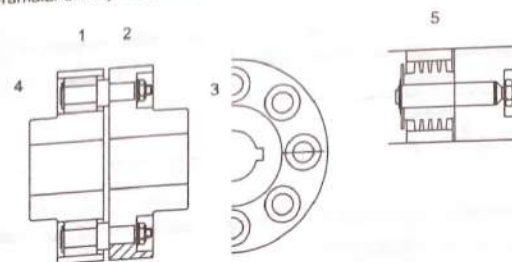
Bu kavramalar, büyük düzgünsüzlükleri karşılaması, yapısının basit ve fiyatının ucuz oluşu nedeniyle yaygın bir kullanım alanına sahiptir. Elastik eleman olarak doğal veya yapay kauçuktan, takviyeli veya takviyesiz olarak vulkanize edilen lastik kullanılır. Mukavemeti düşük olduğundan iletilen güçler sınırlıdır. Ancak bazı lastik kullanılır. Mukavemeti düşük olduğundan iletilen güçler sınırlıdır. Ancak bazı kavrama tiplerinde lastik-metal bağıını gerçekleştirerek mukavemeti artırmak mümkündür. Lastik malzemenin kayma veya basmaya zorlanması durumunda yay olarak iyi netice verdiği bilinen bir gerçektir.

Kauçuk malzemenin özelliği nedeniyle 70°C 'ın üstünde çalıştırılmamalıdır. İç sürtünmesi yüksek olan bu malzemenin lineer olmayan bir yay karakteristiği vardır. Bu kavramaların boyutlandırılmasında, genellikle üretici firmaların önerileri ve katalog değerleri esas alınır.

a. Elastik Manşonlu Kavrama:

Oldukça basit yapılı ve geniş ölçüde uygulanan bir elastik kavrama türüdür. 1 Kavrama, mil uclarına kamalanmış olan flenşler (3 ve 4) ve lastik manşonlar (1) aracılığı ile flenşler arasında irtibat sağlayan vidalı permolarдан (2) oluşmaktadır (Şekil 21.21).

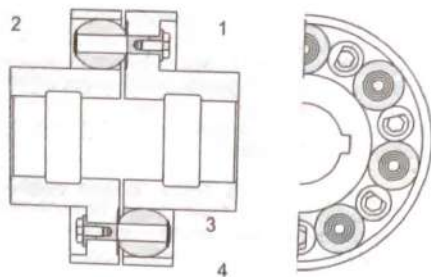
Manşonlara verilecek çeşitli profillerde değişik kavrama karakteristikleri elde edilebilir. Özellikle fırç bigimli manşonlarda yapılan ve Rupex adı verilen elastik kavramalar oldukça büyük açısal sapmalara olanak tanır (Şekil 21.22).



Şekil 21.21 Elastik manşonlu kavrama

kavramalar

Kavramada ekseriya 6 ile 8 elastik manşon kullanılır. Manşonların hepsi aynı tarafta olabileceği gibi (Şekil 21.21) saptırmaca olarak her iki tarafta da olabilir (Şekil 21.22).



Şekil 21.22 Rupex kavraması

Kavramanın seçimi için basit hesap şéklü şöyledir:

Bir manşona etkilen çevre kuvveti

$$F_r = \frac{k \cdot M_b}{z \cdot \frac{D_e}{2}}$$

Burada k – darbe faktörünü, z – manşon sayısını, M_b – iletilen momenti ve D_e – manşonların yerleştirildiği çapı göstermektedir.

Lastik manşondaki ortalama yüzey ezilmesi

$$P_n = \frac{F}{d_i \ell_i} \leq P_m$$

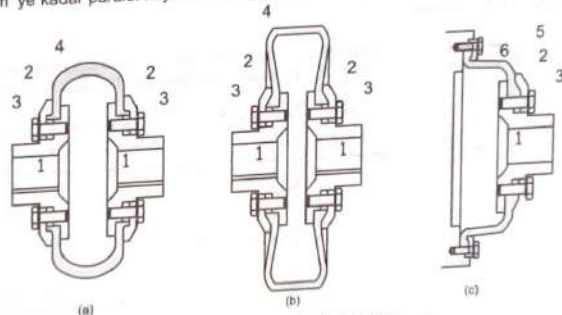
olmalıdır. Burada d_i – perno çapı ve ℓ_i – elastik manşonun uzunluğudur. Pratikte $P_m = 8 \div 10 \text{ daN/cm}^2$ olarak alınabilir.

b. Periflex Kavraması:

Gerek geometrik gerekse dinamik düzgünlikleri gidermekte çok etkili olan bu kavrama son zamanlarda yaygın bir şekilde kullanılmaktadır. Kavrama flenşleri

kavramalar

(1). U şeklinde kıvrılmış bir lastikle (4) basınç bilezikleri (2) ve civata (3) yardımıyla birbirine bağlanmıştır (Şekil 21.23a ve b). Bu kavramalar 4° lik açısal sapmalara, 4 mm'ye kadar paralel kaymala (radial sapmalara) ve 8 mm'ye kadar eksenel sapma (axial sapma) yapabilirler.

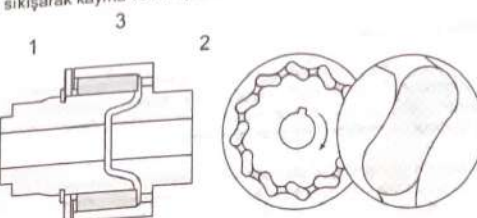


Şekil 21.23 Periflex kavraması

hareketlerine olanak tanır. Şekil 21.23c'de görülen Periflex kavraması, manşet tespiti şeklinde bir lastik yay (5) ve bunun baskı bilezikleri (2 ve 6) vasıtasiyla flenşlere şekeiten bağlanır. Bu kavramalar daha çok yüksek hızlı bağlantılarında (örneğin Otto ve Diesel motorlarında) tercihen kullanılmaktadır.

c. Rollastic Kavraması:

Kavrama flenş (1) diğer kavrama flenş (2) tarafından dıştan sarılır (Şekil 21.24). Her iki flenşte de belirli formda girintili ve çıkıntılar (yuvalar) vardır. Bu yuvalara lastik rulolar (3) yerleştirilir ki içteki kavrama flenşti döndürince bu rulolar iki yuva arasında sıkışarak kayma ve basıya zorlanır.



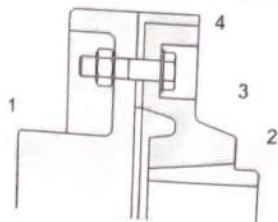
Şekil 21.24 Rollastic kavraması

kavramalar

Büyük olmayan mil çapları için tercih edilen bu kavrama, $\pm 10^\circ$ 'ye varan dönme açısı ile çalışabilir.

d. Kegeflex Kavraması:

Kavrama flenşlerinden biri üzerine (2) elastik malzeme (3) vulkanize edilmiş (pişirilerek kaynak edilmiş). Tek taraflı yapılabildiği gibi (Şekil 21.25) iki taraflı



Şekil 21.25 Tek taraflı kegeflex kavraması

malzeme kullanılarak yapılan Kegeflex kavramaları da vardır. Daha çok küçük momentlerin taşınmasında kullanılır. Darbe ve titreşimler için oldukça uygun bir 10° 'ye kadar çıkabilemektedir.

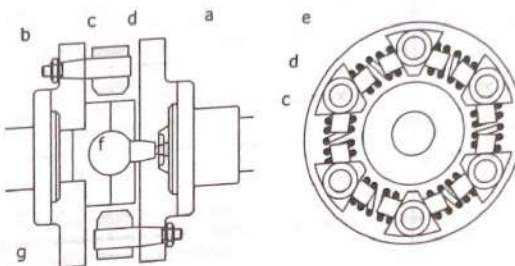
21.1.3.2.2. Metal Yay Elemanlı Elastik Kavramalar

Yapıcı karmagık olmasına karşın üstün mukavemet özellikleri nedeniyle, kauçuk edilmektedir. Ayrıca metal yayların karakteristikleri hesap bakımından daha iyi bir şekilde kontrol edilebildiğinden boyutlandırmada kolaylık sağlar.

a. Cardeflex Kavraması:

Mil uclarına takılmış flenşler (a ve b) ile bunlara vidalanmış permolar (c) üzerinde bulunan lokmaların (d) arasına yerleştirilen helisel yaylardan (e) oluşan kavramalarlardır (Şekil 21.26). Ayrıca kavramanın merkezinde eksenel kuvvetleri alabilecek kütleşel bir mafsal (f ve g) bulunmaktadır.

Bu tip kavramalar genellikle aşırı sapmalaara olanak tanımaktadır (2° dolayında). Kavramanın boyutüğine göre yay sayısı değişmektedir. Orta büyükükteki bir kavramada yaklaşık 6+8 adet yay bulunmaktadır. Değişken moment etkisinde vuruşlarının önlenebilmesi için yaylar, yerlerine bir ön gerilme ile takılmıştır.

kavramalar

Şekil 21.26 Cardeflex kavraması

Kavramadaki iç söñürme ihmali edilecek kadar küçuktur. Kavramanın boyutlandırılmasında yayların hesabı en önemli yeri tutmaktadır. Statik bir işletme momenti etkisinde helisel yaydaki en büyük burulma gerilmesi

$$\tau_{stab} = \frac{F_{ay} R}{\pi d^3} \leq \tau_{cr}$$

olur. Burada F_{ay} - yaya etkiyen toplam kuvveti ($F_{ay} \equiv F_{ay} + \frac{F_z}{2}$), R - yay merkez dairesi yarıçapını ve d - yay teli çapını göstermektedir.

dairesi yarıçapını ve d - yay teli çapını göstermektedir. Eğer kavrama değişken zorlanma etkisinde ise sürekli mukavemetle göre boyutlandırma yapılmalıdır. Zorlanmalar

$$\tau_{ax} = \frac{\left(F_{ay} + \frac{F_z}{2} \right) R}{\pi 16 d^3} \quad \text{ve} \quad \tau_{ab} = \frac{F_{ay} R}{\pi 16 d^3}$$

ve gerilme genişliği

$$\pm r_s = \frac{\left(\frac{F_g}{4}\right)R}{\frac{\pi}{16d^3}}$$

Sınırları içinde kalmalıdır.

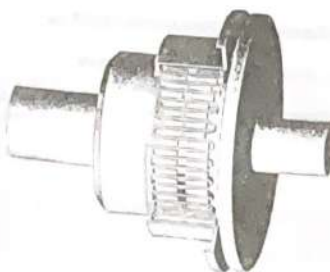
b. Bibby Kayraması:

Mil uclarına kamalanmış ve dış çevrelerinde özel dişler (d) bulunan iki flenş (a ve b) ile bu dişlerin etrafına yerleştirilmiş dikdörtgen kesitli yarılardan (c) oluşan bir kavrama türündür (Şekil 21.28). Kavramada kullanılan yay, yay çeliğinden yapılmış olup eğilmeye çalışmaktadır. Diş yüzeyleri ile yay kolları arasındaki sürtünmeler nedeniyle kavramada küçük bir sürünme, dolayısıyla sönmüşleme etkisi de vardır. Darbeli moment etkileri çok olan hadde tesislerinde ve Diesel motoru-is makinası bağlantısında geniş ölçüde kullanılmaktadır.

İki ucundan ankastre bir çelik çubuk eğilme etkisinde ise çubuğu rıjittiği

$$C = \frac{48EI}{\ell^3}$$

olmaktadır. Denklemden de görüldüğü gibi rijitlik ℓ uzunluğuna bağlıdır.



Sekil 21.27 Bubbles

Şekil 21.29'da Bibby kavramasının fotoğraf görünüşü
görülebileceği gibi çalışma esnasında ℓ uzunluğu, yani iki dis arasında zorlanan

yay uzunluğu (Şekil 21.29 da siyah görünen bölge) değişmektedir. Bu sebeple yay rıjitti de itilen momentin büyüklüğe bağlı olarak değişir. Böylece kavramanın karakteristiği da değişken olmaktadır. Bu bakımdan dış yanaklarının seklinin kavramanın esnekliği üzerine özel bir öne mi vardır.

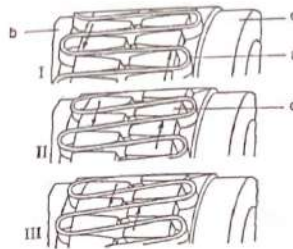
Bibby kavramında en önemli husus yay hesabıdır. Yakınsak olarak yay hesabı bir yay koluna gelen yük

$$F = \frac{kM_b}{\pi R}$$

dir. Burada z - diş sayısı, R - ortalama dişli (flenş) yarıçapı, k - darbe faktörü ve M_s - uygulanılan döndürme momentidir. Hesaplarda belirli bir emniyeti sağlamak için ℓ uzunluğu olarak, dişler arasındaki toplam yay uzunluğu alınır. Yaya etkisinden en büyük eğilme gerilmesi

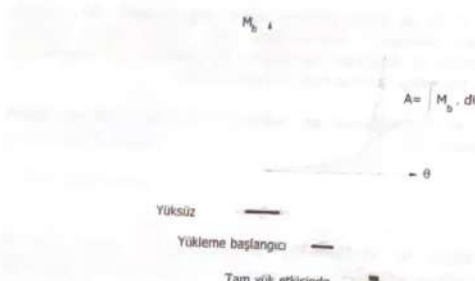
$$\sigma_c = \frac{F_c}{bh^2} \leq \sigma_m$$

esitligi ile hesaplanir. Burada b - yay seridinin genisligi, h - yayin kaldirimi olan gostermektedir. Kavramda emniyet gerilmesi $\sigma_{ue} = 6000 + 8000 \text{ daN/cm}^2$ olan yay malzemesi kullanilmaktadir.



Sekil 21.28 Bibby kavramasının çalışma prensibi

- I. Yüksüz konum
 - II. Yükleme başlangıcı
 - III. Tam yük altında

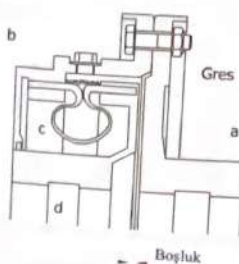


Şekil 21.29 Bibby kavramasının yükselmesi

c. Voith-Maurer Kayraman

Tel yollar, kendilerine verilen özel şekiller nedeniyle hem eğilmeye hem de burulmaya zorlanırlar. Şekil 21.30'da omega şeklindeki kıvrılmış olan çelik yay (*c*) bir ucundan mil ucundaki flensle (*d*), diğer ucundan ise bir araya parça (*b*) testil edilmiştir. Ara parça (*b*) diğer milin ucuna bağlanmış olan flense (*a*) civatalar yardımıyla sıkıca ittilerdir.

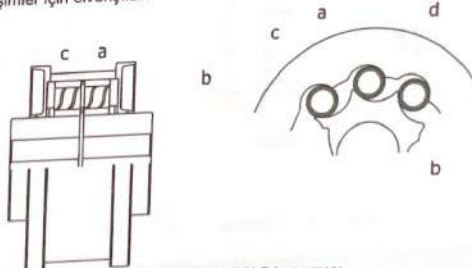
Kavramda kullanılan yayın karakteristiği doğrusaldır. Yollar ön gerilmeli durumda monte edilmiş olup yağ içinde çalışmaktadır. Eksenel ve açısal (1° - 2°) mili hareketlerine olanak tanımlmaktadır.



Şekil 21.30 Voith-Maurer konv.

4. Denge Kavraması:

Elastik eleman olarak vida formunda (helisel bir şekilde) ve iç içe kırılarak yerleştirilmiş yay çeliğinden yay paketleri kullanılmaktadır. Yanlanan karakteristiği lineer olmayan bu kavrama büyük bir sömürge özelliğine sahiptir. Yay paketleri (a); kavrama zarfı (c) ve kavrama flenş (b) içine açılmış olan frezeli özel yuvalara (d) yerleştirilmiştir (Şekil 21.31). Helisel kırılmış yay paketleri, dönme momenti etkisiyle, frezelenmiş yuvarın kenarlarında şekillenerek surltunme basinci oluşturur. Yay paketleri yağı içinde bulundurulur. Kavrama daha çok küçük darbe ve titresimler için elverişlidir.



Sekil 21.31 DEMAG kavramasi

31.3 ÇÖZÜÜ EBİLEN KAVRAMALAR

İki mil sistemini çeşitli çalışma şartlarında istenildiği zaman ayıran ve istenildiği zaman başlangıç kavramlarına çözülebilin kavramları adı verilir. Başlangıç işlemi, sistem dururken veya çalışırken yapılabılır. En genel isteğe cevap verebilen çözülebilin kavrama, kuvvet bağlı kavramlardır. Özel durumlar için şekil bağlı kavramlara da kullanılabılır. Kuvvet bağlı kavramalarda bağ: sürünlüm kuvveti, bir hidrodinamik veya hidrostatik akım devresi, bir elektriksel alan şeklinde olabilir. Şekil bağlı kavramalarda ise bağ, dişliler, pimler veya perniolar yardımıyla temin edilebilir.

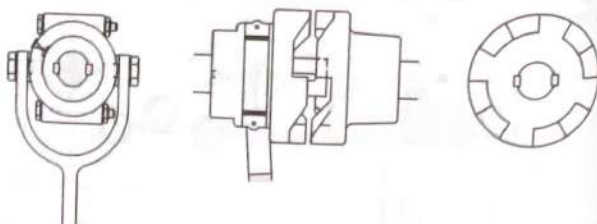
31.3.1 SEKİİ BAĞLI ÇÖZÜLEBİLEN KAVRAMALAR

31.3.1.1 Barmaklı Kavrama

Kavrama flenşlerinin alın yüzeylerinde çıkışları (parmaklar) bulunmaktadır. Parmakların moment taşımayan alın yüzeyleri eğik yapılmış olup kapama konusunda biri diğeri üzerinde rahatça kavarak hareket edebilmektedir (Şekil 1).

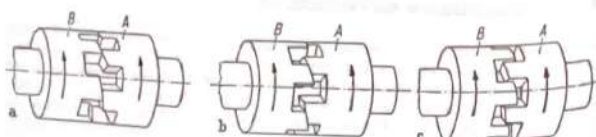
21.32). Kayma yüzeyle bu tip kavramalar, milin hareketli olması durumunda bile devreye girip çıkabilir.

Diğer bir parmaklı kavrama türünde çıkışları (parmaklar) dikdörtgen şeklindeki (Şekil 21.33). Bu kavramanın devreye girip - çıkması; ancak mil sisteminin hareketsiz olması halinde mümkünündür. Maybach parmaklı kavraması da denilen bu kavrama sıkılıkla kullanılmayan mil bağlantılarında uygundur.



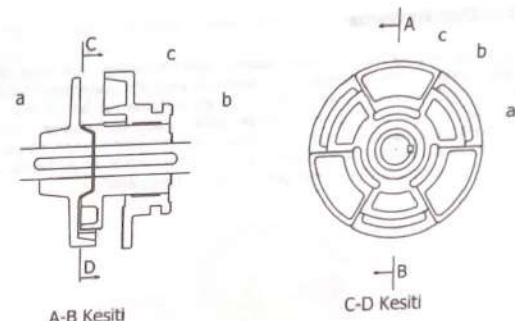
Şekil 21.32 Çözülebilen parmaklı kavrama

Kavrama fleşlerinden birisi millelerden birine kamalı diğeri ise öteki mile federde kızaklanmış olup sağa-sola hareketlidir. Eksenel doğrultuda kapama ve açma işlemi bir manivela kolu yardımıyla mekanik olarak yapılır.



Şekil 21.33 Maybach parmaklı kavramasının devreye girmesi

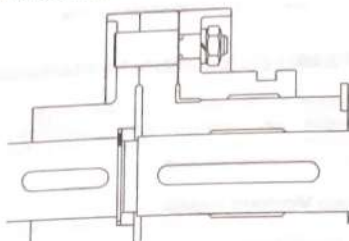
Hildebrandt parmaklı kavraması, bu türün en kullanışı olanıdır. Taşınan momente göre daha az bir kapama-açma kuvveti gereklidir. Kavramanın çözülen kısmı (c), mil üzerine sıkı kamalanmış bir kovan (b) üzerinde hareket etmektedir (Şekil 21.34). Kavrama fleşinin (c) kovan (b) üzerinde düzgün hareket etmesi için kovana kızak şeklinde kanallar açılmıştır.



Şekil 21.34 Hildebrandt parmaklı kavraması

21.2.1.2 Pernolu Kavrama

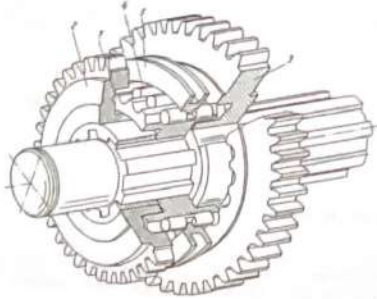
Prensip bakımından parmaklı kavramanın aynısıdır. Ancak burada parmaklar yerine permolar kullanılmıştır (Şekil 21.35). Kavramanın devreye girebilmesi için permoların hızlarının eşit olması, ayrıca permolarla karşı taraftaki deliklerin aynı pozisyonda olmaları gerekmektedir.



Şekil 21.35 Pernolu kavrama

21.2.1.3 Dışlı Kavrama

Daha gelişmiş bir şekil bağlı kavrama tasarımları dışlı kavramadır. Kavrama işlemini temin eden diğer, kavrama flenşlerinin çevresinde veya alın yüzeyinde olabilir. Mil ucuna tespit edilmiş olan kavrama flenş (2) içinde buna rıjît bağlanmış ve dış kısmına oyuklar açılmış bir halka (1) vardır (Şekil 21.36). Bu halkanın oyuklarına uygun silindirik elemanlar (4), aynı zamanda diğer mil ucuna tespit edilmiş olan flenş (3) içindeki oyuklara da uygundur. Bir manivela sistemi ile kumanda edilen kayar kızak (5) kavramanın devreye girip-çıkmasını temin eder.



Şekil 21.36 Çözülebilen dışlı kavrama

2.2. KUVVET BAĞLI ÇÖZÜLEBİLEN KAVRAMALAR

Bu kavramalar, sadece kuvvet etkisi ile moment taşıyan sürtünme plakalı kavramalardır. Çalışma şekli nedeniyle bunlara sürtünmeli kavramalar da denilmektedir. Döndüren ve döndürülen miller arasında devir sayıları farklı olduğunda bile kolaylıkla devreye girip çıkabilirler.

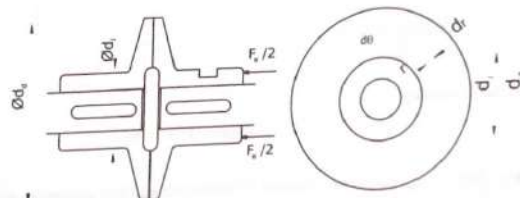
21.2.2.1 Kavrama Momenti Hesabı

a. Düz Sürtünme Yüzeyli Kavrama:

Sürtünmeli kavramaların prensibini açıklamak bakımından düz sürtünme plakalarına sahip bir kavrama tasarımını göz önüne alalım (Şekil 21.37). Kavramayı kapamak (devreye sokmak) için uygulanacak eksenel kuvvet (F_x) etkisiyle temas yüzeylerinde p basinci ve buna bağlı olarak sürtünme momenti oluşur. Merkezden r mesafede dr genişliğindeki $dA = r d\theta dr$ elemanter yüzey

alanında, F_x aynı zamanda normal kuvvet (yüzeye dik kuvvet) olduğundan, elemanter normal kuvvet için

$$dF_z = dA \cdot p = r \cdot dr \cdot p \cdot d\theta$$



Şekil 21.37

yazılabilir. Aynı yüzeydeki sürtünme kuvveti

$$dF_s = dF_z \cdot \mu$$

ve sürtünme momenti

$$dM_x = dF_s \cdot r = \mu \cdot p \cdot r^2 \cdot d\theta \cdot dr$$

olacaktır. Sürtünme yüzeyindeki toplam moment, yukarıdaki eşlik integre edilerek,

$$\begin{aligned} M_x &= \mu \cdot p \int_0^{2\pi} d\theta \int_0^R r^2 \cdot dr \\ &= \frac{2}{3} \pi \mu \cdot p \left(r_g^3 - r_i^3 \right) \end{aligned}$$

olarak bulunur. Diğer taraftan yüzey basinci

$$p = \frac{F_x}{\pi(r_g^2 - r_i^2)}$$

yukarıda yerine yazılırsa, sürtünme momenti

$$M_i = F_r \cdot \mu \cdot \frac{2}{3} \left(\frac{r_d^3 - r_i^3}{r_d^2 - r_i^2} \right)$$

olar. Burada

$$r_m = \frac{2}{3} \left(\frac{r_d^3 - r_i^3}{r_d^2 - r_i^2} \right)$$

yazılırsa, moment eşitliği

$$M_i = F_r \cdot \mu \cdot F_n$$

şeklini alır. Burada r_m -sürtünme kuvvetleri bileşkesinin etkidiği yarıçapıdır. Eğer kavramaın sürtünme yarıçapları arasında $r_i/r_d \geq 0,5 + 0,7$ bağıntısı varsa

$$r_m = \frac{r_d + r_i}{2}$$

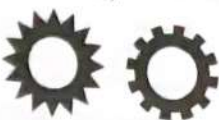
şeklinde alınabilir.

b. Lamelli Kavrama:

Yukarıda elde edilen sürtünme momenti eşitliği bir tek sürtünme yüzeyi içindir. Yüzey sayısı z adet ise iletilen moment

$$M_s = z \cdot F_r \cdot \mu \cdot F_n$$

olar (Şekil 21.38).



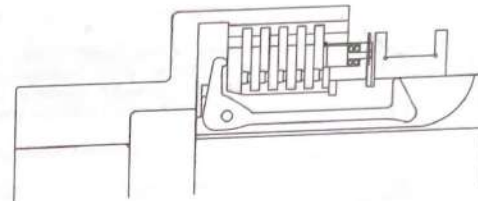
(a)



(b)

Şekil 21.39 Kavrama lamelleri
a. dış lameller
b. iç lameller

Ancak burada, lamel geçmelerindeki sürtünme direnci yok sayılarak bütün sürtünme yüzeylerinde eş basınç olduğu ve lamellerin iç ve dış çaplarındaki farklı



Şekil 21.38 Mekanik kumandalı lamelli kavrama

hizlardan doğan sürtünme katsayısi değişimi göz ardı edilerek sürtünme katsayısının sabit olduğu varsayımları yapılmıştır.

c. Konik Kavrama:

Kavramaın sürtünme yüzeyi konik olarak alınırsa, koniğin herhangi bir r yarıçapındaki dA alanına etkiyen sürtünme momenti (Şekil 21.40).

$$dM_i = dA \cdot p \cdot \mu \cdot r$$

veya $dA = 2\pi r \cdot \frac{dr}{\sin \alpha}$ olduğu göz önünde bulundurularak

$$dM_i = \frac{2\pi}{\sin \alpha} \cdot r^2 \cdot dr \cdot p \cdot \mu$$

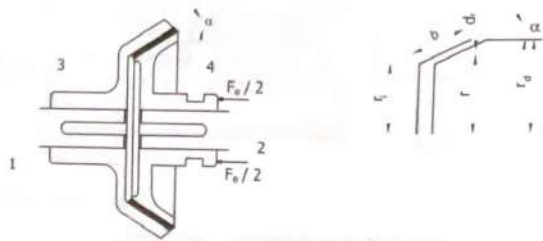
olar. Toplam sürtünme momenti (kavrama momenti) ise

$$M_s = \frac{2\pi}{3 \sin \alpha} \cdot p \cdot \mu \cdot \left(r_d^3 - r_i^3 \right)$$

olarak bulunur. Kavrama hareketsiz iken eksenel olarak uygulanan kapama kuvveti (F_z), normal kuvvetin (F_n) yatay bileşeni ile sürtünme kuvvetinin ($F_s = \mu F_n$) teğetsel bileşeni toplamına eşit olmalıdır. Yani

$$F_z = F_n (\sin \alpha + \mu \cos \alpha)$$

bağıntısı vardır. Devreye girme olayı hareket halinde yapılmıysa, normal kuvvetin yatay bileşeni sürtünme kuvvetinin teğetsel bileşenine nazaran çok büyük olacağından ($F_n \mu \cos \alpha$) terimi terk edilebilir.



Şekil 21.40

Bu durumda

$$F_r \approx F_x \sin \alpha$$

olar. Diğer taraftan basınç eşiliği

$$p = \frac{F_x}{\pi(r_d^2 - r_i^2)} \quad (\text{veya} \quad p = \frac{F_x}{\pi d_a b})$$

göz önüne alındığında moment

$$M_\lambda = \frac{2}{3} \frac{F_x}{\sin \alpha} \mu \left(\frac{r_d^3 - r_i^3}{r_d^2 - r_i^2} \right)$$

ve

$$r_a = \frac{2}{3} \left(\frac{r_d^3 - r_i^3}{r_d^2 - r_i^2} \right)$$

sürtünme yarıçapı gösterimi kullanılarak

$$M_\lambda = \frac{F_x}{\sin \alpha} \mu r_a$$

elde edilir. Konik sürtünme yüzeyli kavramada, kavramanın kolay çözülebilmesi için konik yarı açısı α , ρ sürtünme açısından büyük seçilmelidir. Uygulamada bu

değer $\alpha = 13^\circ - 15^\circ$ dolayında seçilir.

Konik kavrama, hadde tesisi ve gemilerde oldukça büyük güç sınırlarına kadar kullanılmaktadır. Bu tip kavramalar genel olarak karşılıklı iki konik sürtünme yüzeyine sahiptir. Kavramanın devreye girmesi biraz sert olduğundan elastik bir kavrama ile birlikte kullanılması uygun olmaktadır.

d. Yay Bantlı Kavrama:

Silindirik bir disk üzerine sarılan çelik yay bantının sürtünme esasına göre çalışan bu kavramadaki momentin hesabı, kayış-kasnak mekanizmalarının sürtünme mekanığıne dayanır. Yayın eğilme direnci göz önüne alınmazsa, kuvvetler arasındaki bağıntı

$$F_i = F_j e^{\mu \alpha r}$$

şeklindedir (Şekil 21.41). Burada F_i ve F_j - yay kollarındaki çekme kuvvetleri, μ - sürtünme katsayısi ve α - sarım açısını göstermektedir. Kavramadaki sürtünme momenti

$$M_i = F_{j\text{tar}} \cdot r$$

olduğundan

$$F_i = F_j - F_1$$

Yazılımdan kavrama momenti

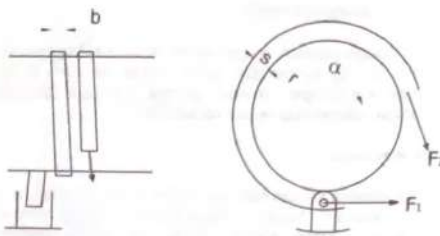
$$M_i = F_i \cdot \frac{e^{\mu \alpha r} - 1}{e^{\mu \alpha r}}$$

veya

$$M_i = F_i (e^{\mu \alpha r} - 1) r$$

esiliği ile hesaplanır. Tam sarım söz konusu ise $\alpha = 2\pi$ alınacaktır. Kavramadaki yay bantı i adet sarımdan oluşuyorsa moment

$$M_i = F_i \cdot \frac{e^{\mu \alpha r} - 1}{e^{\mu \alpha r}} \cdot r \quad \text{veya} \quad M_i = F_i (e^{\mu \alpha r} - 1) r$$



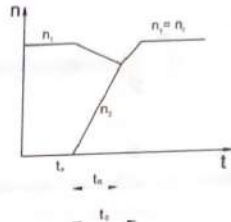
Şekil 21.41 Yay bantlı kavrama

şeklini alır. Göründüğü gibi kavrama momenti; dönmeye yönüne ve bağlama kuvvetinin etki yönüne bağlı olmaktadır. Merkezkaç kuvvet etkisinden kaçınmak için büyük hızlar bölgesinde kullanılmamalı ve ayrıca sarım sayısı arttıkça banin kontrolünün zorlaşacağı unutulmamalıdır. Fazla bakırma ihtiyac göstermeyecek kavramalar kaba işlerde, özellikle tozu istenmelerde uygundur.

21.2.2.2. Çözülebilen Kavramaların Devreye Girmesi

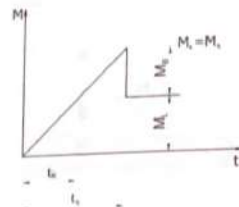
Kuvvet bağı çözülebilen kavramaların boyutlandırılmasında en önemli faktör devreye girme olayıdır. Kavramadaki en büyük zorlukla aşınma ve işinme bu esnada meydana gelir. Sistemde döndürün milin devir sayısı n_1 ve döndürülün milin devir sayısı n_2 , olsun. t_1 anında döndürün mil n_1 devir sayısı ile dönerken döndürün milin devir sayısı $n_2 = 0$ dir. Kavramın sürtünme yüzeyleri birbirine temas ettiğinden andan itibaren (t_1 anından itibaren) döndürülün milin devir sayısı (n_2) artmaya başlar ve bu kargılı döndürün milin devir sayısında (n_2) bir miktar düşme görülür (Şekil 21.42). t_2 zaman sonra döndürün ve döndürülün millerin devir sayılan eserinden. Ancak nominal (rejim) devir sayısına hentiz erişmemiştir. Her iki devir sayısındaki hızlanma devam ederek t_3 konumuna göre t_3 zaman sonra döndürün ve döndürülün millerin devir sayıları birlikte nominal devir sayısına ulaşır ve artek kavrama işlemi tamamlanmış olduğundan sistemin çalışması rejim durumuna (düzenli çalışmaya) dönümüşür. Burada t_3 -kayma zamanı ve t_3 -kavrama zamanıdır. Kavramın devreye girmesi esnasında devir sayısındaki artış ve düşüşlerin linear (doğrusal) olduğunu biliyoruz.

Sürtünmeli kavramalarda: M_{max} —————



Sekil 21.42

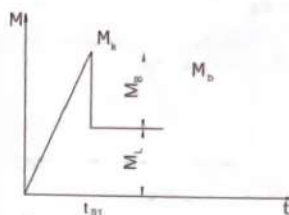
çalıştırılması için gerekен moment M_s -kütlesel (ivmeleme) momenti ve M_i - motor momenti olarak tanımlanırsa kavrama momenti, ivmeleme momenti ile iş makinası momentinin toplamına eşit olmalıdır. Yani



Sekil 21.43

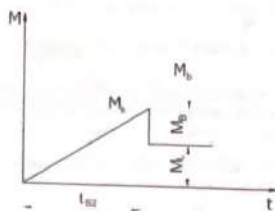
$$M_c = M_n + M_i$$

dir. Bu durumu Şekil 21.43 deki gibi grafik olarak göstermek mümkündür. Kavramada, kavrama momenti aynı zamanda motor momentine uygun seçilmelidir. Bu durumu kavrama zamanı ile şöyle açıklayabiliriz. Kavrama zamanı (t_{z}) kısa seçilmiş olsun (Şekil 21.44). Hızlandırılmış kütelerin eylemsizliğini yenmek zor olacağından kavrama momenti (M_{z}) motor momentinin (M_{m}) üstüne çikacaktır. Bunu karşılayamayan motor stop edecektir. Aynı zamanda döndürulen sisteme iletilen moment darbe şeklinde olacağından sistem kısa zamanda ypranacaktır. Bunun en somut örneğini taşıtlardaki debriyaj sisteminde görmekte mümkündür.



Şekil 21.44

Kavrama zamanı (t_{s1}) büyük seçilmiş olsun (Şekil 21.45). Bu defa kavramanın devreye girmesi esnasında kayma fazla olacağından ısınma, dolayısıyla sürünen yüzeylerde aşınma olacaktır.



Şekil 21.45

Yukarıda sıralanan sebeplerden dolayı kavrama zamanının uygun seçilmesi gereği ortaya çıkmaktadır. Sürünmeli kavramalarda hızlandırılacak kütelerin ivmeleme momenti

$$M_s = J_{\omega} \cdot \alpha$$

şeklindedir. Burada açısal ivme, kayma zamanı ile kavrama zamanı aynı alınarak ($t_s = t_{s2}$),

$$\alpha = \frac{\omega}{t_s} = \frac{\pi \cdot n}{30 I_s}$$

ve eksene göre kütlesel eylemsizlik momenti

$$J_{\omega} = \sum(mr^2)$$

şeklindedir.

Kavramada hızlandırılacak kütelerin silindirik disk şeklinde olduğu varsayılsa, bunların dönme eksene indirgenmiş kütlesel eylemsizlik momenti, $m = \frac{G}{g}$ ve

eylemsizlik yarıçapı $i = R = \frac{D}{2}$ olmak üzere,

$$J_{\omega} = m \cdot R^2 = m \cdot \frac{D^2}{4} = \frac{G \cdot D^2}{4 \cdot g}$$

olur. Böylece ivmelenme momenti için

$$M_s = \frac{G \cdot D^2 \cdot n}{375 I_s} \quad (\text{daNm})$$

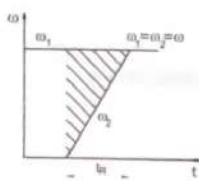
esitliği bulunmuş olur.

Eşitlikte G -(daN) ağırlık, g -(m/s²) yerçekimi ivmesi, ω -(1/s) açısal hız, n -(d/d) kavramanın devir sayısı, I_s -(s) kavrama zamanı ve D -(m) silindirik kütlenin çapı olarak alınmıştır.

21.2.2.3. Kavramadaki Enerji Kaybı ve ısınma

Kavramanın devreye girip-çıkması esnasında sürünen yüzeylerinde meydana gelen ısınma öncelikle bir enerji kaybına sebep olur. Bundan başka yüzeylerde aşınmaya, form değişikliğine, ısıl gerilimler nedeniyle çatlamalara, korozyona ve yağın okside olmasına sebebiyet verebilir.

Devreye girme sırasında döndüren mildeki az hız düşüşünü göz önüne alımsak kavrama zamanı yerine kayma zamanı alınabilir. Yani $t_s = t_{s2}$ yazılabilir. Devreye girme süresince sarfedilen iş



Sekil 21.46

$$W_3 = \int_0^{\pi} M_3 d\theta_3 = M_3 \cdot \int_0^{\pi} \frac{d\theta_3}{dt} dt$$

burada $(\theta_i) - t_s$ zamanı içinde katedilen açısal yol ise

$$\frac{d\theta_i}{dt} = \omega_i$$

olacaktır. O halde sarfedilen iş

$$W_i = M_{i,i} m_i J_i$$

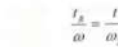
olur. Bu \overline{W}_s işi, Şekil 21.46 da a_1 doğrusu altında kalan ve r_s aralığındaki alan eşittir.

W , işi döndüren milin hızlandırılmasına sarf edilmiştir. Döndüren mil $\omega_2 = 0$ dan $\omega_2 = \omega_1 = \omega$ açısal hızına yükseldiğinden bu ω_1 doğrusu altında kalan alan bize faydalı iş verecektir. t_s zaman aralığında faydalı iş

$$W_r = \int_0^{\theta_2} M_s d\theta_2 = M_s \int_0^t \frac{d\theta_2}{dt} dt$$

$$= M_s \int_0^t \omega_2 dt$$

olmaktadır. Döndürulen milin hızı herhangi bir t anında ω_2 , iken t_R zaman sonra ω açısal hızı ulaşacaktır. O halde



orantısı yazılabılır. Buradan

$$\omega_s = \omega_0 \frac{t}{t_s}$$

esitliği yukarıdaki integralde yerine yazılırsa faydalı iş olarak

$$W_r = M_1 \cdot \int_0^t \omega \cdot \frac{t}{t_s} dt = \frac{1}{2} M_1 \cdot \omega J_3$$

bulunur. Şekil 21.46'dan da görüldüğü gibi faydalı iş, sarfedilen işin yarısıdır. Çünkü $\omega_+ = \omega$ dir. Sürtenme sonucu işi olarak açığa çıkan kayıp iş ise

$$W = W_+ - W_- = \frac{1}{2} M_s \alpha J_s$$

(-), defa devreye girerse meydana gelen sürtünme işi (kayıp iş)

$$W = M \cdot \frac{\partial}{\partial x_1} z \quad (\text{daNm/h})$$

$\tau = 1 \text{ Nm} \approx 10 \text{ Joule'ye göre)$

$\sigma = 10 \text{ m}^{-2} \text{ (J/b)}$

...tarza düşme volvuya kayramadan dışarı atılan işi

$$\partial_x A \approx (T - T_c) / (J/\hbar)$$

eşitliğinden bulunabilir. Burada $A_i - (m^2)$ kavramının soğuma yüzeyi alanı, $a_i - (J/m^2 \cdot ^\circ C)$ kavrama malzemesinin ısı iletkenlik katsayıları, $T_c - (^\circ C)$ kavrama sıcaklığı ve $T_{\infty} - (^\circ C)$ ortam sıcaklığıdır. Kavramanın ısı bakımından dengede olabilmesi yani çevreden soğuma ile kavramanın ısı dengesinin var olabilmesi için

6

olmalıdır. Ayrıca kayramanın sürtünme yüzeyinde oluşan ısı için

$$\frac{M \cdot \omega}{A} = p \cdot \mu v \quad (\frac{daN \cdot m/s}{cm^2})$$

bağıntısının sonucu $(10+30)$ arasında ise kavrama ısı yönünden dengedendir, yani kavrama kendi kendini soğutmaktadır. Burada $A - (cm^2)$ kavramanın sürtünme yüzeyi alanı, $p - (daN/cm^2)$ kavrama yüzey basıncı, $M_i - (daNm)$ kavramada sürtünme yoluya taşınan moment (sınır durumda $M_i = M_s$ dir), $\omega - (1/s)$ açısal hız, $\mu -$ sürtünme katsayısi ve $v - (m/s)$ kavramanın çevre hızıdır.

Eğer dışarıdan kavramayı zorunlu olarak soğutmak (ek soğutma) gerekiyorsa, hava ile soğutmadı, Niemann'a göre,

$$\alpha_s = 4.5 + 6.4\sqrt{v_1} \quad (J/m^2 \cdot CJs)$$

alınmalıdır. Burada $v = -(m/s)$ hava hızıdır.

21.2.2.4. Sürtünme Katsayıları ve Kavrama Matrisi

Sürfünlü kavramaların yük taşımada ve devreye girme stabilitesinde en büyük etken şüpeshis sürtünme katsayısıdır. Genel olarak bir kayma yüzeyinin sürtünme katsayısi, hız (v), basıncı (p), sıcaklığı (T) ve yağılmış durumuna bağlı olarak değişir. Kuru sürtünme durumunda pratik sınırlardaki hız ve basıncılarda (sıcaklık sabit ise) sürtünme katsayısi değişmiyor varsayılmıştır. Orneğin metal yüzey çiftlerinde (çelik/çelik, dökme demir/dökme demir/çinko/bronz çiftleri gibi) kuru sürtünmede belirli sıcaklık sınırlına kadar sürtünme katsayısi sabit kalır. Ancak bu yüzey çiftlerinde genellikle yağılama yapılır. Bu durumda sürtünme katsayısı, bilhassa hız ve basınçla, büyük değişim gösterebilir. Genel olarak sürtünme katsayısı; hızla azalır, basınçla bir miktar artar. Ancak yüzeyler arasında tam bir sıvı filmi oluşmuşsa, sürtünme katsayısı basınçla da azalma kaydeder. Buna karşılık plastik esaslı sentetik sürtünme malzemelerinde sürtünme katsayısı, özellikle kuru sürtünme durumunda, kayma hızı ile bazeen artma veya sabit kalma eğilimindedir. Sıcaklık etkisi de bu malzemelerdeki sürtünme katsayısi düşüşü, metal malzemelere nazarın da fazladır.

Kavramalarda kullanılan ve sürtünme malzemeleri olarak bilinen malzemelerden beklenen özellikler:

1. Yüksek ve düzgün bir sürtünme katsayısına sahip olması,
 2. Aşınmaya karşı dayanıklı olması,
 3. Yüksek sıcaklıklarda özelliklerini yitirmemesi,
 4. Yağ ve benzeri maddelerden etkilenmemesi.

olarak sıralanabilir. Kavramalarda sürtünme yüzeyi malzemesi olarak metal ve metal olmayan malzemeler kullanılır. Çeşitli kavrama malzemeleri ve özellikler Çetvel 21.1'de verilmiştir.

Yağlı çalışan kavramalarda çelik/çelik ve çelik/sinter bronzu çiftlerinde, yüzeylere açılan kanalların şekillerini sürdürmenin önemli rol oynar. Çünkü yağ banyosu içinde çelik bir kavramada yağ tabakasındaki bir kopma sürünme momentinin aniden artmasına ve hızda anı değişikliklere sebep olur. Bunu önlemek için metal yüzeylere, genişliği 0,63 ile 1,53 mm ve derinliği 0,2 ile 1 mm olan, radyal, eGIT, eğik çapraz ve spiral kanallar yapılır. Bu kanallardan spiral tipde olan en uygun çalışmaya temin eder.



Ayrıca isıl genleşmenin etkilerini önlemek amacıyla, özellikle sinterlenmiş metal yüzeylere, 4 mm'ye varan yankılar açılarak lamellerde şekil değişikliği (çarpılma ve burkulmalar gibi) olmasına dikkat edilmelidir.

a. Metal Yüzey Malzemeleri:

Bu malzeme çift genellikle yağlı olarak çalışır. Yağlanmış yüzeylerdeki düşük sürtünme katsayısının etkisi emniyeti yüksek yüzey basınçları ile karşılmaktadır. Küçük hız ve yüklerde ve çok fazla olmamış devreye gitmeyecektir. Dökme demir/dökme demir; büyük yük ve hızlarında ve özellikle çok sürtünmeye yüzeyi lamelli kavramalarla çelik/çelik malzeme çitlerinin kullanılması uygundır. Lameller sırtlanılmış, taşlanmış ve çögu kez parlatılmıştır. Sertlikleri 46.–52 HRC arasındadır.

Son zamanlarda kullanılan diğer bir malzeme çiti çelik/sinter bronzdur. Çoğunlukla bronz malzeme, çelik lamellerden biri üzerine sinterlenmiştir. Kuru olarak da çalışabilirler. Kısa süreli çalışmalarında 500°C sıcaklık sınırına ulaşabilir. Metal yüzey malzemeleri için düşük yüzey basınçları uygundır. Yağlı ve kuru çalışma durumuna göre bu malzemelerin sürtünme katsayıları 0,03 ile 0,4 arasında değişir.

b. Metal Olmayan Yüzey Malzemeleri

Bu malzemeler ekseriya kuru olarak çalışırlar. Özel durumlarda hafif yağılama yapılabılır. Bunların en geniş uygulama alanını dokunmuş veya preslenmiş sentetik esaslı yüzey malzemeleri teşkil eder. Bunlar metal malzemeler üzerine perçinleme veya vapırıstırma yoluyla bağlanır.

Cetvel 21.1 Sırttünme çifti malzemeleri ve özellikleri

Sırttünme malzemesi çifti	μ		T (°C)	p_{sa} (daN/cm²)
	Kuru	Yağlı		
Dök.De./Çelik	0,15 - 0,25	0,03 - 0,06	260	8 - 14
Dök.De./Dök.De.	0,15 - 0,25	0,02 - 0,1	300	15 - 20
Sert Çel/Sert Çel.	-	0,05	260	5 - 20
Sinter Bz./Dök.De. veya Çelik	0,1 - 0,4	0,05 - 0,1	500	5 - 20
Sinter Bz./Krom kaplanmış sert Çel	0,1 - 0,3	0,05 - 0,1	500	20
Dök.Bz/Dök.Demir veya Çelik	-	0,05	148	0,5 - 0,8
Haf Fosfor Bz./Dök.De. veya Çelik	-	0,03	260	10
Vulkanize Fiber/Dök.De. veya Çelik	0,3 - 0,5	-	90	0,7 - 0,3
Karbon Grafit/Dök De. veya Çelik	0,25	0,05 - 0,1	370	20
Fenolik plastik/Dök.De. veya Çelik	0,25	0,10 - 0,15	148	7
Kösele/Dök.Demir veya Çelik	0,3 - 0,6	0,12 - 0,15	100	0,7 - 0,3
Odun/Dök.Demir veya Çelik	0,2 - 0,35	0,16	150	4 - 6
Mantar /Dökme De. veya Çelik	0,3 - 0,5	0,15 - 0,25	93	0,5 - 0,9

Metal olmayan yüzey malzemelerinde 0,2 ile 0,6 arasında bir sırttünme değerine ulaşılmasına ancak yağlı çalışan türlerindeki sırttünme katsayısi 0,05 ile 0,16 arasında değişmektedir. Bu kavrama malzemelerinde düşük yük ve düşük sıcaklık sınırları uygulanmalıdır.

21.2.2.5. Kavramaları Devreye Alma Sistemleri

Kavramanın sırttünme yüzeylerinde istenilen yüzey basıncını oluşturmak için gereken basma kuvveti ya mekanik manivela sistemleri veya servo sistemler yardımıyla elde edilir. Eğer devreye girmeye zamanları çok kısa veya basma kuvveti çok büyükse servo sistemler zorluluğu olmaktadır. Örneğin bir kopya frezesi tızgahının kavramalarının sanİYEDE 10-20 defa devreye girmesi gerektiğinde, devreye girmeye kuvveti elektromanyetik olarak oluşturulmalıdır. Buna benzer diğer durumlarda da pnömatik veya hidrolik servo terlibatlarından yararlanılabilir. El ile kumandalı mekanizmalarda ise manivela sistemleri yeterli olmaktadır. Bazen bir kavramanın iç sistemi manivela, dış devreye sokma sistemi ise pnömatik veya

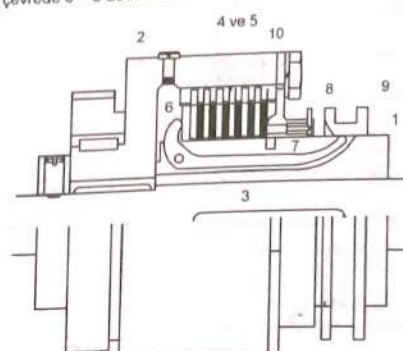
hidrolik olabilmektedir. Bunlara ait değişik örnekler, çok kullanılan kavrama tasarımları ile birlikte, aşağıda verilmiştir.

a) Mekanik Kumandalı Kavramalar

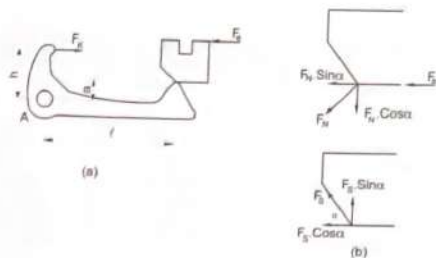
a.1) Lamelli Kavrama:

Çok kullanılan bir kavrama türüdür. İç devreye sokma mekanizması bir manivela olan tasarım tipi Şekil 21.47'deki gibidir. Bir manşon (9) yardımı ile aşağı bastırılan manivela (3) baskı plajına (6) etkileyerek lamel paketine (4-dış lamel, 5-iç lamel) gerekli basma kuvvetini vermektedir. Manşon, bir dış devreye sokma sistemi ile ileri sürüülür. İç lameller sağ taraftaki mile sabitlenmiş flenş (1) ve dış lameller ise sol taraftaki mile sabitlenmiş flenş (2) üzerindeki Yuvalarında eksenel olarak hareket edebilmektedir. Lameller çelik/çelik, çelik/bronz veya çelik/kösele gibi malzeme çiftlerinden oluşabilir. İki ikisi yağlı çalışır. Lameller arasına yağlı ara halkalar (10) konularak basma kuvveti kalktığında lamellerin çubuk bir şekilde birbirinden ayrılmaları sağlanır. Başlangıç ve aşınma durumundaki ayarlan, ayar somunu (8) ve araya yerdeki bir pim (7) yardımıyla yapılır. Baskı plajına simetrik yük uygulayabilmek amacıyla 3 veya 4 adet devreye sokma maniveleri kullanılır. Çözülmüş durumda lameller arasında 0,1 - 0,2 mm boşluk bulunmalıdır.

Lamelli kavramaların en tipik uygulama yerlerinden biri taşit araçlarının devriyaj sistemleridir. Kavrama bir sırttünme yüzeyi vardır. Kavramayı devamlı devrede tutmak için çevrede 6 - 8 adet helisel baskı yayı vardır.

**Şekil 21.47** Mekanik kumandalı lamelli kavrama

Lamelli kavramanın devreye alınmasında uygulanacak eksenel itme kuvveti F_x , manşon (9) ile manivela (3) arasında oluşan normal kuvvetin yatay bileşeni ve sürtünme kuvvetinin teğetsel bileşeninin toplamı kadar olmalıdır. Şekil 21.48b'ye göre



Şekil 21.48

$$F_x = F_z \cdot \text{Sin}\alpha + F_z \cdot \text{Cos}\alpha$$

olmaktadır. Burada $F_z = \mu F_N$ olduğunu göre

$$F_x = F_z \cdot (\text{Sin}\alpha + \mu \cdot \text{Cos}\alpha)$$

yazılır. Diğer taraftan Şekil 21.48a ve b' den

$$M_z = h \cdot F_x = (F_z \cdot \text{Cos}\alpha - \mu \cdot F_z \cdot \text{Sin}\alpha) \cdot l - F_x \cdot \delta$$

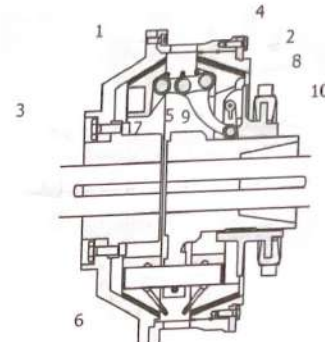
yazılabilcegi görürlür. Böylece lamellere uygulanan kapama kuvveti

$$F_x = \frac{F_z [(\text{Cos}\alpha - \mu \cdot \text{Sin}\alpha) \cdot l - (\text{Sin}\alpha + \mu \cdot \text{Cos}\alpha) \cdot \delta]}{h}$$

olur.

a.2) Konik Sürtünme Yüzeyli Kavrama:

Temas yüzeyleri koni şeklindedir. İki konik sürtünme yüzeyine sahip bir kavrama tipi Şekil 21.49'da görülmektedir. Eksenel yönde kayabilen bir bileziğin (10) dış manivela sistemi ile ileri sürülmüş halinde iç manivelalar (9), dış kısmı konik olan



Şekil 21.49 Çift konik kavrama

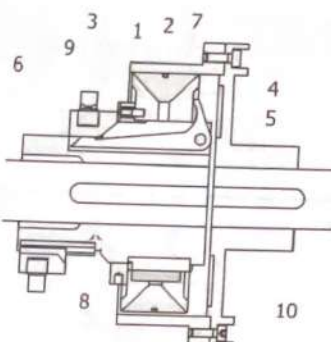
kavrama disklerini (7,8) iç kısımları konik olan kavrama gövdelerine (1,2) eksenel yönde bastırır. Kilitlenebilen mekanizma kilitlenme noktasından geçen teorik olarak sonsuza giden kuvvet artışı meydana getirdiğinden bir makas mekanizması gibi çalışır.

Bu kavramalar daha çok ağır iş makinalarında, gemilerin tornaların (geri manevra) mekanizmalarında ve kaldırma makinalarında uygulanmaktadır.

a.3) Conax Kavrama:

Çok kullanılan bir konik kavrama tipi de Conax kavramasıdır (Şekil 21.50). Dış devreye sokma mekanizması ile sağa kaydırılan bilezik (6) ile iç manivelalar (5) soldaki konik diske (4) basılır. İki konik disk (3,4) arasındaki çift konili sürtünme elemanı (1) radyal yönde hareket ederek kavrama gövdesinin (7) silindirik iç yüzeye basılır. Konik diskler üzerindeki sürtünme elemanları tek parça olmayı genellikle 4 parçadan oluştur. Sektörler şeklinde olan bu elemanlar, çevreye yerleştirilen bir yay (2) aracılığıyla çevrelenir. Böylece sıkma kuvveti ortadan kalkınca sürtünme elemanlarının gövdeden ayrılmaması temin edilmiş olur. Sürtünme elemanları elastik olursa, kavrama elastik kavrama özelliğine sahip olur.

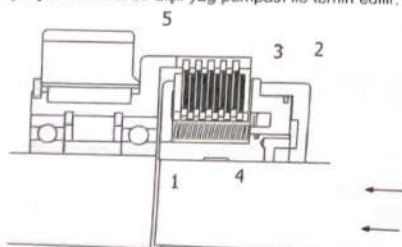
Bu kavramada da kilitlenme özelliği vardır. Zaman içinde oluşan aşınma boşlukları bir somun (8) yardımıyla alınabilmektedir.



Şekil 21.50 Conax kavraması

b) Servo Kumandalı Kavramalar**b.1) Basınçlı Yağ ile Devreye Giren Kavrama:**

Bu tip kavramalar, ağır takım tezgahlarının, ekskavatör gibi ağır iş makinalarının ve gemi tornadan mekanizmalarının kumanda kavramaları olarak geniş ölçüde uygulanmaktadır. Otomatik devrelerde de kullanılabilir. Sıvı devresinde reçinelemeyen ve viskozitesi sıcaklıkla çok az değişen ince bir yağ kullanılır. $6\text{--}8 \text{ daN/cm}^2$ olan çalışma basıncı bir dişli yağ pompası ile temin edilir.



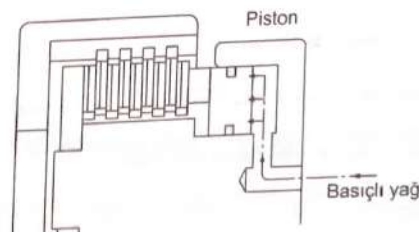
Şekil 21.51 Basınçlı yağ ile devreye gire lamelli kavrama

Şekil 21.51'deki kavramada lameller, pistonun (3) sağ tarafına verilen basınçlı yağ ile sıkıştırılır. Çözme işi için pistonun sol yüzeyine basınçlı yağ verilmelidir. Ayrıca sisteme yerleştirilmiş olan 4+6 adet helisel yay (4) bu işi kolaylaştırır. Şekilde sağ kavrama flenş (1), gömlek (silindir) (2) ve baskı gövdesi (veya karşı kavrama flenş) (5) no ile gösterilmiştir.

Basınçlı yağ ile devreye giren bir kavramanın devreye girmeye prensibini Şekil 21.52 açıkça göstermektedir.

b.2) Pnömatik Kumandalı Kavrama:

Yumuşak olarak devreye girmesi istenen bazı kavramalarda servo devresi olarak basınçlı hava sistemi de kullanılmaktadır. İş makinasında basınçlı hava devresi varsa (örneğin fren donanımı gibi) aynı devreden kavrama için de yararlanılabilir. Bu nedenle bazı ekskavatörlerde ve iş makinalarında basınçlı hava ile devreye giren kavramalar kullanılır. Çalışma basınçları $6\text{--}8 \text{ daN/cm}^2$ arasındadır.

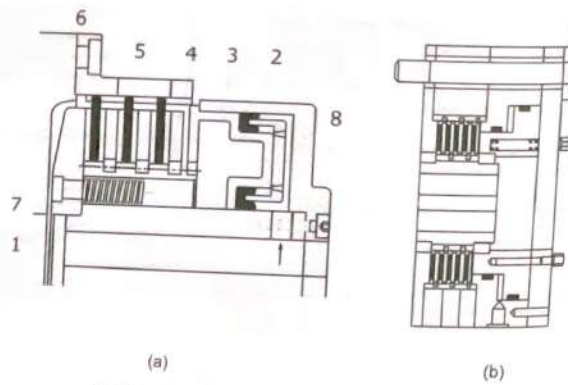


Şekil 21.52

Şekil 21.53'de Ortlinghaus firmasında geliştirilen pnömatik lamelli kavramalardan iki örnek görülmektedir. Şekil 21.53'a'da kavrama pistonunun (3) sağ tarafına basınçlı hava verilince, piston ile birlikte baskı plaqı (4) sola doğru eksenel bir hareket yapar ve böylece kavramanın devreye girmesi temin edilir. Sağ taraftaki silindir gövdesi (8) ile pistonun yan yüzeylerinde kaçak olmaması için sızdırmazlık elemanı (2) kullanılmıştır. Diş lameller (5) sertleşme malzemesi (örneğin kösele) kaplanmış plaklar şeklinde dir. Kavramanın çözülmesinde sisteme bulunan helisel yaylar (7) yardımcı olur. Şekilde (6) nolu parça, kavramanın sol gövdesidir.

b.3) Elektromanyetik Devreye Sokma Tertibatlı Kavramalar:

Halen servo sistemli kavramaların en çok kullanılan tipini teşkil eder. Bu kavramalar çok çabuk devreye girmeye özelliğine sahiptir. Ayrıca boyutları oldukça küçük olduğundan otomatik kontrol sistemlerinde, modern takım tezgahlarında ve



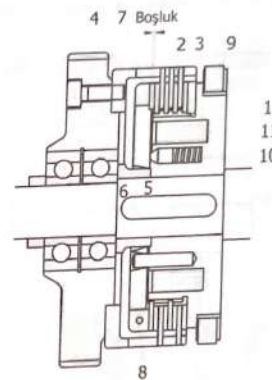
Şekil 21.53 Ortlinghaus pnevmatik lameili kavraması

özellikle nümerik kontrollü tespitlerde genis ölçude kullanılmıştır.

b.3.1) Lamelleri Elektromanyetik Devre İçinde Olmayan, Ancak Elektromagnetişti Beraber Dönen Kavramları

Elektromanyetik kavramalar içinde en çabuk devreye giren kavrama olması en önemli özelliğidir (Şekil 21.54). Döndürün mile bağlı gövdenin (1) içinde bir bobin (11) vardır. Bu bobine bir bilezik (9) üzerinde sürekli akım (doğru akım) verilmektedir. Elektrik akımı etkisinde gövdenin (1) serbest uçları kuvvetli miknatısların haline gelerek karşılıklı olarak bulunan dikiş (5) çeker ve lameller (2,3) gerekten basma kuvvetini temin eder. İç lameller (2) bir gövdeye (1), dış lameller (3) ise diğer bir gövde (4) aracılığıyla döndürülmen sisteme (şekilde gösterilen çark) bağlanmıştır. Kavramının devreden çıkışması durumunda, kalıcı miknatıslar etkisinde dikiş (5) kutuplarından ayrılmamasını temin etmek için ara yerde bir hava boşluğu olmalıdır. Ayrıca kavrama devreden çıkışırında, dikiş (5), yollar (10) tarafından itilerek irtibat kesilir. Lamej yüzeylerinden biri aşırıma sonucu küçülecek hava boşluğu bir vidalı bilezik (7) ile sağlanmaktadır.

Bu kavramaların en önemli sakincası elektromıknatısın sisteme beraber dönmesi sonucu kütlesel momentlerin artmasıdır. Ayrıca akımın fırçalar ve bilezikler etydiyimde, yanı sürünen kontaklar üzerinden sisteme verilmesi sonucunda kömür fırçalarında 2 volt kadar bir gerilim düşmesi olmaktadır. Sisteme uygulanarak en yüksek gerilim 12 ile 24 voltur. Daha yüksek gerilim uygulamaları, hayatı tehdike yaratabileceğiinden, özel önlemler alınmalıdır.



Sekil 21.54

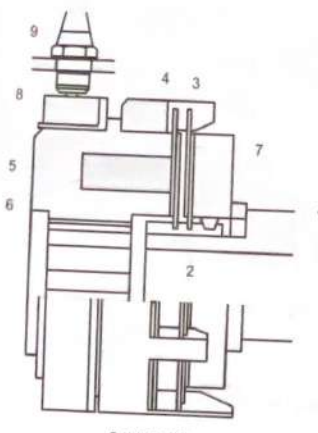
b.3.2) Lamelleri Elektromanyetik Devre İçinde Olan Ve Elektromıknatısı Beraber Dönen Kavramalar:

Bu tip kavramalarda, bobinin (6) meydana getirdiği elektromanyetik alan (5) etkisi ile karşı disk (7) çekilmekte ve lameller (2,3) birbirine bastırılmaktadır (Şekil 21.55). Lameller manetylık devre içinde olduğundan çoklu malzemeden yapılmış olmaları gereklidir. Yanı kavramda sinter bronzu veya plastik, kösele vb. kaplanmış lameller kullanılmamaz. Bu tip kavramalarda aşınmadan dolayı herhangi bir ayara ihtiyac yoktur. Kavramanın devreye girmesi, bir evvelkine nazaran daha yavaş ve yumusak olmakla beraber daha büyük elektromagnetik ihtiyaç duyulmaktadır.

b.3.3) Elektromagnetið Beraber Dönmeyen (Fırçasız Ve Büçükkez) Kavramalar:

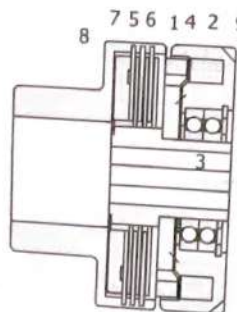
Bu kavramaların en büyük özelliği, fırçalara (kayar kontaklara) ve bileziklere ihtiyaç göstermemesidir. Bu nedenle gerilim kayıpları daha az ve külesel momentleri daha küçüktür. Ancak kavramanın toplamı daha büyük bir yapı ve ayrıca pahalı bir tasarım ve şekillendirme gerektirmektedir. Bu tip kavramaların da lamelleri teknolojik açıdan oldukça gelişmişdir.

Şekil 21.56'da Ortlinghaus firmasında geliştirilen bir elektromanyetik kumandalı lamelli kavrama görülmektedir. Yuvarlanmalı yatak ile yataklanmış dönmeyen bir göße (1) içinde bulunan bobine (2) elektrik akımı verilince, meydana gelen



Şekil 21.55

manyetik alan etkisi ile lamellerin dayandığı disk (7) çekilmekte ve lameller arası diske (4) dayanarak bastrılmaktadır.



Şekil 21.56

Ara disk (4) bir burç (3) üzerine sıkı geçme bağlanmış olup bu burç da mile
toplanmıştır.

31.3.3. ÇÖZÜL EBRİ EN ÖZEL KAVRAMALAR

Mil sistemlerinin bağlanmasıında çeşitli problemler ortaya çıkar. Genellikle döndürün ve döndürulen mühürların alt oldukları makinaların moment-hız karakteristikleri birbirine uymaz. Örnek olarak bir diesel motorundan hareket alan sabit direnç momenti bir iş makinasını (örneğin bir betoniyeri) göz önüne alalım. Diesel motor yük altında devreye giremez. Dönme sayısı belli bir değere çikttan sonra yığılmayabilir. Röllü devrinin altına düşecek şekilde aşırı yüklenirse stop eder. Bu nedenle kuvvet ve iş makinaları arasında konulacak kavramalar bu farklı karakteristikleri karşılayabilmeli ve her şart altında ilk hareketlerde beraber çalışmalarını temin etmelidir. Bu tip kavramalara "ilk hareket kavramları" adı verilir.

Bazı durumlarda ise iki makina arasına bağlanan kavramanın bir moment veya hız sigortası görevini yapması istenir. Örnek olarak bir elektrik motoru ile çalıştırılan bir iplek bükme tezgahını göz önüne alalım. İş makinasındaki direnç momentinin bir birdeğir üstüne çıkması, makinada önemli bir arızanın işaretidir. Bu şart altında motorun makinayı döndürmeye devam etmesi daha büyük arızaların ortaya çıkmasına neden olabilir. Böyle durumlarda kavramanın otomatik olarak iki sistem arasındaki bağı kesmesi istenir. Bu tip kavramalara da "emniyet kavramaları" adı verilir.

Özel bir fonksiyonu olan diğer bir kavrama grubunu tek yönlü moment ileten kavramalar teşkil eder. Bu kavramalar döndürenen döndürülene moment iletilir, aksi yönde ise bağı keser.

21.2.3.1 İlk Hareket Kavramaları

En çok kullanılan kuvvet makinalarından kısa devre asenkon elektrik motorları ile benzin ve dizel motorlarının ilk hareket esnasında belirli devir sayısına kadar yüksüz devreye girmesi ve daha sonra yük alımları gereklidir. Motorun devir sayısı belirli bir değere ulaştıktan sonra motor ile iş makinası arasında irtibat sağlanır. Yani motor yüksüz olarak devreye girer. Makinalar arasına konacak kavramın bu görevi yapılmaması için yapısal olarak kayma yapabilen kuvvet bağlı bir kavrama olması gereklidir. Ayrıca kavrama momentinin hıza bağlı olarak artması da şarttır. Bu şartları gerçekleyebilecek bazı kavrama tipleri aşağıda verilmiştir.

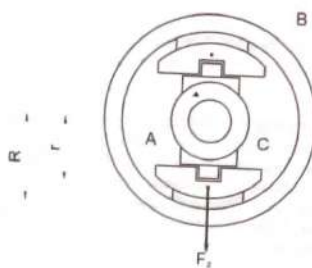
Kuvvet bağı kavramaların devreye girmesi kısmında anlatıldığı üzere (Bak. Böl. 21.2.2.), ilk hareket anında motorun verdiği moment, ivmelenme momenti ve iş makinasının momentini karşılamalıdır. Hiz istenilen değere ulaşınca kütleSEL momentler sıfır olur. Bu durumdan itibaren motorun verdiği momentin sadece iş makinasını caletmamak için yerli olması gereklidir. Pahali ve büyük yapıdağı motorlarla iş makinasının hızını ayarlamak için çok fazla zaman ve enerji harcanır.

kavramalar

yerine, külesel momentler göz önüne alınmaksızın, sadece iş makinası momentline göre motor seçimi yapılır. Durum böyle olunca da iki makina sokulur.

a. Santrifüj Kavramalar:

Şekil 21.57'de santrifüj kavramının yapısı ve temel elemanları şematik olarak görülmektedir. Döndürmen mile (A) bağlı ağırlıklar (C) artan hızın karesi ile orantılı olarak büyüklenen merkezkaç kuvvet etkisi ile üzerindeki sürüünme takozlarını



Şekil 21.57 Serbest ağırlıklı santrifüj kavrama

Tamburun (B) içine basmaktadır. Çok basit sistemlerde takozlar gövdedeki yuvalarına serbest olarak oturtulmaktadır, daha karmaşık yapıdaki kavramalarda ise takozların geri çekimelerini sağlamak amacıyla, yaylar bulunmaktadır. Dönmeye nedeniley takozda

$$F_x = m \cdot r \cdot \omega^2 = m \frac{v^2}{r}$$

merkezkaç kuvveti meydana gelir. Burada m - takozun kütlesi, r - ağırlık merkezinin dönmeye eksenine olan uzaklığı, ω - döndürmenin milin açısal hızı ve v - takozun ağırlık merkezindeki çizgisel hızıdır. Serbest takozlarda F_x kuvveti normal kuvvet olacağından, sürüünme momenti

$$M_x = I \cdot \mu \cdot F_x \cdot R = I \cdot \mu \cdot m \cdot r \cdot \omega^2 \cdot R$$

olarak yazılır. Burada I - takoz sayısı ve R - tamburun yarıçapıdır. Görüldüğü gibi sürüünme momenti açısal hızın karesi ile artmaktadır. Belirli bir devir sayısından

kavramalar

sonra döndürülen kışım dönmeye başlar. Ancak $M_x \geq M_s$ olduğu taktirde kavrama devreye girmiş sayılır.

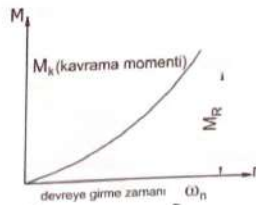
Takozların bir yay vasıtıyla tespit edilmeleri halinde, F_x - yay kuvveti ise sürüünmeye meydana getirecek normal kuvvet

$$F_x = F_z - F_y$$

olduğundan sürüünme momenti

$$M_x = I \cdot \mu \cdot (F_z - F_y) \cdot R$$

şeklinde yazılır.



$$M_x = M_s = I \cdot \mu \cdot (m \cdot r \cdot \omega_a^2 - F_y) \cdot R$$

şeklini alır. Böylece kavrama tarafından iletilmesi istenen moment bilindiği taktirde kavramanın devreye girdiği andaki açısal hızı (ω_a) hesaplamak mümkündür.

Bir başka santrifüj kavramada, pabuçlar (4), bir ucundan mafsallı (7) olarak bağlanmıştır (Şekil 21.59). Merkezkaç kuvvetin etkisiyle üzerinde sürüünme kaplamaların (5) bulunan pabuçlar tamburun (3) iç yüzeyine dayanır. Bu esnada pabuçlar mafsallı etrafında küçük bir dönme hareketi yaparlar. Şekilde görülen ağırlıklar (4), döndürmen mile (1) sıkı bağlı tablaya (2) pimlerle (7) oynak tespit

edilmiştir. F_r – yay kuvveti ile $F_z = m_r \cdot a^2$ merkezkaç kuvveti biliniyorsa, O mafsa noktasına göre moment yazılarak

$$F_r \cdot a = F_z \cdot h + F_s \cdot L$$

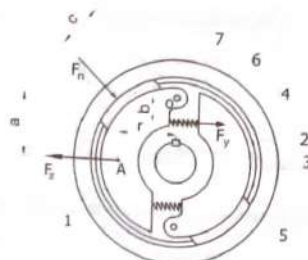
eşitliğinden normal kuvvet

$$F_r = \frac{F_z \cdot a - F_s \cdot b}{c}$$

bulunur ve sürtünme momenti

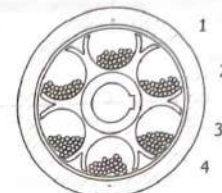
$$M_s = i \cdot \mu \cdot F_r \cdot R$$

olarak yazılır.



Şekil 21.59 Mafsallı pabuçlu santrifüj kavrama

Değişik bir santrifüj kavramada ise, santrifüj ağırlıkları teşkil eden pabuçlar yerine küçük çelik bilyalar veya çelik kumu (çok ince çelik bilyalar) kullanılmaktadır. Şekil 21.60'da bir bilyalı santrifüj kavramının prensip şeması görülmektedir. Kavrama, bir tambur (4) ve bunun içinde serbestçe dönebilen kanatlı çarçtan (1) oluşmaktadır. Çarç döndürilen mile, tambur ise döndürülmen mile sıkı bağlanmıştır. Tamburun iç yüzeyine çelik bir bilezik (3) yerleştirilmiştir. Tamburun içine doldurulan çelik bilyalar (2) yağlanmış olup bağlayıcı elemen vazifesini görürler.

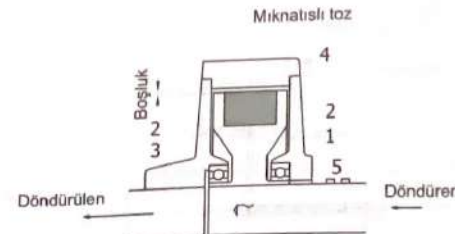


Şekil 21.60 Bilyalı santrifüj kavrama

b. Manyetik Kavramalar:

b.1. Manyetik Tozlu Kavrama:

Kavrama disklerinden biri (1) döndürülen mile, diğeri (2) döndürülmen mile sıkı bağlanmıştır (Şekil 21.61). (1) diskinin içinde bir bobin (3) vardır. Bu sebepten bu disk bir elektromagnitik teşkil eder ve manyetik devre, (4) armatürü üzerinden boşluk (5) üzerinde sadece karbonil demir tozu veya bu tozun yağ içindeki karışımı bulunur. Bilezik (5) üzerinden bobine (3) doğru akım verildiğinde, manyetik alan etkisiyle karbonil demir tozları mıknatıslanarak katılır, yani nijit bir cisim haline gelir ve (1) ile (4) arasında demir tozu köprüleri kurar.



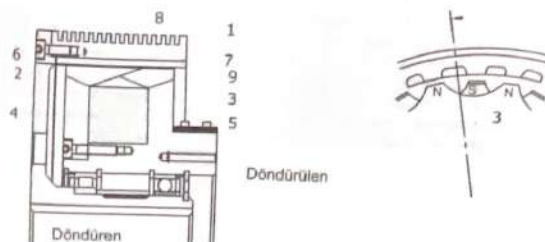
Şekil 21.61 Manyetik tozlu kavrama

Böylece kavramanın iki parçası birbirine bağlanır. Bu kavrama momenti (M_s), iğaz akımı şiddetiyle doğrusal (lineer) olarak artar. Moment kayma ve döreme sayısından bağımsızdır. Kavramanın başlıca sakıncası boyutlarının

büyük ve kendisinin pahalı oluşudur. Son yıllarda, özellikle asenkron motorlarda, artan bir şekilde kullanılmaktadır.

b.2. Endüksiyon Kavraması:

Kavrama, bir rotor ve bir statordan meydana gelir (Şekil 21.62). Kavramanın döndürmen kısmasına bağlanmış olan primer sargı (rotor-3) iç tarafta, sekonder sargı (stator-1) ise dış tarafta ve döndürmen kısım üzerinde bulunmaktadır. Rotorun dışına (ve statorun içine) belirli sayıda (genellikle 24) kutuplar (6) yerleştirilmiş olup bunların arasında, elektrik iletkenliği iyi olan çubuklar (7) (bakır ve alüminyum) konmuştur. Rotor ve statordaki kutup sayıları eşit olmalıdır. Kutuplar arasındaki çubuklar kendi aralarında bileziklerle kısa devre olarak bağlanmıştır. Kavrama hareketisizken, stator ve rotor kutupları birbirine nazaran açısal olarak kaydırılırsa manyetik alan değiştirilebilir. Böylece artan moment etkisi meydana gelir ki 24 kutuplu bir kavramada bu statik moment en büyük değeri takriben 6° 'lık kaymada olur. Manyetik alanın değişmesi sonucu (7) çubuklarında bir akım endüklendir. Bu akım ikinci bir manyetik alan meydana getirir ki bu da (3) rotoru üzerinde



Şekil 21.62 Endüksiyon kavraması

bulunan (9) kutuplarını dönde yonunde döndürmen bir moment doğurur. İkinci elektromanyetik alanın ve dolayısıyla momentin büyüğlüğü ikaz akımına ve kutupların birbirine nazaran kayma miktarına bağlıdır. Kayma değeri ayarlanarak istenilen moment değeri elde edilebilir. Şekil 21.62'de döndürmen taraftaki disk (2), doğru akım verilen bobin (4), akım verme bileziği (5) ve soğutma kanatçıları (8) no ile işaretlenmiştir.

Endüksiyon kavramaları pahalı olmakla beraber, ilk hareket, ayar ve senkronizasyon kavramaları olarak büyük güçlere kadar uygulanabilir. Özellikle akım kesilmesinin ciddi sonuçlar vereceği santrallarda (örneğin hastanelerde, reaktörlerde ve sanayinin bazı kollarında) çok kullanılır. Şebekede akım kesilince bir rôle, mevcut bataryadan aldığı kuvvet akımı ile dizel motorunun ilk

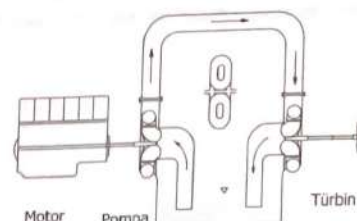
hareket mekanizmasını faaliyete geçirir ve endüksiyon kavraması devreyi bağlar. Bu zaman aralığında alternatör, volanındaki enerji ile döndürmeye devam eder. Sistemin tam güçle tekrar devreye girme zamanı 5 saniye kadardır.

c. Hidrolik Kavrama:

Bu kavramada enerji iletimi bir akışkan devresi yardımıyla olmaktadır. Döndürmenin mekanik enerjisi, bir pompa tarafından hidrolik enerjiye dönüştürülerek, döndürmen mili bağlı olan bir türbine verilir (Şekil 21.63). Burada hidrolik enerji tekrar mekanik enerjiye dönüştürülerek döndürmenin mili dönmesini temin eder. Pratikte pompa ile türbin aynı gövdede birleştirilmektedir (Şekil 21.64).

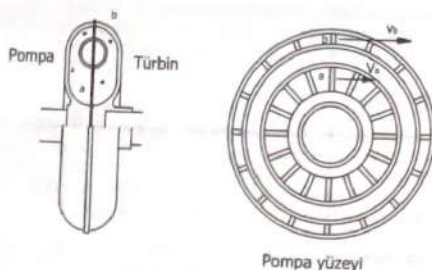
Pompa dönmeye başlayınca bunu dolduran akışkan (genellikle ince bir yağ) merkezkaç kuvvetin etkisiyle çevreye ve oradan da türbin kanallarına fırlatılmaktadır. Akışkan çevresel hareketten başka radyal yönde de hareket eder. Böylece sıvı, pompadan aldığı enerjiyi türbine naklederek bunun dönmesini temin eder.

Akışkanın konumunda iken çevre hızı V_s , b konumuna ulaşlığında ise bu hız V_e olur ve yarıçap farkından dolayı $V_e > V_s$ dir. Böylece a'dan b'ye akışta akışkan kütlesinin kazandığı kinetik enerji kavramının temel prensibini oluşturur.



Şekil 21.63 Hidrolik kavramının prensip şeması

Sistem içinde akışkan hareketinin olması için pompa ile türbinin devir sayıları farklı olmalıdır. Devir sayıları eşit olursa akışkanın hareketini sağlayan basınç etkisi karşılıklı olarak birbirini dengeleyeceğinden sistem dahilinde akışkan hareketi durur ve bunun sonucu olarak kavrama momenti sıfır olur. Moment iletiminin mümkün olması için döndürmen ve döndürmen millerin arasında bir hız farkı olmalıdır. Genelde döndürmenin (türbinin mili) hızı döndürmenin (pompa mili) hızından daha küçük olmalıdır. Yani ikisi arasında bir kaymanın meydana gelmesi gerekmektedir.



Şekil 21.64 Hidrolik kavrama

Kısa devre bağlamının sonucu olarak sistemin verimi

$$\eta = \frac{M_1 n_1}{M_2 n_2}$$

dir. Burada M_1 - döndürmenin momenti, M_2 - döndürülenin momenti, n_1 - döndürmenin devir sayısı, n_2 - döndürülenin devir sayısıdır. Ancak bir kavramada daima

$$M_1 = M_2$$

olacağinden verim

$$\eta = \frac{n_2}{n_1} = (1 - S)$$

olar. Burada

$$S = \frac{n_1 - n_2}{n_1}$$

ile gösterilen kayma miktarıdır ve % olarak belirtilir. Boyutlandırma işlemi; nominal güçte S=0,02 veya S=0,03 olacak şekilde yapılır. Böylece verim % 97 - % 98 gibi yüksek değerlerde olur.

Hidrolik kavramalar çok yumuşak devreye girerler. İçten yanmalı motorların ve asenkron elektrik motorlarının ağır yük altında devreye girmesinde soğutma klesi

ve maden kuyusu gibi tesislerde kullanılan büyük ventilatörlerin ilk hareket kavraması olarak çok kullanılır.

21.2.3.2. Emniyet Kavramaları

Kullanılmakta olan emniyet kavramaları daha çok bir moment sınırlayıcı görevini yaparlar. Prensip olarak; daha evvel incelenmiş olduğumuz sürtünmeli kavramalar, özellikle ilk hareket kavramalarının hemen hepsi emniyet kavraması görevini yapar. Kayma momenti kavrama momentini 1,2 – 1,5 (kayma momenti oranı) arasında aşarsa endüksiyon, hidrolik ve hatta manyetik tozlu kavramalar; 1,4 – 1,7 arasında aşarsa bazı santrifüj kavramalar bu iş için kullanılabilir.

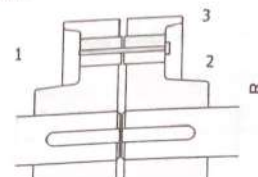
a. Pimli Emniyet Kavraması:

En basit emniyet kavramasıdır. Kavrama disklerini (1,2) birbirine bağlayan pim (3) belirli bir üst momentte kesilecek şekilde boyutlandırılmıştır (Şekil 21.65). Pim (3) sayısız z, her pimin kesilme kesiti A ve malzemenin kesilme gerilmesi τ_s olarak tanımlanırsa kavrama ile iletişimlebilir sınır momenti değeri

$$M_{\text{kr}} = r_i \pi \cdot \frac{d^2}{4} \cdot \tau_s R$$

olar. Burada $r_i = 0,5 \sigma_i$ (en çok kullanılan pim malzemesi Fe 37 çeligidir), d - pimin çapı ve R - pim merkez dairesi yarıçapıdır.

Bu kavramalarda en önemli husus, sınır momenti büyüğünün çok iyi testib edilmesidir. Özellikle litresimli ve değişken zorlanmalarda sınır momenti belirlemek çok güç olmaktadır. Momentin çok küçük seçilmesi halinde işi aksatan sık kirilmalar olabileceği gibi büyük seçilmesi halinde ise sisteme bazı parçaların kirilmalarına yol açabilirler.



Şekil 21.65 Pimli emniyet kavraması

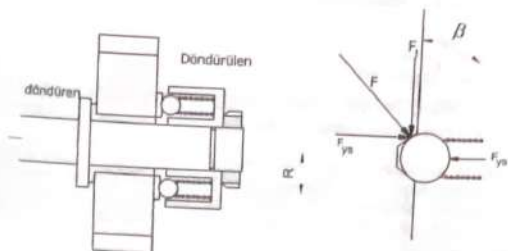
Arada bir darbe halinde gelen momentlere karşı kullanılan diğer bir emniyet kavramı **Şekil 21.66'da** görülmektedir. Bilyalı mandallı emniyet kavraması adı verilen bu kavramın şeklindeki Δ anlaşılmış gibi, sınır durumındaki yay kuvveti F_y ile gösterilirse, kavramının açıkladığı sınır degeri:

$$M_w = z.F_w.R \frac{\cos\beta + \mu \sin\beta}{\sin\beta + \mu \cos\beta}$$

olur. Yüzeyler arasındaki sürtünme göz ardı edilirse ($\mu = 0$) mevcut

$$M_w = z F_w R \frac{1}{\tan B}$$

şeklini alır. Bu kavrama, çok nadir olarak darbe momentleri gelen ve süresi çok kısa olan kayma durumları için uygundur. Daha çok takım tezgahlarında, el ile çalıtırlan bazı iş makinalarında kullanılır.



Şekil 21.66 Bilyali manzullu emniyet kemerleri

b. Ayarlanabilen Sürümü -

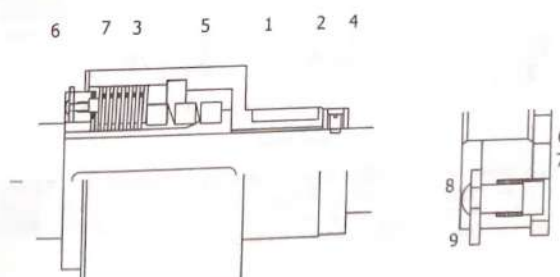
Bilindiği üzere sürtünmeli kavramaların ilettiği moment

$$M_1 = \mu F_{x-x}$$

şeklindedir. Sürünme momenti meydana getiren normal kuvvet sabit bir değerde (F_n) tutulabilirse, kavramaın ilececeği moment

$$M_n = \mu(F_n)_{|F=F_n}$$

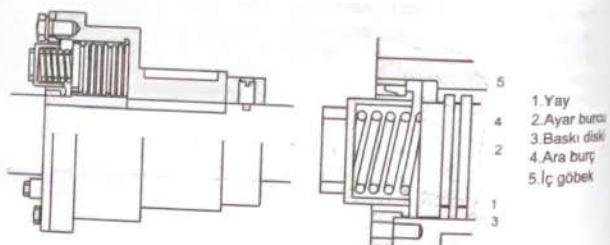
olur. Yani $M_s \geq M_{s_0}$ olması durumunda sürüünme yüzeyleri arasında bir kayma meydana gelir ve moment iletilmez. Bu prensibe göre tasarlanan bir lamelli kavrama Şekil 21.67'deki gibidir. Kavramada, basma kuvvetini meydana getiren kare kesiti büyük helisel yayın (5) stroku bir ayar somunu (6) ile ayarlanabilir. Çevredeki yayların tamamı bir tek somun ile ayarlandığından basma kuvveti çevre boyunca esitir.



Sekil 21.67

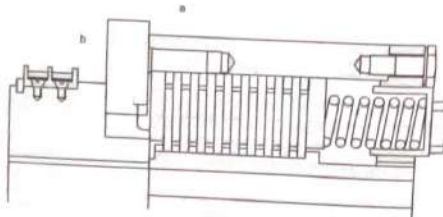
Daha büyük sınır momentlerin taşınması için Şekil 21.68'deki lamelli kavrama tasarımı uygundur. Kavrama çevresinde 8+12 veya daha fazla helsel yay vardır ve bu yolların hepsi ayrı ayrı ayarlanmaktadır. Önemli olan husus, her yayın (1) ayar burcu (2) ile eşit olarak ayarlanmasıdır. Özel çelik saclardan yapılmış olan lameller serbestçe hareket ederken ve taşlanmış olup hafif yığılı çağrırlar. Uzun kayma süreleri ve yükseli hızlar için uygun değildir. Uzun kayma durumlarında lamellerde aşınmalar olacağından kavramanın ayarı kısa zamanda bozulur. En geniş uygulamaları alan, içten yanmalı motorların ilk hareket motorları ile motor arasındaki bağlantıdır.

Bazı şartlarda emniyet kavramasının kayma zamanını kontrol etmek mümkün olmayabilir. Uzun kaymalarla kavramada büyük hasarlar meydana gelebilir. Bunu önlemek için, artan sıcaklıkla kavramayı geçici olarak veya tamamen devreden çikaran sistemler geliştirilmiştir. Bu tip bir kavrama tasarımları Şekil 21.69'da görülmektedir.



Şekil 21.68

Şekildeki lâmelli emniyet kavramasına bir termostat (a) bağlanmıştır. Sıcaklık, ayarlanan bir değerin üstüne çökse bilezikler (b) ve bunlara temas eden fırçalar üzerinde elektrik motoru stop ettirilir veya bir sinyal zili harekete geçirilir. Sistem durunca kayma da duracığından sıcaklık tekrar azalır.



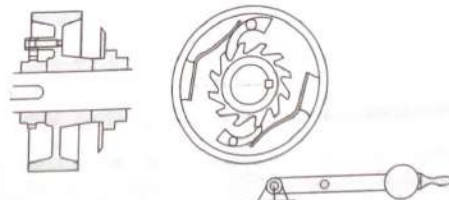
Şekil 21.69 Termostati: lamelli empiyon tip.

21.2.3.3. Tek Yönü Moment İstemi

Serbest dönme veya geçme kavramaları gibi isimler de alan bu kavramalar, bir dönme yönünde etkiyen olotomatik bir kavrama tipidir. Döndürün ve döndürülmen $\omega_1 \geq \omega_2$ kavrama devrededir. Döndürülmen döndüründen daha hızlı dönerse yanıt döndürün durumuna geçerse ($\omega_1 < \omega_2$), kavrama: milleri derhal ayru. Örneğin

bisikletlerin döndürulen arka tekerlek göbeğinde, iki kuvvet makinasının birbirine senkron bağlamakta, konveyörlerde geri kaymayı önlemekte olduğu gibi geniş bir uygulama alanı vardır.

Bu kavramaların prensibi, bir yönde kilitlenme veya kamalanma esasına dayanır. Eksenel ve radial yönde kilitlenen tipleri mevcuttur. Kilitlenme şekil veya kuvvetle olabilir. Şekil bağlı kilitlenme tertibatına örnek olarak mandal mekanizmaları gösterilebilir (Şekil 21.70).



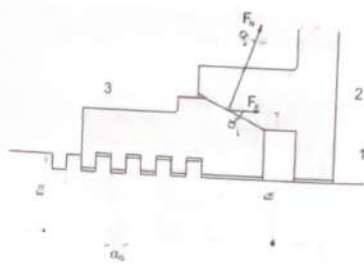
Sekil 21.70 Mandal mekanizması

Ancak bunların devreye girmeleri vurunlu ve kademeli olduğundan küçük hızlarda ve bazı özel durumlarda uygulanır (takım tezgahlarında kademeli paso verme veya bölmeye mekanizmalarında olduğu gibi). Kuvvet bağı kilitlenme esasına dayanan kavramlar çok daha geniş uygulamalarına sahiptir.

a. Eksenel Yände Kilitlenen Tek Yönlü Kavramalar:

Böyle bir kavramaya alt kroki Şekil 21.71'deki gibidir. Döndüren mil (1) üzerinde sol vida açılmış olup buna vidalanın bir somun (3) mevcuttur. Somunun sağ ucunda bir konik kavramanın iç konisi teşkil etmektedir. Döndürülün tarafı ise kavramanın dış konisi (2) vardır. İç ve dış koni bir yay yardımıyla birbirlerine hafif bastırılmıştır. Enerji, döndüründen döndürülene, soldan bakıldığına göre, saat ibreleri yönünde bir dönme hareketine göre geçiyor; dış konide (2) bir direnç momenti bulunduğu sürece sol vida (1) somunu (3) döndürün koniye (2) bastıracaktır. Konı daha hızlı dönse somun geriye çekileceğinden bağlı kalacaktır. Buysa kolaylığı olması için koniler kilitlenmemeli, yanı koni açısı kesilemeyecek.

α_i sürtünme açısı ρ_i dan büyük olmalıdır. Pratikte $\alpha_i \geq 15^\circ$ ve $\frac{r_i}{r_e} \geq 1,5$ olarak alınır.

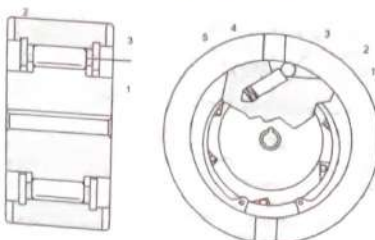
kavramalar

Şekil 21.71

b. Radyal Yände Kilitlenen Tek Yönü Kavramalar:

Bu kavramaların prensip bakımdan iki türü vardır. Şekil 21.72'deki tasarımda, döndürulen (1) ve döndürülmen (2) gövdeler arasında bir hareket yönünde gittiğe konmuştur.

Daralan aralığın açısı, her durum için, sürülmeye açısından küçük olmalıdır. Bilya veya silindirler bir yay ile daralan aralığa hafifçe bastırılır.



Şekil 21.72

Kavramanın güç sınırını, yüzeyler arasında meydana gelen Hertz gerilmeleri tayin eder. İki silindirin birbirine bir F kuvveti ile basması halinde en büyük Hertz basıncı

kavramalar

$$P_{\text{max}} = 0,418 \sqrt{\frac{F \cdot E}{b \cdot R}}$$

eşitliği ile hesaplanır. Burada

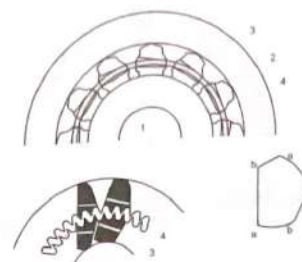
$$\frac{1}{R} = \frac{1}{R_1} + \frac{1}{R_2}$$

eşdeğer eğrilik yarıçapı ve

$$\frac{1}{E} = \frac{1}{2} \left(\frac{1}{E_1} + \frac{1}{E_2} \right)$$

eşdeğer elastiklik modülüdür. Eşitliklerdeki E_1 ve E_2 - silindir malzemelerinin elastiklik modüllerini, R_1 ve R_2 - silindirlerin yarıçaplarını ve b - silindirlerin genişliğini ifade etmektedir. Hertz basıncı değeri $P_{\text{max}} \geq 0,3HB$ olarak alınabilir. HB - malzemenin Brinell sertliğidir. Görüldüğü gibi yük taşımanın büyük olabilmesi için gerek yuvarlanma yollarının gerçekle yuvarlanma elemanlarının yüksek sertlikte malzemelerden olması gerekmektedir. Bu maksatla, genelikle yuvarlanmalı yatak malzemeleri kullanılır.

Radyal yönde kilitlenen tek yönü kavramaya ait diğer bir örnek Şekil 21.73'de verilmiştir. Bu tasarımda daralan bir aralık yoktur. Buna karşılık daire halkası şeklindeki aralığa sıkışma elemanları (3) konmuştur. Bu elemanlar helisel bir yay (4) yardımıyla yüzeye basınlmaktadır. Bu sistemin çalışma prensibi basit olarak



Şekil 21.73

şyledir; Elemandı (aa) uzunluğu (bb) uzunluğuna nazaran daha büyuktur. Bu bütüme küçük artışlar şeklindedir. Döndürün mil çalışma yönünde dönünce elemen aralık içinde sıkışmaka ve iki mili birbirine bağlamaktadır. Elemanları bağlayan helisel yay, aynı zamanda bunların hafif bir kuvvetle yüzeyler basmasını temin etmektedir. Bu kavrama tasarımlı, bir evvelkinin daha bağı olmakla beraber büyük yükler içine dahi eşverişlidir.

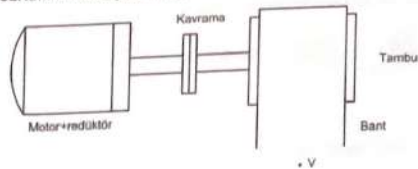
22. KAVRAMA PROBLEMLERİ

Problem 22-1

Problem 22.1 Saatte 20 MW kömürü $0,5 \text{ m/s}$ hızla ileten bir bantlı konveyörün tamburunun dış çapı 700 mm , iç çapı 650 mm , uzunluğu 200 mm ve malzemesinin özgül ağırlığı $7,2 \text{ daN/dm}^3$ 'dür. Tambura hareket veren motor bir redüktörle akuple olup motor-redüktör ikilisine ait milin tambur miline bağlantısı flensli bir kavrama ile yapılmıştır. Yük altında bantı hareket etmemek için bantaltı gereklî çekme kuvveti 1500 daN 'dur. Kullanılan motorun devir sayısı 710 d/d ve verimi $\%70$ olarak alınabilecektir. Sistemin çalışmada rejim durumuna ulaşması $6 \text{ sn}'de$ ve yüksüs durumda gerçekleşiyorsa: $(\mu = 0.25 \text{ motor效率 (B.G. olarak) nedir?})$

- da gerçekleşse:

 - İlk hareketi sağlamak için gerekli olan motor gücü (BG olarak) nedir?
 - Kavrama momenti ne kadardır? Gerçek motor gücü ne olmalıdır?
 - Mil malzemesi $C60$ ($r_m = 2,5 \text{ daN/mm}^3$), kavramda kullanılan civataların malzemesi 6,8 kalitesinde olup (çalışma koşulları nedeniyle $\sigma_{\text{m}} = 6 \text{ daN/mm}^2$ ve $r_m = 1,5 \text{ daN/mm}^3$) civataların yerleştirildiği çap $D = 3d_{\text{m}}$ olarak verilmiştir. Bu koşullarda kavramada $M20$ civatalarından kaç adet kullanılması gerektiğini bulunuz.
 - Civataların kesilmeye çalışmasası için ne kadarlık bir ön gerilme ile sıklaması gerektiğini hesaplayınız (Fren yüzeyleri arasındaki sürümme katsayısı 0,15).



Sekil 22.1

Cözüm 22.1

a) İlk harekette sadece atalet kuvvetleri yenilmelidir, yani sistem ivmelenme momenti etkisindendir. Ivmelenme momenti

$$M_1 = J_{\perp} E$$

Burada kütte

$$m = \frac{G}{g} = \pi b (R^2 - r^2) \frac{\gamma}{g}$$

$$= \frac{\pi \cdot 0,2}{9,81} (0,35^2 - 0,325^2) 7,2 \cdot 10^7 = 7,78 \text{ daNm}^2/m$$

kütlesel eylemsizlik momenti

$$J_z = m \frac{R^2 + r^2}{2} = 7,78 \cdot \frac{0,35^2 + 0,325^2}{2} = 0,887 \text{ daNm} \text{ms}^2$$

Açışal hız

$$\omega = \frac{\pi n}{30} = \frac{\pi \cdot 710}{30} = 74,35 \text{ 1/s}$$

ve açışal ivme

$$e = \frac{\omega}{r_z} = \frac{74,35}{6} = 12,39 \text{ 1/s}^2$$

olduğuna göre

$$M_s = 0,887 \cdot 12,39 = 11 \text{ daNm}$$

Böylece ivmelenme esnasında gereklî motor gücü

$$P_s = \frac{n \cdot M_s}{716,2 \cdot \eta_s} = \frac{710 \cdot 11}{716,2 \cdot 0,7} = 15,6 \text{ BG}$$

olarak

b) Tamburun devir sayısı:

$$n_j = \frac{60 v}{\pi D_z} = \frac{60 \cdot 0,5}{\pi \cdot 0,7} = 13,64 \text{ d/d}$$

Bantı çalıtırma gücü

$$P_z = \frac{F_z v}{75 \eta_s} = \frac{1500 \cdot 0,5}{75 \cdot 0,7} = 14,28 \text{ BG}$$

Yük momenti

$$M_L = 716,2 \cdot \frac{P_z}{n_r} = 716,2 \cdot \frac{14,28}{13,64} \equiv 750 \text{ daNm}$$

Böylece toplam kavrama momenti

$$M_t = M_s + M_L = 11 + 750 = 761 \text{ daNm}$$

ve toplam motor gücü

$$P_u = P_s + P_z = 15,6 + 14,28 \equiv 30 \text{ BG}$$

olmaktadır.

c) Mil çapı:

$$d = \sqrt{\frac{16 \cdot M_L}{\pi \cdot r_m}} = \sqrt{\frac{16 \cdot 761000}{\pi \cdot 2,5}} = 115,74 \text{ mm}$$

standart mil çapı olarak $d = 120 \text{ mm}$ alınabilir.

Civataların yerleştirildiği çap $D_c = 3,120 = 360 \text{ mm}$, bu çaptaki teğetsel kuvvet

$$F_z = \frac{2 \cdot M_L}{D_c} = \frac{2 \cdot 761000}{360} \equiv 4228 \text{ daN}$$

Civatalar kesilme zorlanması etkisindedir. M20 civatası için kesilmeye çalışan kısımdaki çap en az 21 mm olmalıdır. O halde civatanın bu kesitindeki kesilme gerilmesi

$$r_i = \frac{F_z}{n A} \leq r_m$$

Böylece civata sayısı:

$$n = \frac{4.4228}{\pi \cdot (2,1)^2 \cdot 150} = 8,14 \text{ buradan } n=10 \text{ adet alınır.}$$

d) Civataların kesilmeye çalışmaması için flenş yüzeyleri arasındaki sürtünme kuvveti teğetsel kuvvet daha büyük olmalıdır, yani

$$F_f = \mu F_m n > F_z$$

kavrama problemleri

Buradan civatalara verilmesi gereken ön gerilme kuvveti

$$F_{ia} = \frac{4228}{10,015} = 2818,7 \text{ daN}$$

veya bir başka şekilde

$$F_{ia} = \frac{2M_s}{\mu D_s n} = \frac{2.76100}{0,15.36.10} = 2818,52 \text{ daN}$$

olmalıdır.

Problem 22.2

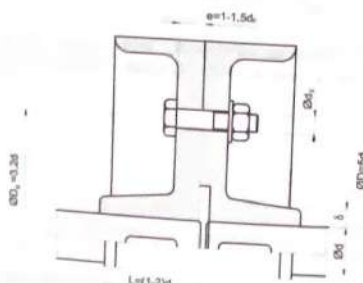
$k.P/n = 0,5$ olan bir flenşli kavramayı boyutlandırınız. Mil malzemesi Fe42 ($\tau_m = 1,25 \text{ daN/mm}^2$), flenş malzemesi DDL-25 ($p_m = 5,5 \text{ daN/mm}^2$), civata malzemesi 4.6 kalitesinde ($\sigma_m = 5 \text{ daN/mm}^2$ ve $\tau_m = 4 \text{ daN/mm}^2$), civata sayısı $z=8$ ve sürüfürme katsayısı $\mu=0,25$ olarak verilmiştir.

Gözüm 22.2

a) Mil çapı hesabı

Kavrama momenti

$$M_s = k.M_s = 71620. \frac{P}{n} \cdot k = 71620.0,5 = 35810 \text{ daNm}$$



Şekil 22.2

kavrama problemleri

Buradan

$$d = \sqrt{\frac{16M_s}{\pi \cdot \tau_m}} = \sqrt{\frac{16.35810}{\pi \cdot 125}} = 11,34 \text{ cm}$$

Standart mil çapı $d = 115 \text{ mm}$ alınır.

b) Flenş göbek kalınlığı

$$\delta = 0,35.d + 10 (\text{mm}) = 0,35.115 + 10 = 50,25 \text{ mm}$$

Buradan $\delta = 50 \text{ mm}$ alınabilir.

c) Flenş göbek uzunluğu

$$L = (1+2)d = 1,5.115 = 172,5 \text{ mm}$$

Böylece $L=175 \text{ mm}$ alınır.

d) Flenş çapı

$$D = 5.d = 5.115 = 575 \text{ mm}$$

e) Temas yüzeyi ortalaması çapı (civataların yerleştirildiği çap)

$$D_o = 3,2.d = 3,2.115 = 368 \text{ mm}$$

Buradan $D_o = 370 \text{ mm}$ alınır.

f) Civata hesabı

Kavrama momenti eşitliğinden

$$M_s = z \cdot \mu \cdot F_{ia} \cdot \frac{D_o}{2}$$

civatalara verilen ön gerilme

$$F_{ia} = \frac{2M_s}{z \cdot \mu \cdot D_o} = \frac{2.35810}{8.0,25.37} = 968 \text{ daN}$$

Civatalar bu ön gerilme kuvveti etkisinde çekme zorlanmasına maruz kalmaktadır.

$$\sigma_i = \frac{F_i}{A_i} \leq \sigma_m$$

Buradan civatalanın dış dibi kesiti

$$A_i = \frac{F_i}{\sigma_m} = \frac{968}{500} = 1,936 \text{ cm}^2$$

Böylece $A_i = 225 \text{ mm}^2$ için M20 vidası seçilir.

Civataların kesilmeye göre kontrolü

Kesme kuvveti (teğetsel kuvvet)

$$F_i = \frac{2M_t}{D_e} = \frac{2.35810}{37} = 1935,7 \text{ daN}$$

olduğuna göre kesme gerilmesi

$$r_i = \frac{F_i}{z \cdot A_i} \leq r_m$$

eşitliğinden civatalanın kesilmeye çalışan kesiti

$$A_i = \frac{F_i}{z \cdot r_m} = \frac{1935,7}{8.400} = 0,605 \text{ cm}^2$$

Civatalanın kesilme yerindeki çapı

$$d_i = \sqrt{\frac{4A_i}{\pi}} = \sqrt{\frac{4 \cdot 0,605}{\pi}} = 0,8776 \text{ cm}$$

Gördüğü gibi kesilme için emniyetli çap $d_i \geq 9 \text{ mm}$ olmakla beraber kullanılan M20 vidası için bu çap da en az $d=20 \text{ mm}$ olmalıdır.

g) Flenslerin eksenel kalınlıkları

$$e = 1,5 d_i = 1,5 \cdot 20 = 30 \text{ mm}$$

h) Flenslerin ezilmeye göre kontrolü

$$p_n = \frac{F_i}{z \cdot d_i \cdot e} \leq p_m$$

$$p_m = \frac{1935,7}{8.2.3} = 40,3 \text{ daN/cm}^2$$

Buna göre $p_n = 40,3 \text{ daN/cm}^2 < p_m = 550 \text{ daN/cm}^2$ olup uygundur.

i) Kama hesabı

$d=115 \text{ mm}$ mil çapı için, yuvalı kama $b \times h=32 \times 18 \text{ mm} \times \text{mm}$ ve $t_i=11,1 \text{ mm}$ değerleri okunur (Bak.Cilt I, Cetvel 15.3).

Mildeki teğetsel kuvvet

$$F_i = \frac{2M_t}{d} = \frac{2.35810}{11,5} = 6228 \text{ daN}$$

Kamanın kesilmesine göre uzunluğu:

Kama malzemesi olarak Fe

60 seçilirse $r_m = 300 \text{ daN/cm}^2$

alınabilir. Böylece kama uzunluğu

$$\ell \geq \frac{F_i}{b \cdot r_m} = \frac{6228}{3,2 \cdot 300} = 6,5 \text{ cm}$$

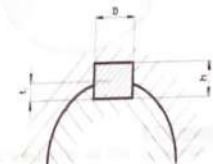
Flens göbeğinin ezilmesine göre kama uzunluğu:

$$\ell \geq \frac{F_i}{(h-t_i) \cdot p_m} = \frac{6228}{(1,8-1,11) \cdot 550} = 16,41 \text{ cm}$$

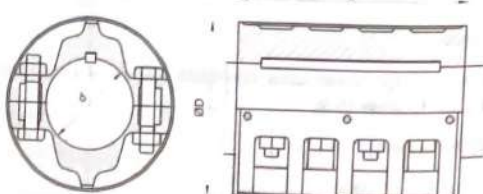
Böylece kama uzunluğu olarak $\ell=165 \text{ mm}$ seçilmesi uygundur. Çünkü flens göbek uzunluğu $L=175 \text{ mm} > \ell=165 \text{ mm}$ olmalıdır.

Problem 22.3

İki milin bağlantısı, 4.6 kalitesinde 8 adet civata kullanılarak, toplam uzunluğu 160 mm olan bir zarflı kavrama ile yapılmıştır. Civatalara uygulanan ön gerilme kuvveti 1250 daN olup çapı 50 mm olan milin dönme sayısı 1000 d/d dir. Mil ile kavrama zarf ve vida ile somun dişleri arasındaki sürtünme katsayısı $\mu=0,15$ alınabileceğine göre;



- a) Mil ile kavrama zarfı arasındaki ortalama basınç ne kadardır? (Yüzeyler arasında düzgün bir basınç yayılışı olduğu kabul edilecektir).
 b) Kavramanın 1,5 misli emniyetle iletilebileceği güç ne kadardır?
 c) Cıvataları seçiniz.
 d) Gereken ön gerilmeyi temin için somuna uygulanması gereken moment ne olmalıdır?



Şekil 22.3

Cözüm 22.3

- a) Kavrama zarfı ile mil yüzeyi arasındaki normal kuvvet

$$z.F_n = p.d.\ell$$

Burada $\ell = L/2 = 160/2 = 80 \text{ mm}$, $z = 8/2 = 4$ ve diğer bilinenlerle ortalama basınç

$$p = \frac{z.F_n}{d.\ell} = \frac{4.1250}{5.8} = 125 \text{ daN/cm}^2$$

- b) Kavrama momenti

$$M_s = \frac{\mu p d^3 \ell}{2} = \frac{0,15 \cdot 125 \cdot 8 \cdot 5^3}{2} = 1875 \text{ daNm}$$

Bu moment $k = 1,5$ misli emniyetle iletileceğine göre gerçek moment

$$M_s = \frac{M_s}{k} = \frac{1875}{1,5} = 1250 \text{ daNm}$$

ve buradan iletilen güç

$$P = \frac{n.M_s}{71620} = \frac{1000 \cdot 1250}{71620} = 17,45 \text{ BG}$$

- c) Cıvata hesabı

4.6 kalitesi için $\sigma_{st} = 24 \text{ daN/mm}^2$ olduğuna göre (Bak. Cilt I-Cetvel 13.9) ön gerilmeli sistemin değişken yük altında çalıştığı göz önüne alınırsa $\sigma_{st} = 500 \text{ daN/cm}^2$ alınıbilir. Böylece civataladaki çekme gerilmesi

$$\sigma_i = \frac{F_m}{A_i} \leq \sigma_{st}$$

eşitliğinden civatalanın dış dib kesiti

$$A_i = \frac{F_m}{\sigma_{st}} = \frac{1250}{500} = 2,5 \text{ cm}^2$$

ve böylece civatalanın dış dib çapı

$$d_i = \sqrt{\frac{4.A_i}{\pi}} = \sqrt{\frac{4 \cdot 2,5}{\pi}} = 1,784 \text{ cm}$$

olur. O halde $d_i = 20,319 \text{ mm}$ için M24 vidası seçilir.

- d) Somunu sıkma momenti

$$M_s = F_{st} \left[\frac{d_i}{2} \cdot \tan(\alpha + \rho') + r_w \cdot \mu_s \right]$$

Burada M24 vidası için $d_i = 22,051 \text{ mm}$ ve $h = 3 \text{ mm}$

$$\tan \alpha = \frac{h}{\pi \cdot d_i} = \frac{3}{\pi \cdot 22,051} = 0,0433$$

$$\tan \rho' = \frac{\mu}{\cos \beta / 2} = \frac{0,15}{\cos 30} = 0,1732$$

$$\tan(\alpha + \rho') \cong \tan \alpha + \tan \rho' = 0,0433 + 0,1732 = 0,2165$$

$$r_w = 0,7 \cdot d = 0,7 \cdot 24 = 16,8 \text{ mm} \quad \text{ve} \quad \mu = 0,15$$

değerleri ile

$$M_s = 1250 \left(\frac{2,2051}{2} \cdot 0,2165 + 1,68 \cdot 0,15 \right) = 613,4 \text{ daNm}$$

bulunur.

Problem 22.4

Eksenler arasında $a=5 \text{ mm}$ açıklık bulunan iki paralel mil bir Oldham kavraması yardımıyla birleştirilmiştir. Ara diskin çapı $D=200 \text{ mm}$, genişliği $b=30 \text{ mm}$ ve malzemesi çeliktir ($\gamma=7,85 \text{ daN/dm}^3$). $\ell_1=175 \text{ mm}$ aralıkları A ve B noktalardan yataklanan ve $n=750 \text{ d/d}$ ile dönen giriş milinin bu yataklarına sadece ara diskin hareketinden dolayı etkilenen en büyük kuvveti hesaplayınız. En yakın yatağın (B) ara disk orta düzleme uzaklığı $\ell_2=125 \text{ mm}$ dir.

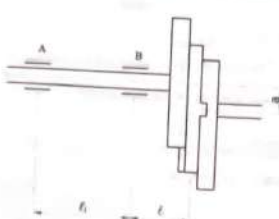
Cözüm 22.4

Ara diskin merkezinin çizdiği yörüngə ve kuvvetler şekildeki gibidir.

Giriş miline etkilenen radyal kuvvet

$$F_r = F_i \cdot \sin \alpha$$

Eşitlikten de görüldüğü gibi kuvvetin en büyük değeri alabilmesi için $\sin \alpha = 1$ ($\alpha = \pi/2$) olmalıdır. Bu durumda $F_r = F_i$ olacaktır. Merkezkaç kuvvet



Şekil 22.4

$$F_r = m \cdot r \cdot \omega^2$$

Burada kütle

$$m = \frac{W}{g} = \frac{\pi D^2 b \gamma}{4 g} = \frac{\pi (0.2)^2 \cdot 0.03 \cdot 7.8 \cdot 10^3}{4 \cdot 9.81} = 0,75 \text{ daNs}^2 / \text{m}$$

Açısal hız

$$\omega_i = (2 \cdot \omega) = 2 \cdot \frac{\pi \cdot n}{30} = 2 \cdot \frac{\pi \cdot 750}{30} = 157 \text{ 1/s}$$

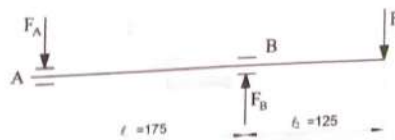


Eksantriklik yarıçapı

$$r = a/2 = 2,5 \text{ mm} = 2,5 \cdot 10^{-3} \text{ m}$$

olmak üzere kuvvet

$$F_r = F_i = 0,75 \cdot 2,5 \cdot 10^{-3} \cdot (157)^2 = 46,2 \text{ daN}$$



Moment alınarak

$$F_z = F_i \cdot \frac{\ell_1 + \ell_2}{\ell_1} = 46,2 \cdot \frac{175 + 125}{175} = 79,2 \text{ daN}$$

Kuvvetler toplamı yapılarak

$$F_s = F_z - F_r = 79,2 - 46,2 = 33 \text{ daN}$$

değerleri bulunur.

Problem 22.5

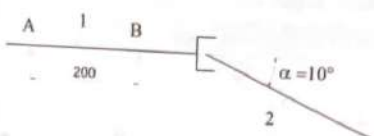
Bir kardan kavraması ile bağlanmış iki milden giriş milinin devir sayısı 900 d/d ve sabittir. Kavrama 10 BG güç iletmekte ve mil eksenleri arasındaki açı 10° olduğuna göre,

- Çıkış mili devir sayısının en büyük ve en küçük değerleri nelerdir? Bu mildeki düzgünşüzlük ne kadardır?
- Çıkış milindeki döndürme momentinin en büyük ve en küçük değerleri nedir?
- Giriş mili, aralarında 200 mm olan iki noktadan yataklandığına göre, çıkış milindeki momentin en büyük değerinde bu yataklara gelen kuvvetleri hesaplayınız.

Cözüm 22.5

- a) Çıkış milindeki devir sayıları

$$(n_i)_{\text{max}} = n_i \cdot \cos \alpha = 900 \cdot \cos 10^\circ = 886,3 \text{ } d/d$$



Şekil 22.5

$$(n_i)_{\text{min}} = \frac{n_i}{\cos \alpha} = \frac{900}{\cos 10^\circ} = 913,9 \text{ } d/d$$

ve düzgünşüzlük sayısı

$$\delta = \frac{(n_i)_{\text{max}} - (n_i)_{\text{min}}}{n_i} = \frac{913,9 - 886,3}{900} = 0,0307$$

b) Giriş mili döndürme momenti

$$M_s = M_i = 71620 \cdot \frac{P}{n} = 71620 \cdot \frac{10}{900} = 795,8 \text{ daNcm}$$

Çıkış mili momentleri

$$(M_i)_{\text{max}} = M_i \cdot \cos \alpha = 795,8 \cdot \cos 10^\circ = 783,7 \text{ daNcm}$$

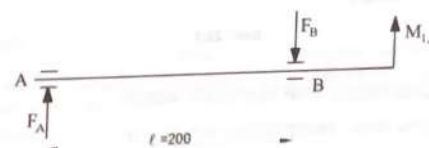
$$(M_i)_{\text{min}} = \frac{M_i}{\cos \alpha} = \frac{795,8}{\cos 10^\circ} = 808 \text{ daNcm}$$

c) Yatak kuvvetleri

Çıkış milindeki en büyük döndürme momenti durumunda giriş mili

$$M_{1,2} = M_i \cdot \tan \alpha = 795,8 \cdot \tan 10^\circ = 140,3 \text{ daNcm}$$

değerindeki bir momentle eğilmeye zorlanır. Bu moment, giriş mili yataklarındaki kuvvet çifti ile karşılanır.



Burada

$$F_s = -F_a = \frac{M_{1,2}}{l} = \frac{140,3}{20} \approx 7 \text{ daN}$$

olmaktadır.

Problem 22.6

Bir kamyonun vites kutusu çıkışının diferansiyel kutusuna iki kardan mafsalı ve bir ara mil ile bağlantısı Şekil 22.6'da şematik olarak görülmektedir.

- Ara milin dönmesinin düzgünşüzlüğünü bulunuz.
- Vites kutusu çıkışındaki devri sayısının en büyük değerinde (1800 d/d) ara milin ivmelenmesinden ileri gelen momentin en büyük değeri nedir? (Kardan mafsalı çatallarının atalemini göz ardı ediniz.)

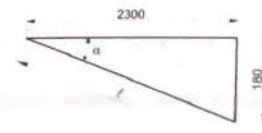
Ara mil malzemesi çelik olup $\gamma = 7,85 \text{ daN/dm}^3$ ve ivmelenme zamanı 3 s dir.

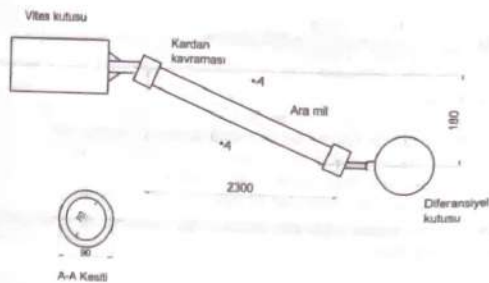
Cözüm 22.6

- a) Ara milin yatay düzleme yaptığı açı

$$\tan \alpha = \frac{180}{2300} = 0,07826$$

ve böylece $\alpha = 4,4749^\circ$ olur.



kavrama problemleri

Şekil 22.6

Ara milin devir sayısının en küçük ve en büyük değerleri

$$(n_1)_{\min} = n_i \cdot \cos \alpha = 1800 \cdot \cos 4,4749 = 1794,5 \text{ d/d}$$

ve

$$(n_1)_{\max} = \frac{n_i}{\cos \alpha} = \frac{1800}{\cos 4,4749} = 1805,5 \text{ d/d}$$

Ara milin düzgünşüzlüğü

$$\delta = \frac{(n_1)_{\max} - (n_1)_{\min}}{n_i} = \frac{1805,5 - 1794,5}{1800} = 6,11 \cdot 10^{-3} \text{ yani } \delta = 0,611 \text{ olur.}$$

b) Ara mildeki ivmelenme momenti
Ara milin uzunluğu

$$\ell = \frac{180}{\sin \alpha} = \frac{180}{\sin 4,4749} = 2307 \text{ mm}$$

Ara milin kütlesi

$$m = \frac{\pi}{g} \cdot \pi \cdot l \cdot (R^2 - r^2) = \frac{7,85 \cdot 10^3}{9,81} \cdot \pi \cdot 2,307 \cdot (0,045^2 - 0,035^2) \cong 4,64 \text{ daN s}^2 / \text{m}$$

Ara milin kütlesel eylemsizlik momenti

kavrama problemleri

$$J_n = m \cdot \frac{R^2 + r^2}{2} = 4,64 \cdot \frac{0,045^2 + 0,035^2}{2} = 7,54 \cdot 10^{-3} \text{ daN s}^2 \cdot \text{m}$$

ve ara milin en büyük dönme sayısında açısal hız

$$\varepsilon = \frac{\pi \cdot (n_1)_{\max}}{30 \cdot I} = \frac{\pi \cdot 1805,5}{30 \cdot 3} = 63 \text{ 1/s}^2$$

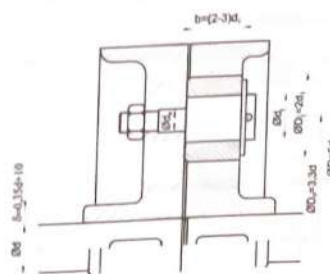
olduğuna göre ivmelenme momenti

$$M_s = J_n \cdot \varepsilon = 7,54 \cdot 10^{-3} \cdot 63 = 0,475 \text{ daNm}$$

olur.

Problem 22.7

$n=1500 \text{ d/d}$ 'luk bir gücü 1,5 misil emniyetle taşıyabilecek olan bir elastik manşonlu kavramanın boyutlandırılması istenmektedir. Mil malzemesi Fe50, civata malzemesi Fe42 ($\sigma_u = 800 \text{ daN/cm}^2$), elastik elemanın emniyetli yüzey ezilmesi $p_m = 10 \text{ daN/cm}^2$ ve sistemde 4 adet elastik manşon bulunmaktadır.



Şekil 22.7

Cözüm 22.7

a) Fe50 mil malzemesi için mil çapı

$$d = 134,4 \sqrt{k \cdot \frac{P}{n}} = 134,4 \sqrt{1,5 \cdot \frac{10}{1500}} = 28,955 \text{ mm}$$

Böylece standart mil çapı $d = 30 \text{ mm}$ olur.

b) Flens göbek kalınlığı:

$$\delta = 0,35 \cdot d + 10 \text{ (mm)} = 0,35 \cdot 30 + 10 = 20,5 \text{ mm}$$

Buradan $\delta = 20 \text{ mm}$ mm alınabilir.

c) Flens göbek uzunluğu

$$L = 1,5 \cdot d = 1,5 \cdot 30 = 45 \text{ mm}$$

d) Flens çapı

$$D = 5 \cdot d = 5 \cdot 30 = 150 \text{ mm}$$

e) Elastik manşonların yerleştirildiği çap

$$D_s = 3,3 \cdot d = 3,3 \cdot 30 = 99 \text{ mm}$$

Buradan $D_s = 100 \text{ mm}$ seçilebilir.

f) Elastik manşonların boyutları
Kavramadaki döndürme momenti

$$M_s = 71620 \cdot \frac{P}{n} = 71620 \cdot \frac{10}{1500} = 477,5 \text{ daNm}$$

olduğuna göre elastik manşona etkiyen kuvvet

$$F_i = \frac{2 \cdot k \cdot M_s}{\pi \cdot D_s} = \frac{2 \cdot 1,5 \cdot 477,5}{4 \cdot 10} = 35,8 \text{ daN}$$

Elastik manşonun çapı $D_s = 2 \cdot d$, ve genişliği $b = (1 + 1,5) \cdot D_s = (2 + 3) \cdot d$, yaklaşımı ile $b = 2,5 \cdot d$, seçilerek,

$$P_m = \frac{F_i}{b \cdot d_s} \leq P_{em}$$

yüzey ezilmesi eşitliğinden

$$d_s = \sqrt{\frac{F_i}{2,5 \cdot P_{em}}} = \sqrt{\frac{35,8}{2,5 \cdot 10}} = 1,196 \text{ cm}$$

Böylece elastik manşonun iç çapı $d_s = 12 \text{ mm}$, dış çap $D_s = 2 \cdot 12 = 24 \text{ mm}$, genişliği $b = 2,5 \cdot 12 = 30 \text{ mm}$ alınır.

g) Permolardaki eğilme kontrol
Permodaki eğilme gerilmesi

$$\sigma_e = \frac{F_i \cdot b / 2}{\pi / 32 \cdot (d_s)^3} \leq \sigma_{em}$$

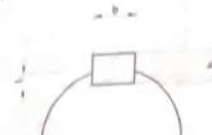
eşitliğinden permonun eğilme yerindeki çapı

$$d_s = \sqrt{\frac{32 \cdot F_i \cdot b}{2 \cdot \pi \cdot \sigma_{em}}} = \sqrt{\frac{32 \cdot 35,8 \cdot 3}{2 \cdot \pi \cdot 800}} = 0,88 \text{ cm}$$

Buna göre permonun bu kesitteki çapı en az $d_s = 10 \text{ mm}$ alınmalıdır.

h) Kama hesabı

Bağlantıda yuvalı kama kullanılmaktadır. $d = 30 \text{ mm}$ mil çapı için ilgili çetvelden $b \times h = 8 \times 7 \text{ mm} \times \text{mm}$ ve $t_1 = 4,1 \text{ mm}$ seçilir.



Flens malzemesi için DDL25 ($P_{em} = 550 \text{ daN/cm}^2$) ve kama malzemesi için de Fe60 ($\tau_{em} = 300 \text{ daN/cm}^2$) varsayımlını yapalım.

Mil çevresindeki teğetsel kuvvet

$$F'_i = \frac{2 \cdot k \cdot M_s}{d} = \frac{2 \cdot 1,5 \cdot 477,5}{3} = 477,5 \text{ daN}$$

Kamadaki kesilme gerilmesi eşitliğinden

$$\ell \geq \frac{F'_l}{b \cdot \tau_{\text{em}}} = \frac{477,5}{0,8 \cdot 300} = 1,989 \text{ cm}$$

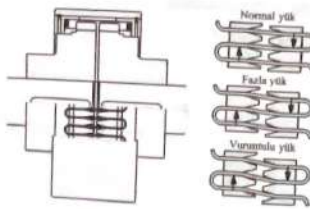
ve göbeğinin ezilmesi eşitliğinden

$$\ell \geq \frac{F'_l}{(h - t_1) p_{\text{em}}} = \frac{477,5}{(0,7 - 0,41) \cdot 550} = 2,993 \text{ cm}$$

Böylece kama uzunluğu olarak $\ell=30 \text{ mm}$ olur. Ancak flenş göbek uzunluğu $L=45 \text{ mm}$ için bu boy uygun bir çalışmaya cevap vermez. Bu nedenle uyumlu bir çalışma için kama uzunluğunun en az $\ell=40 \text{ mm}$ seçilmesi gerekmektedir.

Problem 22.8

Bir gezer vincin elektrik motoru ile reduktörünün bağlantısı Bibby kavraması ile yapılmıştır. Motorun gücü $P=10 \text{ kW}$ ve devir sayısı $n=720 \text{ d/d}$ dir. Kavrama flenşlerinin dış sayısı $z=40$, dişli ortalama çapı $D=200 \text{ mm}$ ve yay kolları arasındaki uzaklık $\ell=80 \text{ mm}$ olarak verilmektedir. Yay malzemesinin emniyeti $\sigma_m=80 \text{ daN/mm}^2$ olduğuna göre kavrama kaç misli emniyetle çalışmaktadır? Kullanılan band yayın boyutları $b=8 \text{ mm}$ ve $h=1,6 \text{ mm}$ dir.



Şekil 22.8

Cözüm 22.8

Kavramadaki yay eğilme zorlanması etkisindedir.

$$\sigma_e = \frac{F \ell / 2}{b h^2 / 6} \leq \sigma_m$$

Buradan

$$F = \left(\frac{1}{6} b h^2 \sigma_m \right) \frac{2}{\ell} = \frac{b h^2}{3 \cdot \ell} \sigma_m = \frac{8 \cdot (1,6)^2}{3 \cdot 80} \cdot 80 = 6,83 \text{ daN}$$

Ayrıca yay koluna etkiyen kuvvet olarak

$$F = \frac{M_z}{z \cdot R}$$

eşitliğinden kavrama momenti olarak

$$M_z = z \cdot R \cdot F = 40 \cdot 10 \cdot 6,83 = 2732 \text{ daNm}$$

İletilmesi gereken moment

$$M_s = 97400 \cdot \frac{P}{n} = 97400 \cdot \frac{10}{720} = 1353 \text{ daNm}$$

olduğundan kavramanın çalışma emniyeti

$$k = \frac{M_z}{M_s} = \frac{2732}{1353} \approx 2$$

olmaktadır.

Problem 22.9

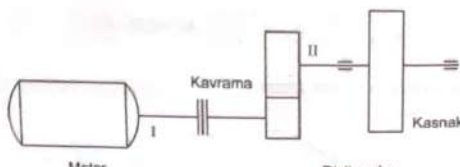
Şekildeki tertibatta güç传递, yağ içinde çalışan ve lameilleri sertleştirilmiş çelikten yapılmış bir kavrama tarafından gerçekleştirilmektedir. I nolu milin döème sayısı 1000 d/d, eksene indirgenmiş külesel eylemsizlik momenti $1,25 \text{ kgm}^2$, II nolu milin döème sayısı 500 d/d ve indirgenmiş külesel eylemsizlik momenti $6,25 \text{ kgm}^2$ dir. Kavrama 2,6 s'de devreye girmekte ve bu işlem saatte 20 kez tekrarlanmaktadır. Lameillerin sürünme yüzeylerinin dış çapı 140 mm , iç çapı 100 mm , sürünme yüzeyi sayısı 14, yüzeyler arasındaki sürünme katsayısı 0,05 ve kayış kasnağından alınan güç 8 kW olarak bilinmektedir. Buna göre:

- Yüksüz durumda kavrama momenti nedir?
- Toplam kavrama momenti ne olmalıdır?
- $0,11 \text{ daN/mm}^2$ lik yüzey basıncının yeterli olup olmadığını söyleyiniz.
- Sürünmeye harcanan güç kaç kW'tır?

Not: $(J_n)_i = J_{n1} + J_{n2} \cdot (n_i / n_1)^2 + J_{n3} \cdot (n_i / n_1)^3 + \dots$

Cözüm 22.9

a) Yüksüz durumda sadece ivmelenme momenti gereklidir.



Şekil 22.9

Kavramada etkili kütlesel eylemsizlik momenti

$$(J_{\text{u}})_i = (J_{\text{u}})_1 + (J_{\text{u}})_2 \left(\frac{n_2}{n_1} \right)^2 = 1,25 + 6,25 \left(\frac{500}{1000} \right)^2 = 2,81 \text{ kgm}^2$$

$1 \text{ kg} = 1 \text{ Ns}^2/\text{m}$ ve $1 \text{ kgm}^2 = 1 \text{ Nms}^2$ olduğundan $(J_{\text{u}})_i = 0,281 \text{ daNm s}^2$ olur.

Açısal ivme

$$\alpha = \frac{\pi n_1}{30 I_g} = \frac{\pi \cdot 1000}{30 \cdot 2,6} = 40,27 \text{ 1/s}^2$$

Böylesce ivmelenme momenti

$$M_s = (J_{\text{u}}) \alpha = 0,281 \cdot 40,27 = 11,3 \text{ daNm}$$

olmalıdır. Yüksük durumda $M_k = M_s$ olmaktadır.

b) Yapılan iş için gerekli moment

$$M_k = 974, \frac{P}{n_1} = 974, \frac{8}{500} = 15,6 \text{ daNm}$$

Toplam kavrama momenti

$$M_i = M_s + M_k = 11,3 + 15,6 = 26,9 \text{ daNm}$$

c) Kavramanın sürtünme yarıçapı

$$r_u = \frac{2}{3} \frac{r_d^3 - r_i^3}{r_d^3 - r_i^3} = \frac{2}{3} \frac{7^3 - 5^3}{7^3 - 5^3} = 6,055 \text{ cm}$$

Sürtünme yüzeyi sayısı 14 ve sürtünme katsayısı 0,05 olduğuna göre kavramayı kapamak için gerekli eksenel kuvvet

$$F_e = \frac{M_k}{i \cdot \mu \cdot r_u} = \frac{2690}{14 \cdot 0,05 \cdot 6,055} = 634,7 \text{ daN}$$

Bu kuvvetin kavrama yüzeyinde oluşturduğu basınç

$$p = \frac{F_e}{\pi \cdot (r_d^2 - r_i^2)} = \frac{634,7}{\pi \cdot (7^2 - 5^2)} = 8,4 \text{ daN/cm}^2$$

Buna göre $p = 8,4 \text{ daN/cm}^2 < p_{\text{es}} = 11 \text{ daN/cm}^2$ uygundur.

d) Kavramada sürtünme yoluyla kaybolan iş

$$W_k = M_s \cdot \frac{\omega}{2} \cdot z = 26,9 \cdot \frac{\pi \cdot 1000}{30 \cdot 2} \cdot 2,6 \cdot 20 = 73241 \text{ daNm/h}$$

Kayıp güç

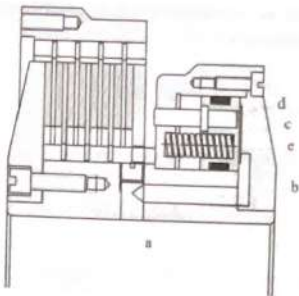
$$P_t = \frac{W_k}{102.3600} = \frac{73241}{102.3600} = 0,2 \text{ kW}$$

olmaktadır.

Problem 22.10

Şekil 22.10'da bir pres üzerinde çalışan ve basınçlı hava ile devreye giren bir lamelli kavrama görülmektedir. Kavrama milinin devir sayısı $n=350 \text{ d/d}$, gerekli iş makinası momenti $M_s = 1800 \text{ daNm}$, harekete geçirilecek kütlenin kavrama miline indirgenmiş eylemsizlik momenti $J_{\text{u}} = 62 \text{ daNs}^2/\text{cm}$ ve kavramanın devreye girme zamanı 0,9 s olduğuna göre:

- 4800 daNm'lik kavrama momentinin ve devreye girme zamanının yeterli olup olmadığını araştırınız.
- Kavrama, saatte 20 defa devreye girdiğine göre meydana gelen ısı ne kadar? Kavramanın ısı iletkenlik katsayıısı $\alpha = 80000 \text{ J/m}^2\text{Ch}$, soğuma yüzeyi alanı $A_s = 0,06 \text{ m}^2$ ve ortam sıcaklığı 20°C için kavrama sıcaklığı ne olur?



Şekil 22.10

Cözüm 22.10

a) Kavramanın hızlanma momenti (ivmeleinme momenti)

$$M_s = J_s \cdot \varepsilon = J_s \cdot \frac{\pi \cdot n}{30 J_s} = 62 \cdot \frac{\pi \cdot 350}{30 \cdot 0,9} = 2525 \text{ daNm}$$

İş makinası momenti $M_i = M_s = 1800 \text{ daNm}$ olduğuna göre toplam kavrama momenti

$$M_t = M_s + M_i = 2525 + 1800 = 4325 \text{ daNm}$$

Kavramanın itelebileceği moment $M_e = 4800 \text{ daNm}$ olduğuna göre kavrama emniyeti ve devreye girmeye zamanı uygundur.

b) Kavramada sürtünmenin sebep olduğu kayıp iş

$$W_s = M_s \cdot \frac{\omega}{2} \cdot I_s \cdot x = 43,25 \cdot \frac{\pi \cdot 350}{30 \cdot 2} \cdot 0,9 \cdot 20 = 14266,8 \text{ daNm/h}$$

ve bunun işi olarak karşılığı

$$Q_s = 10 \cdot W_s = 10 \cdot 14266,8 = 142668 \text{ J/h}$$

olur. Diğer taraftan kavramadan dışarı atılan ısı:

$$Q_i = A_i \alpha \Delta t$$

Burada $Q_i = Q_s$ alınarak

$$\Delta t = \frac{Q_s}{A_i \alpha} = \frac{142668}{0,06 \cdot 80000} = 29,7 \text{ }^{\circ}\text{C}$$

Ortam sıcaklığı $t_i = 20 \text{ }^{\circ}\text{C}$ için kavrama sıcaklığı

$$t_s = \Delta t + t_i = 29,7 + 20 = 49,7 \text{ }^{\circ}\text{C}$$

olmaktadır.

Problem 22.11

Bir iş makinasının volanı $W=276,6 \text{ daN}$ ağırlığında ve çapı $D=60 \text{ cm}$ dir. Volan bir lamelli kavrama ile elektrik motorundan hareket almaktadır. Volanın döème hızı $n=600 \text{ d}^{-1}$ bulduğu zaman açısal ivme sıfır olmaktadır ve bundan sonra makinanın işi için değişmeyen $P=12 \text{ BG}$ lük bir güç vermektedir. Kavrama plakalarının sürtünme yançapları $r_d=6 \text{ cm}$, $r_i=4 \text{ cm}$; sürtünme katsayıısı $\mu=0,3$ ve emniyetli yüzey basıncı $p_m=5 \text{ daN/cm}^2$ dir. Kavrama zamanının 12 s olması istenirse,

- Kavramanın sürtünme yüzeyi sayısı en az kaç tane olmalıdır?
- Kavramadaki hızlanmanın doğrusal gelişğini varsayıarak, kavrama bağlılığı andan kaç saniye sonra volanın hareket etmeye başlayacağını bulunuz.

Not: Kavramadaki ivmeleinmenin sadece volan sebebi ile olduğu göz önüne alınacak olup kütlesi $= 28,2 \text{ daNs}^2/\text{m}$ alınacaktır.

Cözüm 22.11

a) İş makinası için gerekli moment

$$M_t = M_s = 716,2 \cdot \frac{P}{n} = 716,2 \cdot \frac{12}{600} = 14,324 \text{ daNm}$$

Kütlesel eylemsizlik momenti

$$J_n = m \cdot i^2 = m \left(\frac{D}{2} \right)^2 = 28,2 \left(\frac{0,6}{2} \right)^2 = 2,538 \text{ daNs}^2 \text{m}$$

ve açısal ivme

$$\varepsilon = \frac{\pi \cdot n}{30 J_R} = \frac{\pi \cdot 600}{30 \cdot 12} = 5,24 \text{ } 1/\text{s}^2$$

olduğuna göre ivmelenme momenti

$$M_z = J_n \cdot \ddot{\theta} = 2,538,5,24 = 13,3 \text{ daNm}$$

O halde kavrama momenti

$$M_i = M_g + M_z = 13,3 + 14,324 = 27,624 \text{ daNm}$$

Sürtünme yan çapı

$$r_a = \frac{2}{3} \frac{r_d^3 - r_i^3}{r_d^3 - r_i^3} = \frac{2}{3} \frac{6^3 - 4^3}{6^3 - 4^3} = 5,066 \text{ cm}$$

Yüzey basıncı

$$p = \frac{F_c}{\pi(r_d^2 - r_i^2)} \leq p_{\text{on}}$$

eşitliğinden kavramanın kapama kuvveti

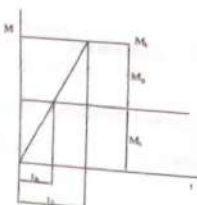
$$F_c = \pi(r_d^2 - r_i^2) \cdot p_{\text{on}} = \pi(6^2 - 4^2) \cdot 5 = 314 \text{ daN}$$

Buna göre kavramada gerekli olan yüzey sayısı

$$z = \frac{M_i}{F_c \cdot \mu r_a} = \frac{2762,4}{314 \cdot 0,3 \cdot 5,066} = 5,788$$

olup $z = 6$ adet alınmalıdır.

- c) İvmelenmenin doğrusal olduğunu göz önüne alarak moment-zaman diyagramı ölçüklü çizildiğinde volanın hareket etmeye başlaması için $t_s = 6,2$ s'nin gerekli olduğu görülmür. Ayrıca çizilen diyagramdan yararlanarak $\frac{M_s}{t_s} = \frac{M_L}{t_L}$ yazılımdından $t_L = \frac{M_L t_s}{M_s} = \frac{14,324 \cdot 1,2}{27,624} = 6,22 \text{ s}$ bulunur.



Problem 22.12

Bir takım tezgahının çalışması için 10,4 daNm'lik bir döndürme momentine ihtiyaç vardır. Hareket iletiminde kullanılan lamelli emniyet kavramasının dönme eksenine indirgenmiş kütleşel eylemsizlik momenti $1,8 \text{ Nms}^2$ olup milin açısal hızı 110 l/s dir. Sürtünme yüzeyinin dış çapı 160 mm , iç çapı 100 mm , sürtünme yüzeyi sayısı 4 ve ortalama yüzey basıncı 7 daN/cm^2 olarak biliniyor. Sessiz bir çalışma temin etmek bakımından lamellerin yağlanması gerekmektedir.

- a) Kavramanın $4 \text{ s}'de$ devreye girmesi için toplam kavrama momentinin en çok ne kadar olması gereklidir?
b) İletilen moment $\%30$ artığında kavramanın devre dışı kalması için sürtünme yüzeyi malzemesini seçiniz.

Cözüm 22.12

a) Kavramadaki ivme momenti

$$M_s = J_n \cdot \ddot{\theta} = J_n \cdot \frac{\omega}{t_s} = 0,18 \cdot \frac{110}{4} = 4,95 \text{ daNm}$$

İş makinası için gerekli olan $M_L = 10,4 \text{ daNm}$ değeri ile toplam kavrama momenti

$$M_i = M_g + M_s = 4,95 + 10,4 = 15,35 \text{ daNm}$$

olmalıdır.

b) Kavrama momentinin $\%30$ fazlası

$$M_i = 1,3 \cdot M_s = 1,3 \cdot 15,35 = 19,995 \text{ daNm}$$

Diğer taraftan

$$M_i = F_c \cdot \mu r_a \cdot z$$

eşitliğinden

$$F_c = \pi(r_d^2 - r_i^2) \cdot p = \pi(8^2 - 5^2) \cdot 7 = 857,7 \text{ daN}$$

$$r_a = \frac{2}{3} \frac{r_d^3 - r_i^3}{r_d^3 - r_i^3} = \frac{2}{3} \frac{8^3 - 5^3}{8^3 - 5^3} \approx 6,61 \text{ cm}$$

ve sürtünme yüzeyi sayısının $i=4$ olduğu hatırlandığında bu kavrama için gerekli olan sürtünme katsayıısının

$$\mu = \frac{M_i}{F_i r_n j} = \frac{1999,5}{857,7 \cdot 6,14} = 0,088$$

olduğu görülür. Yağlı çalışma şartları için düşük sıcaklıkta fenolik plastik/dökme demir (veya çelik) çifti ile daha yüksek sıcaklık sınırlında sinter bronzu/dökme demir (veya çelik) çifti malzemelerin uygun olduğu görülür.

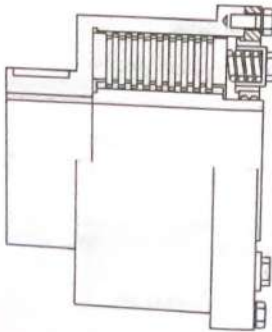
Problem 22.13

$k.P/n=0,243$ olan bir lamelli emniyet kavramasında lamel malzemesi DDL30, hafif yağlı kavramada sürtünme katsayısı $\mu=0,08$, yüzey basıncı $p_m=55 \text{ daN/cm}^2$, sürtünme halkası genişliği $b=35 \text{ mm}$, ortalamalı sürtünme çapı $d_m=220 \text{ mm}$, mil malzemesi F_42 ($r_m=125 \text{ daN/cm}^2$) olarak bilinmektedir.

- a) Sürtünme yüzeyi sayısını bulunuz.
- b) Çevrede $D=20 \text{ mm}$ ortalamalı sanım çapında 10 adet helisel bası yayı kullanıldığında göre yay teli çapını ve yayın sanım sayısını hesaplayınız. Yay malzemesi için $r_m=45 \text{ daN/mm}^2$, $G=8 \cdot 10^3 \text{ daN/mm}^2$ ve yayın en büyük yayılma miktarı $f=6 \text{ mm}$ 'dir.

Cözüm 22.13

- a) En büyük güç传递i göz önüne alındığında kavrama momenti döndürme momentine eşit olacağından



Şekil 22.13

$$M_i = M_k = 71620 \cdot \frac{P}{n} \cdot k = 71620 \cdot 0,243 = 17404 \text{ daNcm}$$

olur. Kullanılan milin çapı

$$d = \sqrt{\frac{16 \cdot M_s}{\pi \cdot r_m}} = \sqrt{\frac{16 \cdot 17404}{\pi \cdot 125}} = 8,917 \text{ cm}$$

Buradan $d=90 \text{ mm}$ alınır.

Sürtünme kuvveti (ortalama çevre kuvveti)

$$F_s = \frac{2 \cdot M_s}{d_m} = \frac{2 \cdot 17404}{22} = 1582 \text{ daN}$$

Toplam normal kuvvet (toplam eksenel kuvvet)

$$F = \frac{F_s}{\mu} = \frac{1582}{0,08} = 19775 \text{ daN}$$

Diğer taraftan toplam normal kuvvet

$$F = \pi \cdot d_m \cdot b \cdot p_m \cdot z$$

olmaktadır. Buradan sürtünme yüzeyi sayısı

$$z = \frac{F}{\pi \cdot d_m \cdot b \cdot p} = \frac{19775}{\pi \cdot 22 \cdot 3,5 \cdot 5} = 16,35$$

O halde sürtünme yüzeyi sayısı $z = 18$ alınmalıdır.

- b) Eksenel kapama kuvveti (flenş baskı kuvveti)

$$F_e = \frac{F}{z} = \frac{19775}{18} = 1098,6 \text{ daN}$$

Her bir yaydaki bası kuvveti

$$F_i = \frac{F_e}{10} = \frac{1098,6}{10} = 110 \text{ daN}$$

Yayın taşıyabileceğini en büyük yük

$$F_{\text{maz}} = F_i = \frac{\pi}{8} \cdot \frac{(d')^3}{D} \cdot r_m$$

Buradan yay tel çapı

$$d' = \sqrt{\frac{8}{\pi} \cdot \frac{F_i}{r_m} \cdot D} = \sqrt{\frac{8}{\pi} \cdot \frac{110}{45} \cdot 20} = 4,99 \text{ mm}$$

Böylece kullanılacak yayın tel çapı $d' = 5 \text{ mm}$ seçilir. Yaydaki şekil değiştirme (çökme) miktarı

$$f = \frac{8}{G} \cdot \frac{D'}{(d')^4} \cdot I \cdot F_i$$

eşitliğinden sarım sayısı

$$I = \frac{G}{8} \cdot \frac{(d')^4}{D'} \cdot \frac{f}{F_i} = \frac{8000}{8} \cdot \frac{5^4}{20} \cdot \frac{6}{110} = 4,26$$

Toplam sarım sayısı

$$i_{\text{tp}} = I + 1,5 = 4,26 + 1,5 = 5,76$$

O halde $i_{\text{tp}} = 6$ alınır

Toplam (serbest) yay uzunluğu

$$L = i_{\text{tp}} \cdot d' + 0,17 \cdot d \cdot j + f = 6,5 + 0,17 \cdot 5,4 \cdot 2,6 + 6 = 40 \text{ mm}$$

olmalıdır.

Problem 22.14

Bir lamelli kavramada iç lamel sayısı 9, iç lamellerin dış yarı çapı 120 mm ; dış lamel sayısı 8, dış lamellerin iç yarı çapı 80 mm , sürtünme katsayısı $\mu = 0,08$ ve yüzey basıncı $p = 5 \text{ daN/cm}^2$ olduğuna göre;

- a) Kavramanın 1000 d/d da iletibileceği en büyük gücü hesaplayınız.
- b) Kavramayı kapamak için gereken eksenel kuvvet ne kadardır?

Cözüm 22.14

- a) Kavrama momenti

$$M_i = \frac{2}{3} \cdot \pi \cdot p \cdot \mu \cdot z \cdot (r_d^3 - r_i^3)$$

Burada kavramanın sürtünme yüzeyi sayısı $z = 2 \cdot n_e = 16$ olduğuna göre:

$$M_i = \frac{2}{3} \cdot \pi \cdot 5 \cdot 0,08 \cdot 16 \cdot (12^3 - 8^3) = 16299,4 \text{ daNcm}$$

Diğer taraftan, en büyük moment değeri için $k=1$ olacağından, iletlenen moment kavrama momentine eşit olacaktır. Bu nedenle

$$M_b = \frac{M_i}{k} = 71620 \cdot \frac{P}{n}$$

eşitliğinden iletilecek güç

$$P = \frac{n \cdot M_b}{71620} = \frac{1000 \cdot 16299,4}{71620} = 227,6 \text{ BG}$$

olur.

b) Yüzey basıncı

$$p = \frac{F_i}{\pi \cdot (r_d^2 - r_i^2)}$$

eşitliğinden eksenel kapama kuvveti

$$F_i = \pi \cdot (r_d^2 - r_i^2) \cdot P = \pi \cdot (12^2 - 8^2) \cdot 5 = 1256,6 \text{ daN}$$

bulunur.

Problem 22.15

960 d/d da 18 kW güç taşıyan iki milin bağlantı konik kavrama ile yapılmıştır. Konik yüzeyin ortalama çapı 140 mm , genişliği 30 mm ve konik açısı 26° olarak bilinmektedir.

- a) Sürtünme yüzeyi için uygun malzeme çiftini seçiniz.
- b) Konik yüzeyin iç ve dış yarıçaplarını hesaplayınız.
- c) 2800 daNcm lik kavrama momenti ve $1,8 \text{ kgm}^2$ lik dönen kütlelerin eksene indirgenmiş kütlesel eylemsizlik momenti için kavramanın devreye girmeye zamanını bulunuz.

Cözüm 22.15

a) konik kavramada kilitlenme (otoblokaj) olmaması için $\alpha > \rho$ şartı aranır. Problemlimizde $\alpha = 26/2 = 13^\circ$ olduğuna göre ($\tan \alpha = 0,23$)

$$\mu < \tan \alpha = 0,23$$

olmalıdır. Böylece, çalışmanın kuru sürtünme koşullarında birçok malzemenin bu şartı sağladığı görüür (Cetvel 22.1). Yüzey malzemesi olarak dökme demir/çelik çifti seçilirse $\mu = 0,20$ ve $p_{se} = 10 \text{ daN/cm}^2$ değerleri alınabilir.

b) Konik yüzeyin iç yarıçapı

$$r_i = r_w - \frac{b}{2} \sin \alpha = 70 - \frac{30}{2} \sin 13 = 66,6 \text{ mm} \text{ ve dış yarıçapı}$$

ve dış yarıçapı

$$r_o = r_w + \frac{b}{2} \sin \alpha = 70 + \frac{30}{2} \sin 13 = 73,4 \text{ mm}$$

c) İş makinası momenti

$$M_i = M_s = 97400 \cdot \frac{P}{n} = 97400 \cdot \frac{18}{960} = 1826 \text{ daNm}$$

Kavramanın ivmelenme momenti

$$M_b = M_k - M_L = 2800 - 1826 = 974 \text{ daNm}$$

Ayrıca $M_s = J_w \cdot \varepsilon$ ve $J_w = 1,8 \text{ kgm}^2 = 1,8 \text{ Ns}^2 \text{ m}$ olduğuna göre

$$\varepsilon = \frac{M_s}{J_w} = \frac{97,4}{1,8} = 54,11 \text{ } 1/\text{s}^2$$

Böylece devreye girme zamanı

$$t_L = \frac{\pi n}{30 \cdot \varepsilon} = \frac{\pi \cdot 960}{30 \cdot 54,11} = 1,85 \text{ s}$$

olmaktadır.

Problem 22.16

Tek konili sürtünmeli bir kavrama 1250 d/d da $37,5 \text{ BG}$ güç iletmektedir. Sürtünme konik yüzeyinin en büyük çapı 35 cm , koni açısı 16° , konik yüzeyin genişliği 13 cm ve sürtünme katsayı $0,2$ 'dir. Buna göre:

- Moment iletimi için gereklili eksenel kapama kuvveti ne kadardır?
- Kavramayı devreye sokmak için gereklili eksenel kuvvet ne kadardır? (devreye girme, kavramanın her iki flenşti hareketsizken ve flenşlerden biri hareket halinde diğer dururken ayrı ayrı incelenecaktır.)
- Kavrama en büyük momentle yüklenliğinde temas yüzeylerindeki ortalama basınç ne olmaktadır?

Cözüm 22.16

a) Kavrama momenti

$$M_i = \frac{F_i}{\sin \alpha} \cdot \mu r_w$$

Burada en büyük güç iletimi için $k=1$ alınırsa

$M_i = M_s$
olur. O halde

$$M_s = 71620 \cdot \frac{P}{n} = 71620 \cdot \frac{37,5}{1250} = 2148,6 \text{ daNm}$$

$$\alpha = 16/2 = 8^\circ$$



Konik iç çapı

$$d_i = d_x - 2b \sin \alpha = 35 - 2 \cdot 13 \sin 8 = 31,38 \text{ cm}$$

Sürtünme yarıçapı:

$$r_w = \frac{2}{3} \frac{r_d^3 - r_i^3}{r_d^3 - r_i^2} = \frac{2}{3} \frac{(17,5)^3 - (15,69)^3}{(17,5)^3 - (15,69)^2} = 16,61 \text{ cm}$$

Böylece eksenel kapama kuvveti

$$F_i = \frac{M_i \cdot \sin \alpha}{\mu r_w} = \frac{2148,6 \cdot \sin 8}{0,2 \cdot 16,61} = 90 \text{ daN}$$

Diger bir çözüm yolu:
Kavrama (sürtünme) momenti

$$M_i = F_i r_a$$

Buradan sürtünme kuvveti

$$F_s = \frac{M_i}{r_a} = \frac{2148,6}{16,61} = 129,35 \text{ daN}$$

Normal kuvvet

$$F_n = \frac{F_s}{\mu} = \frac{129,35}{0,2} = 646,75 \text{ daN}$$

Buradan eksenel kuvvet

$$F_r = F_s \cdot \sin \alpha = 646,75 \cdot \sin 8^\circ = 90 \text{ daN}$$

b) Flenşlerin her ikisi de hareketsiz iken sürtünme kuvvetinin eksenel bileşeni de göz önüne alınacağından devreye girme kuvveti

$$F'_s = F_s (\sin \alpha + \mu \cos \alpha) = 646,75 (\sin 8^\circ + 0,2 \cos 8^\circ) = 218 \text{ daN}$$

Kavrama flenşlerinden biri hareket halinde iken devreye girme kuvveti.

$$F_s = F_s \cdot \sin \alpha = 646,75 \cdot \sin 8^\circ = 90 \text{ daN}$$

olmaktadır.

c) Temas yüzeyindeki normal kuvvet

$$F_n = \pi d_a b p$$

eşitliğinden ortalamaya yüzey basıncı

$$p = \frac{F_s}{\pi d_a b} = \frac{646,75}{\pi \cdot 33,22 \cdot 13} = 0,477 \text{ daN/cm}^2$$

olarak bulunur.

Problem 22.17

Bir konik kavrama $P=20 \text{ BG}$ ve $n=700 \text{ d/d}$ ile çalışmaktadır. Kavramanın mile indirgenmiş kütleşef eylemsizlik momenti $J_a=0,7 \text{ daNm s}^2$ dir. Kavrama $t_s=3 \text{ s}$ 'de devreye girmekte ve bu işlem saatte $z=12$ kez tekrarlanmaktadır. Kavramanın

sürtünme yüzeyi dökme demir/kösele çiftinden olup $\mu=0,3$, $p_m=0,7 \text{ daN/cm}^2$, konik yarı açısı $\alpha=12,5^\circ$ ve ortalama konik çapı $d_a = 55 \text{ cm}$ dir. Buna göre;

- a) Kavramada sürtünme yoluyla kaybolan gücü hesaplayınız.
- b) Kavramanın kaplama yüzeyi genişliği (b) ne kadardır?

Cözüm 22.17

a) Yük momenti (ış makinası momenti)

$$M_i = M_s = 71620 \cdot \frac{P}{n} = 71620 \cdot \frac{20}{700} = 2046 \text{ daNm}$$

İvmelenme momenti

$$M_p = J_{a \cdot E} = J_a \cdot \frac{\pi n}{30 I_s} = 0,7 \cdot \frac{\pi \cdot 700}{30 \cdot 3} = 17,1 \text{ daNm}$$

Kavrama momenti (sürtünme momenti)

$$M_i = M_s + M_p = 2046 + 1710 = 3756 \text{ daNm}$$

Sürtünme işi (ışı olarak açığa çıkan kayıp ış)

$$W = \frac{1}{2} M_s \omega I_s = \frac{1}{2} \cdot 37,56 \cdot \frac{\pi \cdot 700}{30} \cdot 3 = 4130 \text{ daNm}$$

Sürtünmeye harcanan saatteki güç

$$P_s = \frac{W}{75,3600} z = \frac{4130}{75,3600} \cdot 12 = 0,183 \text{ BG}$$

b) Kavrama yüzeyindeki normal kuvvet

$$F_n = \pi d_a b p$$

Diğer taraftan bu normal kuvvet

$$F_n = \frac{2 \cdot M_i}{d_a \cdot \mu} = \frac{2 \cdot 3756}{55 \cdot 0,3} = 455,3 \text{ daN}$$

Böylece kavrama yüzeyi (kaplama) genişliği

$$b = \frac{F_s}{\pi d_w p} = \frac{455,3}{\pi \cdot 55,08} = 3,3 \text{ cm}$$

olarak bulunur.

Problem 22.18

Bir çift konik sürtünme yüzeyli kavramada; iletilen güç $P=120 \text{ BG}$, dönme sayısı $n=1000 \text{ d/d}$, sürtünme yüzeyinin küçük çapı $d_i=350 \text{ mm}$, sürtünme katsayısı $\mu=0,3$, yüzey basıncı $p_m=5 \text{ daN/cm}^2$ ve emniyet faktörü $k=1,5$ olarak bilinmektedir. Buna göre:

- a) Kavramanın koni açısı ne olmalıdır?
- b) Sürtünme yüzeyinin büyük çapı ve genişliği ne kadardır?
- c) Kavramayı kapama kuvveti (eksenel kuvvet) ne kadardır?

Cözüm 22.18

a) Konik kavramalarda, kavramanın kolay çözülebilisi için (otoblokaj olmaması) $\alpha > \rho$

olmalıdır. Burada $\mu=0,3$ ve $\tan \rho = \mu$ için $\rho \approx 16,7^\circ$ dir. Böylece $\alpha = 18^\circ$ alınabilir.

b) İletilecek moment

$$M_s = 71620 \cdot \frac{P}{n} = 71620 \cdot \frac{120}{1000} = 8594,4 \text{ daNm}$$

Emniyet değeri ile kavrama momenti

$$M_s = k \cdot M_e = 1,5 \cdot 8594,4 = 12891,6 \text{ daNm}$$

Diğer taraftan kavrama momenti

$$M_s = \frac{2 \cdot \pi}{3 \cdot \sin \alpha} \cdot p \cdot \mu \cdot (r_d^3 - r_i^3) \cdot z$$

Sürtünme yüzeyi sayısı $z=2$ alınırsa (çift konik kavrama) Kavramanın dış yarıçapı

$$r_d = \sqrt[3]{\frac{3 \cdot M_s \cdot \sin \alpha}{4 \cdot \pi \cdot p \cdot \mu}} + r_i^3 = \sqrt[3]{\frac{3 \cdot 12891,6 \cdot \sin 18}{4 \cdot \pi \cdot 5,03}} + (17,5)^3 = 18,1645 \text{ cm}$$

Böylece $r_d=182 \text{ mm}$ alınırsa kavramanın dış çapı $d_d \geq 364 \text{ mm}$ olur.

Sürtünme yüzeyi genişliği

$$b = \frac{r_d - r_i}{\sin \alpha} = \frac{18,2 - 17,5}{\sin 18} = 2,265 \text{ cm}$$

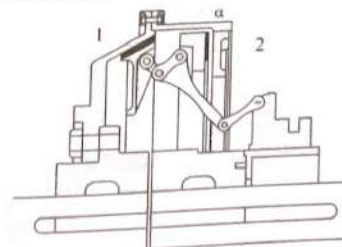
c) Eksenel kapama kuvveti

$$F_e = \pi \cdot (r_d^3 - r_i^3) \cdot p_m = \pi \cdot (18,2^3 - 17,5^3) \cdot 5 = 392,5 \text{ daN}$$

olmaktadır.

Problem 22.19

Bir düz diken konik iki sürtünme yüzeyine sahip çözülebilin bir kavramada konik ve düz sürtünme yüzeylerinin küçük çapları $d_i=125 \text{ mm}$, büyük çapları $d_d=175 \text{ mm}$ ve koni yarı açısı $\alpha=15^\circ$ dir. Eksenel kapama kuvveti $F_e=500 \text{ daN}$, yüzeyler arasındaki sürtünme katsayısı $\mu=0,2$ ve $n=1000 \text{ d/d}$ lik dönme durumunda bu kavrama ile taşınabilecek en büyük güç ne kadardır?



Şekil 22.19

Cözüm 22.19

Kavramanın taşıyabileceği moment

$$M_s = F_e \cdot \mu \cdot r_n \cdot (l + \frac{1}{\sin \alpha})$$

Burada

$$r_n = \frac{2}{3} \cdot \frac{r_d^3 - r_i^3}{r_d^3 - r_i^2} = \frac{2}{3} \cdot \frac{(8,75)^3 - (6,25)^3}{(8,75)^3 - (6,25)^2} = 7,57 \text{ cm}$$

olduğuna göre

$$M_i = 500.0,27,57.(1 + \frac{1}{\sin 15}) \geq 3682 \text{ daNcm}$$

Diğer taraftan

$$M_i = k \cdot M_i$$

eşitliğinde en büyük güç iletimi için $k=1$ olacağına göre

$$M_i = M_s = 71620 \cdot \frac{P}{n}$$

olur. Böylece iletilecek en büyük güç

$$P = \frac{3682 \cdot 1000}{71620} = 51,41 \text{ BG}$$

olmaktadır.

BÖLÜM: F

DESTEKLEME ELEMANLARI

23. YAĞLAMA TEKNİĞİ

Makina parçalarının desteklenmesi için kullanılan yataklar, makina içinde göze az çarpan, fakat fonksiyon itibarıyle hayatı önem taşıyan elemanlardır. Bir yataktaki:

1. Sırtırınme ve buna bağlı kayıplar az olmalı
2. Geometrik şeklinin bozulmaması için aşınmalar az olmalı
3. Sıcaklık emniyet sınırlarını aşmamalıdır.

Bu üç istekten en önemli hiç şüphe yok ki sırtırınmedir. Çünkü yataktaki aşınma ve ısınma sırtırınme sonucu meydana gelmektedir.

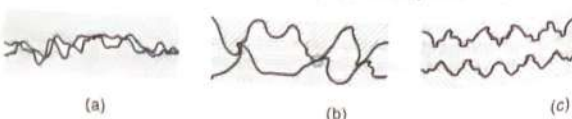
Aşınma, bugün hala sebebi ve çözümü tam olarak açıklığa kavuşturulamamış bir problem olarak dursmaktadır. Ancak en önemli sebepleri arasında adhezyon (kaynarma), talaş kaldırarak kazırma, kimyasal etkileşim ile oluşan korozyon ve çukurcuk teşkili (pitting) sayılabilir. Yatağın çalışması esnasında oluşan sırtırınme işi ve bunun ısı olarak karşılığı, Bölüm 24.3'de inceleneceliktr.

23.1. Sırtúnme

Birbir üzerinde hareket eden parçalar arasında daima bir sırtúnme vardır. Sırtúnme, birbirine göre bağılı harekette bulunan cisimlerin (parçaların) temas yüzeylerinin karşılıklı gösterdikleri dirençtir. Sırtúnme güç kaybı, ısınma ve aşınma meydana getirir. Sırtúnme ile aşınmayı da azaltmak için hareketli yüzeyler arasında uygun yağlayıcılar kullanılır.

Temastaki hareketli parçalar arasında oluşan harekeller; kayma, yuvarlanma veya kayma ve yuvarlanma şeklinde olabilir. O halde sırtúnme de kayma sırtúnmesi, yuvarlanma sırtúnmesi, kayma ve yuvarlanma sırtúnmesi adını alır. Ayrıca bağılı harekette bulunan cisimler arasında herhangi bir yağlayıcı madde yoksa yani ikinci cisim doğrudan temas halinde ise bu durumda kuru sırtúnme (Şekil 23.1a), yüzeyler arasında bir yağlayıcı madde kullanılmışsa halinde ya yüzeyler birbirinden tamamen ayrılr ve esas sırtúnme yağlayıcı maddenin molekülleri arasında olur ki bu tür sırtúnmeye sıvı sırtúnme (Şekil 23.1c) veya yüzeyler yağlayıcı madde ile tamamen birbirinden ayrılmazlar ki buna da sınır (yarı sıvı) sırtúnme (Şekil 23.1b) adı verilir. Yarı sıvı sırtúnmede yüzeyler birbirinden kısmen ayrılmış olmasına karşın, yüzeyin mikro geometrisindeki büyük pürüzler birbirine temas ederek doğrudan sırtúnmayı oluştururlar. Temasın çoğuluğu sıvı molekülleri arasındadır.

Kaymali yataklarda arzu edilen sırtúnme şekli sıvı sırtúnmesidir. Sıvı sırtúnmesinde yüzeyler arasında bulunan yağ tabakasındaki basınç dış kuvvet dengeleyecek değere ulaşlığı taktirde yüzeyler tamamen birbirinden ayrılmış olur. Sıvı sırtúnmesinin oluşmasında rol oynayan etken etken yağ tabakasında oluşan basınçtır. Bu basınç hidrodinamik ve hidrostatik olarak iki şekilde oluşabilir.



Şekil 23.1 Sırtúnme şekilleri
a.kuru sırtúnme
b.yarı sıvı sırtúnme
c.sıvı sırtúnme

Hidrodinamik sıvı sırtúnmesinde, yüzeyin geometrisine uygun olarak yağ tabakasında kendi kendine bir basınç alanı olur. Basınçlı bir yağ tabakasının oluşabilmesi ve bunun devamı için yüzeylerin geometrik yapısından başka birbirlerine göre belirli bağılı bir hiza sahip olması ve yağ tabakasının, hareket yönünde daralması gereklidir. Bu duruma göre hidrodinamik sıvı sırtúnmesine sahip

yataklarda hareket başlangıcı ve durmalarda kuru ve sınır sırtúnmesi olacağından aşınmalar da olacaktır.

Hidrostatik sıvı sırtúnmesinde, dış kuvvetin dengelenmesi ve yüzeylerin birbirinden ayrılmaları için gereklen basınç bir pompası vasıtasyyla (dişardan etki ile) sağlanır ve yağlayıcı madde basınçla yüzeyler arasında gönderilir. Bu durumda;

- Hareket eden yüzeyler arasında yüzey geometrisine bağlı olmaksızın bir sıvı sırtúnmesi (hidrostatik sıvı sırtúnmesi) elde edilir.

- Yüzeyler hareket etmese bile yüzeyleri birbirinden ayıran bir yağ tabakası oluşturmak mümkün olduğundan ilk hareket ve durmalarda kuru ve sınır sırtúnme olmayacağından aşınma da olmaz.

23.2. Aşınma

Aşınma genel olarak, çok sayıda küçük parçacıkların hareketleri nedeniyle yüzeye meydana gelen erozyon olarak tanımlanabilir. Etkileşen faktörlerin çokluğu, olayın mekanik karakteri yanında fizikal ve kimyasal karakteri de genel bir aşınma teorisinin tanımlanmasına olanak vermektedir. Aşınmayı dört temel başlık altında toplayabiliriz.

23.2.1. Kaynama (Adhezyon) Aşınması

Yüksek hız ve yükler bölgelerindeki çalışmalarla meydana gelen bir aşınma türüdür. Bu tür çalışmalarla oluşan kaynama olayı, eş çalışan malzemenin birbirine karışabilme ve periyodik sisteme相对 durumuna bağlıdır. Örneğin birbirine karışabilme ve periyodik sisteme相对 durumuna bağlıdır. Örneğin periyodik sistemin kısa periyotlu elementleri (Gümüş-Ag, Kadmiyum-Cd, Kurşun-Pb, Tellür-Tl gibi) demirle ne katı ne de sıvı fazda karışamamaktadır.

Kaynama yoluyla meydana gelen aşınma iki kademeli olmaktadır. Sertleştirilmiş çelik-pırıncı çifti arasında yapılan bir deneerde, önce pırıncın çeliğe transfer edildiği, transfer edilen bu tabakanın kalınlığı belli bir sınır değeri aşılığında ise parçalar halinde dökülmeye başlığı tespit edilmiştir. Olay, bu şekilde periyodik olarak devam etmektedir. Bu durumda pırınc ile çelik arasındaki bağ kaynamadan çok bir yapıya (adhezyon bağı) kaynaklanmaktadır. Sertleştirilmiş çelik-sertleştirilmemiş çelik çiftinde yapılan deneerde ise, malzeme transferi sonucu oluşan tabakanın tam bir kaynak oluşturarak (artan sıcaklıkla beraber) iki malzemenin kilitlenmesi sonucunu gösterdiği tespit edilmiştir.

23.2.2. Talaş Kaldırma Yoluyla Aşınma

Bu tip aşınma, eş çalışan malzemelerden sert olanın yumuşak malzemeyi ejelemesi veya araya sert yabancı maddelerin veya bizzat eş malzemelere ait oksitlerin girmesi ve bunların bir zımpara gibi etki ederek yüzeyi aşındırmaması şeklinde olmaktadır. Bu tür aşınmadada, aşınma ile malzeme sertliği arasında çok yakın bir ilişki vardır. Saf metallerin aşınma miktarları sertlikleri ile doğru orantılı olarak değişmektedir. Yani sertlikle beraber aşınma direnci de artmaktadır.

23.2.3. Kimyasal Etkilere Bağlı Aşınma

23.2.3.1. Sürtünme Oksidasyonu

Birbirı üzerinde kayan veya yuvarlanan yüzeyler arasındaki küçük temas alanlarında daima belirli bir miktar plastik deformasyon olmaktadır. Bu plastik şekil değişimine sonucu malzemenin kristal kafesinin yapısı bozulmaktadır, buna bağlı olarak yüzey kimyasal bakımdan aktifleşmektedir ve ortamındaki havanın oksijeni ile malzeme okside olmaktadır. İlk aşamada oluşan oksit tabakası hareketin devam esnasında kırılmaktır ve oksit partikülleri yüzeyden koparak aşınma ürünleri meydana getirmektedir.

23.2.3.2. Elektro-Kimyasal Korozyon

Su, nem, tuzlu eriyik vb. etkilerle eş çalan yüzeyler arasında bir elektrikî potansiyel ve buna bağlı olarak bir elektro-korozyon meydana gelir. Temastaki metallerden biri elektron kaybederek oksitlenirken bu olay o metalin korozyona uğradığını gösterir. Bu gibi durumlarda malzeme çifti seçeneklerin aralarındaki potansiyel farkı göz önünde tutulmalı ve metallerin galvanik sıralamadaki yerlerine dikkat edilmelidir. Yani elemanlardan biri aktif diğeri daha az aktif bir malzemeden seçilirse elektro-korozyon (veya diğer adıyla galvanik korozyon) kaçınılmazdır. Örneğin çelik ile bakır malzemeden yapılmış iki elemanın birleştirilmesi halinde çeligin korozyona uğradığı görülür. Benzer şekilde iki pırıncı levha çelik perçinle birleştirilirse, pırıncı levhanın büyüğününe bağlı olarak, perçinlerin çok kısa zamanda korozyona uğradığı görülür.

23.2.4. Pitting (Çukurcuk) Oluşması

Bu tür aşınma daha çok yuvarlanma sürtünmesi etkisindeki ve temas yüzeyleri çok küçük olan yüzey çiftlerinde meydana gelmektedir. Bu aşınmanın genel görünüşü, yüzeylerden küçük puluk ve parçacıkların kalkarak çukurculan meydana gelmesi şeklidir. Olay esas İlbariyle bir malzeme yorulması sonucu meydana gelmektedir. Bazı araştırmacılarla göre pitting, sürtünme oksidasyonu sonucu olmaktadır. Buna göre çok küçük temas yüzeylerinde oluşan yüksek Hertz gerilimleri, özellikle malzeme yüzeyinin hemen altında oluşan oldukça büyük kayma gerilimleri orada malzemenin plastik şekil değişirmesine sebep olarak o bölgeyi kimyasal olarak aktifleştirmektedir. Bu aktif bölgeye difüzyon yoluya giren havanın oksijeni oksit oluşumuna neden olur. Bu oksit tabakasının oluşturduğu centrik etkisi ile büyütlen hacim üstündeki ince metal tabakası patlayarak dökülür ve çukurcuk oluşur.

Sertliği fazla olan çelikler pitting bakımından, yumuşak malzemeye nazaran, dahâ hassastırlar. Bu aşınma şekli, daha çok dişli çarklar ve yuvarlanmalı yataklarda olduğu gibi, nokta ve çizgi temaslı yüzeylerden büyük yüklerin taşınmasında görülmektedir.

23.3. Yağlayıcı Maddeler

Birbirî üzerinde kayan yüzeyler arasında gaz, sıvı ve katı halde bulunan yağlayıcı maddelerin kullanılması ile sürtünme direncini azaltmak ve bununla ilgili olaylara uygun bir şekilde tesir etmek mümkündür.

Yağlayıcı maddelerden:

1. Kendi molekül ve kristalleri arasında küçük bir sürtünme direnci göstermesi,
2. Yağlayacağı yüzeylere mümkün olduğu kadar iyi yapışması,
3. Yağlayacağı yüzeyleri kimyasal olarak etkileip bozmasaması,
4. Sıcaklık ve atmosfer etkilerine karşı yeter bir dayanıklılık göstermesi,
5. Çok pahalı olmaması (ekonomik olması)

gibi özellikler beklenmelidir.

Bu özelliklerini yerine getirebilecek tek bir yağlayıcı madde bulunmamakla beraber belirli şartlarda belirli sınırların dışına düşen yağlayıcı maddeler var. Bu yağlayıcı maddeler katı, plastik, sıvı ve gaz yağlayıcılar olarak dört grupta toplanabilir.

23.3.1. Katı Yağlayıcılar

Bu yağlayıcılar çok özel durumlarda yalnız başına, çoğu kez diğer tip yağlayıcılarla karıştırılarak kullanılır. Bugün en çok kullanılan katı yağlayıcılar Graft, Molibden di sulfit (MoS_2) ve Teflondur.

Bu tür yağlayıcılar özellikle yüksek sıcaklıklar ve aynı zamanda enerji bakımından zengin radyoaktif işçilerde bulunan yataklarda kullanılmaktadır (atom reaktörleri ve uzay araçları gibi).

23.3.2. Plastik Yağlayıcılar

Bunlar belirli sıcaklık sınırlarına kadar seçeneklerini koruyabilen plastik kitleler halindeki yağlayıcılardır. En geniş kullanma alanını madensel gresler oluşturur. Madensel bir sabuna sentetik veya madensel bir yağ içinierek elde edilir.

Madensel sabun gresin çatısını teşkil eder, yağlayıcı özelliğini yoktur. Gresin %60 – 90’ını içine ırınmış yağ, kalan kısmını da madensel sabun teşkil eder. Gresler çatı oluştururan madensel sabuna göre isimlendirilir. Kalsiyum sabunu gresler, litium sabunu gresler, baryum sabunu gresler, silikon gresi ve bentonit gresi gibi çeşitleri sayılabilir.

Gresler daha çok açıkta çalışan ve uzun yağlama süreleri olan orta hız ve yükler bölgelerindeki yataklamlarda kullanılmakla beraber sızdırmazlık problemi yaşanan yerlerde de büyük oranda tercih edilir.

23.3.3. Sıvı Yağlayıcılar

Uygulamada en geniş yağlayıcı grubunu sıvı yağlayıcılar teşkil eder. Ham maddesine göre organik yağlar, ham petrol kökenli yağlar (mineral yağlar), sentetik yağlar gibi gruptara ayrırlar.

23.3.3.1. Organik Yağlar

Hayvansal veya bitkisel esastan gelir. Üstün yağlama özellikleri olmakla beraber ömrü azdır. Bazı durumlarda mineral yağlara karıştırılarak kullanılır. Hayvansal yağlardan mafsal ve kermik yağları ile bitkisel yağlardan zeytinyağı, hıntyağı ve şalgam yağı bu grubun en çok bilinen türleridir.

23.3.3.2. Ham Petrol Kökenli Yağlar (Mineral Yağlar)

Ham petrol esas itibarıyle bir hidrokarbonlar karışımıdır. Doğada iki önemli grup halinde bulunur. Bu gruplardan biri Parafin (C_nH_{2n+2}), diğeri Naften (C_nH_{2n}) diye isimlendirilir.

Parafin grubu yağlayıcılar yüksek sıcaklıkta oldukça stabil (dengeli) olmakla beraber soğukta fazla koyulaşır. Naften tipi ise bunun tersidir. Yağ endüstrisinde her iki kökenden gelen ham petrol de kullanılmaktadır.

Ham petrol kaba bir yoğunlaşma işlemi ile hafif ve ağır kısımlarına ayrılır. Birinci (hafif) grubu benzin, motorin, gazyağı gibi maddeler; ikinci (ağır) grubu ise yağlar teşkil eder. Bu şekilde elde edilen yağlara destile yağlar denir. İçlerinde halen bitüm, katran vb. maddeler vardır. Yüksek yağlama özellikleri yoktur, basit yağlama işlerinde kullanılabilir.

Yağa daha yüksek özellikler kazandırmak için rafine etmek gereklidir. İçinden ayrılması istenen maddelerin atılmasıyla elde edilen bu tür yağlara da rafine yağlar adı verilir. Bu yağlar yağlama bakımından yüksek özelliklere sahiptir ve uzun ömürlüdür.

Bazı durumlarda yağına daha yüksek özellikler kazanması istenir. Vakumda elektrik desenjina maruz bırakılarak molekül yapısında değişiklikler yapılır. Bu yağlara dövme yağları denir. Bunlar sığaşa dayanıklı yağlardır.

Mineral yağların; mekik yağı (ince yağı), hafif makina yağı, ağır makina yağı ve silindir yağı gibi türleri vardır.

23.3.3.3. Sentetik Yağlar

Özellikle turbo reaktörlerin yataklarında kullanılır. Başlangıçta mineral yağların içine sentetik maddeler katılarak elde edilen bu yağlayıcılar daha sonraları tamamen sentetik esaslı yağlar şeklinde üretilmeye başlanmıştır. Bu türün bazları;

sentetik hidrokarbonlar, organik esterler, polyglykol, silis asidi esteri ve silikondur. Bunlardan en önemlidisi organik esterlerdir. $+300^{\circ}\text{C}$ ile -60°C arasındaki yataklarda rahatlıkla kullanılabilir (uçaklardaki gaz türbinlerinin yağlanmasıında olduğu gibi). Çok kullanılan diğer bir sentetik yağlayıcı da polyglykoldür. $+260^{\circ}\text{C}$ ile -40°C arasında yukarıdakine benzer yerlerde kullanılmaktadır.

23.3.4. Gaz Yağlayıcılar

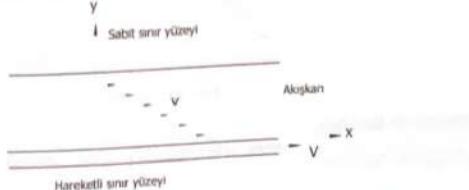
Yüksek hızlar bölgesinde çalışan yataklarda ve özellikle gazla soğutulan nükleer reaktörlerin yataklarında kullanılır. Yağlayıcı madde olarak; hava, mineral gaz (doğal gaz) veya reaktörlerde olduğu gibi soğutma işlemini de yapan CO_2 gazı kullanılmaktadır.

23.4. Yağlayıcıların Fizikal ve Kimyasal Özellikleri

Yağlayıcı maddeler kullanıldığı yerlere göre fizikal ve kimyasal bakımından bir takım özelliklere sahip olmalıdır. Bu özellikler kısaca aşağıdaki gibi sıralanabilir.

23.4.1. Viskozite

Herhangi bir akışkanın harekete karşı gösterdiği dirence viskozite denir. Bu dirence akışkanın iç sürünmesi de denilmektedir. Bu direnç, kaymaya maruz kalan kayma alanı ile büyümektedir.



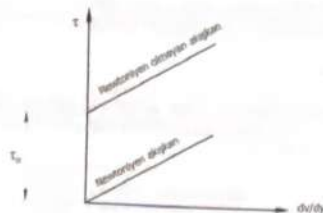
$$\tau = \eta \frac{dy}{dx} \quad (\text{daN/m}^2)$$

Şekildeki $\frac{dy}{dx}$ hız gradyenini ve η ise dinamik viskoziteyi gösterir. Viskozite akışkanı alt bir büyüklüktür. Bu büyüklik genel olarak sıcaklık ve

basınca bağlıdır. Viskozite sıcaklıkta azalır, basınçta artar. Yukarıdaki eşitlikten de görüldüğü gibi kayma gerilmeleri ile hız gradyenleri arasında doğrusal bir değişim vardır. Bu kanuna uyan akışkanlara Newton akışkanı veya Newtoniyen akışkanlar denir (Şekil 23.3). Genel olarak madensel yağlar ve su Newtoniyen akışkanlar sınıfına girerler. Bazı akışkanlarda kayma gerilmeleri ile hız gradyenleri orantılı değildir. Bu tür akışkanlara Newtoniyen olmayan akışkanlar veya reolojik özelliklerini olan akışkanlar denir. Bu akışkanlarda kayma gerilmeleri belirli bir τ_0 değerini aştiği taktide tabakalar arasında kayma başlar. Gresler bu tip akışkanlardandır. Basitleştirilmiş durumda, gresler için

$$\tau = \tau_0 + \eta \frac{dv}{dy}$$

eşitliği kullanılabilir. Bunlara Bingham akışkanları da denir.



Şekil 23.3

Viskozitenin Boyutları:

a. Dinamik Viskozite

SI sisteminde	: Ns/m^2
MKS sisteminde	: $kgf/s/m^2$
CGS sisteminde	: dyn/cm^2

birimleri kullanılır. Diğer taraftan

$$1 \text{ dynem}^{-2}s \approx 1 \text{ Poise } (P)$$

dir. Ancak bunun daha çok $1/100$ katı olan Centipoise cP kullanılmaktadır. Ayrıca

$$1 \text{ daNm}^{-2}s = 9810 \text{ cP}$$

$$1 \text{ daNcm}^{-2}s = 98,1 \cdot 10^6 \text{ cP}$$

eşitlikleri yazılmaktadır.

b. Kinematik Viskozite

Akışkanlar mekanında ikinci bir viskozite tanımı daha vardır. Buna kinematik viskozite denir. Kinematik viskozite

$$\nu = \frac{\eta}{\rho} = \frac{\eta g}{\gamma} \quad (\text{cm}^2/\text{s})$$

Burada η - dinamik viskozite ($\text{dyncm}^{-2}\text{s}$), ρ - yağlayıcı yoğunluğu ($\text{dyns}^2\text{cm}^{-4}$), g - yerçekimi ivmesi (cm s^{-2}) ve γ - yağlayıcının özgül ağırlığıdır (dyncm^{-1}). Ayrıca

$$\rho = \frac{\gamma}{g}$$

olarak bilinmektedir.

Kinematik viskozite için

$$1 \text{ cm}^2/\text{s} = 1 \text{ St}$$

$$1/100 \text{ St} = 1 \text{ cSt}$$

birimleri kullanılmaktadır (St : Stokes).

c. Ticari Viskozite Birimleri:

Ticari viskozite birimleri çeşitli viskozimetreler yardımıyla tespit edilmektedir. Örneğin Almanya'da kullanılan Engler derecesi: 200 cm^3 yağ ve 20°C sıcaklıkta 200 cm^3 lük suyun, altında çapı bilinen bir delik bulunan bir hazneden akış zamanlarının birbirine oranı olarak tanımlanmaktadır. Benzer şekilde Amerika'da Saybolt UNIVERSAL saniyesi (SUS) ve İngiltere'de Redwood saniyesi gibi bağıl kinematik viskozite birimleri tanımlanmıştır.

Engler derecesi ile Centistokes arasındaki ilişki, yakınsak olarak (Vogelpohl'a göre)

$$E^* < 7 \text{ için}$$

$$\nu = 7,6 E^* \left(1 - \frac{1}{E^{*2}} \right) \quad (\text{cSt})$$

$E > 7$ MeV

$$E^+ = 7,6 \text{ cSt}$$

$$= 30,75 \text{ Red.San.}$$

$$= 35,00 \text{ SI/S}$$

seklinde dir. Dinamik viskozite ile Engler derecesi arasındaki ilişki ise:

$$\eta = \left(74.E^- - \frac{64}{E^+} \right) \gamma .10^{-6} \quad (daNcm^{-2}s)$$

olarak bilinmektedir. Burada, τ - yaðlavıcının özoði ñeyindendir (JcN/cm^2)

23.4.1.1. Viskozite – Sıcaklık İlişkisi

Genellikle sıvılarda viskozite sıcaklığın artmasıyla azalmakta, gazlarda ise bir miktar artmaktadır. Önemi olan husus, makinaların sıcaklık bakımından normal çalışma bölgesi olan 30°C ile 70°C arasında viskozitede büyük değişiklikler olmamadır.

Özellikle sıvı madensel yağların viskozitesi, sıcaklık etkisinde üstel olarak değişir. Vogelphoh'a göre bu bağıntı:

八

şeklindedir. Burada k, b, c , malzemeye bağlı sabitlerdir. Bunlar sıcaklık etkisinde değişmekte beraber makinaların normal çalışma sıcaklıklarında sabit alınabilmektedir. Eşitlikteki t ise sıcaklığı ($^{\circ}\text{C}$) göstermektedir.

23.4.1.2. Viskozite – Basische Ionen

Genel olarak sıvıların ve gazların viskoziteleri basınçla artmaktadır. Sadece 0°C da suyun viskozitesi basınçla azalır. Madensel yağlarda viskozitenin basınçla değişimini, iyi bir vakumda ölçmektedir.

$$\eta = \eta_0 e^{a\cdot p}$$

Şeklindedir. Burada η , -yağın atmosfer koşullarındaki viskozitesi, p -basınç ve α -bir malzeme sabitidir. Organik yağlarda $\alpha = 1,01$, madensel yağlarda ise $\alpha = 1,0015 \sim 1,003$ arasında değişmektedir.

23.4.2. Islatma Yeteneği

Bilhassa sıvı sürtünme bölgesinde yağıların madensel yüzeyleri ıslatma özelliği önemli rol oynar. Yağın ıslatma yeteneği olarak; temasta bulunduğu yüzeyler üzerinde yayılması ve yapışması özelliğini anlaşılmaktadır. İly bir yağ, yağlaşacağı vüzeye ivi vadisimli ve iyi yüzey arasında ince bir tabaka oluşturmaktadır.

23.4.3. Özgül Ağırlık

Madensel ya  larin özg  l a  irlikleri sicak  kla (cok az miktarda da bas  nc  la) de  isir. Kullan  lmakta olan ya  larin (mineral ya  larin) özg  l a  irlikleri, 20  C da.

$$\mu = 0.80 \pm 0.86 \text{ (dAN/dm')}$$

Conclusions

22.4.4. Katulsema Noktası

Özellikle soğuk iklimlerde kullanılacak yağılar için önem taşır. Parafinik yağılarda yağın içinde bulunan mum (vaks) miktarı katılışında en büyük etkendir. Naften veya sentetik yağılda olduğu gibi yağın içinde mum yoksa katılışında olayı viskozitesinin artması ve yağın akışkanlığını kaybetmesi şeklinde kendini gösterir. Bir yağın katılışma noktası, standart bir kapta homojen olarak soğutulan yağın, kabın altındaki delikten artık akmadığı sıcaklıklar olarak tespit edilir. Madensel yağılarda bu sıcaklık -20°C dolayındadır.

23.4.5. Alevlenme Noktası

İçten yanmalı motorlarda, kompresörlerde ve benzeri yüksek sıcaklıklarda veya yüksek sıcaklıklardaki madensel yüzeylere sahip makinalarda kullanılan yağlarla ömürli bir özellik. Standart bir kap içinde istilan yağın üzerinde oluşan yağ bulutları - hava karışımının kızığın bir kontakt ucunun yaklaştırılmasıyla parlamlar göstermeye başladığını söylüyor. Eksiyera bu sıcaklığın $30^{\circ}C$ - $60^{\circ}C$ arasında devamlı olmalıdır. Bu durumda yanma noktası ulaşılmış olur.

23.4.6 Damlama Noktası

Greslerde göz önüne alınması gereken bir özellik olup gresin sıcaklığı dayanıklılığını tespit eden bir ölçütür. Standart bir kap içinde ısıtılan gresin kap içindeki değişimi tespit etmektedir. Bu değişimi hesleden sıcaklığıdır.

Cetvel 23.1 Viskozite birimleri arasındaki ilişki

Engler	Centistok	Saybolt saniyesi		Redwood saniyesi
		100 °F	210 °F	
1,3	3,92	33,8	39,2	34,8
1,4	5,10	42,5	42,9	38,7
1,5	6,25	46,2	46,6	40,9
1,6	7,40	49,9	50,4	44,1
1,76	9,20	56,0	56,5	49,3
1,83	10,0	58,8	59,2	51,8
2,0	11,8	65,2	65,7	57,4
2,4	15,8	80,2	81,0	70,4
2,8	19,4	95,1	96,1	82,9
3,0	21,1	101,2	103,3	88,9
4,0	29,4	138,3	139,7	120,7
5,0	37,4	174	176	153
6,0	45,2	210	212	184
7,0	53,0	245	248	216
8,0	60,5	279	282	246
9,0	68,3	315	319	277
10,0	75,9	350	354	308
12,0	91,0	419	423	369
13,17	100,0	460	466	405
14,0	106,3	488	494	431
16,0	121,5	559	565	492
18,0	136,8	630	637	554
20,0	152	700	707	616
25,0	190	875	884	769
32,9	250	1152	1164	1012
40,0	304	1400	1415	1231
50,0	380	1750	1768	1538
60,0	456	2100	2122	1846
70,0	532	2450	2480	2156
80,0	608	2800	2828	2460
90,0	685	3150	3182	2770
100,0	760	3498	3537	3077

23.4.7. Oksidasyon

Yağın hava ile (oksijene) teması sonucu, yüksek sıcaklık veya ışık etkisinde, metal iyonları yüzünden okside olarak yağlama özelliği bozulur. Okside olan yağın rengi değiştir, viskozitesi artar ve temas ettiği metaller için tehlükeli olmaya başlar. Yağın renginin değişimi (genellikle siyahlaşma şeklinde) değişme zamanının geldiğini gösterir.

23.4.8. Emülsiyon (Karışım) Teşkili

Buhar ve su makinalarında kullanılan yağlarda büyük bir öneme sahiptir. Yağa karışan suyun santrifüjlerde yağdan kolayca ayırmaması istenir. Denerne söyledi: 100 cm^3 su içine 50 cm^3 yağ konur ve beraberce kaynatılır. Sonra bunun içinden buhar geçirilir. Tekrar kaynatılır. Soğumaya bırakılıp yağ ve suyun birbirinden ayrılan miktarları ve zaman tespit edilir. Bazı yağların ise karışım yapmaları arzu edilen bir özellikir (talaşlı ımalatta soğutma işlemesinde kullanılan bor yağından olduğu gibi).

23.4.9. Nötralizasyon Sayısı

Yağın içinde zamanla ve çalışma sonucu meydana gelen eskime ürünlerini ve buna bağlı olarak yağın değiştirme zamanını tespit yarar.

Nötralizasyon sayısı: oda sıcaklığında 1 gr yağ içinde bulunan serbest asitleri nötralize etmek için gerekli potasyum hidroksitin mg^{-1} olarak miktarına denir. Geçmiş ise Örneğin kullanılmış buhar turbini yağında bu sayı 3'ü geçmemelidir. Geçmiş ise yağın değiştirme zamanı gelmiş demektir.

23.4.10. Kül Miktarı

Bir kap içinde yakılan belirli mikardaki yağdan geri kalan yanma artığı kül miktarını ifade eder. İçten yanmalı motorlarda bu husus çok önemlidir. İyi bir motor yanında kül miktarı sıfır olmalıdır.

23.4.11. Renk

Başlangıçta rengi bilinen bir yağın bu renginin zamanla değişmesi, yağ içinde esküme ürünlerinin oluştuğu fikri verir. Madensel yağların bilinen rengi sarımaktadır.

23.5. Yağlama Şekilleri

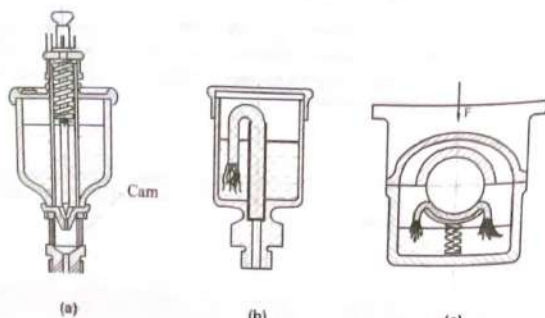
Yağın yağlanacak yere kadar iletilmesi çeşitli şekillerde olur. Yağlamadan beklenen özelliklere göre, açık devre yağlama sistemi ve kapalı devre yağlama sistemi olarak iki çeşit yağlama şekli vardır.

23.5.1. Açık Devre Yağlama Sistemi

Yağlayıcı madde yağlama yerine gönderilir. Buraya sevk edilen yağ işini bitirdikten sonra akış gider. Tekrar yağlama işi için kullanılmaz. Bu sistem çok az yağı ihtiyaç gösteren ve yağdan yüksek özellikler beklenmeye basit yağlama işlerinde kullanılır. Çok yüksek sıcaklıklarda çalışan yataklarda, yağlama yerine gelen yağ

buharlaşarak kayboluyorsa bu gibi durumlarda, özellikle artık bırakmaksızın buharlaşabilecek yağ türleri kullanılmalıdır. Örneğin, turbo-reaktörlerde sıcak gaz lülesi ayar mekanizmasındaki yataklama yerlerinde, sürekli yağlama yerine özel bir gres verilir. Gres bir müddet sonra buharlaşır. Açık devre yağlama sistemine ait en basit yöntem, sıvı yağlarda yağdanlıkla veya greslerde basit bir gres pompası ile yağlanacak yerin üstünde bulunan deliye arada bir yağ verilmesidir. Açıktan çalışan küçük hız ve yüklerdeki yataklama yerlerinde, bazı ev aletlerinde bu sistem uygulanmaktadır.

Yağ sarfisi az olan ve küçük yük ve hızlar bölgesindeki çalışma koşullarında damlaklı ve fitilli yağlama sistemlerinden de yararlanılmaktadır (Şekil 23.4a ve b). Vagon tekerleklerinin yağlanması sırasında olduğu gibi ağır yükler bölgesinde keçeli yağlama sistemi kullanılabilir (Şekil 23.4c). Keçe tarafından mire verilen yağ işini bitirdikten sonra alttaki bir depoda toplanmaktadır.

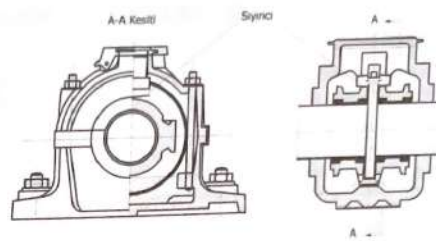


Şekil 23.4 Çeşitli yağlama yöntemleri
a) Damllaklı, b) Fitilli, c) Keçe yastıklı

23.5.2. Kapalı Devre Yağlama Sistemi

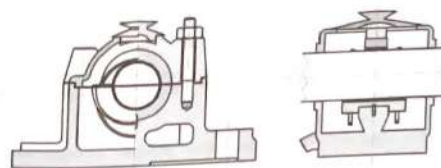
Bu sistemede işini bitiren yağ bir depoda toplanarak tekrar yağlama yerine sevk edilir. Yağlama yağı sistem içinde sürekli dolaşım halindedir. Yağlama yerine istenilen miktarda yağın verilmesi mümkündür. Büyuk yük ve hızlar bölgesinde bu sistemin değişik tipleri kullanılır.

Kapalı devre yağlamasının en basit örneğini sabit (Şekil 23.5) veya oynak (serbest) (Şekil 23.6) bilezikli yağlama teşkil eder.



Şekil 23.5 Sabit bilezikle yağlanan yatak

Sabit bilezikli yağlama, yüksek olmayan hızlarda ($<12 \text{ m/s}$) ve koyu yağ ile çalışma şartlarında kullanılır. Serbest bilezikli yağlama sistemleri de $1500 + 2000 \text{ d/d}$ hızlar bölgesinde kullanılabilmektedir.



Şekil 23.6 Serbest bilezikle yağlanan yatak

Kapalı devre yağlamasının en kusursuz şeklini pompalı yağlama teşkil eder. Çok sayıda yataklama ve yağlama yerinin bulunması ve büyük yük ve hızlar bölgesinde özellikle ihtiyaç duyulan bir yağlama şeklidir. Yağın yataklara gönderilmesi, ekseriya $1+4 \text{ daN/cm}^2$ basınç altında dişli pompalarla yapılmaktadır.

24. KAYMALI YATAKLAR

Dönen, salınım hareketi yapan veya hareketsiz duran mil ve aks muylularını taşıyan elemanlara yatak adı verilir. Mil veya aksların yatak içinde kalan kısmına muylu denir.

Yüzeyler arasındaki hareketin oluşşekline göre yatakları iki temel gruba ayırmak mümkündür. Yatak yüzeyleri arasındaki hareket kayma şeklinde ise kaymalı yataklar, hareketi temin eden elemanların yuvarlanması şeklinde ise yuvarlanmalı yataklar olarak adlandırılır. Ayrıca gerek kaymalı yataklar gereksiz yuvarlanmalı yataklar taşıdıkları yükün etki doğrultusuna göre radyal ve eksenel yataklar olarak iki şekilde ele alınır. Radyal yataklar, yatak eksenine dik doğrultuda gelen yükleri taşıyan yataklardır. Yatak ekseniye paralel doğrultudaki yükleri taşıyan yataklar ise eksenel yataklar adı ile anılır.

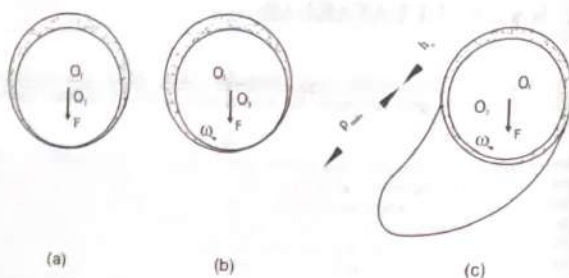
Kaymalı yataklar, yağlama bakımından iki şekilde göz önüne alınır: hidrodinamik ve hidrostatik kaymalı yataklar.

24.1. Hidrodinamik Kaymalı Yataklar

24.1.1. Hidrodinamik Radyal Kaymalı Yataklar

Sessiz çalışma, büyük darbelli yüklerde dayanıklılık (örneğin içten yanmalı motorlarda bilyel ve krant yatakları), titreşim sönmüleme gibi isteklerin bulunduğu yerde kullanılır.

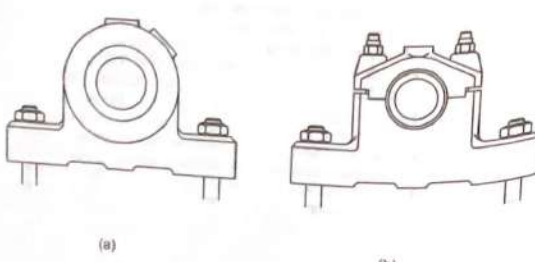
Hidrodinamik yağlama, yüzeyler arasındaki boşluğa ve bağlı hızla bağlı olarak yüzeyler birbirinden tamamen ayıracak basıncı sahip bir yağ tabakası oluşturan yağlama şeklidir. Radyal yataklarda sıvı sürünmesinin (hidrodinamik yağ tabakasının) oluşması için mil ile yatak birbirine boşluklu geçme şeklinde yapılır. Milin açısal hızı $\omega = \pi n/30$ olduğuna göre $\omega = 0$ durumunda, yanı mil dururken (Şekil 24.1a) yüzeyler doğrudan doğruya temasta olduğundan hareketin başlangıcında çok kısa bir süre için yüzeyler arasında kuru sürünme olur ve mil, yatak zarfı içerisinde hareket yönünün ters tarafına doğru itmanır (Şekil 24.1b). Bu durumda hareket nedeniyle yağ, yüzeyler arasında yayıldığından sınır sürünmesi olur ve sürünme katsayısi azalma başlar. Bir müddet sonra tamamen sıvı sürünmesi bölgесine geçer ve mil muylusu da yatak zarfı içerisinde hareket yönüne doğrak kayarak eksantrik bir durum alır (Şekil 24.1c). Böylece yağ içinde oluşan hidrodinamik basınç yüzeyleri birbirinden tamamen ayrılmış ve sıvı sürünmesini oluşturmuştur. Sıvı sürünmesi bölgesinde mil merkezi ile yatak merkezi arasındaki eksantriklik hızla bağlı olarak değişmektedir. Bu eksantriklik yağlammanın sürekliği bakımından hiçbir şekilde sıfır olmamalıdır. Çünkü Şekil 24.1c'den de görüldüğü gibi, yatak yükünü taşıyan p_{mil} basıncı, ancak bu



Şekil 24.1 Radyal kaymali yataktaki hareketin başlangıcı ve basınç oluşumu
(a) dururken ($\omega = 0$), (b) hareket başlangıcı ($\omega > 0$), (c) rejim
(normal çalışma) durumunda ($\omega = \omega_{max}$)

eksantriklik sayesinde oluşan yağ kaması (daralan yağ tabakası) ile süreklilik kazanır. Hidrodinamik yağlamada daralan bu yağ tabakası (yağ kaması), dolayısıyla eksantriklik vazgeçilmez bir unsurdur.

Radyal kaymali yataklar tek parçalı yatak (Şekil 24.2a) veya iki parçalı yatak (Şekil 24.2b) şeklinde yapılabilir. Bu yataklarda yatağın alt yansi taşıyıcı görev görür. Bu nedenle hidrodinamik basınç dağılımı, yani taşıyıcı hidrodinamik yağ tabakası bu bölgede önemlidir. Yatağın üst yarısı ise geometrinin tamamlayıcısı ve yağlama sistemi bakımından önem taşımaktadır.



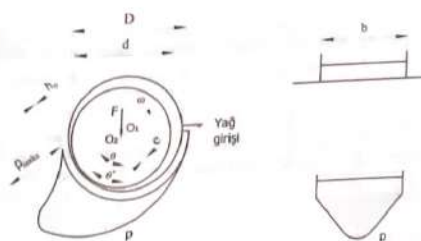
Şekil 24.2 Radyal kaymali yatağının yapısı

24.1.1.1. Hidrodinamik Radyal Kaymali Yatağın Hesabı

Radyal kaymali yataklarda yükü taşıyan basınçın yağ filmi boyunca oluşturduğu bir gerçektir. Ancak yataktaki yağ filminin nerede başlayıp nerede bittiği tam olarak bilinmemektedir. Sommerfeld'e göre hidrodinamik yağ tabakası $\theta=0^\circ$ de başlayıp $\theta=360^\circ$ de son bulmaktadır. Ancak yatağın üst yarısında negatif basınç oluşturduğu için akişkan tabakasının (sıvı filminin) devamlılığı son derece zordur. Bunun yerine hidrodinamik yağ tabakasının $\theta=0^\circ$ de başlayıp $\theta=180^\circ$ de bittiği tezi daha ağırlı basmaktadır. Bu duruma yarı Sommerfeld sınır koşulları denir.

Bugün daha yaygın bir görüş ise Reynolds sınır koşullarını benimsedektedir. Buna göre hidrodinamik yağ tabakası $\theta=0^\circ$ de başlayıp basınçın ve basınç gradyueninin birlikte sıfır olduğu ($p=\frac{dp}{d\theta}=0$) noktada sona ermektedir.

Günümüzde yukarıdaki her üç varsayımanın da gerçeklik derecesi kesin olarak kanıtlanamamıştır. Ancak daha basit olması nedeniyle çoğu yazar Sommerfeld varsayımları kullanmaktadır. Her üç varsayımdaki yöntemlerle varılan sonuçlar varsayımları esas almıştır. Her üç varsayımdaki yöntemlerle varılan sonuçlar benzer olduğundan burada Sommerfeld varsayımlı esas alınacaktır.



Şekil 24.3 Hidrodinamik radyal kaymali yataktaki basınç dağılımı

Kullanılan simgeler:

θ : yatak açısı (teorik olarak en küçük aralığın oluşturduğu açı)
 θ^* : basınç açısı (teorik olarak basınçın en büyük olduğu açı)

Not : Pratikte $\theta = \theta^*$ olarak alınır.

$$\epsilon = \frac{D-d}{2} - h_* \quad ; \text{eksantriklik}$$

$$\varepsilon = \frac{2\epsilon}{\Delta d} \quad ; \text{boyutsuz eksantriklik}$$

kaymali yataklar

h_s	: en küçük aralık (minimum yağ tabakası kalınlığı)
d	: mil çapı
D	: yatak çapı
b	: yatak genişliği
$\Delta d = D - d$: yatak boşluğu
$\psi = \frac{\Delta d}{d_{\text{min}}}$: boyutsuz (bağıl) yatak boşluğu

Bir radyal kaymali yataktaki basınç dağılımı Şekil 24.3'de görüldüğü gibidir. Bu basıncın değeri, bazı sınır şartlarına bağlı olarak Sommerfeld ve Reynolds tarafından ayrı ayrı hesaplanmış ve ortaya çıkan sonuçların birbirine yakın olduğu görülmüştür. Ancak hesaplamalarla genellikle bu hidrodinamik basınç yayılış yerine, daha kolay olması ve çıkan sonuçların büyük farklılıklar göstermemesi nedeniyle, ortalama basınç tanımından yararlanılmaktadır. Bu tanıma göre basınç eşitliği

$$P_m = \frac{F}{b \cdot d} \quad (\text{daN/m}^2)$$

şeklindedir.

Bir yataktaki gerçek en ince yağ tabakası kalınlığı; Şekil 24.4'de ifade edilen büyülüklerle,

$$h_s > R_{i1} + R_{i2}$$

olmalıdır. Yani tam sıvı yağlanması için en ince yağ tabakası kalınlığı, en büyük yüzey pürüzlüklerinin ezmeye yükseklikleri toplamından büyük olmalıdır.

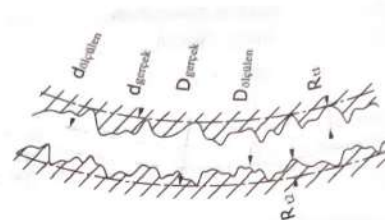
Olculen yatak boşluğu

$$\Delta d_s = \frac{D_s - d_s}{2}$$

ve gerçek yatak boşluğu

$$\Delta d_g = \frac{D_g - d_g}{2}$$

olmaktadır. Yüzeylerin pürüzlük değerleri yüzeyin kalitesine bağlıdır. Cetvel 24.1'de bazı yüzey kalitesi için bu pürüzlük değerleri verilmiştir. $R_s = (4 \dots 5) R_s$ olduğu unutulmamalıdır.

kaymali yataklar

Şekil 24.4

Ancak $h_s > R_{i1} + R_{i2}$ ifadesine göre en ince yağ tabakası kalınlığı h_s 'i hesaplamak için, bu değerin $(R_{i1} + R_{i2})$ 'den ne kadar büyük olacağı da bilinmelidir. S_m bir emniyet payı olmak üzere

$$h_s \geq S(R_{i1} + R_{i2}) \geq S_m (4 \dots 5)(R_{i1} + R_{i2})$$

yazılabilir. Buradaki S_m - emniyet payı genellikle 1,2 ile 1,5 arasında alınır.

Cetvel 24.1 R_s yüzey pürüzlüğü değerleri

Yüzeyin durumu	R_{i1} (μm)	R_{i2} (μm)
Tornalanmış	2,8	12
Ince tornalanmış veya taşlanmış	0,6	3
Ince taşlanmış	0,19	0,8
Parlatılmış	0,04	0,2

Hidrodinamik radyal kaymali yataklarda en ince yağ tabakası kalınlığı, dolayısıyla yük taşıma ve sürütme durumları boyutsuz Sommerfeld Sayısı ile karakterize edilmiştir. Bu sayı

$$S_m = \frac{P_m \psi^2}{\eta \omega}$$

şeklindedir. Burada

$$P_m = \frac{F}{b \cdot d} \quad (\text{daN/m}^2) \quad \text{ortalama yatak basıncı}$$

$$\begin{aligned}\psi &= \Delta d/d_{\text{max}} && \text{boyutsuz yatak boşluğu} \\ \eta &= (\text{daNm}^{-2}) && \text{dinamik viskozite} \\ \omega &= \frac{\pi \cdot n}{30} \quad (\text{l/s}) && \text{açışal hız}\end{aligned}$$

olarak bilinmektedir. Sommerfeld Sayısı; b/d yatak oranına ve $\varepsilon = 2e/\Delta d$ boyutsuz eksantriklik değerine bağlı olarak Cetvel 24.2'de verilmiştir. Ayrıca radyal kaymali yatağın bütün karakteristik değerleri için Şekil 24.5'deki grafikten de yararlanılmaktadır.

Boyutsuz en ince yağ tabakası kalınlığı;

$$h_c = \frac{2h_s}{\Delta d}$$

şeklindedir.

Uygulama için pratik bilgiler:

Ortalama basınç (p_a) değerleri Cetvel 24.3'den alınabilir. Taşıyıcı miller ile genel makina inşaatında kullanılan yataklarda $p_a = 10 - 15 \text{ daN/cm}^2$ arasında alınabilir. Genişlik/çap oranı (b/d) = 0,5 - 1,5 arasında değişir. Burada önerilen değer $b/d = 1$ 'dir.

Boyutsuz boşluk ψ : hız, yük ve malzeme çitine bağlı olarak değişir. Beyaz metal (WM veya BM) veya bronz (Bz)/çelik çiftinde yakınsak olarak

$$\psi = 0,0008 \sqrt{v}$$

eşitliği ile verilir. Burada v - (m/s) olarak milin çevre hızıdır. Yatak kayma yüzeyi Polyamid veya diğer sentetik bir malzeme ise

$$\psi > 0,004$$

alınır. Buhar turbini ve elektrik motorlarında büyük eksantrikliklerin meydana gelmemesi için ya ψ küçük alınır veya çok kamalı yatak kullanılır. ISO toleransları ile elde edilecek ψ değerleri Cetvel 24.4'de görülmektedir.

Aşırı yüklerde büyük, düşük yüklerde ise küçük Sommerfeld sayıları kullanılır. Pratikte $S_o > 1$ bölgesinde çalışılır. Ancak yüksek hız ve düşük yüklerde $S_o < 1$ alınabilir. Normal yüzey kalitelerinde $S_o < 10$ alınmaktadır. Çok küçük S_o sayılarında

Cetvel 24.2 ε ve b/d oranına bağlı olarak $1/S_o$ ve μ/ψ değerleri

ε	$\frac{b}{d} = 1$		$\frac{b}{d} = \frac{1}{2}$	
	$\frac{1}{S_o}$	$\frac{\mu}{\psi}$	$\frac{1}{S_o}$	$\frac{\mu}{\psi}$
0,95	0,054	0,675	0,075	0,869
0,90	0,12	1,06	0,196	1,59
0,80	0,28	1,71	0,577	3,25
0,70	0,48	2,36	1,16	5,48
0,60	0,75	3,21	2,01	8,08

Cetvel 24.4 ISO toleransları ile elde edilen ortalama ψ değerleri (binde olarak)

Çap (mm)	H7/g6	H7/r7	H7/e8	H7/d8
30-50	0,74	1,25	2,05	2,8
50-80	0,53	0,92	1,50	2,12
80-120	0,41	0,71	1,16	1,65
120-180	0,31	0,55	0,91	1,31
180-250	0,24	0,45	0,74	1,06

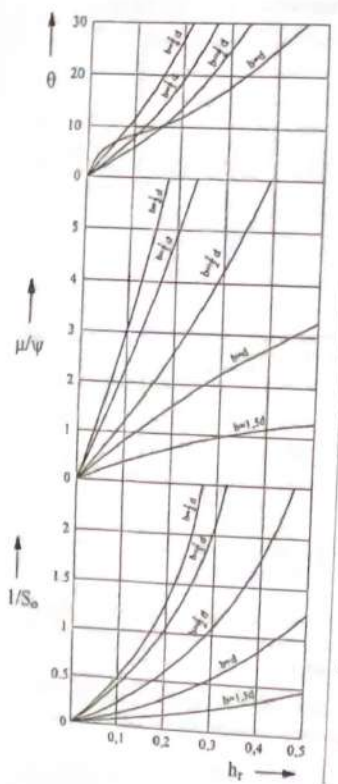
yağ tabakası titreşimlerini önlemek bakımından çok kamalı yataklar kullanılmalıdır. Çok büyük S_o sayılarında ise yarı sıvı sürünen bölgesinde kalabilmek için hidrostatik yağ tabakası teşkilî yoluna gidilir.

En küçük yağ tabakası kalınlığı (en küçük aralık) h_c değerinin yüzey pürüzsüzlerinden toplamından daha büyük olması gerektiği yukarıda söyle已被enmiştir. Geçiş dönme sayısı için iyi bir yakınsaklığa

$$h_c = 10 \text{ } \mu\text{m} (= 0,01 \text{ mm})$$

elde edilebilir. Çok iyi işlenmiş ve parlatılmış yüzeyler için bu değer

$$h_c = 5 \text{ } \mu\text{m}$$



$$S_s = \frac{P_n \psi^2}{\eta \omega} \text{ Sommerfeld sayısı}$$

$$P_n = \frac{F}{b d} \text{ (daN/cm}^2)$$

ortalama basınc
F- (daN) yatak yükü
b- (m) yatak genişliği
d- (m) mil çapı
 $\psi = \frac{\Delta d}{d}$ boyutsuz yatak boşluğu
 $\Delta d - (m)$ yatak boşluğu
 $n - (d/d)$ dönme sayısı
 $\omega = \frac{\pi n}{30} (1/s)$ açısal hız
 $\eta - (daNs/m^2)$ dinamik viskozite
 $h_e - (m)$ en ince yağ tabakası kalınlığı
 $h_e = \frac{2h_s}{\Delta d}$ boyutsuz en ince yağ tabakası kalınlığı
 $G = \frac{d^3 b \mu \eta}{320 \beta}$ yağlama için yatağa gönderilmesi gereken yağ miktarı
 $\theta -$ yağ debisi faktörü

Cetvel 24.3 Makina yapımında kullanılan kaymalı yataklar için yükleme değerleri
(Fe-Çelik, DD-Dökme demir, BM-Beyaz metal, Pb-Bz-Kurşun bronzu,
Bz-Bronz, Rg-Kızıl döküm, Sn-Bz-Kalay bronzu)

Kullanıldığı yer	Malzeme çifti	P (daN/cm ²)	v (m/s)
Güç taşıyıcı miller	DD/Fe DD/Fe BM/Fe	2 8 5	3,5 1,5 6
Kaldırma makinaları: Vinç kolu dönme noktası Tekerlek, makara, tambur	DD-Sn-Bz20/Fe70 Rg7/Fe50	150 120	- -
Takım tezgahları: Mafsallı presler, süper basınçlı hadde işleri	BM,Rg,DD-Bz,DD/Fe Pb-Bz/Fe SnBz8/Fe sert. Sentetik mal./Fe sert.	20-50 1000 500 250	- - 50 50
Elektro ve su kuvvet makinaları, buhar türbinleri ve özel turbo motorlar	BM/Fe50 BM/Fe Pb-Bz/Fe	7-12 8 15	10 60 60
Pistonlu buhar mak.-Pompalar: Kroshed ve piston pernoları Krank mili: Piston kolu yatağı, ana yatak, dış yatak (Volan yatağı)	BM, Pb-Bz/Fe sert. BM, Pb-Bz/Fe sert. BM, Pb-Bz/Fe sert. BM/Fe	120 75 45 25	- 3,5 3,5 3
Taşıt ve uçak motorları: Piston kolu yatağı: yavaş hız, yüksek hız uçak motorları Krank mili yatağı: yavaş hız, yüksek hız uçak motorları	BM/Fe BM/Fe BM/Fe BM/Fe BM/Fe BM/Fe	120 200 800 80 135 180	- - - - - -
Diesel motorları: 4 zamanlı motor piston kolu yatağı 4 Z Mot. crank mili yatağı 2 Z Mot. Piston kolu yatağı 2 Z Mot. crank mili yatağı	- - - -	125-250 55-130 100-150 50-90	- - - -

veya daha aşağı olabilir. Ancak bu durumda kullanılacak yağın çok iyi filtrelenmiş olması şarttır.

Radyal kaymalı yataklarda çevre hızı (v) 12 m/s'nin üstünde çıkışına pompalı yağlama sistemi tercih edilmelidir. Daha küçük hızlarda ve yatay millerde bilezikli yağlama uygulanabilir.

μ - sürtünme katsayısı olmak üzere hidrodinamik sıvı tabakası bölgesinde Vogelphoh'a göre,

$$S_c < 1 \text{ için } \mu/\psi = 3/S_c$$

$$S_c > 1 \text{ için } \mu/\psi = 3/\sqrt{S_c}$$

yaklaşık değerleri kullanılabilir.

Yağ tabakası teşkili için yatağa gönderilmesi gereken yağ miktarı

$$G = \frac{d^2 b \mu n}{320 \theta} \quad (lt/dk)$$

Burada μ - sürtünme katsayısı, n - (d/d) olarak dönme sayısı, d (cm) olarak mil çapı, b (cm) olarak yatak denisliği ve θ - yağ debisi faktöründür (Bak. Şekil 24.5).

24.1.1.2. Radyal Kaymali Yataklarda Hesapların Düzenlenmesi

1. Milin yükleme durumuna göre yataklara etkiyen kuvvetler tespit edilir.
2. Milin yataklama yerindeki çapı (d) hesaplanır veya diğer çap kademelerine göre seçilir. Buna göre b/d oranı göz önünde bulundurularak yatağın ortalaması basınıcı

$$P_m = \frac{F}{b d}$$

eşitliği ile hesaplanır. Ortalama basınç değerleri Cetvel 24.3'den de alınabilir. Bazı durumlarda hesapla bulunan basınç değerleri yardımıyla aynı cetvelden yatak malzemesi seçilebilir.

3. En küçük yağ tabakası kalınlığı h_c ; yüzey pürüzlülüğü göz önünde bulundurularak

$$h_c \geq S_m (4 \dots 5)(R_m + R_{zz})$$

eşitliği yardımıyla tespit edilir.

4. Boyutsuz yatak boşluğu ψ , seçilen yatak malzemesine veya ISO toleranslarına göre (örneğin Cetvel 24.4'den) seçilir. Tolerans değerleri belirlenenin Δd çap farkı da belli ölçügünden boyutsuz en ince yağ tabakası kalınlığı

$$h_c = \frac{2h_c}{\Delta d} = \frac{2h_c}{\psi d} = 1 - \varepsilon$$

bulunur.

5. Boyutsuz en ince yağ tabakası kalınlığı (h_c) ve boyut oranına (b/d) göre Şekil 24.5'den veya

$$\varepsilon = \frac{2\varepsilon}{\Delta d} = 1 - \frac{2h_c}{\Delta d}$$

eşitliği ve b/d 'ye göre Cetvel 24.2'den S_c ile μ/ψ ve θ değerleri bulunur.

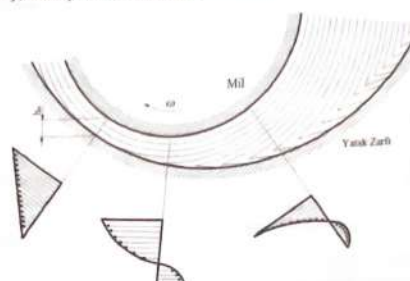
6. $S_c = \frac{P_m \psi^2}{\eta \omega}$ eşitliğinden yataktaki kullanılabilecek yağın viskozitesi hesap edilir.

7. Bölüm 24.3'de verilen "Kaymali Yataklarda Isı Kontrolü" kısmındaki eşitliklerden yararlanılarak yatağın soğuma durumu kontrol edilir.

24.1.1.3. Birden Fazla Kayma Yüzeyli Yataklar (Çok Kamalı Yataklar)

Düşük yük ve yüksek hızlarda daha kalın yağ tabakaları oluşmaktadır, ancak yatak içinde mil (muylu) çalışma dengesini (stabilitesini) kaybetmektedir.

Hızın yüksek olduğu durumlarda yağ tabakasının incelediği yerde yağ geriye doğru akar. Bu olay, mille yatak zarının en yakın olduğu yerde (en ince yağ tabakasının) gerçekleşir.

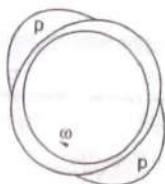


Şekil 24.6 Yüksek basınç etkisiyle yağın geriye akışı ve hız dağılımları

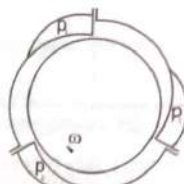
oluştuğu yerde) yağın sıkışmasından ortaya çıkan yüksek basınç nedeniyle meydana gelmektedir. Esasen en ince yağ tabakasının oluştuğu yerde basınçın yüksek olması doğaldır ve gereklidir. Çünkü yükü taşıyacak basınç ancak bu bölgede olur. Yatak zarfının diğer kısımları taşıma işine yardımcı olmakla beraber yükü dengeleyen kısımları bu bölgedir. Bu yüksek basınçın elde edilmesi için:

1. Milin dönmesiyle aralığı sevk edilen yağ miktarı fazla olmali.
2. Sevk edilen bu yağlar ancak büyük zorlamlarda araliktan çıkabilecektir.

Birinci şart büyük boşluk, ikincisi ise küçük boşluk gerektirir. Bu iki şart normal bir yataktta gerçekleştirilemez. Bu nedenle birkaç tane taşıma yüzeyi olan yataklar yapılmıştır. Bunlara birden fazla taşıma yüzeyili yataklar adı verilir.



Şekil 24.7 İki taşıyıcı yüzeyili yatak

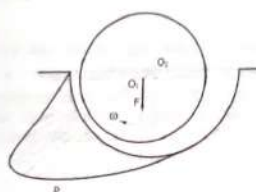


Şekil 24.8 Üç taşıyıcı yüzeyili yatak

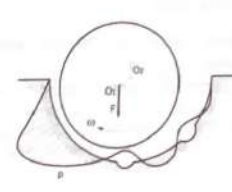
İki taşıyıcı yüzeyili yatak (limon boşluklu yatak) (Şekil 24.7); bu yataktaki iki basınç tepeceği olur ve mil bu basınç tepecekleri arasında sıvı bir kıskaç ağzında imis gibi dengede kalır ve rahat çalışır. Dengenin önemli olduğu yerlerde kullanılır.

Dönüş yönü değişmeyen mil yataklarlarında üç taşıyıcı yüzeyili yataklar oldukça iyi sonuç verirler (Şekil 24.8).

Normal bir yataktaki yağ basıncının durumu Şekil 24.9'da olduğu gibi iken, bu yatağın taşıyıcı kismına yağ kanalı açılırsa basınç yayılmış Şekil 24.10'daki şekli alır. Bu iki şekelede görülebileceğini gibi yatak zarfına açılan yağ kanalları basınç dağılımını kötü yönde etkilemektedir ve yatağın yük taşıma kapasitesini azaltmaktadır. Yük taşıma kapasitesinin azaltmasına neden olabilecek bu tür yataklarda zayıf basınç bölgelarının orta kismına büyük yağ kanalları açılırsa yatağın daha bol yağ ile yağılanması temin edilir. Dört taşıma yüzeyili yatak buna ömek gösterilebilir (Şekil 24.11). Burada mil çevresinde oluşan dört basınç tepeceği mili dört bir tarafından sararak dengede tutar ve sistemin her iki yönde çalışmasına olanak tanır.



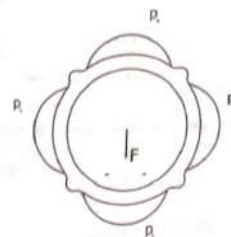
Şekil 24.9 Normal yatak basıncı



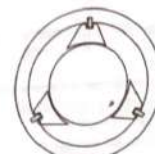
Şekil 24.10 Bozulmuş taşıyıcı basıncı

Çok taşıma yüzeyili yataklar sessiz çalışmaları, uzun ömürlü olmaları, darbeye karşı dayanıklı olmaları ve lityum merkezleme temin etmeleri bakımından özellikle takım tezgahlarında geniş kullanım alanlarına sahiptirler. Aynı zamanda normal yataklarda uygulanan devir sayısının (birkaç bin) çok üstünde (50.000 – 60.000) devir sayılarına kadar da kullanılabilirler.

Çok taşıma yüzeyili yataklar oynak segmanlı olarak da yapılabilir (Şekil 24.12). Milin devir sayısına göre segmanlar eğimlerini otomatik olarak ayarlayabileceğini gibi ayar civataları yardımıyla da segman ile myolu arasındaki boşluk ayarlanabilir.



Şekil 24.11 Dört taşıma yüzeyili yatak



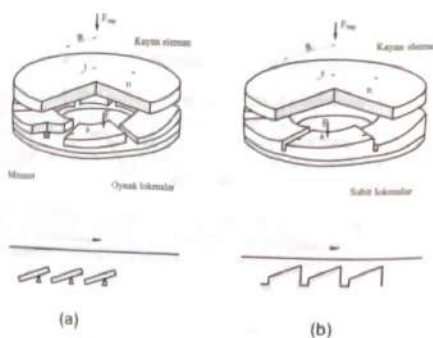
Şekil 24.12 Oynak segmanlı yatak

24.1.2. Hidrodinamik Eksenel Kaymalı Yataklar

Su ve buhar türbinleri, turbo kompresörler, gemi milleri ve benzeri yerlerde eksenel kuvvetleri almak üzere kullanılır. Genellikle yataktaki eğik bir yağ kaması (Şekil 24.13) ile yatağın yüzeyine sabit veya oynak olarak eğilim edilir. Bu eğik yağ kaması, yatağın yüzeyine sabit veya oynak olarak çalışmasına olanak tanır.

yerleştirilen lokmalar (Şekil 24.13) yardımıyla oluşturulur ve böylece hidrodinamik yağılama yapılır.

Eksenel hidrodinamik kaymali yataklarda taşınan yüze bağlı olarak pek büyük olmayan yüzey basınçları ($p_w = 3 \text{--} 8 \text{ daN/cm}^2$) ve küçük çevre hızları ($v \leq 5 \text{ m/s}$) uygulanır. Bu nedenle yatağın taşıyıcı yüzeyi artırılarak basıncın azaltılması yoluna gider. Ancak bu durum mil çapı ile oluşan dayanma yüzeyi ile değil yatak yüzeyinin büyütülmesi şeklinde yapılmaktadır. Yatağın bu büyütülen dayanma yüzeyine sürtünme halkası adı verilir.

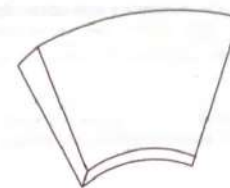


Şekil 24.13 Hidrodinamik eksenel kaymali yatağın prensip şeması
a. Oynak lokmalar, b. Sabit lokmalar

Hidrodinamik eksenel kaymali yataklarda, yatağın çalışmadığı durumda milin yatak yüzeyine daha dengeli bir şekilde dayanması için, taşıyıcı yüzeyi oluşturan lokmaların eğik yüzeyinin bir kısmının düz olarak yapılması daha uygundur. Bu yatakların bilinen en yaygın türü oynak lokmaları "Michell Yatağı"dır.

24.1.2.1. Oynak Lokmali Yataklar: Michell Yatağı

Yatak yüzeyi çok sayıda eğik ve merkeze doğru belli bir konikliğe sahip lokmaların meydana gelmesi (Şekil 24.14). Sürtünme halkasındaki bu eğim, yük taşıyıcı yağ kamasının oluşması ve koniklik de dönme esnasında yağın dışarı savrulmasını önlemesi amacıyla düzenlenmiştir. Lokmaların oynak mesnetlenmesi sayesinde ise, yatağın (milin) çevresel hızına bağlı olarak kendiliğinden eğimlerini ayarlanması ve yataktaki eğik bir yağ kamasının oluşması temin edilir.

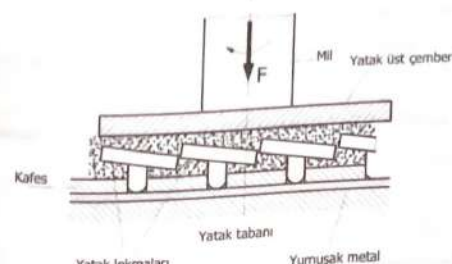


Şekil 24.14 Konik lokma

Konik yüzelyi lokmaların temin ettiği yağ kaması sayesinde bu yataklardaki basınç değeri $3 \text{--} 8 \text{ daN/cm}^2$ düzeyinden $10 \text{--} 40 \text{ daN/cm}^2$ ye kadar çıkabilmektedir. Ancak bu yataklarda en büyük problem bütün lokmaların eşit olarak yüklenmelerinin sağlanamasıdır. Montaj sırasında biraz yüksek kalan birkaç lokma bütün yükü laşır ve bunlar çubuk aşınarak yatak bozulur. Lokmaların ince ayarı ya basınç altında ayar vidaları yardımıyla veya Şekil 24.15'de görüldüğü gibi lokmaların küresel desteği dayandığı yumuşak metal sayesinde yapılır. Lokmalarla yük uygulandığında yüksek olan lokmalar yumuşak metale gömüllererek yükseklik ayarı otomatik olarak yapılmış olur.

24.2.2.2. Hidrodinamik Eksenel Yatağın Hesabı

Yukanda açıklandığı gibi, eksenel kaymali yatak, halka şeklinde sıralanmış bir takım eğik düzlemlerden (lokmalardan) oluşmaktadır.



Şekil 24.15 Oynak lokmali yatağın yüklenmesi

Simetri nedeniyle kuvvetin eğik düzlemlere eşit olarak dağıldığı kabul edilir. Bu yataklarda kayma hızı (v), eğim faktörü (m) ve lokmaların uzunluğu (a)'nın, $D_s = (D+d)/2$ ortalaması yatak çapına karşılık geldiği varsayımlı yapılır (Şekil 24.16 ve Şekil 24.17).

Böyle bir yataktaki yağ tabakasının yük taşıma ve sürtünme durumunu belirten önemli büyüklükler aşağıdaki boyutsuz ifadelerde verilmiştir.

Boyutsuz yük sayısı:

$$\phi = \frac{F f_s}{z \eta v b} \left(\frac{h_z^2}{a^2} \right)$$

Burada $F - (daN)$ eksenel kuvvet (yatak yükü)
 $f_s -$ yan akım düzeltme faktörü (b/a ve m değerlerine bağlı olarak Cetvel 24.5'de verilmiştir)
 $m = (h_l - h_z)/h_z$ kama eğim faktörü
 $h_z -$ (m) en küçük aralık (minimum yağ tabakası kalınlığı)
 $z -$ lokma sayısı
 $v - (m/s)$ ortalama çevre (kayma) hızı
 $a - (m)$ ortalama lokma uzunluğu
 $b - (m)$ lokma genişliği
 $\eta - (daNm^{-2}s)$ yoğun dinamik viskozitesi

şeklinde alınmıştır.

Yatağın sürtünme katsayısı:

$$\mu = f_s C \left(\frac{h_z}{a} \right)$$

Burada C - sürtünme faktörü (m büyüklüğüne göre Cetvel 24.6'da verilmiştir).

Ortalama basınç:

$$p_a = \frac{F}{abz} \quad (daN/cm^2)$$

Uygulama İçin Pratik Bilgiler:

Ortalama basınç : $p_a = 10 \div 40 \quad (daN/cm^2)$

Cetvel 24.5 Yan akım düzeltme faktörü (f_s) değerleri

m	b/a	∞	4	2	1,33	1,0	0,8	0,667	0,5
1	1		1,19	1,44	1,79	2,305	2,91	3,585	5,41
2	1		1,18	1,41	1,74	2,18	2,74	3,38	4,83

Cetvel 24.6 Yük sayısı (ϕ), sürtünme faktörü (C) ve (e/a) değerleri

m	ϕ	C	e/a
0,7	0,1476	5,48	0,052
1,0	0,1589	4,86	0,068
1,2	0,1600	4,80	0,078
1,5	0,1577	4,62	0,090
2,0	0,1479	4,71	0,108
3,0	0,1243	5,24	0,134
4,0	0,1035	5,89	0,154
5,0	0,0872	6,53	0,169

Lokmaların genişlik oranı : $b/a = 0,7 \div 1,25$ (önerilen değer $b/a = 1$)

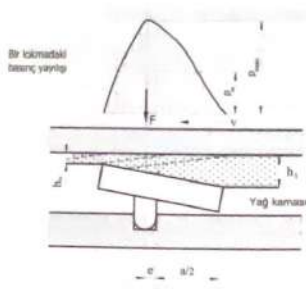
Ortalama çevre hızı : $v < 12 \quad (m/s)$

Lokma sayısı : $z = 5 \div 16$ (önerilen değer $z = 7 \div 12$)

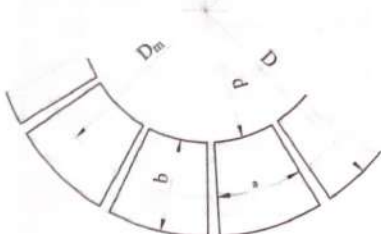
Lokma alanları toplamının, toplam sürtünme halkası alanına oranı:

$$k = \frac{zab}{\frac{\pi}{4} (D^2 - d^2)} = \frac{zab}{\pi D_w b} ; \quad D_w = \frac{D+d}{2}$$

Bu oran $k = 0,6 \div 0,9$ değerleri arasındadır. Orta hızlarda $k = 0,8$ ve yüksek hızlarda (buhar türbini ve turbo kompresörlerde) $k = 0,6$ değerleri önerilmektedir.



Şekil 24.16 Bir lokmadaki basınç durumu



Şekil 24.17 Sürünme halkası

Kama eğimi faktörü : $m = (h_i - h_e)/h_e = 1 + 2$ (önerilen $m = 1,2 \div 1,5$) değerleridir.
Çünkü Çetvel 24.6'ya göre en büyük yük $m = 1,2$ ve en küçük sürünme $m = 1,5$ değerlerindedir.)

En küçük aralık (minimum yağ tabakası kalınlığı) :

$$h_e \geq 5 \cdot 10^{-4} \cdot D_s$$

Lokmalarda yağ tabakası teşkili için gerekli yağ miktarı, yakınsak olarak,

$$G = 0,7 \cdot z \cdot b \cdot v \cdot h_e \quad (m^3/s)$$

Burada h - (m), v - (m/s) ve h_e - (m) boyutunda alınacaktır.

Yataktaki sivi yağlamasının teşkili, rejim (nominal) çalışma hızının daha altında başlamalıdır. Sivi yağlamaya geçiş dönme sayısı n_g ve nominal dönme sayısı n_n ile gösterilirse

$$n_g = (0,3 \div 0,7) n_n$$

olarak alınabilir. Yük altında sık sık durup hareket eden millelerde küçük değer, sürekli olarak nominal hızda çalışan millelerde ise büyük değer alınır.

Hesaplanan yağın viskozitesi geçiş dönme sayısında emniyetli bir sivi sürtünmeye sağlanmalıdır. Yağın yaşadığı durumlarda da durup kalkmalar olduğu için, bu viskozite yağın alabileceği en yüksek sıcaklık için verilmelidir. Böylece sistem içinde belirli bir emniyet sağlanmış olur.

24.2. Hidrostatik Kaymali Yataklar

Prensip olarak hidrostatik yataklarda dış kuvveti (yatak yükünü) dengelemek için yağ tabakasındaki basınç zorunu olarak oluşturulur. Bu iş için genellikle bir pompa kullanılır ve bu pompa vasıtasyyla kayma yüzeyleri arasına yüksek basınç altında yağ gönderilir.

Hidrostatik yağlamadan özellikleri şunlardır:

1. Üzereler birbirine nazaran hareketsiz iken bile sivi sürtünmesi oluşturulabilir. Bu nedenle hareketin başlangıcında ve bitiminde hidrodinamik yağlama meydana gelen aşınmalar olmamaktadır.
2. Yük taşıma kabiliyetinin yüzeyler arasındaki bağıl harekete bağlı olmamasından ve yük taşıma basıncının (hidrostatik basınç) zorunu olarak oluşturulmasından dolayı büyük yataklamalarda (jeneratörler, su turbinleri vb.) rahatlıkla kullanılabilir.
3. Oldukça büyük bir sönmümleme ve rıjtılığe sahiptir.

Hidrostatik yağlamadan sakıncalar ise şu şekilde özetlenebilir:

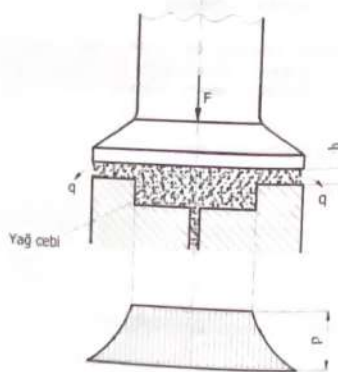
1. Sistemi oluşturan tesisat (pompalar, borular, armatürler vb.) oldukça karışıktr ve sık sık arızalara yol açmaktadır.
2. Hidrostatik yağlamada sürünme gücü kaybı daha az, dolayısıyla yataktaki aşınma da az olacağından yatak daha uzun ömürlü olur. Ancak sistemin ilk malzemesi yüksek ve bakımı daha pahalıdır.

Bu sakincalara rağmen hidrostatik kaymalı yatakların gelişen bir şekilde kullanıldığı görülmektedir. Özellikle eksenel yataklar ve takım tezgahlarının ana mil yataklarında artan bir şekilde uygulanmaktadır.

Hidrostatik yatağın prensip şeması Şekil 24.18'de verilmiştir. Yağ, bir pompa yardımıyla yağ cebine gönderilir ve yatağın yükünü taşıyacak miktarla basınç (p) olusunca ortamda yağ kayma yüzeyleri arasındaki boşluktan dışarı akar (q). Küçük eksenel yataklar tek cepeli yapılabilmekte beraber büyük eksenel yataklar ve radyal yataklar birden fazla cepeli olmalıdır. Cepeler dikdörtgen veya daire şeklinde olabilir.

24.2.1. Hidrostatik Radyal Kaymalı Yataklar

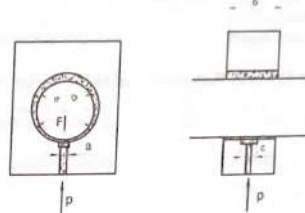
Eğer hidrostatik yağlama; sadece hareket başlangıcı ve bitiminde oluşacak olen kuru veya yan sıvı sürütmeyi önlemek amacıyla yapılyorsa, Şekil 24.19'da görüldüğü gibi, hareket yokken mili yukarı kaldırıracak bir yağ basıncı elde etmek için yatağın altında bulunan bir delikten pompa yardımıyla basınçlı yağ verilir. (c_1, c_2, c_3) kesitindeki cebe ulaşan yağ mili yukarıya kaldırır. Mil normal hızına ulaştığı ve hidrostatik yağlama ile sıvı sürütmemesi sağlandığında, pompa ile gönderilen basınçlı yağ akışı durdurulur.



Şekil 24.18 Bir hidrostatik eksenel kaymalı yatağın prensip şeması

Hidrostatik yağlama bakımından yatağın alt yarısında bırakılan kanal veya boşlukların ne kadar sakincalı olduğu bölüm 24.1.1.3'de kısaca anlatılmıştır. Ancak hidrostatik yağlamanın gerekliliği yererde bu boşluklar bırakılır, buna karşılık

yapılan hidrostatik hesaplarda bu etkiye azaltacak yönde emniyet payları göz önünde bulundurulur.

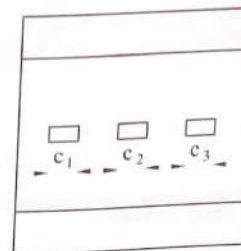


Şekil 24.19 Bir hidrostatik yatağın yağlanması

Yağ sevk kanalları (ceppler) genellikle tek parça olmamıştır. Birkaç parçalı yapılmıştır (Şekil 24.20). Böylece milin daha düzgün bir şekilde kaldırılması ve hidrostatik yağlamada oluşturulacak basınç yayılışının yük taşımaya daha elverişli olması sağlanmış olur. Bu durumda cebin toplam uzunluğu

$$c = c_1 + c_2 + c_3$$

olur.



Şekil 24.20

Bir radyal kaymalı yataktaki hidrostatik yağlama sürekli yağlama sistemi olarak sayılırse yatağa bir yerden değil birkaç yerden yağ gönderilmelidir (Şekil 24.21). Bu çok cepeli yağlama tertiptinde bir tek pompa kullanılır ve her cebe gönderilecek

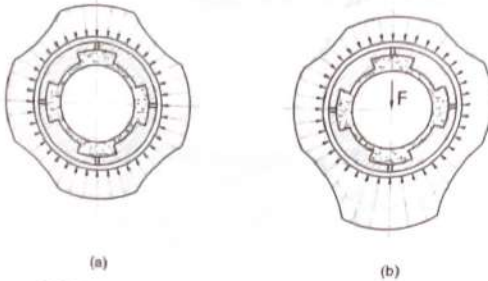
yağ miktarı, dolayısıyla her cepteki basınç değeri, tesisata yerleştirilecek direnç elemanları ile ayarlanır. Pratikte hidrostatik radyal kaymali yataklarda 3 ile 5 cep bulunur. Daha fazlasının yük taşıma kabiliyetine olan etkisi yok denenecek kadar azdır. Yük altında en alttaki cepte oluşan basınç artar, üstteki basınç ise azalır (Şekil 24.21b). Yan ceplerdeki basınçlarda büyük bir değişim olmaz.

24.2.1.1. Hidrostatik Radyal Kaymali Yatakların Hesabı

Hidrostatik radyal kaymali yataklarda uygun bir yağlama elde etmek için yatağa gönderilen yağ miktarı:

$$Q = \frac{60 F \psi^3 d}{A \eta} \quad (\text{l/dak})$$

olmalıdır. Burada F - (daN) yatak yükü, $\psi = (D-d)/d$ boyutsuz yatak boşluğu, d - (mm) mil çapı, η - (daNm^{-2}s) yağın dinamik viskozitesi ve A - boyutsuz yağ tabakası kalınlığına (h) bağlı bir katsayıdır. Yatağa gönderilecek bu yağın basıncı ise



Şekil 24.21 Bir radyal kaymali yataktaki hidrostatik basınç dağılımı
a. yüksüz, b. yükslenmiş

$$p = \frac{33,3 \eta Q B}{c \psi^3 d^3} \quad (\text{daN/cm}^2)$$

şekilde hesap edilir. Burada c - (mm) yağ kanalının uzunluğu ve B , boyutsuz yağ tabakası kalınlığına bağlı bir katsayıdır. A ve B katsayılarının değerleri Cetvel 24.7'de verilmiştir.

Kullanılacak pompanın basıncı, yukarıdaki eşitlikten hesaplanan yağ basıncından daha büyük olmalıdır. Seçilecek pompanın gücü

$$P = \frac{Q p}{450 \eta_s} \quad (BG)$$

Burada η_s - pompanın verimi, p - (daN/cm^2) yağ basıncı ve Q - (l/dak) gerekli yağ miktarıdır.

24.2.2. Hidrostatik Eksenel Kaymali Yataklar

Hidrodinamik yağlama yoluyla elde edilen basınçlar, çoğu zaman eksenel yataklarda ihtiyacı cevap vermemeştir. Bu durumda oldukça büyük eksenel yüklerin taşınmasında yağ tabakasındaki gereklili basınçın zorunlu olarak elde edilmesi gerekmektedir. Hidrostatik radyal kaymali yataklarda olduğu gibi buradada gereklili olan yüksek basınç genellikle bir pompa yardımıyla temin edilir.

Cetvel 24.7 h , ye bağlı A ve B katsayıları değerleri

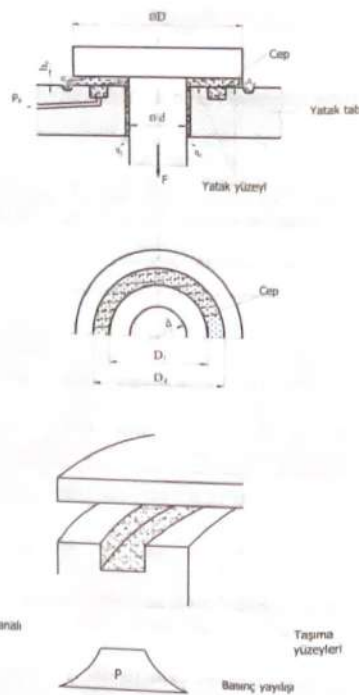
$h_c = \frac{2h}{\Delta d}$	0	1	2	3	4	5	6	7	8
A	∞	121,2.10 ³	30600	13740	7800	5040	3530	2620	2074
B	∞	384,2.10 ³	179.10 ³	65300	32050	18380	11750	8040	5810

9	10	0,15	0,20	0,25	0,30	0,40	0,50	0,60	0,70	0,80	0,90	1,00
15	1321	613	360	237	173	105	72	53	42	34	28	24
4340	3355	1258	634	344	246	128	78	53	38	29	23	19

Eksenel kaymali yataklarda ortala çevre hızının 12 m/s'nin üstüne çıkması halinde pompalı (hidrostatik) yağlamaya geçilir. Eğer oynak lokmalı bir eksenel yatak (örneğin Michell yatağı) söz konusu ise yağ, lokmalarla pompa ve buna bağlı memelerle verilir.

24.2.2.1. Hidrostatik Eksenel Kaymali Yatağın Hesabı

Büyük eksenel yüklerin taşınması için yatak yüzeyi büyütülerek yatağın alt yarısına açılan dairesel cep yardımıyla yatağa basınçlı yağ gönderilmektedir (Şekil 24.22). Böyle bir yatak tasarımında



Şekil 24.22

$$\text{Kanalın (cebin) alanı} : A = \frac{\pi}{4} (D_s^2 - D_i^2)$$

$$\text{İç yatak yüzeyi alanı} : A_i = \frac{\pi}{4} (D_i^2 - d^2)$$

$$\text{Dış yatak yüzey alanı} : A_d = \frac{\pi}{4} (D^2 - D_s^2)$$

ilk olarak kanalın basıncı p_1 olsun ve yatak yükü sadece bu basınç tarafından taşınır. Bu durumda

$$F \approx A \cdot p_1 \equiv p_1 \cdot \frac{\pi}{4} (D_s^2 - D_i^2)$$

olarak. İkinci olarak kanaldaki basınç p_2 ve basınç dağılımı Şekil 24.22'de noktalı çizgilerle gösterildiği gibi doğrusal olsun. Bu durumda da

$$F \approx p_1 A + \frac{p_2}{2} A_i + \frac{p_2}{2} A_d$$

$$F \approx p_1 \frac{\pi}{4} [(D_s^2 - D_i^2) + \frac{1}{2} (D_i^2 - d^2) + \frac{1}{2} (D^2 - D_s^2)]$$

Yukinde bir eşitlik yazılır. Hidrostatik olarak meydana getirilecek tam sıvı yağlamada, pompanın basacağı yağı basınç yani pompa basıncı

$$p_p = \frac{8 F \cdot \ell n \left(\frac{D_s}{D_i} \right)}{\pi (D_s^2 - D_i^2)}$$

eşitliği ile hesap edilir. Burada p_p - (daN/cm^2) olarak pompa basıncını, F - (daN) olarak yatak yükünü, D_s ve D_i - (cm) olarak yatak cebinin (kanalın) dış ve iç çaplarını göstermektedir. Yatağa verilmesi gereken yağ miktarı, elde edilmesi gereken yağ tabakası kalınlığına bağlı olarak

$$Q = \frac{\pi}{10} \cdot \frac{p_p h_s^3}{\eta \cdot \ell n \left(\frac{D_s}{D_i} \right)} \quad (\ell l/dak)$$

Eşitliği ile hesaplanır. Bulunan bu debideki yağı sevk edecek pompanın gücü ise

$$P = \frac{Q p_s}{450 \eta} \quad (BG)$$

olarak bulunur. Bu eşitliklerde h_0 - (dm) en ince ya  tabakas› kal›nl›¤i, η - ($daN.s/dm^2$) ya in dinamik viskozitesi ve η_p - (%) pompanin verimlilik orans› o stermektedir.

Bu yataklarında yapılan hesaplarla, genellikle yatak yükünden (F) dolayı pompanın basıncı (p) testil edilir ve gerekli pompa seçilir.

24.3. Kaymalo Yataklarda Isı Kontrolü

Çalışma esnasında sürtünme nedeniyle yataklarda bir güç kaybı olur ve bu durum yatağın işinmasına sebep olur. Yataktaki oluşan bu ısı hem kullanılan yağına yağlama özelliğinin bozulmasına hem de yatak zarfı ve mil mulyusunun aşınmasına sebep olur. Yataklarda kullanılan yağlar normal çalışma sıcaklıklarına göre sıcaklıklar için (bu değer genel olarak 60°C dolayındadır) daha yüksek sıcaklıklarda viskozite düşer ve uygundan bir yağlama yapılamaz.

Yatağın kendiliğinden soğuması; yatak dış yüzeyinin büyütülmesi, bulunduğum ortamın sıcaklığı, yatağın açıkta veya makina içinde olması, mil tarafından işlenmesi (örneğin bir buhar türbini veya bir soğutma tesisi)indeki mil yatakları gibi benzeri bir çok faktöre bağlıdır.

Yataktaki oluşan ısı, genellikle yağılama yağı ve yatak gövdesi tarafından dışarı atılır. Yataktaki sürtünme yolu ile meydana gelen ısı,

$$Q_1 = 35380 \cdot F_{V,H} \quad (J/h)$$

esitliğinden bulunur. Burada F - (daN) yatak yükü, v - (m/s) ortalama çevre hızı, μ - sürtünme katsayısıdır.

Yatak gövdesi tarafından dışarı atılan işi (aynı anda) - 10 m

$$\varrho_c = A \cdot g N_c \cdot (I/k)$$

ve yağılayıcı maddelerden.

J. ESGM

esitlikleri ile hesaplanır. Burada $A_c = (m^2)$ yatak dış yüzeyi alanı, $\alpha = (J/m^2 \cdot ^\circ C)$ toplam ısı iletim katsayısı, $\Delta t = (^{\circ}C)$ yatak yüzeyi sıcaklığı ile çevre sıcaklığı

arasındaki fark, $C = (J/daN.^{\circ}C)$ yoğun özgül ısınma ısısı, $G (daN/h)$ yağlayıcı madde (soğutucu maddé) miktarı, $\Delta t_i - (^{\circ}C)$ yağlayıcı (veya soğutucu) maddenin çıkış ve giriş sıcaklıklarını farkıdır.

Yatağın ısı bakımından dengede olabilmesi için, sürtünme yolu ile meydana gelen ısının, çevreden soğuma ve yağılayıcı madde ile alınması gereklidir. O halde

$$\mathcal{Q}_i = \mathcal{Q}_c + \mathcal{Q}_e$$

olmalıdır. Genellikle kapalı devre yağılama sistemlerinde (örneğin pompalı yağılama sisteminde) yağlayıcı tarafından çevreye iletilen ısı; açık devre yağılama sistemlerinde (örneğin damlalık veya fitilli yağılama sistemlerinde) gövdə ve mil tarafından iletilen ısı daha önemlidir. İsi kontrolunda yatağın kendi kendini soğutamayacağı tespit edilirse tümisin soğutucu taraflarından alınması yoluna gider. Cevreden soğuma bir emniyet payı olarak bırakılır.

Uygulama İçin Pratik Bilgiler:

Toplam ısı iletim katsayısi: $\alpha = (J/m^2 \cdot ^\circ C h)$

Kendi kendini sınıflan sistemlerde

$$\alpha = 75166 - 92114 \quad (J/m^2 \cdot C.h)$$

Yatak etrafında manzılkı bisiklet akımı meydana getirilmiş ise

$$\alpha = 4187 \left(1.5 + 7.6 \sqrt{v} \right)$$

Burada ... (...) olsalıma hava hızlı

Yatak duvarı - 1 - 23

Bandyopadhyay

$$t = (12 - \tau_1) / t$$

Burada $d - (m)$ mil çapıdır. Hafif makina inşasında 12, ağır makina inşasında ise 24 cm.

Ergonomics

4 (2012)

Yağların özgül ışları: $C - (J/daN^{\circ}C)$

Mineral yağılarda

$$C = 1675 - 2100 \text{ (J/daN}^{\circ}\text{C)} \text{ ve saf suda } C = 4187 \text{ (J/daN}^{\circ}\text{C)}$$

Yatak yüzeyi sıcaklığı 60°C 'dan daha az olmalıdır. Çevre (ortam) sıcaklığı 20°C alınır.

$$\Delta t_i \leq 40^{\circ}\text{C}$$

olmalıdır.

Söğütücü madde veya yağın çıkış ve giriş sıcaklıklarını arasındaki fark

$$\Delta t_i \approx (10+15)^{\circ}\text{C}$$

arasında olmalıdır.

24.4. Yatak Malzemeleri

Yatak malzemelerinden beklenen özellikler o kadar çeşitlidir ki buruların hepsi bünyesinde toplayan bir tek malzeme tanımlamak olanaksızdır. Bu bakımdan belirli işletme şartlarında bu şartta en uygun yatak malzemesinden söz etmek mümkündür.

Genel olarak bir yatak malzemesinden şu özellikler beklenir:

1. Yağlayıcı tarafından iyi ıslatılabiliridir.
2. Yeterli吸引ma ve basınç mukavemetine sahip olmalıdır. Yataklardaki zorlamlar çok defa değişken zorlanma olduğundan yorulmalar göz önüne alınmalıdır.
3. Sıcaklığa dayanımı kabbetmemelidir.
4. Yağ kesilmesi, yağsız çalışma gibi durumlarda mil malzemesine hemen kaynamamalıdır.
5. Döküm ve talaş alma işçiliğinin kolay olması ve düzgün bir yüzey vermesi gereklidir.
6. Isıya mümkün olduğu kadar iyi iletmelidir. Bazı yatak malzemelerinin ısı iletkenlikleri

Beyaz maden	WM5	20 (J/m ² /Ch)
Beyaz maden	WM93	38 (J/m ² /Ch)
Bronz (ortalama)	Bz	45 (J/m ² /Ch)

7. Korozyon etkilerine karşı dayanıklı olmalıdır.
8. Hafif inşanın önemli olduğu yerlerde yatak malzemelerinin de özgül ağırlıkları küçük olmalıdır.
9. Ekonomik olmalıdır.

Yatak malzemeleri kullanılan malzeme türüne göre madasel ve sentetik yatak malzemeleri olarak iki grupta incelenebilir.

24.4.1. Madasel Yatak Malzemeleri

Şekillendirme tekniği bakımından döküm, sinterleme ve çekilmiş çubuktan işlenen yatak malzemeleri vardır.

Döküm yoluyla şekillendirilen yatak madenleri bünye yapıları bakımından iki karakteristik şekil gösterirler. Birincisinde; ana kitle yumuşak yapıda ve bu kitle içine küçük adacıklar şeklinde sert kristaller dağılmıştır. Beyaz maden bu türün en karakteristik temsilcisidir. Beyaz madenin yapısında; kalay – kurşun – antimон – bakır ve çok az miktarda diğer bazı elementler vardır.

Döküm yoluyla şekillendirilmiş yatak malzemelerinin ikinci tipinde; birincinin tam tersine ana kitle sert ve bu kitle içine yumuşak kristaller dağılmış durumdadır. Bu türün en karakteristik temsilcisi bronzlardır.

Sinterlenmiş malzemeler ise toz metalürji yöntemiyle elde edilen malzemelerdir. Toz halindeki madenler veya maden alaşımaları preslenerek ilk şekillerini aldıktan sonra nötr bir atmosferde ve belirli sıcaklıklarda sinterlenirler. Bu işlem sonunda malzeme bünyesinde mikroskopik boşluklar meydana gelir. Bu tip malzemeler hacimlerinin %35'ü kadar yağ emeler ve kendi kendini yağlayabilen bir yatak malzemesi olurlar.

Mukavemeti yüksek yatak burçlarının yapımında haddelemiş yatak malzemeleri de kullanılır. Örneğin kokilde dökülen özel bronz ve alüminyum alaşımaları çubuk halinde haddelemek yatak burçlarının üretiminde kullanılır.

24.4.2. Sentetik Yatak Malzemeleri

Son zamanlarda bithassa halojen karbonlu hidrojenler, örneğin teflon gibi malzemeler, yağlı ve yağsız çalışan yatak malzemeleri olarak kullanılmaktadır. Teflon oldukça düşük bir kuru sürünlme katsayısına sahip olup 200°C sıcaklık sınırlına kadar kararlı bir yapıya sahiptir. Su ve kimyasal maddelere karşı dayanıklıdır. Rijitliğini ve mukavemetini artırmak için cam elyafi, fiber, asbest, grafit ve moliibden disülfit gibi maddelerle takviye edilir. Yüksek sıcaklıklarda ve yağsız çalışma şartlarında tercih edilmektedir.

Nylon yatak malzemesi teflona göre daha düşük sürtünme özelliklerine sahiptir. Ancak özellikle su içinde şişme yapar. 60°C sıcaklık sınırına kadar kullanılabilir. Oda sıcaklığında ve yağlı sürtünme şartlarında iyi netice verir.

Bundan başka sentetik reçine içirilmiş elyaflı yatak malzemeleri de kullanılmaktadır. Ancak bunların ısı iletme kapabilitiesinin az oluşu, sıcaklık ve yağ tesiri ile şıgabe özelliklerinin bulunması sebebiyle büyük yatak boşlukları yapılmadan gerekir.

Özellikle su içinde çalışan yataklarda, örneğin gemi pervane milinin su içinde yataklanan kısmında, sert odundan (Peleşen) yapılmış yatak malzemesi kullanılır. Günümüzde bunların yerine daha çok Polyamid sentetik yatak malzemesi kullanılmaktadır. Yine su içinde bulunan yataklamalar için, çelik zarf içine 7–20 mm kalınlığında yumuşak lastik vulkanize edilerek delik kısmı taşlanmış yataklar kullanılır.

25. YAĞLAMA VE KAYMALI YATAK PROBLEMLERİ

Problem 25.1

20°C da $\gamma = 0,88 \text{ daN/dm}^3$ olan bir yağın kinematik viskozitesi $\nu = 30 \text{ cSt}$ olarak verilmiştir. Bu yağın dinamik viskozitesini cP ve E' olarak hesaplayınız.

Cözüm 25.1

a) Kinematik viskozite eşitliği

$$\nu = \frac{\eta}{\rho} = \frac{\eta \cdot g}{\gamma} \quad (\text{cm}^2/\text{s} = \text{St})$$

Burada $\nu = 30 \text{ cSt} = 0,3 \text{ St}$ veya ($= 0,3 \text{ cm}^2/\text{s}$)

$$g = 981 \text{ cm/s}^2$$

$$\gamma = 0,88 \text{ daN/dm}^3 = 0,88 \cdot 10^{-3} \text{ daN/cm}^3$$

olduğuna göre dinamik viskozite

$$\eta = \frac{\nu}{g} \cdot \gamma = \frac{0,88 \cdot 10^{-3}}{981} \cdot 0,3 = 2,69 \cdot 10^{-5} \text{ daNs/cm}^2$$

Diğer taraftan $1 \text{ daNs/cm}^2 = 98,1 \cdot 10^5 \text{ cP}$ olduğuna göre

$$\eta = 2,69 \cdot 10^{-5} \cdot 98,1 \cdot 10^5 = 26,4 \text{ cP}$$

olmaktadır.

b) Dinamik viskozite ile Engler derecesi arasındaki bağlantı

$$\eta = \left(74 \cdot E' - \frac{64}{E'} \right) \gamma \cdot 10^{-6} \quad (\text{daNs/cm}^2)$$

Buradan

$$74 \cdot \gamma \cdot 10^{-6} \cdot E'^2 - \eta \cdot E' - 64 \cdot \gamma \cdot 10^{-6} = 0$$

İkinci derece denklemi bulunur. Sayısal değerlerle

$$6,512 \cdot E'^2 - 26,9 \cdot E' - 5,632 = 0$$

esittiliğinin çözümü

$$E_{12}^* = \frac{26,9 \mp \sqrt{(26,9)^2 - 4 \cdot 6,512 \cdot (-5,632)}}{2 \cdot 6,512} = \frac{26,9 \mp 29,5}{13,024}$$

Buradan $E_{12}^* = -0,2$ ve $E_{12}^* = 4,33$ değerleri bulunur. Ancak negatif viskozite olamayacağına göre $E_{12}^* = 4,33$ değeri seçilir.

Problem 25.2

Bir makine yağının viskozitesinin standart Engier viskozimetresinde ölçülmesi sırasında 200 ml yağın viskozimetrenin deliğiinden akış zamanı

$$t = 24 \text{ } ^\circ\text{C}'da \quad T = 542 \text{ saniye}$$

$$t = 56 \text{ } ^\circ\text{C}'da \quad T = 154 \text{ saniye}$$

$$t = 98 \text{ } ^\circ\text{C}'da \quad T = 81,5 \text{ saniye}$$

olarak ölçülmüştür. Yağın 250 ml'sinin ağırlığı 218 gr'dır. Yağın bu sıcaklık derecelerindeki:

- a) Ticari viskozitesini Engier derecesi (E^*) olarak,
- b) Kinematik viskozitesini cSt olarak,
- c) Dinamik viskozitesini $daNs/m^2$ ve cP olarak hesaplayınız.
- d) Yağın dinamik viskozitesi için viskozite-sıcaklık grafiğini, logaritmik koordinatlarında çiziniz.

$$\text{Not: } E^* = \frac{200 \text{ ml yağın akış zamanı}}{200 \text{ ml } 20^\circ \text{ C'daki saf suyun akış zamanı}} = \frac{T}{52}$$

Cözüm 25.2

a) Engier derecesi

$$E_{34}^* = \frac{542}{52} = 10,42$$

$$E_{56}^* = \frac{154}{52} = 2,96$$

$$E_{98}^* = \frac{81,5}{52} = 1,57$$

b) cSt olarak kinematik viskozite

$$E^* > 7 \text{ için } 1/E^* = 7,6 \text{ cSt}$$

vB

$$E^* < 7 \text{ için } \nu = 7,6 \cdot E^* \left(1 - \frac{1}{E^*} \right) \text{ (cSt)}$$

olduğuna göre

$$\nu_{34} = 7,6 \cdot 10,42 = 79,2 \text{ cSt}$$

$$\nu_{56} = 7,6 \cdot 2,96 \left[1 - \frac{1}{(2,96)} \right] = 21,63 \text{ cSt}$$

$$\nu_{98} = 7,6 \cdot 1,57 \left[1 - \frac{1}{(1,57)} \right] = 8,85 \text{ cSt}$$

- c) $daNs/m^2$ olarak dinamik viskozite,
Yer çekimi ivmesi $g = 9,81 \text{ m/s}^2$ ve özgül ağırlık

$$\gamma = \frac{218}{250} = 0,872 \text{ gr/cm}^3 = 872 \text{ daN/m}^2$$

olduğuna göre

$$\eta_{34} = 79,2 \cdot 10^{-6} \cdot \frac{872}{9,81} = 7,04 \cdot 10^{-3} \text{ daNs/m}^2$$

$$\eta_{56} = 21,63 \cdot 10^{-6} \cdot \frac{872}{9,81} = 1,92 \cdot 10^{-3} \text{ daNs/m}^2$$

$$\eta_{98} = 8,85 \cdot 10^{-6} \cdot \frac{872}{9,81} = 0,787 \cdot 10^{-3} \text{ daNs/m}^2$$

olarak,

cP olarak dinamik viskozite
 $1 \text{ daNs/m}^2 = 9810 \text{ cP}$ olduğuna göre

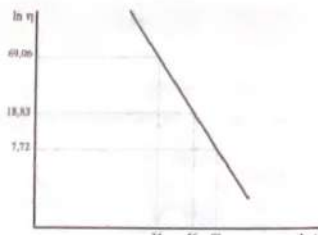
$$\eta_{34} = 7,04 \cdot 10^{-6} \cdot 9810 = 69,06 \text{ cP}$$

$$\eta_{56} = 1,92 \cdot 10^{-6} \cdot 9810 = 18,83 \text{ cP}$$

$$\eta_{98} = 0,787 \cdot 10^{-6} \cdot 9810 = 7,72 \text{ cP}$$

d) Dinamik viskozitenin grafik gösterimi

Viskozite	Sıcaklık
$\ln 69,06 = 4,235$	$\ln 24 = 3,18$
$\ln 18,83 = 2,935$	$\ln 56 = 4,02$
$\ln 7,72 = 2,044$	$\ln 98 = 4,58$



Şekil 25.2 Dinamik viskozitesi-şıçaklık ilişkisinin logaritmik koordinatlarda gösterilmesi

Problem 25.3

Dinamik viskozitesi 30 cP olan bir yağın kinematik viskozitesini cSt olarak hesaplayınız ($\gamma = 0,9 \text{ daN/dm}^3$).

Cözüm 25.3

$$1 \text{ cP} = \frac{1}{98,1 \cdot 10^3} \text{ daNs/cm}^2 \quad \text{olduğuna göre}$$

$$\eta = 30 \text{ cP} = \frac{30}{98,1 \cdot 10^3} = 0,305 \cdot 10^{-4} \text{ daN/cm}^2$$

Diğer taraftan

$$\gamma = 0,9 \frac{\text{daN}}{(\text{10 cm})^3} = 0,9 \cdot 10^{-3} \quad \text{ve } g = 981 \text{ cm/s}^2$$

bilinenler kinematik viskozite eşitliğinde yazılırsa

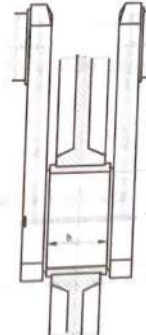
$$\nu = \frac{\eta}{\rho} = \frac{\eta \cdot g}{\gamma} = \frac{0,305 \cdot 10^{-4} \cdot 981}{0,9 \cdot 10^{-3}} = 0,33245 \text{ St} \quad \text{veya } \nu = 33,245 \text{ cSt}$$

olar.

Problem 25.4

Şekil 25.4'de bir Dizel motorunun kranc mili yatağı görülmektedir. Mil çapı $d = 80 \text{ mm}$, yatağa etkiyen radyal yük $F = 2850 \text{ daN}$, milin dönmeye sayısı $n = 2000 \text{ d/d}$ ve yatak malzemesi kurşun bronzu (D-Pb.Bz.25) olduğuna göre:

- a) Yataktaki kullanılan yağın viskozitesini bulunuz.
b) Yatağın soğutulması için gereken yağ miktarını hesaplayınız.



Şekil 25.4

Cözüm 25.4

a) Motorların kranc mili yatakları dar yatak türünden olacağrı göz önüne alındığında $b/d = 0,5$ seçilmişsi uygun olacaktır. Böylece yatak genişliği

$$b = 0,5 \cdot d = 0,5 \cdot 80 = 40 \text{ mm}$$

olar. Ortalama yatak basıncı

$$p_a = \frac{F}{b \cdot d} = \frac{2850}{4 \cdot 80} = 89 \text{ daN/cm}^2$$

Çevre hızı

$$\nu = \frac{\pi \cdot d \cdot n}{60} = \frac{\pi \cdot 0,08 \cdot 2000}{60} = 8,37 \text{ m/s}$$

Bağıl yatak boşluğu, bronz-çelik çifti için yakınsak olarak

$$\nu = 0,0008 \sqrt{\nu} = 0,0008 \sqrt{8,37} = 0,00136$$

Bu bağıl boşluk değeri için $H7/e8$ geçmesi seçilirse $\psi = 0,0015$ alınabilir. Böylece yatak boşluğu

$$\Delta d = \psi \cdot d = 0,0015 \cdot 80 = 0,12 \text{ mm}$$

Uygun bir çalışma için en ince yağ tabakası kalınlığı $h_s = 0,01 \text{ mm}$ seçilirse boyutsız eksantriklik değeri

$$\varepsilon = 1 - \frac{2 \cdot h_s}{\Delta d} = 1 - \frac{2 \cdot 0,01}{0,12} = 0,833$$

Buna göre Cetvel 24.2'den doğrusal dönüşüm yapılarak

$$1/S_s = 0,45 \quad \text{ve} \quad \mu/\psi = 2,7$$

olduğuna göre yataktaki kullanılacak olan yağın viskozitesi

$$\begin{aligned} \eta &= \frac{P_s \psi^2}{S_s \omega} = \frac{30}{S_s} \frac{P_s \psi^2}{\pi n} \\ &= \frac{30}{2,22} \cdot \frac{89 \cdot 10^4 \cdot (0,0015)^2}{\pi \cdot 2000} = 4,3 \cdot 10^{-3} \text{ daNs/m}^2 \end{aligned}$$

Kullanılan yağın özgül ağırlığı $\gamma = 0,85 \text{ daN/dm}^3$ (mineral yağ) alınırsa kinematik viskozite

$$\nu = \frac{\eta \cdot g}{\gamma} = \frac{4,3 \cdot 10^{-3} \cdot 981}{0,85 \cdot 10^{-1}} = 0,496 \text{ St}$$

veya $\nu = 49,6 \text{ cSt}$ olacağının ardından kullanılacak yağ için Cetvel 23.1'den $E^* = 6,56$ değeri bulunur.

b) Yataktaki olusan sürtünme ıslısı

$$Q_s = 35380 \cdot F \cdot \nu \cdot \mu \quad (\text{J/h})$$

Burada sürtünme katsayısı

$$\mu = 2,7 \quad \psi = 2,7 \cdot 0,0015 = 4,05 \cdot 10^{-3}$$

olduğuna göre

$$Q_s = 35380 \cdot 2850 \cdot 8,37 \cdot 4,05 \cdot 10^{-3} = 3418087 \text{ J/h}$$

Yatak çevresinden soğuma ile dışarı atılan ısı

$$Q_i = \alpha \cdot A_i \cdot \Delta t_i \quad (\text{J/h})$$

Burada $\alpha = 90000 \text{ J/m}^2 \text{Ch}$, $A_i = 16 \cdot d^2 = 16 \cdot (0,08)^2 = 0,1024 \text{ m}^2$ ve $\Delta t_i = 40^\circ \text{C}$ değerleri alınırsa

$$Q_i = 90000 \cdot 0,1024 \cdot 40 = 368640 \text{ J/h}$$

Gördüğü gibi çevreden olan soğuma yataktaki ısı dengeşini temin etmemektedir ($Q_s < Q_i$). Bu durumda soğutma için yağlama yağından yararlanılmalıdır. Soğutma için yatağa gönderilmesi gereken yağ miktarı

$$G = \frac{Q_s}{C \Delta t_i}$$

Burada $Q_s = Q_i = 3418087 \text{ J/h}$, $C = 2100 \text{ J/daN}^\circ \text{C}$ ve $\Delta t_i = 15^\circ \text{C}$ değerleri alınırsa

$$G = \frac{3418087}{2100 \cdot 15} = 108,51 \text{ daN/h}$$

veya kullanılan yağın özgül ağırlığı $\gamma = 0,85 \text{ daN/dm}^3$ olduğundan

$$G = \frac{108,51}{\gamma \cdot 60} = \frac{108,51}{0,85 \cdot 60} = 2,12 \text{ lt/dk}$$

Diger faktörler de göz önüne alındığında yatağın yağlanması ve soğutulması için gönderilmesi gereken yağ miktarı

$$G = 2,5 \div 3 \text{ lt/dk}$$

seçilmelidir.

Problem 25.5

Bir elektrik motoruna ait radial kaymamış yatağa $F = 500 \text{ daN}$ yük etki etmektedir. Motor dakikada 8 defadan az durmalar yapmakta olup milin dönmeye hızı $n = 900 \text{ d/d}'$ dir. Yatak malzemesi olarak beyaz metal (WM 10) seçilmiş ve sıvı

filmının, geçiş devir sayısı $n_s = 300$ d/d 'da meydana gelmesi istenmektedir. Yatağı boyutlandırarak ısı kontrolunu yapınız.

Cözüm 25.5

a) Temel boyutların tespiti

Normal bir yataktı $b/d = 1$ olmaktadır. WM/Fe çiftinde $p_m = 10 \text{ daN/cm}^2$ ve $v = 10 \text{ m/s}$ değerleri seçilebilir (Cetvel 24.3). Ortalama basınç eşitliğinden yatak çapı:

$$d = \sqrt{\frac{F}{p_m}} = \sqrt{\frac{500}{10}} = 7,07 \text{ cm}$$

Böylece yatak çapı ve genişliği $d = b = 70 \text{ mm}$ seçilir.
Milin çevre hızı:

$$v = \frac{\pi d n}{60} = \frac{\pi \cdot 0,07 \cdot 900}{60} = 3,3 \text{ m/s}$$

Bu büyüklik seçilen 10 m/s 'den daha küçük olduğu için uygundur.
Beyaz metal/çelik çiftinde boyutsuz yatak boşluğu

$$\psi = 0,0008 \cdot \sqrt{v} = 0,0008 \cdot \sqrt{3,3} = 0,001078$$

bulunur. Yuvarlatılmış değer olarak $\psi = 0,001$ alınırsa bu boşluk değeri $H7/f7$ toleransı ile gerçeklenebilir. Geçiş dönme sayısında en küçük aralık (minimum yağ tabakası kalınlığı) $h_c = 0,01 \text{ mm}$ alınırsa, yatak boşluğu

$$\Delta d = \psi \cdot d = 0,001 \cdot 70 = 0,07 \text{ mm}$$

olduğuna göre boyutsuz eksantriklik

$$\varepsilon = \frac{2\epsilon}{\Delta d} = 1 - \frac{2 \cdot h_c}{\Delta d} = 1 - \frac{2 \cdot 0,01}{0,07} = 0,714$$

Böylece Cetvel 24.2'den $\varepsilon = 0,7$ ve $b/d = 1$ için $1/S_e = 0,48$ ve $\mu/\psi = 2,36$ değerleri sağlanır.

Sıvı filmi, geçiş devir sayısında oluşacağına göre, açısal hız

$$\omega_s = \frac{\pi n_s}{30} = \frac{\pi \cdot 300}{30} = 31,4 \text{ rad/s}$$

ve böylece kullanılan yoğun dinamik viskozitesi

$$\eta = \frac{1}{S_e} \cdot \frac{P_m \psi^2}{\omega_s} = 0,48 \cdot \frac{10^5 \cdot (0,001)^2}{31,4} = 0,00153 \text{ daNs/m}^2$$

olmalıdır. Yağın özgür ağırlığı $\gamma = 0,85 \text{ daN/dm}^3$ olarak alınırsa, Engler derecesi olarak viskozite

$$\eta = \left(74 \cdot E^e - \frac{64}{E^e} \right) \cdot 10^{-6} \text{ (daNs/cm}^2\text{)}$$

eşitliğinden

$$74 \cdot \gamma \cdot 10^{-4} \cdot E^{e2} - \eta \cdot E^e - 64 \cdot \gamma \cdot 10^{-6} = 0$$

ve sayısal büyüklüklerle

$$74 \cdot 0,85 \cdot 10^{-4} \cdot 10^{-4} \cdot E^{e2} - 0,00153 \cdot 10^{-6} \cdot E^e - 64 \cdot 0,85 \cdot 10^{-3} \cdot 10^{-6} = 0$$

$$6,29 \cdot E^{e2} - 15,3 \cdot E^e - 5,44 = 0$$

buradan $E^e = -0,314$ ve $E^e = 2,75$ değerleri bulunur. Negatif değer alınamaz dolayısıyla yağın viskozitesi 2,75 Engler derecesi veya

$$\nu = 7,6 \cdot E^e \left(1 - \frac{1}{E^{e2}} \right) = 7,6 \cdot 2,75 \left(1 - \frac{1}{2,75^2} \right) = 19,895 \text{ cSt}$$

olmalıdır.

b) Yataktı ısı kontrolü

Normal çalışma koşullarındaki sürtünme ısıtı

$$Q_s = 35380 \cdot F \cdot v \cdot \mu \quad (\text{J/h})$$

Burada sürtünme katsayısı $\mu = 2,36 \cdot \psi = 2,36 \cdot 0,001 = 0,00236$

İçin bu değer

$$Q_s = 35380 \cdot 0,500 \cdot 3,3 \cdot 0,00236 = 137770 \text{ J/h}$$

Diğer taraftan Newton soğuma kanununa göre, yatağın çevresi yolu ile dış ortama verebileceği ısı

$$Q_i = \alpha A_i \Delta t_i \quad (\text{J}/\text{h})$$

Bir an için yataktaki ısının tamamının yatak çevresi yolu ile dışarı atıldığından varsayılmı. Bu durumda

$$Q_i = Q_o$$

olur. Burada $A_i = 16 \cdot d^2 = 16 \cdot (0,07)^2 = 0,0784 \text{ m}^2$ ve $\alpha = 80000 \text{ J/m}^2 \cdot ^\circ\text{C}$ alındığında

$$\Delta t_i = \frac{Q_o}{A_i \alpha} = \frac{137770}{0,0784 \cdot 80000} = 21,96 \text{ } ^\circ\text{C}$$

bulunur. Böylece $\Delta t_i = 21,96 \text{ } ^\circ\text{C} < \Delta t_s = 40 \text{ } ^\circ\text{C}$ olduğundan yatak kendi kendini soğutmaktadır. Yatak yüzeyi sıcaklığı ($t_{room} = 20 \text{ } ^\circ\text{C}$ için)

$$t_s = t_r + \Delta t_i = 20 + 21,96 = 41,96 \text{ } ^\circ\text{C}$$

olur.

c) Film teşkili için yatağa gönderilmesi gereken yağ miktarı

$$G = \frac{d^3 h \mu n}{320 \theta} \quad (\text{lt/dk.})$$

Burada θ -yağ debisi faktöründür. Boyutsuz en ince yağ tabakası kalınlığı

$$h_i = \frac{2 h_o}{\Delta d} = \frac{2 \cdot 0,01}{0,07} = 0,2857$$

değeri ile $h/d = 1$ için Şekil 24.5'deki diyagramdan $\theta = 17$ olarak okunur. Böylece dakikada gereken yağ miktarı

$$G = \frac{7^3 \cdot 7,00236 \cdot 900}{320 \cdot 17} = 0,134 \text{ lt/dk.}$$

olmaktadır.

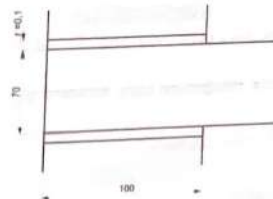
Problem 25.6

Şekildeki mil yataklamasında kullanılan yağın viskozitesi $3,78 \cdot 10^{-4} \text{ daN/s/m}^2$, milin dönmeye sayısı 1000 d/d ve ortalama basınç 8 daN/cm^2 dir. Yataktaki sürtünme gücü kaybını (BG) cinsinden hesaplayınız.

$$\text{Not: } S_* < 1 \quad \text{für } \frac{\mu}{\psi} = \frac{3}{S_*}$$

$$S_* > 1 \quad \text{für } \frac{\mu}{\psi} = \frac{3}{\sqrt{S_*}}$$

Cözüm 25.6
Yatak boşluğu: $\Delta d = 2 \cdot \Delta r = 2 \cdot 0,1 = 0,2 \text{ mm}$ ve bağıl yatak boşluğu



$$\psi = \frac{\Delta d}{d} = \frac{0,2}{70} = 2,857 \cdot 10^{-3}$$

Milin açısal hızı

$$\omega = \frac{\pi n}{30} = \frac{\pi \cdot 1000}{30} = 104,70 \text{ 1/s}$$

olduğuna göre bu yataklama durumu için Sommerfeld Sayısı

$$S_* = \frac{P_n \psi^2}{\eta \omega} = \frac{8 \cdot 10^4 \cdot (2,857 \cdot 10^{-3})^2}{3,78 \cdot 10^{-4} \cdot 104,7} \approx 1,65$$

Burada $S_* > 1$ olduğuna göre yataktaki sürtünme katsayısı

$$\mu = \frac{3}{\sqrt{S_e}} \cdot \nu = \frac{3}{\sqrt{1,65}} \cdot 2,857 \cdot 10^{-3} = 6,67 \cdot 10^{-3}$$

olmaktadır. Yatağa gelen yük

$$F = p_a \cdot b \cdot d = 8,7 \cdot 10 = 87 \text{ daN}$$

Milin çevre hızı

$$\nu = \frac{\pi \cdot d \cdot n}{60} = \frac{\pi \cdot 0,07 \cdot 1000}{60} = 3,665 \text{ m/s}$$

olduğuna göre yataktaki meydana gelen sürtünme ıslısı

$$Q_s = 35380 \cdot F \cdot \nu \cdot \mu = 35380 \cdot 87 \cdot 3,665 \cdot 6,67 \cdot 10^{-3} \\ \cong 484335 \text{ J/h} = 134,5 \text{ J/s}$$

$10 \text{ J/s} = 1 \text{ daNm/s}$ olduğundan kayıp sürtünme işi

$$W_s = \frac{134,5}{10} = 13,45 \text{ daNm/s}$$

ve kayıp sürtünme gücü

$$P_s = \frac{13,45}{75} = 0,18 \text{ BG}$$

olar.

Problem 25.7

Çapı ve genişliği 60 mm olan bir radyal kaymali yatağa 450 daN yük gelmektedir. Milin dönmeye sayısı 1200 d/d , kullanılan yağın viskozitesi $0,002 \text{ daNs/m}^2$, boyutsuz yatak boşluğu $0,0015$, boyutsuz eksantriklik $0,8$, milin ve yatak zarfının yüzey pürüzlükleri sırasıyla $R_{n_1} = 1,5 \mu\text{m}$ ve $R_{n_2} = 3,5 \mu\text{m}$ olarak bilinmektedir.

- a) Yatağın sıvı sürtünmesi bölgesinde çalışma çalışmadığını söyleyiniz.
- b) Yataktaki bir saatte oluşan ısı ne kadardır?

Not: Yataktaki sıvı filmi $n_s = 0,8 \cdot n$ dönmeye sırasında meydana gelmektedir.

Cözüm 25.7

a) I.Yol

Yataktaki sıvı filmi oluşumu için ön şart

$$h_s > R_{n_1} + R_{n_2} \\ > 1,5 + 3,5 = 5 \mu\text{m} = 0,005 \text{ mm}$$

olmalıdır. Diğer taraftan yatak boşluğu

$$\Delta d = \nu \cdot d = 0,0015 \cdot 60 = 0,09 \text{ mm}$$

Sıvı filmi için ayrıca $\Delta r > h_s$ olmalıdır.
Burada

$$\Delta r = \frac{\Delta d}{2} = \frac{0,09}{2} = 0,045 \text{ mm}$$

O halde bu yataktaki

$$\Delta r = 0,045 \text{ mm} > h_s = 0,005 \text{ mm}$$

olduğundan sıvı filmi oluşur, yani sıvı yağlama vardır.

II.Yol

Boyutsuz eksantrilik eşitliğinden

$$e = \frac{2 \cdot e}{\Delta d}$$

Yataktaki eksantriklik değeri

$$e = e \cdot \frac{\Delta d}{2} = 0,8 \cdot \frac{0,09}{2} = 0,036 \text{ mm}$$

Ayrıca eksantriklik yazılımindan

$$h_s = \frac{\Delta d}{2} - e = 0,045 - 0,036 = 0,009 \text{ mm}$$

Göründüğü gibi yataktaki en küçük aralık (en-küçük film kalınlığı) (h_s) yatak yarı boşluğundan (Δr) daha küçük olduğu için sıvı filmi oluşur, yani yataktaki

$$h_s = 0,009 \text{ mm} < \Delta x = 0,045 \text{ mm}$$

olup sıvı yağlama vardır.

b) Yatağın ortalama basıncı

$$p_* = \frac{F}{b \cdot d} = \frac{450}{6,6} = 12,5 \text{ daN/cm}^2$$

sıvı filminin oluşturduğu açısal hız

$$\omega = \frac{\pi \cdot n_s}{30} = \frac{\pi \cdot 0,8 \cdot 1200}{30} = 100,53 \text{ 1/s}$$

Yatağın Sommerfeld sayısı

$$S_* = \frac{P_* \cdot \psi^2}{\eta \cdot \omega} = \frac{12,5 \cdot 10^4 \cdot (0,0015)^2}{0,002 \cdot 100,53} \approx 1,4$$

Burada $S_* > 1$ olduğu için $\frac{\mu}{\psi} = \frac{3}{\sqrt{S_*}}$ alınabilir. Böylece yatağın sürtünme katsayısı

$$\mu = \frac{3}{\sqrt{S_*}} \psi = \frac{3}{\sqrt{1,4}} \cdot 0,0015 = 3,8 \cdot 10^{-4}$$

Milin çevre hızı:

$$v = r \cdot \omega = 0,03 \cdot \frac{\pi \cdot 1200}{30} = 3,77 \text{ m/s}$$

olması için yataktaki bir saatte oluşan sürtünme ısısı

$$Q_i = 35380 \cdot F \cdot v \cdot \mu = 35380 \cdot 450 \cdot 3,77 \cdot 3,8 \cdot 10^{-4} = 228084 \text{ J/h}$$

olur.

Problem 25.8

Bir radyal kaymali yataktaki yük 450 daN , yatak çapı 100 mm , genişlik 50 mm . Kullanılan yağın yatak sıcaklığındaki viskozitesi $0,0002 \text{ daNs/m}^2$, boyutsuz yatak boşluğu $0,001$, milin dönmeye sayısı 4775 d/d , yatak dış yüzeyi (soğuma yüzeyi)

alanı $0,2 \text{ m}^2$, ortam sıcaklığı 20°C , ek soğuma sistemi yokken ısı iletim katsayısı $84000 \text{ J/m}^2 \text{ Ch}$ ve yataktaki ortalama basınç 15 daN/cm^2 dir. Buna göre:

- a) Yataktaki bir saatte meydana gelen sürtünme ısısı ne kadardır?
- b) Yatak için ek soğuma sisteme ihtiyaç var mıdır?

Not: Vogelphol' a göre

$$S_* < 1 \text{ için } \mu/\psi = 3/S_*$$

$$S_* > 1 \text{ için } \mu/\psi = 3/\sqrt{S_*}$$

alınabilecektir.

Cözüm 25.8

a) Yatağın sürtünme ısısı

$$Q_i = 35380 \cdot F \cdot v \cdot \mu \quad (\text{J/h})$$

Burada

$$v = \frac{\pi \cdot d \cdot n}{60} = \frac{\pi \cdot 0,1 \cdot 4775}{60} = 25 \text{ m/s}$$

$$\omega = \frac{\pi \cdot n}{30} = \frac{\pi \cdot 4775}{30} = 500 \text{ rad/s}$$

Sommerfeld sayısı

$$S_* = \frac{P_* \cdot \psi^2}{\eta \cdot \omega} = \frac{15 \cdot 10^4 \cdot (0,001)^2}{0,0002 \cdot 500} = 1,5$$

Buna göre $S_* > 1$ olduğundan $\mu/\psi = 3/\sqrt{S_*}$ alınır ve buradan

$$\mu = \psi \cdot \frac{3}{\sqrt{S_*}} = 0,001 \cdot \frac{3}{\sqrt{1,5}} = 0,00245$$

olduğuna göre yataktaki ısısı

$$Q_i = 35380 \cdot 450 \cdot 25 \cdot 0,00245 = 975161 \text{ J/h}$$

b) Yatağın soğutulması
Yatak çevresinden dışarı atılan ısısı

$$Q_e = A_i \cdot \alpha \cdot \Delta t_i \quad (\text{J/h})$$

Burada $Q_i = Q$ varsayımlı yapılrsa

$$\Delta t_i = \frac{Q}{A_i \alpha} = \frac{975161}{0,284000} = 58 \text{ } ^\circ\text{C}$$

Göründüğü gibi $\Delta t_i = 58 \text{ } ^\circ\text{C} > \Delta t = 40 \text{ } ^\circ\text{C}$ olduğundan yatak kendi kendini soğutamamaktadır. Yatağın ek bir soğutma sisteme ihtiyacı vardır. Esasen 25 m/s 'lik bir hızla çalışan bir yatağın yağlanması için hidrodinamik yağ film oluşumu oldukça zordur. O halde burada pompalı yağlama düşünülmelidir. Çevreden soğumayı bir emniyet payı olarak düşünülürse, soğutma amacı ile yatağa gönderilmesi gereken yağ miktarı için ($Q_i = Q$, alınarak)

$$G = \frac{Q}{C \Delta t_i}$$

yazılır. Burada $C = 2000 \text{ J/daN}^\circ\text{C}$ ve $\Delta t_i = 12 \text{ } ^\circ\text{C}$ kabul edilirse

$$G = \frac{975161}{2000,12} = 40,63 \text{ daN/h}$$

veya yağın özgül ağırlığı $\gamma = 0,90 \text{ daN/dm}^3$ olarak alınırsa, ($1 \text{ dm}^3 = 1 \text{ lt}$) alınarak

$$G = \frac{40,63}{\gamma \cdot 60} = \frac{40,63}{0,9 \cdot 60} = 0,752 \text{ lt/dk.}$$

olar. Ancak yataktaki film teşkili için gerekli olan yağ miktarı

$$G_{\text{m}} = \frac{d^3 b \mu n}{320 \beta} \quad (\text{lt/dk.})$$

Yataktaki en ince yağ tabakası kalınlığı $0,01 \text{ mm}$ olsun. Yatak boşluğu $\Delta d = \psi d = 0,001 \cdot 100 = 0,1 \text{ mm}$ için boyutsuz en ince yağ tabakası kalınlığı

$$h_c = \frac{2 h_s}{\Delta d} = \frac{2 \cdot 0,01}{0,1} = 0,2$$

ve $b/d = 50/100 = 1/2$ değerleri ile Cetvel 24.5'den $\theta = 13$ olduğu görüldür. Böylece

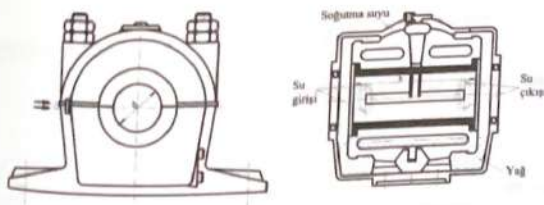
$$G_{\text{m}} = \frac{(10)^3 \cdot 5 \cdot 0,00245 \cdot 4775}{320 \cdot 13} = 1,4 \text{ lt/dk}$$

Sonuç olarak, yatağa dakikada $0,14 \text{ lt}$ yağ gönderilirse hem yağlama hemde soğutma işlemi yapılmış olur.

Problem 25.9

Şekil 25.9'da plastik üretimde kullanılan bir merdanenin yataklanması görülmektedir. Beyaz metal yatak malzemesi olarak seçilen yatağın toleransı $H7/f7$ dir. $n = 600 \text{ d/d}$ 'da dönen merdanenin her bir yatağına düşen yük 4850 daN olup yatak çapı $d = 80 \text{ mm}$ ve genişliği $b = 120 \text{ mm}$ dir.

- Kullanılan yağın özgül ağırlığı $\gamma = 0,90 \text{ daN/dm}^3$ olduğuna göre viskoziteyi cS olarak bulunuz.
- Yatağın soğuma yüzeyi alanını $A_i = 0,128 \text{ m}^2$ ve toplam ısı iletim katsayısını $\alpha = 90000 \text{ J/m}^\circ\text{C} \text{ Ch}$ olarak yatağın işletme sıcaklığını hesaplayınız. ($S_e = 2,83$ alınacaktır.)



Şekil 25.9

Cözüm 25.9
a) $d = 80 \text{ mm}$ için $H7/f7$ toleransında boyutsuz yatak boşluğu $\psi = 0,00092$ alınabilir (Cetvel 24.4). Açısal hız

$$\omega = \frac{\pi \cdot n}{30} = \frac{\pi \cdot 600}{30} = 62,83 \text{ rad/s}$$

Ortalama basınç

$$p_s = \frac{F}{b \cdot d} = \frac{4850}{0,12 \cdot 0,08} = 505208,4 \text{ daN/m}^2$$

Kullanılan yağın dinamik viskozitesi

$$\eta = \frac{p_n \psi^2}{S_e \cdot \omega} = \frac{505208,4 \cdot (0,00092)^2}{2,83 \cdot 62,83} = 2,4 \cdot 10^{-3} \text{ daNs/m}^2$$

Yağın özgül ağırlığı $\gamma = 0,90 \text{ daN/dm}^3$ olduğundan kinematik viskozite

$$\nu = \frac{\eta \cdot g}{\gamma} = \frac{2,4 \cdot 10^{-3} \cdot 9,81}{0,90 \cdot 10^3} = 26,16 \cdot 10^{-6} \text{ m}^2/\text{s}$$

ve

$$\nu = 26,16 \cdot 10^{-6} \text{ cm}^2/\text{s} (\text{St}) = 26,16 \text{ cSt}$$

olar. Ayrıca Cetvel 23.1'den (doğrusal dönüşümle) $\nu = 3,61 \text{ E}^\circ$ olduğu görüldür.

b) Vogelpohl'a göre

$$S_e = 2,83 > 1 \text{ için } \frac{\mu}{\psi} = \frac{3}{\sqrt{S_e}}$$

alinabilir. Böylece sürtünme katsayısı

$$\mu = \frac{3 \cdot 0,00092}{\sqrt{2,83}} = 0,00164$$

Çevre hızı

$$\nu = \frac{\pi \cdot 0,08 \cdot 600}{60} = 2,51 \text{ m/s}$$

olduğundan yatağın sürtünme ısısı

$$Q_s = 35380 \cdot F \cdot \nu \cdot \mu \\ = 35380 \cdot 4850 \cdot 2,51 \cdot 0,00164 = 706345,4 \text{ J/h}$$

Yataktaki ısı bakımından denge varsa $Q_s = Q_i$ olacaktır. Böylece yatak sıcaklığı

$$\Delta t_i = \frac{Q_s}{A_i \cdot \alpha} = \frac{706345,4}{0,128 \cdot 90000} = 61,3 \text{ } ^\circ\text{C}$$

Ortam sıcaklığı $t_e = 20 \text{ } ^\circ\text{C}$ kabul edilirse yatak yüzeyi sıcaklığı

$$t_j = t_e + \Delta t_i = 20 + 61,3 = 81,3 \text{ } ^\circ\text{C}$$

olar ki bu sıcaklık, yatağın normal çalışma sıcaklığının ($60 \text{ } ^\circ\text{C}$) biraz üstünde bir değerdir.

Problem 25.10

$F=1250 \text{ daN}$ 'luk eksenel yükle yüklenmiş bir mil $D=160 \text{ mm}$ dış çapında ve $d=60 \text{ mm}$ iç çapındaki eksenel bir yataklı yataklanmıştır. Milin devir sayısı $n=300 \text{ d/d}$, sürtünme katsayısı $\mu=0,08$, yatağın soğuma yüzeyi alanı $A_i=0,14 \text{ m}^2$ ve toplam ısı iletim katsayısı $\alpha=90000 \text{ J/m}^2 \text{ } ^\circ\text{C}\text{h}$ olduğuna göre yatağın kendi kendini soğutup soğutulmayacağını araştırınız. ($\Delta t_i=40 \text{ } ^\circ\text{C}$).

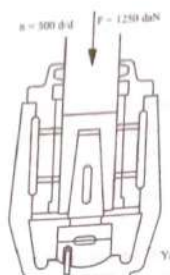
Cözüm 25.10

Ortalama yatak çapı:

$$D_s = \frac{D+d}{2} = \frac{160+60}{2} = 110 \text{ mm}$$

Ortalama yatak basıncı:

$$p_s = \frac{4 \cdot F}{\pi \cdot (D^2 - d^2)} = \frac{4 \cdot 1250}{\pi \cdot (16^2 - 6^2)} = 7,23 \text{ daN/cm}^2$$



Sekil 25.10

Normal bir eksenel yataktaki $p_{\text{on}} = 3+8 \text{ daN/cm}^2$ alınabileceğine göre uygundur. Ortalama çevre hızı

$$v = \frac{\pi D_n n}{60} = \frac{\pi \cdot 0,11300}{60} = 1,73 \text{ m/s}$$

Sürtünme isisi

$$Q_s = 35380 \cdot F \cdot v \cdot \mu = 35380 \cdot 1250 \cdot 1,73 \cdot 0,08 = 6120740 \text{ J/h}$$

Yatak çevresinden dışarı atılan ısı

$$Q_i = A_i \cdot \alpha \cdot \Delta t_i = 0,14 \cdot 90000 \cdot 40 = 504000 \text{ J/h}$$

Buna göre $Q_i = 6120740 \text{ J/h} > Q_s = 504000 \text{ J/h}$ olduğundan yatak kendi kendini soğutamamaktadır. Yataktaki oluşan isının tamamının bir soğutucu tarafından alındığını varsayıarak ve $C = 2000 \text{ J/daN}^\circ\text{C}$, $\Delta t_i = 10^\circ\text{C}$ alındığında yatağa gönderilmesi gereken soğutucu miktarı

$$G = \frac{Q_s}{C \Delta t_i} = \frac{6120740}{2000 \cdot 10} = 306 \text{ daN/h}$$

veya yağın özgül ağırlığı $\gamma = 0,90 \text{ daN/dm}^3$ olarak alınsa

$$G = \frac{306}{\gamma \cdot 60} = \frac{306}{0,90 \cdot 60} = 5,6 \text{ lt/dk}$$

olarak bulunur.

Problem 25.11

Bir su türbininde kullanılan eksenel yatağı gelen yük $F = 150000 \text{ daN}$ olup m/s^2 dönme sayısı $n=500 \text{ d/d}$ 'dir. Yataktaki tam sıvı yağlamadan 300 d/d 'da olması istendiğine göre yatağı boyullandırınız ve kullanıacak yağın viskozitesini η olarak bulunuz.

Cözüm 25.11

a) Yatağın boyullandırılması:

Eksenel yatak olarak oynak lokmali bir yatağın (Michell yatağı) kullanılıldığını varsayılmış. Ağır yüklerin eksenel yataklarda ortalama basınç $p = 25 \text{ daN/cm}^2$, lokma alanları toplamının sürtünme halkası alanına oranı $k = 0,8$ ve lokma sayısı $z = 9$, lokmaların genişlik oranı $b/a = 1$ değerleri seçilirse, lokma boyutları

$$z \cdot a \cdot b = \frac{F}{p_n}$$

eşitliğinden

$$a = b = \sqrt{\frac{F}{p_n \cdot z}} = \sqrt{\frac{150000}{25,9}} = 25,82 \text{ cm}$$

Böylece her bir lokmanın genişliği ve ortalama uzunluğu $a=b=260 \text{ mm}$ alınabilir. Sürtünme halkası alanı

$$A = \frac{b \cdot a \cdot z}{k} = \frac{(26)^2 \cdot 9}{0,8} = 7605 \text{ cm}^2$$

Diğer taraftan bu alan

$$A = \pi D_n \cdot h$$

olarak alınabileceğine göre ortalama yatak çapı

$$D_n = \frac{A}{\pi \cdot b} = \frac{7605}{\pi \cdot 26} = 93,105 \text{ cm}$$

Böylece $D_n = 930 \text{ mm}$ seçilir. Yatağın dış çapı

$$D = D_n + b = 930 + 260 = 1190 \text{ mm}$$

Yatağın iç çapı

$$d = D_n - b = 930 - 260 = 670 \text{ mm}$$

b) Enince yağ tabakası kalınlığı

$$h_c = 5 \cdot 10^{-3} \cdot D_n \\ = 5 \cdot 10^{-3} \cdot 0,93 = 4,65 \cdot 10^{-3} \text{ m} = 0,0465 \text{ mm}$$

c) Viskozite

Kama eğim faktörü, en büyük yük taşıma durumu için $m=1,2$ seçilirse Cetvel 24.6'dan boyutsuz yük sayısı $\phi=0,16$, sürtünme faktörü $C=4,8$ ve Cetvel 24.5'den yan akım düzeltme faktörü (doğrusal dönüşüm yapılarak) $f_s=2,28$ değerleri alınabilir. Geçiş dönme sayısındaki ortalama çevre hızı

$$v_x = \frac{\pi \cdot D_a \cdot n_t}{60} = \frac{\pi \cdot 0,93 \cdot 300}{60} = 14,6 \text{ m/s}$$

Boyutlu yük sayısı

$$\phi = \frac{F \cdot f_s}{z \cdot v_x \cdot \eta \cdot b} \left(\frac{h_c}{a} \right)^2$$

eşitliğinden, yataktaki kullanılan yağın viskozitesi

$$\eta = \frac{150000 \cdot 2,28}{9 \cdot 14,6 \cdot 0,16 \cdot 0,26} \left(\frac{0,0465}{260} \right)^2 = 0,002 \text{ daNs/m}^2$$

ve buradan

$$\eta = 0,002 \cdot 9810 = 19,62 \text{ cP}$$

olar.

Problem 25.12

Bir Michell yatağında ortalama basınç $p_a = 15 \text{ daN/cm}^2$, lokma sayısı $z=10$, lokma alanları toplamının sürtünme halkası alanına oranı $k=0,8$, lokmalanın genişlik oranı $b/a=1,2$ ve lokma genişliği $b=150 \text{ mm}$ 'dir. Yataktaki kullanılan yağın viskozitesi 7 E^{-3} olduğuuna göre;

- Yatağın taşıyabileceği en büyük yükü hesaplayınız.
- Mılin dönme sayısı $n=375 \text{ dd}$ olduğuna göre, en küçük sürtünme durumunda, kaynık güç ne kadardır? ($f_s=1,93$).
- Yatak malzemesinin ısı iletkenlik katsayıısı $\alpha=92000 \text{ J/m}^2\text{C}\text{h}$ ve yatağın soğuma yüzeyi $A_s=10 \cdot \pi \cdot D_a \cdot b$ olması durumunda yatağın kendi kendini soğutup soğutulamayacağını araştırınız. Yatak kendi kendini soğutamıyorsa saatte yatağa gönderilmesi gereken soğutucu yağ miktarını bulunuz. ($C=2000 \text{ J/daN}^\circ\text{C}$ ve $\gamma=0,88 \text{ daN/dm}^3$). Bulunan bu yağ miktarını ile yataktaki yağ tabakası teşkil için gerekli yağ miktarını karşılaştırınız.

Cözüm 25.12

a) Lokmalanın genişlik oranından ortalama lokma uzunluğu

$$a = \frac{b}{1,2} = \frac{150}{1,2} = 125 \text{ mm}$$

Ortalama basınç eşitliğinden yatağın taşıdığı en büyük yük

$$F = a \cdot b \cdot z \cdot p_a = 0,125 \cdot 0,150 \cdot 10 \cdot 15 \cdot 10^4 \\ = 28125 \text{ daN}$$

b) Ortalama yatak çapı

$$k = \frac{\pi \cdot a \cdot b}{\pi \cdot D_a \cdot b}$$

olduğuna göre buradan

$$D_a = \frac{\pi \cdot a}{\pi \cdot k} = \frac{10 \cdot 125}{\pi \cdot 0,8} = 497,35 \text{ mm}$$

Böylece $D_a = 500 \text{ mm}$ alınır. Ortalama çevre hızı

$$v = \frac{\pi \cdot D_a \cdot n}{60} = \frac{\pi \cdot 0,5 \cdot 375}{60} = 9,82 \text{ m/s}$$

En küçük yağ tabakası kalınlığı

$$h_c \geq 5 \cdot 10^{-4} \cdot D_a = 5 \cdot 10^{-4} \cdot 0,5 = 2,5 \cdot 10^{-4} \text{ m}$$

En küçük sürtünmeden kasıt, sürtünme faktörü değerinin en küçük ($C=4,62$) olması durumudur. Bu nedenle sürtünme katsayıısı

$$\mu = f_s \cdot C \left(\frac{h_c}{a} \right) = 1,93 \cdot 4,62 \left(\frac{2,5 \cdot 10^{-4}}{0,125} \right) = 0,00178$$

Böylece yataktaki oluşan sürtünme ısısı

$$Q_s = 35380 \cdot F \cdot v \cdot \mu \\ = 35380 \cdot 28125 \cdot 9,82 \cdot 0,00178 = 17393294 \text{ J/h} = 4831,5 \text{ J/s}$$

Diğer taraftan $10 \text{ J/s} = 1 \text{ daNm/s}$ olduğuna göre kayıp iş

$$W_s = \frac{4831,5}{10} = 483,15 \text{ daNm/s}$$

ve kayıp güç

$$P_i = \frac{483,15}{75} = 6,442 \text{ BG}$$

olur.

c) Yatağın soğuma yüzeyi alanı

$$A_i = 10\pi D_n b = 10\pi \cdot 0,5 \cdot 0,15 = 2,356 \text{ m}^2$$

Ortam sıcaklığı ile yatak sıcaklığı arasındaki fark $\Delta t_i = 40^\circ\text{C}$ alınırsa yatağın dış yüzeyinden soğuma yoluyla dışarı atılan ısı

$$Q_i = a A_i \Delta t_i = 92000 \cdot 2,356 \cdot 40 = 8670080 \text{ J/h}$$

Gördüğün gibi $Q > Q_i$ çıkmıştır. Bu duruma göre yatak kendi kendini soğutamamaktadır. Çevreden soğumayı bir emniyet payı olarak bırakırsak yatağa gönderilmesi gereken soğutucu yağ miktarı, yağın çıkış-giriş sıcaklarından farkı $\Delta t_i = 15^\circ\text{C}$ alınarak,

$$G_r = \frac{Q_i}{C \Delta t_i} = \frac{17393294}{2000 \cdot 15} = 579,8 \text{ daN/h}$$

veya kullanılan yağın özgül ağırlığı $\gamma = 0,88 \text{ daN/dm}^3$ olduğundan

$$G_r = \frac{\gamma}{\gamma \cdot g} = \frac{579,8}{0,88 \cdot 9,81} = 10,98 \text{ lt/dk} = 1,83 \cdot 10^{-4} \text{ m}^3/\text{s}$$

Yataktaki yağ tabakası teşkili için gerekli yağ miktarı

$$\begin{aligned} G_r &= 0,7 \cdot a \cdot b \cdot v \cdot h_i \quad (\text{m}^3/\text{s}) \\ &= 0,7 \cdot 10 \cdot 0,15 \cdot 0,82 \cdot 2,5 \cdot 10^{-3} = 2,577 \cdot 10^{-4} \text{ m}^3/\text{s} \end{aligned}$$

Gördüğün gibi yataktaki yağ tabakası teşkili için gerekli olan yağ miktarı, aynı zamanda yatağı soğutabilecek durumdadır. Yani yatağa soğutma amacıyla bir yağ gönderilmesine gerek yoktur.

Problem 25.13

Bir oynak lokmalı eksenel kaymamış yatak için bilinenler:

Ortalama basınç	: $p_m = 15 \text{ daN/cm}^2$
Sürünme halkası dış çapı	: $D = 300 \text{ mm}$
Sürünme halkası ortalama çapı	: $D_m = 250 \text{ mm}$

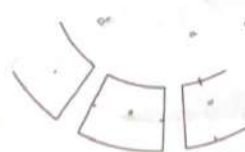
Lokma boyutları oranı	: $b/a = 1$
Lokma sayısı	: $z = 10$
Lokma alanları toplamının sürünenme halkası alanına oranı	: $k = 0,8$
Sürünenme katsayısı	: $\mu = 0,002$
Ortalama çevre hızı	: $v = 6,4 \text{ m/s}$

Buna göre:

- Yatak yükü ne kadardır?
- Yataktaki en küçük yağ filmi kalınlığı ne olmalıdır?
- Yataktaki kullanılan yağın viskozitesini cP olarak hesaplayınız.

Cözüm 25.13

a) Sürünenme halkasının ortalama çapı



$$D_m = \frac{D + d}{2}$$

Eşitliğinden sürünenme halkası küçük çapı

$$d = 2D_m - D = 2 \cdot 250 - 300 = 200 \text{ mm}$$

Buradan lokma genişliği

$$b = \frac{D - d}{2} = \frac{300 - 200}{2} = 50 \text{ mm}$$

ve lokma uzunluğu $a = b = 50 \text{ mm}$ olur. Böylece yatak yükü

$$F = a \cdot b \cdot z \cdot p_m = 5,5 \cdot 10 \cdot 15 = 3750 \text{ daN}$$

olur.

b) Yatağın sürtünme katsayısı

$$\mu = f_s C \left(\frac{h_s}{a} \right)$$

eşitliğinde en büyük yük değeri için $m=1,2$ seçilirse $C=4,8$ ve $\phi=0,16$ alınır (Cetvel 25.6). Ayrıca $h/a=1$ ve $m=1,2$ için doğrusal dönüşümle $f_s=2,28$ alınır (Cetvel 24.5). Buna göre en ince yağ tabakası kalınlığı

$$h_s = \frac{a \cdot \mu}{f_s \cdot C} = \frac{50 \cdot 0,002}{2,28 \cdot 4,8} = 0,00913 \text{ mm} = 9,13 \mu\text{m}$$

bulunur.

c) Boyutsuz yük sayısı

$$\phi = \frac{F \cdot f_s}{z \cdot \eta \cdot v \cdot b} \left(\frac{h_s}{a} \right)^2$$

eşitliğinden kullanılan yağın dinamik viskozitesi

$$\begin{aligned} \eta &= \frac{F \cdot f_s}{z \cdot \phi \cdot v \cdot b} \left(\frac{h_s}{a} \right)^2 = \frac{3750 \cdot 2,28}{10 \cdot 0,16 \cdot 6,4 \cdot 0,005} \left(\frac{0,00913}{50} \right)^2 \\ &= 5,57 \cdot 10^{-4} \text{ daNs/m}^2 \end{aligned}$$

veya $\eta=5,57 \cdot 10^{-4} \cdot 9810=5,46 \text{ cP}$ olmalıdır.

26. YUVARLANMALI YATAKLAR (RULMANLAR)

26.1. Genel Bilgiler

Yatak, genel olarak dönen, salınım hareketi yapan veya hareketsiz duran mil ve aks mühürlarını taşıyan elemanlardır. Yüzeyler arasındaki hareketin şekline göre kaymamı ve yuvarlanmamış tipleri olduğu 23 nolu konu başlığı altında ifade edilmiştir. Yuvarlanmalı yatakların kaymamış yataklardan farklı ise elemanları arasındaki esas hareketin kayma yerine yuvarlanma şeklinde olmasıdır. Yuvarlanmalı yatakların üstünlükleri:

1. Gerek hareket başlangıcında gerekse çalışma esnasındaki sürtünme değerleri hemen hemen aynıdır.
2. Sürtünme çok az, dolayısıyla enerji kaybı çok düşüktür.
3. Yağlanması basit, yağ sarfiyatı az ve değiştirilmesi kolaydır.
4. Standart ölçüklerden temini kolaydır.

Yuvarlanmalı yatakların sakincaları:

1. Yüksek devirlerde gürültülü çalışır.
2. Ömrü devir sayısına bağlı olarak daha azdır.
3. Radyal (çapsal) bakırından daha büyük yere ihtiyaç vardır.
4. Sönümleme özelliği azdır.

Sınıflandırma:

1. Yük taşıma şekline göre
 - a. Radyal yataklar
 - b. Eksenel yataklar
2. Yuvarlanma elemanın temas durumuna göre:
 - a. Nokta temaslı (bilyalı) yataklar
 - b. Çizgi temaslı (makaralı) yataklar
3. Yuvarlanma elemanın şekline göre:
 - a. Bilyalı yataklar (sabit bilyalı, oynak bilyalı, egek bilyalı ve dört nokta yatağı)
 - b) Makaralı yataklar (silindirik makaralı, oynak makaralı (masuraltı) ve konik makaralı yataklar)



Şekil 26.1 Yuvarlanmalı yataklarda kullanılan yuvarlanma elemanları

Taşıyacakları yükün büyüklüğine ve yataklama şekline göre yuvarlanma elemanları tek sıralı veya iki sıralı yerleştirilebilirler. Ayrıca çalışacakları yerde çapsal büyülüğe bağlı olarak silindirik eleman yerine iğne elemanlı yataklar tercih edilir.

Bir Yuvarlanmalı Yatağın Yapısı:

Yuvarlanmalı yatağın iç çapı (d) mile, dış çapı (D) ise yatak yuvasına geçirilir. Yatakları hareket iç bilezik-yuvarlanma elemanı-dış bilezik arasındadır. Kafesin görevi; yuvarlanma elemanları arasındaki doğrudan teması önlemek ve bunların eşit yüklenmelerini temin etmektir. Bazı makaralı yatak tiplerinde kafes, yuvarlanma elemanlarının kılavuzlanmasına da yardım eder. Bilezikleri ayrılabilen yataklarda yuvarlanma elemanları ayrıca kafes yardımıyla yatak içerisinde sabit tutulur ve bu suretle yatağın takılması veya sökülmesi durumunda düşmeler önlenir.

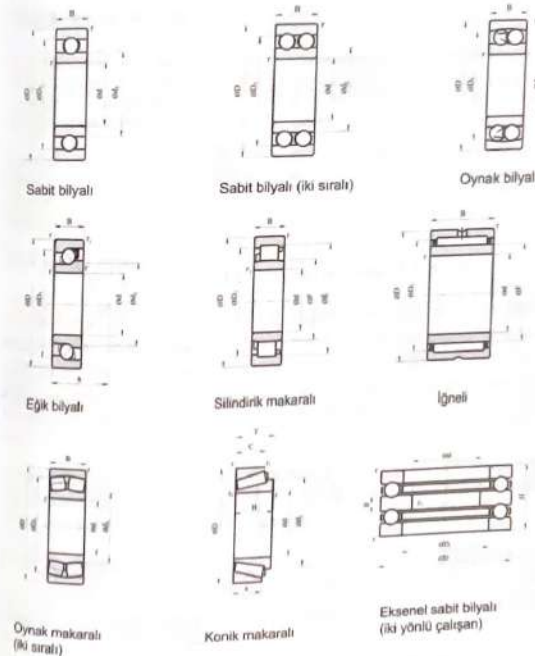


Sekil 26.2 Bir yuvarlanmalı yataktaki esas elemanlar ve temel boyutlukler

Malzeme:

Yuvarlanmalı yatakların iç ve dış bilezikleri ile yuvarlanma elemanları; genellikle yüksek saflik derecesindeki kaliteli krom çeliklerinden yapılmaktadır. "Rulman Çeligi" de denilen bu malzeme yüksek yüzey basinci mukavemetine sahip olup aşınma, yorulma ve korozyona dayanıklıdır. Her yatak optimal bir ıslı işlemeye tabi tutulur. Genellikle yuvarlanmalı yatak malzemesinin sertliği 59 ile 65 HRC arasındadır.

Küçük ve orta boyutlukteki yataklarda çelik veya pirinç saatdan preste şekillendirilmiş kafesler kullanılır. Masif kafesler genellikle pirinçten yapılır. Bazı durumlarda çelik veya sfero döküm de kafes malzemesi olarak kullanılır. Yatağın tasarımına bağlı olarak bronz ve plastik malzemeler de kafes malzemesi olarak kullanılmaktadır.



Sekil 26.3 Bazi yuvarlanmalı yatak ciftleri

26.2. Yuvarlanmalı Yatakların Yük ve Çalışma Özellikleri

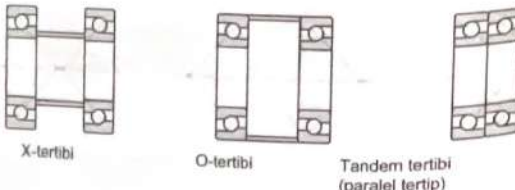
26.2.1. Basınç (Yük) Açısı

Radyal yataklarda yük taşıma bakımından en önemli husus basınç (yük) açısıdır. Basınç açısı; yuvarlanma elemanlarının temas yüzeylerine değme noktalarını birlesştiren doğru ile yatağın merkez doğrusu arasındaki açıdır (Şekil 26.4).



Şekil 26.4 Bir eğik bilyali yataktaki basınç (yük) açısı (β)

Sabit bilyali ve silindirik makaralı yataklarda yük açısı $\beta = 0$ dir. Eğik bilyali ve konik makaralı yataklarda $\beta = 35^\circ - 40^\circ$ ye kadar çakılmalıdır. Ancak üretim esnasında $\beta = 0$ olan sabit bilyali yataklar çalışma esnasında oluşan basınç açısı sayesinde belirli oranda eksenel yük de taşıyabilemektedir. Açısal temaslı yataklar genellikle X - tertibi, O - tertibi veya tandem tertibi şeklinde monte edilir, yanı çift olarak kullanılır (Şekil 26.5).



Şekil 26.5 Açısal temaslı yatakların montaj tertipleri

26.2.2. Radyal Yük

Radyal yüklerin taşınmasında radyal yuvarlanmalı yataklar kullanılır. Genellikle ufak ve orta radyal yüklerde bilyali yataklar, büyük yük ve büyük mil çaplarında sadece makaralı yataklar kullanılır.

Mil yatak yuvasına göre eğik duracaksız oynak bilyali, masuralı veya oynak makaralı yataklar kullanılır. Takım tezgahlarının iş mühürlerinin yataklamasında çift sıralı silindirik makaralı yataklar kullanılır. Montaj olanları sınırlı olan yerlerde, ufak yükseklikleri sebebiyle, iğneli yataklar kullanılır.

26.2.3. Eksenel Yük

Orta büyüklükteki eksenel yüklerin karşılanması eksenel bilyali yataklar (bületer) kullanılır. Değişken yöndeki eksenel yükler ise iki yönlü çalışan eksenel yuvarlanmalı yataklarla taşınır. Yüksek devir sayılarında eksenel eğik bilyali yataklar tercih edilmelidir.

Eksenel yük altında bir basınç açısı meydana geldiğinden radyal sabit bilyali yataklar da eksenel olarak yüklenebilirler. Büyük eksenel yüklerin taşınmasında eksenel silindirik makaralı yataklar ve eksenel oynak makaralı yataklar uygundur. Eksenel oynak makaralı yataklar yüksek devir sayılarında da uygulanabilmektedir.

26.2.4. Bileşke Yük

Yatağa aynı zamanda radyal ve eksenel yük birlikte etki ediyorsa bu durumda bileşke yük söz konusudur. Eksenel sabit bilyali yataklar, eksenel silindirik makaralı yataklar, bir bileşigi faturasız radyal silindirik makaralı yataklar ve iğneli yataklar hariç bütün yuvarlanmalı yataklar bileşke yükleri taşıyabilir. Bileşke yüklerin alınmasında sabit bilyali, oynak bilyali, oynak makaralı ve silindirik makaralı yatakların sabit yatak türünde olanları kullanılabilir. Ancak daha evvel de belirtilmiş gibi eğik bilyali ve konik makaralı yataklar X, O veya tandem tertibi olarak monte edilmelidir.

Bileşke yükle yüklenmiş yataklarla ilgili olarak "eşdeğer yük" kavramı önemlidir. Eşdeğer yük; radyal (F_r) ve eksenel yük (F_a) yardımıyla hesaplanır. Bu bir hesap değeri olarak yatak büyüğünün tespitinde gereklidir (Bak Bölüm 26.8).

26.3. Devir Sayısı

Devir sayısı, yatak seçiminde yatağın عمر hesabı (yongulma zamanı) dışında göz önme almaz. Fakat yüksek hızlar söz konusu ise devir sayısı önemli bir faktör olur.

Bir yuvarlanmalı yataktaki devir sayısı, öngörülen işletme sıcaklığı ile sınırlıdır. Dönmeye sebebiyle yataktaki sürünme ısısı meydana gelir. Bu sebepten yatağın yağlanması ve soğutulması gereklidir. En yüksek devir sayılarına sabit bilyali, omuzlu bilyali, eğik bilyali ve silindirik makaralı yataklarla ulaşılır.

Devir sayısının üst sınırını yatak tipi ve yatak büyüğüğine bağlıdır. Bu durum, dış çapı 30 mm'nin altında olan yataklar için

$$n_s = \frac{3A}{D+30} \quad (d/d)$$

ve dış çapı 30 mm'ın üzerinde olan yataklar için

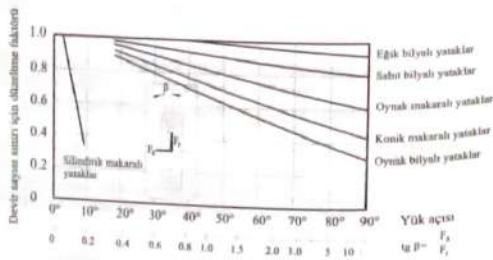
$$n_r = \frac{A}{D-10} \quad (d/d)$$

esitlikleri ile verilmiştir. A katsayı; gresle yağlama, basit sıvı yağla yağlama (dalma yağlama) ve yatak lürü ile değişmekte olup Cetvel 26.1'de verilmiştir. Devir sayısı sınırı sıvı yağ ile yağlamada gresle yağlamaya kıyasla daha yüksektir.

Bileşke yüklerde öngörülen devir sayısı, devir sayısı sınırının bir düzeltme faktörü ile çarpılması sonucu belirlenir. Düzeltme faktörü, yük açısı β 'ya bağlıdır ve

$$\operatorname{tg}\beta = \frac{F_s}{F_r}$$

esitliği ile bulunur. Yük açısı $\beta=0$ ise sadece radyal kuvvet (F_r), $\beta=90^\circ$ ise sadece (F_s) teşir eder. Radyal yataklar için devir sayısı sınırı düzeltme faktörü (bileşke yük durumunda) Şekil 26.6'daki diyagramda verilmiştir.



Şekil 26.6 Radyal yataklarda devir sayısı düzeltme faktörü

26.4. İşletme Sıcaklığı

Normal yuvarlanmalı yataklar kromlu çeliklerden imal edilmektedir. Yuvarlanmalı yatak bilezikleri ve yuvarlanma elemanları 60 ± 3 HRC sertliğinde

olacak şekilde islah edilir. Bütün tiplerin normal yatakları 120°C işletme sıcaklığına kadar kullanılabilir. Yüksek sıcaklıklarda malzeme yapısındaki kristal dönüsümlein yaratacağı boyut değişikliklerini önlemek amacıyla böyle durumlarda stabilize edilmiş yataklar kullanılmamalıdır.

Cetvel 26.1 Devir sayısı sınırının hesabı için A katsayı

Yatak tipi	A katsayı	
	Gresle yağlama	Sıvı yağ ile yağlama
Radyal yataklar		
Sabit bilyeli yataklar, tek sıralı	500 000	630 000
tek sıralı, conta kapaklı	360 000	-
çift sıralı	320 000	400 000
Omuzlu yataklar	500 000	630 000
Eğik bilyeli yataklar, tek sıralı	500 000	630 000
tek sıralı, çift olarak montaj	400 000	500 000
çift sıralı	360 000	450 000
Dört nokta yatakları	400 000	500 000
Oynak bilyeli yataklar	500 000	630 000
Dynak bilyeli yataklar, geniş iç bilezikli	250 000	320 000
Siliindirik makaralı yataklar, tek sıralı	500 000	630 000
çift sıralı	500 000	630 000
Konik makaralı yataklar	320 000	400 000
Masuralo yataklar	220 000	280 000
Oynak makaralı yataklar, Seri 213	220 000	280 000
Seri 239 HL	250 000	320 000
Seri 230-231-232 HL	250 000	320 000
Seri 222 HL, 223 HL	320 000	400 000
Ekseneel yataklar		
Ekseneel-sabit bilyeli yataklar	140 000	200 000
Ekseneel-eğik bilyeli yataklar	220 000	320 000
Ekseneel-siliindirik makaralı yataklar	90 000	120 000
Ekseneel-oynak makaralı yataklar	-	200 000

Boyu stabilizasyonu sertlik düşmesi ve yük taşıma kabiliyetinin azalması ile ilgiliyor. Yük taşıma kabiliyetinin azalması hesaplama sertlik faktörü f_r ile göz önünde alınır. Ek semboller ve sertlik faktörü Cetvel 26.2'de verilmiştir.

Buna ek olarak, bir yataklama yerinde sıcaklık yükselmesi yoğun seçiminde, sıkızırmazlık tertibinin seçiminde ve kafes malzemesinde göz önünde tutulmalıdır.

26.5. Sürtünme

Bir yatak yuvarlakının sürtünmesi iki şekilde olur; contaların sürtünmesi ve yatağın bizzat kendi sürtünmesidir. Yatak sürtünmesi; önce yatak tipi ve yatak boyutüğününe, bundan başka yüze, devir sayısına, yağlayıcı maddeye ve yağlama yöntemine bağlıdır. Bunu belirtmek için μ sürtünme katsayısi:

Cetvel 26.2 Boyutları stabilize edilmiş yuvarlanmalı yatakların ek sembollerleri ve sertlik faktörleri

Sembol	Devamlı sıcaklık (°C)	Sertlik faktörü (f_s)
S 0	150	1,00
S 1	200	0,90
S 2	250	0,75
S 3	300	0,60

$$\mu = \frac{M_s}{F \cdot \frac{d}{2}}$$

şeklinde tanımlanmıştır. Burada M_s - yatağın sürtünme momenti, F - yatak yükü ve d - yatak delik çapıdır.

Sürtünme katsayısi, $F \approx 0,1C$ (C - dinamik yük sayısı) değerindeki yüklerde ve yaklaşık olarak yatağın basınç açısına uyen yük açılarından küçüktür. μ - sürtünme katsayısi basınç açısına bağlı olarak değişir. En küçük sürtünme katsayısi değerleri Cetvel 26.3'de verilmiştir. Cetveldeki bu değerler orta viskozitadeki ($V_m = 4 - 6 E'$) bir yağ ile dalma yağlamada elde edilmiştir.

Cetvel 26.3 Yük açısı $\beta = 0^\circ$ den 90° ye artması durumunda sürtünme katsayısındaki değişimler

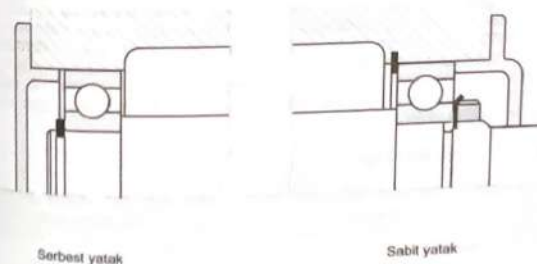
Yatak tipi	Sürtünme katsayısı
Sabit bilyalı yataklar	0,0022 - 0,0042
Silindirik makaralı yataklar	0,0012 - 0,0060 ($\beta = 0^\circ$ den 20° ye kadar)
Oynak bilyalı yataklar	0,0016 - 0,0066
Eğik bilyalı yataklar	0,0018 - 0,0069
Oynak makaralı yataklar	0,0029 - 0,0071
Konik makaralı yataklar	0,0025 - 0,0083

Küçük sürtünmenin söz konusu olduğu yataklamalarda radyal yükler için radyal-sabit bilyalı yataklar, silindirik makaralı yataklar veya oynak bilyalı yataklar eksemler için eksenel-sabit bilyalı yataklar kullanılır. Eğik tesis eden yüklerde eğik bilyalı yataklar uygundur. Bunların sürtünme katsayıısı, yük açısı ve basınç açısının aynı olduğu durumlarda en küçüktür. Böyle bir durum yoksa küçük sürtünme istenen yataklamalarda radyal bileşen bir radyal yataklar ve eksenel bileşen de bir eksenel yataktaki karşılanmasıdır.

26.6. Montaj Prensipleri

26.6.1. Serbest Yataklarda Eksenel Kayabilme

'Sabit yatak-serbest yatak' şeklinde yatak tertibinde eksenel kuvvetler yalnız sabit yatak tarafından karşılanır (Şekil 26.7). İkinci yatak veya üç veya daha fazla yatan yataklanmış mühallede diğer yataklar serbest yataktır ve eksenel yönde kayabilirler. Bu sayede mil ve yuvarın farklı değerde genleşmeleri halinde yatakların klaşması önlenir. Aynı zamanda "sabit yatak-serbest yatak" tertibinde boy toleransları daha iyi dengelenir.



Şekil 26.7 Serbest yataklarda eksenel kayabilme

Radyal montaj yerinin sınırları olduğu durumlarda silindirik makaralı ve işneli yataklar, çıkışları bilezikleri olmaksızın, takılabilir. Yuvarlanma elemanları doğrudan doğruya mil üzerinde veya yuva içerisinde döner. İşne kafeslerinde her iki bilezik de olmayıabilir. Mil veya yuvarın hareket yüzeylerinin sertleştirilmesi ve tıkanılması gereklidir. Parçaları ayrılmayan yataklar, örneğin sabit bilyalı yataklar veya oynak makaralı yataklar, serbest yatak olarak monte edilirse, bileziklerden biri sırme geçme toleransında olmalıdır.

26.6.2. Eksen Kaçıklığını Dengelemek İçin Açısal Ayarlanabilme

Açısal ayarlanabilen yatakların -oynak bilyalı yataklar, masuralı yataklar, radyal oynak makaralı yataklar ve eksenel oynak makaralı yataklar- montajında eksen kaçıklığını dengelemek mümkündür. Bu yatakların dış bilezik hareket yüzeyleri iç kore şeklinde dir. Böylece iç bilezik, yuvarlanma elemanlarından oluşan halka ile beraber dışarıya dönenebilir. On görülen açısal yatak lipine ve yatak büyütüldüğüne bağlıdır.

Sabit bilyali yatakların açısal hareketi radyal boşluğa bağlıdır. Bu hareket, radyal boşlukla birlikte artar. Silindirik makaralı yataklarla konik makaralı yataklarda, küresel hareket yüzeyi ve bombeli makaralarla açısal hatalara karşı olan hassasiyet belirli derecede azaltılır.

Öldükça büyük mil çökmeleri veya yuva deformasyonları bekleniyorsa oynak yatakların kullanılması da öngörlülebilir. Yataklar milin veya yuva deliğinin ağılığından kendi kendilerini ayar ederler. Açısal hareketli olmayan yataklar bu durumlarda ek olarak bir kasma momenti ile zorlanır.

Eksenel-sabit yataklar, oturma yüzeyi ve yatak ekseni arasındaki ağız hatalarına karşı hassastır. Bu tür islemeler hataları montaj esnasında küresel yuva diskleri ve arası disklerle ayarlanabilir. Küresel yuva diskli ve arası diskli eksenel-sabit bilyali yatakların bir ve iki yönde çalışan tipleri vardır. Ziraat makinelerinde eksen kağıtlarını karşılamak için küresel dış yüzeyli sabit bilyali yataklar da kullanılır. Germé bilezikli yataklar diye adlandırılan bu yataklar mil üzerinde eksantrik bilezikler veya ayar bilezikleri ile tespit edilir. Bu yataklara uygun yuvalar yataklar beraberleştirilir.

26.6.3. Yatak Boşluğu

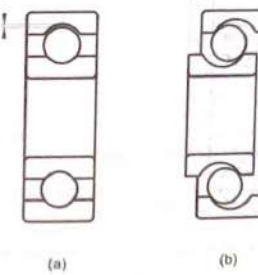
Yatak boşluğu, bir yatak bileziğinin diğerine göre ölçü yükü altında olmaksızın radyal doğrultuda (radyal yatak boşluğu) veya eksenel doğrultuda (eksenel yatak boşluğu) bir sınır konumdan diğerine kaydırılma miktarı olarak bilinir. Yuvarlanmalı yataklar belirli bir radyal iç boşluğu ile üretilmektedir (Şekil 26.8a).

Çalışma ve montaj şartlarına göre belirlenen bu boşluk değerleri; C₁, C₂, normal boşluk, C₃, C₄ ve C₅ sembollerile yuvarlanmalı yatak kataloglarında verilmektedir. Görüldüğü gibi normal bir yatak boşluğu grubu esas alınıyor; C₂ ile belirlenen yatak boşluğu normalden daha küçük, C₃, C₄ ve C₅ boşlukları ise daha büyükür. C₁ grubu yalnız konik delikli iki sıralı silindirik makaralı yataklarda söz konusudur.

Montajı yapılmamış bir yataktaki boşluk ile monte edilmiş işletme sıcaklığındaki yatağın boşluğu arasında fark olmalıdır (islette boşluğu). Monte edilmemiş yataktaki boşluk işletmedeinden daha büyükür. Çünkü geçme sıklığı ve yataka yuvarlanıp işletme sıcaklığındaki farklı ıslı genleşmeleri sebebiyle yatak bilezikleri ve karşılık parçalar genişleyip daraltılmamaktedir.

Bir yatağın kusursuz çalışabilmesi için ilk planda radyal yatak boşluğu önemlidir. Genel olarak bilyali yataklardaki radyal boşluk çalışma durumunda sıfır olmalıdır. Çok defa küçük bir öne gerilme de zararlı sonuç vermez. Silindirik ve oynak makaralı radyal yataklarda ise işletme durumunda daima az da olsa, bir radyal boşluk bulunmalıdır. Aynı kural konik makaralı yataklar için de geçerlidir.

Normal yatak boşluğu, normal geçme ve işletme durumlarında amaca uygun bir radyal boşluk kalacak şekilde seçilmiştir. Ön şart olarak radyal yatakların montajında milin ve yuva deliğinin aşağıdaki toleranslara göre işlendiği kabul edilir.



Şekil 26.8 Yatak boşluğu
a. radyal boşluk
b. eksenel boşluk

Bilyali yataklar : mil için $J5'$ den $K5'$ e kadar
yuva için $J6$
Makaralı yataklar: mil için $K5'$ den $m5'$ e kadar
yuva için $K6$

Çift çalışan tek sıralı eğik bilyali yataklar ve dört nokta yatakları için radyal boşluk daha önemlidir.

26.6.4. Yatağın Takılması ve Sökülmesi

Parçalarına ayrılabilen yataklar genel olarak parçalarına ayrılamayanlara göre daha kolay monte edilir. Bu sebepten ulaşılması zor yatak yerleri için çok defa parçalarına ayrılabilen yataklar tercih edilir. Yatak seçimi için, eğer bir mil sık sık sökülmüş tekrar takılıyorsa, yatağın parçalarına ayrılmıştır özelliğinin esas alınabilir. Değiştirilmeye iç bilezik mil üzerinde dış bilezik ise yuva içinde kalabilir. Parçalarına ayrılabilen yataklar, omuzlu bilyali, silindirik makaralı, iğneli ve konik makaralı yataklardır.

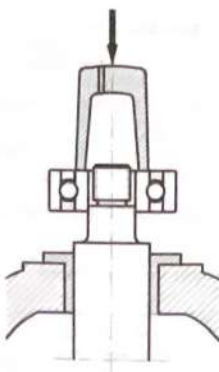
Konik delikli yataklar, montajı kolaylaştmak veya radyal yatak boşluğunu ayarlayabilmek için kullanılır. Bu yataklar germé manşonları veya çakma manşonları ile de tespit edilebilmektedir. Bu tespit şekli basittir; mildeki oturma yüzeyi silindirik, mil üzerindeki yatak yeri ise konik olabilir.

yuvarlanmalı yataklar

Yataklamanın bütün elemanları (yuva, muylu, bilezikler vb.) montajdan önce çok iyi temizlenmelidir. Bazı durumlarda yatak bilezikleri ile bunların takılacakları yerler yağılmır. Küçük yataklarda ve çok sıkı olmayan geçmelerde yatak bileziği çekicile hafifçe vurularak oturma yüzeyine getirilir. Bu montaj esnasında çekici darbelen yatak bileziklerine doğrudan değil bir boru parçası veya benzeri bir elemen vasıtasyla uygulanır (Şekil 26.9). Daha sıkı geçmelerde ise yatak, pres altında sağlanacak bası kuvveti sayesinde yerine oturtulur.

Orta ve büyük yatakların montajı çok defa hidrolik olarak yapılır. Burada geçme yüzeyleri arasında basıncı yağ verilir. Yataklar doğrudan doğruya mille tespit ediliyorsa, basıncı yağ mildeki deliklerden sevk edilir. Çakma ve germe manşonları ile lespite hidrolik manşonlar (mil üzerinde gömlek) kullanılır. Bu yatakların sökülmeleri de aynı yöntemle yapılır.

Yataklar yerlerinden söküldürken; küçük yataklar genellikle takılmalarında olduğu gibi yumuşak bir boru parçası ve çekicile çıkarılır. Daha büyük ve sıkı yataklar ise ya çekirme ile (Şekil 26.10) veya pres kuvveti ile söküller. Ancak yukarıda da söz edildiği gibi büyük yataklar genellikle hidrolik olarak takılıp söküllerler.

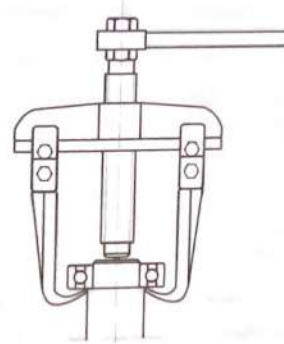


Şekil 26.9 Yuvarlanmalı yatağın montajı

26.7. Yuvarlanmalı Yatakların Sembollerle Gösterilmesi

Yuvarlanmalı yataklar, kabul edilen Uluslararası Standartlara uygun olarak çeşitli firmalar tarafından üretilmektedir. Bu yatakların boyutları ve yük taşıma özelliklerini içeren özlü bilgiler, firmalar tarafından hazırlanan kataloglarında verilmiştir.

yuvarlanmalı yataklar



Şekil 26.10 Bir yuvarlanmalı yatağın çekirme yardımıyla sökülmesi

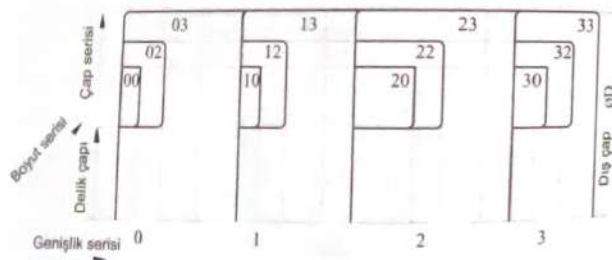
Yuvarlanmalı yatakların Uluslararası Standart boyutları; delik çapı (d), dış çap (D) ve genişliği (B) dir. Önemli olan husus, aynı delik çapına uygun çeşitli dış çap ve genişlikte yatakların bulunabilmesidir. Bunu açıklayabilmek için boyut serisi denilen ve 00, 02, 03, ... vb şeklinde iki rakamdan oluşan bir sembolleştirme tarzı ortaya konulmuştur. Burada 0, 1, 2 ve 3 ile tanımlanan birinci rakam genişlik serisini; 0, 1, 2, 3 ve 4 ile tanımlanan ikinci rakam ise dış çap serisini sembolize eder (Şekil 26.11).

Yuvarlanmalı yatakların sembolleştirme şekli, genelde sayılarla yapılmaktadır sembol sayısının soldan itibaren birinci rakamı yatak tipini, ikinci rakamı genişlik serisini, üçüncü rakamı dış çap serisini ve son iki rakamı da delik çapını ifade eder.

Cetvel 26.4 Yuvarlanmalı yataklarda delik çapı ile sembol sayısı arasındaki ilişki

Delik çapı (d) mm	10 12 15 17 20...50...75...100...480
Delik çapı sembolü	00 01 02 03 04...10...15...20... 96

Cetvel 26.4'den de görüleceği gibi 20 mm'lik delik çapı dahil 480 mm'ye kadar olan büyütüklerde ($5 \times$ delik çapı sembolü), yatağın delik çapını vermektedir.

yuvarlanmalı yataklar

Şekil 26.11 Yuvarlanmalı yatağın sembolleştirilme yöntemleri

Aynı tanım içinde yuvarlanmalı yatakların çeşitli üretim özellikleri harfleri açıklanmıştır. Örneğin silindirik makaralı yataklar *N*, *NU*, *NJ* ve *NUP* gibi sembollerle verilmektedir (Bak yuvarlanmalı yatak katalogları).

Örnekler:

1. Sabit bilyali yatak

6 2 12

delik çapı sembolü ($d=5 \times 12 = 60$ mm)
dış gap serisi
sabit bilyali yatak

2. Silindirik makaralı yatak

N U 2 2 16

delik çapı sembolü
dış gap serisi
genişlik serisi
dış bilezik fakturasi
silindirik makaralı yatak

3. Konik makaralı yatak

3 2 2 14

delik çapı sembolü
dış çap serisi
genişlik serisi
konik makaralı yatak

yuvarlanmalı yataklar**26.8. Dinamik Yüklerde Yatak Büyüklüğünün Tespiti****26.8.1. Dinamik Yük Sayısı : C**

Dinamik yük sayısı C , aynı yataklardan büyük sayıda bir grubun ≈ 90 'ının yuvarlanma yüzeylerinin yorulması sebebiyle tahrif olmadan bir milyon devre ulasıktır. Bu yük sayısı her yatak türü için yatak cetvellerinde verilmiştir.

26.8.2. Dinamik Eşdeğer Yük: F

Yatağa aynı zamanda radyal (F_r) ve eksenel (F_a) yükler birlikte etki ediyorsa bileşke yük söz konusudur. Yorulma bakımından bileşke yük gibi teşir eden dinamik eşdeğer yük

$$F = X.F_r + Y.F_a$$

bağıntısı ile hesaplanır. Burada X - radyal faktör ve Y - eksenel faktörür. Her yatak tipi ve büyütülüğü için X ve Y faktörleri farklı değerlerdir. Genel olarak yük apısı F_r/F_a oranına bağlı olarak yatak cetvellerinde verilmiştir. Sabit bilyali yataklarda bundan başka F_r/C_s oranı ile değişken basınç açısı da hesaplama göz önüne alınmalıdır.

26.8.2.1. Sabit Bilyali Yatakların Dinamik Eşdeğer Yükü

Sabit bilyali yatakların radyal türde olanları sadece radyal kuvvet taşıma amaçlı yapılmış olmakla beraber radyal yük etkisinde oluşan ve F_r/C_s büyütülüğündeki değişken basınç açısına bağlı olarak hesaplanmalıdır. Yataktaki oluşan dinamik eşdeğer kuvvet

Cetvel 26.5 Sabit bilyali yataklar için X ve Y faktörleri

$\frac{F_r}{C_s}$	Normal yatak boşluğu				Yatak boşluğu C3				Yatak boşluğu C4						
	e	X	Y	X	Y	e	X	Y	X	Y	e	X	Y	X	Y
0,025	0,22	1	0	0,56	2,0	0,31	1	0	0,46	1,75	0,40	1	0	0,44	1,42
0,04	0,24	1	0	0,56	1,8	0,33	1	0	0,46	1,62	0,42	1	0	0,44	1,36
0,07	0,27	1	0	0,56	1,6	0,36	1	0	0,46	1,46	0,44	1	0	0,44	1,27
0,13	0,31	1	0	0,56	1,4	0,41	1	0	0,46	1,30	0,48	1	0	0,44	1,16
0,25	0,37	1	0	0,56	1,2	0,46	1	0	0,46	1,14	0,53	1	0	0,44	1,05
0,50	0,44	1	0	0,56	1,0	0,54	1	0	0,46	1,00	0,56	1	0	0,44	1,00

$$F = X F_x + Y F_y$$

olarak bulunur. Eşitlikteki X radyal ve Y eksenel faktörleri, "e" değerine bağlı olarak, Çetvel 26.5'den seçilebilir.

26.8.2.2. Eşik Bilyali ve Konik Makaralı Yatakların Dinamik Eşdeğer Yükü

Bu yatakların basınç açılarından dolayı yatağa etki eden radyal kuvvet

$$F_x' = \frac{0.5 \cdot F}{Y}$$

eşitliği ile hesaplanan bir eksenel bileşen meydana getirir. Ayrıca eşik bilyali ve konik makaralı yatakların tek yönde eksenel kuvvet taşıdığı göz önüne alındığında, F_x' eksenel kuvvetini karşılamak üzere bu tür yatakların çift olarak monte edilmesi gerekligi ortaya çıkar. Dış eksenel kuvvet K_x ile gösterilirse yataklardan biri

$$F_x = F_x' + K_x$$

ve diğer

$$F_y = F_y' - K_y$$

toplam eksenel kuvvetini karşılamak durumundadır. Bu yataklardaki dinamik eşdeğer yük ise; K_x dış eksenel yükünü taşıyan yataktır

$$F = X F_x + Y (F_y' - K_y)$$

K_x dış eksenel yükünü taşımayan yataktır

$$F = X F_x + Y (F_y' - K_y)$$

eşitliği ile hesaplanmalıdır.

Konik makaralı ve eşik bilyali yataklara etki eden yüklerin oluşturduğu eksenel yükler, yatağın terlip şecline göre, Şekil 26.12a ve b'de toplu olarak verilmiştir.

26.8.3. Yuvarlanmalı Yatakların Ömrü

Kullanma süresi; bir yatağın doğru kullanma ve iyi bir bakımla görevini yapabilecek durumda kaldığı çalışma süresidir. Yatağın bir parçası yorulma neticesi kullanılamaz duruma gelir veya yatak aşınma neticesi artık görevini yerine getiremezse o yatağın kullanma süresi sona ermiş demektir.

Yuvarlanmalı yatakların ömrü

$$L = \left(\frac{C}{F} \right)^{\frac{1}{3}} \quad (\text{milyon devir})$$

eşitliği ile hesaplanır. Burada C - nokta teması yataklarda (bilyali yataklar) 3, pıçıklı teması yataklarda (makaralı yataklar) $10/3$ değerinde bir sayıdır. Milyon devir sayısı olarak tespit edilen ömrü, sabit devir sayısı durumunda, saat cinsinden

$$L_s = \frac{10^6 \cdot L}{60 \cdot n} \quad (\text{saat})$$

eşitliği ile hesaplanabilir.

Sonuç olarak, dinamik yük etkisindeki yuvarlanmalı yatakların seçimi;

1. Yatağa etki eden F_x ve F_y kuvvetleri ve bunların yardımıyla dinamik eşdeğer yük (F) bulunur.
2. Makina özelliği ve çalışma şartlarına göre ömrü (L ve L_s) tespit edilir.
3. Yük durumu ve çalışma şekli göz önünde bulundurularak yatak tipi (bilyali - makaralı) seçilir ve dinamik eşdeğer yük ile ömré bağlı olarak dinamik yük sayısı (C) hesap edilir.
4. Mil çapı (d) ve dinamik yük sayısı (C) değerlerine göre uygun yatak, ilgili kataloglardan seçilir.

26.9. Statik Yüklerde Yatak Büyüklüğünün Tespitı

Statik durumda, yani sabit yüklü yuvarlanmalı yataklarda yatak büyülüğünün tespiti statik yük sayısı (C_o) ve statik eşdeğer yük (F_o) yardımıyla yapılmalıdır.

26.9.1. Statik Yük Sayısı: C_o

Bir yatağın en fazla yüklenen yuvarlanma elemanlarının her iki temas yerinden birinde, yuvarlanma elemanı çapının $\leq 0,01$ ' (on binde biri) kadar kalıcı bir toplam

şekil değiştirme meydana getiren yüze statik yük sayısı (C_o) denir. Statik yük sayısı C_o , her yatak tipi için yatak çetvellerinde verilmiştir.

O-tertili	1a	$\frac{F_n}{Y_i} \geq \frac{F_{r_B}}{Y_B}$ $K_a \geq 0$	$F_{a_1} = \frac{0,5 F_{r_j}}{Y_j}$ $F_{a_B} = F_{a_1} + K_a$
X-tertili	1b	$\frac{F_n}{Y_i} < \frac{F_{r_B}}{Y_B}$ $K_a \geq 0,5 \left(\frac{F_{r_B} - F_n}{Y_B} - \frac{F_{r_j}}{Y_j} \right)$	$F_{a_1} = \frac{0,5 F_{r_j}}{Y_j}$ $F_{a_B} = F_{a_1} + K_a$
O-tertili	1c	$\frac{F_n}{Y_i} < \frac{F_{r_B}}{Y_B}$ $K_a < 0,5 \left(\frac{F_{r_B} - F_{r_j}}{Y_B} - \frac{F_{r_j}}{Y_j} \right)$	$F_{a_1} = F_{a_B} - K_a$ $F_{a_B} = \frac{0,5 F_{r_j}}{Y_j}$
X-tertili	2a	$\frac{F_n}{Y_i} \leq \frac{F_{r_B}}{Y_B}$ $K_a \geq 0$	$F_{a_1} = F_{a_B} + K_a$ $F_{a_B} = \frac{0,5 F_{r_j}}{Y_j}$
O-tertili	2b	$\frac{F_n}{Y_i} > \frac{F_{r_B}}{Y_B}$ $K_a \geq 0,5 \left(\frac{F_{r_j}}{Y_j} - \frac{F_{r_B}}{Y_B} \right)$	$F_{a_1} = F_{a_B} + K_a$ $F_{a_B} = \frac{0,5 F_{r_j}}{Y_j}$
X-tertili	2c	$\frac{F_n}{Y_i} > \frac{F_{r_B}}{Y_B}$ $K_a < 0,5 \left(\frac{F_{r_j}}{Y_j} - \frac{F_{r_B}}{Y_B} \right)$	$F_{a_1} = \frac{0,5 F_{r_j}}{Y_j}$ $F_{a_B} = F_{a_1} - K_a$

Not: Bu denklemler, yatakların işletme durumunda pratik olarak boşluksuz fakat ön gerilmesi olarak birbirine eş çalıştığı durumlar için geçerlidir. F_n ve F_{a_1} kuvvetleri şekilde gösterildiği gibi ters yönde etkileşen bileşik bir kabul edilecektir. 1c ve 2c kabulleri, $K_a = 0$ durumu için de geçerlidir.

Şekil 26.12a Konik makaralı yataklarda radyal yükün oluşturduğu eksenel yükler

O-Teriti	1 a	$e_1 F_{r_1} \geq e_{11} F_{r_{11}}$ $K_x \geq 0$	$F_{a_1} = e_1 F_{r_1}$ $F_{a_{11}} = F_{a_1} + K_x$
X-Teriti	1 b	$e_1 F_{r_1} < e_{11} F_{r_{11}}$ $K_x \geq e_{11} F_{r_{11}} - e_1 F_{r_1}$	$F_{a_1} = e_1 F_{r_1}$ $F_{a_{11}} = F_{a_1} K_x$
O-Teriti	1 c	$e_1 F_{r_1} < e_{11} F_{r_{11}}$ $K_x < e_{11} F_{r_{11}} - e_1 F_{r_1}$	$F_{a_1} = F_{r_1} - K_x$ $F_{a_{11}} = e_{11} F_{r_{11}}$
O-Teriti	2 a	$e_1 F_{r_1} \leq e_{11} F_{r_{11}}$ $K_x \geq 0$	$F_{a_1} = F_{a_{11}} + K_x$ $F_{a_{11}} = e_{11} F_{r_{11}}$
X-Teriti	2 b	$e_1 F_{r_1} > e_{11} F_{r_{11}}$ $K_x \geq e_1 F_{r_1} - e_{11} F_{r_{11}}$	$F_{a_1} = F_{a_{11}} + K_x$ $F_{a_{11}} = e_{11} F_{r_{11}}$
O-Teriti	2 c	$e_1 F_{r_1} > e_{11} F_{r_{11}}$ $K_x < e_1 F_{r_1} - e_{11} F_{r_{11}}$	$F_{a_1} = e_1 F_{r_1}$ $F_{a_{11}} = F_{a_1} - K_x$

Şekil 26.12b Eğik bilyalı yataklarda radyal kuvvetin oluşturduğu eksenel kuvvetler

26.9.2. Statik Eşdeğer YÜK: F_s

Aynı anda tesis eden radyal ve eksenel yüklerde hesap, statik eşdeğer yüze göre yapılır. Statik eşdeğer yük, eksenel ve radyal yüklerin meydana getirdiği gerçek bileşke yükün oluşturduğu kadar bir kalıcı şekil değiştirme meydana getirir. Bu yük eşitliği

$$F_s = X_s F_r + Y_s F_e$$

şeklindedir. Burada X_s - radyal faktör, Y_s - eksenel faktördür. Bu faktörler her yatak tipi için yatak ctevellerinde verilmiştir. Statik durumlarda yatak büyüklüğünün tespiti genellikle

$$C_s = f_s \times F_s$$

eşitliği kullanılarak yapılır. Böylece gerekli statik yük sayısı C_s hesap edilir. Burada f_s , statik zorlanma için bir katsayıdır. Bu katsayı ile çok büyük bir bölgelerde şekil değiştirme emniyeti göz önüne alınmıştır. En çok kullanılan f_s değerleri:

$f_s = 1,2 - 2,5$	yüksek isteklerde
$= 0,8 - 1,2$	normal isteklerde
$= 0,5 - 0,8$	sınırlı isteklerde

olarak bilinmektedir.

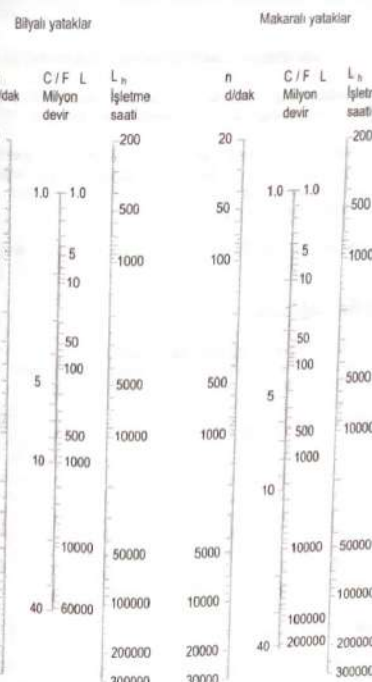
26.10. Yağlama

Yağlama konusunda şu hususları göz önünde bulundurulmalıdır:

- Artan yatak büyüğü ile yağlayıcı maddenin viskozitesi artmalıdır.
- Artan devir sayısı ile yağlayıcının direnci, dolayısıyla viskozitesi azalır.
- Temas yüzeylerinde artan basınçla yağ tabakasının taşıma özelliği, dolayısıyla viskozitesi artar.
- Yağlayıcıların viskoziteleri sıcaklıkla azalır, buna bağlı olarak her yağlayıcı maddenin kullanılabileceği bir sıcaklık bölgesi vardır.

Yuvarlanmalı yatakların yağlanması gres veya sıvı yağ ile yapılır. Normal işletme durumları için hangi şartlarda gres yağı ve hangi şartlarda sıvı yağ kullanılacağı hakkında kesin bir sınırlama yoktur. Her iki yağlama türü de geniş bir yük ve devir sayısı bölgesinde yatağın emniyetle yağlanması temin eder.

Cetvel 26.6 Yuvarlanmalı yataklarda ömür tespiti için nomogram



26.10.1. Gresle Yağlama

Gresle yağlama, sızdırmazlık ve bakım için en az masraf ve emeği gerektirir. Sızdırmazlık için labirent tertibi veya keçe halkalar yeterlidir. Zor durumlarda conta – manşetler kullanılabilir.

İlk takımda yatak gresle sıvanır. Bazen sızdırmazlık için yatağın her iki yanındaki boş yuvaya gres doldurulur. Ancak ısınmaya karşı bu hacmin yarısı boş bırakılmalıdır. Bir gresin kullanılmaz duruma gelmesi, görünüşündeki değişiklikten oldukça kuvvetli renk değiştirmesinden veya kirlenmesinden anlaşıılır.

Eğer kolay sökülebilin kapaklar öngörülürse kontrol ve yeniden gresleme basit olarak yapılabilir. Yeniden yağlamada, kullanılmış gresin mümkün olduğu kadar yuvadan tamamen uzaklaştırılmasına çalışılmalıdır. En iyisi yatak sökülerek yikanmalı ve yeniden greslenerek yerine takılmalıdır.

Yuvarlanmalı yataklarda çoğunlukla litium, kalsiyum ve sodyum sabunu gresler kullanılır.

26.10.2. Sıvı Yağ İle Yağlama

Yuvarlanmalı yatakların sıvı yağları yağlanması genellikle,

- a. Sürfünme ısısından dolayı yatağın soğutulması gerekiyorsa,
- b) Dişli kutularında olduğu gibi çalışan elemanlar sıvı yağ ile yağlanacaklarsa,
- c. Devamlı olarak yağ kontrolü gerekiyorsa,

tercih edilmelidir.

Sıvı yağ ile yağlamada; dalma yağlama, pompalı yağlama, yağ sisi gibi çeşitli yöntemler kullanılır. Sızdırmazlık problemleri greslere nazarın daha fazladır. Dalma yağlamada en alttaki yuvarlanan elemanı (sistem dururken) yarısına kadar yağın dalmalıdır. Yağ seviyesinin devamlı kontrol edilmesi gereklidir (örneğin bir yağ seviyesi devamlı kontrol edilmesi gereklidir (örneğin bir yağ seviyesi devamlı kontrol camı ile)). Pompalı yağlamada çıkış kesiti, yağın hızında bükülmeyeceği kadar büyük olmalıdır. Sistemde yağlama amacı ile kullanılan yağ çok defa yatağın soğutulmasına da kullanılır. Yağ sisi ile yağlama, bilhassa yüksek devir sayılarında başvurulan bir yağlama yöntemidir.

26.11. Sızdırmazlık Tertipleri

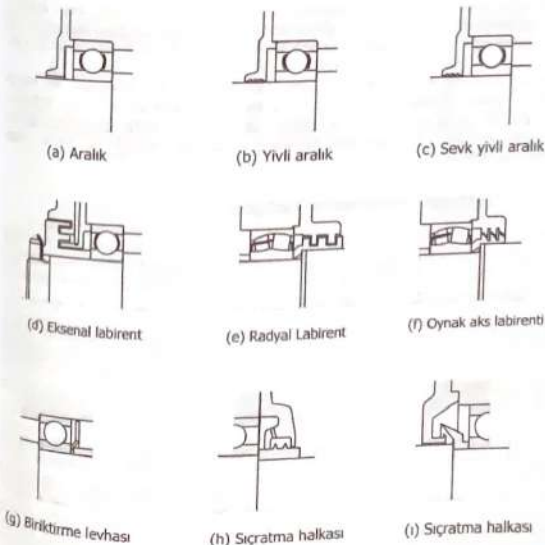
Yağlayıcı maddelerin yatak yuvasından dışanya çıkılmaması; pislik, toz ve nemin yatak yuvasına girmemesi için yatak yuvalarının dış tarafa doğru, bazı durumlarda iç tarafa doğru, sızdırmazlığı sağlanmalıdır. Sızdırmazlığın iyi veya kötü oluşu, bir yatağın ömrünü büyük ölçüde etkiler. Bir yataklama yeri için sızdırmazlık tertibinin seçimiinde yağmanın şekli (sıvı yağ veya gres), sızdırmazlık yüzeyindeki şeffaflık hızı, milin herhangi bir şekilde eğik konumlar alışı, sızdırmazlık için kullanılacak yerin büyüklüğü, sızdırmazlık elemanın sürtünmesinde olacak

ısının yarattığı etki, sızdırmazlık için yapılacak masraf gibi pek çok faktör göz önünde bulundurulmalıdır.

Yuvarlanmalı yataklarda genellikle temassız ve temaslı olmak üzere iki tür sızdırmazlık tertibi kullanılır.

26.11.1. Temassız Sızdırmazlık Tertipleri

Temassız sızdırmazlıklar, dar aralıkların sızdırmazlık etkisi prensibine dayanır. Bu dar aralıklar eksenel, radyal veya aynı zamanda eksenel ve radyal olarak tertiplenebilir. Bu sebepten bu tip sızdırmazlıklarda pratik olarak hiç bir sürfünme ve aşınma yoktur. Özellikle yüksek devir sayıları ve sıcaklık dereceleri için bu sızdırmazlık tertipleri elverişlidir.



Şekil 26.13 Temassız sızdırmazlık tertipleri

Temassız sızdırmazlık tertiplerine ait örnekler şu şekilde sıralanabilir. Kuru ve tozlu yerlerde çalışan makinalar için, milin yuvalan çıkışında meydana getirilen düz ve dar bir aralık oluşturulur (Şekil 26.13a).

Gresle yağlılamadaki sızdırmazlık etkisi giriş deligi açılan bir veya birkaç eş merkezi yiv (Şekil 26.13b) yardımı ile artırılabilir. Aralıktan dışarıya kaçan gres yivlerde toplamlar ve pisliklerin içeriye girmesine engel olur. Sıvı yağ ile yağlılamada ve yatak millelerde milin dönde yönüne göre giriş deliği içerisinde veya mil üzerinde sağ veya sol eğimi helis şeklinde yivler açılır (Şekil 26.13c). Bu yivler dışarıya çıkışma sırasında yağı tekrar yatak içine yönlendirir. Bu tür sızdırmazlıklarda milin dönde yönü değişmemelidir. Bir veya birkaç kademeli labirent tertiplerinin sızdırmazlık etkileri çok daha büyük fakat üretim masrafları fazladır. Labirent sızdırmazlıklar daha çok gresle yağlılamada kullanılır. İkiye ayrılmamış yatak

yuvalarında labirent kademeleri eksenel doğrultuda (Şekil 26.13d), ikiye ayrılmış yatak yuvalarında da kademeler radikal doğrultuda (Şekil 26.13e) tertiplenir. Mil yuvalaya göre eğik konumlar alacaksa eğik kenarlı labirentler kullanılır (şekil 26.13f).

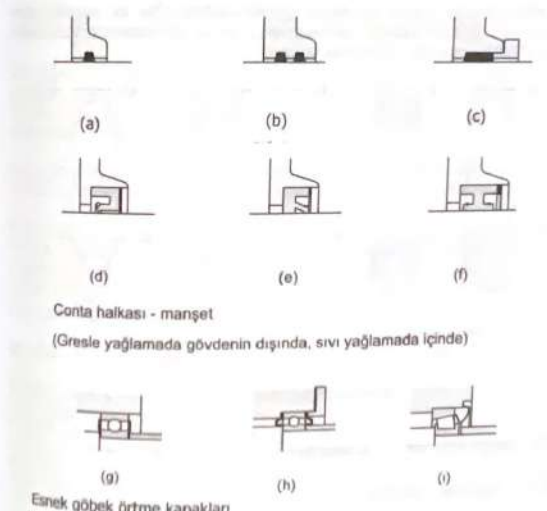
Temassız sızdırmazlıkların etkisini artırmak için bir çok durumda ek olarak birkirme diskleri (Şekil 26.13g), sıvı yağ ile yağlılamada da sıçratma halkaları (Şekil 26.13h ve i) veya savurma diskleri mil üzerine takılır. Sıçratma halkası tarafından savrulan yağ, çevresel bir kanal tarafından tutulur ve tekrar yatak yuvasına gönderilir.

26.11.2. Teması Sızdırmazlık Tertipleri

Teması sızdırmazlıkların çalışma prensibi; sızdırmazlık elemanın esnekliği nedeniyle sızdırmazlık yapılacak yüzeye belirli bir basınçla yaslanması esasına dayanır. Teması sızdırmazlık tertiplerinin kullanma yerleri, çalışma yerindeki yüzey kalitesi ve çevre hızıyla yakından ilgilidir.

Keçeli sızdırmazlık (Şekil 26.14a ve b) özellikle gresle yağlılamada kullanılır. Bu tip sızdırmazlık basıt ve ucuz olup 4 m/s lik çevre hızları ile 100 °C sıcaklık sınırlarına kadar elverişlidir. Keçeli sızdırmazlığın etkinliği, bu sızdırmazlık örüne konulan bir labirent halkası (Şekil 26.14c) ile büyük ölçüde artırılabilir. Keçelere, yuva içindeli oluğa yerleştirilmeden önce, takriben 80 °C'daki sıcak yağ içini.

Sızdırmazlık tertiplerinin yüksek kalitesi olması istenen yerlerde, özellikle sıvı yağ ile yağlılan yataklarda, manşetli sızdırmazlıklar –conta halkaları– kullanılır (Şekil 26.14d, e, f). Manşetli sızdırmazlıklar, sentetik kauçuk veya plastikten yapılmış bir sızdırmazlık manşetiinin sac bir kovan içine yerleştirilmesi ile meydana gelir. Montajda hazır sızdırmazlık elemanlarıdır. Bunlar keçelere nazaran daha yüksek çevre hızları için uygunlardır. Ancak çevre hızı ile kayma yüzeylerinin kalitesi artırılmalı, bazı durumlarda sertleştirilmeli veya serit kromaj yapılarak partalıtmalıdır. Yağlayıcısının yuvalan çıkışına (Şekil 26.14d) veya pisliklerin



Şekil 26.14 Teması sızdırmazlık tertipleri

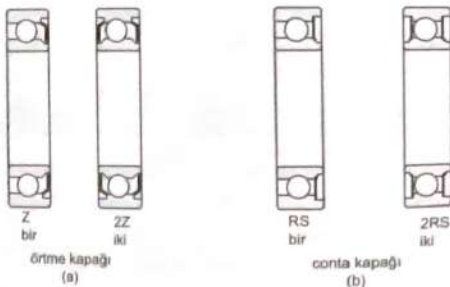
yatağı girişine (Şekil 26.14e) engel olunma isteklerine göre içe veya dışa yoneltilmiş sızdırmazlık dudaklı manşet halkaları şeklinde monte edilirler. Bunların pif yönü çalışan tipleri de vardır (Şekil 26.14f). P - halkası; sızdırmazlık duduğu eksenel olarak kayma yüzeyine bastırılan bir lastik gövdeden ibarettir.

Esnek örtme kapakları (Şekil 26.14g, h, i), özellikle gresle yağlılanan sabit bilyalı yataklar için basıt ve yerden tasarruf sağlayan sızdırmazlık tertipleridir. Bu tip kapaklar ya dış bileziğe (Şekil 26.14g) veya iç bileziğe (Şekil 26.14h) tespit edilir ve diğer yatak bileziğine eksenel doğrultuda yayılanarak bastırılır.

26.11.3. Sızdırmaz Yataklar

Bir tarafına veya her iki tarafına konulan örtme (Şekil 26.15a) veya conta (Şekil 26.15b) kapakları ile sızdırmaz duruma getirilen yatakların kullanılması ile basıt ve yerden tasarruf sağlayan sızdırmazlıkların elde edilmesi mümkündür. Her iki taraftan sızdırmaz duruma getirilen yataklar satışta gresle doldurulmuş olarak

teslim edilir. Bunlara bakım yapılması gereklidir. Bu tür yataklar yeter derecede etkili bir sızdırmazlığın olmadığı veya yer azlığı nedeniyle sızdırmazlık tertibinin yerlesitmeli olduğu durumlarda kullanılır.



Şekil 26.15 Sızdırmaz yataklar

26.12. Geçmeler ve Toleranslar

26.12.1. Radyal Yataklar

Yuvarlanmamı yatak bileziklerin takıldığı parçalar üzerinde kaymamalıdır. En emin ve en basit testip, bir sıkı geçme ile elde edilir. Sıkı geçme ile bilezikler bütün çevreleri boyunca desteklenir. Bu destek yatağın yük kabiliyetinden tam olarak faydalananın bakımından önemlidir.

Yük büyüklüğün ve daha çok darbe yüklerine bağlı olarak büyük geçme sıklıkları seçilmelidir. Büyük yataklar küçük yataklara nazaran daha sıkı olarak takılır. Bilyalı yataklara göre makaralı yatakların sıkılığı daha fazla olmalıdır.

Yuvarlanmamı yatak bileziklerinin kalınlığının az olması sebebiyle oturma yüzeylerinin şekil farklılıklarını yuvarlanma yüzeylerinde kolayca kendini gösterir. Bu sebeple miliin ve yuva deliğinin öngörülen şekil bozukluğu (ovallığı veya konikliği) boyut toleransının yarısını geçmemelidir. Olanaklar çerçevesinde mil çapı ϕ kalite 5, yuva deliği için kalite 6 öngördürmelidir. Bazı durumlarda mil için kalite 8 ve yuva deliği için de kalite 7 seçilebilir.

Germe ve çökme manşonlarının oturma yüzeyleri için daha büyük çap toleransları öngördür. Genel olarak miller, çökme manşonlarında $H7$ veya $H8$ ve germe

manşonlarında $h9$ veya $h10$ kalitesinde işlenir. Bununla beraber şekil hatalarına esas olarak $IT5$ 'den $IT7$ 'ye kadar dar tolerans değerleri verilir.

Sıkı geçme ile yatağın radyal boşluğu azaltılır. Parçalarına ayrılabilen yatakların bilezikleri, aynı ayrı takılıp sökülebildiklerinden, sıkı geçme olarak takılabilir. Parçalar ayrılmayan yataklara çok defa, montaj olağanı göz önünde bulundurularak, serbest bir geçme verilmelidir.

İki parçalı yuvalarda dış bileziğin kasılması tehlikesine karşı çok sıkı dış bilezik toleransı seçilmemelidir. Kural olarak yuvalar H veya J toleransına göre işlenir.

Serbest yatakların eksenel kayabilimleri en basit olarak NU veya N tipindeki silindirik makaralı yataklar veya iğneli yataklarla elde edilir. Diğer bütün yataklarda serbest yatak olarak iç veya dış bileziğe bir sümre geçme verilmesi gerekir. Sümre geçme, milin g veya h ve yuvanın G , H veya bazen de J 'ye göre işlenmesine karşılık gelir.

26.12.2. Eksenel Yataklar

Eksenel yataklar kural olarak mile sıkı geçme şeklinde takılır. Yuvaladaki geçme şekli, yatağın yalnız eksenel bir kuvvet veya bileşke yük alıp almamasına bağlıdır. Eksenel sabit bilyali yataklar sadece eksenel kuvvetler aldığından herhangi bir kasmayı önlemek için yuva diskinin geçme toleransı, yuva deliğine temas etmesini emriyle önlüyor. Eksenel yatakların genis tutulması, yuva deliğine temas etmesini emriyle önlüyor. Bu kurala uygun olarak sadece eksenel yatak olarak çalışan radyal-sabit bilyali yataklar, radyal eğik bilyali yataklar, eksenel eğik bilyali yataklar ve eksenel oynak makaralı yataklara da yuva içinde genis bir geçme toleransı verilmelidir. Sadece eksenel silindirik makaralı yataklar, radyal yönde rahatça kendi kendilerini ayar edebileceklerinden, yuva deliğine de sıkı geçme olarak takılabilirler.

26.12.3. Geçmelerin Seçimi

Eğer bir yatağın iki bileziğinden birinin kayabilir şekilde geçmesi zorunlu ise hangi bilezin serbest geçme olacağı araştırılmalıdır. Yük şekli olarak çevre yükü ve nokta yükü ayrı edilmelidir.

a. Çevre Yükü:

Bir dönmeye esnasında bilezin bütün çevresinin bir defa yüklenliğini belirtir. Serbest geçme halinde bilezik kendi oturma yüzeyinde kayabilir veya gezinebilir.

b. Nokta Yükü:

Yükün daima bilezinin aynı noktasına yöneldiğini gösterir. Serbest geçme halinde bilezik gezinemez.

Hareket şekli	Örnek	Şekil	Yük durumu	Geçme
İç bilezik dönüyor Dış bilezik duruyor Yük yönü sabit	Ağırlık yükü taşıyan mil		İç bilezik için çevre yükü ve dış bilezik için nokta yükü	İç bilezik: sıkı geçme gereklidir Dış bilezik: serbest geçmeye izin verilebilir.
İç bilezik duruyor Dış bilezik dönüyor Yük yönü dış bilezikle dönüyor	Büyük dengesizliklere maruz göbek yataklaması		İç bilezik için nokta yükü ve dış bilezik için çevre yükü	İç bilezik: serbest geçmeye izin verilebilir. Dış bilezik: sıkı geçme gereklidir.
İç bilezik duruyor Dış bilezik duruyor Yük yönü sabit	Motorlu araç ön tekerleği Serbest makara (göbek yataklaması)		İç bilezik için çevre yükü ve dış bilezik için nokta yükü	İç bilezik: sıkı geçme gereklidir
İç bilezik dönüyor Dış bilezik duruyor Yük yönü iç bilezikle dönüyor	Santrifüj, Titreşimli elek		İç bilezik için çevre yükü	Dış bilezik: sıkı geçme gereklidir

Şekil 26.16 Yuvarlanmalı yataklarda çevre yükü ve nokta yükünün tanımlanması

Bu yük şekilleri dışında "belirsiz yük" diye tanımlanabilecek yük şekli de vardır. Örneğin aynı anda kayış kuvvetleri ve şiddetli titreşimlerle zorlanan miler ile krank mühendisinde olduğu gibi. Bu durumda yatak bilezikleri çevre yükünde olduğu gibi takılmalıdır.

Yuvarlanmalı yatak kataloglarında celveller halinde verilen mil ve yatak yuvası toleransları: yük şekli, yatak tipi ve yatak büyüğlüğü ile işletme şartları göz önünde bulundurularak önerilmiştir. Ancak bu önerilerin dışına çıkılması da bazen kaçınılmaz bir sonuçtur. Celvellerdeki sıkılık ve geçme boşullukları sınır değerleridir. Üretim esnasında bu iki sınır değer arasında kalmaya özen gösterilmelidir.

27. YUVARLANMALI YATAK PROBLEMLERİ

Problem 27.1

625 nolu tek sıra sabit bilyalı yuvarlanmalı yatağın $n=1000 \text{ d/d'}$ da en az 10000 saatlik bir ömré sahip olabilmesi için,

$$\text{a)} F_c = 0$$

$$\text{b)} F_c = 300 \text{ daN}$$

değerlerinde eksenel yük ile birlikte taşıyabilecegi radyal yükü hesaplayınız. ($C=7350 \text{ daN}$ ve $C_o=6200 \text{ daN}$).

F_c/C_o	$F_c/F_c \leq e$		$F_c/F_c \cdot e$		e
	X	Y	X	Y	
0,025	1	0	0,56	2,0	0,22
0,04	1	0	0,56	1,8	0,24
0,07	1	0	0,56	1,6	0,27

Cözüm 27.1

a) Yatağın ömrü

$$L = \frac{60 \cdot n \cdot L_{st}}{10^6} = \frac{60 \cdot 1000 \cdot 10000}{10^6} = 600 \text{ milyon devir}$$

Diger taraftan ömrü eşitliği

$$L = \left(\frac{C}{F} \right)^e$$

Burada $e=3$ (bilyalı yatak-nokta temas) olduğundan dinamik eşdeğer yük

$$F = \frac{C}{\sqrt{L}} = \frac{7350}{\sqrt{600}} = 871,4 \text{ daN}$$

olarak bulunur. Dinamik eşdeğer yük bağıntısı

$$F = X \cdot F_c + Y \cdot F_c$$

Burada $F_c=0$ olduğu takdirde $F=F_c=871,4 \text{ daN}$ olur. Yani yatak sadece radyal yük ile yüklemiştir.

b) $F_s = 300 \text{ daN}$ konumunda

$$\frac{F_s}{C_s} = \frac{300}{6200} = 0,04838$$

Buradan $F_s/C_s = 0,07$ ye karşılık gelen $e = 0,27$ değeri seçilirse, yataktaki ömrü bakımından emniyetli bir durum göz önüne alınmış olur. İlk yaklaşım olarak

$$\frac{F_s}{F_r} \leq e$$

kabul edelim. Bu durumda $X=1$ ve $Y=0$ olur ki bu şartlarda yataktaki eksenel yük laşılmıyor demektir. O halde

$$\frac{F_s}{F_r} > e$$

seçilmelidir. Böylece $X=0,56$ ve $Y=1,6$ değerleri alınır. Buna göre yatağın laşıyabileceğini radyal yük

$$871,4 = 0,56 F_r + 1,6 \cdot 300$$

ve böylece

$$F_r = 699 \text{ daN}$$

olur. Burada bir kontrol yapılması

$$\frac{F_r}{C_s} = 300 / 699 = 0,43 \quad e = 0,27$$

olduğu görüür.

Problem 27.2

Seri 23'de bir oynak bilyali yatak (yatak no. 2310) $C = 5000 \text{ daN}$ dinamik ve $C_s = 2400 \text{ daN}$ statik yük sayısı ile verilmiştir.

- Bu yatak radyal olarak yüklü ve $n = 1000 \text{ d/d}$ ile dönerken ömrünün $600 \cdot 10^4$ devir olması için dinamik eşdeğer yük ne olmalıdır?
- Bu yatak $F_r = 450 \text{ daN}$ radyal ve $F_s = 160 \text{ daN}$ eksenel yük taşırken ömrü devir ve saat olarak ne olur?

$F_s / F_r \leq e$		$F_s / F_r > e$		e
X	Y	X	Y	
1	1,5	0,65	2,3	0,43

Cözüm 27.2

a) Ömrür

$$L = \left(\frac{C}{F} \right)^e \quad (10^4 \text{ devir})$$

Burada $e = 3$ (bilyali yatak) ve $600 \cdot 10^4$ devir olduğuna göre, dinamik eşdeğer yük

$$F = \sqrt[4]{L} = \sqrt[4]{600} = 593 \text{ daN}$$

b) Basınç açısı

$$\frac{F_r}{F_s} = \frac{160}{450} = 0,35 < e = 0,43$$

olduğuna göre $X = 1$ ve $Y = 1,5$ olur. Böylece dinamik eşdeğer yük

$$F = X F_r + Y F_s = 450 + 1,5 \cdot 160 = 690 \text{ daN}$$

Ömrür

$$L = \left(\frac{C}{F} \right)^e = \left(\frac{5000}{690} \right)^3 = 380,5 \cdot 10^4 \text{ devir}$$

ve

$$L_s = \frac{L \cdot 10^4}{60 \cdot n} = \frac{380,5 \cdot 10^4}{60 \cdot 1000} = 6341,7 \text{ saat}$$

olmaktadır.

yuvarlanmalı yatak problemleri**Problem 27.3**

Şekil 27.3'deki konik dişli çark sistemi $n=800 \text{ d/d}$ da $P=128 \text{ BG}$ güç iletmektedir. Diş çark çifinin çalışması nedeniyle milye etkiyeni kuvvetler şekil üzerinde görülmektedir. Sistemde, A yatağı serbest, B yatağı sabit yatak düzleminde monte edilecek ve milyedeki eksenevi kuvveti B yatağı taşıyacaktır. Milyenin A yatağının bulunduğu yerdeki çapı 40 mm ve B yatağının bulunduğu yerdeki çapı ise 35 mm dir. Bu şartlar altında,

- A ve B yatak kuvvetlerini hesaplayınız.
- A için silindirik makaralı, B için iki sıralı eğik bilyalı yatakların görülmekte ve yatakların ömrünün 12000 saat dolayında olması istenmektedir. Buna göre, aşağıdaki listeden uygun yatakları seçiniz. Eşdeğer yatak yükünün hesabında, yatak kuvvetleri için $k=1,2$ değerinde bir darbe faktörü göz önüne alınacaktır.

Yatak No	d (mm)	C (daN)	C_0 (daN)
NU 208	40	3800	2400
NU 308	40	5100	3250
NU 2308	40	7350	5100
3207	35	3350	2750
3307	35	4400	3550

X ve Y faktörleri

Yatak No	$F_a / F_r \leq \epsilon$		$F_a / F_r > \epsilon$		ϵ
	X	Y	X	Y	
Seri 32,33	1	0,73	0,62	1,17	0,86

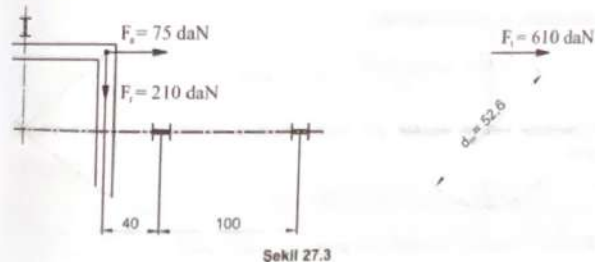
Cözüm 27.3

a) Yatak kuvvetleri-düsey düzleme
 F_r kuvveti nedeniyle

$$F_{ra} = F_r \cdot \frac{52,6}{2} \cdot \frac{1}{100} = \frac{75 \cdot 52,6}{2 \cdot 100} = 19,7 \text{ daN}$$

$$F_{ra} = -F_{ba} = -19,7 \text{ daN}$$

F_r kuvveti nedeniyle

yuvarlanmalı yataklar problemleri

Şekil 27.3

$$F_{Bx} = F_r \cdot \frac{40}{100} = 210 \cdot \frac{40}{100} = -84 \text{ daN}$$

$$F_{Bz} = F_r \cdot \frac{140}{100} = 210 \cdot \frac{140}{100} = 294 \text{ daN}$$

Yatay düzleme F_r kuvveti nedeniyle

$$F_x = F_r \cdot \frac{40}{100} = 610 \cdot \frac{40}{100} = 244 \text{ daN}$$

$$F_z = F_r \cdot \frac{140}{100} = 610 \cdot \frac{140}{100} = 854 \text{ daN}$$

A yatağındaki toplam radyal kuvvet

$$F_s = \sqrt{(F_{Bx} + F_{Bz})^2 + (F_{Bz})^2}$$

$$= \sqrt{[294 + (-19,7)]^2 + [854]^2} = 897 \text{ daN}$$

B yatağındaki toplam radyal kuvvet

$$F_B = \sqrt{(F_{Bx})^2 + (F_{Bz})^2}$$

$$= \sqrt{(-84 + 19,7)^2 + (244)^2} = 252 \text{ daN}$$

- A yatağının seçimi
Bu yatak sadece radyal yük taşıdığından dinamik eşdeğer yükü, $k=1,2$ için,

$$F = F_r = k \cdot F_s = 1,2 \cdot 897 = 1076,4 \text{ daN}$$

Yatak ömrü, $L_s = 12000$ saat için

$$L = \frac{L_s \cdot 60 \cdot n}{10^4} = \frac{12000 \cdot 60 \cdot 800}{10^4} = 576 \cdot 10^4 \text{ devir}$$

Buna göre yatağın dinamik yük sayısı, makaralı yataklarda $\varepsilon = 10/3$ olduğunu göre,

$$C = F \sqrt[3]{L} = 1076,4 \cdot (576)^{1/3} = 7246 \text{ daN}$$

Böylece $NU 2308$ no lu yatak türü seçilir. Bu yatağın ömrü

$$L_s = \left(\frac{7350}{1076,4} \right)^{10/3} = 604 \text{ milyon devir}$$

ve

$$L_s = \frac{604 \cdot 10^6}{60.800} = 12513,3 \text{ saat}$$

B yatağının seçimi: burada $F_x = F_y = 252 \text{ daN}$ olduğundan,

$$\frac{F_x}{F_s} = \frac{75}{252} = 0,29$$

Gördüğün gibi $F_x/F_s \leq \varepsilon = 0,86$ dir. Buna göre $X=1$ ve $Y=0,73$ seçilir. Dinamik eşdeğer yük

$$\begin{aligned} F &= X \cdot F + Y \cdot F_s \\ &= 1,2 \cdot (F_x \cdot X + Y \cdot F_s) = 1,2 \cdot (252 \cdot 1 + 0,73 \cdot 75) = 368,1 \text{ daN} \end{aligned}$$

Yatak ömrü $L = 576 \text{ milyon devir}$ olduğuna göre dinamik yük sayısı, bilyali yatak kullanıldığından $\varepsilon = 3$ ve böylece

$$C = F \cdot (L)^{1/\varepsilon} = 368,1 \cdot (576)^{1/3} = 3063 \text{ daN}$$

Buna göre en uygun yatak 3207 no lu yataktır. Bu yatağın ömrü

$$L = \left(\frac{3350}{368,1} \right)^3 = 753,8 \cdot 10^6 \text{ devir}$$

ve

$$L_s = \frac{753,8 \cdot 10^6}{60.800} = 15704 \text{ saat}$$

olur.

Problem 27.4

Şekil 20.16 daki (Cilt I, Prob. 20.16) dişli kutusun günde 12 saat çalışması ve mil yataklarının 3 senede bir değiştirilmesi istenmektedir. Buna göre aşağıdaki yatak türlerinden uygun olanını seçiniz. Yatak kuvvetleri: Radyal kuvvetler - $F_r = 852 \text{ daN}$, $F_s = 206 \text{ daN}$, Eksenel kuvvet - $F_a = 303 \text{ daN}$; mil çapı 55 mm ve mili devir sayısı $n = 750 \text{ d/d}$ dir.

Yatak tipi	Yatak No	C (daN)	$F_x / F_s \leq \varepsilon$		$F_a / F_s > \varepsilon$		ε
			X	Y	X	Y	
Oynak makaralı	22211C	8650	1	2,28	0,67	4,2	0,21
İki sıralı eğik bilyalı	3311	9150	1	0,73	0,62	1,17	0,86

Not: A ve B yataklarından büyük olanı hesaplanacak, ancak her iki yatak aynı türden seçilecektir.

Göküm 27.4

Yatağın ömrü

$$L_s = 12 \cdot 360 \cdot 3 = 12960 \text{ saat}$$

ve

$$L = \frac{L_s \cdot n \cdot 60}{10^4} = \frac{12960 \cdot 750 \cdot 60}{10^4} = 583,2 \cdot 10^4 \text{ devir}$$

Bu yataklamada A yatağındaki radyal yük daha büyük olduğundan, eksenel yükün de bu yatak tarafından taşıdığı düşünülerek seçim yapılacaktır.

Yatağın yük açısı

$$\frac{F_a}{F_s} = \frac{F_a}{F_r} = \frac{303}{852} = 0,355$$

Önce oynak makaralı yatak göz önüne alındığında

$$\frac{F_e}{F_i} = 0,355 > \varepsilon = 0,21$$

ve böylece $X=0,67$, $Y=4,2$ seçilir. Buradan dinamik eşdeğer yük

$$F = X \cdot F_i + Y \cdot F_e = 0,67 \cdot 852 + 4,2 \cdot 303 \approx 1843,5 \text{ daN}$$

Yatak ömrüne karşılık gelen dinamik yük sayısı:

$$C = F \sqrt{L} = F \cdot (U)^{\varepsilon/2}$$

Burada makaralı yatak (çizgi temas) için $\varepsilon = 10/3$ alınırsa

$$C = 1843,5 \cdot (583,2)^{10/3} = 12456,3 \text{ daN}$$

Bulunan bu değer, yatağın dinamik yük sayısından oldukça büyuktur. Bu duruma göre 2221 IC'lu oynak makaralı yatak, beklenen ömrü verememektedir. Eşik bilyali yatak için aynı işlem yapılrasa

$$\frac{F_e}{F_i} = 0,355 < \varepsilon = 0,88$$

O halde $X=1$ ve $Y=0,73$ olduğundan dinamik eşdeğer yük

$$F = 1 \cdot 852 + 0,73 \cdot 303 = 1073,2 \text{ daN}$$

Dinamik yük sayısı, nokta temaslı yataklarla $\varepsilon = 3$ olduğu hatırlanarak,

$$C = 1073,2 \cdot (583,2)^{1/2} = 8966,4 \text{ daN}$$

Gördüğü gibi eşik bilyali yatağın çalışma zamanı uygundur. Sonuç olarak, A yatağı 3311 nolu eşik bilyali yatak olmalıdır. Milin çapı, yatakların bakımı ve diğer özellikleri göz önüne alındığında B yatağının da aynı yatak türünden seçilmesi uygun olacaktır.

Problem 27.5

Bir asansör, çalışma zamanının %10'unda yan hız ve tam yük ile, %60'ında tam hız ve 3/4 yük ile ve %30'unda yan hız ve yan yük ile çalışmaktadır. Asansörün yataklanacak milinin nominal (çalışma) devir sayısı $n = 3000 \text{ d/d}$ dir. Yatağa

gelen en büyük yük $F = 350 \text{ daN}$ ve radyal doğrultudadır. Yatağın ömrü, günde 2 saatlik çalışma şartı göz önüne alınarak, 10 seneyi bulmalıdır. Bilyali yatak türünden olan yatağın dinamik yük sayısı ne olmalıdır?

Cözüm 27.5

Eşdeğer yatak yükü hesabı, değişken yük ve hızlarda

$$F_s = \sqrt{\frac{F_1^2 U_1 + F_2^2 U_2 + F_3^2 U_3}{U}}$$

Burada

<u>Yükler</u>	<u>Dönme sayıları</u>
$F_1 = F$	$U_1 = \frac{1}{2}n = 0,5n$
$F_2 = \frac{3}{4}F = 0,75F$	$U_2 = n$
$F_3 = \frac{1}{2}F = 0,5F$	$U_3 = \frac{1}{2}n = 0,5n$

$$U = U_1 + U_2 + U_3 = 2n$$

olduğuna göre

$$F_s = \sqrt{\frac{F^2 \cdot 0,5n + (0,75F)^2 \cdot n + (0,5F)^2 \cdot 0,5n}{2n}} = \sqrt{0,49F^2} = \sqrt{0,49 \cdot (350)^2} = 276 \text{ daN}$$

Toplam çalışma zamanı (ömrü)

$$L_s = 2.360.10 = 7200 \text{ saat}$$

Vb

$$L = \frac{L_s \cdot n \cdot 60}{10^3} = \frac{7200 \cdot 3000 \cdot 60}{10^3} = 1296 \cdot 10^3 \text{ devir}$$

Yatağın dinamik yük sayısı, bilyali yataklarla $\varepsilon = 3$ için,

$$C = 276 \sqrt{1296} = 3009 \text{ daN}$$

olarak bulunur.

yuvarlanmalı yataklar problemleri**Problem 27.6**
Bir sonsuz vida milindeki yataklar için

	Radyal kuvvet	Eksenel kuvvet	Mil çapı
A Yatağı	593 daN	55 daN	50 mm
B Yatağı	813 daN	-	60 mm

değerler bilinmemektedir. A yatağı sabit düzende monte edilecek ve eksenel kuvveti taşıyacaktır. B yatağı ise serbest olarak monte edilecektir. Milin devir sayısı $n=47 \text{ d/d}$ olup yataklardan beklenen ömür $L_s = 25000$ saatdir. A ve B yataklarını, aşağıda verilen tek sıra sabit bilyalı türlerden, ayrı ayrı seçiniz.

Tek sıralı sabit bilyalı yataklarda X ve Y faktörleri

F_a / C_0	$F_a / F_t \leq e$		$F_a / F_t > e$		e
	X	Y	X	Y	
0,025	1	0	0,56	2,0	0,22
0,04	1	0	0,56	1,8	0,24
0,07	1	0	0,56	1,6	0,27
0,13	1	0	0,56	1,4	0,31

Yatak No	d (mm)	C (daN)	C_0 (daN)
16010	50	1250	1000
6010	50	1660	1320
6210	50	2700	1960
6310	50	4750	3600
16012	60	1530	1320
6012	60	2280	1830
6212	60	3650	2800
6312	60	6300	4800

Cözüm 27.6a) Eksenel yük taşıyan A yatağının seçimi, yatak çapı $d=50 \text{ mm}$

$$\frac{F_a}{F_t} = \frac{55}{593} = 0,093$$

Bu değer her durumda (e) sayısından daha küçüktür. O halde $X=1$ ve $Y=0$ olur.
Böylece dinamik eşdeğer yük

$$F = F_t = 593 \text{ daN}$$

yuvarlanmalı yataklar problemleri

Yatak ömrü

$$L = \frac{L_s \cdot n \cdot 60}{10^6} = \frac{25000 \cdot 47 \cdot 60}{10^6} = 70,5 \text{ milyon devir}$$

Buradan gerekten yük sayısı, bilyalı yatak olduğuna göre $e=3$ alınarak,

$$C = F \sqrt[3]{L} = 593 \cdot (70,5)^{1/3} = 2450 \text{ daN}$$

Diğer bir yoldan dinamik yük sayısı:

$$C = \frac{f_d}{f_s} F \quad (\text{daN})$$

Burada f_d - dinamik zorlamlar için bir katsayı olup problemimizde (dişli kutusu için), $f_d = 3,5$ ve f_s - devir sayısı faktörü olup $n=47 \text{ d/d}$ için $f_s = 0,892$ alınır (FAG Rulman Kataloğu). Buna göre dinamik yük sayısı

$$C = \frac{3,5}{0,892} \cdot 593 = 2327 \text{ daN}$$

Böylece A yatağı için 6210 nolu yatak ($C = 2700 \text{ daN}$) seçilir. Bu yatak için ömür

$$L = \left(\frac{C}{F} \right)^e = \left(\frac{2700}{593} \right)^3 = 94,4 \cdot 10^6 \text{ devir}$$

veya

$$L_s = \frac{94,4 \cdot 10^6}{60,47} = 33475 \text{ saat}$$

b) Eksenel yük taşımayan B yatağının seçimi, yatak çapı $d=60 \text{ mm}$
Dinamik eş değer yük

$$F = F_t = 813 \text{ daN}$$

Dinamik yük sayısı

$$C = 813 \sqrt[3]{70,5} = 3358,6 \text{ daN}$$

veya

yuvarlanmalı yatak problemleri

$$C = \frac{f_1}{f_2} F = \frac{3,5}{0,892} \cdot 813 = 3190 \text{ daN}$$

olduğuna göre 6212 nolu yatak ($C=3650 \text{ daN}$) seçilir. Bu yatağın ömrü

$$L = \left(\frac{3650}{813} \right)^{\varepsilon} = 90,5 \cdot 10^4 \text{ devir}$$

ve

$$L_1 = \frac{90,5 \cdot 10^4}{60,47} = 32092 \text{ saat}$$

olur.

Problem 27.7

Aynı yuvarlanmalı yataktaki F_i eşdeğer yükünün F_j yükü olarak değişmesi durumunda yatak ömrünün saat olarak nasıl değişeceğini gösteriniz. Sayısal değerler: $F_i=450 \text{ daN}$, $F_j=600 \text{ daN}$, $L_{ii}=10000 \text{ saat}$ ve $\varepsilon=3$.

Cözüm 27.7
Ömür

$$L = \left(\frac{C}{F} \right)^{\varepsilon} \quad (10^4 \text{ devir})$$

ve

$$L_i = \frac{L \cdot 10^4}{60,47} \quad (\text{saat})$$

olduğuna göre

$$L_i = \left(\frac{C}{F_i} \right)^{\varepsilon}; \quad L_j = \left(\frac{C}{F_j} \right)^{\varepsilon}$$

ve

$$L_i = \frac{(C/F_i)^{\varepsilon} \cdot 10^4}{60,47}, \quad L_j = \frac{(C/F_j)^{\varepsilon} \cdot 10^4}{60,47}$$

yuvarlanmalı yatak problemleri

Buradan

$$\frac{L_{ii}}{L_{jj}} = \left(\frac{F_j}{F_i} \right)^{\varepsilon}$$

veya

$$L_{ii} = L_{jj} \left(\frac{F_i}{F_j} \right)^{\varepsilon}$$

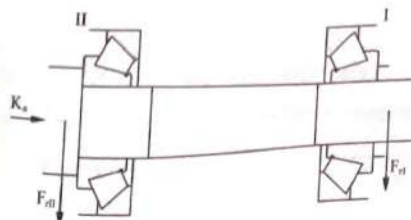
olduğu görülür. Sayısal değerler eşitlikte yerine yazıldığında

$$L_{ii} = 10000 \left(\frac{450}{600} \right)^3 = 4219 \text{ saat}$$

bulunur.

Problem 27.8

Şekil 27.8'de görülen yataklamada etki eden radyal kuvvetler: $F_d=520 \text{ daN}$, $F_{dr}=680 \text{ daN}$ ve diş eksenevi kuvvet $K_d=160 \text{ daN}$ 'dur. I nolu yatak 30207 tipi konik makaralı bir yatak olup dinamik yük sayısı $C=4400 \text{ daN}$ ve $\gamma_i=1,6$ 'dır. II nolu yatak ise 30210 tipi bir konik makaralı yatak olup dinamik yük sayısı $C=6400 \text{ daN}$ ve $\gamma_d=1,45$ 'dir. Her iki yatağın ömrünü hesaplayınız.



Şekil 27.8

Cözüm 27.8

$$\frac{F_{st}}{Y_s} = \frac{520}{1,6} = 325$$

ve

$$\frac{F_{st}}{Y_s} = \frac{680}{1,45} = 469$$

Yatak tipi	$F_a/F_r \leq e$		$F_a/F_r > e$		e
	X	Y	X	Y	
Konik makaralı 30207	1	0	0,4	1,6	0,37
30210	1	0	0,4	1,4	0,43

sonuçlarına göre

$$\frac{F_{st}}{Y_s} < \frac{F_{st}}{Y_i}$$

Bu durumda $K_s = 160 \text{ daN}$ değeri

$$0,5 \left(\frac{F_{st}}{Y_s} - \frac{F_{st}}{Y_i} \right) = 0,5(469 - 325) = 72 \text{ daN}$$

değerinden daha büyüktür. Böylece, Şekil 26.12a'dan alınan eşitliklerde eksenel yüklerden daha büyüktür. Böylece, Şekil 26.12a'dan alınan eşitliklerde eksenel yükler

$$F_{st} = \frac{0,5 \cdot F_{st}}{Y_i} = \frac{0,5 \cdot 520}{1,6} = 162,5 \text{ daN}$$

ve

$$F_{st2} = F_{st} + K_s = 162,5 + 160 = 322,5 \text{ daN}$$

Buna göre I nolu yatak:

$$\frac{F_{st}}{F_{st}} = \frac{162,5}{520} = 0,3125 < e = 0,37$$

olduğundan $X=1$ ve $Y=0$ alınır. Böylece dinamik eşdeğer yük

$$F_i = F_{st} = 520 \text{ daN}$$

ve ömür (makaralı yataktaki $e=10/3$ için)

$$L_1 = \left(\frac{C}{F_i} \right)^{\frac{1}{3}} = \left(\frac{4400}{520} \right)^{\frac{1}{3}} = 1234,5 \cdot 10^3 \text{ devir}$$

II nolu yatak:

$$\frac{F_{st}}{F_{st}} = \frac{322,5}{680} = 0,474 > e = 0,43$$

Buna göre $X=0,4$ (Bak. SKF yatak kataloğu) ve verilen $Y=1,45$ değerleri ile dinamik eş değer yük

$$F = X F_{st} + Y F_{st} = 0,4 \cdot 680 + 1,45 \cdot 322,5 = 740 \text{ daN}$$

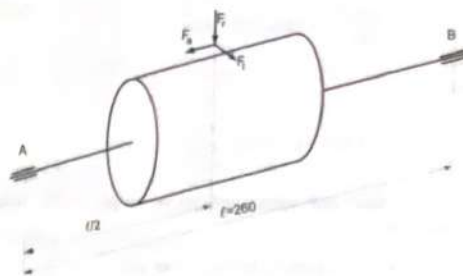
ve yatağın ömrü

$$L_2 = \left(\frac{6400}{740} \right)^{\frac{1}{3}} = 1327,8 \cdot 10^3 \text{ devir}$$

Problem 27.9Bir sebzeler vidaya etkilenen kuvvetler Şekil 27.9'da görüldüğü gibidir. Kullanılacak olan ikinci eğik bilyalı yatağın 1400 dev'da 10^3 saatlik bir ömre sahip olabilmesi için seçimini yapınız.Verilenler: $d = 40 \text{ mm}$, $d_{st} = 64 \text{ mm}$, $F_s = 390 \text{ daN}$, $F_i = 120 \text{ daN}$ ve $F_e = 140 \text{ daN}$

Yatak No	$F_s/F_i \leq e$		$F_s/F_i > e$		e
	X	Y	X	Y	
3208	38000	32000			
3308	54000	45000			

	$F_s/F_i \leq e$		$F_s/F_i > e$		e
	X	Y	X	Y	
1	0,73	0,62	1,17	0,86	



Şekil 27.9

Cözüm 27.9

a) Yataklara etkiyen kuvvetler

Sonsuz vira yataklara göre tam ortada olduğuna göre
Düşey düzlemede

$$F_x = F_y = \frac{F_r}{2} = \frac{120}{2} = 60 \text{ daN}$$

Düşey düzlemede

$$F_x = \frac{d_{rl}}{2} = F_{rl} \cdot \ell$$

Yazılımdan

$$F_{rl} = F_y = \frac{d_{rl}}{2 \cdot \ell} = 390 \cdot \frac{64}{2.260} = 48 \text{ daN} \text{ ve } F_{rl} = -F_{zu} \text{ 'dır.}$$

Yatakların düzlemede

$$F_x = F_y = \frac{F_r}{2} = \frac{140}{2} = 70 \text{ daN}$$

Böylece A yatağındaki en büyük radyal kuvvet

$$F_r = \sqrt{(F_x + F_{rl})^2 + (F_y)^2} = \sqrt{(60 + 48)^2 + (70)^2} = 128,7 \text{ daN}$$

i) yatağındaki en büyük kuvvet

$$F_r = \sqrt{(F_x - F_{rl})^2 + (F_y)^2} = \sqrt{(60 - 48)^2 + (70)^2} = 71 \text{ daN}$$

Göründüğü gibi en büyük radyal kuvvet A yatağındadır. O halde $F_r = 390 \text{ daN}$ 'luk etenel kuvvetinde bu yatak tarafından taşınacağı düşünülmelidir.

ii) Yatak seçimi

i) yatağındaki radyal kuvvet $F_r = F_x = 128,7 \text{ daN}$ ve $F_r = 390 \text{ daN}$ olduğuna göre

$$\frac{F_r}{F_x} = \frac{390}{128,7} = 3,03 > e = 0,86$$

O halde $X = 0,62$ ve $Y = 1,17$ alınır. Böylece yataktaki dinamik eşdeğer kuvvet

$$F = X F_x + Y F_y = 0,62 \cdot 128,7 + 1,17 \cdot 390 = 536 \text{ daN}$$

Diğer taraftan yatağın devir olarak ömrü

$$L = \frac{L_{rl} \cdot n \cdot 60}{10^3} = \frac{10^4 \cdot 1400 \cdot 60}{10^3} = 840 \text{ milyon devir}$$

Yatağın sahip olması gereken dinamik yük sayısı, nokta temas için $e = 3$ olduğunu hatırlayın.

$$C = F\sqrt{L} = 536\sqrt{840} = 5057,4 \text{ daN}$$

Bu durumda $C = 54000 \text{ N}$ olarak 3308 nolu yatak seçilmelidir.**Problem 27.10**

Bir yuvarlanmalı yataktaki (bilyali yatak) yük 900 daN iken ömür 500 milyon devir ise yük 1200 daN olduğunda ömür ne olur? Ömürdeki değişimi % olarak ifade ediniz.

Cözüm 27.10
Nokta temaslı (bilyali) yataklarda ömür eşitliği

$$L = \left(\frac{C}{F} \right)^3 \text{ milyon devir}$$

şekilindedir. Buna göre aynı yataktaki (C-dinamik yük sayısı) sabit olacağından $F_i = 900 \text{ daN}$ ve $F_s = 1200 \text{ daN}$ alınarak

$$L_1 = \left(\frac{C}{F_i} \right)^3 \text{ milyon devir} \quad \text{ve} \quad L_2 = \left(\frac{C}{F_s} \right)^3 \text{ milyon devir}$$

ve buradan da

$$\frac{L_1}{L_2} = \left(\frac{F_s}{F_i} \right)^3$$

yazılır. Böylece ömrür

$$L_2 = \frac{L_1}{\left(\frac{F_i}{F_s} \right)^3} = \frac{500}{(1200/900)^3} = 211 \text{ milyon devir}$$

olar.

$$\text{Yük artışı: } \Delta F = \% \left(\frac{F_s - F_i}{F_i} \cdot 100 \right) = \% \left(\frac{1200 - 900}{1200} \right) \cdot 100 = \% 25$$

$$\text{Ömürdeki azalma: } \Delta L = \% \left(\frac{L_1 - L_2}{L_1} \right) = \% \left(\frac{500 - 211}{500} \right) = \% 57,8$$

olmaktadır.

Problem 27.11

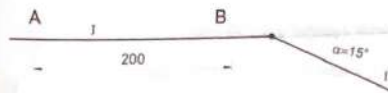
Aralarında 15° açı bulunan ve 750 d/d ile dönen bir milden diğerine 150 BG güç iletmek üzere bir kardan kavraması kullanılmıştır. Eksenel doğrultuda da 50 daN 'lık bir kuvvet etkisinde kalacak ve çapı 80 mm olan mil için A ve B 'də sabit bilyalı yataklar kullanılacaktır. Günde 16 saat çalışması öngörülen milin yataklarının kaç yılda bir değiştirilmesi gerektiğini bulunuz. 16016 nolu yataktaki $C = 25500 \text{ N}$ ve $C_s = 23600 \text{ N}$ olarak bilinmektedir.

Cözüm 27.11

I nolu mildeki döndürme momenti

$$M_1 = 71620 \cdot \frac{150}{750} = 14324 \text{ daNm}$$

$\frac{F_s}{C_s}$	e	$F_s/F_i \leq e$		$F_s/F_i > e$	
		X	Y	X	Y
0,025	0,22				2,0
0,04	0,24	1	0	0,56	1,8
0,07	0,27				1,6

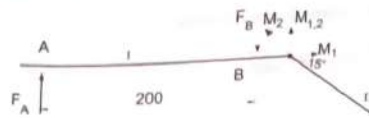


Şekil 27.11

II nolu mildeki döndürme momentinin en büyük değerinde I nolu mil yataklarında meydana gelen eğilme momenti

$$M_{12} = M_1, \tan \alpha = 14324, \tan 15^\circ = 3838 \text{ daNm}$$

Bu momentin yataklardaki etkisi



$$F_s = -F_B = \frac{M_{12}}{L} = \frac{3838}{20} = 192 \text{ daN}$$

Buna göre A ve B yataklarına radyal doğrultuda $F_s = 192 \text{ daN}$ kuvvet etki ederken yine bu yataklardan birisi $F_s = 50 \text{ daN}$ 'lık eksenel yükü de taşımak durumundadır.

Sabit bilyalı yatak için

$$\frac{F_e}{C_e} = \frac{50}{2360} = 0,021$$

için cteviden $\frac{F_e}{C_e} = 0,025$ alınırsa $e = 0,22$ alınır. Ayrıca

$$\frac{F_e}{F_i} = \frac{50}{192} = 0,26 > e = 0,22 \text{ için } X = 0,56 \text{ ve } Y = 2,0 \text{ alınır.}$$

Böylece yatağın dinamik eşdeğer yükü

$$F = X F_i + Y F_j = 0,56 \cdot 192 + 2,50 = 207,52 \text{ daN}$$

Yatağın ömrü, bilyali yataklarda $e = 3$ olduğuna göre,

$$L = \left(\frac{C}{F} \right)^t = \left(\frac{2550}{207,52} \right)^t = 1855,4 \text{ milyon devir}$$

veya

$$L_e = \frac{10^4 \cdot 1855,4}{60750} = 41231 \text{ saat}$$

Günlük 16 saat çalışma durumunda ömrü

$$L_e = \frac{41231}{16} = 2577 \text{ gün}$$

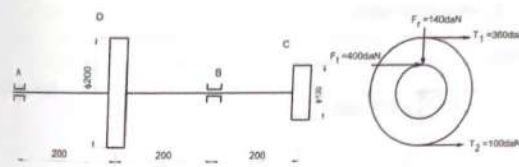
ve yıl olarak

$$L_e = \frac{2577}{360} = 7,158 \text{ yıl}$$

olur. Yani seçilen yatak çalışma koşulları için yaklaşık 7 yıl gibi ömre sahiptir.

Problem 27.12

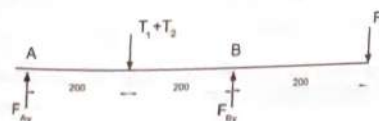
Şekil 27.12'de görülen mle güç girişi C dışılıtı üzerinden olup bu güç D kayışının kaanajından diğer bir mle aktarılmaktadır. Milin çapı 40 mm olduğuna göre A ve B bilyali yataklarının 20000 saatlik bir ömre sahip olmaları için dinamik yük sayılan ne olmalıdır? ($n=900 \text{ d/d}$).



Şekil 27.12

Cözüm 27.12

a) Yatak düzleminde



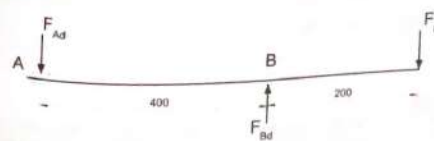
$$(T_1 + T_2)200 - F_{Ax} \cdot 400 + F_t \cdot 600 = 0$$

spitliğinden

$$F_{Ax} = \frac{(360 + 100) \cdot 200 + 400 \cdot 600}{400} = 830 \text{ daN}$$

$$F_{Ax} = (T_1 + T_2) + F_t - F_{Bx} = 460 + 400 - 830 = 30 \text{ daN}$$

b) Döşey düzleminde



$$-F_{\text{sa}} \cdot 400 + F_r \cdot 600 = 0$$

esitliğinden

$$F_{\text{sa}} = 140 \cdot \frac{600}{400} = 210 \text{ daN}$$

ve

$$F_{\text{sd}} = F_{\text{sa}} - F_r = 210 - 140 = 70 \text{ daN}$$

c) Yataklardaki toplam radyal kuvvetler

$$F_r = \sqrt{F_{\text{sa}}^2 + F_{\text{sd}}^2} = \sqrt{(30)^2 + (70)^2} = 76,15 \text{ daN}$$

$$F_r = \sqrt{F_{\text{sa}}^2 + F_{\text{sd}}^2} = \sqrt{(830)^2 + (210)^2} = 856,15 \text{ daN}$$

d) Yataklar sadece radyal yük etkisinde olduğundan yatakların radyal yükleri aynı zamanda dinamik eşdeğer yükleri olacaktır.

Yatakların ömrü

$$L = \frac{L_1 n \cdot 60}{10^3} = \frac{20000 \cdot 900 \cdot 60}{10^3} = 1080 \text{ milyon devir}$$

Diğer taraftan

$$L = \left(\frac{C}{F} \right)^t \quad \text{ve} \quad C = F \cdot \sqrt{L} \quad (\text{daN})$$

esitliğinde $x = 3$ alınarak

$$C_x = F \cdot \sqrt{1080} = 76,15 \sqrt{1080} \approx 781,3 \text{ daN}$$

$$C_x = 856,15 \sqrt{1080} \approx 8784 \text{ daN}$$

olmaktadır

Problem 27.13

Bir traktörün arka tekerlek poryası aynı tür iki adet konik makaralı yatakları yataklanmıştır. Poryadaki radyal kuvvet 1800 daN ve eksenel kuvvet

480 daN'dur. 33212 nolu konik makaralı yatağın dinamik yük sayısı $C = 14300 \text{ N}$ olup yataklama yerinde eksenel kuvvetin radyal kuvvette dönüşüm sayısı $I^r = 1,6$ 'dır. Kullanılan her iki yatağın ömrünü milyon devir olarak hesaplayınız.

$F_e/F_r \leq e$		$F_e/F_r > e$		e
X	Y	X	Y	
1	0	0,4	1,5	0,4

Cözüm 27.13

1.Yatak:

Basınç açısı nedeniyle yatağa etki eden eksenel kuvvet

$$F'_e = \frac{0,5 \cdot F_r}{Y^r} = \frac{0,5 \cdot 1800}{1,6} = 562,5 \text{ daN}$$

Yataktaki dış eksenel kuvvet $F_e = 480 \text{ daN}$ olduğuna göre toplam eksenel kuvvet

$$F_{\text{et}} = F'_e + F_r = 562,5 + 480 = 1042,5 \text{ daN}$$

Yatağın basınç açısı

$$\frac{F_{\text{et}}}{F_r} = \frac{1042,5}{1800} = 0,579 > e = 0,4$$

Böylece radyal faktör $X = 0,4$ ve eksenel faktör $Y = 1,5$ alınmalıdır. Yataktaki dinamik eşdeğer kuvvet

$$F_i = X \cdot F_r + Y \cdot F_{\text{et}} = 0,4 \cdot 1800 + 1,5 \cdot 1042,5 = 2283,75 \text{ daN}$$

Yatağın ömrü, makaralı yataktaki $\varepsilon = 10/3$ olduğu hatırlanarak,

$$L_i = \left(\frac{C}{F} \right)^t = \left(\frac{14300}{2283,75} \right)^{10/3} = 452,5 \text{ milyon devir}$$

2.Yatak:

Yatağa etkiyen eksenel kuvvet

$$F_{x2} = F_x' - F_z = 562,5 - 480 = 82,5 \text{ daN}$$

Yatağın basıncı açısı

$$\frac{F_{x2}}{F_z} = \frac{82,5}{1800} = 0,0458 < e = 0,4$$

o hâlde $X = 1$ ve eksenel faktör $T = 0$ olur.

Bu durumda dinamik eşdeğer kuvvet $F_x = F_z = 1800 \text{ daN}$ olup yatağın ömrü

$$L_1 = \left(\frac{14300}{1800} \right)^{0,2} = 1000,5 \text{ milyon devir}$$

olur.

BÖLÜM: G

GÜC VE HAREKET İLETİM ELEMANLARI

28. DİŞLİ ÇARKLAR

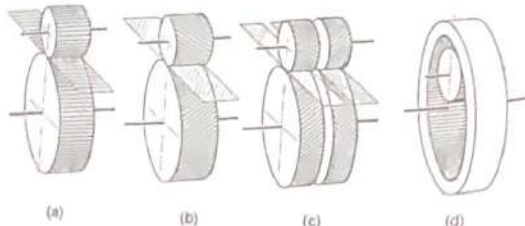
28.1. TANIM VE ÖZELLİKLER

Daklı çark; silindirik bir parçanın dışına veya silindirik bir deliğin içine belirli kurallara uygun olarak bir takım dişlerin (girişti ve çıkıştı) açılmasıyla elde edilen bir makina elemanıdır. Daklı çarklar en az iki tanesi bir arada çalışan elemanlardır. Dolayısıyla daklı çarklar daima bir sistemdirler ve bu sisteme de daklı çark mekanizması adı verilir. Daklı çark mekanizması; güç ve devir ileten şekil bağlı bir mekanizma olup bu mekanizmada bir döndürmen ve bir veya birkaç tane döndürulen dişiler vardır. Genellikle mekanizmanın küçük dişlisine pinyon, diğerlerine de çark adı verilir.

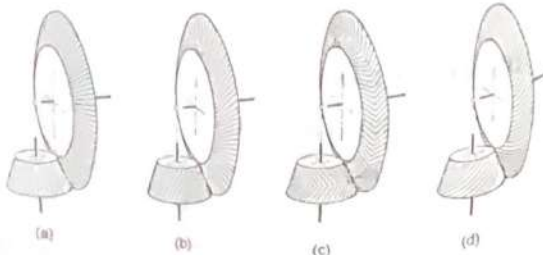
Dişli çarklar ve dişli çark mekanizmaları güç ileten millerin konumuna göre şunları sınıflandırılabilir:

- a) Eksenleri aynı düzlemede paralel iki mil arasında güç ve hız iletimini temin eden dişli silindirik veya alın dişli çarklar denir. Dişlerin ana doğrusu çark eksenine paralel ise düz silindirik (Şekil 28.1a), ana doğru ile belli bir açı yapıyorsa helisel silindirik veya çift helisel silindirik (OK) dişli çarklar adını alır (Şekil 28.1b ve c).

Ayrıca dişlerin birbirinin içinde veya dışında yuvarlanmalarına göre bunlar iç (Şekil 28.1d) veya dış (Şekil 28.1a,b,c) silindirik dişli çarklar olarak da isimlendirilmektedir.



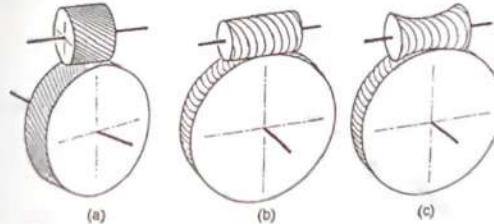
Şekil 28.1 Paralel millerde kullanılan silindirik dişli çarklar.
a. düz dişli, b. Helisel dişli, c. Çift helisel dişli (OK dişli),
d. iç dişli



Şekil 28.2 Kesiden millerde kullanılan dişli çarklar (konik dişler)
a. düz konik dişli, b. Helisel konik dişli, c. Çift helisel konik dişli (OK dişli), d. Daire yaylı konik dişli

- b) Eksenleri aynı düzlemede fakat kesişen iki mil arasındaki güç ve hız iletimini temin eden dişli silindirler konik dişli çarklar adı verilir. Konik dişli çarkların da düz, helisel veya eğrisel tipleri vardır (Şekil 28.2a, b, c, d).

- c) Eksenleri aynı düzlemede olmayan ve kesişmeyen miller arasındaki güç ve hız iletimini temin eden dişli çarklara spiral dişli çarklar adı verilir (Şekil 28.3).



Şekil 28.3 Eksenleri kesişmeyen millerde kullanılan dişli çarklar

Bunların özel bir tipi olan sonsuz vida mekanizmaları en çok kullanılan örneklerinden birisidir (eksenler birbirine dik miller). Şekil 28.3b'de silindirik ve Şekil 28.3c'de globoid sonsuz vida mekanizması tipleri görülmektedir.

28.1.1. Dişli Ana Kanunu

Eş çalısan iki diş profiliinin, A gibi herhangi bir noktada temasta olduğunu düşünelim (Şekil 28.4). Döndürün dişinin açısal hızı ω_1 , döndürülün dişinin açısal hızı ω_2 olsun. Döndürün dişiley (1 nolu diş) ait profillen temas noktasındaki çevre hızı

$$V_1 = R_1 \cdot \omega_1$$

ve döndürülün dişiley (2 nolu diş) ait profillen temas noktasındaki çevre hızı

$$V_2 = R_2 \cdot \omega_2$$

olacaktır. Her iki hızın doğrultuları, temas noktasındaki R_1 ve R_2 yarıçaplarının doğrultusuna diktir. Eş profillen temas noktasındaki ortak teğeti ve ortak normaleri n doğruları olsun. Profillere ait çevre hızları teğet ve normaler yönünde bileşenlerine aynıldığındaysa V_1 için C_1 ve T_1 ; V_2 için ise C_2 ve T_2 bileşenleri elde edilir. Burada 1 dişli döndürün eleman olduğu için $C_1 < C_2$ olamaz. Aksı halde 2 nolu dişinden geri kalır ve onu döndürmez. Diğer taraftan her iki profil temas

disli çarklar

Şekil 28.4

halinde bulunduğuundan $C_1 > C_2$ de olamaz. Çünkü 1 nolu dişli 2 nolu dişliyi ezer veya kırar. O halde $C_1 = C_2$ olmalıdır. Hareketin sürekliliği için bu şarttır.

$$C_1 = r_{n_1} \omega_1$$

ve

$$C_1 = r_{n_2} \omega_2$$

esitliğinde $C_1 = C_2$ şartından

$$\frac{\omega_1}{\omega_2} = \frac{r_{n_2}}{r_{n_1}}$$

yazılır. Ayrıca birbirini kavrayan iki dişin yan yüzeylerinin bağıl hareketi bir anı döndürme hareketidir ve iki eş profilli birbirü üzerinde, normal doğrultusunda kaymadan yuvarlanabilmesi için, normalin O_1O_2 doğrusunu kestiği C noktası bu hareketin anı dönde merkezi veya yuvarlanma noktası olmalıdır. Şekil 28.4'e göre

disli çarklar

$$\overline{O_1C} = r_1$$

$$\overline{O_2C} = r_2$$

olduğu göz önüne alınarak ve şekildeki O_1N_1C ile O_2N_2C üçgenlerinin benzerliğinden

$$\frac{r_{n_2}}{r_{n_1}} = \frac{r_2}{r_1}$$

yazılabilir. O halde

$$\frac{\omega_1}{\omega_2} = \frac{r_{n_2}}{r_{n_1}} = \frac{r_2}{r_1}$$

yazılır. Ayrıca dişli çiftinin çevrim oranı

$$i = \frac{\omega_1}{\omega_2} = \frac{r_{n_1}}{r_{n_2}} = \frac{r_1}{r_2}$$

olduğundan

$$i = \frac{\omega_1}{\omega_2} = \frac{r_{n_1}}{r_{n_2}} = \frac{r_1}{r_2}$$

olacaktır. Eğer bu dişli çiftinde

$$i = \frac{\omega_1}{\omega_2} = \frac{r_{n_1}}{r_{n_2}} = \frac{r_1}{r_2} = \text{sabit}$$

ise C noktasında yuvarlanan eğriler birer dairelerdir ve bu dairelerin her birine yuvarlanma dairesi adı verilir.

Dişli çarkların diş sayıları z_1 , z_2 ve yuvarlanma daireleri yarıçapları $r_{cl} = \frac{m.z_1}{2}$,

$$r_{cl} = \frac{m.z_2}{2}$$

ise buradan

$$i = \frac{\omega_1}{\omega_2} = \frac{r_{n_1}}{r_{n_2}} = \frac{r_1}{r_2} = \frac{r_{cl}}{r_{cl}} = \frac{z_2}{z_1} = \text{sabit}$$

esitiği yazılır. Buradan şu önemli sonuç ortaya çıkar: Bir dişli çark mekanizmasının sabit hız iletebilmesi için, eş çalısan profillerinin herhangi bir

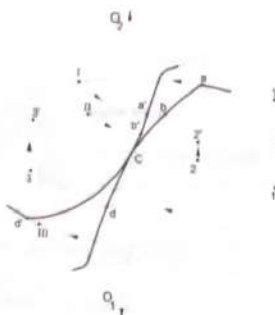
temas noktasındaki ortak normalerinin daima yuvarlanma dairelerinin delege noktasılarından (Şekil 28.4'de C noktası) geçmelidir. Bu deyim dişli ana kanunu olarak bilinmektedir.

28.1.2. Eş Çalışan Profiller

Dişli çarkların eş çalışabilmesi için diş profillerinin uyumlu olması gereklidir. Dişli çarklardan birine ait bir diş profilini biliniyorsa, dişli ana kanununa uygun olarak, bununla eş çalışabilecek diğer dişliye ait ikinci bir profil; temas noktalarının geometrik yerleri olarak tespit edilebilir.

Reuleaux Yöntemi ile Eş Profil Çizimi:

Bir dişli çarka ait aCd verilmiş (bilinen) diş profil olsun (Şekil 28.5). Dişli ana kanununa göre bu profille C noktasından çizilen normal aynı zamanda eş profiline de normali olacaktır. İki dişinin profili C noktasında birbirini kavrıldığı için C noktası aynı zamanda her iki dişinin ortak noktasıdır, yani C noktası her iki dişliye ait bir noktadır. Bilinmeyen ikinci profiline ait başka bir nokta daha bulmak için bilinen profiline (a) noktasından bu profile dik bir doğru (normal) çizilerek bu doğru, bilinen profiline ait dişinin yuvarlanma dairesini 1 noktasında kesinceye kadar



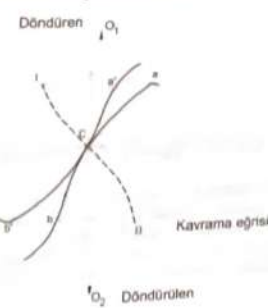
Şekil 28.5 Reuleaux yöntemi ile eş profil çizimi

uzatılır. Bilinen profili ile eş çalışacak bilinmeyen profil; bu normalin C noktasından geçmesi ile bulunabilir. Bu nedenle O₁ noktası etrafında sola doğru küçük bir döndürme ile 1 noktası, C'ye getirilir. Bu durumda (a) noktası da I noktasına gelmiş olur. Dişli ana kanununa göre I noktasında her iki profil teget olacak şekilde temastadır, yani birbirini kavramaktadır. C noktası merkez olmak üzere ve

$\hat{C} = \hat{C}'$ olacak şekilde O₂ merkezli yuvarlanma dairesi üzerinde 1' noktası işaretlenir. Bunu takiben O₂ noktası merkez olmak üzere O₂I yarıçaplı bir daire çizilerek bu yay ile, yine 1' noktası merkez alınarak ve $\hat{a}'l = a'l$ olacak şekilde özenle diğer bir yay ile kesitirildiğinde bilinmeyen eş profiline ait ikinci bir nokta (a') bulunmuş olur. Karakteri bilinen profil üzerinde daha birçok noktalar için aynı işlemler tekrarlanırsa ikinci (eş) profil için çok sayıda noktalar bulunmuş olur. Bu noktaların birleştirilmesi ile de eş çalışacak profil tespit edilir. Dişli çarklarda bu şekilde eş çalışacak profili bulmaya bu yöntemle Reuleaux Yöntemi adı verilir.

28.1.3. Kavrama Eğrisi

Eş çalışan dişli çark sistemlerinde bir dişin karşı bir diş kavrıldığı ilk andan itibarıyla ana kadar temas noktalarının geometrik yerine kavrama eğrisi adı verilir.



Şekil 28.6 Kavrama eğrisinin oluşumu

Dişli çiftindeki temas, eş çalışan profillerden döndüren dişinin (1 nolu diş) tabanına ait (a') noktasının, döndürülen dişin (2 nolu diş) baş noktasına ait (a) noktasıyla temas geçtiği anda başlar (I noktası) ve döndüren dişin diş başına ait (b) noktasının döndürülen dişin diş tabanına ait (b') noktasını terk etmesiyle sona erer (II noktası) (Şekil 28.6). Benzer şekilde işlem yapılarsa diğer temas noktaları için de birçok ortak nokta bulunabilir. Böylece eş çalışan profillerin her konumundaki temaslarının geometrik yerini kavrama eğrisini oluşturur.

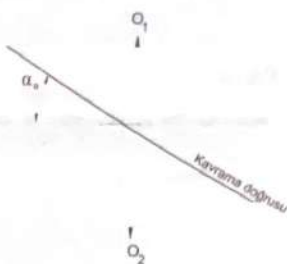
28.1.4. Takım Dişli Şartı

Daha önce dişli çarkların daima çift çalışmaları gerektiğini ve bu tür sistemlere de dişli çark mekanizması denildiğini söylemiştik. Ancak değişik diş sayılarındaki dişli

disli çarklar

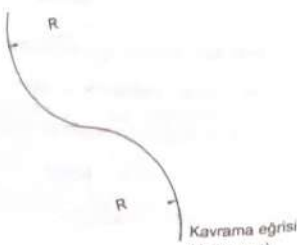
çarklarda eş çalışma var olabilmesi için dış profillerine ait kavrama eğrileri birbirlerinin üzerine düşmelidir, yani çakışmalıdır. Ayrıca kavrama eğrisi yuvarlanma noktasına göre simetrik olmalıdır.

Disli çark üretiminde kavrama eğrisi olarak basit eğriler seçilir. Örneğin doğru veya daire yayı gibi. Disli çarkın profil evolvent ise kavrama eğrisi bir doğrudur ve kavrama doğrusu adını alır (Şekil 28.7).



Şekil 28.7 Evolvent profilli disliye ait kavrama eğrisi

Disli çarkın profil siksikoidal ise kavrama eğrisi iki daire yayından ibarettir (Şekil 28.8). Bu gün evolvent profilli disli çarklar; yapım kolaylığı, eksenler arası uzaklıkta küçük hataların düşüleriin çalışmasını etkilememesi, gerek taşuma kapasitesini artırmak gereklidir. Montaj kolaylıklarını sağlamak bakımından düzeltme yönfemleriyle deşirk makanzızmalar üretilmesine kolaylıkla olanak tanımaları.



Şekil 28.8 Siksikoidal profilli disliye ait kavrama eğrisi

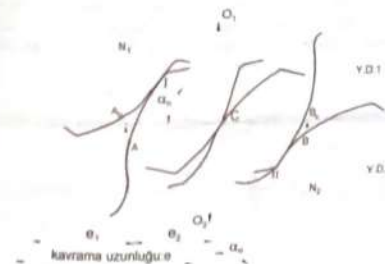
disli çarklar

takım diş şartını doğrudan doğruya sağlamaları ve düşük devirlerde büyük güçler istemeleri sebebiyle geniş ölçüde kullanılmaktadır. Siksikoidal dişler ise daha az diş sayısına uygun aşınma ve yükselişlerde sessiz çalışma nedeniyle kullanıma üstünlüklerini yarın sira hassas şekilde imal edilmeleri zorunluğundan dolayı diş pompa, saat dişileri gibi daha dar kullanma sahisi içinde kalmıştır.

Evolvent profilli disli çarklarda yuvarlanma dairelerinin ortak tejeti ile kavrama doğrusu arasındaki açıya kavrama açısı (α_e) adı verilir ve bu açı standart dişli çarklarda 20° 'dır.

28.1.5. Kavrama Uzunluğu

Herhangi iki diş arasındaki temasın başlangıcından sona ermesine kadar geçen zaman içinde, bu dişlerden birisinin yuvarlanma dairesi üzerinde ölçülen dönme



Şekil 28.9

miktara kavrama uzunluğu denir. Şekil 28.9'a göre 1 nolu diş döndürken 2 nolu diş de döndürülen olsun. Döndürken dişin diş dibi döndürülen dişin diş başı ile (Şekil 28.9'da I noktası) teması başlar ve yine döndürken dişin diş başı döndürülen dişin diş dibinden ayrıılır (Şekil 28.9'da II noktası). Şekil 28.9'daki AB yay uzunluğu kavrama uzunluğunu göstermektedir. Burada

$$\overline{AC} + \overline{CB} = \overline{A_1 B_2} \quad \text{ve} \quad \overline{A_1 B_2} = e = e_1 + e_2$$

olarak işaretlenmiştir. Buradaki kavrama uzunluğu AB; I ve II noktalarının yuvarlanma dairesi üzerindeki izdüşümündür. Kavrama doğrusunun teorik uzunluğu, temel dairelerinin kavrama doğrusuna tejet olduğu noktalar arasındaki uzaklığıdır (Şekil 28.9'da N₁ ve N₂ noktaları arasındaki uzaklık). Şekil 28.9'dan

dişli çarklar

kolayca görüleceği gibi kavrama doğrusunun teorik uzunluğu ($\overline{N_1 N_2}$) daha büyük olmakla beraber faydalı uzunluk (I-II) daha küçüktür.

28.1.6. Kavrama Oranı

Diş çarkının dişlerinin taksimeti (yuvarlanma dairesi üzerindeki adımı) t ise kavrama oranı:

$$\varepsilon_r = \frac{\text{kavrama uzunluğu}}{\text{taksimeti}} = \frac{e}{t}$$

olarak bulunur. Kavrama uzunluğu; yuvarlanma dairesi üzerinde ölçülen ardışık iki diş arasındaki uzaklığından (taksimeti) daha büyük olmalı ki dişli ana kanunu gerçekleştirilebilin. Dolayısıyla bu oran (kavrama oranı) 1'den büyük olmalıdır. Kavrama oranı 1'den küçük olursa bir diş çiftinin teması bittikten bir müddet sonra arkadan gelen diş çifti temasla başlayacak, bu sebepten arada bir boş ilerlemeye olacaktır. Bunun sonucu olarak da darbeli kavrama ve gürültülü bir çalışma geldi ortaya çıkacaktır.

Gerekli bağıntılar yazarak düzleme yapıldığında kavrama oranı olarak

$$\varepsilon_r = \frac{1}{2\pi} \sqrt{\left(\frac{z_1 + 2}{\cos \alpha_s} \right)^2 - z_1^2} + \sqrt{\left(\frac{z_1 + 2}{\cos \alpha_s} \right)^2 - z_2^2} - (z_1 + z_2) \tan \alpha_s$$

esitliği bulunur.

Diğer bir şekilde $d_1 = m(z+2)$, $d_2 = m.z \cdot \cos \alpha_s$ ve $\alpha_s = m \cdot \frac{z_1 + z_2}{2}$ eşitlikleri kullanılarak kavrama oranı:

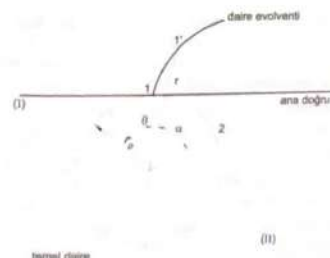
$$\varepsilon_r = \frac{\sqrt{d_{11}^2 - d_{12}^2} + \sqrt{d_{21}^2 - d_{22}^2} - 2 \cdot z \cdot \sin \alpha_s}{2 \cdot \pi \cdot m \cdot \cos \alpha_s}$$

Eşitliği ile de hesaplanabilir.

Düz dişlerde kavrama oranının değeri, diş sayılarına ve çevrim oranına bağlı olarak normal mekanizmalarla $\varepsilon_r = 1,25 \dots 1,50$ arasında değişir ($\varepsilon_{min} = 1,08$ 'dir).

dişli çarklar**28.1.7. Evolvent Dişli Profili**

Sabit bir daire üzerinde kaymadan yuvarlanan bir doğrunun bir noktasının geometrik yerine evolvent adı verilir. Buradaki sabit daireye "evolvent temel daire" ve doğruya da "ana doğru" adı verilir. Ana doğru daima evolvente normal (dik) ve temel daireye tegettir. Temel dairenin yarıçapı r_s ise, şekil 28.10'dan



Şekil 28.10

$$\begin{aligned} \hat{l}_2 &= r_s (\alpha + \theta) \\ \hat{l}_2 &= r_s \cdot \tan \alpha \end{aligned}$$

ve burada $\hat{l}_2 = \bar{l}_2$ olarak alınacağından

$$r_s \cdot \tan \alpha = r_s (\alpha + \theta)$$

yazılabilceğine göre

$$\theta = \tan \alpha - \alpha = ev \alpha$$

bulunur ki bu eşitlige evolvente fonksiyonu adı verilir.

Yine Şekil 28.10'a göre

$$r = \frac{r_s}{\cos \alpha}$$

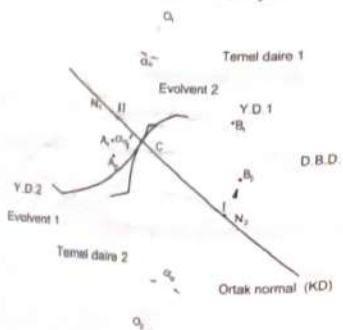
yazılabilir. Yuvarlanma esnasında ana doğrunun daire ile temas noktası yuvarlanma noktasıdır (ani dönme merkezidir). Bu nedenle bu doğru daima evolvente diktir. Her temel dairenin bir tek evolventi vardır.

Ortak teğetti iki eş evolventin temas noktalarında her iki ana doğru (ortak normaler) üst üste düşerler. Bu sebepten iki evolventin temas noktası her iki temel dairesinin ortak teğeti üzerindedir, yani ana doğru aynı zamanda kavrama doğrusu olmaktadır.

28.1.8. Sınır Diş Sayısı ve Altan Kesme

Eş çalışan diş çarklarında dış profilleri sadece iki diş başı dairesi arasında kavramaya girenler. Kavrama doğrusunun bu kısmının (I ve II noktaları arası uzaklığının) yarısına dairesi üzerindeki izdüşümüne kavrama uzunluğu denildiğini daha önce söylemiştim. Şekil 28.11'deki N_1 ve N_2 noktalarına temel noktalar, I ve II noktalarına da baş noktaları adı verilir. Sınır durumda; temel noktaların N_1 ve N_2 ile baş noktaların I ve II Üst Üste düşmesidir (Şekil 28.12). Baş noktaların I ve II, temel noktaların N_1 ve N_2 dışına çıkarsa dış profili evolventten bağık bir profil ile temasta demektir. Bu durum dişlerde altan kesilmeye sebep olur. Çünkü I ve II baş noktalarının N_1 ve N_2 temel noktalarının dışına düşmesi, evolvent temel dairesinin dış taban dairesinden daha büyük olduğunu gösterir ki bu durumda temel daireden sonraki dış profili evolvent değil herhangi bir eğridir. Profiller arasındaki temas evolvent olmayan (eş çalışma özelliği olmayan) kısımlarda meydana gelirse, bu durumda dişler birbirine girebilir ve genellikle büyük dişli köküjünün tabanını oyar. Altan kesme olayı denen bir hadisenin sonucunda dişin taban kesiti küçüldü ve yük taşıma mukavemeti azalır.

Şekil 28.12'deki N_1CO_1 üçgeninde Cosinüs teoremi yazılırsa



Şekil 28.11

$$\overline{O_1C} = r_1 \quad \text{ve} \quad \overline{O_2C} = r_2 \quad \text{olduğuna göre}$$

$$(r_1 + m)^2 = (r_1 \sin \alpha_e)^2 + r_2^2 - 2r_1 r_2 \sin \alpha_e \cos(90^\circ + \alpha_e)$$

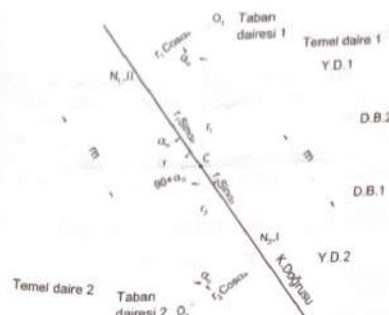
Bu eşitlikte $r = m.z/2$ yazılır ve tamamı m ile bölünürse

$$\left(\frac{z_1}{2} + 1\right)^2 = \left(\frac{z_1}{2} \sin \alpha_e\right)^2 + \left(\frac{z_2}{2}\right)^2 - \frac{z_1 z_2}{2} \sin^2 \alpha_e$$

olarak buradan

$$z_2 = \frac{\left(\frac{z_1}{2} \sin \alpha_e\right)^2 - 1}{1 - \frac{z_1}{2} \sin^2 \alpha_e}$$

bulunur. Burada z_1 -küçük dişinin diş sayısını, z_2 -büyük dişinin diş sayısını göstermektedir. Dişli imalinde olduğu gibi, çoğu zaman büyük dişli bir kremayer (düz-pıpkıbık dişli) olmaktadır. Bu nedenle $z_2 = \infty$ olur. Bu eşitliğin ∞ olabilmesi için paydanın sıfır olması gereklidir, yani



Şekil 28.12

daklı çarklar

$$1 - \frac{z_1}{2} \sin^2 \alpha_e = 0$$

ve buradan

$$(z_1)_{\text{min}} = \frac{2}{\sin^2 \alpha_e}$$

bulunur. Teorik olarak $z_1 = \infty$ için $(z_1)_{\text{max}} = 17$ olur. Ancak pratikte bir miktar alttan kesilme büyük bir sakınca teşkil etmemektedir. Bu sebepten daklı mekanizmalarında pratik olarak sınırlı diş sayısı $(z_1)_{\text{max}} = 14$ alınabilmektedir. Silindirik düz daklı çarklarda, alttan kesilme olmaksızın ulaşılabilenek sınırlı diş sayıları, kavrama açısına bağlı Cetvel 28.1'de verilmiştir.

Helisel daklı çarklarda alttan kesilme olmaksızın ulaşılabilenek en küçük diş sayısı (sınırlı diş sayısı), helis eğim açısına bağlı olarak 1'e kadar inebilmektedir.

~~Cetvel 28.1 Kavrama açısına bağlı olarak sınırlı diş sayıları~~

	$\alpha_e = 20^\circ$						$\alpha_e = 15^\circ$
z_1	13	14	15	16	17	18	30
z_2	13	26	45	101	1310	∞	∞

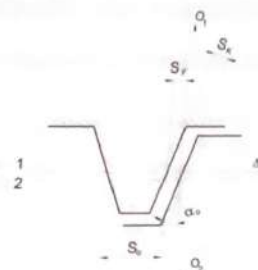
28.1.9. Yan Boşluk

Eğer çalışan iki dişden birinin dişi diğer dişin dişlerini arasına tam olarak girese bir kilitlenme olur. Bu sebepten daklı çarklarda hareket letiminiin düzgün olabilmesi ve uygun bir yağlama aralığı ile aşınmanın azaltılabilmesi için dişler arasında bir yan boşluk bırakılmıştır. Yan boşluk; diş kalınlığını küçülterek, eksenler arası uzaklığı artırarak veya her iki yöntemi birlikte uygulayarak elde edilir. Ancak pratikte genellikle diş kalınlığı küçültülerek bu boşluk termin edilir. Boşluksuz eksenler arası uzaklık a_e ve boşluklu uzaklık a_e' ise $a_e < a_e'$ dir. $a_e - a_e' = \Delta$ denirse, diş yüzeyine dik doğrultudaki (kavrama doğrusu üzerinde) boşluk için, Şekil 28.13'a göre,

$$\delta_e = 2\Delta \sin \alpha_e$$

ve çevresel yan boşluk

$$\delta_e' = 2\Delta \tan \alpha_e$$

daklı çarklar

Şekil 28.13

28.1.10. Sıkloid Daklı profili

Geometrik olarak elde edilebilen üç çeşit sıkloid vardır. Bir doğru üzerinde kaymadan yuvarlanan bir dairenin herhangi bir noktasının geometrik yerine adı sıkloid adı verilir. Yuvarlanan daire bir başka dairenin (daha büyük çaplı bir dairenin) içinde yuvarlanırsa hiposikloid, dışında yuvarlanırsa episikloid meydana gelir.

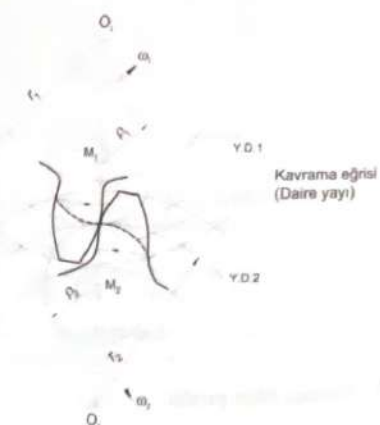
Sıkloid profili däillerde; sabit bir dairenin içinde ve dışında yuvarlanan iki dairenin oluşturduğu hiposikloid ve episikloid eğrileri, daklı çarkın diş profillerini oluşturur (Şekil 28.14). Sıkloid profili daklı çarklarda bir dişin diş başına ait profil oluşturan daire, diğer dişin taban kısmını oluşturmaktadır. Büyük dairenin içinde ve dışında yuvarlanan sabit daireye temel daire adı verilir.

Sıkloid däillerde;

- a) Takım diş şartının sağlanabilmesi için içte ve dışta yuvarlanan däillerin çapları eşit olmalı, dolayısıyla kavrama eğrisi simetrik olmalıdır.

- b) Däillerin temel däilleri aynı zamanda yuvarlanma däilleridir.

c) Kavrama eğrileri, içte ve dışta yuvarlanan däillerin yaylardır. Yukanda sıralanan özellikleri nedeniyle, birbirinden farklı iki eğriden oluşan diş profili elde etmek oldukça zordur. Eksenler arası aralık montajda kesinlikle sabit kalmalıdır. Bu şartlar göz önüne alındığında pahali ve zor bir imalat yöntemi ortaya çıkmaktadır. Ancak bu sakincaların yanında; küçük diş sayılarına gidilebilmesi ve iyi kavramaları nedeniyle sessiz çalışmaları tercih sebebidir. Her şeye rağmen bu gün oldukça sınırlı bir kullanma sahaları vardır. Özellikle daklı pompalarda ve taatçılıkta çok kullanılmaktadır.



Şekil 28.14

28.2. SİLİNDİRİK DÜZ DİŞLİ ÇARKLAR

28.2.1. Dişlilerin Mukavemet ve Aşınma Kontrolü

Daklı çark mekanizmasının çalışma şartları nedeniyle dişliler dinamik zorlanmaya maruz elemalarlardır. Mekanizmanın emniyetle çalışabilmesi için, hedeflenen bir çalışma zamanı içinde dişlerin kırılmaması ve diş profillerinin aşınarak bozulmaması gereklidir. Daklı çark mekanizmalarının kullanılmaz duruma gelmesi, elemalının dişlerinde

1. Kırılma
2. Aşınma
3. Yenme

olması nedeniyle ortaya çıkar. Kırılma olayı daklı çarkın dişlerinin eğilmeye zorlanması sonucu tabandan kırılması şeklindedir. Dolayısıyla dişin taban kırılmış mukavemeti ile yakından ilgilidir. Aşınma, dişlerin yan yüzeyinin yorulma sonucu aşınması (genellikle pitting şeklinde) ile işe yaramaz hale gelmesidir. Aşınmanın tam olarak sebebi, mekanizmada çok küçük yüzeylerden çok büyük kuvvetlerin iletilmesi sonucu oluşan Hertz basınçlarındır. Yenme ise, diş yan yüzeylerinin adhezyon aşınmasına maruz kalması ve bunun sonucunda şiddetli bir aşınmanın meydana gelmesi şeklindedir. Bazı durumlarda dişlerin ara yüzeyine giren yabancı katı maddelerin (toz vb.) sebep olduğu abrazyon aşınması da bu grubu girmektedir. Ancak dişlilerdeki bu yenme olayı yüksek hızlı mekanizmalar için özellikle arzulandır. Ancak dişlilerdeki bu yenme olayı yüksek hızlı mekanizmalar için özellikle arzulandır. Ancak dişlilerdeki bu yenme olayı yüksek hızlı mekanizmalar için özellikle arzulandır. Ancak dişlilerdeki bu yenme olayı yüksek hızlı mekanizmalar için özellikle arzulandır.

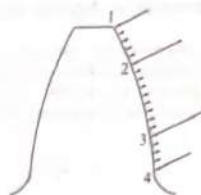
28.2.1.1. Diş Dibi Mukavemetine Göre Kontrol

Diş dibi dayanıklılığını (diş dibi kırılmasını) esas alır. Dişlilerin çalışma konumunda (kavrama esnasında) diş üzerine gelen ve diş kuvveti veya normal kuvvet adını taşıyan kuvvet, kavrama doğrusu boyunca etki eder.

Kavrama oranı 1'den büyük olan mekanizmalarda, dişler arasında kuvvet dağılımı ile en büyük kuvvetin etkiye noktası tam bir açılığa kavuşturulamamıştır. Bir diş bağı kismi ile karşı dişin diş dibinden kavramaya başladığında diğer bir diş çifti henüz kavrama durumundadır. Bu nedenle mekanizmanın yükü iki diş çifti tarafından taşımaktadır. Şekil 28.15'e göre dişli çarka etkiyen en büyük kuvvet 2 noktasında başlamaktadır. Çünkü 2 ile 3 noktalar arasında bir diş çifti toplam yükü taşımak durumundadır. Yani bu durumda başka bir diş çifti devrede değildir. Ancak diş dibinde en büyük zorlanmayı yaratacak olan kuvvet, moment kolunun daha büyük olması nedeniyle, 1 noktasındaki kuvvettir. 1 ile 2 ve 3 ile 4

dışı çarklar

noktaları arasında diğer bir diş çifti daima kavrama durumunda olduğu için yük paylaşmaktadır.



Şekil 28.15

Kavrama doğrusu boyunca etki eden bu diş kuvvetinin yatay bileşeni diş eğmeye, dolayısıyla en kritik kesit olan diş bindibinden kirmaya; düşey bileşeni ise diş üzerinde bası etkisi yaparak basıma zorla. Burada en önemli zorlanma eğilme (kırılma) gerimesidir. Diş bağı konumundaki pozisyonu nedeniyle yükün etkime noktasına göre tanımlanan form faktörü (γ); diş bağındaki durum olarak göz önüne alınır. Hesaplamada bu durum form faktörünün profil kavrama oranına (ε_p) bölünmesi (γ/ε_p) şeklinde göz önüne alınacaktır.

Makinalardaki gerçek yükler hakkında tam bir fikre sahip olamamaktayız. Bu durumda nominal güç ve hızı esas almadız hatalı olmaktadır. Bu nedenle denemeler sonucu elde edilen bir yük faktörü (k) hesaba dahil edilmelidir. Ayrıca çalışma esnasında dişlere etki eden kuvvetler titreşim ve darbelere sebep olabilir. Bu titreşim ve darbeler ise bir takım dinamik yükler oluşturabilir. Bu durumda hesaplamada dinamik yük faktörü (ξ), mukavemet hesabına dahil edilmelidir.

Neticede, diş dibi mukavemetine göre modül eşitliği

$$m = \sqrt{\frac{k \cdot \xi \cdot M_{z_1} \cdot \gamma}{z_1 \cdot \sigma_m \cdot \psi \cdot \varepsilon_p}} \quad (\text{mm})$$

şeklinde yazılır. Burada σ_m (daN/cm^2) diş malzemesinin emniyet gerimesi, k - darbe faktörü (veya aşırı yük faktörü), ξ - dinamik yük faktörü, γ - form faktörü, ψ - genişlik sayısı, M_z (daNm) diş çarka etkiyen döndürme momenti, z_1 - diş sayısı ve ε_p - profil kavrama oranıdır.

dışı çarklar

Hesaplar genellikle küçük dişliye (pinyona) göre yapılır. Çünkü pinyonun diş sayısının diş sayısından daha az olduğundan pinyonun dişleri, belirli bir zaman içinde, çark dişlerine göre daha fazla kavramaya girecek ve dolayısıyla daha fazla zorlanacaktır. Ancak bulunan modül değeri çark için de kullanılacaktır.

28.2.1.2. Aşınmaya Göre Kontrol

Dışı çarklar, genellikle dişlerin eselerile yaptıkları yuvarlanma ve kayma hanekeleri sonucu aşınarak kullanılamaz duruma gelmektedir. Temastaki diş yüzeylerine etkiyen kuvvet bir deformasyon alanı meydana getirecektir. Esas yüzeye göre çok küçük olan temas yüzeyinden çok büyük diş kuvvetlerininlanması Hertz gerilimelerini doğuracaktır. $\varepsilon_p > 1$ olan mekanizmalarla en büyük basıncın oluşturduğu nokta yuvarlanma dairesi üzerindeki temas noktası (C) alınır (Şekil 28.16).

Hertz bağıntısı ile verilen iki silindir arasındaki yüzey basıncı eşitliği

$$P_{\text{Hertz}} = 0,418 \sqrt{\frac{F_n \cdot E}{b \cdot \rho}}$$

diş çark yüzeylerinin özellikleri de göz önüne alındığında burada da kullanılmamaktadır. Eşitlikte F_n - diş kuvveti,



Şekil 28.16

disli çarklar

$$\frac{1}{E} = \frac{1}{2} \left(\frac{1}{E_1} + \frac{1}{E_2} \right) \quad \text{veya} \quad E = 2 \left(\frac{E_1 E_2}{E_1 + E_2} \right)$$

olarak pinyon ve çark malzemelerinin eşdeğer elastiklik modülünü,

$$\rho = \frac{1}{\rho_1} + \frac{1}{\rho_2} \quad \text{veya} \quad \rho = \frac{\rho_1 \cdot \rho_2}{\rho_1 + \rho_2}$$

olarak eşdeğer eğrilik yarıçapını ve b - diş genişliğini göstermektedir.

Cetvel 28.2 Dinamik yük faktörü (ξ) değerleri

Çevre hızı: v (m/s)	2	4	12	20	40	60	70
Çok yüksek kalite işçilik	1	1	1,1	1,15	1,2	1,25	1,5
Normal işçilik	1	1,1	1,25	1,3	Kullanılmamalı		
Kaba işçilik (döküm)	1,5	2,0			Kullanılmamalı		

Cetvel 28.3 Form faktörü (γ) değerleri

z	13	14	15	16	18	20	30	50	100	∞
γ	9,5	9,3	9,0	8,8	8,4	8,1	7,5	6,8	6,3	6,1

Cetvel 28.4 Darbe faktörü (k) değerleri

İş makinası	Elektrik motoru	Türbin, çok silindirli motor	Tek silindirli motor
Jeneratör, konveyör, hafif asansörler, turbo valflatörler ve kompresörler, karıştırıcılar	1,0	1,25	1,5
Takım lezgahları ana tahrık mekanizması, krenlerin dönde mekanizması, maden ocağı ventilatörleri, pistonlu pompalar, karıştırıcılar	1,25	1,5	1,75
Zırba, makas, laslık hamur yoğunucusları, demir-çelik haddeleleri, ekskavatör ve ağır pompalar vb.	1,75	2,0	2,25

dişli çarklar

Cetvel 28.5 Malzeme çiftlerinin elastiklik modülü (E) değerleri

Malzeme çiftleri	$E (10^8 \text{ daN/mm}^2)$
Fe/Fe	2,1
Fe/DÇ-60	2,08
Fe/DÇ-52	2,08
Fe/DDK-50	1,92
Fe/DDK-42	1,91
Fe/SnBz14	1,40
Fe/SnBz8	1,49
Fe/DDL-25	1,59
Fe/DDL-20	1,53
DÇ-60/DÇ-52	2,05
DÇ-60/DDK-50	1,89
DÇ-60/DDL-20	1,51
DDK-50/DDK-42	1,75
DDK-50/DDL-20	1,43
DDL-25/DDL-20	1,24
DDL-20/DDL-20	

Şekil 28.16'dan

$$\rho_1 = r_{s1} \cdot \tan \alpha_1$$

$$\rho_2 = r_{s2} \cdot \tan \alpha_2$$

Yazılır: En büyük basıncın tam olarak yuvarlanma noktasında (C) olduğu varsayıldığında

$$\alpha_1 = \alpha_2 = \alpha_s$$

$$r_{s1} = r_s \cdot \cos \alpha_s$$

olacağından en büyük Hertz basıncı

Cetvel 28.6 Dişli çark malzemelerinin emniyet değerleri

Malzemenin		σ_m (daN/cm ²)	P_m (daN/cm ²)
Adı	Sembolu		
Ölçme demir	DDL-20	350-450	2200
	DDL-25	480-550	2700
Stere döküm	DDL-30	600	3300
	Femtilik	1450	3000
Çelik döküm	Peritlik	1450	4000
	DÇ-45	800	2500
	DÇ-52	900	3100
Alegmeniz ve sertleştirilmemiş imalat çeligi	DÇ-60	1000	3900
	Fe 42	900-1000	2800-3400
	Fe 50	1100-1250	3400-4000
	Fe 60	1250-1400	3800-5000
İthal çelikler	Fe 70	1400-1600	4400-5700
	C22	1200	9300
	C45	1350-1500	4500
	C60	1500-1650	5000
	34Cr4	1800-2000	6000
	37MnSi5	1900-2000	5500
	42CrMo4	2000	6300
	35NiCr18	2000	9000
	C10	1000-1150	13500
Sementasyonlu sertleştirilmiş çelikler (bürt yüzey)	C15	1100-1250	15000
	16MnCr5	1900-2100	15000
	20MnCr5	2100-2300	15000
	13Ni8	1500	13500
	15CrNi8	2000-2200	15000
	13NiCr18	2200	14000
	18CrNi8	2100-2300	15000
Endüksiyonlu veya alevle sertleştirilmiş çelikler	C60	1600	10500
	Ck45	1800	13500
	Ck53	2200	14000
	37MnSi5	2000	12500
	53MnSi4	2000	14000
	41Cr4	2000	13000
	50CrV4	2400	14000
	42CrMo4	2100	15000
	41Cr4	1900	13500
Sıyanır banyosunda sertleştirilmiş çelikler	37MnSi5	2000	12500
	35NiCr18	2200	13500
	34Cr4	2100	12000
	42CrMo4	2400	12000
	C45	1600	7500
Nitryasyon sertleştirilmiş çelikler sıyanır banyo bi Gaz	16MnCr5	1700	7200
	42CrMo4	2900	8500
	16MnCr5	2100	8800

$$P_{\text{maks}} = 0,59 \sqrt{\frac{F_i}{b \cdot d_{\text{ad}}} \cdot E \cdot \frac{i+1}{i} \cdot \frac{1}{\cos \alpha_s \cdot \sin \alpha_s}} \leq P_m$$

esiliği ile hesap edilir.

Asınma değerinin belli bir sınırın altında kalması için yüzey ezilme gerilmesinin belli bir üst sınırı geçmemesi gereklidir. Bu sınır, malzemenin yüzey sertliğine göre,

$$P_m = (0,2 \dots 0,3) \cdot 10^3 \cdot HB \quad (\text{daN/cm}^2)$$

şeklindedir. Böylece aşınmaya göre dişli çiftinin modülü

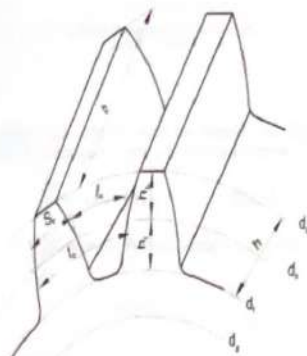
$$m = 9,5 \sqrt{\frac{k_s \xi M_{\text{ad}} E (i \pm 1)}{z_1^2 \cdot P_m^2 \cdot \mu \cdot E_s}} \quad (\text{mm})$$

bağıntısı ile hesap edilir. Burada dıştan dişler için (+) ve içten dişler için (-) işaretini kullanılmalıdır.

28.2.2. Boyutlandırma

Bir dişli çarka ait boyutlar Şekil 28.17'de ve dişli çiftine ait büyüklükler de Şekil 28.18'de gösterilmiştir. Buna göre,

Yüvarlanma (taksimat) dairesi çapı	$d_s = m \cdot z$
Modül	$m = \frac{d_s}{z} = \frac{l_s}{\pi}$
Dış adımı (taksimat)	$l_s = l_s = \pi \cdot m$
Dış kalınlığı	$S_s = \frac{l_s}{2}$
Dış boşluğu	$\ell_s = \frac{l_s}{2}$
Toplam dış yüksekliği	$h = 2,25 \cdot m$
Ortak (çalışan) dış yüksekliği	$h_s = 2 \cdot m$
Dış başı yüksekliği	$h_b = m$
Dış taban yüksekliği	$h_t = 1,25 \cdot m$
Dış başı boşluğu	$S_b = 0,25 \cdot m$
Dış başı dairesi çapı	$d_b = d_s + 2 \cdot h_b = (z + 2)m$



Şekil 28.17

Diş taban dairesi çapı

$$d_i = d_s - 2h_i = (z - 2,5)m$$

Eksenler arası uzaklık

$$a_s = \frac{m}{2}(z_1 + z_2) = \frac{(d_{s1} + d_{s2})}{2}$$

Temel dairesi çapı

$$d_z = d_s \cos \alpha_z$$

Diş genişliği

$$b = \psi t_s$$

Çevrim oranı

$$i = \frac{n_1}{n_2} = \frac{z_1}{z_2}$$

Genişlik sayısı

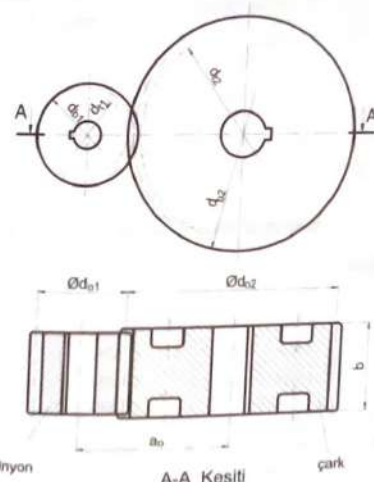
$$\psi = \frac{b}{t_s}$$

Not: Diş genişliklerinin artması her ne kadar yük taşıma kabiliyetini artırırsa da bu defa gerek mühendillerin deformasyonunun artması gerekse üretim hataları nedeniyle yükün belirli tarafta yoğunlaşması problemi ortaya çıkacaktır. Bu nedenle diş genişlik sayısı, kullanma yeri özelliklerine göre uygun seçilmelidir.

Modül: dişli çarklarda boyutlar arasındaki orantıyı düzenleyen bir ölçü birimidir. TS 612'ye göre modül $m=1$ olan dişli çarklar için referans kremayerinin (kesit lukumının) profili Şekil 28.19'da görülmektedir. Şekildeki referans kremayer profil makinalarda kullanılan silindirik düz ve helisel dişiler için olup

$$1 \leq m \leq 20$$

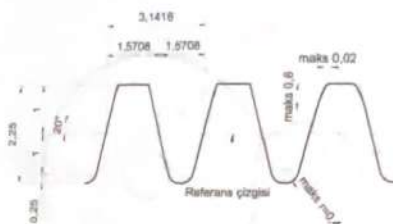
Sınırları arasındaki dişilere uygulanabilmektedir.

dişli çarklar

Şekil 28.18

Cetvel 28.7 Silindirik düz dişilerin genişlik sayıları

İşlenme hassasiyeti	ψ
İşlenmemiş dişlerde (döküm diş)	2
Kaba işlenmiş dişlerde	3-4
Hassas işlenmiş dişlerde	6
Hassas işlenmiş ve her iki tarafından yataklanmış dişlerde	8-10

disli çarklar

Şekil 28.19 Referans kremayer profili

Standart modüllerde

0,3'ten	1'e	0,1	atlama
1'den	4'e	0,25	atlama
4'ten	7'ye	0,5	atlama
7'dan	12'ye	1	atlama
12'den	22'ye	2	atlama
22'den	28'e	3	atlama
28'den	40'a	4	atlama
40'tan	50'ye	5	atlama

Şekilde bir artış olduğu görülmektedir.

Disli çark mekanizmalarında önerilen diş sayıları:

$$\alpha_c = 20^\circ \text{ lik standart disillerde (normal şartlar)}$$

$$z_i = 16 \dots 20$$

olarak seçilmesi,

verim ve düzgün çalışmanın önemli olduğu durumlarda

$$z_i = 26, 28$$

ve yüksek hızlı mekanizmalarda

$$z_i = 20 \dots 30$$

alınması önerilmektedir.

disli çarklar

Cetvel 28.8 Metrik sistemde standart modül değerleri (mm)

I	II	III	I	II	III
1.0	1.125		8		
1.25	1.375		10	9	
1.50	1.75		12	11	
2.0	2.25		16	14	
2.5	2.75		20	18	
3.0	3.50	3.25	25	22	
				28	
4.0	4.50	3.75	32	36	
5.0	5.50		40		
6.0	7.0	(6,50)	50	45	

28.2.3. Isınma Kontrolu

Disli çark sistemleri çalışma esnasında diş yüzeylerindeki sürtünme nedeniyle ısınmalar ve güç kaybına sebebiyet verirler. Artan sıcaklık sadece güç kaybına sebebi olmayıp kullanılan yağıın özelliklerinin bozulmasına ve çark malzemesinin mukavemetlinin düşmesine de sebep olmaktadır. Bu nedenle sisteme bir ısı dengeşinin bulunması gerekmektedir. Açıkta çalışan disli çark sistemlerinde pek ısınmalar olmayan bu ısı kapali sistemlerde kondisyon ve radyasyonla dışarıya atılabilenliği gibi yapay soğutma yöntemleriyle de dışarıya verilebilir. Özellikle disli çarklarında oluşan ısı yağlama yağına, yağdan kulu gövdesine ve buradan da dışarıdaki havaya aktarılır. Çoğu kez disli çarklarının diş ortamlı temas eden yüzeyini artırarak soğutma yüzeyini büyütmek amacıyla kaburgalı yapımları kullanılır.

Niemann'a göre, mekanizmada meydana gelen ısı

$$Q = 26,46 \cdot 10^3 \cdot P \left(\frac{0,1}{z_i} + \frac{0,03}{v+2} \right) \quad (J)$$

eşitliği ile hesaplanabilir. Burada v -(m/s) olarak çevre hızını, P -(BG) olarak mekanizmanın ilettiği gücü ve z_i -küçük dişinin diş sayısını göstermektedir.

Şayet sistem dalmaya yağlama ile yağılanıyorsa karterde bulunması gereken yağ miktarı

$$V = (2.5 \dots 8) \left(\frac{Q}{26.46 \cdot 10^3} \right) \quad (\ell/\text{tr})$$

olmalıdır. Çevre hızı $v = 8 \dots 12$ m/s'den daha büyük ise pompalı yağlama yapılmalıdır. Püskürtülecek yağ miktarı

$$q_s = 30 \left(\frac{Q}{26.56 \cdot 10^3} \right) \left(\frac{1}{\Delta t_i} \right) \quad (\ell/\text{dak})$$

Burada $\Delta t_i = t_{\text{saat}} - t_{\text{saat}}\ (^{\circ}\text{C})$; yağın çıkış ve giriş sıcaklıklarını farklı olup pratikte $\Delta t_i = 10 \dots 15$ (^{\circ}\text{C}) alınabilmektedir. İlk yağ 200..300 işletme saatinde değiştiir. Daha sonra her 2500 saatte bir filtreleme yapılarak aynı yağ kullanılabilir. Dişli çark sisteminde

$$\Delta t = \frac{Q}{\alpha A_i} > (30 \dots 40) \quad (^{\circ}\text{C})$$

olduğunda yağ soğutulmalıdır. Burada ısı iletim katsayısi, doğal-kendi kendini soğutma durumunda; $\alpha = 75366 - 92114$ ($\text{J}/\text{m}^2\text{Ch}$), A_i -(m^2) karterin (dişli kutusunun) toplam diş alanı (soğuma yüzeyi alanı) ve $\Delta t = t_{\text{karter}} - t_{\text{saat}}\ (^{\circ}\text{C})$ karter sıcaklığı ile çevre sıcaklığı arasındaki farktır. Dişli kutusu genellikle alttan soğutulmakla beraber yan yüzeylere soğutma amaçlı yapılan kaburgalar nedeniyle (A_s) soğutma yüzeyi alanı, normal diş yüzeyin ≈ 25 fazlası olarak alınır.

Mekanizmada, herhangi bir kaçak halinde yağın bozulmaması için, soğutucu olarak yağ kullanılması uygundur. Saatte mekanizmada dolaştırılması gereken yağ veya su miktarı (soğutucu madde miktarı)

$$V_s = \frac{Q}{C \Delta t_s \gamma} \quad (\ell/\text{h})$$

Burada C -($\text{J}/\text{daN}^{\circ}\text{C}$) yağ veya suyun özgül isisi ($C_{\text{yağ}} = 1675 \dots 2100$ $\text{J}/\text{daN}^{\circ}\text{C}$ ve $C_{\text{s}} = 4187$ $\text{J}/\text{daN}^{\circ}\text{C}$ alınabilir); Δt_s -soğutucu sıvının çıkış ve giriş sıcaklıklarını farkı ($5 \dots 10$ (^{\circ}\text{C}) alınabilir) ve γ -(daN/dm^3) soğutucu sıvının özgül ağırlığıdır.

Zorunlu (yapay) soğutma yapılacaksa, bir vantilatör ve ek kanatlarla soğutma yapılabilir. Bu durumda $\alpha = (2.1 \dots 2.5) \cdot 10^3$ ($\text{J}/\text{m}^2\text{Ch}$) alınabilir.

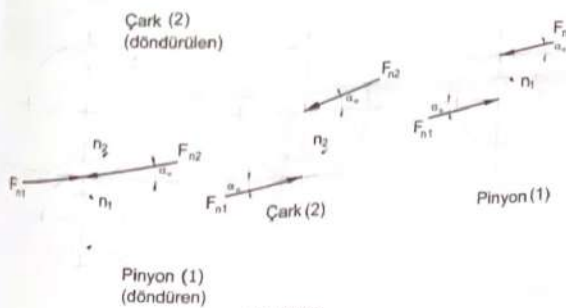
28.2.4. Dişli Çarkların Mil Yataklarına Etkiye Kuvvetleri

Eş çalişan diş çiftinde bir dişe gelen diş kuvveti (F_z), etki - tepki prinsibine göre her iki dişe aynı şiddette etkiyecektir (Şekil 28.20). Dişli çarka uygulanan döndürme momenti M_s ise bunun oluşturacağı diş kuvveti F_s .

$$F_s = \frac{2 \cdot M_s}{d_s} \quad \text{ve} \quad F_z = F_s \cdot \tan \alpha_s$$

olarak bileyenlerine ayrılabilir. Bu durum Şekil 28.21'deki gibi gösterilebilir.

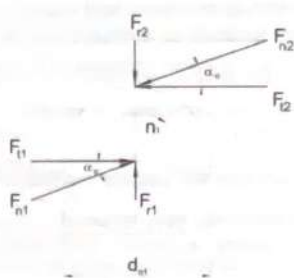
Dişli çarkın mil yataklarına etkiye kuvvetler sadece radial kuvvet şeklindedir. Mil yatakları arasındaki uzaklık r ise yatak kuvvetleri;



Şekil 28.20

a) Dişli çark yataklara göre tam ortada olduğunda,

$$F_s = F_z = \sqrt{\left(\frac{F_z}{2}\right)^2 + \left(\frac{F_z}{2}\right)^2}$$



Şekil 28.21

b) Dışlı çark yataklarına farklı uzaklıkta olduğunda,

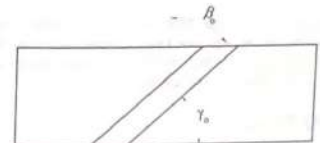
A ve *B* yataklarına etkiyen kuvvetler, F_r ve F_n , kuvvetlerinin her yatağa düşen payı olarak moment yöntemi ile tespit edilir. Daha sonra bu kuvvetlerin birbirine dik (yatay ve düşey) düzlemler içinde olduğu göz önünde bulundurularak

$$F_r = \sqrt{(F_{rt})^2 + (F_{nn})^2} \quad \text{ve} \quad F_n = \sqrt{(F_{rt})^2 + (F_{nn})^2}$$

eşitlikleri ile yataklardaki toplam radyal kuvvetler bulunur.

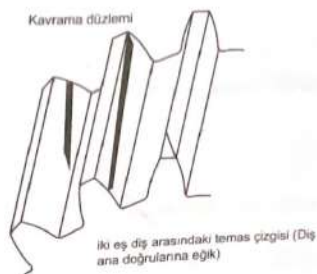
28.3. SİLİNDİRİK HELİSEL DİŞLİ ÇARKLAR

Düz dişlerde, dış ana doğruları eksene paraleldir. Bu nedenle kavramaya giriş bir anda ve bütün diş genişliğinde olmaktadır. Bu sebepten her diş çifti kavramaya geçiğinde bir darbe (vurus) meydana gelir ve sesli bir çalışma olur. Helisel dişlinin dişleri silindir üzerinde $\gamma_a = 90^\circ - \beta_a$ açısı kadar yükselerek bir helis çizeler (Şekil 28.22).



Şekil 28.22

Bu durumda helisel dişlinin diş yüzeyi; yan yana konan sonsuz adet düz dişlinin birbirine göre bir miktar kaydırılmış durumu olarak düşünülebilir. Bu sebepten helisel dişlerde aynı anda birden fazla diş kavrama durumundadır, dolayısıyla kavrama oranı daha büyük ve dönme hareketi daha düzgündür. Ayrıca düz dişlerde olduğu gibi, helisel dişlerde bir dişin kavramaya başlaması ve kavramadan çıkışması bütün diş genişliği boyunca aynı anda olmamış yavaş yavaş olmaktadır (Şekil 28.23). Bu nedenle de büyük çevre hızlarında daha az gürültülü çalışma söz konusudur.



Şekil 28.23

Bu üstünlükleri yanında helisel dışlıkların üretimi düz dışlıklere nazaran daha zordur. Çünkü eş çalan dışlıklarda helis açılarındaki hatalar temas durumunu kötüleştirir.

Helisel dışlıkların β_s açısına helis eğim açısı adı verilir. Mekanizmayı oluşturan her iki dışının dışlarının eğim açıları eşit olmalıdır. Ancak dıştan temaslı dış mekanizmalarla dış eğimleri birbirine ters, içten temaslı mekanizmalarla ise her ikisi de aynı yönlü olmalıdır.

Helisel diş çarklarının boyutlarını ve diğer özelliklerini tanımlarken, diş eksenine dik alın kesiti ve dış doğrultusuna dik normal kesit olmak üzere iki kesit göz önüne alınmalıdır. Helisel diş çarkların normal kesitine karşılık gelen normal referans profili ve bu profili bağılı olan faktörler standarttır.

28.3.1. Eşdeğer Dış Sayısı

Helisel dışının bir eşdeğer düz dişli çarkından söz etmek mümkündür. Şöyle ki, helisel diş, dış doğrultusuna dik bir düzleme kesilirse (normal kesit) eksenleri

$$a_s = \frac{d_s}{2 \cos \beta_s} \quad \text{ve} \quad b_s = \frac{d_s}{2}$$

olan bir elips ortaya çıkar (Şekil 28.24). Bu elipsin C noktasındaki eğrilik yarıçapı olan r_m ile bir daire çizilir ve bunun üzerinde helisel dışının t_s taksimatı ile diğer dizilirse bir düz dişli çark elde edilir. Teorik olarak bu düz dişli çarka, helisel dışının eşdeğer düz dişli adı verilir. Bu eşdeğer düz dişli çarkın taksimat dairesi yarıçapı

$$r_m = \frac{a_s^2}{b_s} = \frac{r_c}{\cos^2 \beta_s}$$

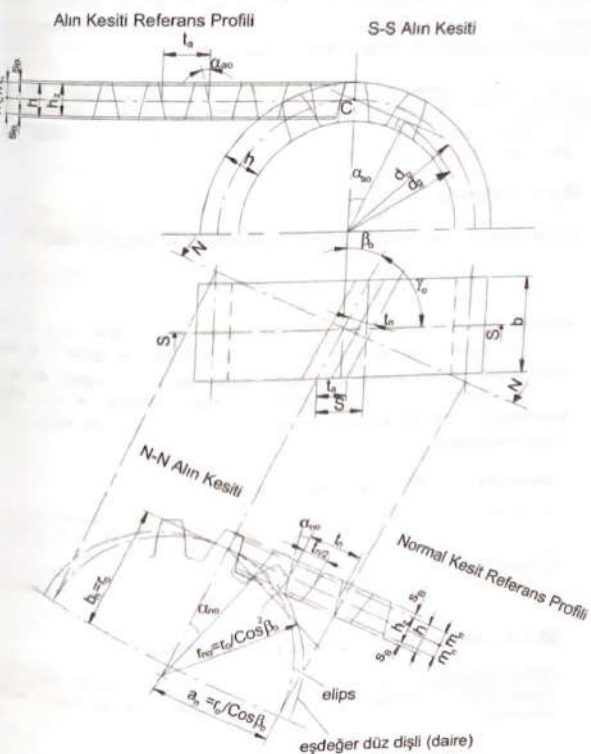
olarak tanımlanmıştır. Burada

$$r_m = \frac{z m_s}{2} \quad \text{ve} \quad r_c = \frac{z m_s}{2 \cos \beta_s}$$

değerleri ile eşdeğer düz dışının diş sayısı

$$z_s = \frac{z}{\cos^2 \beta_s}$$

olarak bulunur.



Şekil 28.24

Helisel dişlerin normal kesitindeki normal taksimatı (t_n) alın kesitindeki alın taksimatı (t_s)dan daha küçüktür. Buna karşılık gerçek alın diş sayısı (z) daha küçük olmakla beraber helisel dişinin yapımında sanksi (z_s) eşdeğer sayısı ile bir dişli çark imal ediliyor gibi hareket edilerek işlem yapılır.

 Kısaca özetlemek gerekirse; teorik olarak helisel diş yerine eşdeğer düz diş alınır ve α_s yerine α_m , m yerine m_s , z_1 ve z_2 yerine de z_{s1} ve z_{s2} konulursa düz diş mekanizmaları için elde edilmiş olan bütün bağıntılar helisel diş mekanizmaları için de kullanılabilir.

28.3.2. Sınır Diş Sayısı

Helisel dişlerde alttan kesilme olmaksızın erişebilecek en küçük diş sayısı

$$z_{min} = \frac{1. \operatorname{Cos}^2 \beta_s}{\operatorname{Sin}^2 \alpha_m} \text{ veya } z_{min} = z_s \operatorname{Cos}^2 \beta_s$$

olmalıdır. Burada, eşdeğer düz diş tanımından yararlanılarak, $z_{min} = 17$ ve $z_{min} = 14$ olarak alınır. Böylece helisel dişlerde hakiki diş sayısı 1'e kadar inebilmektedir. Ancak yüksek hızlı turbin dişlerinde küçük dişin diş sayısı $z \geq 25$ olmalıdır. Ayrıca yüksek hızlı mekanizmalararda $m_s < 6$ olması önerilmektedir. Silindirik düz dişli çarklarda pratik olarak sınır diş sayısı $z_s = 14$ olarak bilinmektedir.

Cetvel 28.9 $\alpha_m = 20^\circ$ için helisel dişli çarklarda $\frac{z}{z_{min}}$ değerleri

β_s	0	13	20	23	30	32	35	40	45	47
z_{min}	14	13	12	11	10	9	8	7	6	5

28.3.3. Helisel Dişli Çarklarda Kavrama Oranı

Helisel dişli çarkların laksimali ve buna bağlı olarak modülü; alın ve normal kesitte olmak üzere iki şekilde göz önüne alınmaktadır. Alın ve normal kesitte taksimatlar:

$$t_s = \pi m_s \quad \text{ve} \quad t_n = \pi m_n$$

şeklindedir. Buna göre alın modülü m_s ile normal modül m_n arasında

$$\operatorname{Cos} \beta_s = \frac{t_s}{t_n} = \frac{m_s}{m_n} \quad \text{veya} \quad m_s = \frac{m_n}{\operatorname{Cos} \beta_s}$$

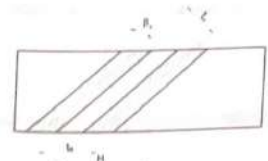
bağıntısı vardır. Normal referans profili standart olduğundan normal modül de standarttır.

Helisel dişlerde dişlerin eğimlerinin (β_s) açısından dolayı temas uzunluğu; alın düzleminde,

$$H = b \cdot \tan \beta_s$$

değeri kadar daha büyuktur (Şekil 28.25). Bu (H) değerine atlama değeri denir. Bu sebepten helisel dişlerde kavrama oranı düz dişlere göre,

$$\varepsilon_s = \frac{H}{t_s} = \frac{b \cdot \tan \beta_s}{t_s} = \frac{b \cdot \operatorname{Sin} \beta_s}{t_n} = \psi \cdot \operatorname{Sin} \beta_s$$



Şekil 28.25

değerindeki atlama oranı kadar daha büyuktur. Böylece helisel dişli çarklarda toplam kavrama oranı

$$\varepsilon_{sp} = \varepsilon_s + \varepsilon_n$$

teklikde göz önüne alınır. Burada ε_s -düz dişlerde göz önüne alınan profil kavrama oranıdır. Ancak eşitlikte α_s yerine α_m yazarak helisel dişler için bu değer burada ayrıca hesaplanmalıdır. Helisel dişli çarklarda göz önüne alınabilecek profil kavrama oranı (ε_s) değerleri normal kavrama açısı (α_m) ve helis eğim açısına bağlı (β_s) bağlı olarak Cetvel 28.10'da verilmiştir.

Helisel dişli çarkın taksimat dairesi çapı

$$d_e = m_e z = \left(\frac{m_e}{\cos \beta_e} \right) z$$

egitligi ile bulunur. Alin ve normal kesitlerdeki kavrama aciları farklıdır.

Cetvel 28.10 helisel dişlerde profil kavrama oranı E_{β_e} değerleri

α_m	β_e			
	0°	15°	30°	45°
14,5°	2,10	2,01	1,71	1,26
17,5°	1,88	1,79	1,53	1,13
20°	1,73	1,65	1,41	1,05
25°	1,52	1,45	1,25	0,949

Alın kavrama açısı α_m ile normal kavrama açısı α_m arasında

$$\tan \alpha_m = \frac{\tan \alpha_m}{\cos \beta_e}$$

bağıntısı vardır. Burada standart kavrama açısı normal kavrama açısı α_m dir^{v6} 20°'dir.

28.3.4. Helisel Dişli Çarkların Boyutları

Eğim açısı: β_e

Genel olarak normal ve yüksek randımlı (ömeğin türbin) dişli çarklarda 10°..20° arasında önerilmektedir. Motorlu taşıtlarda ve dar dişli çarklarda bu açı 10° ve hatta 45°'ye kadar alınabilmektedir. $\beta_e \geq 30^\circ$ alındığında çok büyük eksenel kuvvetler oluşacağından çavuş (veya ok) dişli şeklinde yapılması önerilir.

Taksimat dairesi çapı:

$$d_e = m_e z = \frac{m_e z}{\cos \beta_e}$$

Diş başı dairesi çapı:

$$d_s = d_e + 2m_e$$

Diş taban dairesi çapı:

$$d_b = d_e - 2,5m_e$$

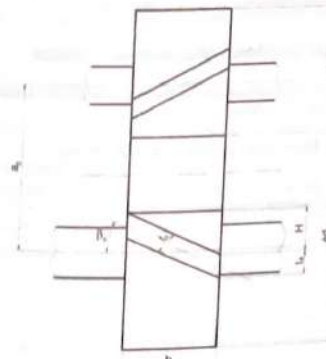
Taksimat dairesindeki diş kalınlığı (normal kesitte):

$$S_m = \frac{t_s}{2} = \frac{\pi m_e}{2}$$

Eksenler arası uzaklık:

$$a_e = \frac{d_{s1} + d_{s2}}{2} = \frac{m_e (z_1 + z_2)}{2 \cos \beta_e}$$

Dişin toplam ve ortak yüksekliği:



Şekil 28.26 Helisel dişli çifti ve bazı büyüklükler

$$h = 2,25m_e \text{ ve } h_s = 2m_e$$

Diş başı ve diş taban yüksekliği:

$$h_s = m_s \quad \text{ve} \quad h_i = 1,25m_s$$

Diş başı boşluğu:

$$S_s = 0,25m_s$$

Temel dairesi çapı:

$$d_s = d_s \cdot \operatorname{Cosec} \alpha_m$$

Genişlik sayısı:

$$\psi = \frac{h}{t_s}$$

İyi işlenmiş ve iki taraflı yataklanmış mekanizmalarda $\psi = 12 \div 14$ arasında ve sertleştirilmiş ve taşlanmış dışılıerde $\psi = 2 \div 5$ alınabilir.

28.3.5. Helisel Dışlı Çarkların Mukavemet Hesabı

Hesaplama yöntemi düz dışlı çarklardakine benzer şekildedir. Ancak helis eğiminin etkileri burada göz önüne alınmalıdır.

28.3.5.1. Diş Dibi Mukavemetine Göre Kontrol

Helisel dışılıerde, diş dibi mukavemeti bakımından normal düzlemedeki profil esas alınmıştır. Bu profili ise, yuvarlanma dairesi çapı

$$d_m = \frac{d_s}{\operatorname{Cos}^2 \beta_s}$$

diş sayısı

$$z_p = \frac{z}{\operatorname{Cos}^2 \beta_s}$$

ve modülü m_s olan bir eşdeğer düz dişliye ait profildir. İki eş dişin ortak temas çizgisi, düz dışılıerde olduğu gibi eksene paralel değil, alın profillerinin birbirlerine göre yuvarlanma dairesi üzerinde bağılı olarak dönümüş olmaları nedeniyle, diş ana doğrultularına eğiktir. Düz dışılıerdeki gibi en tehlaklı yükleme durumunun tespiti olanaksızdır. Helisel dışılıerdeki normal modülü (standart modül)

$$m_s = 6, \sqrt{\frac{k_s E_s M_{n1} \gamma_n \operatorname{Cos} \beta_s}{z_s \sigma_m \psi E_p}} \quad (\text{mm})$$

eşitliği ile hesaplanır. Burada γ_n -normal kesitteki eşdeğer diş sayısına (z_e) göre seçilecek form faktörü olup Cetvel 28.3'den alınacaktır.

28.3.5.2. Aşınmaya Göre Kontrol

Düz dışılıerde olduğu gibi, aşınmanın belirli bir sınırın altında kalması için, yüzey ezilmesi gerilmesinin üst sınırına göre tespit edilen modül eşitliği

$$m = 9, \sqrt{\frac{k_s E_s M_{n1} E (i \pm 1) \operatorname{Cos}^2 \beta_s}{z_s \sigma_m^2 i \psi E_p}} \quad (\text{mm})$$

şeklindedir. Burada $\sigma_m = (0,2 - 0,3) \cdot 10^3 \cdot HB$ (daN/cm^2) olması beklenir. Ancak bu değer Cetvel 28.6'dan da alınabilir. Eşdeğer elastiklik modülü

$$\frac{1}{E} = \frac{1}{2} \left(\frac{1}{E_1} + \frac{1}{E_2} \right)$$

olarak çark ve pinyon maizemelerine göre hesaplanacaktır.

28.3.6. Helisel Dışlı Çarka ve Yataklarına Etkilen Kuvvetler

Helisel dışılıerde diş yüzeyine etkiyen kuvvet, normal düzlem üzerindeki kavrama doğrusu üzerindedir (Şekil 28.27 ve 28.28'de F_r). Bu diş kuvvetinin teğet düzlemindeki bileşeninin (F_t) eksen doğrultusundaki bileşenine eksenel kuvvet (F_e), eksene dik doğrultudaki bileşenine ise teğetsel kuvvet (F_r) adı verilir.

Normal düzlem üzerinde eksene dik bileşene radyal kuvvet (F_r) denir. α_m normal kesitteki kavrama açısı olduğuna göre bu kuvvetlerin, bilinen teğetsel kuvvet,

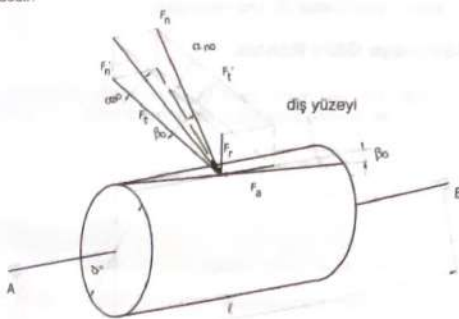
$$F_r = \frac{2 \cdot M_s}{d_s}$$

büyüküğe göre eşitlikleri

$$F_r = F_s \operatorname{Cos} \alpha_m$$

$$\begin{aligned} F_r &= F_s \sin \alpha_m = F_s \tan \alpha_m \\ F_r &= F_s \cos \beta_s = F_s \cos \alpha_m \cos \beta_s \\ F_s &= F_s \sin \beta_s = F_s \cos \alpha_m \sin \beta_s \end{aligned}$$

şeklindeidir.



Şekil 28.27

Diğer taraftan

$$\begin{aligned} F_r &= F_s \frac{\tan \alpha_m}{\cos \beta_s} \\ F_s &= F_s \tan \beta_s \end{aligned}$$

olarak yazılabilir.

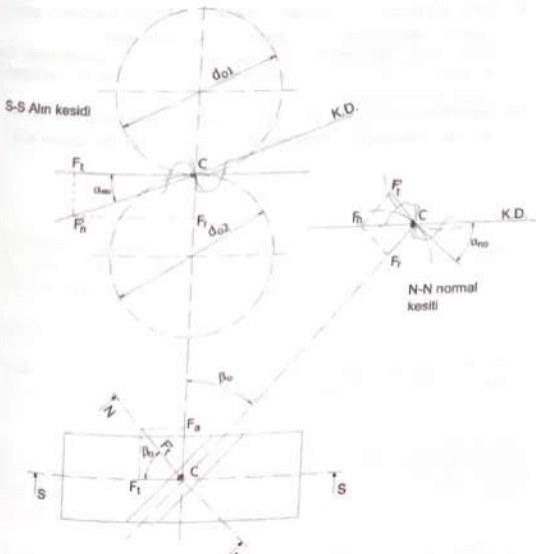
Helisel dışlılarda, F_s eksenel kuvveti nedeniyle yataklarda $F_s \cdot \frac{d}{2}$ değeri kadar bir moment meydana gelir. Yataklar arası uzaklık ℓ ise, bu moment her bir yataktan

$$\pm F_r \approx F_s \frac{d}{2\ell}$$

kadar ek bir radyal kuvvet doğurur. Bu kuvvetin doğrultusu F_r ile aynıdır. Eğer yataklar dışlı çarka göre simetrik ise, Şekil 28.27'ye göre, A yatağındaki radyal kuvvet

$$F_A = \sqrt{\left(\frac{F_r}{2} + F_s\right)^2 + \left(\frac{F_s}{2}\right)^2}$$

ve B yatağındaki radyal kuvvet



Şekil 28.28

$$F_r = \sqrt{\left(\frac{F_e}{2} - F_r\right)^2 + \left(\frac{F_t}{2}\right)^2}$$

şeklinde tespit edilir. Diğer taraftan A ve B yataklarından birisi F_e kadar bir eksenel kuvvet daha taşıyacaktır.

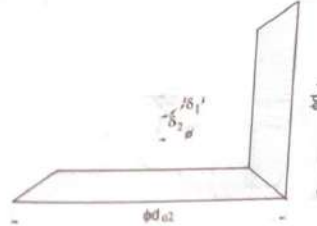
Hesisel dışlı çarkın yataklarındığı mil üzerinde iki adet dışlı varsa izlenecek yol:

- Düsey düzlemede eksenel (F_e) ve radyal (F_r) kuvvetler nedeniyle meydana gelen radyal kuvvetler her iki yatak için moment yolu ile tespit edilir.
- Yatay düzlemede (F_t) teğetsel kuvvetleri nedeniyle meydana gelen radyal kuvvetler her iki yatak için moment yolu ile tespit edilir.
- Daha sonra yataklardaki yatay ve düsey düzlemede kuvvetlerinin bileşkesi alınarak (90° lik açı için vektörel toplam yapılarak) her bir yataktaki toplam radyal kuvvet bulunur.
- Eksenel kuvvet farkı (ΔF_e) yataklardan bir tanesinde (en büyük radyal kuvvetin bulunduğu yataktakı) eksenel kuvvet olarak göz önüne alınır.

28.4. KONİK DİŞLİ ÇARKLAR

28.4.1. Tanım ve Özellikler

Eksenleri kesişen miler arasındaki güç ve hareket ilerimini temin eden dışlı parklardır. Dönme esnasında tepe noktaları, eksenlerin kesişme noktasında olan ili koninin birbiri üzerinde kaymadan yuvarlanması şeklinde hareket ederler (Şekil 28.29).



Şekil 28.29

Konik dışlı çarkların özellikleri şu şekilde sıralanabilir:

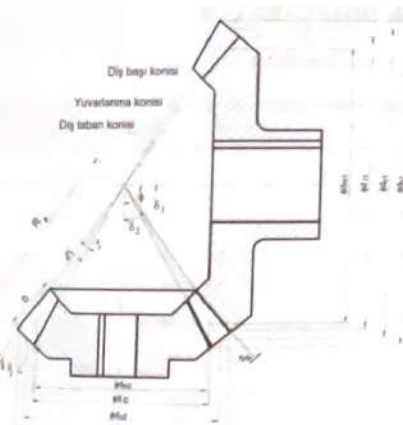
1. Konik dışlıların takısmat konilerinin yarı açıları (δ_1 ve δ_2) toplamı, güç ilerlenen miler arasındaki açıya (ϕ) eşit olmalıdır (Şekil 28.29), yani

$$\phi = \delta_1 + \delta_2$$

ör. Pratikte en çok rastlanan durum, mil eksenlerinin birbirine dik olması konumudur ($\phi = 90^\circ$). Ancak bunun dışındaki durumlarda çalışan mil grupları da mevcuttur.

2. Takısmat konisi geometrisine bağlı olarak dışlıların boyutları genişlik boyunca değişmektedir (Şekil 28.30 ve 31). Konik dışlı çarkın en büyük (diş), en küçük (iç) ve ortalaması taksimat dairesiyle tanımlanan dış modül (m_d), iç modül (m_i) ve ortalaması modül (m_o) olarak üç ayrı modülü vardır.

Ancak bunlardan dış taksimat çapı (d_o) ve buna bağlı olarak dış modül (m_d) standarttır. Dışlı çark dişinin dış kısmındaki yükseklik (h), baş yüksekliği (h_b) ve laban derinliği (h_l) standart module göre tespit edilir.

dışılı çarklar

Şekil 28.30

Konik dışlı çarkların taksimat dairesi çapları:

$$d_{m1} = m_1 z_1 \quad \text{ve} \quad d_{m2} = m_2 z_2$$

İle ortalama genişliğine ($b/2$) karşılık gelen ortalama taksimat dairesi çapları da

$$d_{m1} = m_1 z_1 \quad \text{ve} \quad d_{m2} = m_2 z_2$$

olduğuna göre taksimat dairesi ile ortalama taksimat dairesi arasında

$$d_{m1} = d_{m1} + b \sin \delta_1 \quad \text{ve} \quad d_{m2} = d_{m2} + b \sin \delta_2$$

bağıntıları vardır. Böylece standart modül ile ortalama modül arasında da

$$m_e = m_a + \frac{b}{z_1} \sin \delta_1 = m_a + \frac{b}{z_2} \sin \delta_2$$

bağıntıları yazılır.

dışılı çarklar

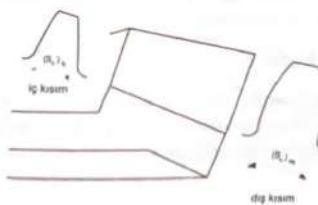
3. Konik dışlı çark mekanizmasının çevrim oranı

$$i = \frac{n_1}{n_2} = \frac{\omega_1}{\omega_2} = \frac{d_{z1}}{d_{z2}} = \frac{z_1}{z_2} = \frac{\sin \delta_1}{\sin \delta_2}$$

şeklindedir. Burada

$$\phi = \delta_1 + \delta_2 \quad \text{ve} \quad \delta_1 = \phi - \delta_2$$

olduğuna göre



Şekil 28.31 Genişlik boyunca taksimat ve modülün değişmesi

$$i = \frac{\sin(\phi - \delta_1)}{\sin \delta_1} = \frac{\sin \phi}{\tan \delta_1 - \cos \phi}$$

veya buradan

$$\tan \delta_1 = \frac{\sin \phi}{i + \cos \phi} \quad \text{ve} \quad \tan \delta_2 = \frac{i \sin \phi}{1 + i \cos \phi}$$

bağlılığı yazılır. En çok rastlanan durum olarak $\phi = \pi/2$ yazılırsa çevrim oranı

$$i = \frac{1}{\tan \delta_1} = \tan \delta_2$$

olarak bulunmuş olur.

4. Konik dışlıları karakterize eden diğer bir faktör de taksimat konisinin uzunluğudur. Bu büyüklük

$$R_s = \frac{d_{z_1}}{2 \sin \delta_i} = \frac{d_{z_2}}{2 \sin \delta_i}$$

şeklinde tespit edilir.

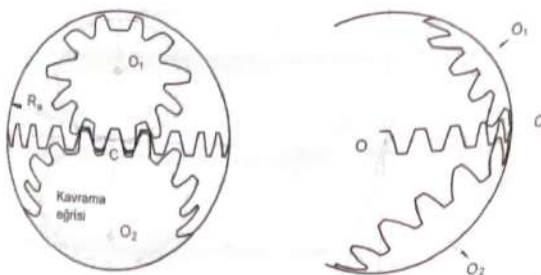
5. İmalat bakımından konik dişli çarka ait bir büyütülük olan taban ve baş açıları

$$\tan x_i = \frac{h_i}{R_s} \quad \text{ve} \quad \tan x_{z_1} = \frac{h_{z_1}}{R_s} = \frac{m}{R_s}$$

şeklinde ifade edilir. Özellikle taban açısı (x_i), konik diş açına tezgahlarının ayarlanması için gerekli bir büyütüktür.

28.4.2. Kavrama Eğrisi

Eş çalışan konik dişli çarkların kavrama durumu, merkezi eksenlerin kesim noktası O da bulunan ve yarıçapı koninin uzunluğu R_a 'ya eşit olan bir kürenin diş yüzeyinde incelenir. Dişler arasındaki temasın tespiti edilmesine yarayan

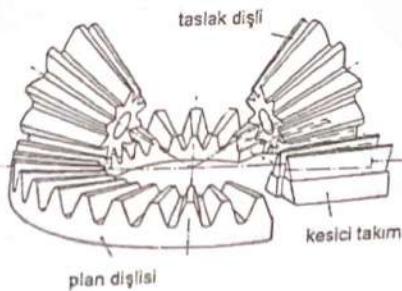


Şekil 28.32

düzlemler, konik dişlerde aynı merkezli küresel yüzeylerdir. Küresel yüzeylerden biri üzerinde eş çalışma esnasında gerçekleşecek şart, Şekil 28.32'ye göre, yuvarlanma konileri beraberce yuvarlanmaka ve OC doğrusu boyunca temas etmektedir. Bu doğrunun küresel yüzeye kesim noktası bu kesitteki anı dönme noktasıdır. Sabit açısal hızla dönme şartı, profillerin ortak normalerinin (küre yüzeyi üzerinde kure merkezi daire yayı) bu noktadan geçmesi olacaktır. Temas noktasının küresel yüzey üzerindeki hareketi kavrama eğrisini vermektedir.

$\delta_i = 90^\circ$ olan konik dişliye plan dişli adı verilir. Yani konik dişler için taksimat yüzeyi bir düzlem olan kremayer plan dişli adı ile anılır. Bu dişli konik dişlerin temel büyütüklerini tanımlar ve bununla eş çalışan bütün konik dişler kendi aralarında da eş çalışabilirler. Konik dişlerin dişlerinin açılmasında kullanılan kesici takımlar da bu dişinin dış şekline uygun yapılmıştır (Şekil 28.33).

Plan dişli konik dişlerin temel büyütüklerini tanımlamak üzere referans olarak alınmaktadır. z_1/z_2 oranının değişmesiyle koni açıları da değişeceğinden konik diş çarklarının eş çalışma özelliği (takım dişli olarak çalışmaları) şarta bağlı olmaktadır.



Şekil 28.33 Konik dişinin plan dişli yardımıyla oluşturulması

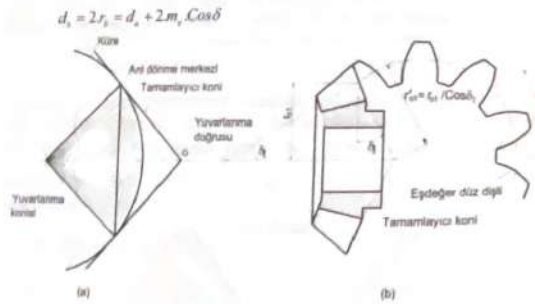
28.4.3. Eşdeğer Alın Dişli

Konik dişlerde herhangi bir taksimat çapındaki profil için eşdeğer alın dişli teneffüs edilebilir. Tredgold yaklaşımı denilen bu yöntemde, tamamlayıcı koni adı verilen koninin lepe noktası (O) esas alınarak, tamamlayıcı koni üzerindeki diş profillerinin yuvarlanması doğrusuna dik düzleme açılmışıyla elde edilen alın dişliye ait profil söz konudur (Şekil 28.34a).

Herhangi bir taksimat çapındaki anı dönme noktasında küreye teget olan koni (tamamlayıcı koni) yüzeyini, diş yüksekliği mertebesinde bu noktanın iki tarafından ibaren küresel yüzeye eşdeğer yaklaşımın temel prensibidir (Şekil 28.34b). Plan dişli için tamamlayıcı koni silindir haline girer. Açınlıkta ($r_{a_1} = \infty$) olan trapez bir profil elde edilir. Koninin açınlığında koni yüzeyi üzerindeki diş profiline ait diş

disli çarklar

yüksekliği, diş başı yüksekliği, diş taban derinliği gibi büyüklükler değişmez. Böylece diş profile alt diş başı dairesi çapı



Şekil 28.34

diş taban dairesi çapı

$$d_e = 2r_i = d_a + 2m_e \cdot \cos\delta$$

olarak

$\delta_i = 90^\circ$ de elde edilen plan dişli aynı zamanda konik diş için referans profilini de leşkil eder. Bu sebepten $d_{e1} = \infty$ için elde edilen referans profili düz dişli kremayer olur ve dolayısıyla düz dişlerdeki eşitlikler, konik dişlinin eşdeğeri düz dişliye de aynen uygulanır. O halde

$$\begin{aligned} d_{e1} &= m_e z_1 \\ d_{e2} &= m_e z_2 \end{aligned}$$

ve

$$\begin{aligned} d_{e1} &= m_e z_1 \\ d_{e2} &= m_e z_2 \end{aligned}$$

ve ayrıca

disli çarklar

$$d_{e1} = \frac{d_a}{\cos\delta_i} \quad \text{ve} \quad d_{e2} = \frac{d_a}{\cos\delta_i}$$

eşitlikleri yardımıyla

$$z_{e1} = \frac{z_1}{\cos\delta_i} \quad \text{ve} \quad z_{e2} = \frac{z_2}{\cos\delta_i}$$

olarak eşdeğer alın düz dişlinin diş sayıları bulunmuş olur.

Eşdeğer alın düz diş göz önünde tutulduğunda ve alın düz dişlerde $\alpha_e = 20^\circ$ için alt kesiminin pratik olarak $z_{min} = 14$ diş sayısında meydana geldiği hatırlandığında, konik dişlerde alttan kesime olmaksızın erişilecek en küçük diş sayısı

$$z'_{min} = 14 \cdot \cos\delta_i$$

şeklinde tespit edilir. Böylece konik dişlerde alttan kesime olmaksızın erişilecek en küçük diş sayıları Cetvel 28.11'deki gibi alınabilir.

Yukarıda konik dişlerin herhangi bir kesiti için eşdeğer düz dişlinin bulunabileceği görülmüştür. Konik dişlerde özellikle mukavemet ve yüzey basıncı bakımından ortalama kesitteki büyülükler önemlidir. Ortalama kesitteki ($b/2$ 'de) taksimat dairesi çapları

Cetvel 28.11 Konik dişli çarkların en küçük diş sayıları

δ_i	$0^\circ \dots 21^\circ$	$22^\circ \dots 30^\circ$	$31^\circ \dots 37^\circ$	$38^\circ \dots 44^\circ$
z'_{min}	14	13	12	11

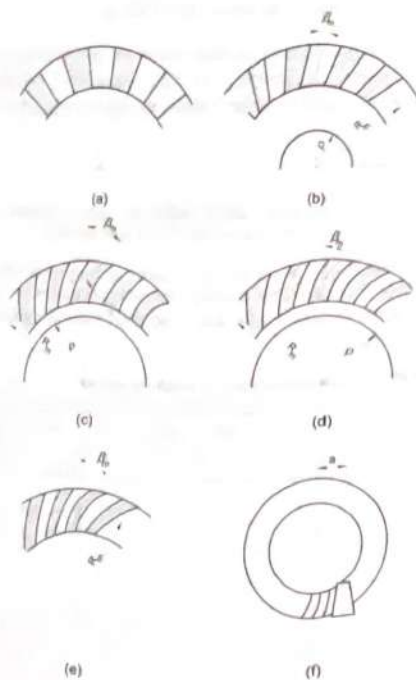
$$d_{e1} = \frac{d_a}{\cos\delta_i} = \frac{z_1 m_e}{\cos\delta_i}$$

$$d_{e2} = \frac{d_a}{\cos\delta_i} = \frac{z_2 m_e}{\cos\delta_i}$$

çapları ile bulunan eşdeğer alın düz dişlinin taksimat dairesi çapları olmaktadır.

28.4.4. Konik Dışı Çark Çeşitleri

Konik dişili imal eden kremayer, taksimat yüzeyi bir düzlem olan ($\phi = 90^\circ$) plan dişli olmaktadır. Bu plan dişli ile eş çalişan bütün konik dişiller kendi aralarında da eş çalişrlar. Eş çalışma esnasında konik dişlinin yuvarlanması konisi üzerindeki diş ana doğrularının, plan dişlisinin taksimat düzlemi üzerindeki izleri, konik dişlinin diş izlerini olmaktadır. Yani konik dişlinin diş şekli, bu izlerin geometrik şeklärine göre isimlendirilir.



Şekil 28.35

Plan dişlisindeki dişlerin yönlerine göre konik dişiller düz ve eğrisel konik dişiller olmak üzere iki ana gruba ayrılr. Konik dişiller için yukarıda açıklanan hususlar düz konik dişiller için olup bunların diş ana doğruları radyaldır, yani doğruların dişinin merkezinden geçmektedir (Şekil 28.35a). Eğrisel konik dişillerde ise plan dişlisine ait yan eğrileri plan dişlisinin merkezine göre β eğim açısı kadar eğiktir. Ancak açı diş genişliği boyunca değiştiğinden eğrisel dişilleri tanımlamak için plan dişlinin ortalama yarıçapına (R_o) karşılık gelen ortalama (β_o) eğim açısı esas alınır. Buna göre Almanca kaynaklarda, plan dişlisine ait yan eğrileri, plan dişli ile eşi merkezli bir daireye teget olan dişilere helisel konik dişli (Şekil 28.35b); kavisli olan dişilere kavisin şeklärine göre daire yaylı (Şekil 28.35c), evolvent eğrili (Şekil 28.35d) ve episikloid eğrili (Şekil 28.35e) dişiller denilmektedir.

Konik dişillerin özel bir durumu olan ve ekseni kesişmeyen türlerine de Hypoid dişiller adı verilir (Şekil 28.35f).

28.4.5. Düz Konik Dışı Çarkların Boyutları

Taksimat dairesi çapı

$$d_o = m_o z$$

Eksenler arasındaki açı

$$\phi = \delta_i + \delta_s$$

Taksimat konisinin açıları

$$\phi = 90^\circ \text{ için} \quad \tan \delta_i = \frac{1}{i} = \frac{z_1}{z_2}$$

$$\phi < 90^\circ \text{ için} \quad \tan \delta_i = \frac{\sin \phi}{i + \cos \phi}$$

$$\phi > 90^\circ \text{ için} \quad \tan \delta_i = \frac{\sin(180^\circ - \phi)}{i - \cos(180^\circ - \phi)}$$

Taksimat konisinin uzunuğu

$$R_i = \frac{d_{o1}}{2 \sin \delta_i} = \frac{d_{o2}}{2 \sin \delta_i}$$

$\delta_i = 90^\circ$ için bu değer aynı zamanda plan dişlisinin çapı olur.

Dış başı yüksekliği

$$h_i = m_e$$

Dış taban yüksekliği

$$h_t = (1 \div 2)m_e \quad [h_t = (1,1 \dots 1,3)m_e]$$

Dışın toplam yüksekliği

$$h = 2,188m_e + 0,05 \quad [h = (2,1 \dots 2,3)m_e]$$

Ortak dış yüksekliği

$$h_o = 2m_e$$

Baş ve taban açıları

$$\tan x_h = \frac{h_i}{R_s} = \frac{m_e}{R_s}$$

$$\tan x_t = \frac{h_t}{R_s}$$

Dış başı dairesi çapları

$$d_{st,i} = d_{st,2} + 2h_{st,i} \cos\delta_{st,i}$$

Dış başı boşluğu

$$S_i = \{0,1 \dots 0,3\}m_e$$

Dış kalınlığı (taksimat dairesi üzerinde)

$$S_e = \frac{\pi m_e}{2}$$

Ortalama taksimat dairesi çapları

$$d_{st,2} = d_{st,2} - b \sin\delta_{st,2}$$

Dış taban dairesi çapları

$$d_{st,2} = d_{st,2} - 2h_{st,2} \cos\delta_{st,2}$$

Kavrama açısı

$$\alpha_s = 20^\circ$$

Dış genişliği: dişlerin çok sıvırı olmaması ve dengeli yük taşıma yeteneğine sahip olabilmesi için dış genişlikleri sınırlandırılmış olsa önerilen büyülük

$$\frac{b \sin\delta_i}{r_{st}} \leq 0,3 \quad \text{veya} \quad \frac{2b \sin\delta_i}{m_e z} \leq 0,3$$

şeklindedir. Bu iki bağıntıdan bulunan en küçük değer konik dişin dış genişliği (b) olarak alınmalıdır.

Cetvel 28.12 $\phi = 90^\circ$ için önerilen pinyon dış sayısını ve $\psi = b/d_{st}$ oranlarını

$i = z_t / z_i$	1	2	3	4	5	6,5
z_i	40	30	23	18	14	10
$\psi = b/d_{st}$	0,212	0,336	0,474	0,615	0,75	0,75

Ortalama modül

$$m_e = \frac{d_{st}}{z} = \frac{\left(R_s - \frac{b}{2} \right) m_e}{R_s} \approx 0,8m_e$$

Konik diş çark mekanizmalarının verimi $\eta = 0,95 \div 0,97$ değerleri arasındadır.

28.4.6. Düz Konik Dışlıllerin Mukavemet ve Aşınma Kontrolu

Düz konik dışlıllerin hesabında ortalama modül (m_e) esas alınır. Böylece konik dişin boyutlandırılması; ortalama taksimat dairesi çapına karşılık gelen ($d_s / \cos\phi$) taksimat dairesi çapında, modülü (m_e) ve genişliği (b) olan iki eşdeğer dişin mukavemet ve aşınma hesabına dayanılarak yapılır. Sadece genişlik sayısız ($\psi = b/d_s$) büyülüğü değişmektedir.

28.4.6.1. Dış Dibi Mukavemetine Göre Kontrol

Ortalama modül

$$m_a = 8,6 \sqrt{\frac{k_d M_n \gamma' (1 - \psi \sin \delta_i)}{\sigma_m z_i^2 \Delta \psi E}} \quad (\text{mm})$$

Burada: $\xi = 1,5 - 2$ dinamik yük faktörü

$\varepsilon = 1$ kavrama oranı (emnilyet bakımından küçük alınmaktadır)
 γ' : form faktörü ($z_{\alpha} = z_i / \cos \delta_i$ teorik diş sayısına bağlı olarak Cetvel 28.3'den alınabilir.)

28.4.6.2. Aşınmaya Göre Kontrol

Ortalama modül

$$m_a = 12,9 \sqrt{\frac{k_d M_n (i \cos \delta_i + \cos \delta_e) (1 - \psi \sin \delta_i) E}{p_m^2 z_i^2 i \Delta \psi E}}$$

eşitliği ile hesap edilir. Böylece dişli çark çiftinin standart olan diş modülü

$$m_z = m_a + \left(\frac{b}{z_i} \right) \sin \delta_i$$

veya

$$\psi = b / d_{\alpha} \quad \text{ve} \quad d_{\alpha} = m_a z_i \quad \text{yazılmıştır ile}$$

$$m_z = \frac{m_a}{(1 - \psi \sin \delta_i)}$$

şeklinde bulunur.

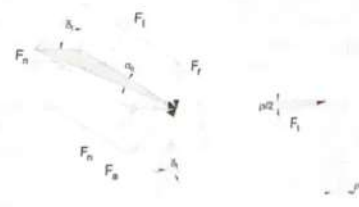
28.4.7. Konik Dişli Çarka ve Yataklarına Etkiyen Kuvvetler

Konik dişlerden birine ait yuvarlanma konisi göz önüne alınır ve diş genişliği boyunca yük dağılımının düzgün olduğu varsayıfırsa bu kuvvetler Şekil 28.36a'da olduğu gibi gösterilebilir. F_z diş kuvveti iki bileşene ayrılarak

$$F_z = F_s \cos \alpha_s \quad \text{ve ya} \quad F_s = F_z \tan \alpha_s$$

yazılır. F_z kuvveti de bileşenlerine ayrılarak

$$F_s = F_z \sin \delta_i = F_z \tan \alpha_s \sin \delta_i$$



Şekil 28.36

$$F_z = F_s \cos \delta_i = F_z \tan \alpha_s \cos \delta_i$$

toplukları ile eksenel (F_z) ve radyal (F_r) kuvvetleri bulunur. Diş ana doğrultularının (düz konik dişlerde) koni tepesinden geçme şartı nedeniyle dişlerdeki eğim göz ardı edilirse (Şekil 28.36b'de ρ açısı) tegetsel kuvvet

$$F_a = \frac{2 M_n}{d_{\alpha}}$$

dir. Yataklar arası uzaklık t olduğunda, F_z eksenel kuvveti nedeniyle yatağa

$$F_z = \pm \left(\frac{F_a r_a}{t} \right)$$

kadar ek bir radyal kuvvet daha gelir. Eğer yataklar dişlere göre simetrik ise bir yatağa gelen toplam radyal kuvvet

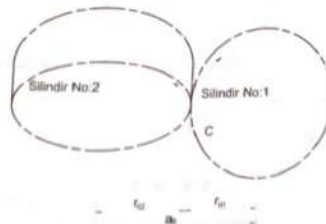
$$F_x \approx \sqrt{\left(\frac{F_z}{2} \pm F_r \right)^2 + \left(\frac{F_a}{2} \right)^2}$$

olacaktır.

28.5. SİLİNDİRİK SPİRAL DİŞLİ ÇARKLAR

Silindirik spiral daklı çarklar, eksenleri paralel olmayan ve kesişmeyen miller arasındaki güç ve hareket iletimini temin eden iki helisel dışlarından başka bir şey değildir. Ancak buradaki daklı çarkların helis yönleri birbirinin aynı olmaktadır (her ikisi de sağ veya sola helis). Bu sebepten çalışma esnasında diş yüzeylerinde noktasal temas meydana gelir (Şekil 28.37'de C noktası). Bu durum ise daklı çark mekanizmasının yük taşıma yeteneğini büyük ölçüde azaltır.

Silindirik spiral daklı çark mekanizmalarında diş yüzeylerindeki kaymanın büyüğü olması nedeniyle, yuvarlanma mekanizmalarına göre, verim oldukça düşüktür. Dolayısıyla bu mekanizmalar güç iletiminden çok, hassas cihaz teknığında olduğu gibi, hareket iletiminde kullanılır. Sürtünme kaybının büyük oluşu; aşınmanın hızlanması, uygun malzeme çifti seçimi, yağlama şartlarına dikkat edilmesi gibi özel önlemler gerektirir.



Şekil 28.37

Mekanizmayı oluşturan daklıların eksenleri arasında

$$\phi = \beta_{el} + \beta_{rl}$$

İşbu bağıntısı vardır (Şekil 28.38). Ancak kesişme açısı $\phi < 90^\circ$ veya $\phi = 90^\circ$ olamamaktadır. Ayrıca eksenler arasındaki açı $\beta_{el} = \beta_{rl}$ olabileceği gibi $\beta_{el} \neq \beta_{rl}$ olamamaktadır.

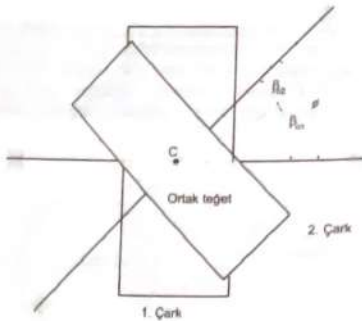
28.5.1. Geometrik Boyutlar Arasındaki Bağıntılar

1. Daklı çarklar birer helisel daklı olduklarından normal (m_n) ve alin (m_a) modülleri ile normal (α_n) ve alin (α_a) kavrama açıları vardır. Bu mekanizmalar da

normal kesitteki böyüklükler (m_s ve α_{st}) standarttır. Ancak $\beta_{st} \neq \beta_{et}$ olduğu zaman, dişilerin alın modülleri

$$m_{st} = \frac{m_s}{\cos \beta_{st}} \quad \text{ve} \quad m_{et} = \frac{m_s}{\cos \beta_{et}}$$

birbirine eşit değildir.



Şekil 28.38

2. Mekanizmada $v_1 = r_{st} \omega_1$ küçük dişinin çevre hızı ve $v_2 = r_{et} \omega_2$ büyük dişinin çevre hızı olsun. Şekil 28.39d'ye dikkatle bakılırsa v_1 ve v_2 hızlarının ortak teğet ($T - T'$) doğrultusundaki bileşenlerinin sıfırdan farklı olduğu ve bu doğrultuda büyük bir kayma hızı (v_x) meydana geldikleri görülür. Mekanizmanın verimini büyük oranda etkileyen bu kayma hızı; Sinüs teoremine göre,

$$v_x = \frac{v_1 \sin \phi}{\cos \beta_{st}} = \frac{v_1 \sin \phi}{\cos \beta_{et}}$$

veya $\phi = 90^\circ$ ($\pi/2$) için

$$v_x = \frac{v_1}{\sin \beta_{st}} = \frac{v_1}{\sin \beta_{et}}$$

olarak hesaplanır.

v_1 ve v_2 çevre hızlarının normal bileşeni v_z , dişilerin birbiri ile eş çalışabilmeleri için eşit olmalıdır. Hız üçgenine göre (Şekil 28.39d)

$$v_z = v_1 \cos \beta_{st} = v_2 \cos \beta_{et}$$

ve buradan

$$\frac{v_z}{v_1} = \frac{\cos \beta_{st}}{\cos \beta_{et}}$$

bulunur. O halde mekanizmanın çevrim oranı

$$i = \frac{n_1}{n_2} = \frac{\omega_1}{\omega_2} = \frac{z_1}{z_2} = \frac{r_{et} \cos \beta_{et}}{r_{st} \cos \beta_{st}}$$

şeklinde hesap edilir. Son eşitlikten de görülebileceği gibi $d_{st} = d_{et}$ bile olsa $\beta_{st} \neq \beta_{et}$ olması halinde $i \neq 1$ olacaktır.

$\phi = 90^\circ$ konumundan $\cos \beta_{st} = \sin \beta_{st}$ olduğundan

$$i = \frac{r_{et}}{r_{st}} \cdot \tan \beta_{st}$$

olarak

28.5.2. Dişilerin Boyutları

Taksimat dairesi çapları

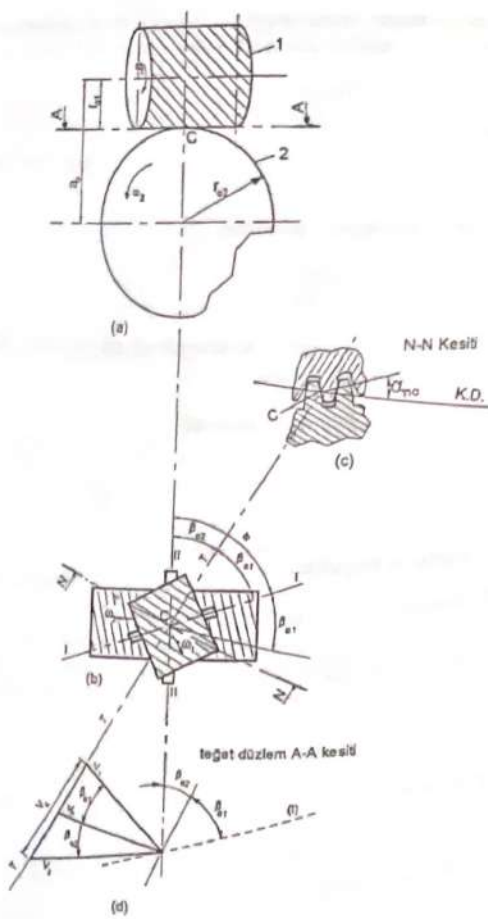
$$d_{st} = m_{st} z_1 = z_1 \cdot \frac{m_s}{\cos \beta_{st}}$$

$$d_{et} = m_{et} z_2 = z_2 \cdot \frac{m_s}{\cos \beta_{et}}$$

Dış başı dairesi çapları

$$d_{h,1} = d_{st,1} + 2m_s$$

Eksenler arasındaki uzaklık



Şekil 28.39

$$a_s = \frac{d_{z1} + d_{z2}}{2} = \frac{m_z}{2} \left(\frac{z_1}{\cos \beta_{z1}} + \frac{z_2}{\cos \beta_{z2}} \right)$$

Dışlı çarkların genişliği

$$b = (5 \dots 10)m_z$$

Ancak bu dışlılarda noktasal temas söz konusu olduğundan $b/t_s = \psi \leq 3$ alınması uygun olmaktadır.

28.5.3. Spiral Dişli Çarkların Mukavemet Hesabı

Silindirik spiral dişli çark mekanizmalarında noktasal temas olması ve büyük kaymaların bulunması nedeniyle aşınma birinci derecede önem taşımaktadır. Dolayısıyla dışlıların mukavemet hesabında da aşınma problemi temel sorun teşkil etmektedir. Mekanizmanın yük taşıma yeteneği

$$F_t = C_m b \cdot \pi \cdot m_z$$

olarak tanımlanabilir. Burada

$$\eta_t = \frac{2M_{n1}}{d_{z1}} = \frac{2 \cdot M_{n1} \cdot \cos \beta_{z1}}{z_1 \cdot m_z}$$

$$b = \psi t_s = \psi \cdot \pi \cdot m_z \quad (\psi \leq 3)$$

bilindir. Burada C_m -malzemenin ezilme emniyeti değeri olup malzeme çifti ve kayma hızına (v_s) bağlı olarak Çetvel 28.13'de verilmiştir.

Yukanda verilen eşitlikler düzenlenirse, normal modül için

$$m_z = 6 \sqrt{\frac{k_s \cdot M_{n1} \cdot \cos \beta_{z1}}{z_1 \cdot C_m \cdot \psi}} \quad (\text{mm})$$

bağlılığı yazılır. Burada M_{n1} -daNm ve C_m -(daN/cm²) boyutunda alınmıştır.

disli çarklar

Silindirik spiral disli çarkların ımalinde genel olarak küçük dişli (pinyon) için çelik malzeme, büyük dişli için ise dökme demir veya bronz gibi daha yumuşak malzemeler kullanılır. Küçük dişlinin diş sayısı $z \geq 12$ alınması önerilmektedir.

Cetvel 28.13 Malzeme çifti ve kayma hızına (v_e) bağlı olarak C_{in} (daN/cm^2) değerleri

Malzeme Çifti	Kayma hızı: v_e (m/s)									
	1	2	3	4	5	6	8	10		
Çelik/Çelik Her ikisi de sertleştirilmiş	60	50	40	35	30	25	20	17		
Sertleştirilmiş Çelik/Bronz	34	27	22	19	16	14	11	8		
Dökme demir/Dökme demir	18	15	12	8	-	-	-	-		
Sertleştirilmemiş Çelik/Bronz	25	20	16	14	12	10	8	-		

28.5.4. Disli Çark Çiftine Etkiyen Kuvvetler

Döndürün disli çarktaki (1 nolu dişli) teğetsel kuvvet (Şekil 28.40)

$$F_n = \left(\frac{F_e \cdot \cos \alpha_m}{\cos \rho} \right) \cos(\beta_{el} - \rho)$$

Burada ρ -sürtünme açısı olup $\mu \approx 0,1$ için $\rho = 6^\circ$ alınabilir. Böylece $1/\cos \rho \approx 1$ yazılabilirkeninden

$$F_n = F_e \cdot \cos \alpha_m \cdot \cos(\beta_{el} - \rho)$$

olar.

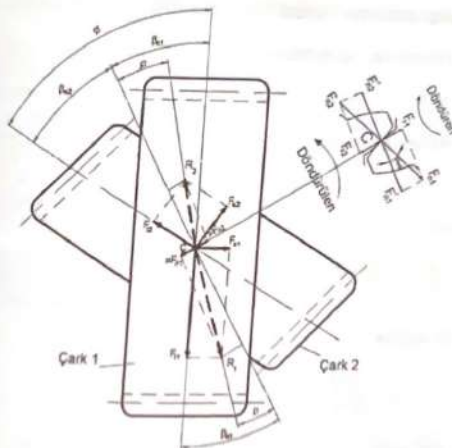
Eksenel kuvvet

$$F_e = F_n \cdot \cos \alpha_m \cdot \sin(\beta_{el} + \rho)$$

şeklindedir.

Benzer şekilde döndürün disli çarktaki (2 nolu dişli) teğetsel kuvvet

$$F_n = F_e \cdot \cos \alpha_m \cdot \cos(\beta_{el} + \rho)$$

disli çarklar

Şekil 28.40

Eksenel kuvvet

$$F_e = F_n \cdot \cos \alpha_m \cdot \sin(\beta_{el} + \rho)$$

Sistemde $F_n = F_{n2} = F_e$ şeklindedir. Ayrıca her iki dişliye radyal doğrultuda

$$F_{r1} = F_{r2} = F_e \cdot \sin \alpha_m$$

değerinde bir de radyal kuvvet etkimektedir.

Döndürün dişliye (1 nolu dişli) ait teğetsel kuvvet

$$F_n = \frac{2 \cdot M_{el}}{d_{el}} = \frac{2 \cdot M_{el} \cdot \cos \beta_{el}}{m_e z_i}$$

olduğuna göre buna bağlı olarak yukarıdaki eşitliklerde belirtilen tüm kuvvetler kolayca hesaplanabilir.

28.5.5. Mekanizmanın Verimi

Döndürulen dişli tarafından sarf edilen iş

$$W_1 = v_1 F_n$$

Döndürulen dişinden alınan iş

$$W_2 = v_2 F_d$$

Buradan verim

$$\eta = \frac{W_1}{W_2} = \frac{v_1 F_n}{v_2 F_d} = \frac{v_1}{v_2} \cdot \frac{\cos(\beta_{el} + \rho)}{\cos(\beta_{el} - \rho)}$$

olacaktır. Bu eşitlikte

$$\frac{v_1}{v_2} = \frac{r_{el} \omega_1}{r_{el} \omega_2} = \frac{\cos \beta_{el}}{\cos \beta_{el}}$$

olduğuna göre verim

$$\eta = \frac{1 - (\tan \rho \tan \beta_{el})}{1 + (\tan \rho \tan \beta_{el})} = \frac{1 - \mu \tan \beta_{el}}{1 + \mu \tan \beta_{el}}$$

Şekilde de yazılabilir. $\phi = 90^\circ$ olması durumunda verim

$$\eta = \frac{\tan \beta_{el}}{\tan(\beta_{el} + \rho)}$$

olmaktadır.

dişli çarklar

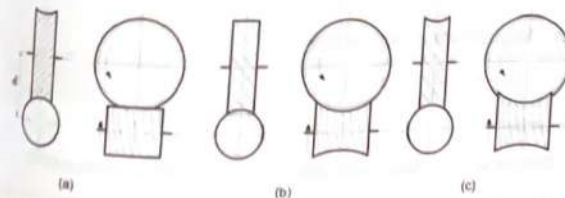
dişli çarklar

28.6. SONSUZ VİDA MEKANİZMASI

Sonsuz vida mekanizması; birbir ile kesişmeyen ve paralel olmayan iki mil arasındaki güç ve hareket iletimini temin eden özel bir spiral dişli mekanizmasıdır. Genel olarak eksenler arası açı $\phi = 90^\circ$ dir. Esasen her ikisi de helisel dişli olan bu mekanizmada, küçük dişinin genişliği çapına göre çok büyük olduğundan dişler helis, yarı vida şeklinde görülmektedir. Bu nedenle bu dişliye sonsuz vida adı verilmiştir. Spiral dişilerdeki noktasal temas, çarklarından biri diğeri üzerinde veya her ikisi birbirine üzerine sarılarak (globoid mekanizma) değiştirilmiş, böylece çizgisel temas nedenten螺旋 dişli çarklara göre daha büyük bir güç iletimi temin edilmiştir. Üç çeşit sonsuz vida mekanizması vardır:

- a) Sonsuz vida silindirik, dişli çark globoid (Şekil 28.41a)
- b) Sonsuz vida globoid, dişli çark alın dişli (Şekil 28.41b)
- c) Sonsuz vida ve dişli çark globoid (Şekil 28.41c)

Yukündedir.



Şekil 28.41

En çok kullanılan sonsuz vida mekanizması, sonsuz vidanın silindirik çarkın ise globoid olduğu tiptir.

28.6.1. Sonsuz Vida Mekanizmasının Özellikleri

1. Küçük dişinin diş sayısı (ağız sayısı) 1 ile 4 arasında değişir. Genel olarak küçük dişli döndürün, büyük dişli döndürülendir. Bu durumda mekanizmanın çevrim oranı

$$i = \frac{n_1}{n_2} = \frac{z_2}{z_1}$$

olarak yazılırsa, z_1 diş sayısına (ağzı sayısına) bağlı olarak çevrim oranı 100'e kadar çıkabilir. Ancak genellikle silindirik sonsuz vida mekanizmalarında çevrim oranı 25 ile 30 arasında değişir.

2. Bir spiral dişli olan sonsuz vida ve çarkı arasında spiral dişlilerde olduğu gibi kayma meydana gelmemektedir; dolayısıyla sistemin verimi azalmaktadır. Silindirik ve konik dişlere nazaran verimleri daha düşüktür. Silindirik dişlilerde verim $\eta = 0,96 \dots 0,98$, konik dişlere $\eta = 0,95 \dots 0,97$ iken sonsuz vida mekanizmasında bu verim $\eta = 0,60 \dots 0,80$ arasında değişir. Hatta kilitlenen tiplerde $\eta = 0,25 \dots 0,40$ arasındadır. Bu sebepten sonsuz vida mekanizmalarında yüksek çalışma sıcaklıklarını ve aşınma meydana getirir.

3. Sonsuz vidanın eğim açısı β_{st} ve çarkın eğim açısı β_{ct} ise; sonsuz vidanın eğim açısı β_{st} , çarkın eğim açısı β_{ct} den çok daha büyüktür. Bu açıların değerlerini farklı olmakla beraber yönleri aynıdır. Sonsuz vidanın helis açısı β_s gösterilirse,

$$\beta_s = 90^\circ - \beta_{\text{ct}}$$

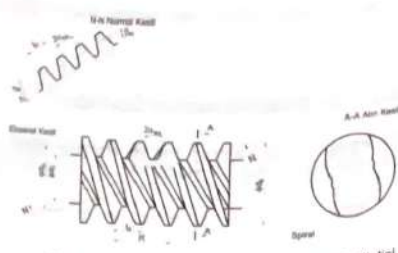
yazılır. Mekanizmada $\phi = 90^\circ$ olduğuna göre,

$$\beta_s = \beta_{\text{ct}}$$

olmaktadır

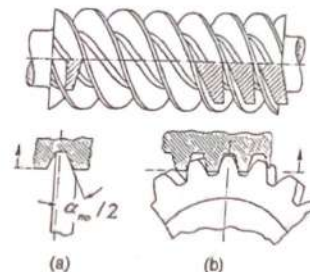
4. Silindirik sonsuz vidalar, imalat şecline bağlı olarak dört tip profile sahiptir.

a) A sonsuz vida dişlisi: Eksen düzleminden geçen kesitte profil trapez olan sonsuz vida tipidir (Şekil 28.42).



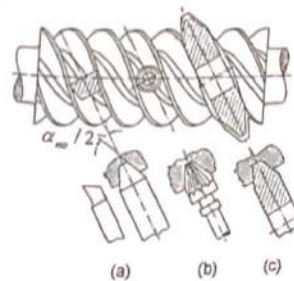
Şekil 28.42 Trapez profilli (A tipi) sonsuz vida dişlisi

Torna tezgahında sonsuz vida ekseni doğrultusunda hareket eden bir torna kalemi veya freze tezgahında çark şeklindeki kesici bir bıçaklı imal edilen bir sonsuz vidasıdır (Şekil 28.43). Az kullanılan bir vida tipidir.



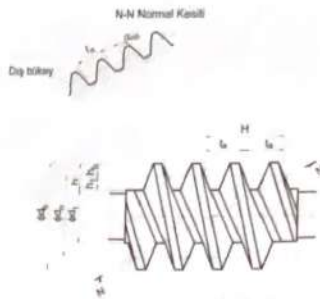
Şekil 28.43 A tipi sonsuz vida imali
(a) Torna kalemi ile, (b) Kesici bıçak ile

b) N sonsuz vida dişlisi: Eğer imalat esnasında bıçak, normal kesit düzleminde hareket ettirilirse, normal kesitteki vida adımları trapez şeklinde olur. Kesici takım olarak torna kalemi, parmak freze veya disk freze bıçağı kullanılır (Şekil 28.44).



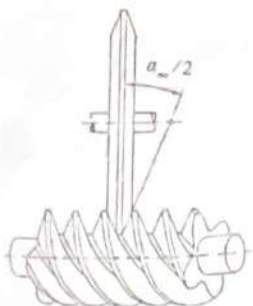
Şekil 28.44 N tipi sonsuz vida ve imali
(a) Torna kalemi ile, (b) Parmak freze ile
(c) Disk freze ile

c) K sonsuz vida dişlisi: Profili normal kesitte diş bükey, eksenel kesitte ise iç bükey olan bir sonsuz vida tipidir (Şekil 28.45). Trapez profilli freze diski veya las diski vida yivlerinde döndürülerek imal edilir (Şekil 28.46).

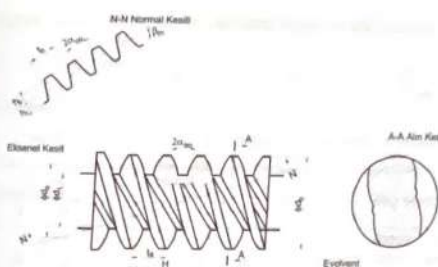


Şekil 28.45 Normal kesili trapez olan (K tipi) sonsuz vida dişlisi

d) E sonsuz vida dişlisi: Sonsuz vida helis açısı $\beta_n = 87^\circ$ den 45° 'ye kadar değişen evolvent profilli helisel bir alın dişlisiidir. MAAG veya azdırma yöntemi uygulanarak kremayer bıçağının yuvarlanmasıyla imal edilir. Normal kesit diş bükey, eksenel kesit hiperbole benzer ve alın kesiti evolventdir (Şekil 28.47).



Şekil 28.46 K Sonsuz vida dişlisiinin imali



Şekil 28.47 E sonsuz vida dişlisi (evolvent profilli)

28.6.2. Boyutlar Arasındaki Bağıntılar

Genel olarak sonsuz vidanın eksen düzleimi içindeki takısması, dolayısıyla eksen modülü (m_z) standarttır. Bazı özel durumlarda normal modül (m_x) de standart olarak alınmaktadır. Mekanizmanın boyullandırılmasında aşınma birinci derecede oynar. Boyutlar hakkında ilk tahminler için şu denenmiş hesap şekli önerilmektedir

$$m_x = 4,3 \sqrt{\frac{k \cdot M_{z1}}{C_m \cdot z_2}} \quad (\text{mm})$$

Burada: $M_{z1} = i \cdot \eta \cdot M_{z1}$ (daNcm) olarak çark eksenindeki döndürme momentidir. η , işe döndüren sonsuz vida, döndürilen çark olması durumundaki verimdir. Malzemenin eszime emniyeti (C_m) değerleri ise malzeme çifti ve kayma hızına bağlı olarak Cetvel 28.14'de verilmiştir.

Normal modül ile eksen modülü arasındaki ilişki

$$m_z = \frac{m_x}{\sin \beta_n}$$

İşte ki, sonsuz vida mekanizmasında alın kavrama açısı ile normal kavrama açısı arasında

$$\tan \alpha_n = \frac{\tan \alpha_\infty}{\cos \beta_n}$$

dışlı çarklar

ilişkisi vardır. Sonsuz vida ve çarkın taksimat dairesi çapları

$$d_{z_1} = \frac{z_1 m_z}{\tan \beta_n} \quad \text{ve} \quad d_{z_2} = z_2 m_z$$

Cetvel 28.14 Matzeme çiftleri için ezilme emniyeti (C_m) değerleri (daN/cm^2)

Matzeme çifti	Kıyma hızı v_x (m/s)									
	1	2	3	4	5	6	8	10	15	
Çark bronz, sonsuz vida laşlamış ve sertleştirilmiş çelik, dalma yağlama var	80	80	70	60	52	48	40	35	24	
Çark bronz, sonsuz vida çelik, (doğal sertlikte Fe60, Fe70 gibi) ve laşlanmamış	43	43	43	38	22	20	18	-	-	

Cetvel 28.15 Sonsuz vida mekanizması için standart modül (m_z) değerleri (mm)

1,0	3,15	10,0
1,25	4,0	12,5
1,6	5,0	16,0
2,0	6,3	20,0
2,5	8,0	-

Cetvel 28.16 Otoblokajsız sonsuz vida mekanizmalarında önerilen bazı büyüklükler

β_n	5°...6°	10°...13°	15°...17°	19°...25°
$i = z_2/z_1$	30	20	15	10
z_1	1	2	3	4

Cetvel 28.17 Normal kavrama açısı (α_m) ile helis açısı (β_n) arasındaki ilişki

β_n	15°'ye kadar	15°...25°	25°...35°	35°'den büyük
α_m	20°	22,5°	25°	30°

dışlı çarklar

Dış başı dairesi çapları

$$d_n = d_{z_1} + 2h_{z_1} \quad \text{ve} \quad d_{z_2} = d_{z_2} + 2h_{z_2}$$

Dış taban dairesi çapları

$$d_n = d_{z_1} - 2h_{z_1} \quad \text{ve} \quad d_{z_2} = d_{z_2} - 2h_{z_2}$$

Eksenler arası uzaklık

$$a_s = \frac{d_{z_1} + d_{z_2}}{2} = \frac{m_z}{2} \left(\frac{z_1}{\tan \beta_n} + z_2 \right)$$

Form sayısı;

Sonsuz vida mekanizmaları için önemli bir faktör de "Form Sayısı" dir. Bu sayı

$$F = \frac{d_{z_1}}{m_z}$$

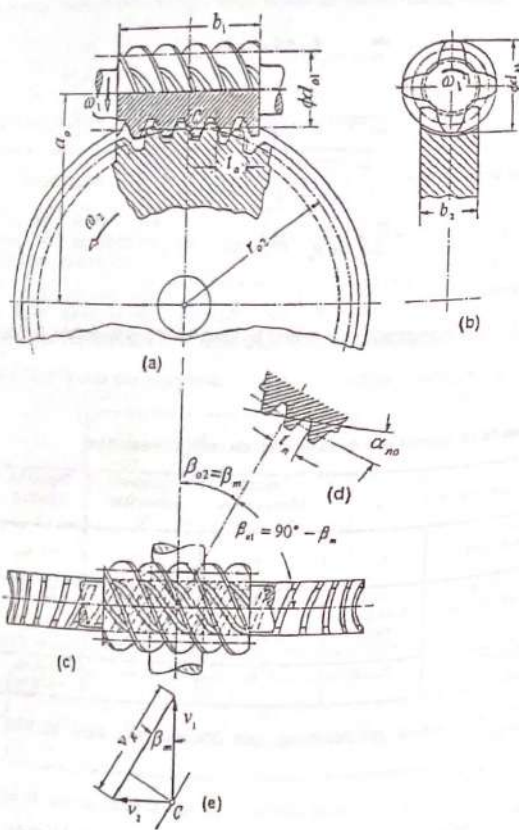
Cetvel 28.18 Sonsuz vida mekanizmalarında çeşitli dış yükseklikleri

Kullanma yeri	z_1	Dışbaşı yükseltikleri h_{z_1} ve h_{z_2}	Çalışma yükseltikleri h_z	Toplam dış yükseltiği h
Ayar mekanizmaları	1...2	1. m_z	2. m_z	2,2. m_z
Güç ileme mekanizmaları	1...2 3 ve daha fazla	1. m_z 0,9. m_z	2. m_z 1,8. m_z	2,2. m_z
Cıvazlar ($m_z < 1,25$)	1...10	1. m_z	2. m_z	2,2. m_z +0,05 mm

İşlindedir. Kolayca görüleceği gibi ortalama helis açısı ile form sayısı arasında

$$\tan \beta_n = \frac{z_1}{F}$$

bağıntıları vardır. Küçük form sayıları büyük β_n açılarını verir. Ancak bu sonsuz vida eğilmeye karşı yetenek kadar rıjt değildir. $F = 7+18$ arasında değişir. Otoblokajlı mekanizmalarında $F = 15+17$ arasındadır.



Şekil 28.48 Sonsuz vida mekanizmasındaki tanımlamalar ve boyutlar
a-eksenel kesit, b-yandan görünüş, c-üstten görünüş, d-normal
kesit, e-hiz durumu

disli çarklar

disli çarklar

Çark genişliği

$$b_1 \geq 2.5 l_s = 2.5 \pi m_z$$

Sonsuz vidanın dış açılan uzunluğu

$$b_1 \geq (12 \dots 16) m_z$$

28.6.3. Sonsuz Vida ve Çarka Etkiyan Kuvvetler

Döndüren sonsuz vida ve döndürülen çark olarak kabul edilirse kuvvet durumu spiral disli mekanizmasına benzer. Ancak burada değerler β_m helis açısına göre hesaplanmalıdır. Şekil 28.49'a göre, sonsuz vidaya etkiyen kuvvetler:

Tegetsel kuvvet

$$F_n = \frac{2 M_H}{d_{st}}$$

Eksenel kuvvet

$$F_a = \frac{F_n}{\tan(\beta_m + \rho)}$$

Radyal kuvvet

$$F_r = F_n \cdot \frac{(\tan \alpha_m \cdot \cos \rho)}{\sin(\beta_m + \rho)}$$

Bu eşitliklerde -sürünme açısı olup $\tan \rho = \mu$ olarak alınmalıdır. Malzeme çifti ve yağlama durumuna göre $\rho = 4^\circ \div 6^\circ$ arasında değişmekte. Normal kavrama göre standart olup $\alpha_m = 20^\circ$ dir.

Çarka etkiyan kuvvetler ise:

Tegetsel kuvvet: $F_{r2} = F_{st}$

Eksenel kuvvet: $F_{a2} = F_n$

Radyal kuvvet: F_r (sonsuz vidadanının aynıdır)

Görülüyorki sonsuz vidaya oldukça büyük eksenel kuvvet etkimektedir. Ayrıca etkiyen radyal kuvvetler de vidayı eğmeye çalışırlar. Bu nedenlerle vidanın mümkün olduğu kadar eğilmeye karşı rıjt yataklanması gereklidir. Diğer bir deyişle sonsuz vida yatakları arasındaki açılık mümkün olduğu kadar küçük tutulmalıdır ve eksenel kuvvetler aynı bir yatak tarafından karşılanması gerekmektedir. Şekil 28.54'de bir sonsuz vida mekanizmasının yataklanması görülmektedir.

Sonsuz vida milinin yatakları arasındaki açılık için önerilen sınır değer

$$\ell_n = (1,4 \dots 1,5) a_s$$

dir. Çark yatakları için ise

$$\ell_n = (0,9 \dots 1,1) a_s$$

şeklindedir.

28.6.4. Kayma Hızı ve Mekanizmanın Verimi

Mekanizmada sonsuz vida ile çark dışları arasındaki kayma hızı

$$v_t = \frac{v_i}{\cos \beta_s}$$

şeklindedir. Burada

$$v_i = \frac{\pi d_{st} n_i}{60} \quad (\text{m/s})$$

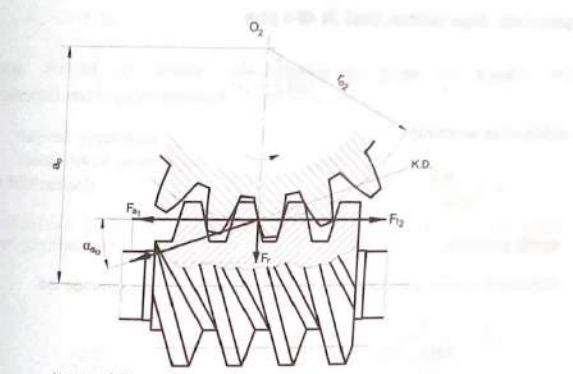
olarak sonsuz vidanın çevre hızını göstermektedir. Döndüren sonsuz vida, döndürulen çark olduğu durumda:

Sonsuz vidadaki güç P_1 , çarktaki güç P_2 ise verim

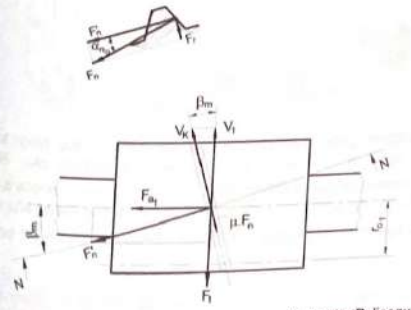
$$\eta_i = \frac{P_2}{P_1}$$

veya $P_1 = F_a v_i$ ve $P_2 = F_a v_t$ ile verim

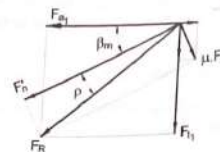
$$\eta_i = \frac{F_a v_t}{F_a v_i}$$



N-N KESİTİ



Kuvvetler Poligonu



Şekil 28.49 Sonsuz vidaya ve çarka etkiyen kuvvetler

dışlı çarklar

şeklindedir. Diğer taraftan, Şekil 28.48'e göre

$$\tan \beta_n = \frac{v_i}{v_i} \quad \text{ve} \quad F_{ii} = F_{ni} = \frac{F_n}{\tan(\beta_n + \rho)}$$

olduğundan verim için

$$\eta_i = \frac{\tan \beta_n}{\tan(\beta_n + \rho)}$$

eşitliğine yazılabilir.

Döndürün eleyen çark döndürülen sonsuz vida olması durumunda ise

$$F_{ii} = \frac{F_n}{\tan(\beta_n - \rho)}$$

olacağından verim

$$\eta_i = \frac{\tan(\beta_n - \rho)}{\tan \beta_n}$$

olur.

İkinci verim eşitliğine göre, yani çarktan sonsuz vidaya güç akışı konumunda, $\beta_n = \rho$ olursa verim $\eta_i = 0$ olur. Yani güç iletimi olanaksız olur. Bu durumda sonsuz vida mekanizması kilitlenmiştir. Bu tip mekanizmalarla otobloaklı mekanizmalar denir. Ancak $\beta_n < \rho$ olması durumunda güç iletimi söz konusu olur. $\beta_n \leq \rho$ olması konumunda enerji (güç) iletim yönündeki verim en çok, $\eta_i \leq 50\%$ dir.

Çarktan sonsuz vidaya güç iletilmesi konumunda meydana gelen bu kilitlenme özelliğinden el ile çalıştırılan bazı kaldırma makinalarında fren olarak yararlanılır. Motorlu çalıştırılan sistemlerde otobloaj yöntemi ile frenlerin yapılmamalıdır.

Sonsuz vidadan çarka güç iletiminde en büyük verim (η_i)_{max}; $\beta_n = 45^\circ - \frac{\rho}{2}$ değerinde meydana gelmektedir. Ancak vida mukavemeti bakımından bu değerin altındaki ($\beta_n = 18^\circ \dots 30^\circ$) değerler seçilir.

Sonsuz vida mekanizmalarındaki toplam verimi bulabilmek için, mil yataklarının verimini de göz önüne almak gerekmektedir. O halde

daklı çarklar

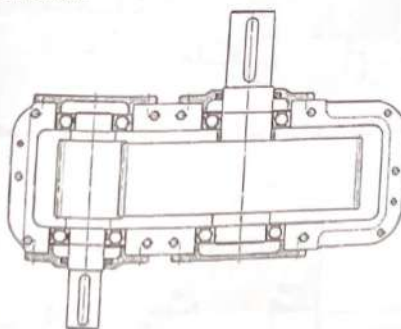
$$\eta_{sp} = \eta_i \cdot \eta_s \cdot \eta_c$$

olacaktır. Burada η_s -sonsuz vida yataklarının verimi ve η_c -çark mil yataklarındaki verimi göstermektedir. Yatak verimleri

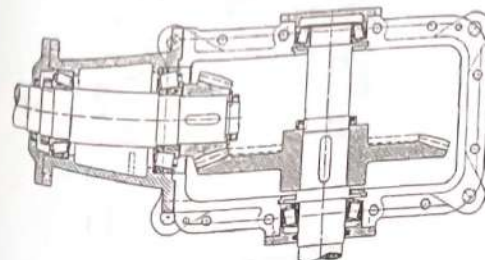
Kaymali yataklarda	: 0,92...0,95
Yuvarlanmalı yataklarda	: 0,98...0,99

olarak bilinmektedir.

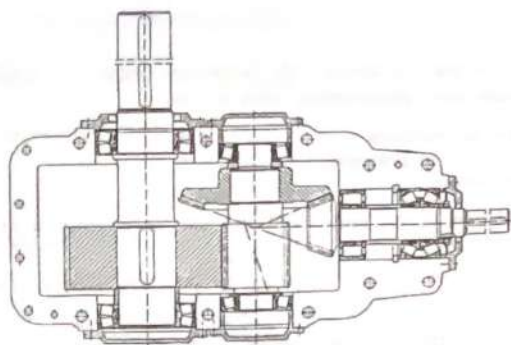
Şekil 28.50'den 28.55'e kadar çeşitli dışlı çark mekanizmalarına ait montaj resimleri görülmektedir.



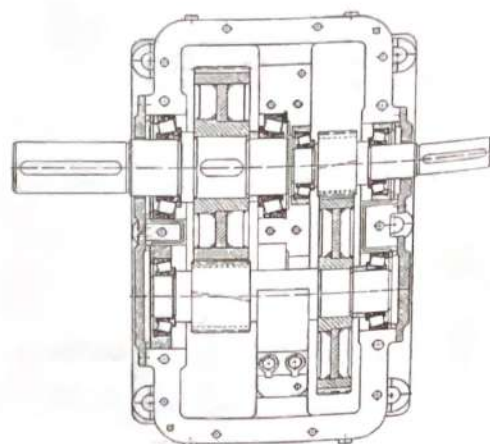
Şekil 28.50 Tek kademeli düz dışlı çark mekanizması



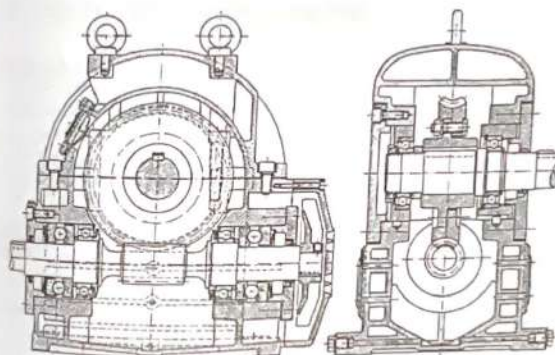
Şekil 28.51 Tek kademeli konik dışlı çark mekanizması



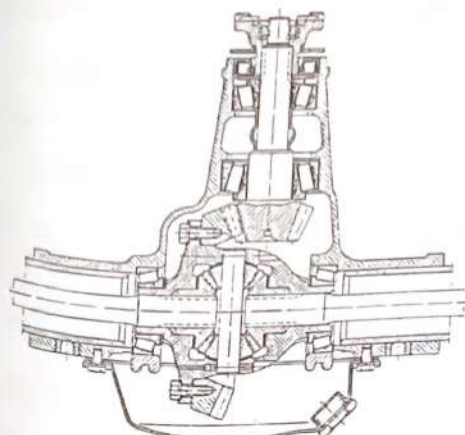
Şekil 28.52 Giriş-çıkış milileri aynı eksenli iki kademeli helisel dişli çark mekanizması



Şekil 28.53 İki kademeli konik-helisel dişli çark mekanizması



Şekil 28.54 Sonsuz viba mekanizması



Şekil 28.55 Binek otomobili diferansiyeli

29. DİŞLİ ÇARK PROBLEMLERİ

Problem 29.1

İng devir sayısı $n_1 = 1440 \text{ d/d}$ ve çıkış devir sayısı $n_2 = 335 \text{ d/d}$ olan bir dışlı mekanizmasının传递 the gütç 18 kW'tır. 20MnCr5 malzemesinden yapılan dişlerin $\psi = 1,25$ emniyetle çalışması istenen dişli çiftinin:

- Modülünü hesaplayınız.
- Beytalandırmasını yapınız.
- Kırılma tehlikesi olup olmadığını araştırınız.

Veriler

Dinamik yük faktörü $\xi = 1,25$, genişlik sayısı $\psi = 8$, elastiklik modülü $E = 21 \cdot 10^4 \text{ daN/mm}^2$, emniyetli yüzey basıncı değeri $p_{em} = 150 \text{ daN/mm}^2$, eğilme emniyeti $\sigma_{em} = 23 \text{ daN/mm}^2$, döndüren dişinin diş sayısı $z_1 = 16$, kavrama oranı $i_y = 1,3$, form faktörü $\gamma = 8,8$, $k = 1$.

Çözüm 29.1

A) Dişler sertleştirilmiş olduğuna göre modül, aşınmaya yani yüzey basıncına göre hesaplanmalıdır. %25 emniyetli çalışma durumunda iletilen moment:

$$k M_{hI} = k \cdot 97400 \cdot \frac{P}{n_1} = 1,25 \cdot 97400 \cdot \frac{18}{1440} \cong 1522 \text{ daNm}$$

(moment oranı)

$$I = \frac{n_1}{n_2} = \frac{1440}{335} \cong 4,3$$

% dişlerin her ikisi de çelik malzemeden yapılmış olduğuna göre eşdeğer elastiklik modülü $E = 21 \cdot 10^4 \text{ daN/mm}^2$ (Cetvel 28.5) alındığında dişlerin aşınmaya göre modülü

$$\begin{aligned} m &= q_1 \sqrt{\frac{c \cdot k \cdot M_{hI} \cdot E (1 + I)}{z_1^2 \cdot p_{em}^2 \cdot \psi \cdot I \cdot c_p}} \quad (\text{mm}) \\ &= q_1 \sqrt{\frac{1,25 \cdot 1 \cdot 1522 \cdot 21 \cdot 10^6 \cdot (1 + 4,3)}{(16)^2 \cdot (15000)^2 \cdot 8 \cdot 4,3 \cdot 1,3}} = 1,816 \text{ mm} \end{aligned}$$

Standart modül olarak $m = 2 \text{ mm}$ seçilir (Cetvel 28.8).

b) Dişilerin boyutlandırılması:

Diş sayıları

$$z_1 = 16 \text{ ve } z_2 = z_1 \cdot i = 16 \cdot 4,3 = 68,8 \cong 69$$

Yuvarlanma dairesi çapları

$$d_{a1} = m \cdot z_1 = 2,16 \cdot 32 = 69,96 \text{ mm}$$

$$d_{a2} = m \cdot z_2 = 2,69 \cdot 138 = 366,42 \text{ mm}$$

Diş başı daireseleri çapları

$$d_{b1} = d_{a1} + 2 \cdot m = 32 + 2,2 = 36 \text{ mm}$$

$$d_{b2} = d_{a2} + 2 \cdot m = 138 + 2,2 = 142 \text{ mm}$$

Diş taban dairesi çapları

$$d_{t1} = d_{a1} - 2,5 \cdot m = 32 - 2,5 \cdot 2 = 27 \text{ mm}$$

$$d_{t2} = d_{a2} - 2,5 \cdot m = 138 - 2,5 \cdot 2 = 133 \text{ mm}$$

Diş adımı (hatve)

$$l_a = \pi \cdot m = \pi \cdot 2 = 6,283 \text{ mm}$$

Genişlik

$$b_1 = b_2 = \psi l_a = \psi \cdot \pi \cdot m = 8 \cdot \pi \cdot 2 = 50,26 \cong 50 \text{ mm}$$

Toplam diş yüksekliği

$$h = 2,25 \cdot m = 2,25 \cdot 2 = 4,5 \text{ mm}$$

Diş kalınlığı

$$s_o = \frac{l_a}{2} = 3,141 \text{ mm}$$

Eksenler arası uzaklık

$$a_o = \frac{d_{a1} + d_{a2}}{2} = \frac{32 + 138}{2} = 85 \text{ mm}$$

c) Dişlerdeki kırılma, diş dibi mukavemetine bağlıdır. Diş dibi mukavemetine göre modül eşitliğinden

$$m = 6 \sqrt{\frac{k \xi M_{bl} \gamma}{z_1 \sigma_{em} \psi \varepsilon_p}} \quad (\text{mm})$$

ve

$$\left(\frac{m}{6}\right)^3 = \frac{k \xi M_{bl} \gamma}{z_1 \sigma_{em} \psi \varepsilon_p}$$

Sayısal değerler yerine yazılırsa

$$\sigma_{em} = \left(\frac{6}{2}\right)^3 \cdot \frac{1522,125 \cdot 8,8}{16.81,3} = 2716,55 \text{ daN/cm}^2$$

Görüldüğü gibi $\sigma_e = 2716,55 \text{ daN/cm}^2 > \sigma_{em} = 2300 \text{ daN/cm}^2$ olduğundan seçilen modül, dişlerin kırılması bakımından, yeterli değildir.

Kırılmaya (diş dibi mukavemetine) göre modül hesabı yapılırsa

$$m = 6 \sqrt{\frac{\xi k M_{bl} \gamma}{z_1 \sigma_{em} \psi \varepsilon_p}} = 6 \sqrt{\frac{1,25 \cdot 1522,8 \cdot 8,8}{16 \cdot 2300 \cdot 8,1,3}} = 2,114 \text{ mm}$$

Böylece standart modül $m = 2,5 \text{ mm}$ alınmalıdır (Cetvel 28.8). Bu durumda dişin boyutları

$$d_{a1} = 2,5 \cdot 16 = 40 \text{ mm}, \quad d_{a2} = 2,5 \cdot 69 = 172,5 \text{ mm}$$

$$d_{b1} = 40 + 2,5 \cdot 2,5 = 45 \text{ mm}, \quad d_{b2} = 172,5 + 2,5 \cdot 2,5 = 177,5 \text{ mm}$$

$$d_{t1} = 40 - 2,5 \cdot 2,5 = 33,75 \text{ mm}, \quad d_{t2} = 172,5 - 2,5 \cdot 2,5 = 166,25 \text{ mm}$$

$$h = 2,25 \cdot 2,5 = 5,625 \text{ mm}$$

$$l_a = \pi \cdot 2,5 = 7,85 \text{ mm}$$

$$s_o = \frac{7,85}{2} = 3,93 \text{ mm}$$

$$a_o = \frac{40 + 172,5}{2} = 106,25 \text{ mm}$$

olar.

Problem 29.2

$P = 8,5 \text{ BG}$ güç ileten $i = 3,5$ çevrim oranı elektrovincin 1. kademesi evolvent profili standart düz dişli mekanizmasıdır. Giriş devir sayısı 1350 d/d olduğuna göre diş çarkları boyutlandırarak etki eden kuvvetleri hesaplayınız.

Verilenler:

Darbe faktörü $k = 1,25$, dinamik yük faktörü $\xi = 1,1$, genişlik sayısı $\psi = 8$, kavrama oranı $\varepsilon_p = 1,2$, çark ve pinyon malzemeleri Fe60 ($\sigma_{em} = 1400 \text{ daN/cm}^2$ ve $\beta_m = 4000 \text{ daN/cm}^2$) ve pinyonun diş sayısı $z_1 = 18$ 'dır.

Çözüm 29.2

a) Diş çarklarının boyutları:
Standart dişlerde $\alpha_o = 20^\circ$ olup $z_1 = 18$ için Cetvel 28.3'den $\gamma = 8,4$ alınır. İletilen moment

$$M_{bl} = 71620 \cdot \frac{P}{n_1} = 71620 \cdot \frac{8,5}{1350} = 451 \text{ daNm}$$

a.1) Diş dibi mukavemetine göre modül

$$m = 6 \sqrt{\frac{k \xi M_{bl} \gamma}{z_1 \sigma_{em} \psi \varepsilon_p}} = 6 \sqrt{\frac{1,25 \cdot 1,1 \cdot 451 \cdot 8,4}{18 \cdot 1400 \cdot 8,1,2}} = 1,67 \text{ mm}$$

a.2) Aşınmaya göre modül

Her ikisi dişinin malzemesi çelik olduğundan $E = 2,1 \cdot 10^6 \text{ daN/cm}^2$ alınır (Cetvel 28.5). Bilinen büyüklükler modül eşitliğinde yerine yazılırsa

dişli çark problemleri

$$m = 9 \sqrt{\frac{k_{\xi} E M_b (l+1)}{z_1^2 \cdot P_{em}^2 \cdot \psi \cdot \varepsilon_p}} = 9 \sqrt{\frac{1,25 \cdot 1,1 \cdot 451 \cdot 2,1 \cdot 10^6 \cdot (3,5+1)}{(18)^2 \cdot (4000)^2 \cdot 3,5 \cdot 8,1 \cdot 2}} = 2,905 \text{ mm}$$

bulunur. Buradan standart modül olarak $m = 3 \text{ mm}$ seçilir ve böylece diş çitinin boyutları şı sekilde olur.

	<u>Pinyon</u>	<u>Cark</u>
Diş sayısı, z	18	63
Modül, $m \text{ (mm)}$	3	3
Diş adımı (takımat), $t_a \text{ (mm)}$	9,424	9,424
Genişlik, $b \text{ (mm)}$	75,4	75,4
Yuvarlanma dairesi çapı, $d_a \text{ (mm)}$	54	189
Diş başı dairesi çapı, $d_b \text{ (mm)}$	60	195
Diş taban dairesi çapı, $d_t \text{ (mm)}$	46,5	181,5
Toplam diş yüksekliği, $h \text{ (mm)}$	6,75	6,75
Eksenler arası uzaklık, $a_e \text{ (mm)}$	121,5	

b) Dişli çitine etkiyen kuvvetler
Teğetsel kuvvet

$$F_t = \frac{M_M}{d_{bl}/2} = \frac{2,451}{5,4} = 167 \text{ daN}$$

Radyal kuvvet

$$F_r = F_t \tan \alpha_i = 167 \tan 20^\circ = 61 \text{ daN}$$

Problem 29.3

Modülü 4 mm, genişliği 40 mm ve diş sayısı 18 olan bir dişli çarkın dişileri işletme esnasında kırılmıştır. Dişli çark dökme demirden ($DDL-25$) yapılmış olduğuna göre ne kadarlık bir momentle yüklenmiştir?

Verilenler: Darbe faktörü $k=1,5$; dinamik yük faktörü $\xi=1,25$ ve kavrama oranı $\varepsilon_p=1,3$.

Cözüm 29.3

Dişli çarkın dişleri kırıldıgına göre diş dibi mukavemeti esas alınmalıdır. Modül eşitliği

dişli çark problemleri

$$m = 6,3 \sqrt{\frac{k_{\xi} M_b \gamma}{z \sigma_{em} \psi \cdot \varepsilon_p}} \text{ (mm)}$$

Burada $z=18$ için $\gamma=8,4$ (Cetvel 28.3), $DDL-25$ için $\sigma_{em}=550 \text{ daN/cm}^2$ Cetvel 28.6) $\psi = \frac{b}{\pi m} = \frac{40}{\pi \cdot 4} = 3,2$ olduğuna göre dişli çarka etkiyen moment

$$M_b = \left(\frac{m}{6} \right)^3 \cdot \frac{z \cdot \sigma_{em} \psi \cdot \varepsilon_p}{k_{\xi} \gamma} = \left(\frac{4}{6} \right)^3 \cdot \frac{18 \cdot 550 \cdot 3,2 \cdot 1,3}{1,5 \cdot 1,25 \cdot 8,4} = 775 \text{ daNm}$$

dur.

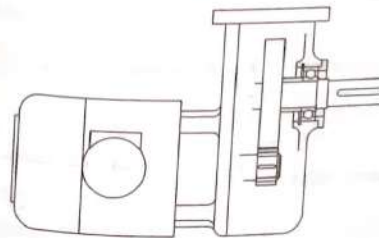
Problem 29.4

Şekil 29.4'de görülen motorlu reduktörün dişilerinin yanakları sertleştirilerek C22 yerine C10 malzemesi kullanılacaktır.

- Dişilerin genişliğini, eğilme zorlanmasımasına göre, hesaplayınız.
- Bu dişilerin yüzey ezmelmesine olan emniyetini bulunuz.

Verilenler

Diş sayıları $z_1=19$ ve $z_2=80$; modül $m=2,5 \text{ mm}$; teğetsel kuvvet $F_t=325 \text{ daN}$; kavrama oranı $\varepsilon_p=1,25$; malzeme emniyeti değerleri $\sigma_{em}=13500 \text{ daN/cm}^2$ ve $\sigma_{ez}=1150 \text{ daN/cm}^2$; işletmede darbe ve vuruntu yoktur.

**Şekil 29.4**

Çözüm 29.4
a) Eğilme sonucu dişilerin kırılması söz konusu olacağından, diş dibi mukavemeti kontroll edilmelidir. Buna göre modül eşitliği

$$m = 6\sqrt{\frac{k\xi M_{bl}\gamma}{z_1 \sigma_m \psi \varepsilon_p}} \quad (\text{mm})$$

Burada $k=1$, ve $\xi=1$, $m=2,5 \text{ mm}$, $z_1=19$ için $\gamma=8,25$ (Cetvel 28.3'ten doğrusal dönüşümle) ve $d_{el}=m.z_1=2,5.19=47,5 \text{ mm}$ için

$$M_{bl} = F_1 \cdot \frac{d_{el}}{2} = 325 \cdot \frac{47,5}{2} = 772 \text{ daNcm}$$

olduğuna göre genişlik sayısı

$$\psi = \left(\frac{6}{m}\right)^3 \frac{k\xi M_{bl}\gamma}{z_1 \sigma_m \varepsilon_p} = \left(\frac{6}{2,5}\right)^3 \frac{1.1.772.8,25}{19.1150.1,25} = 3,22$$

Böylece dişli çarkın genişliği

$$b = \psi \pi m = 3,22 \cdot \pi \cdot 2,5 = 25,3 \text{ mm}$$

olmalıdır.

b) Dişli çark malzemesi çelik olduğundan eşdeğer elastiklik modülü $E = 2,110^6 \text{ daN/cm}^2$, Çevrim oranı

$$i = \frac{z_2}{z_1} = \frac{80}{19} = 4,21$$

olduğundan yüzey ezilmesine göre modül yazarak

$$m = 9\sqrt{\frac{k\xi M_{bl} E (i+1)}{z_1^2 \rho^2 \lambda \psi \varepsilon_p}}$$

gereklili yüzey basıncı değeri

$$\rho = \sqrt{\left(\frac{9}{m}\right)^3 \frac{k\xi M_{bl} E (i+1)}{z_1^2 \lambda \psi \varepsilon_p}} = \sqrt{\left(\frac{9}{2,5}\right)^3 \frac{1.1.772.2.1.10^6.(4,21+1)}{(19)^2.4,21.3,22.1,25}} = 8026,26 \text{ daN/cm}^2$$

Böylece bu dişli çiftindeki ezilme emniyeti katsayısi

$$S = \frac{P_{em}}{P} = \frac{13500}{8026,26} = 1,68$$

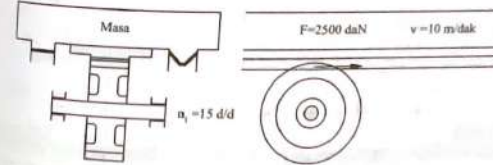
olar.

Problem 29.5

Bir planya masası bir kremayer dişlisini ile ileri - geri hareket ettilirmektedir (Şekil 29.5). Kremayeri döndürmen düz dişlinin modülü $m=4 \text{ mm}$ ve kavrama açısı $\alpha_c=20^\circ$ dir. Masanın $v=10 \text{ m/dak}$ lik bir hızla ileri - geri hareket edebilmesi için dişinin $n=15 \text{ d/d}$ lik bir hızla dönmesi gerekmektedir. Buna göre:

a) Kremayeri döndürmen dişinin temel boyutlarını hesaplayınız.

b) Planya masasının hareketi için 2500 daN luk bir itme kuvveti gerektiğine göre sistemi çalıştırın motorun gücü ne olmalıdır? Mekanizmanın toplam verimi $\eta_{top} = 0,85$ dir.



Şekil 29.5

a) Planya masasının hızı:

$$v = \frac{\pi d_o \cdot n}{60} \quad (\text{m/s})$$

Burada

$$v = 10 \text{ m/dak} = 0,167 \text{ m/s}$$

Sıfırına göre dişinin yuvarlanma dairesi çapı

$$d_o = \frac{60 \cdot v}{\pi \cdot n} = \frac{60 \cdot 0,167}{\pi \cdot 15} = 0,212m = 212 \text{ mm}$$

Dış bayısı

$$d_b = d_o + 2 \cdot m = 212 + 2 \cdot 4 = 220 \text{ mm}$$

Dış bagi diresi çapı

$$d_t = d_o - 2,5 \cdot m = 212 - 2,5 \cdot 4 = 202 \text{ mm}$$

Dış laban diresi çapı

$$r_o = \pi \cdot m = \pi \cdot 4 = 12,566 \text{ mm}$$

Dış adımı (taksimat)

Diş genişliği ($\psi = 6$ kabul edilirse) $b = \psi J_p = 6 \cdot 12,566 = 75,4 \text{ mm}$

b) Dişli eksenindeki döndürme momenti

$$M_b = F_t \cdot \frac{d_a}{2} = 2500 \cdot \frac{21,2}{2} = 26500 \text{ daNcm}$$

Dişli eksenindeki güç

$$P' = \frac{n M_b}{71620} = \frac{15.26500}{71620} = 5,55 \text{ BG}$$

ve motorun gücü

$$P = \frac{P'}{\eta_{ep}} = \frac{5,55}{0,85} = 6,53 \text{ BG}$$

olmalıdır.

Problem 29.6

Bir dişli çark etkilenen dış kuvveti $F_n = 400 \text{ daN}$ dur. Sıfır dışlısı olan bu çarkın dış sayısı $z = 20$, modülü $m = 10 \text{ mm}$ ve genişliği $b = 40 \text{ mm}$, emniyet gerilmesi $\sigma_{em} = 1,25 \text{ daN/mm}^2$, darbe faktörü $k = 1,25$, dinamik yük faktörü $\xi = 1,1$, kavrama oranı $\epsilon_p = 1,3$ ve form faktörü $\gamma = 8,1$ şeklindedir. Buna göre:

- a) Dişli çarka etkili eden döndürme momenti ne kadardır?
- b) Bu dişli çark $n = 900 \text{ d/d}$ ile dönerken ne kadarlık bir güç taşıyabilir?

Cözüm 29.6

a) Dişli çarka etkilenen döndürme momenti

$$M_s = F_s r_e = F_n \cos \alpha_e r_e$$

Burada

$$r_e = \frac{m z}{2} = \frac{10 \cdot 20}{2} = 100 \text{ mm}$$

olduğundan dişli çark eksenindeki döndürme momenti

$$M_s = 400 \cos 20 \cdot 10 = 3759 \text{ daNcm}$$

olarak,

b) Modül eşitliği

$$m = 6,3 \sqrt{\frac{k_s \xi M_b \gamma}{z \sigma_{em} \psi E_p}} \text{ (mm)}$$

Burada $\psi = \frac{b}{t} = \frac{40}{\pi \cdot 10} = 1,27$ değeri için dişli çarkın taşıyabileceği en büyük moment

$$M_b = \left(\frac{m}{6} \right)^3 \cdot \frac{z \cdot \sigma_{em} \psi \cdot E_p}{k_s \xi \gamma} = \left(\frac{10}{6} \right)^3 \cdot \frac{20 \cdot 1250 \cdot 1,27 \cdot 1,3}{1,25 \cdot 1,1 \cdot 8,1} = 17157 \text{ daNcm}$$

ve en büyük güç

$$P = \frac{n M_b}{71620} = \frac{900 \cdot 17157}{71620} = 215,6 \text{ BG}$$

olmaktadır.

Problem 29.7

İşlek 29.7'de görülen pinyon dişli mili ile yekpare (tek parça halinde) olarak imal edilmişdir. Bu mili emniyetle çalışılabilmesi için:

- a) En büyük dış kuvveti ne kadar olmalıdır?
- b) $m = 2,5 \text{ mm}$, $z = 20$, $n = 715 \text{ d/d}$ ve $\alpha_e = 20^\circ$ olduğuna göre, bu dişli çark kaç (kW) güç iletebilir? (Malzeme C45 - $\sigma_{em} = 4,5 \text{ daN/mm}^2$).

Cözüm 29.7

a) Dişli çarka etkilenen normal dış kuvveti (F_n) mili eğmeye zorlayacaktır.

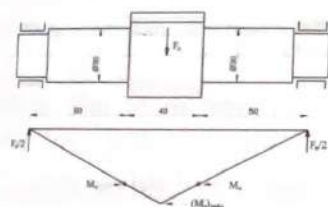
Makine eğilme gerilmesi

$$\sigma_e = \frac{M_e}{W_e} \leq \sigma_{em}$$

Burada $W_e = \frac{\pi (3)^3}{32} = 2,65 \text{ cm}^3$ olduğuna göre eğilme momenti

$$M_e = W_e \sigma_{em} = 2,65 \cdot 450 = 1193 \text{ daNcm}$$

Üzeri Diğer taraftan şekilde göre dişli çark, yatakların tam ortasındadır. Ancak eğilme momentinin dış genişliğince en büyük değerde etkidiği varsayılsa

dişli çark problemleri**Şekil 29.7**

$$M_e = \frac{F_e}{2} \cdot 5$$

yazılır ve buradan en büyük dış kuvveti (normal kuvvet)

$$F_e = \frac{2M_e}{5} = \frac{2 \cdot 1193}{5} = 477,2 \text{ daN}$$

b) Teğetsel kuvvet

$$F_t = F_e \cdot \operatorname{Cos}\alpha_e = 477,2 \cdot \operatorname{Cos}20 = 448,4 \text{ daN}$$

Diğer taraftan teğetsel kuvvet

$$F_t = \frac{2M_b}{d_a}$$

esitliğinde $d_a = m.z = 2,5 \cdot 20 = 50 \text{ mm}$ olduğuna göre döndürme momenti

$$M_b = F_t \cdot \frac{d_a}{2} = 448,4 \cdot \frac{5}{2} = 1121 \text{ daNcm}$$

$$\text{ve iletilen güç}$$

$$P = \frac{n \cdot M_b}{97400} = \frac{715,1121}{97400} = 8,23 \text{ kW}$$

olmaktadır.

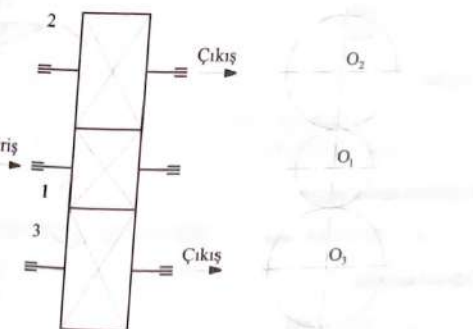
dişli çark problemleri**Problem 29.8**

Şekil 29.8'deki dişli takımı için verilenler: $m = 4 \text{ mm}$, $z_1 = 21$, $\alpha_o = 20^\circ$, $b = 30 \text{ mm}$, $k = 1,25$, $\xi = 1,1$, $\gamma = 8$, $\varepsilon_p = 1,25$, $n_1 = 800 \text{ d/d}$, $n_2 = 600 \text{ d/d}$, $n_3 = 400 \text{ d/d}$, $M_{b2} = 640 \text{ daNcm}$ ve $M_{b3} = 1400 \text{ daNcm}$ dir.

a) $\eta_{12} = \eta_{13} = 0,98$ olduğuna göre, giriş milindeki güç en az ne kadar olmalıdır?

b) A ve B yatakları arasındaki uzaklık 170 mm ve dişiler tam ortada yataklanmış olduğuna göre yataklara gelen kuvvetleri bulunuz.

c) 1 nolu dişli çarkın dış dibine etkiyen en büyük gerilmeleri hesaplayınız.

**Şekil 29.8**

Cözüm 29.8
a) Giriş milindeki güç

$$P_1 = \frac{P_2}{\eta_{12}} + \frac{P_3}{\eta_{13}}$$

Burada

$$P_2 = \frac{M_{b2} \cdot n_2}{71620} = \frac{640.600}{71620} = 5,36 \text{ BG}$$

$$P_3 = \frac{M_{b3} \cdot n_3}{71620} = \frac{1400.400}{71620} = 7,8 \text{ BG}$$

olduğuna göre

$$P_1 = \frac{5,36}{0,98} + \frac{7,8}{0,98} = 13,43 \text{ BG}$$

olar.

b) Çevrim oranları

$$i_1 = \frac{n_1}{n_2} = \frac{800}{600} = 1,34$$

$$i_2 = \frac{n_2}{n_3} = \frac{800}{400} = 2$$

Diş sayıları

$$z_2 = z_1 i_1 = 21,1 \cdot 1,34 = 28$$

$$z_3 = z_1 i_2 = 21,2 \cdot 2 = 42$$

Yuvarlanma dairesi çapları

$$d_{a1} = 21,4 = 84 \text{ mm}, d_{a2} = 28,4 = 112 \text{ mm} \text{ ve } d_{a3} = 42,4 = 168 \text{ mm}$$

Teğetsel kuvvetler

$$F_{a1} = \frac{M_{a1}}{d_{a1}/2} = \frac{2,640}{11,2} = 114,3 \text{ daN}$$

$$F_{a3} = \frac{M_{a3}}{d_{a3}/2} = \frac{2,1400}{16,8} = 166,7 \text{ daN}$$

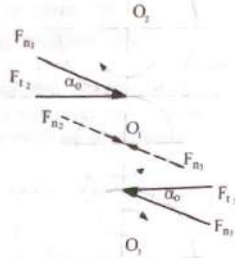
Dişe gelen normal kuvvet doğrudan yataklara etkiyeceğine göre,

$$F_{n1} = \frac{F_{a1}}{\cos \alpha_s} = \frac{114,3}{\cos 20} = 121,6 \text{ daN}$$

ve

$$F_{n3} = \frac{F_{a3}}{\cos \alpha_s} = \frac{166,7}{\cos 20} = 177,4 \text{ daN}$$

Bu iki kuvvet aynı düzlemede fakat zit yönlüdür. Dişliler yatakların tam ortasında olduğundan yatak kuvvetleri



$$F_s = F_p = \frac{177,4 - 121,6}{2} \cong 28 \text{ daN}$$

olar.

Diger bir yoldan:
Radial kuvvetler

$$F_{r1} = F_{a1} \cdot \tan \alpha_s = 114,3 \cdot \tan 20 = 41,6 \text{ daN}$$

$$F_{r3} = F_{a3} \cdot \tan \alpha_s = 166,7 \cdot \tan 20 = 60,7 \text{ daN}$$

Yataklara etkiyen kuvvetler

$$\begin{aligned} F_s &= F_p = \sqrt{\left(\frac{F_{r1} - F_{r3}}{2}\right)^2 + \left(\frac{F_{r3} - F_{r1}}{2}\right)^2} \\ &= \sqrt{\left(\frac{60,7 - 41,6}{2}\right)^2 + \left(\frac{166,7 - 114,3}{2}\right)^2} \cong 28 \text{ daN} \end{aligned}$$

olarak bulunur.

c) Diş dişi mukavemetine göre modül eşitliği

$$m = 6 \sqrt{\frac{k_s^2 M_h \cdot \gamma}{z \sigma \psi \epsilon_p}}$$

olup buradan

$$\sigma = \left(\frac{6}{m}\right)^2 \cdot \frac{k_s^2 M_h \cdot \gamma}{z \psi \epsilon_p}$$

Yazılır. Ayrıca $\psi = \frac{b}{t} = \frac{b}{\pi \cdot m} = \frac{30}{\pi \cdot 4} = 2,4$ olduğuna göre gerilimler

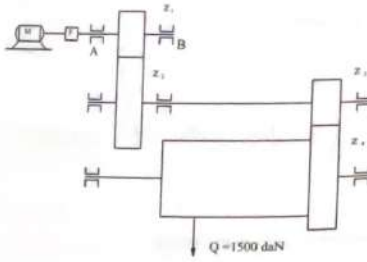
$$\sigma_{12} = \left(\frac{6}{4}\right)^2 \cdot \frac{1,25 \cdot 1,1 \cdot 640,8}{21,2 \cdot 4 \cdot 1,25} = 377,14 \text{ daN/cm}^2$$

$$\sigma_{32} = \left(\frac{6}{4}\right)^2 \cdot \frac{1,25 \cdot 1,1 \cdot 1400,8}{21,2 \cdot 4 \cdot 1,25} = 825 \text{ daN/cm}^2$$

Problem 29.9

Şekil 29.9'daki vinç yardımıyla yük 1 m/s hızla yukarı kaldırılmaktadır. Kullanılan düz dişlerin diş sayıları $z_1 = 18$, $z_2 = 81$, $z_3 = 20$ ve $z_4 = 80$ olup sistemin toplam verimi (tambur dahil) $\eta_t = 0,88$ dir. Kullanılan tamburun çapı 180 mm olduğuna göre:

- Sistemi çalıştıran motorun gücü ne olmalıdır? (Tambur çapı 180 mm dir.)
- Dışlerin modülü 4 mm ve kavrama açısı $\alpha_o = 20^\circ$ olduğuna göre giriş mili yataklarına etkiyen kuvvetleri hesaplayınız. z_1 dişli tam ortada yataklanmıştır.



Şekil 29.9

Cözüm 29.9

a) Yükü yukarı kaldırmak için gerekli güç (tamburda)

$$P_T = \frac{Q \cdot v}{\eta_t} = \frac{1500 \cdot 1}{0,88} = 20 \text{ BG}$$

Bir başka şekilde; tambur devir sayısı:

$$n_T = \frac{60 \cdot v}{\pi D_T} = \frac{60 \cdot 1}{\pi \cdot 0,18} = 106,1 \text{ d/d}$$

ve tamburdaki moment

$$M_{bT} = Q \cdot \frac{D_T}{2} = 1500 \cdot \frac{18}{2} = 13500 \text{ daNm}$$

olduğuna göre tamburdaki güç

$$P_T = \frac{M_{bT} \cdot n_T}{71620} = \frac{13500 \cdot 106,1}{71620} = 20 \text{ BG}$$

Motorun gücü

$$P_M = \frac{P_T}{\eta_t} = \frac{20}{0,88} = 22,73 \text{ BG} = 16,7 \text{ kW}$$

olmaktadır.

b) 1 no'lu dişideki teğetsel kuvvet

$$F_n = \frac{2 \cdot M_{bl}}{d_{01}}$$

$$\text{Burada } n_M = n_T j_{sys} = 106,1 \cdot \frac{81}{18} \cdot \frac{80}{20} = 1910 \text{ d/d için}$$

$$M_{bl} = 97400, \frac{P_M}{n_M} = 97400, \frac{16,7}{1910} = 852 \text{ daNm}$$

Yataklanma dairesi çapı $d_{01} = m \cdot z_1 = 4 \cdot 18 = 72 \text{ mm}$ ve böylece teğetsel kuvvet

$$F_n = \frac{2 \cdot 852}{7,2} = 236,7 \text{ daN}$$

Normal diş kuvveti

$$F_a = \frac{F_n}{\cos \alpha_o} = \frac{236,7}{\cos 20} = 252 \text{ daN}$$

Dış park şifinde $F_{n1} = F_{n2}$ olacağinden ve bu normal diş kuvveti doğrudan mil yataklarına etkiyeceğinden, yatak kuvvetleri (dişli çark tam ortada yataklanmış)

$$F_A = F_B = \frac{F_{n1}}{2} = \frac{252}{2} = 126 \text{ daN}$$

olarak

Problem 29.10
bir tır kırma makinasını çalıştıran motorun devir sayısını düşürmek için kullanılan 3 kademeeli reduktörün şematik görünümü Şekil 29.10'daki gibidir. Gerekli olan

dişli çark problemleri

güç $33,5 \text{ BG}$ olup giriş devir sayısı $n_1 = 950 \text{ d/d}$ ve çıkış devir sayısı $n_4 = 22,6 \text{ d/d}$ dir. Redüktörde birinci kademenin çevrim oranı $4,6$ ve $z_1 = 18$, ikinci kademenin çevrim oranı $3,5$, modülü $3,5 \text{ mm}$ ve $z_3 = 22$ 'dir.

- Birinci kademedeki dişlerin modülünü, kırılma tehlikesine karşı hesaplayınız. Dişli çiftinin malzemesi Fe42/DDL25 (Fe42 için $\sigma_{em} = 1000 \text{ daN/cm}^2$, $p_{em} = 3300 \text{ daN/cm}^2$), darbesiz çalışma söz konusu olup dinamik yük faktörü $\xi = 1,1$, genişlik sayısı $\psi = 10$, form faktörü $y = 8,4$ ve kavrama oranı $x_p = 1,35$ 'dir.
- 2 ve 3 nolu millerin dönme sayılarını bulunuz.
- Üçüncü kademenin çevrim oranını bulunuz.
- Üçüncü kademe dişlerinin modülü $m_3 = 4,5 \text{ mm}$ ve 4 nolu dişli ile 6 nolu dişlinin yuvarlanma (taksimat) dairesi çaplarının eşit olması durumunda z_5 ve z_6 dişlerinin diş sayıları ne olur?
- 3 ve 4 nolu dişler ile 3 nolu mil yataklarına etkiyen kuvvetleri hesaplayınız. Şekildeki dönme yönünü esas alarak bu dişlerin kavrama durumunda ve yataklardaki kuvvetlerin yönünü şekil çizerek gösteriniz.

Cözüm 29.10

- Dişlerin kırılmaması için yeterli dış dibi mukavemetine sahip olması gereklidir. Bu durumda modül eşitliği

$$m = b \sqrt{\frac{k_d M_H \cdot \gamma}{z_1 \cdot \sigma_{em} \cdot \psi \cdot x_p}} \quad (\text{mm})$$

burada $M_H = 71620 \cdot \frac{P}{n} = 71620 \cdot \frac{33,5}{950} = 2525,55 \text{ daNcm}$ olduğuna göre

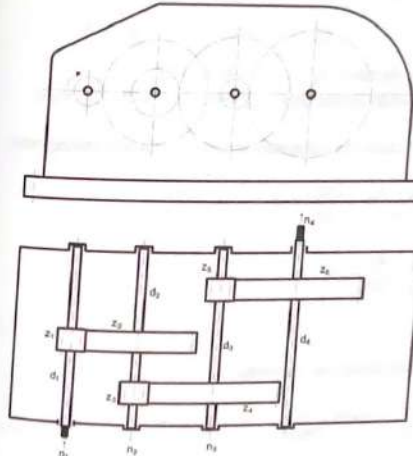
$$m = b \sqrt{\frac{1,1 \cdot 2525,55 \cdot 8,4}{18 \cdot 1000 \cdot 10 \cdot 1,35}} = 2,747 \quad (\text{mm})$$

Standart modül $m = 3 \text{ mm}$ alınır (Cetvel 28.8).

- 2 nolu milin dönme sayısı

$$\frac{n_2}{i_{12}} = \frac{n_1}{i_{12}} = \frac{950}{4,6} = 206,52 \text{ d/d}$$

3 nolu milin dönme sayısı

dişli çark problemleri

Şekil 29.10

$$n_3 = \frac{n_2}{i_{12}} = \frac{206,52}{3,5} = 59 \text{ d/d}$$

- Redüktörün toplam çevrim oranı

$$i_{np} = \frac{n_1}{n_4} = \frac{950}{22,6} = 42$$

İşte $i_{np} = i_{12} \cdot i_{34} \cdot i_{56}$ olduğuna göre buradan

$$i_{56} = \frac{i_{np}}{i_{12} \cdot i_{34}} = \frac{42}{4,6 \cdot 3,5} = 2,6$$

dişli çark problemleri

$$i_{36} = \frac{n_3}{n_4} = \frac{59}{22,6} = 2,6$$

bultur.

d) 4 nolu dişinin diş sayısı $z_4 = z_3 J_{34} = 22 \cdot 3,5 = 77$

Yuvarlanma (takısimat) dairesi çapı: $d_{o4} = m_2 \cdot z_4 = 3,5 \cdot 77 = 269,5 \text{ mm}$

6 nolu dişinin yuvarlanma (takısimat) dairesi çapı da aynı olacağından

$$z_6 = \frac{d_{o4}}{m_3} = \frac{269,5}{4,5} \approx 60$$

vb

$$z_5 = \frac{z_6}{i_{36}} = \frac{60}{2,6} = 23$$

olur.

e) 2 nolu mildedeki döndürme momenti

$$M_{b2} = 71620 \cdot \frac{P}{n_2} = 71620 \cdot \frac{33,5}{206,52} = 11617,6 \text{ daNm}$$

Ayrıca $d_{o3} = m_2 \cdot z_3 = 3,5 \cdot 22 = 77 \text{ mm}$ olup böylece teğetsel ve radyal kuvvetler

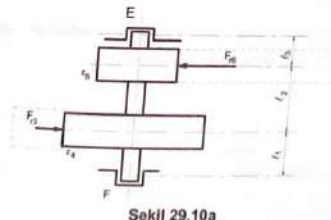
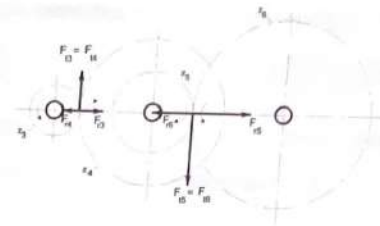
$$F_{r3} = \frac{2 \cdot M_{b2}}{d_{o3}} = \frac{2 \cdot 11617,6}{7,7} = 3017,55 \text{ daN}$$

$$F_{r3} = F_{r3} \cdot \tan \alpha_o \quad \alpha_o = 20^\circ \text{ standart sıfır dişli}$$

$$F_{r3} = 3017,55 \cdot \tan 20^\circ = 1098,3 \text{ daN}$$

3 nolu mildedeki döndürme momenti

$$M_{b3} = 71620 \cdot \frac{33,5}{59} = 40665,6 \text{ daNm}$$

dişli çark problemleri

Şekil 29.10a

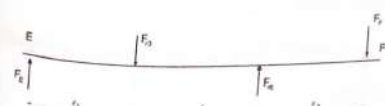
$$d_{o5} = m_3 \cdot z_5 = 4,5 \cdot 23 = 103,5 \text{ mm}$$

5 nolu dişlideki teğetsel ve radyal kuvvetler

$$F_{r5} = \frac{2 \cdot M_{b3}}{d_{o5}} = \frac{2 \cdot 40665,6}{10,35} = 7858 \text{ daN}$$

$$F_{r5} = F_{r3} \cdot \tan \alpha_o = 7858 \cdot \tan 20 = 2860 \text{ daN}$$

Burada $F_{r5} = F_{r6}$ olduğu unutulmamalıdır. Böylece E ve F yataklarına etkilen kuvvetler



yatağındaki toplam kuvvet, $\Sigma M_E = 0$ için,

dişli çark problemleri

$$F_{r3}\ell_1 - ((\ell_1 + \ell_2)F_{r6}) + F_F(\ell_1 + \ell_2 + \ell_3) = 0 \text{ eşitliğinden}$$

$$F_F = \frac{F_{r6}(\ell_1 + \ell_2) - F_{r3}\ell_1}{\ell_1 + \ell_2 + \ell_3}$$

E yatağındaki toplam kuvvet ($\Sigma Y = 0$)

$$F_E - F_{r3} + F_{r6} - F_F = 0 \text{ eşitliğinden}$$

$$F_E = F_{r3} - F_{r6} + F_F$$

olarak hesaplanır. Ancak burada F_E ve F_F kuvvetlerinin yönü F_{r3} ve F_{r6} kuvvetlerinin büyüklüğe bağlı olarak değişimelidir.

Problem 29.11

Bir helisel dişli çiftinde $n_1 = 1500 \text{ d/d}$, $P = 40 \text{ BG}$, $z_1 = 16$, $i = 6$, $m_a = 4,5 \text{ mm}$ (standart modül) ve $\beta_a = 20^\circ$ olduğuna göre:

- a) Dişli çiftini boyutlandırınız.
- b) Sınır diş sayısını bulunuz.
- c) Dişli çiftine etki eden kuvvetleri hesaplayınız.

Cözüm 29.11

- a) Dişli çiftinin boyutları

Alin modülü

$$m_a = \frac{m}{\cos \beta_a} = \frac{4,5}{\cos 20} = 4,789 \text{ mm}$$

Diş sayıları

$$z_1 = 16 \text{ ve } z_2 = i \cdot z_1 = 6 \cdot 16 = 96$$

Burada $z_2 = 95$ alındı. Taksimat dairesi çapları

$$d_{a1} = m_a \cdot z_1 = 4,789 \cdot 16 = 76,62 \text{ mm ve } d_{a2} = m_a \cdot z_2 = 4,789 \cdot 95 = 454,96 \text{ mm}$$

Dişbaşı dairesi çapları

$$d_{b1} = d_{a1} + 2 \cdot m_a = 76,62 + 2 \cdot 4,5 = 85,62 \text{ mm}$$

$$d_{b2} = d_{a2} + 2 \cdot m_a = 454,96 + 2 \cdot 4,5 = 463,96 \text{ mm}$$

dişli çark problemleri

Dış taban dairesi çapları

$$\begin{aligned} d_{t1} &= d_{a1} - 2 \cdot 1,25 \cdot m_a = 76,62 - 2 \cdot 1,25 \cdot 4,5 = 65,37 \text{ mm} \\ d_{t2} &= d_{a2} - 2 \cdot 1,25 \cdot m_a = 454,96 - 2 \cdot 1,25 \cdot 4,5 = 443,71 \text{ mm} \end{aligned}$$

Alin kavrama açısı

$$\tan \alpha_a = \frac{\tan \alpha_{\infty}}{\cos \beta_a} = \frac{\tan 20}{\cos 20} = 0,3873$$

Buradan $\alpha_a = 22,19^\circ (= 22^\circ 11' 24'')$ olur. Temel dairesi çapları

$$\begin{aligned} d_{e1} &= d_{a1} \cdot \cos \alpha_a = 76,62 \cdot \cos 22,19 = 70,95 \text{ mm} \\ d_{e2} &= d_{a2} \cdot \cos \alpha_a = 454,96 \cdot \cos 22,19 = 421,26 \text{ mm} \end{aligned}$$

Genişlik

$b = \psi \cdot \pi \cdot m_a$ eşitliğinde $\psi = 12$ alınırsa (iyi işlenmiş ve iki taraflı yataklanmış öplik)

$$b = 12 \cdot \pi \cdot 4,5 = 169,65 \text{ mm}$$

Eksenler arası uzaklık

$$a_a = \frac{d_{a1} + d_{a2}}{2} = \frac{76,62 + 454,96}{2} = 265,79 \text{ mm}$$

b) Sınır diş sayısı
Düz dişlerde (helisel dişinin eşdeğeri olan düz dişlide)

teorik sınır diş sayısı $z_s = 17$

pratik sınır diş sayısı $z_e = 14$

olduğuna göre, pratik sınır diş sayısı göz önüne alınarak,

$$z_{ae} = z_e \cdot \cos^2 \beta_a = 14 \cdot (\cos 20)^2 = 11,616$$

dişli çark problemleri

c) Dişli çiftine etkiyen kuvvetler

$$M_{\text{bl}} = 71620 \cdot \frac{P}{n_1} = 71620 \cdot \frac{40}{1500} = 1910 \text{ daNm}$$

Teğetsel kuvvet

$$F_t = F_r \cdot \tan \beta_o = 498,6 \cdot \tan 20 = 181,5 \text{ daN}$$

Eksenel kuvvet

$$F_a = F_r \cdot \tan \alpha_m = 498,6 \cdot \tan 20 = 193 \text{ daN}$$

Radyal kuvvet

$$F_r = F_a \cdot \frac{\tan \alpha_m}{\cos \beta_o} = 498,6 \cdot \frac{\tan 20}{\cos 20} = 193 \text{ daN}$$

Problem 29.12

Bir helsel dişli mekanizmasında 960 d/d' da iletilen güç 4 kW'tır. Mekanizmada dişli çarkların eksenleri arasındaki mesafenin 108 mm'den büyük olmaması istenmektedir. Buna göre:

- a) Disilere diş sayısı ne olmalıdır?
- b) İmal edilecek disilerein taslaç boyutları ne olmalıdır?
- c) Dişli çark çiftinin kavrama oranı nedir?
- d) Disilere etkiyen kuvvet ne kadardır?

Verilenler: Modül $m_a = 2,5 \text{ mm}$, eğim açısı $\beta_o = 15^\circ$, çevrim oranı $i = 4,05$ ve genişlik sayısı $\psi = 10$.

Cözüm 29.12

- a) Alın modülü

$$m_s = \frac{m_a}{\cos \beta_o} = \frac{2,5}{\cos 15^\circ} = 2,588 \text{ mm}$$

Eksenler arası uzaklık: $a_o = m_a \left(\frac{z_1 + z_2}{2} \right)$ ve çevrim oranı $i = \frac{z_1}{z_2}$ eşitlikleri yardımıyla

dişli çark problemleri

$$z_1 = \frac{2 \cdot a_o}{m_a \cdot (i+1)} = \frac{2 \cdot 108}{2,588 \cdot (4,05+1)} = 16,52$$

$z_1 = 16$ alınırsa $z_2 = 16 \cdot 4,05 = 64,8 \approx 65$ olur.

b) Dişli çarkların taslaç (ham dişli) boyutları; talaş alma ve tolerans durumları da göz önünde bulundurularak dış üstü çapı ve genişlikleri esas alınarak hazırlanmalıdır. Dış üstü çapları

$$\begin{aligned} d_{s1} &= d_{e1} + 2 \cdot m_a = m_a \cdot z_1 + 2 \cdot m_a = 2,588 \cdot 16 + 2 \cdot 2,5 = 46,4 \text{ mm} \\ d_{s2} &= d_{e2} + 2 \cdot m_a = 2,588 \cdot 65 + 2 \cdot 2,5 = 173,22 \text{ mm} \end{aligned}$$

$$\text{Genişlik: } b_1 = b_2 = \psi \cdot i \cdot a_o = 10 \cdot \pi \cdot 2,5 = 78,54 \text{ mm}$$

D' halde taslaç dişli çarklar $d'_{s1} = 50 \text{ mm}$, $d'_{s2} = 175 \text{ mm}$ çaplarında silindirik matzemden $b'_1 = b'_2 = 80 \text{ mm}$ genişlikte kesilerek hazırlanmalıdır.

c) Helsel dişli çarklarda profil ve atlama karama oranları birlikte göz önüne alınmalıdır. Bu durumda kavrama oranı eşitliği

$$\varepsilon_{sp} = \varepsilon_r + \varepsilon_a = \frac{\sqrt{(d_{s1})^2 - (d_{e1})^2} + \sqrt{(d_{s2})^2 - (d_{e2})^2} - 2 \cdot a_o \cdot \sin \alpha_m}{2 \cdot \pi \cdot m_a \cdot \cos \alpha_m} + \frac{6 \cdot \sin \beta_o}{\pi \cdot m_a}$$

bulundurulmaktadır. Burada standart normal kavrama açısı $\alpha_{no} = 20^\circ$ olduğundan alınan kavrama açısı

$$\tan \alpha_m = \frac{\tan \alpha_{no}}{\cos \beta_o} = \frac{\tan 20^\circ}{\cos 15^\circ} = 0,3768 \text{ ve } \alpha_{mo} = 20,64^\circ$$

Böylece temel dairesi çapları

$$\begin{aligned} d_{r1} &= d_{s1} \cdot \cos \alpha_m = m_a \cdot z_1 \cdot \cos \alpha_m \\ &= 2,588 \cdot 16 \cdot \cos 20,64 = 38,748 \text{ mm} \\ d_{r2} &= 2,588 \cdot 65 \cdot \cos 20,64 = 157,42 \text{ mm} \end{aligned}$$

olduğuna göre profil kavrama oranı

$$\varepsilon_s = \frac{\sqrt{(46,4)^2 - (38,748)^2} + \sqrt{(173,22)^2 - (157,42)^2} - 2 \cdot 108 \cdot \sin 20^\circ}{2 \cdot \pi \cdot 2,5 \cdot \cos 20^\circ}$$

dişli çark problemleri

$$\varepsilon_p = \frac{25,52 + 72,27 - 73,87}{14,76} = 1,62$$

Altıma kavrama oranı:

$$\varepsilon_{ep} = \frac{6 \cdot \sin \beta_e}{\pi \cdot m_e} = \psi \cdot \sin \beta_e = 10 \cdot \sin 15^\circ = 2,588$$

Toplam kavrama oranı:

$$\varepsilon_{ep} = \varepsilon_p + \varepsilon_B \\ = 1,62 + 2,588 = 4,208 \text{ mm}$$

d) Dişli çarkta döndürme momenti

$$M_{B1} = 97400 \cdot \frac{P}{n} \\ = 97400 \cdot \frac{4}{960} = 405,8 \text{ daNm}$$

olduğuna göre dişli çarka etkiyen tegetsel kuvvet

$$F_t = \frac{2 \cdot M_{B1}}{d_a} = \frac{2 \cdot 405,8}{0,2588 \cdot 16} = 196 \text{ daN}$$

ve dişli çarka etkiyen diş kuvveti (normal kuvvet)

$$F_n = \frac{F_t}{(\cos \alpha_m \cos \beta_e)} = \frac{196}{\cos 20^\circ \cos 15^\circ} \approx 216 \text{ daN}$$

olmaktadır.

Problem 29.13

$P = 22,4 \text{ BG}$ kapasitesindeki tek kademeli bir helisel dişli mekanizmasında giriş devir sayısı $n_1 = 1400 \text{ d/d}$ ve çıkış devir sayısı $n_2 = 560 \text{ d/d}$ dir. Takım tezgahının ana tahrîk mekanizması türünden olan ve sıfır dişlerinden oluşan mekanizmayı projelendiriniz ($a_o = 125 \text{ mm}$).

Cözüm 29.13

a) Dişlerin temel boyutları
Seçilen değerler ve yapılan kabuller:

dişli çark problemleri

Pinyon diş sayısı: $z_1 = 22$

Helis eğim açısı: $\beta_o = 22,5^\circ$

Darbe faktörü: $k = 1,25$

Dinamik yük faktörü: $\xi = 1,1$

Malzeme: (Cetvel 28.6) Pinyon Fe50 ve çark DDL-25
Fe50 için (Cetvel 28.6): $\sigma_{em} = 1200 \text{ daN/cm}^2$

$$P_{em} = 3400 \text{ daN/cm}^2$$

Kavrama oranı $\varepsilon_p = 1,53$ ($\beta_o = 22,5^\circ$ için Cetvel 28.10)

Form faktörü $\gamma_a = 7,9$ ($z_e = z_i / \cos \beta_e$ için Cetvel 28.3)

Genişlik sayısı $\psi = 12$ (iki taraflı yataklanmış ve iyi işlenmiş helisel dişli)

Elastiklik modülü $E = 1,59 \cdot 10^6 \text{ daN/cm}^2$ (Fe/DDL için Cetvel 28.5)

Pinyon milindeki döndürme momenti

$$M_{B1} = 71620 \cdot \frac{P}{n_1} = 71620 \cdot \frac{22,4}{1400} = 1146 \text{ daNm}$$

1.) Diş dibi mukavemetine göre modül hesabı:

$$m_{s1} = 6,1 \sqrt{\frac{k \cdot \xi \cdot M_{B1} \cdot \gamma \cdot \cos \beta_e}{z_1 \cdot \sigma_{em} \cdot \psi \cdot \varepsilon_p}} = 6 \sqrt{\frac{1,25 \cdot 1,1 \cdot 1146 \cdot 7,9 \cdot \cos 22,5}{22 \cdot 1200 \cdot 12 \cdot 1,53}} = 1,72 \text{ mm}$$

2.) Aşınmaya göre modül hesabı:

$$m_{s2} = 9,1 \sqrt{\frac{k \cdot \xi \cdot M_{B1} \cdot E \cdot (i+1) \cdot \cos^4 \beta_e}{z_1^2 \cdot P_{em}^2 \cdot \psi \cdot \varepsilon_p}} \\ m_{s2} = 9,1 \sqrt{\frac{1,25 \cdot 1,1 \cdot 1146 \cdot 1,59 \cdot 10^6 \cdot (2,5+1) \cdot (\cos 22,5)^4}{(22)^2 \cdot (3400)^2 \cdot 2,5 \cdot 12 \cdot 1,53}} = 2,63 \text{ mm}$$

Eşitlikte çevrim oranı $i = n_1/n_2 = 1400/560 = 2,5$ dir.
80/laço standart modül olarak (normal modül) $m_n = 3 \text{ mm}$ seçilir. Alın modülü

$$m_e = \frac{m_s}{\cos \beta_e} = \frac{3}{\cos 22,5} = 3,247 \text{ mm}$$

Nom kavrama açısı

dişli çark problemleri

$$\tan \alpha_{\text{m}} = \frac{\tan \alpha_{\text{ao}}}{\cos \beta_{\text{o}}} = \frac{\tan 20}{\cos 22,5} = 0,3939 \quad \text{ve} \quad \alpha_{\text{ao}} = 21,5^\circ$$

a.3) Temel boyutlar

	Pinyon	Cark
Diş sayıları, z	22	55
Taksimat dairesi çapı, d_a (mm)	71,44	178,6
Diş başı dairesi çapı, d_b (mm)	77,44	184,6
Diş taban dairesi çapı, d_t (mm)	63,94	171,1
Temel dairesi çapı, d_s (mm)	66,47	166,17
Standart (normal) modül, m_n (mm)	3	
Genişlik, b (mm)	113	
Taksimat, t_a (mm)	9,42	
Diş başı boşluğu, S_B (mm)	0,75	
Eksenler arası uzaklık, a_o (mm)	125	

b) Mil çapı

Pinyon dişli ile giriş mili tek parça olarak imal edilecektir. Ön boyutlandırma, Fe50 mil malzemesi için, giriş mili çapı

$$d_1 = 134,4 \sqrt{\frac{P}{n_1}} = 134,4 \sqrt{\frac{22,4}{1400}} = 33,87 \text{ mm}, \quad d_1 = 35 \text{ mm}$$

olar. Çıkış mili çapı (Fe50 malzemesi)

$$d_2 = 134,4 \sqrt{\frac{P}{n_2}} = 134,4 \sqrt{\frac{22,4}{560}} = 46 \text{ mm}, \quad d_2 = 50 \text{ mm}$$

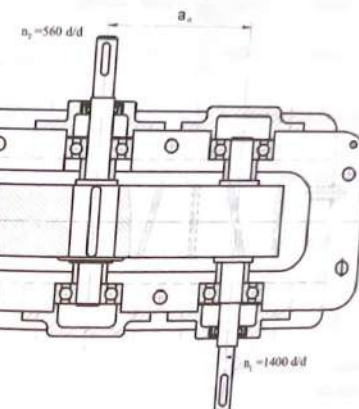
alınır.

c) Yatak kuvvetleri

Bulunan boyutlara göre, Şekil 29.13 'deki gibi bir toplu resim çizildiğinde, yataklar arası uzaklık $\ell = 270 \text{ mm}$ alınabilir.

Daklı çarkların yatakları göre simetrik olarak yerleştirildiğini varsayıyalım. Teğetsel kuvvet

$$F_t = \frac{2M_{B1}}{d_{st}} = \frac{2 \cdot 1146}{7,144} = 321 \text{ daN}$$

dişli çark problemleri

Şekil 29.13

Radyal kuvvet

$$F_r = F_t \cdot \frac{\tan \alpha_{\text{m}}}{\cos \beta_{\text{o}}} = 321 \cdot \frac{\tan 20}{\cos 22,5} = 126,5 \text{ daN}$$

Eksenel kuvvet

$$F_x = F_r \cdot \tan \beta_{\text{o}} = 321 \cdot \tan 22,5 = 133 \text{ daN}$$

F_x eksenel kuvveti nedeniyle oluşan radyal kuvvet

$$F'_r = F_x \cdot \frac{d_{st}/2}{\ell} = 133 \cdot \frac{7,144}{2,27} = 17,6 \text{ daN}$$

En büyük eğilmenin teğetsel kuvvet etkisinde oluşacağı açıkları.

$$(M_s)_{\text{maks}} = \frac{F_x}{2} \cdot \frac{\ell}{2} = \frac{321}{2} \cdot \frac{27}{2} = 2167 \text{ daNmcm}$$

Buruşma momentleri

dişli çark problemleri

$$M_M = 71620 \cdot \frac{P}{n_1} = 71620 \cdot \frac{22,4}{1400} = 1146 \text{ daNm}$$

$$M_{B2} = 71620 \cdot \frac{P}{n_2} = 71620 \cdot \frac{22,4}{560} = 2865 \text{ daNm}$$

A yatağındaki radyal kuvvet

$$F_A = \sqrt{\left(\frac{F_r}{2} + F'_r\right)^2 + \left(\frac{F_t}{2}\right)^2} = \sqrt{\left(\frac{126,5}{2} + 17,6\right)^2 + \left(\frac{321}{2}\right)^2} = 180 \text{ daN}$$

B yatağındaki radyal kuvvet

$$F_B = \sqrt{\left(\frac{F_r}{2} - F'_r\right)^2 + \left(\frac{F_t}{2}\right)^2} = \sqrt{\left(\frac{126,5}{2} - 17,6\right)^2 + \left(\frac{321}{2}\right)^2} = 167 \text{ daN}$$

Benzer olarak C yatağındaki radyal kuvvet $F_C = F_A = 180 \text{ daN}$ ve D yatağındaki radyal kuvvet de $F_D = F_B = 167 \text{ daN}$ olur.

d) Bileşik zırınlamaya göre mil çapı hesabı

Giriş mili: en büyük eğilme momenti $M_e = 2167 \text{ daNm}$ ve burulma momenti $M_M = 1146 \text{ daNm}$ olduğuna göre eşdeğer moment

$$M_{eq} = \sqrt{M_e^2 + \frac{1}{2} M_M^2} = \sqrt{(2167)^2 + \frac{1}{2} (1146)^2} = 2313,6 \text{ daNm}$$

Fe50 mil malzemesi için $\sigma_{ezm} = 630 \text{ daN/cm}^2$ (Cetvel 19.1- Cill 1)

$$d_1 = \sqrt{\frac{32 \cdot M_{eq}}{\pi \cdot \sigma_{ezm}}} = \sqrt{\frac{32 \cdot 2313,6}{\pi \cdot 630}} = 3,344 \text{ cm}$$

Böylece standart çap $d_1 = 35 \text{ mm}$ alınır.

Çıkış mili: en büyük eğilme momenti $M_e = 2167 \text{ daNm}$ ve burulma momenti $M_{B2} = 2865 \text{ daNm}$ için eşdeğer moment

dişli çark problemleri

$$M_{eq} = \sqrt{(2167)^2 + \frac{1}{2} (2865)^2} = 2966,5 \text{ daNm}$$

Mil çapı (Fe50 malzemesi için)

$$d_2 = \sqrt[3]{\frac{32 \cdot 2966,5}{\pi \cdot 630}} = 3,633 \text{ cm}$$

Buradan standart mil çapının $d_2 = 40 \text{ mm}$ alınmasının yeterli olduğu görülür. Bu durumda özn boyutlandırma yaparken sadece burulmaya göre bulduğumuz mil çaplarının esas alınmasının uygun olacağı ortadadır.

a) Yatak seçimi

Mekanizmada sabit bilyali yataklar kullanılacaktır. Yatak seçimi yapılırken en büyük radyal kuvveti taşıyan A ve C yatakları aynı zamanda $F_a = 133 \text{ daN}$ luk esnek kuvveti de taşıyorken kabul edilerek hesap yapılacaktır. Sonuçta B yatağı, A yatağının ve D yatağı da C yatağının aynısı olarak alınmalıdır.

Giriş mili yatağı (A ve B yatakları):

$$d_1 = 35 \text{ mm} \text{ mil çapı için SKF yatak kataloğuundan,}$$

$$D = 80 \text{ mm}$$

$$B = 21 \text{ mm}$$

$$C = 2550 \text{ daN}$$

$$C_v = 1800 \text{ daN}$$

dan 6307 nolu yatağı seçelim. Bu yataktakı

$$\frac{F_d}{C_v} = \frac{133}{1800} = 0,073$$

$\frac{F_d}{C_v} = 0,07$ değeri için $e = 0,27$

$$\frac{F_d}{F_r} = \frac{F_d}{F_A} = \frac{133}{180} = 0,74 > e = 0,27$$

Bölgede dinamik eşdeğer yük için katalogdan $X = 0,56$ ve $Y = 1,6$ alınır. Böylece

$$P = X \cdot F_r + Y \cdot F_a = 0,56 \cdot 180 + 1,6 \cdot 133 = 313,6 \text{ daN}$$

dışı çark problemleri

Yatağın ömrü

$$L = \left(\frac{C}{F} \right)^e \quad (\text{milyon devir})$$

Burada $e = 3$ (bilyalı yatak) olduğuna göre

$$L = \left(\frac{2550}{313,6} \right)^3 = 537,6 \text{ milyon devir}$$

veya

$$L_h = \frac{L \cdot 10^6}{60 \cdot n} = \frac{537,6 \cdot 10^6}{60 \cdot 1400} = 6400 \text{ saat}$$

Çıkış mili yatağı (C ve D yatakları);

$d_2 = 50 \text{ mm}$ için yine *SKF* yatak kataloğundan,
 $D = 80 \text{ mm}$

$B = 16 \text{ mm}$

$C = 1660 \text{ daN}$

$C_n = 1330 \text{ daN}$

olan 6010 nolu yatağı seçelim. Bu yataktakı

$$\frac{F_d}{C_n} = \frac{133}{1330} = 0,1$$

Böylece $\frac{F_d}{C_n} = 0,13$ için $e = 0,31$

$$\frac{F_d}{F_r} = \frac{133}{180} = 0,74 > e = 0,31$$

O halde $X = 0,56$ ve $Y = 1,4$ olur. Dinamik eşdeğer yük

$$F = 0,56 \cdot 180 + 1,4 \cdot 133 = 287 \text{ daN}$$

Yatağın ömrü

$$L = \left(\frac{1660}{287} \right)^3 = 193,5 \text{ milyon devir}$$

dışı çark problemleri

$$L_h = \frac{193,5 \cdot 10^6}{60 \cdot 560} = 5760 \text{ saat}$$

dur.

1) Feder hesabı

Sadece çıkış mili üzerinde feder bulunmaktadır. Feder malzemesi olarak *Fe60* seçilirse $r_m = 300 \text{ daN/cm}^2$ ve göbek (dışı çark) malzemesi *DDL-25* için $p_m = 500 \text{ daN/cm}^2$ alınır (Cilt I-Cetvel 15.4 ve 15.5). $d_2 = 50 \text{ mm}$ mil çapı için (Cilt I-Cetvel 15.3) $b \cdot h = 14,9 \text{ mm} \cdot \text{mm}$, $t_1 = 5,5 \text{ mm}$ ve $t_2 = 2,9 \text{ mm}$

Mildekî teşitsel kuvvet

$$F_t = \frac{2 \cdot M_{b2}}{d_2} = \frac{2 \cdot 2865}{5} = 1146 \text{ daN}$$

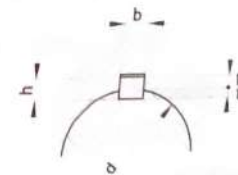
1.1) Federin kesilmesine göre

$$r_b = \frac{F_t}{b \cdot \ell} \leq r_m$$

Buradan feder uzunluğu olarak

$$\ell \geq \frac{1146}{1,4 \cdot 300} = 2,73 \text{ cm}$$

bulunur.



1.2) Göbekin ezilmesine göre

$$p_m = \frac{F_t}{t_2 \cdot \ell} \leq p_m$$

Böylece federin uzunluğu

$$\ell \geq \frac{1146}{0,29 \cdot 500} = 7,9 \text{ cm}$$

Sonuç olarak feder uzunluğunu $\ell = 100 \text{ mm}$ seçebiliriz. Bu değer dişli çarkın sınırlığından ($b = 113 \text{ mm}$) daha küçük olduğu için uygundur.

Problem 29.14

İki helisel dişinden oluşan bir reduktörde diş malzemeleri Fe70 ve DDL-25 olup pinyonun diş sayısı $z_1 = 18$, helis eğim açısı $\beta_o = 15^\circ$, genişlik $b = 60 \text{ mm}$, standart modül $m_n = 4 \text{ mm}$, pinyon devir sayısı $n_1 = 700 \text{ d/d}$ ve çevrim oranı $i = 4,5$ 'dir. İşleme esnasında büyük dişli çarkın dişlerinden birisi kırılmıştır. Buna göre:

- Mekanizmanın iletiği gücü bulunuz ($\sigma_{em} = \frac{\sigma_K}{4}$ alınacaktır).
- Büyük dişliye etkiyen kuvvetleri bulunuz ve şekil çizerek gösteriniz.

Bilinenler: Darbe faktörü $k = 1,25$; dinamik yük faktörü $\xi = 1,1$; kavrama oranı $r_p = 1,65$ ve mekanizmanın verimi $\eta = 0,94$ dür.

Cözüm 29.14

a) Burada kırılan çark (büyük dişli) olduğuna göre, çarkın diş dibinde mukavemeti esas alınmalıdır. Çark malzemesinin emniyeti

$$\sigma_{em} = \frac{\sigma_K}{4} = \frac{25}{4} = 6,25 \text{ daN/mm}^2$$

Çarkın diş sayısı

$$z_2 = kz_1 = 4,5 \cdot 18 = 81$$

Genişlik sayısı

$$\psi = \frac{b}{\pi m_n} = \frac{60}{\pi \cdot 4} = 4,77$$

Eşdeğer diş sayısı

$$z_{eq} = \frac{z_2}{\cos^2 \beta_o} = \frac{81}{(\cos 15)^2} = 89,87$$

Doğrusal dönütümle Çetvel 28.3'ten $r_n = 6,4$ alınır. Böylece çarktaki döndürme momenti

$$M_b = \left(\frac{m_n}{6} \right)^3 \frac{z_2 \cdot \sigma_{em} \cdot k \cdot r_p}{k \cdot \xi \cdot r_n \cdot \cos \beta_o} = \left(\frac{4}{6} \right)^3 \frac{18 \cdot 625 \cdot 4,77 \cdot 1,65}{1,25 \cdot 1,1 \cdot 6,4 \cdot \cos 15} = 13889 \text{ daNm}^3$$

Mekanizmanın iletiği güç

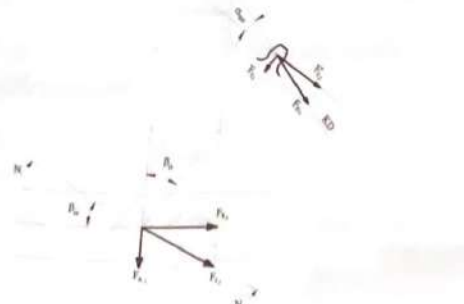
$$P = \frac{M_b z_2}{71620} \cdot \frac{1}{\eta}$$

Burada $z_2 = n_1 / i = 700 / 4,5 = 155,6 \text{ d/d}$ olduğuna göre

$$P = \frac{13889 \cdot 155,6}{71620} \cdot \frac{1}{0,94} = 32,1 \text{ BG}$$

b) Büyük dişliye etkiyen kuvvetler
 $d_{eq} = 4,81 = 324 \text{ mm}$ olduğuna göre tegetsel kuvvet

$$F_Q = \frac{M_{b2}}{r_{eq}} = \frac{13889}{16,2} = 857,3 \text{ daN}$$



Sekil 29.14 Dişli çarka etkiyen kuvvetler

Eksenel kuvvet

$$F_{r2} = F_{r2} \cdot \tan \beta_o = 857,3 \tan 15 = 230 \text{ daN}$$

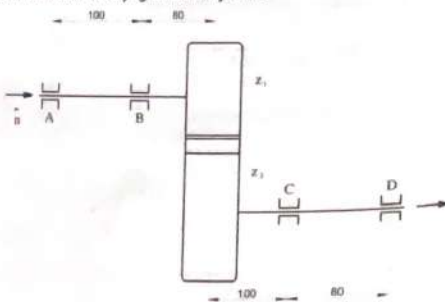
Radial kuvvet

$$F_{r1} = F_{r2} \cdot \frac{\tan \alpha_{n0}}{\cos \beta_o} = 857,3 \cdot \frac{\tan 20}{\cos 15} = 323 \text{ daN}$$

dişli çark problemleri**Problem 29.15**

Şekil 12.12'de şematik olarak görülen helisel dişli çark mekanizmasında $z_1 = 20$, $\alpha_{ao} = 20^\circ$, $\beta_o = 26^\circ$, $m_a = 4 \text{ mm}$, $b = 60 \text{ mm}$, $i = 2,15$; $n_1 = 1600 \text{ d/d}$, $P = 12 \text{ kW}$, $E = 2,1 \cdot 10^4 \text{ daN/mm}^2$, $\sigma_{em} = 9 \text{ daN/mm}^2$, $P_{em} = 28 \text{ daN/mm}^2$, $k = 1,25$; $\xi = 1,1$; $\varepsilon_p = 1,63$ ve $\gamma_n = 7,8$ değerleri bilinmektedir.

- Bir diş gelen normal kuvveti bulunuz ve pinyon dışlinin dış dib ile dış yüzeyi mukavemetini kontrol ediniz.
- A ve B yataklarına etkiyen kuvvetleri bulunuz. Giriş milindeki eğilme ve burulma momenti diyagramlarını çiziniz.



Şekil 29.15

a) Döndürme momenti

$$M_H = 97400 \cdot \frac{P}{n_1} = 97400 \cdot \frac{12}{1600} = 730,5 \text{ daNm}$$

Yuvarılanma dairesi çapı

$$d_{st} = \frac{m_a}{\cos \beta_o} \cdot z_1 = \frac{4}{\cos 26} \cdot 20 = 89 \text{ mm}$$

Diş etkilenen teğetsel kuvvet

$$F_t = \frac{2 \cdot M_H}{d_{st}} = \frac{2 \cdot 730,5}{8,9} = 164,15 \text{ daN}$$

dişli çark problemleri

ve normal kuvvet (diş kuvveti)

$$F_n = \frac{F_t}{\cos \alpha_{ao} \cos \beta_o} = \frac{164,15}{\cos 20 \cdot \cos 26} = 194,35 \text{ daN}$$

Dış dibi mukavemeti kontrolu:

$$\sigma = \left(\frac{6}{m_a} \right)^3 \cdot \frac{k \cdot \xi \cdot M_{st} \cdot \gamma_n \cdot \cos \beta_o}{z_1 \cdot \nu \cdot E_p}$$

$$\text{Burada } \nu = \frac{b}{\pi \cdot m_a} = \frac{60}{\pi \cdot 4} = 4,8 \text{ olup}$$

$$\sigma = \left(\frac{6}{4} \right)^3 \cdot \frac{1,25 \cdot 1,1 \cdot 730,5 \cdot 7,8 \cdot \cos 26}{20,4 \cdot 8,1 \cdot 63} = 152 \text{ daN/cm}^2$$

Burada $\sigma = 152 \text{ daN/cm}^2 < \sigma_{em} = 900 \text{ daN/cm}^2$ olduğundan uygundur.

Dış yüzeyinin ezilme kontrolu:

$$p = \sqrt{\left(\frac{9}{m_a} \right)^3 \cdot \frac{k \cdot \xi \cdot M_{st} \cdot E \cdot (i+1) \cdot \cos^4 \beta_o}{z_1^2 \cdot i \cdot \nu \cdot E_p}}$$

$$= \sqrt{\left(\frac{9}{4} \right)^3 \cdot \frac{1,25 \cdot 1,1 \cdot 730,5 \cdot 2,1 \cdot 10^6 \cdot (2,15+1) \cdot (\cos 26)^4}{(20)^2 \cdot 2,15 \cdot 4,8 \cdot 1,63}} = 2709,3 \text{ daN/cm}^2$$

İşbu böylece $p_{em} = 2709,3 \text{ daN/cm}^2 < p_{em} = 2800 \text{ daN/cm}^2$ olduğu için uygundur.

b) Dişli çittine etkiyen kuvvetler:

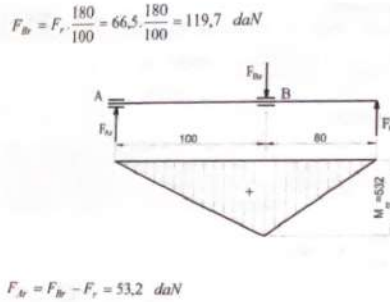
Teğetsel kuvvet $F_t = 164,15 \text{ daN}$

Radyal kuvvet $F_r = F_t \cdot \tan \alpha_{ao} / \cos \beta_o = 164,15 \cdot \tan 20 / \cos 26 = 66,5 \text{ daN}$

Eksenel kuvvet $F_a = F_t \cdot \tan \beta_o = 164,15 \cdot \tan 26 = 80 \text{ daN}$

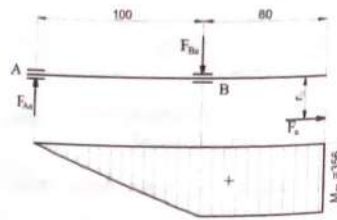
i.) Düzey düzlemlerde - F_r kuvveti etkisi

$$\sum M_A = 0 \text{ yazılımından}$$

dişli çark problemleri

Eğilme momenti

$$M_{er} = F_r \cdot 8 = 66,5 \cdot 8 = 532 \text{ daNm}$$

b.2) Düzey düzlemede – F_x kuvveti etkisi

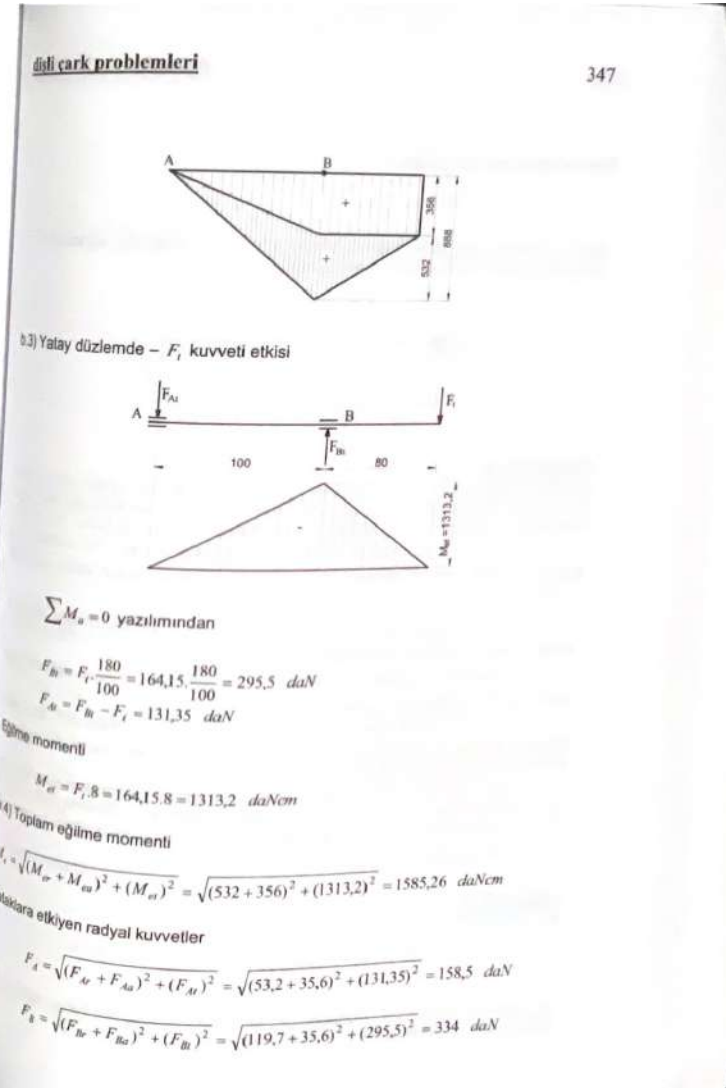
$$r_{el} = m_x z_1 / (2 \cdot C \cos \beta_o) = 4,20 / (2 \cdot \cos 26) = 44,5 \text{ mm için}$$

$$- F_{Ax} = F_{Bx} = \frac{F_x r_{el}}{100} = \frac{80 \cdot 44,5}{100} = 35,6 \text{ daN}$$

Eğilme momenti

$$M_{er} = F_x r_{el} = 80 \cdot 4,45 = 356 \text{ daNm}$$

Düsey düzlemede eğilme momentleri toplamı

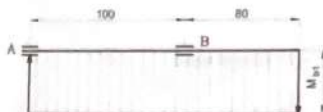
dişli çark problemleri

disli çark problemleri

Giriş milindeki burulma momenti

$$M_M = 730,5 \text{ daNm}$$

olup bu moment güç giriş-cıkış mesafesince düzgün olarak etki etmektedir. Bu durumda burulma momenti diyagramı aşağıdaki gibi olur.

**Problem 29.16**

Bir binek otomobilinin 4 hız kademevi vites kutusuna ait dişli grubu düzeni Şekil 29.16'da görüldüğü gibidir. Dişli grubunun birinci kademesi silindirik düz dişli, diğer kademeyle silindirik helisel dişlerden oluşmaktadır. Düz dişlerin diş sayıları $z_1=16$ ve $z_2=61$ olup modülü 4 mm 'dir. Vites kutusundaki hız oranları (dişli grupları arasındaki çevrim oranları) birinci vitesten dördüncü vitese kadar, sırasıyla, $i_1=3,8125$, $i_2=2,1154$, $i_3=1,3$ ve $i_4=1,0$ şeklidir.

a) Vites kutusu giriş milinin dönmeye sayısı 3000 d/d olduğu durumda araba 3.vitesde giderken çıkış milinin devir sayısı ne olur?

b) Standart (normal) modülü $m_n = 3,5 \text{ mm}$ olan 2.grup dişlerinin helis eğim açısı ve eşdeğer diş sayıları nedir?

c) Aracın motor gücü 65 BG olup dönmeye sayısı 3000 d/d iken vites kutusu çıkışında elde edilecek en büyük döndürme momenti hangi dişli grubu ile elde edilir ve büyüklüğü nedir?

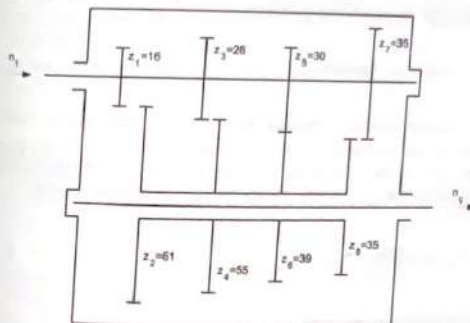
d) 2 grupta bulunan helisel dişlerin dişlerinin kırılmadan çalışabilmesi için malzemelerinin nasıl seçilmesi gerektiğini söyleyiniz. Dinamik yük faktörü $\xi = 1,1$, darbe faktörü $k = 1,5$, diş genişlik sayısı $\psi = 5$ ve profil kavrama oranı $\varepsilon_p = 1,46$ alınacaktır.

Cözüm 29.16

a) 3.vites konumunda çıkış milinin dönmeye sayısı

$$n_3 = \frac{n_1}{i_1} = \frac{3000}{3,8125} = 2307,7 \text{ d/d}$$

b) Şekil 29.16'dan da görüldüğü gibi eksenler arası uzaklık bütün dişli grupları için aynıdır. Silindirik düz dişli için bu değer

disli çark problemleri

Şekil 29.16

$$a_s = m_n \frac{z_1 + z_2}{2} = 4 \cdot \frac{16 + 61}{2} = 154 \text{ mm}$$

İkinci grup dişli (helisel dişli) için bu uzaklığını yazarsak

$$a_{o2} = a_s = \frac{m_n}{\cos \beta_{o2}} \cdot \frac{z_3 + z_4}{2}$$

buradan

$$\cos \beta_{o2} = \frac{m_n (z_3 + z_4)}{2 \cdot a_s} = \frac{3,5 (26 + 55)}{2 \cdot 154} = 0,92$$

Boylece helis eğim açısı $\beta_{o2} = 23^\circ$ bulunur. Eşdeğer diş sayıları

$$z_{e1} = \frac{z_1}{\cos^3 \beta_{o2}} = \frac{26}{(\cos 23^\circ)^3} = 33,33$$

$$z_{e4} = \frac{z_4}{\cos^3 \beta_{o2}} = \frac{55}{(\cos 23^\circ)^3} = 70,5 \text{ olmaktadır.}$$

dişli çark problemleri

c) Güç ileten millede döndürme momenti

$$M_n = 71620 \cdot \frac{P}{n} \quad (\text{daNcm})$$

eşitliği ile hesaplanmaktadır. Burada kayıplar göz ardı edilirse (verim $\eta=1$ alınarak) en büyük momentin en küçük devir sayısında oluşacağı açıkları. Vites kutsundaki hız oranları göz önüne alındığında en büyük döndürme momentinin birinci diş grubunda (1. viteste) meydana geldiği görülür. Böylece 1. vitesteki dönme sayısı:

$$n_e = \frac{n_1}{i_1} = \frac{3000}{3,8125} = 786,88 \quad \text{d/d}$$

ve en büyük döndürme momenti

$$M_n = 71620 \cdot \frac{65}{786,88} = 5916,15 \quad \text{daNcm}$$

olmaktadır.

d) Dişlerin kırılmaması için dış dibi mukavemetinin yeterli olması gereklidir. Bu durumda normal modül

$$m_s = 6\sqrt{\frac{\xi k M_{z1} \cos \beta_{c1}}{z_1 \sigma_s \psi E_p}} \quad (\text{mm})$$

Burada

$$\begin{aligned} M_{z1} &= 71620 \cdot \frac{P}{n_1} \\ &= 71620 \cdot 2,1154 \cdot \frac{65}{3000} = 3282,6 \quad \text{daNcm} \end{aligned}$$

olduğuna göre

$$\begin{aligned} \sigma_s &= \left(\frac{6}{m_s} \right)^3 \cdot \frac{k \xi M_{z1} \cos \beta_{c1}}{z_1 \psi E_p} \\ &= \left(\frac{6}{3,5} \right)^3 \cdot \frac{1,5113282,6 \cos 23^\circ}{26,5146} = 132,26 \quad \text{daN/cm}^2 \end{aligned}$$

dişli çark problemleri

Göründüğü gibi dış dibi mukavemetinin yeterli olması yanı dişlerin kırılmadan püskülmemesi için kullanılan malzemenin eğilme emniyet gerilmesi en az $(\tau_e)_m = 132,26 \text{ daN/cm}^2$ olmalıdır. Ancak vites kutusu dişileri için genellikle sınıftırımlı malzemeler sınıfından seçim yapılmalıdır. Bu nedenle burada da en azından bir sementasyon çeliği (örneğin C15 çeliği) kullanılması uygun olacaktır.

Problem 29.17

Eksenleri arasındaki açı $\phi = 90^\circ$ olan evolvent profilli ($\alpha_e = 20^\circ$) standart bir düz konik dişli çiftindeki devir sayılarının oranı $n_1/n_2 = 600/300$ ve taşınan güç $P=12 \text{ BG}$ dır. İşletme darbesiz olup $k=1$, dinamik yük faktörü $\xi=1,5$, pinyon dişinin diş sayısı $z_1=19$, dişlerin malzemesi C15 olduğuna göre (dişler sementre edilmiştir):

- a) Dişli mekanizmasının ana boyutlarını hesaplayınız.
- b) Büyük diş yataklarına etkiyen radyal ve eksenel kuvvetlerin büyüklüğünü bulunuz. Yataklar arası uzaklık $\ell=130 \text{ mm}$ ve dişli çark, yataklara göre simetrik yerleştirilmiştir.

Cözüm 29.17**a) Mekanizmanın ana boyutları**

C15 malzemesi için : $\sigma_m = 1250 \text{ daN/cm}^2$

$$P_m = 15000 \text{ daN/cm}^2$$

Çevrim oranı $i = \frac{600}{300} = 2$ ve $\phi = 90^\circ$ için (Cetvel 28.12) genişlik oranı

$$\psi = b/d_s = 0,336.$$

Kavrama oranı $\varepsilon = 1$ (emniyet bakımından). Çevrim oranı

$$i = n_1/n_2 = z_1/z_2, \text{ eşitliğinden büyük dişlinin diş sayısı } z_2 = i z_1 = 2 \cdot 19 = 38.$$

Ayrıca $\phi = 90^\circ$ için $i = \frac{z_2}{z_1} = \frac{1}{\tan \delta_i}$ eşitliğinden konik yarı açıları

$$\tan \delta_i = \frac{1}{i} = \frac{1}{2} = 0,5 \quad \text{ve} \quad \delta_i = 26,565^\circ$$

$$\phi = \delta_i + \delta_j \text{ eşitliğinden } \delta_j = 63,435^\circ \text{ olur.}$$

Döndürme momenti

$$M_n = 71620 \cdot \frac{P}{n_1} = 71620 \cdot \frac{12}{600} = 1432,4 \quad \text{daNcm}$$

Eşdeğer diş sayısı

dışı çark problemleri

$$z_{\text{d}} = \frac{z_1}{\cos \delta_1} = \frac{19}{\cos 26,565} = 21,24$$

Böylece Çetvel 28.3'ten doğrusal dönüşümle $\gamma' = 8,3$ bulunur.

a.1) Dış dibi mukavemetine göre modül hesabı,
Ortalama modül

$$m_n = 8,6 \sqrt{\frac{k_s^2 M_{n1} \gamma' (1 - \psi \sin \delta_1)}{\sigma_m z_1^2 \psi \varepsilon}}$$

$$= 8,6 \sqrt{\frac{1,15,1432,4,8,3 (1 - 0,336 \sin 26,565)}{1250, (19)^2 \cdot 0,336}} = 3,991 \text{ mm}$$

a.2) Aşınmaya göre ortalama modül

$$m_n = 12,9 \sqrt{\frac{k_s^2 M_{n1} (i \cos \delta_1 + \cos \delta_2) (1 - \psi \sin \delta_1) E}{(p_m)^2 z_1^2 i \psi \varepsilon}}$$

$$= 12,9 \sqrt{\frac{1,15,1432,4, (2,0,894 + 0,447), (1 - 0,336,0,447), 2,1,10^4}{(15000)^2 \cdot (19)^2 \cdot 2,0,336,1}} = 6,96 \text{ mm}$$

Böylece dış modül

$$m_s = \frac{m_n}{1 - \psi \sin \delta_1} = \frac{6,96}{1 - 0,336 \sin 26,565} = 8,19 \text{ mm}$$

Standart modülin 10 mm seçilmesi halinde boyutlar fazla büyük olacağından $m_s = 8 \text{ mm}$ seçilmesi önemli bir sakince yaratmayacaktır.

a.3) Dişlerin boyutları

	Pinyon	Cark
Diş sayılanı, z	19	38
Standart (dış) modül, m_s (mm)		8
Ortalama modül, m_n (mm)		6,96
Diş taksimat dairesi çapı, d_s (mm)	152	304
Diş başı dairesi çapı, d_b (mm)	166,31	311,15
Diş taban dairesi çapı, d_t (mm)	143,41	299,70
Ortalama taksimat dairesi çapı, d_m (mm)	129,19	258,38
Genişlik, b (mm)	51	

dili çark problemleri

Yüvarlanma konileri tepe yarı açıları
Matzeme (semente edilmiş)

$$26,565^\circ \quad 63,435^\circ$$

C15

b) Büyük dili yataklarına etkiyen kuvvetler:
Tegetsel kuvvet

$$F_z = \frac{2M_{n1}}{d_{\text{st}}} = \frac{2,1432,4}{12,919} = 222 \text{ daN}$$

Büyük dışlığı etki eden radyal kuvvet

$$F_{x1} = F_z \tan \alpha_s \cos \delta_z = 222 \tan 20 \cos 63,435 = 36 \text{ daN}$$

Büyük dışlığı etkiyen eksenel kuvvet

$$F_{z1} = F_z \tan \alpha_s \sin \delta_z = 222 \tan 20 \sin 63,435 = 72,3 \text{ daN}$$

Eksenel kuvvetin oluşturduğu radyal kuvvet

$$F'_{z1} = \pm \frac{F_{x1} R_{n2}}{\ell} = \pm \frac{72,3 \cdot 2,258,38}{2,130} = \pm 72 \text{ daN}$$

Dili çark, yataklara göre tam ortada olduğuna göre, A yatağındaki radyal kuvvet

$$F_x = \sqrt{\left(\frac{F_{z1}}{2} + F'_{z1}\right)^2 + \left(\frac{F_{x1}}{2}\right)^2} = \sqrt{\left(\frac{36}{2} + 72\right)^2 + \left(\frac{222}{2}\right)^2} = 143 \text{ daN}$$

B yatağındaki radyal kuvvet

$$F_x = \sqrt{\left(\frac{F_{z1}}{2} - F'_{z1}\right)^2 + \left(\frac{F_{x1}}{2}\right)^2} = \sqrt{\left(\frac{36}{2} - 72\right)^2 + \left(\frac{222}{2}\right)^2} = 123,4 \text{ daN}$$

Ayrıca $F_{x1} = 72,3 \text{ daN}$ lük eksenel kuvvet A veya B yataklarından birisi tarafından taşınacaktır.

Problem 29.18

Bir konik dışı çarkta dış genisliği 50 mm, dış sayısı 19, dış üstü çapı 104,48 mm
dir. Bu çarkın dış dibi emniyet gerilmesi $13,5 \text{ daN/mm}^2$ olup 1435 d/d ile çalışan
bir $\beta_{n,3}$ çevirmenin orantılı bir mekanizmada kullanılmaktadır. Diğer bilinenler:
 $\delta_1 + \delta_2 = 90^\circ$; $k = 1,25$; $\xi = 1,1$ ve $\varepsilon = 1$ dir. Bu çarkın emniyetle taşıyabileceğini en
yüksek moment ve güç ne kadardır?

Cözüm 29.18
Dış üstü dairesi çapı

$$d_s = d_o + 2h_b \cos \delta_i$$

Burada $d_o = m_a z$, $h_b = m_a$, $i = 1/\tan \delta_i$ ve

$$\tan \delta_i = \frac{1}{i} = \frac{1}{3} = 0,3333; \quad \delta_i = 18,435^\circ$$

olduğuna göre dış modül (standart modül)

$$m_a = \frac{d_s}{z + 2 \cdot \cos \delta_i} = \frac{104,48}{19 + 2 \cdot \cos 18,435} = 5 \text{ mm}$$

Ortalama modül

$$m_a = \frac{d_s}{z_i} = \frac{d_{st} - b \cdot \sin \delta_i}{z_i} = m_a - \frac{b \cdot \sin \delta_i}{z_i} = 5 - \frac{50 \cdot \sin 18,435}{19} = 4,168 \text{ mm}$$

Dışı çarkın dış dibi mukavemeli bakımından ortalama modül

$$m_a = 8,6 \sqrt{\frac{k_2 M_i \gamma' (1 - \psi \sin \delta_i)}{\sigma_m x_i \psi \xi}}$$

Burada $\frac{z}{\cos \delta_i} = \frac{z}{\cos 18,435} = \frac{19}{\cos 18,435} = 20$ olup Cetvel 28.3'ten $\gamma' = 8,1$ alınır. Ayrıca $i = 3$ için $\psi = 0,474$ (Cetvel 28.11) olduğu görülür. Böylece döndürme momenti

$$M_d = \left(\frac{4,168}{8,6} \right)^2 \cdot \frac{(19)^2 \cdot 1350 \cdot 0,474 \cdot 1}{1,25 \cdot 1,1 \cdot 8,1 \cdot (1 - 0,474 \cdot \sin 18,435)} = 2777,45 \text{ daNm}$$

ve iletilen güç

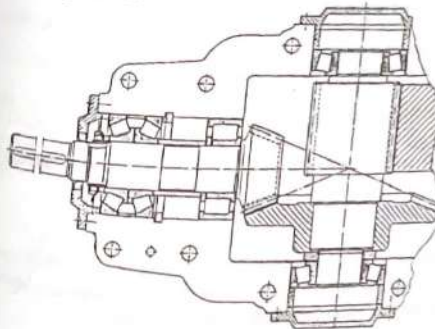
$$P = \frac{M_d n}{71620} = \frac{2777,45 \cdot 1435}{71620} = 55,65 \text{ BG} \text{ veya } P = 40,92 \text{ kW}$$

olarak bulunur.

Problem 29.19

Üç dişli kutusunun ilk kademesini oluşturan düz konik dışlı çark çifinin çevrim oranı 2,722'dir. İletilen güç 13,2 kW, giriş milinin devir sayısı 1420 d/d, pinyonun devri sayısı 18, dinamik yük faktörü $\xi = 1,25$, darbe faktörü $k = 1,25$ ve genişlik sayısı $\psi = 0,474$ olarak bilinmektedir. Dışı çark malzemesi C15 sementasyon çeligi olup dış yüzeyi sertleştirilmiştir.

- a) Konî tepelerinin kesişme açısı $\phi = 90^\circ$ olduğuna göre konî yarı aplarını hesaplayınız. Büyük dışının diş sayısını nedir?
- b) Güç iletiminde yüzey basıncı dolayısıyla aşırma önelimi rol oynadığına göre standart modül olarak $m_a = 6 \text{ mm}$ yeterli midir?
- c) Dışı çiftinin genişliğini bulunuz. Özelliklerini tartışınız.
- d) Dışı çarkın yatakları arasındaki uzaklık $\ell_1 = 200 \text{ mm}$ ve ilk yatağın dışı orta noktasına uzaklığını $\ell_2 = 60 \text{ mm}$ olarak yatak kuvvetlerini hesaplayınız ve bir şekilde üzerinde gösteriniz.



Şekil 29.19

Cözüm 29.19
a) Konik yan açıları

$$\tan \delta_i = \frac{1}{i} = \frac{1}{2,722} = 0,367374 \text{ ve } \delta_i = 20,17^\circ$$

$$\delta_j = 90^\circ - \delta_i = 90 - 20,17 = 69,83^\circ$$

Büyük dişinin dış sayısı

$$z_1 = l_1 z_1 = 2,722,18 \approx 49$$

b) Yüzey basıncına (ezilmeye) göre ortalama modül eşitliği

$$m_a = 12,9 \sqrt{\frac{k_a \xi M_a (l_1 \cdot \cos \delta_1 + \cos \delta_1)(1 - \psi \sin \delta_1) E}{P_m^2 z_1^2 \lambda \psi \cdot \varepsilon}}$$

Burada

$$M_a = 97400, \frac{P}{n} = 97400, \frac{13,2}{1420} = 905,4 \text{ daN/cm}$$

Çelik malzeme için $E = 2,110^4 \text{ daN/cm}^2$ ve konik dişlide, emniyet bakımından, kavrama oranı $\varepsilon = 1$ alınabilir.

Diğer taraftan ortalama modül

$$m_a = m_a (1 - \psi \sin \delta_1) = 6 (1 - 0,474 \sin 20,17) = 5,02 \text{ mm}$$

olduğuna göre dişlerdeki yüzey basıncı değeri

$$P_m = \sqrt{\left(\frac{12,9}{5,02}\right)^2 \frac{1,25 \cdot 1,25 \cdot 905,4 \cdot (2,722 \cdot \cos 20,17 + \cos 69,83) \cdot (1 - 0,474 \sin 20,17) \cdot 2,1 \cdot 10^6}{18^2 \cdot 2,722 \cdot 0,474 \cdot 1}} \\ P_m = 17,1 \cdot 10^4 = 17104 \text{ daN/cm}^2$$

C15 malzemesinin emniyetli yüzey basıncı değeri $p_{sa} = 15000 \text{ daN/cm}^2$, bu durumda $P_m = 17104 \text{ daN/cm}^2 > p_{sa} = 15000 \text{ daN/cm}^2$ olduğundan verilen modüle göre boyutlandırılan dişler yeterli emniyetle çalışmazlar.

C15 malzemesinden yapılan dişin modülü

$$m_a = 12,9 \sqrt{\frac{1,25 \cdot 1,25 \cdot 905,4 \cdot (2,722 \cdot \cos 20,17 + \cos 69,83) \cdot (1 - 0,474 \sin 20,17) \cdot 2,1 \cdot 10^6}{(15000)^2 \cdot (18)^2 \cdot 2,722 \cdot 0,474 \cdot 1}} \\ m_a = 5,479 \text{ mm}$$

Standart modül

$$m_s = \frac{m_a}{1 - \psi \sin \delta_1} = \frac{5,479}{1 - 0,474 \sin 20,17} = 6,549 \text{ mm}$$

O halde standart modül olarak $m_a = 8 \text{ mm}$ seçilmelidir.

c) Dişli çarkın genişliği için

$$b \cdot \frac{\sin \delta_1}{r_{st}} \leq 0,3$$

olmalıdır. Aksi halde genişlik arttıkça dişlerin sıvırılığı artar ve dengeli yük taşıyamaz.

$d_{st} = m_a \cdot z_1 = 8 \cdot 18 = 144 \text{ mm}$ olduğuna göre

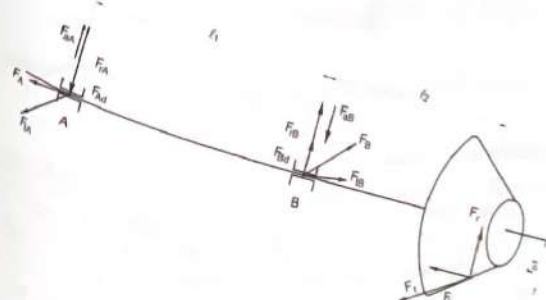
$$b \leq 0,3 \cdot \frac{72}{\sin 20,17} = 62,64 \text{ mm}$$

Ancak verilen genişlik sayısına göre $\psi = \frac{b}{d_{st}} = 0,474$ eşitliğinden dişin genişliği

$$b = 0,474 \cdot 144 = 68,256 \text{ mm}$$

biraz fazla olduğu görülür. Sonuç olarak diş genişliğinin küçük olan değerde seçilmesi ve genişlik sayısının daha küçük olması gerekliliği görülür.

d) Yatak kuvvetleri hesabı:



Şekil 29.19 Konik dişlide yataklarına etkilenen kuvvetler

dişli çark problemleri

Dişli genişliği $b = 60 \text{ mm}$ alınırsa ortalama taksimat dairesi çapı

$$d_{st} = d_{st} - 2b \cdot \sin\delta_i = 144 - 2 \cdot 60 \cdot \sin 20,17 = 102,6 \text{ mm}$$

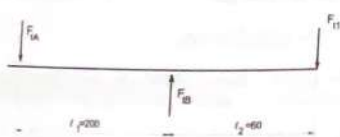
Buna göre dış kuvvetin bileşenleri

$$F_{st} = \frac{2M_{st}}{d_{st}} = \frac{2 \cdot 905,4}{10,26} = 176,5 \text{ daN}$$

$$\begin{aligned} F_{st} &= F_{st} \cdot \tan \alpha_s \cdot \sin \delta_i \quad (\alpha_s = 20^\circ \text{- standart kavrama açısı}) \\ &= 176,5 \cdot \tan 20 \cdot \sin 20,17 = 22 \text{ daN} \end{aligned}$$

$$F_{st} = F_{st} \cdot \tan \alpha_s \cdot \cos \delta_i = 176,5 \cdot \tan 20^\circ \cdot \cos 20,17 = 60,3 \text{ daN}$$

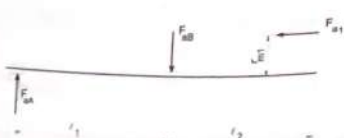
Yatay düzlemede - F_{st} kuvveti etkisi



$$F_{st} = F_{st} \frac{\ell_2}{\ell_1} = 176,5 \cdot \frac{60}{200} = 53 \text{ daN}$$

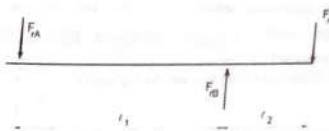
$$F_{st} = F_{st} \frac{\ell_1 + \ell_2}{\ell_1} = 176,5 \cdot \frac{260}{200} = 229,5 \text{ daN}$$

Düsey düzlemede - F_d kuvveti



$$F_{st} = -F_{st} = F_{st} \frac{r_{st}}{\ell_1} = 22 \cdot \frac{51,3}{200} = 5,6 \text{ daN}$$

Düsey düzlemede - F_r kuvveti



$$F_{st} = F_{st} \frac{\ell_2}{\ell_1} = 60,3 \cdot \frac{60}{200} = 18 \text{ daN}$$

$$F_{st} = F_{st} \frac{\ell_1 + \ell_2}{\ell_1} = 60,3 \cdot \frac{260}{200} = 78,4 \text{ daN}$$

Düsey düzlemede A ve B yataklarına etkiyen radyal kuvvetler

$$F_{st} = F_{st} - F_{st} = 18 - 5,6 = 12,4 \text{ daN}$$

$$\begin{aligned} F_{st} &= F_{st} - F_{st} = 78,4 - 5,6 = 72,8 \text{ daN} \\ \text{A yatağındaki toplam radyal kuvvet} \end{aligned}$$

$$F_d = \sqrt{(F_{st})^2 + (F_{st})^2} = \sqrt{(53)^2 + (12,4)^2} = 54,4 \text{ daN}$$

B yatağındaki toplam radyal kuvvet

$$F_d = \sqrt{(F_{st})^2 + (F_{st})^2} = \sqrt{(229,5)^2 + (72,8)^2} = 240,8 \text{ daN}$$

Problem 29.20

Şekil 29.20'deki gibi düzlenenmiştir. Bir çelik bantlı konveyöre ait reduktörün birinci kademesi $z_1 = 18$, $z_2 = 63$, standart (diş) modülü 3 mm ve

reduktörün ikinci kademesi $z_3 = 20$, $z_4 = 97$ ve normal

modülü $m_n = 4 \text{ mm}$ olan silindirik helisel dişlerden ve üçüncü kademesi $z_5 = 19$,

$z_6 = 106$ ve modülü 4 mm olan silindirik düz dişlerden oluşanmaktadır. Çapı 400 mm olan tamburdaki bantın çekme hızı $0,375 \text{ m/s}$ ve çekme kuvveti 1500 daN dur. Buna göre,

a) Redüktörü döndürecek motorun devir sayısı ne olmalıdır?

- b) Helisel dişli grubu ile düz dişli grubunun eksen mesafesi eşit olursa helisel dişinin eğim açısı (β_e) ne olur?
- c) Konik dişilerin koni yan açları ve taksimat konilerinin dış çaplarını hesaplayınız?
- d) Konik dişli grubunun verimi $\eta_1 = 0,97$, helisel dişli grubunun verimi $\eta_3 = 0,98$, düz dişli grubunun verimi $\eta_5 = 0,96$ ve her bir mile ait (iki adet) yuvarlanmali yatağın verimi $\eta_4 = 0,99$ olduğuna göre konveyörü çalıştıracak motorun gücü ne olmalıdır?
- e) II nolu mildedeki eksenel kuvvet ne kadardır?

Cözüm 29.20

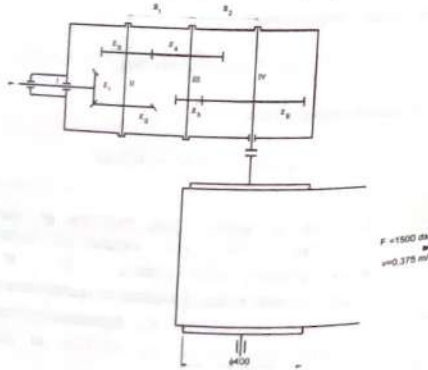
- a) Redüktörün toplam çevrim sayısı

$$i_{np} = i_1 i_2 i_3 = \frac{z_2}{z_1} \cdot \frac{z_4}{z_3} \cdot \frac{z_6}{z_5} = \frac{63}{18} \cdot \frac{97}{20} \cdot \frac{106}{19} = 94,72$$

Tambur milinin (IV nolu mil) devir sayısı

$$\eta_r = \frac{60 \cdot v}{\pi D_r} = \frac{60 \cdot 0,375}{\pi \cdot 0,4} = 17,9 \text{ d/d}$$

O halde motorun devir sayısı (I nolu milin dönme sayısı)



Şekil 29.20

$$\eta_n = i_r \cdot \eta_r = 94,72 \cdot 17,9 = 1695,5 \text{ d/d}$$

¶ Düz dişli grubunun eksenler arası mesafesi

$$a_2 = \frac{m}{2} (z_3 + z_4) = \frac{4}{2} (19 + 106) = 250 \text{ mm}$$

Helisel dişli grubunun eksenleri arasındaki uzaklık

$$a_1 = \frac{m_n}{\cos \beta_0} \cdot \left(\frac{z_3 + z_4}{2} \right)$$

¶ Uzaklıklar eşit olduğuna göre, yani $a_1 = a_2$ için

$$\cos \beta_e = \frac{m}{2 \cdot a_2} (z_3 + z_4) = \frac{4}{2 \cdot 250} (20 + 97) = 0,936 \text{ ve } \beta_e = 20,6^\circ$$

¶ Konik dişilerin çevrim oranı

$$i_1 = \frac{z_1}{z_2} = \frac{63}{18} = 3,5$$

¶ Diğer taraftan $i_1 = \frac{1}{\tan \delta_1}$ olduğuna göre küçük dişinin koni yan açısı

$$\tan \delta_1 = \frac{1}{i_1} = \frac{1}{3,5} = 0,2857 \text{ ve } \delta_1 = 15,945^\circ$$

Konik $\phi = \delta_1 + \delta_2 = 90^\circ$ için

$$\delta_2 = 90 - 15,945 = 74,055^\circ$$

Taksimat konilerinin dış çapları

$$d_{s1} = m_s z_1 = 3,18 = 54 \text{ mm ve } d_{s3} = m_s z_3 = 3,63 = 189 \text{ mm}$$

¶ Tambur milindeki döndürme momenti

$$M_r = F \cdot \frac{D}{2} = 1500 \cdot \frac{40}{2} = 30000 \text{ daNm}$$

dişli çark problemleri

Tambur milindeki güç

$$P_i = \frac{n_i M_i}{97400} = \frac{17,9 \cdot 30000}{97400} = 5,513 \text{ kW}$$

Yatakların toplam verimi

$$\eta_r = \eta_s \cdot \eta_1 \cdot \eta_2 \cdot \eta_3 = (\eta_s)^4 = (0,99)^4 = 0,96$$

Redüktörün toplam verimi

$$\eta_r = \eta_1 \cdot \eta_2 \cdot \eta_3 \cdot \eta_4 = 0,97 \cdot 0,98 \cdot 0,96 \cdot 0,96 = 0,876$$

Böylece motorun gücü

$$P_e = \frac{P_i}{\eta_r} = \frac{5,513}{0,876} \approx 6,3 \text{ kW}$$

olmalıdır. Diğer bir yoldan

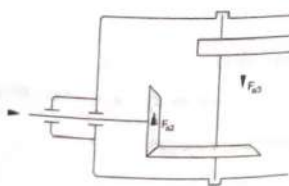
$$M_e = 30000 \text{ daNm} \text{ ise } M_e = \frac{M_i}{i \eta_r} = \frac{30000}{94,72 \cdot 0,876} = 361,55 \text{ daNm}$$

ve buradan motor gücü

$$P_e = \frac{n_e M_e}{97400} = \frac{1695,5 \cdot 361,55}{97400} = 6,3 \text{ kW}$$

olarak bulunur.

e) II nolu mildeki eksenel kuvvetin hesabı

çark problemleri

önük dişli çiftine etkiyen kuvvetler:

Dörtlama taksimat dairesi çapı $d_{st} = d_{s1} - b \cdot \sin \delta_1 = 54 - 20 \cdot \sin 15,945 = 48,5 \text{ mm}$ ve döndürme momenti $M_{st} = M_e = 361,55 \text{ daNm}$ değerleri ile teğetsel kuvvet

$$F_{st} = \frac{2 \cdot M_{st}}{d_{st}} = \frac{2 \cdot 361,55}{4,85} = 149 \text{ daN}$$

Standart dişlerde kavrama açısı $\alpha_e = 20^\circ$ olduğuna göre eksenel kuvvet

$$F_{et} = 149 \cdot \tan 20 \cdot \sin 15,945 \approx 15 \text{ daN}$$

ve radyal kuvvet

$$F_{r1} = F_{t1} \cdot \tan \alpha \cdot \cos \delta_1 = 149 \cdot \tan 20^\circ \cdot \cos 15,945^\circ = 52 \text{ daN}$$

İkinci eksenel kuvvet

$$F_{a2} = F_{r1} = 52 \text{ daN}$$

Üçüncü

Hepsini dişli çiftine etkiyen kuvvetler:

Döndürme momenti $M_{st} = i_1 \eta_1 M_{s1} = 3,5 \cdot 0,97 \cdot 361,55 = 1227,5 \text{ daNm}$ ve taksimat

çapı $d_{s2} = \frac{m_n}{\cos \beta_e}, z_2 = \frac{4}{\cos 20,6}, z_1 = 85,46 \text{ mm}$ değerleri ile teğetsel kuvvet

$$F_{et} = \frac{2 \cdot M_{st}}{d_{s2}} = \frac{2 \cdot 1227,5}{8,546} = 287,3 \text{ daN}$$

Eksenel kuvvet

$$F_{r2} = F_{t2} \cdot \tan \beta_e = 287,3 \cdot \tan 20,6 = 108 \text{ daN}$$

Üçüncü radyal kuvvet

$$F_{a3} = F_{r2} \cdot \frac{\tan \alpha_e}{\cos \beta_e} = 287,3 \cdot \frac{\tan 20}{\cos 20,6} = 111,7 \text{ daN}$$

Şekilden de görüleceği gibi kuvvetler zit yönde etkiliğinden II nolu mildeki eksenel kuvvet

$$F_a = F_{a3} - F_{a2} = 108 - 52 = 56 \text{ daN}$$

Problem 29.21

10 kW güç iletecek olan bir sonsuz vida mekanizmasında giriş devir sayısı $n_1 = 1000 \text{ d/d}$ ve çıkış devir sayısı $n_2 = 50 \text{ d/d}$ dir. Hareket sonsuz vidadan çarka olduğuna göre mekanizmayı boyutlandırmız. Sonsuz vida sertleştirilmiş ve taşlanmış çelik malzemeden olup çark malzemesi bronzdur.
Verilenler: Darbe faktörü $k = 1,25$, sonsuz vida ile çark dişleri arasındaki sürtünme katsayısı $\mu = 0,06$ ve $\alpha_m = 20^\circ$ alınacaktır.

Cözüm 29.21

a) Mekanizmanın boyutları:

$$\text{Çevrim oranı } i = n_1/n_2 = 1000/50 = 20$$

Sonsuz vida ağız sayısı $z_1 = 2$ seçiliğe sonsuz vidanın helis açısı $\beta_m = 12^\circ$ alınabilir (Cetvel 28.16). Diğer taraftan, sonsuz vida ve çark malzemeleri için $v_s = 5 \text{ m/s}$ kabul edilirse $C_m = 52 \text{ daN/cm}^2$ olur (Cetvel 28.13).

Sonsuz vida milindeki döndürme momenti

$$M_{n1} = 97400 \cdot \frac{P}{n_1} = 97400 \cdot \frac{10}{1000} = 974 \text{ daNm}$$

Mekanizmanın toplam verimi $\eta_1 = 0,80$ kabul edilirse çark milindeki döndürme momenti

$$M_{n2} = i \cdot M_{n1} \cdot \eta_1 = 20 \cdot 974 \cdot 0,80 = 15584 \text{ daNm}$$

Çarkın dış sayısı

$$z_2 = i \cdot z_1 = 20 \cdot 2 = 40$$

Böylece mekanizmanın eksen modülü

$$m_e = 4,3 \sqrt{\frac{k \cdot M_{n2}}{C_m \cdot z_2}} = 4,3 \sqrt{\frac{1,25 \cdot 15584}{52,40}} = 9,0638 \text{ mm}$$

Standart modül olarak $m_e = 10 \text{ mm}$ seçilir.
 Yuvarlanma dairesi çapları

$$d_{e1} = \frac{z_1 \cdot m_e}{\tan \beta_m} = \frac{2 \cdot 10}{\tan 12} = 94 \text{ mm}$$

$$d_{e2} = m_e \cdot z_2 = 10 \cdot 40 = 400 \text{ mm}$$

Sonsuz vidanın uzunluğu

$$b_1 = 13 \cdot m_e = 13 \cdot 10 = 130 \text{ mm}$$

Çarkın genişliği

$$b_2 = 2,5 \cdot J_e = 2,5 \cdot \pi \cdot 10 = 78,5 \text{ mm} \text{ ve } b_2 = 80 \text{ mm} \text{ alınabilir.}$$

Eksenler arası uzaklık

$$a_e = \frac{d_{e1} + d_{e2}}{2} = \frac{94 + 400}{2} = 247 \text{ mm}$$

Sonsuz vida yatakları arasındaki uzaklık

$$\ell_m = 1,5 \cdot a_e = 1,5 \cdot 247 = 370,5 \text{ mm}$$

Çark yatakları arasındaki uzaklık

$$\ell_{n2} = a_e = 247 \text{ mm}$$

b) Mekanizma veriminin kontrolü

Sistem, döndürmen sonsuz vida ve döndürülen çark şeklinde dir. $\tan \rho = \mu = 0,06$ ve $\rho = 3,43^\circ$ olduğuna göre verim

$$\eta_1 = \frac{\tan \beta_m}{\tan(\beta_m + \rho)} = \frac{\tan 12}{\tan(12 + 3,43)} = 0,78$$

İlk kabul edilen verim $\eta_1 = 0,80$ olduğuna göre emniyet bakımından uygundur. Çünkü M_{n2} momenti daha büyük seçilmiş ve dolayısıyla daha büyük bir modül ile boyut hesaplanmıştır.

c) Kayma hızı kontrolü:

Çevre hızı

$$v_t = \frac{\pi \cdot d_{e1} \cdot n_1}{60} = \frac{\pi \cdot 0,094 \cdot 1000}{60} = 4,92 \text{ m/s}$$

Kayma hızı

$$v_i = \frac{v}{\cos \beta_a} = \frac{4,92}{\cos 12} = 5,03 \text{ m/s}$$

Başlangıçta seçilen değere uygundur.

d) Mekanizmaya etkiyen kuvvetler: Sonsuz vida
Teğetsel kuvvet

$$F_{st} = \frac{2M_n}{d_{st}} = \frac{2,974}{9,4} = 207 \text{ daN}$$

Eksenel kuvvet

$$F_{st} = \frac{F_u}{\tan(\beta_a + \rho)} = \frac{207}{\tan(12 + 3,43)} = 759,5 \text{ daN}$$

Radial kuvvet

$$F_r = F_{st} \cdot \frac{\tan \alpha_m \cdot \cos \rho}{\sin(\beta_a + \rho)} = 207 \cdot \frac{\tan 20 \cdot \cos 3,43}{\sin(12 + 3,43)} = 281 \text{ daN}$$

Sonsuz vida çarkındaki kuvvetler:

Teğetsel kuvvet: $F_{ct} = F_{st} = 759,5 \text{ daN}$

Eksenel kuvvet: $F_{cr} = F_r = 207 \text{ daN}$

Radial kuvvet: $F_{c2} = F_{ct} = 281 \text{ daN}$ olarak birbirine eşittir.

Problem 29.22

Bir sonsuz vida dışı grubunda dışı çark $M_s = 2600 \text{ daNm}$ lik bir momentle zorlanmaktadır ve 30 d/d ile dönmektedir. Sonsuz vida grubunun toplam verimi $\eta_s = 0,80$ olduğuna göre:

- Dışı kütusunu en az kaç beygir gücündeki bir motorla çalıştırılmak gereki?
- Sonsuz vida iki ağızlı ve karşı çark $z_2 = 60$ dişli olduğu takdirde motorun devir sayısı ne olmalıdır?
- Şematik olarak motor, sonsuz vida ve karşı dışılı montaj durumunda çizerek gösteriniz.

Cözüm 29.22

a) Sonsuz vida çarkındaki döndürme momenti $M_s = 71620 \frac{P'}{n_2}$ eşitliğinden çark eksenindeki güç

$$P' = \frac{M_s \cdot n_2}{71620} = \frac{2600 \cdot 30}{71620} = 1,089 \text{ BG}$$

ve motorun gücü

$$P = \frac{P'}{\eta_s} = \frac{1,089}{0,80} = 1,36 \text{ kW} = 1 \text{ kW}$$

b) Çevrim oranı

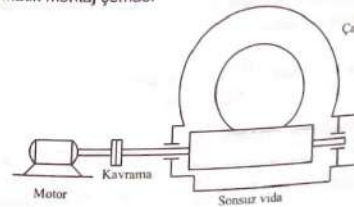
$$i = \frac{n_{motor}}{n_2} = \frac{z_1}{z_2}$$

esitliğinden motorun devir sayısı

$$n_{motor} = 30 \cdot \frac{60}{2} = 900 \text{ d/d}$$

bulunur.

c) Sistemin şematik montaj şeması



Şekil 29.22

Problem 29.23

Çıkış devir sayısı $n_2 = 38 \text{ d/d}$ olan bir sonsuz vida mekanizması ile $P = 18 \text{ kW}$ güç iletilmektedir. Sonsuz vida üç ağızlı olup dış çarkın diş sayısı $z_2 = 90$ 'dır. Çark bronz ve sonsuz vidası taşlanmış ve sertleştirilmiş çelik malzemeden ($C_m = 60 \text{ daN/cm}^2$) yapılmış olan mekanizmanın 1,5 misli emniyetle çalışması

istenmektedir. Sonsuz vida ile çark dişleri arasındaki sürtünme katsayısı 0,08 olup verim 0,74 olarak bilinmektedir. Buna göre;

- Helis açısını hesaplayınız.
- Sonsuz vida ve dişli çarkın yuvarlanma dairesi çaplarını bulunuz.
- Sonsuz vida ve dişli çarkın yataklarına etkiyen kuvvetleri hesaplayınız.

Sonsuz vida yatakları arasındaki uzaklık $\ell_1 = 400 \text{ mm}$, dişli çarkın yatakları arasındaki uzaklık $\ell_2 = 300 \text{ mm}$ olup yataklama simetrik olarak yapılmıştır ($\alpha_{\infty} = 20^\circ$).

Cözüm 29.23

a) Mekanizmanın verimi (hareket sonsuz vidadan çarşa olduğu durumda)

$$\eta_i = \frac{\tan \beta_m}{\tan(\beta_m + \rho)}$$

Burada ρ sürtünme açısı olduğundan göre $\tan \rho = \mu = 0,08$ 'dir. Ayrıca küçük açılar için $\tan(\beta_m + \rho) \approx \tan \beta_m + \tan \rho$ yaklaşımı kullanılırsa

$$\tan \beta_m = \tan \rho \cdot \frac{\eta_i}{1 - \eta_i} = 0,08 \cdot \frac{0,74}{1 - 0,74} = 0,22769$$

ve helis açısı $\beta_m = 12,83^\circ$ bulunur.

b) Sonsuz vida milinin dönmeye sayısı $n_i = i \cdot n_j = 30,38 = 1140 \text{ d/d}$ olduğuna göre mil eksenindeki döndürme momenti

$$M_n = 97400 \cdot \frac{P}{n_i} = 97400 \cdot \frac{18}{1140} = 1537,9 \text{ daNcm}$$

Çark eksenindeki döndürme momenti

$$M_{n2} = 97400 \cdot \frac{P}{n_2} \cdot \eta_i = 97400 \cdot \frac{18}{38} \cdot 0,74 = 34141 \text{ daNcm}$$

veya $M_{n2} = i \eta_i M_n$
 $= 30,074 \cdot 1537,9 = 34141 \text{ daNcm}$

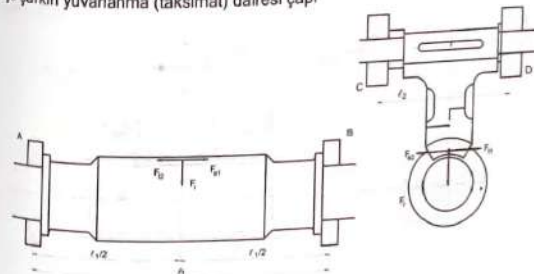
Emniyet katsayısi $k = 1,5$, malzemenin emniyetli ezilme baskısı değeri $C_e = 60 \text{ daN/cm}^2$ ve çarkın diş sayısı $z_2 = 90$ olduğundan mekanizmanın eksen modülü

$$m_e = 4,3 \cdot \sqrt{\frac{k \cdot M_n}{C_e \cdot z_2}} \text{ (mm)} = 4,3 \cdot \sqrt{\frac{1,5 \cdot 34141}{60 \cdot 90}} = 9,1 \text{ mm}$$

Buradan standart modül olarak $m_e = 10 \text{ mm}$ alınır (Bak.Cetvel 28.15). Sonsuz vidanın yuvarlanması (taksimat) dairesi çapı

$$d_{n1} = \frac{z_1 \cdot m_e}{\tan \beta_m} = \frac{3 \cdot 10}{0,22769} = 131,76 \text{ mm}$$

Dişli çarkın yuvarlanması (taksimat) dairesi çapı



Şekil 29.23

$$d_{n2} = m_e \cdot z_2 = 10 \cdot 90 = 900 \text{ mm}$$

c.1) Diş kuvveti bileşenleri
Teğetsel kuvvet

$$F_n = \frac{2 \cdot M_n}{d_{n1}} = \frac{2 \cdot 1537,9}{131,76} = 233,4 \text{ daN}$$

Eksenel kuvvet

$$F_{\alpha} = \frac{F_0}{\tan(\beta_n + \rho)} = \frac{233,4}{0,22769 + 0,08} = 758,6 \text{ daN}$$

Radyal kuvvet

$$F_r = F_{\alpha} \cdot \frac{\tan \alpha \cdot \cos \rho}{\sin(\beta_n + \rho)} = 233,4 \cdot \frac{\tan 20 \cdot \cos 4,57}{\sin(12,83 + 4,57)} = 283,2 \text{ daN}$$

Burada $F_0 = F_{\alpha} = 233,4 \text{ daN}$

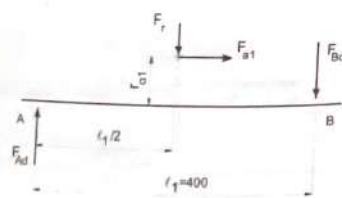
$F_{\alpha} = F_{\alpha1} = 758,6 \text{ daN}$

$F_{\alpha1} = F_r = 283,2 \text{ daN}$

c.2) Sonsuz vira mili yataklarına etkiyen kuvvetler

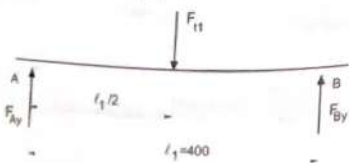
Düşey düzlemede - $F_{\alpha1}$ ve F_r kuvvetleri nedeniyle

$$F_{\alpha1} = \frac{F_0}{2} - F_{\alpha} \cdot \frac{r_{\alpha1}}{\ell_1} = \frac{283,2}{2} - 758,6 \cdot \frac{65,88}{400} = 16,65 \text{ daN}$$



$$F_{\alpha2} = \frac{F_0}{2} + F_{\alpha1} \cdot \frac{r_{\alpha2}}{\ell_1} = \frac{283,2}{2} + 758,6 \cdot \frac{65,88}{400} = 266,54 \text{ daN}$$

Yatay düzlemede - $F_{\alpha1}$ kuvveti nedeniyle



$$F_{\alpha2} = F_{\alpha1} = \frac{F_0}{2} = \frac{233,4}{2} = 116,7 \text{ daN}$$

A yatağındaki toplam radyal kuvvet

$$F_s = \sqrt{F_{\alpha1}^2 + F_{\alpha2}^2} = \sqrt{(16,65)^2 + (116,7)^2} = 117,9 \text{ daN}$$

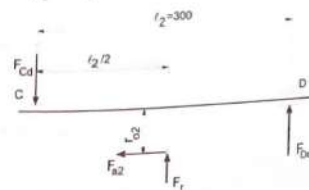
B yatağındaki toplam radyal kuvvet

$$F_s = \sqrt{F_{\alpha1}^2 + F_{\alpha2}^2} = \sqrt{(266,54)^2 + (116,7)^2} = 291 \text{ daN}$$

Ayrıca A veya B yataklarından biri $F_{\alpha1} = 758,6 \text{ daN}$ luk bir eksenel kuvveti karşılamak durumundadır.

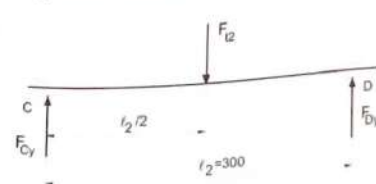
c.3) Dişli çark mili yataklarına etkiye kuvvetler
Düşey düzlemede - $F_{\alpha1}$ ve F_r kuvvetleri nedeniyle

$$F_{\alpha1} = \frac{F_0}{2} + F_{\alpha2} \cdot \frac{r_{\alpha2}}{\ell_2} = \frac{283,2}{2} + 233,4 \cdot \frac{450}{300} = 491,7 \text{ daN}$$



$$F_{\alpha2} = F_{\alpha1} \cdot \frac{r_{\alpha2}}{\ell_2} - \frac{F_0}{2} = 233,4 \cdot \frac{450}{300} - \frac{283,2}{2} = 208,5 \text{ daN}$$

Yatay düzlemede - $F_{\alpha2}$ kuvveti nedeniyle



$$F_{\text{C}} = F_{\text{B}} = \frac{F_{\text{D}}}{2} = 379,3 \text{ daN}$$

C yatağına etkiyen toplam radyal kuvvet

$$F_{\text{C}} = \sqrt{F_{\text{Cx}}^2 + F_{\text{Cy}}^2} = \sqrt{(491,7)^2 + (379,3)^2} = 621 \text{ daN}$$

D yatağındaki toplam radyal kuvvet

$$F_{\text{D}} = \sqrt{F_{\text{Dx}}^2 + F_{\text{Dy}}^2} = \sqrt{(208,5)^2 + (379,3)^2} \approx 433 \text{ daN}$$

Ayrıca C veya D yataklarından birisi $F_{\text{az}} = 233,4 \text{ daN}$ luk bir eksenel kuvveti taşımalıdır.

10. DÜZELTİLMİŞ DİŞLİLER

Günümüzde evolvent profilli dişliler, dişli mekanizmalarının temel elementleri olmamıştır. Ancak standart kavrama açısından ve standart büyütüklerdeki evolvent dişliler; günümüz teknolojisinin artan yüksek güç iletsme ve işletme emniyeti isteklerine cevap veremez olmuştur. Bu nedenle yeni dişli sistemlerin aranılması başlanmıştır. Bu arada mevcut sistemler üzerinde bazı değişiklikler yapmak suretiyle belirli isteklere cevap verebilen dişliler ve mekanizmalar yapmanın mümkün olduğu görülmüştür. Bu tip dişlilere genel olarak düzeltilmiş dişliler adı verilmektedir.

Başlangıçta düzeltme daha çok alttan kesme olayını önlemek ve bu suretle de daha küçük diş sayılarına inmek için yapılan bir işlem olarak kullanılıyordu. Teknikteki gelişmelerle paralel olarak bu gün düzeltme; özellikle yüksek gücü mekanizmalarla, örneğin planet mekanizmalarında, zorunlu bir yöntem haline gelmiştir. Çünkü uygun düzeltme yöntemleri ile dişlilerin yük taşıma yeteneklerini 1,2 ile 2 misli artırmak mümkün olmuştur. Planet mekanizmalarında ise montaj şartlarını yerine getirmek sık sık düzeltme sayesinde gerçekleştirilebilmektedir.

Diş parklarında düzeltme yapmanın sebeplerini kısaca şu şekilde özetleyebiliriz:

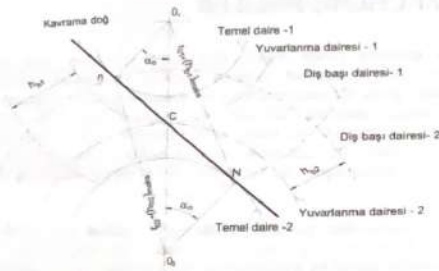
1. Altan kesmeyi önlemek
2. Montaj şartlarını iyileştirmek
3. Küçük diş sayılarına gidebilme
4. Mukavemeti artırmak

10.1. Düzeltme İlkeleri

Hangi yönteme düzeltme yapılırsa yapılsın hepsinde de göz önüne alınması gereken bazı hususlar vardır. Bunları kısaca aşağıdaki gibi sıralayabiliriz.

1. Bir evolvent dişli çiftinde diş başı yükseklikleri (h_i) sınırlıdır. Dişlerin diş başı damarları doğrusunu temel noktaları (n ve N) arasında kesmez (Şekil 30.1). Bu şartla göre diş başı yüksekliklerinin en büyük değeri

$$(h_i)_{\text{max}} \leq m_i \left(\sqrt{\left(\frac{z_1}{2} \cdot \cos \alpha_s \right)^2 + \left(\frac{z_1 + z_2}{2} \cdot \sin \alpha_s \right)^2} - \frac{z_1}{2} \right)$$



Şekil 30.1

$$(h_{12})_{\text{max}} \leq m \left(\sqrt{\left(\frac{z_1}{2} \cos \alpha_a\right)^2 + \left(\frac{z_1 + z_2}{2} \sin \alpha_a\right)^2} - \frac{z_1}{2} \right)$$

şeklinde dir.

Altın kesimle olmaksızın 2 nolu dişinin diş başı dairesi en çok (n) noktasından geçebilir. Bunun dışına taşarsa evolventten farklı bir eğri ile temas olacağının alttan kesme meydana gelir.

Normal diş çarklarında diş başı yüksekliği için $h_b = y \cdot m$ ifadesi kullanılabilir. Böylece Şekil 30.1'de $O_1 N$ üçgeninde

$$(r_{\text{eff}} + y \cdot m)^2 \leq \overline{O_1 N}^2 + \overline{Nn}^2$$

ve

$$\overline{Nn} = \overline{nC} + \overline{NC} = (r_{\text{eff}} + r_{\text{eff}}) \cdot \sin \alpha_a$$

olması gerekdir. Diğer taraftan

$$\overline{O_1 N} = r_{\text{eff}} = r_{\text{eff}} \cdot \cos \alpha_a = \frac{z_1 \cdot m}{2} \cdot \cos \alpha_a$$

$$\overline{Nn} = \frac{m(z_1 + z_2)}{2} \cdot \sin \alpha_a$$

bağıntıları yukarıda yerine yazılıarak eşitlik düzenlenirse

$$z_2 = \left(\frac{z_1}{2} \sin \alpha_a \right)^2 - y^2$$

$$y = \frac{z_1}{2} \sin^2 \alpha_a$$

dkz. Standart dişlerde genel olarak $y=1$ alınabileceğinden

$$z_2 = \left[\frac{z_1}{2} \cdot \sin \alpha_a \right]^2 - 1$$

$$1 - \frac{z_1}{2} \cdot \sin^2 \alpha_a$$

olarak eş çalışacak diş çarkının diş sayısı bulunmuş olur.

2. Kavrama oranı $\epsilon > 1$ olmalıdır. Pratikte bu değer 1,25 hatta 1,5'e kadar çıkabilir. Normal diş çarklarında diş başı yüksekliği genel olarak $h_b = y \cdot m$ şeklinde gösterilirse kavrama oranı, diş dişli mekanizmalarda,

$$\epsilon = \frac{1}{2\pi} \sqrt{\left(\frac{z_1 + 2y}{\cos \alpha_a} \right)^2 - z_1^2} + \sqrt{\left(\frac{z_2 + 2y}{\cos \alpha_a} \right)^2 - z_2^2} - (z_1 + z_2) \tan \alpha_a$$

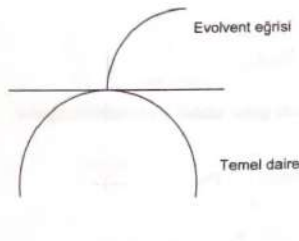
dkz. Dişli mekanizmalarda,

$$\epsilon = \frac{1}{2\pi} \sqrt{\left(\frac{z_1 + 2y}{\cos \alpha_a} \right)^2 - z_1^2} - \sqrt{\left(\frac{z_2 + 2y}{\cos \alpha_a} \right)^2 - z_2^2} - (z_1 + z_2) \tan \alpha_a$$

olarak hesap edilir. Burada z_1 ve z_2 diş sayılarını, α_a -standart kavrama açısını ve m -modülü göstermektedir.

Kavrama oranı ϵ 'un yukarıda belirtilen en küçük değerden daha büyük olması, dişlerin yüksek hızlarda daha sessiz çalışmalarını temin eder.

3. Düzeltme yapılırken aktif profili mümkün mertebe büyük ve uygun bölgede bulunması temin edilmelidir. Evolvent eğrisinin diş profili olarak çalışan kısmına aktif profil adı verilir (Şekil 30.2). Evolventin temel daireye yakın bölgelerinin eğnik yarıçapları çok küçüldüğü için bu bölgelerin kavramaya girmesi durumunda Hertz gerilimleri çok büyük olacaktır. Ayrıca bu noktalarda kayma hızı da yüksek olduğundan aşınma büyük olmaktadır.



Şekil 30.2

4. Yüksek güç ileten ve hızlı dişli çark mekanizmalarında düzeltme ya eş diş gibi mukavemeti yönünde veya en az aşınma meydana getirecek yönde geliştirilecektir. Ayrıca dişlerin sementasyon veya nitrasyon işlemi görüp görmemiği de düzeltme üzerinde büyük rol oynar. Sertleştirilmiş dişlerde dişbaşı kalınlığı 0,25 m'den daha küçük olmamalıdır. Hatta küçük dişlerde bu değer en az 0,4 m alınmalıdır.

30.2. Düzeltme Yöntemleri

Tarihi gelişmeye bağlı olarak çeşitli düzeltme yöntemleri denenmiştir. Bunlar

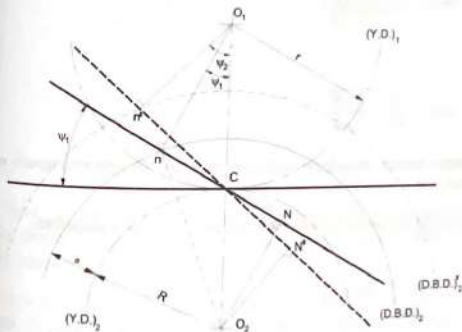
1. Kavrama açısını değiştirmek,
2. Diş yüksekliğini değiştirmek,
3. Diş kalınlıklarını değiştirmek,
4. Profil kaydirmak,

şeklinde sıralanabilir. Bunlardan en çok kullanılan profil kaydırma yöntemidir. Ancak sınırlı da olsa kullanılan diğer yöntemler hakkında da kısa bir bilgi verilmesi uygun olacaktır.

30.2.1. Kavrama Aşısını Değiştirmek

Evolvent dişli çiftinde büyük dişinin dişbaşı dairesi kavrama doğrusunu hiç bir zaman temel noktası (Şekil 30.3'de n noktası) dışında kesmemelidir. Aksi takdirde

büyük dişinin dişbaşı küçük dişinin aktif profilini keser ve diş dibini zayıflatır (alttan kese olay).



Şekil 30.3

Kavrama açısı ψ_1 , iken ψ_1 değerine çıkarıldığında dişli çarkın temel dairesinin çapı hizalandıkça ve böylece kavrama doğrusu ile temel noktası arasındaki açıklık artacaktır. Ters işlem yapılarak açı küçültülmüş olsaydı evolvent temel dairesi hizalandıracak ve böylece temastaki profiller ise evolventten başka bir eğri olacaktı. Bu durum dişli çarkta alttan kesmeye sebep olmaktadır.

Buradaki açı ψ_1 olsun. O halde

$$\begin{aligned} \overline{Ch} &= \overline{O_1 C} \cdot \sin \psi_1 \\ &= r \cdot \sin \psi_1 \end{aligned}$$

$$\overline{O_1 n} = R + a$$

ve $\overline{O_1 n}^2 = R^2 + a^2$. Diğer taraftan $\overline{O_1 Ch} = 90^\circ + \psi_1$, olduğuna göre $\triangle O_1 Ch$ üçgeninde Cosinüs teoremi yazılırsa

$$\begin{aligned} (R + a)^2 &= R^2 + r^2 \cdot \sin^2 \psi_1 + 2 \cdot r \cdot R \cdot \sin \psi_1 \\ &= R^2 + \sin^2 \psi_1 (r^2 + 2 \cdot r \cdot R) \end{aligned}$$

düzeltilmiş dişiller

buradan

$$\sin^2 \psi_1 = \frac{a^2 + 2.a.R}{r^2 + (2.r.R)}$$

veya

$$\sin^2 \psi_1 = \frac{a^2 + 2.a.R}{r^2 + 2.r.R}$$

olarak alttan kesme olmaksızın seçilebilecek en küçük kavrama açısını veren değer bulunmuş olur.

Sınır durumda diş sayıları arasındaki bağıntı; $h_i = y \cdot m$ eşitliğinden,

$$z_1 = \frac{\left(\frac{z_1}{2} \cdot \sin \alpha_e \right)^2 - y^2}{y - \left(\frac{z_1}{2} \cdot \sin^2 \alpha_e \right)}$$

şeklindedir.

Büyük dişinin diş sayısı $z_2 = \infty$ olursa, yani kremayer kesici bıçağı durumunda bu eşittir

$$z_1 \geq \frac{2 \cdot y}{\sin^2 \alpha_e} = z_{\text{min}}$$

olur. Standart dişlerde $y = 1$ dir. Pratikte bir miktar alttan kesmeye izin verildiği göz önüne alındığında teorik ve pratik en küçük diş sayıları, kavrama açısına bağlı olarak, Çetvel 30.1'de olduğu gibidir.



Şekil 30.4

düzeltilmiş dişiller

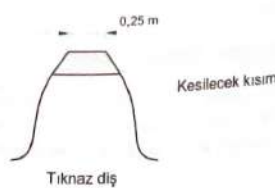
Çetvel 30.1 Kavrama açısına bağlı olarak en küçük diş sayısındaki değişim

α_e	$z_{\text{min, teorik}}$	$z_{\text{min, pratik}}$
15°	30	25
17,5°	22	18
20°	17	14
25°	11	9
30°	8	7

Kavrama oranı, α_e kavrama açısının büyük değerlerinde bile yeterli büyütükte sağlanmakta, ancak $\alpha_e > 25^\circ$ durumunda diş sayısı sınır değere inmeden diş başları sıkıştırılmışmaktadır (Şekil 30.4).

Örneğin, $\alpha_e = 30^\circ$ için $z_1 = 14$ 'de diş başı kalınlığı $0,25\text{ m}$ değerinin altına düşmektedir. Özellikle sertleştirilmiş dişlerde diş başı tamamen sertleşeceğini longan duruma gelir. Diş başının bir miktar kesilmesi durumunda bu sakıncanın ortadan kaldırılması düşünülebilirse de bu defa kavrama oranı küçülecektir. Büyük dişlerde bu yol izlenerek tıknaz dişler yapılabılır (Şekil 30.5).

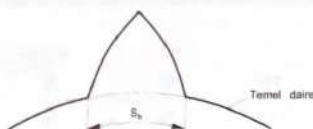
Kavrama açısının büyümesiyle dişin taban genişliği, dolayısıyla taban mukavelemeli artmaktadır. Ayrıca diş çarktaki ezilme gerilmesi de azalmaktadır. Temel dairesi üzerindeki diş genişliği S_e (Şekil 30.6)



Şekil 30.5

$$\frac{S_e}{m_e} = \cos \alpha_e \left(z_e \operatorname{ev} \alpha_e + \frac{\pi}{2} \right)$$

bulundur (Bak Bölüm 30.4).



Şekil 30.6

$z = 30$ diş sayısı için kavrama açısı ile diş dibinde mukavemetin değişimi Cetvel 30.2'de verilmiştir.

Cetvel 30.2 Diş dibinde mukavemetin kavrama açısı ile değişimi ($z = 30$)

α_e	S_c m
15°	1,69
20°	1,89
25°	2,24
30°	2,75

Konuya özeilleşen olursak, kavrama açısını büyütmeyece daha küçük diş sayılarına inlebilir. Eğilme ve ezilme bakımından daha dayanıklı bir diş formu elde edilebilir. Buna karşılık kavrama oranı biraz küçülür, diş başı sıvırılır, en önemlisi imalatla özel kesme bıçakları gereklidir.

30.2.2. Diş Yüksekliğinin Değiştirilmesi

Diş yükseklik faktörünün standart değerinden ($y = 1$) küçük veya büyük alınması; sınır diş sayısı ve kavrama oranını değiştirir. Örneğin, $z_1 = z_2 = 30$ için diş yükseklik faktöründe bağlı olarak sınır diş sayısı ve kavrama oranının değişimi Cetvel 30.3'deki gibidir.

$y < 1$ olan dişlere tıknaz, $y > 1$ olana ise uzun dişli denir. Tıknaz dişlerde genel olarak $y = 0,8$ alınır. Örneğin, $z_1 = z_2 = 14$ ve $y = 0,8$ 'de $\varepsilon = 1,32$ olup yeteri derecede büyüktür. Tıknaz dişler daha nijit olup diğerlerine nazaran daha az aşınmaktadır. Ancak yüksek hızlarda gürültülü çalışmaktadır. Uzun dişlerde ise daha çok $y = 1,2$ alınır. Kavrama oranı $\varepsilon = 2$ mertebesindedir. Diş sayıları 28'den

üçük alınamaz. Dişiler daha sessiz çalışırlar. En büyük sakincaları özel kesici takım (imalat bıçakları) gerektirmeleridir.

Cetvel 30.3 Diş yükseklik faktörüne göre sınır diş sayısı ve kavrama oranının değişimi ($z_1 = z_2 = 30$)

y	z_{\min}	ε
0,5	9	0,86
0,8	14	1,32
1,0	17	1,66
1,2	21	1,89
1,5	26	2,30

30.2.3. Diş Kalınlığının Değiştirilmesi

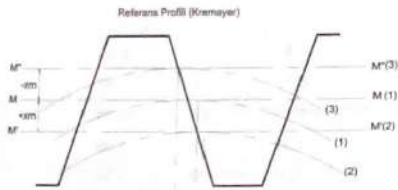
Çok az kullanılan bir düzeltme yöntemidir. En büyük özelliği standart dişlerde kullanılan takımlar ve makinalarla imal edilmeleridir. Ancak imalat esnasında kesici takım diş profiline önce bir tarafını, sonra diğer tarafını imal eder veya her iki diş yarığı için farklı bıçak kullanılır.

30.2.4. Profil Kaydırma Yöntemiyle Düzeltme

Çift çark imalatında en çok kullanılan düzeltme yöntemidir. Bunun sebebi, dişli takımı standart dişlerde kullanılan takımlara ve makinalarla doğrudan uygulanabilirliği olmasıdır. Bu düzeltme yönteminin esasını; evolvent profilli dişlerde sistemin kinematik durumunda tek eftkenin temel daire olduğu, dolayısıyla temel daire merkezlerinin birbirlerine nazaran çeşitli konumlarda getirilebilmesi teşkil eder. Bu şekilde (ki temel daireye ait evolventleri çeşitli kesimlerinde birbiriley dişli ana konumuna uygun olarak eş çalıştırılabilir. Eğer dişlerden birinin diş sayısı sonsuz olursa (kremayer bıçak) bununla imal edilecek dişler de kendi aralarında çeşitli konumlarında eş olarak çalıştırılabilir. Aynı referans profili ile imal edilen dişlerin de tekrar birbirleri ile eşleştirilebilir. Bu şekilde yeni bir mekanizma elde edilir.

Şekil 30.7'de standart bir kremayer bıçığın, imal edecek diş ile, çeşitli konumlarda kullanılabileceği gösterilmiştir. Eğer imal edilecek dişinin yuvarlanma dairesi (imalat takımları veya imalat takımat dairesi) referans profiline M-M orta doğrusu üzerinde yuvarlanırsa standart dişli elde edilir. Bu tür dişlere 0-dişli (sıfır dişli) diş denir. Şekil 30.7'de (1) konum. İkinci olarak kremayer bıçığı, imal edecek dişin yuvarlanma dairesinden ($+Xm$) kadar yukarı kaydırılmış ve imalat

esnasında dişli $M'-M$ doğrusu üzerinde yuvarlanırsrsa bu şekilde artı düzeltmeli V -dişli elde edilir [Şekil 30.7 de (2) konumu]. Üçüncü bir durum olarak kayma ($-X_m$) kadar aşağıya doğru olup yuvarlanma $M''-M'$ doğrusu üzerinde ise eksiz düzeltmeli V -dişli elde edilir [Şekil 30.7 de (3) konumu]. Burada X faktörüne "profil kaydırma faktörü" adı verilir.



Sekil 30.7

Profil kaydırma faktörünün büyülük ve işaretinin dış formu üzerindeki etkisi yüksektir. Genel olarak artı profil kaydırında X büyülükte dış formu kuvvetlenmekte, dır tepeşi sivilimtedir. Aynı temel dairesi taksimatına sahip ve uygun dir bağı boşlukları olan 0- ve V -dışilerini kendi aralarında eş çalıştırarak çeşitli dişli mekanizmları edile ededilir.

Profil kaydırma faktörünün alt değerini alttan kesme, üst değerini ise sıvı tepe sınırlamaktadır.

30.2.4.1. Profil Kaydırmanın Alt Sınırı: Altta Kesme

Şekil 30.8'den de görüldüğü gibi referans profilinin baş doğrusu, herhangi bir profili kaydırma faktöründe eş çalıştığı (imal ettiği) dişlinin kavrama doğrusunu (n) noktası dışında kesmemelidir.

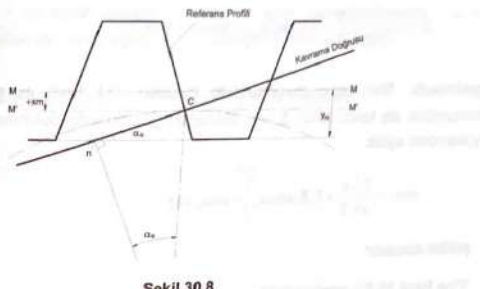
Sınıf durumda su esitliği yazabiliriz.

$$y.m = \overline{OC} \cdot \sin \alpha_0 + X.m = \overline{OC} \cdot \sin^2 \alpha_0 + X.m$$

$$= \frac{z.m \cdot \sin^2 \alpha_0}{2} + X.m$$

ve buradan

azetilmis disliler



Şekil 30.8

$$z_{\text{wt}} = \frac{2}{\sin^2 \alpha_n} (Y - X)$$

Rəfr Halbuki 0- dislisinde

$$z_{\min} = \frac{2}{\sin^2 \alpha}$$

karak bilinmektedir. Böylece alttan kesme bakımından profil kaydırma faktörünün in kalıçuk değeri

$$X \geq y - \left(\frac{z}{z_{\min}} \right)$$

Münde bulunur. Çok az miktarda alttan kesme için bu faktör

$$\alpha_s = 15^\circ \quad \text{letin} \quad X \geq \frac{25 - z}{z}$$

$$\alpha_s = 20^\circ \quad \text{für} \quad X \geq \frac{14 - z}{17}$$

30.2.4.2. Profil 16

Profil kaydırma faktörü X 'in üst sınırını sıvri tepe sınırlandırmaktadır. Herhangi bir yanaptaki döş kelebeği (Şekil 30.4).

$$S_s = 2r_s \left[\frac{1}{\pi} \left(\frac{\pi}{2} + 2x \tan \alpha_s \right) - (ev\alpha_s - ev\alpha_o) \right]$$

şeklidir. Sıvı tepe durumındaki indisleri (s) harfi ile gösterirsek ve bu konudaki düş kalanlığının $S_c = 0$ olacağını göz önünde bulundurursak (Şekil 30.9) yukarıdaki eşitlik

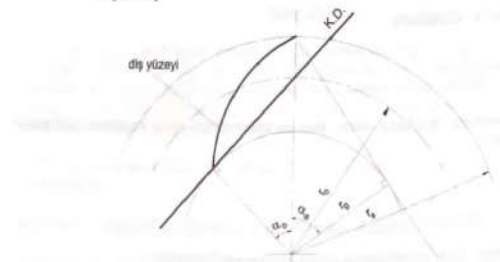
$$eva_i = \frac{1}{\pi} \left(\frac{\pi}{2} + 2X \cdot \tan \alpha_i \right) + eva_i \quad (a)$$

şeklini alacaktır.

Yine Şekil 30.9'a göre

$$r_x = r \cdot \cos \alpha,$$

$$= r \cdot \cos \alpha_0$$



Sekil 30.9

$$r_v = r_s \left(\frac{\cos \alpha_s}{\cos \alpha_v} \right)$$

(b)

yazılabilir.

yazılabilir. Bu durumu referans profili üzerinde Şekil 30.10'daki gibi gösterebiliriz. Bu şekilde göre

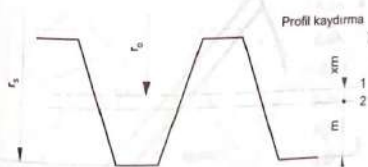
$$r_t = r_0 + X_m m + m$$

(c)

azeltilmiş dışliler

yazılır. Burada r_c -taksimat dairesi yarıçapı, r_s -sivri tepeen yarıçapı, α_c -sivri tepeye karşılık gelen kavrama açısı ve α_s -standart kavrama açısıdır.

$$m\left(\frac{z}{2} + X + 1\right) = \frac{z}{2} \left(\frac{\cos \alpha_0}{\cos \alpha_{n+1}} \right) m \quad (d)$$



Sekil 30.10

$$v\alpha_s = \frac{1}{z} \left(\frac{\pi}{2} + 2X \tan \alpha_s \right) + ev\alpha_s$$

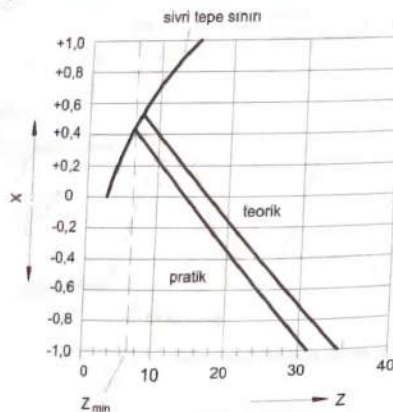
$$\cos\alpha_i = \frac{\left(\frac{z}{2} \cdot \cos\alpha_s\right)}{\left(\frac{z}{2} + X + 1\right)}$$

İçin lepe için gerekli:

ve için gerekli şartlar bulunmuş olur.

$$\cos \alpha_s = \frac{\left(\frac{z}{2} \cos \alpha_s\right)}{\left(\frac{z}{2} + X + 1\right)} = \frac{\left(\frac{7}{2} \cos 20^\circ\right)}{\left(\frac{7}{2} + 0,41 + 1\right)} = 0,6698$$

ve buradan $\alpha_s = 47,95^\circ$ olarak bulunur. Diğer taraftan



Şekil 30.11

$$\begin{aligned} ev\alpha_s &= \frac{1}{z} \left(\frac{\pi}{2} + 2X \tan \alpha_s \right) + ev\alpha_s \\ &= \frac{1}{7} \left(\frac{\pi}{2} + 2 \cdot 0,41 \cdot \tan 20^\circ \right) + \tan 20^\circ - 20 \cdot \frac{\pi}{180^\circ} = 0,2819 \end{aligned}$$

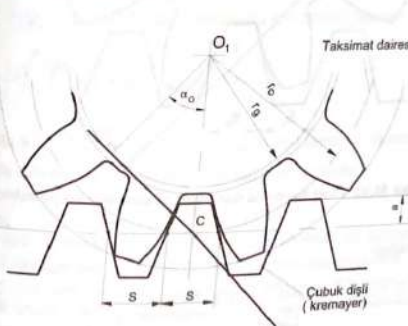
veya

$$\begin{aligned} ev\alpha_s &= \tan \alpha_s - \alpha_s \\ &= \tan 47,95^\circ - 47,95^\circ \cdot \frac{\pi}{180^\circ} = 0,2717 \end{aligned}$$

olarak bulunur.

30.3. İstenen Diş Kalınlığının Elde Edilmesi İçin Kremayerin (Çubuk Dişlinin) Yerleştirilmesi

Carkılık diş sayısı ve temel dairesi ile kavrama açısı değişmediğinden imalat takımları dairesi çapı da değişmez. Kesici takımın (biçagın) diş boşluğu (S_c) imalat takımları doğrusu üzerinde artar.

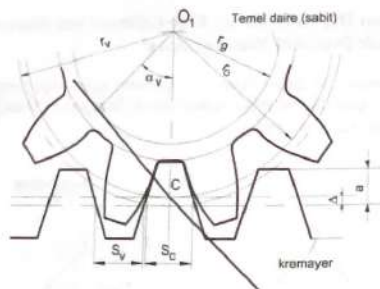


Şekil 30.12 Standart diş açma durumunda kesici bicagının yerleştirilmesi

Bu karşılık çarkın yuvarlanma dairesi üzerindeki diş genişliği de artar. Standart dişde $r_e = \frac{d_e}{2}$ üzerindeki diş kalınlığı (S) olduğu halde (Şekil 30.12), profil kaydırma sonucu aynı yarıçap üzerindeki diş kalınlığı
 $S_c = S + 2\Delta \tan \alpha_s$
olarak artmaktadır (Şekil 30.13 ve 30.14).

Eğer çalışan dişlide, imalat takımları dairesi üzerindeki diş kalınlığına S_r dersek

$$\begin{aligned} S_r &= \frac{S_c \cos \alpha_s}{\cos \alpha_r} - \frac{d_e}{\cos \alpha_r (\ev\alpha_r - ev\alpha_s)} \\ &\approx S \frac{\cos \alpha_s}{\cos \alpha_r} + \frac{2\Delta \sin \alpha_s}{\cos \alpha_r} - \frac{d_e}{\cos \alpha_r} (\ev\alpha_r - ev\alpha_s) \end{aligned}$$

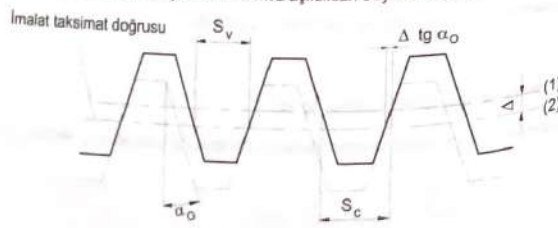


Şekil 30.13 Profil kaydırma durumunda kesici bıçağın yerleştirilmesi

yazılır ve buradan

$$\Delta = \frac{S_r \cdot \cos \alpha_r + d_s (\text{eva}_r - \text{eva}_s) - S \cdot \cos \alpha_s}{2 \cdot \sin \alpha_s}$$

olarak kesici takımlı (biçliğin) gerçek imalat taksimat doğrusuna göre (Şekil 30.14'de 1 numuru) Δ kadar kaçık bir imalat taksimat doğrusu (Şekil 30.14'de 2 numuru) çizdiği görürlür. Diğer bir ifade ile imal edilecek olan çarkın imalat taksimat dairesi, biçliğin imalat taksimat doğrusundan Δ kadar kaçık tutularak imalat yapılabilir. Böylece eş çarşılık dişli çarkların merkez açıklıkları büyütülmüş olur.



Sekil 30.14

Şekil 30.13 ve Şekil 30.14'e göre

$$\begin{aligned}\frac{r_z}{r_r} &= \frac{\cos\alpha_r}{\cos\alpha_a} \\ r_z &= r_r \cdot \cos\alpha_r \\ \Delta &= X.m\end{aligned}$$

⁷⁸ Ayrıca $d_s = 2r_s = m.z$ yazılabilceğinden bu konumdaki dış kalınlığı

$$S_v = 2r_v \left(\frac{1}{z} \left(\frac{\pi}{2} + 2X \operatorname{tg} \alpha_s \right) - (ev\alpha_s - ev\alpha_e) \right)$$

değerlendirme hesap edilir. Burada r_γ -değiştirilmiş imalat takısimat dairesi yarıçapı, S_γ -değiştirilmiş dis kalınlığı ve α -değiştirilmiş kayrama açısındandır.

İnal Örnek

Örnek: 15° kavrama açılı, 5 mm modüllü, 30 dişli bir çarkın taksimat dairesi çapı 150 mm olup bu taksimat dairesindeki diş kalınlığı $2,5\pi$ olması istenmektedir. Çarkın cubuk yapısı (kremayer) veya aşırıda ile açıldığını kabul ediyoruz. Kavrama açısı 20° olan taksimat dairesi üzerindeki diş kalınlığının 8,255 mm olması için bıçak profilinein nasıl inşa edileceğini ve taksimat miktarı ne olmalıdır?

$$S_c = 8.25 \mu$$

$$\alpha_r = 20^\circ \text{ ve } ev 20 = \tan 20 - 20 \cdot \frac{\pi}{180} = 0,0149$$

$$d_K = 7,854 \text{ mm}$$

$$d_1 = d_{\text{Cone}} \cdot \tan 14,5^\circ =$$

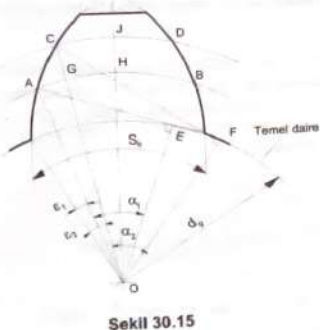
Sıfır göre istenilen dış kalınlığının elde edilebilmesi için kesici takım, standart

$$d = \frac{8,255 \cdot \cos 20^\circ + 145,222 (\sin 20^\circ - \sin 14.5^\circ) - 7,854 \cdot \cos 14.5^\circ}{2 \cdot \sin 14.5^\circ} = 3,0322 \text{ mm}$$

30.4. Herhangi Bir Kesitteki Diş Kalınlığının Hesaplanması

Dişli çarkın herhangi bir kesitindeki diş kalınlığı belli iken bir başka kesitteki diş kalınlığının bulunması mümkün değildir. Örneğin temel daire üzerindeki diş kalınlığı (S_i) belli iken diğer bir kesitteki diş kalınlığını bulalıım. Şekil 30.15'de temel daire üzerindeki diş kalınlığı S_i , yuvarlanma dairesi üzerindeki diş kalınlığı $AB = S_i$ ve hesaplanacak diş kalınlığı $\hat{CD} = S_2$; ayrıca temel daire çapı $d_s = 2\overline{OE}$ olsun. \hat{OC} üçgeninde orantı özeliği ile

$$\frac{\hat{CJ}}{\hat{GH}} = \frac{\overline{OC}}{\overline{OG}}$$



Şekil 30.15

yazılabilir. Buradan

$$S_2 = 2 \cdot \hat{CJ} = 2 \cdot \hat{GH} \cdot \frac{\overline{OC}}{\overline{OG}} = \hat{CD}$$

yazılır. Ayrıca

$$\hat{GM} = \hat{AH} - \hat{AG}$$

bulundurulur. Burada

$$\hat{AH} = \frac{S_i}{2}$$

Üstü göz önünde bulundurularak ve küçük açılarda açının tangent değeri yerine raydan değerinin alınmasının büyük bir hata yaratmayacağı düşünülseyle

$$\hat{AG} = \overline{OA} \tan(\varepsilon_2 - \varepsilon_1) = \overline{OA}(\varepsilon_2 - \varepsilon_1)$$

wazılabılır. Buna göre

$$\hat{GH} = \frac{S_i}{2} - \overline{OA}(\varepsilon_2 - \varepsilon_1)$$

değer taraftan

$$\varepsilon_1 = ev\alpha_1 \quad \text{ve} \quad \varepsilon_2 = ev\alpha_2$$

bulundur. O halde

$$\hat{CD} = 2 \cdot \overline{OC} \left(\frac{S_i}{2} - \overline{OA}(ev\alpha_2 - ev\alpha_1) \right)$$

$\overline{OG} = \overline{OA}$ olduğundan

$$\hat{CD} = \left(\frac{\overline{OC}}{\overline{OG}} \right) S_i - \left(2 \cdot \overline{OC} (ev\alpha_2 - ev\alpha_1) \right)$$

olarak. Yine Şekil 30.15'e göre

$$\frac{\overline{OC}}{\overline{OG}} = \frac{\cos\alpha_2}{\cos\alpha_1}$$

$$2 \cdot \overline{OC} = 2 \left(\frac{\overline{OF}}{\cos\alpha_1} \right)$$

yazılabileceğine göre

$$\hat{CD} = S_1 = S_1 \left(\frac{\cos \alpha_i}{\cos \alpha_1} \right) - \frac{d_i}{\cos \alpha_1} (\text{eva}_2 - \text{eva}_1)$$

bulunur. Eşitliklerde

$$\overline{OA} = \frac{\overline{OE}}{\cos \alpha_i} = \frac{r_i}{\cos \alpha_i} = R_i$$

$$\overline{OC} = \frac{\overline{OF}}{\cos \alpha_1} = \frac{r_i}{\cos \alpha_1} = R_i$$

ifadelerinden oranlama yapılarak

$$\frac{\cos \alpha_1}{\cos \alpha_i} = \frac{R_i}{R_i}$$

yazılabileceği ve

$$d_i = 2R_i \cos \alpha_i$$

şeklinde olduğu hatırlanırsa, yukarıda yazılan dış kalınlığını veren eşitlik

$$\hat{CD} = S_1 = S_1 \left(\frac{R_i}{R_i} \right) - 2R_i (\text{eva}_1 - \text{eva}_i)$$

şeklini alır.

Özel bir durum olarak temel daire üzerindeki dış kalınlığı hesaplanacak olursa; $\alpha_i = 0$ olacağından, dış kalınlığı

$$S_1 = S_1 = S_1 \cos \alpha_i + d_i \text{eva}_i$$

bağıntısının var olduğu görülür.

30.5. Düzeltilmiş Dişli Mekanizmaları

30.5.1. 0-Mekanizması

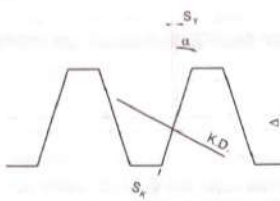
Bu mekanizma, iki 0-dışılışından (sıfır dışılışı) meydana gelen standart bir mekanizmadır. Genelde dış sayıları sınır dış sayısından büyük ise, eksen açılığı ve dış mukavemeti bakımından özel isteklerin bulunmadığı durumlarda uygulanır. Bu mekanizmalarda ımalat taksimat dairesi ile işletme taksimat dairesi aynıdır. Eksenler arası uzaklık, dış dışlı durumunda

$$a_e = m \cdot \frac{(z_1 + z_2)}{2}$$

ve iç dışlı durumunda

$$a_e = m \cdot \frac{(z_2 - z_1)}{2}$$

şeklindedir. Bu değerler standart eksen açılığını vermektedir. İstenildiğinde bu değerler bir miktar büyütülerek istenen dış boşluğu elde edilir.



Şekil 30.16

Eksenler arasındaki açılık Δ kadar büyütülürse, kavrama doğrusu doğrultusunda meydana gelen boşluk (Şekil 30.16)

$$S_e = 2\Delta \sin \alpha_e$$

ve yuvarlanma doğrusu üzerinde meydana gelen eksenel boşluk ise,

$$S_e = 2\Delta \tan \alpha_e$$

şeklinde hesaplanabilir.

30.5.2. V-0 Mekanizması

Bu mekanizmanın kullanıldığı yerler:

- a) Diş dişli mekanizmalarında $z_1 < z_{min}$ ise alttan kesmeyi önlemek için bir (+V) dişili yapılır. Buna karşılık eksen açığının değişmemesi isteniyor ve büyük dişinin diş sayısı yeterince büyük ise, bu dişli de (-V) dişili olarak yapılır. Bu durumda her iki dişlinin profil kaydırma faktörlerinin matematiksel toplamı sıfırdır. V-0 mekanizmalarındaki eksenler arası aralık 0-mekanizmalarındaki gibidir. İmalat taksimat daireleri birbirlerine temas eder, ancak referans profiline $M-M$ doğrusu [Şekil 30.7 de (1) konum] bu temas noktasından geçmez.

V-0-mekanizmasındaki profil kaydırma faktörleri

$$X_1 = \frac{14 - z_1}{17} \quad \text{ve} \quad X_2 = \frac{14 - z_2}{17}$$

şeklindedir. Her iki profil kaydırma faktörünün toplamının sıfır olması şartından

$$\frac{14 - z_1}{17} + \frac{14 - z_2}{17} = 0$$

bağıntısı yazılabilir. Buradan da görülüyor ki $\alpha_e = 20^\circ$ de mekanizma dişlerinin diş sayıları toplamı

$$z_1 + z_2 \geq 28$$

olmalıdır.

- b) Diş dişli mekanizmalarında küçük diş ile büyük dişinin eş mukavemetle olması isteniyorsa bu düzeltme şekli uygulanmaktadır. Çünkü

$$i = \frac{z_2}{z_1} < 3 \quad \text{ise}$$

az bir hata ile

$$X_2 = -X_1 = z_1(i-1) \cdot \frac{\operatorname{eva}_e}{4 \cdot \tan \alpha_e}$$

şartı yazılabilir.

- c) İç dişli mekanizmalarında her iki kayma faktörü de pozitif olmalıdır.

30.5.3. V-Mekanizması

Bu mekanizmada imalat taksimat daireleri, mekanizma konumunda birbirine teşteğtedir. Bu sebeple V-mekanizmalarında eksenler arası açıklık diğer mekanizmalarдан farklıdır. Evolvent üçgeni yardımıyla boşluksuz bir V-mekanizmasının eksenler arası uzaklığını hesaplamak olanağ dahilindedir. Standart dişli mekanizmalarında eksenler arası açıklık

$$a_e = m \cdot \frac{(z_1 + z_2)}{2}$$

ve V-mekanizmasında eksenler arası açıklık

$$\begin{aligned} a_e &= m \cdot \frac{z_1 + z_2}{2} \cdot \frac{\operatorname{Cos}\alpha_e}{\operatorname{Cos}\alpha_r} \\ &= a_r \cdot \frac{\operatorname{Cos}\alpha_e}{\operatorname{Cos}\alpha_r} \end{aligned}$$

bağıntıları ile hesaplanır. Belirli bir modül, z_1 ve z_2 diş sayılan değerlerine sahip mekanizmanın standart eksen aralığı a_r iken, bu mekanizmayla başka bir a_e ($a_e \neq a_r$) eksen aralığına yerleştirmek için profil kaydırma yöntemi uygulanır. Yani imalat esnasında dişli çarklar

$$\Delta = a_v - a_r$$

eksen kaçlığı ile imal edilirler. Bu durumda yeni mekanizmanın kavrama açısı

$$\operatorname{Cos}\alpha_r = \frac{a_r}{a_e} \cdot \operatorname{Cos}\alpha_e$$

veya

$$\operatorname{Cos}\alpha_r = \frac{\operatorname{Cos}\alpha_e}{\frac{1+\Delta}{a_e}}$$

esiliği ile tespit edilir. Böylece profil kaydırma faktörlerinin toplam değeri

$$X_1 + X_2 = \frac{z_1 + z_2}{2 \cdot \tan \alpha_e} (\operatorname{eva}_r - \operatorname{eva}_e)$$

olur. $(X_i + X_{\perp})$ toplam profil kaydırma değeri iki dişliye belirli oranlarında taksim edilir. Bu işlem için şu yol takip edilir:

- Dışı çarkın yük taşıma yeteneği veya kavrama oranını artırma istekleri doğrultusunda, Şekil 30.17a'dan $(z_i + z_{\perp})$ diş sayısına karşılık gelen $(X_i + X_{\perp})$ değeri okunur (P doğruları yardımcı ile).
- Mekanizmanın hızından yavaşa veya yavaştan hızıyla olan çalışma şartlarına bağlı olarak Şekil 30.17b'de L doğruları veya Şekil 30.17c'de S doğruları yardımcı ile ortalama diş sayısı

$$z = \frac{z_i + z_{\perp}}{2}$$

İçin ortalama profil kaydırma faktörü

$$X = \frac{X_i + X_{\perp}}{2}$$

değerlerinin kesiştiği nokta bulunur. Böylece en uygun L veya S doğrusu seçilmiş olur. Belirlenen nokta doğrularından biri üzerinde çıkışmamışsa noktaya en yakın doğruya bir paralel çizilerek gereken doğrulu belirlenir.

c) Daha sonra yatay eksende z_1 diş sayısı noktasından çıkan dikmenin, önceden bulunmuş olan doğruya kestiği nokta yatay olarak x eksenine (düşey eksen – profil kaydırma faktörü eksen) birleştirilir. Böylece x_1 değeri okunur. Benzer şekilde yatay eksende z_2 noktasından çıkan dikmenin belirlenen doğruya kestiği noktadan çizilen yatay doğru yardımı ile x_2 faktörü okunur.

Sayısal örnek:

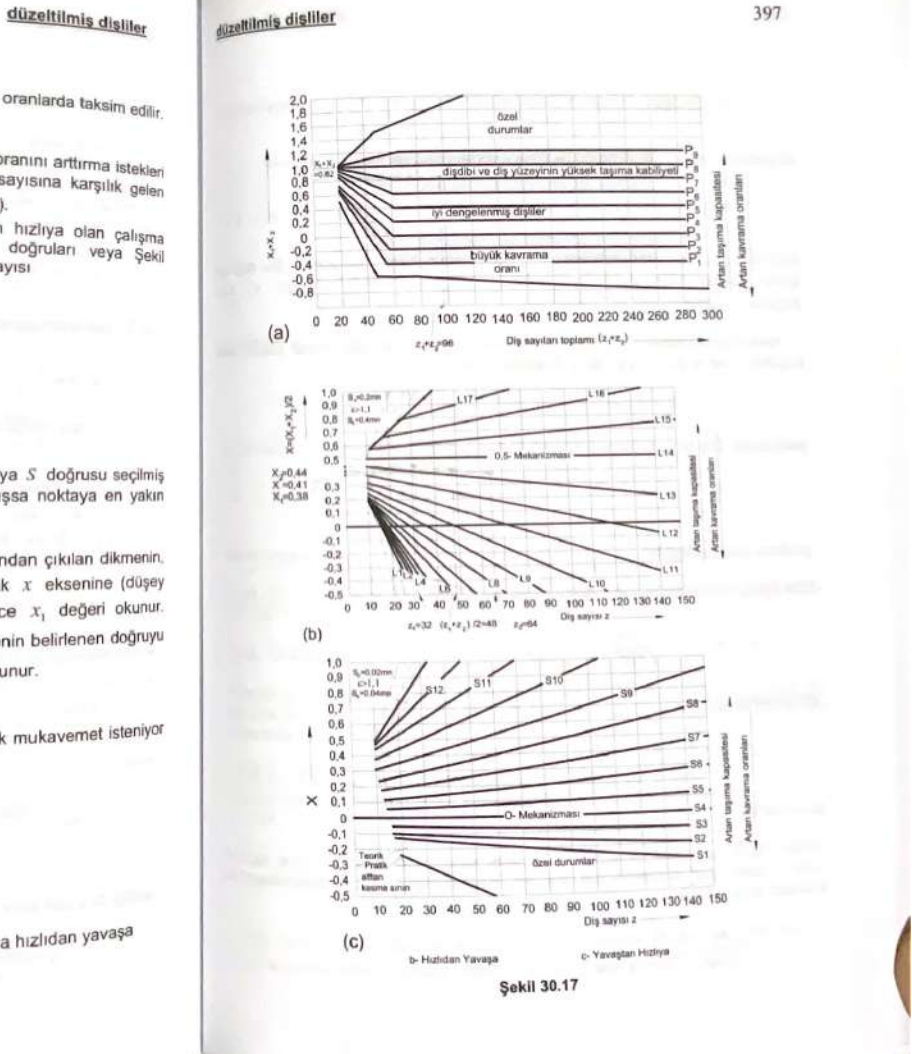
$z_i = 32$ ve $z_{\perp} = 64$ diş sayılarına sahip mekanizmada yüksek mukavemet isteniyor olsun.

$$z_i + z_{\perp} = 96$$

İçin Şekil 30.17a'dan

$$X = X_i + X_{\perp} = 0,82$$

değeri okunur ($P7$ doğrusunun biraz üstünden). Bu mekanizma hızından yavaşça çalışıysa Şekil 30.17b'de yatay eksen üzerinde



$$\frac{z_1 + z_2}{2} = 48$$

değerinden çıkan dik doğrultu ile düşey eksen üzerinde işaretlenen

$$X = \frac{X_1 + X_2}{2} = 0,41$$

doğrultusunun kesişme noktası L13 doğrusunun biraz üstündedir. Bu doğruya çizilen paralel doğru üzerinde $z_1 = 32$ için $X_1 = 0,44$ ve $z_2 = 64$ için $X_2 = 0,38$ değerleri okunur.

V -mekanizmasındaki diş yüksekliği 0-mekanizmasından genel olarak daha küçüktür. Her iki duruma ait diş yükseklikleri farkı

$$h_a - h_v = (X_1 + X_2)m - (a_i - a_e)$$

şeklindedir. Diş boyu kısalması faktörü v ile gösterilirse bu faktör

$$v = \frac{h_a - h_v}{m}$$

şeklinde tespit edilebilir.

Düz dişli iç V -mekanizması olduğunda eksen açılığı

$$a_v = m \cdot \frac{z_2 - z_1}{2} \cdot \frac{\cos \alpha_e}{\cos \alpha_v}$$

ve kavrama açısı

$$eva_v = 2 \cdot \frac{X_1 - X_2}{z_2 - z_1} \cdot \tan \alpha_e + eva_e$$

şeklindedir.

Helisel dişlerde yapılacak düzeltme normal kesitteki profil göz önüne alınarak yapılır. İşlem düz dişlerdekinin aynıdır. Helisel dişli diş V -mekanizmasında eksenler arası açılık

$$a_v = \frac{m}{\cos \beta_e} \cdot \frac{z_2 + z_1}{2} \cdot \frac{\cos \alpha_e}{\cos \alpha_v}$$

Normal kesitte $\alpha_m = 20^\circ$ iken alın kesitinde kavrama açısı (0 - dişlide)

$$\tan \alpha_m = \frac{\tan \alpha_e}{\cos \beta_e}$$

$\Rightarrow V$ -mekanizmasındaki alın profil kavrama açısı

$$eva_v = 2 \cdot \frac{X_1 + X_2}{z_2 + z_1} \cdot \tan \alpha_m + eva_e$$

dur.

Helisel dişli iç V -mekanizmasında eksenler arası açılık

$$a_v = \frac{m}{\cos \beta_e} \cdot \frac{z_2 - z_1}{2} \cdot \frac{\cos \alpha_e}{\cos \alpha_v}$$

ve kavrama açısı

$$eva_v = 2 \cdot \frac{X_1 - X_2}{z_2 - z_1} \cdot \tan \alpha_m + eva_e$$

olarak hesaplanır.

Konik düz dişlerde ise düzeltme eşdeğer profiller üzerinde düz dişlerde olduğu gibi yapılır.

30.6. Düzeltmiş Dişilerin Mukavemet Hesabı

Düzeltmiş dişlerin mukavemet hesapları da standart dişlerde olduğu gibi yapılmaktadır. Ancak burada düzeltme nedeniyle ortaya çıkan faktörler göz önüne alınmalıdır.

30.6.1. Diş Dibi Mukavemetine Göre Kontrol

Normal dişli mekanizmalarında kullanılan büyüklikler ve sembollerle dişli çiftinin modülü

$$m = 8,6 \sqrt{\frac{\xi \cdot M_{ui} \cdot q}{z_1 \cdot \sigma_m \cdot v \cdot c}} \quad (\text{mm})$$

esitiği yardımıyla hesaplanabilir. Burada q - profil dibi faktörü olup diş sayısı ve profil kaydırma faktörüne bağlı olarak Şekil 30.18'den alınabilir.

Cetvel 30.4 Evolvent fonksiyonu $\theta = ev\alpha = \tan\alpha - \kappa$

$i^{\#}$	0	.1	.2	.3	.4	.5	.6	.7	.8	.9
10	0.0017941	0.0018480	0.0019048	0.0019619	0.0020204	0.0020785	0.0021400	0.0022017	0.0022646	0.0023288
11	0.0023941	0.0024407	0.0025002	0.0025573	0.0026178	0.0026783	0.0027393	0.0028012	0.0028635	0.0029260
12	0.0031177	0.0031778	0.0032378	0.0032978	0.0033578	0.0034174	0.0034774	0.0035374	0.0035973	0.0036571
13	0.0037754	0.0040082	0.0041644	0.0043012	0.0043595	0.0044093	0.0044587	0.0045077	0.0045636	0.0046191
14	0.0050819	0.0052612	0.0052027	0.0053147	0.0054293	0.0055448	0.0056624	0.0057817	0.0059027	0.0060256
15	0.0051403	0.0052749	0.0054209	0.0055637	0.0056959	0.0058185	0.0059327	0.0060459	0.0061587	0.0062718
16	0.0074927	0.0076373	0.0077819	0.0079265	0.0080714	0.0082162	0.0083613	0.0085063	0.0086514	0.0087963
17	0.0077497	0.0079047	0.0080624	0.0082234	0.0083937	0.0085683	0.0087437	0.0089207	0.0091034	0.0092863
18	0.0107861	0.0109448	0.011132	0.011323	0.011515	0.011708	0.011906	0.012105	0.012306	0.012508
19	0.017715	0.0179248	0.0181348	0.0183448	0.018562	0.0187778	0.018999	0.019222	0.019447	0.019674
20	0.01494	0.0151137	0.0153772	0.0156480	0.0159585	0.0162692	0.0166337	0.0169885	0.0173436	0.0176988
21	0.017348	0.017623	0.017855	0.018128	0.0183925	0.0186655	0.0190327	0.0193012	0.0195705	0.0198470
22	0.0203504	0.0203441	0.0203873	0.0204211	0.0204514	0.0204815	0.0205119	0.0205419	0.0205720	0.0206028
23	0.0233549	0.0233601	0.023604	0.024023	0.024432	0.024866	0.0254992	0.0255326	0.0255644	0.0255962
24	0.0262350	0.0262350	0.0270497	0.0277660	0.0281212	0.028485	0.0288527	0.0292223	0.0295905	0.0298605
25	0.0299795	0.0300337	0.0303741	0.0311330	0.0315121	0.031917	0.033315	0.033718	0.0342124	0.0347154
26	0.0333447	0.0343614	0.034785	0.0352035	0.0356065	0.0360695	0.0365505	0.0370455	0.037388	0.037935
27	0.0383881	0.0387474	0.0392011	0.0396864	0.0401311	0.0406002	0.041076	0.041558	0.042039	0.042528
28	0.0430117	0.0435113	0.0449113	0.044918	0.045024	0.045537	0.0460554	0.046575	0.047100	0.047603
29	0.048164	0.0487003	0.0497887	0.0503444	0.0509393	0.0514602	0.0520217	0.052597	0.053172	0.053712
30	0.053751	0.054338	0.054924	0.055618	0.0562720	0.0569116	0.0575178	0.0581940	0.0588558	0.0595181
31	0.058509	0.0603441	0.061079	0.061721	0.062369	0.063027	0.063680	0.064343	0.065012	0.065888
32	0.0666364	0.0670401	0.0687730	0.0688433	0.069133	0.069838	0.070549	0.071168	0.071888	0.072716
33	0.0753449	0.074188	0.074832	0.075683	0.076459	0.077206	0.077970	0.0787141	0.0795278	0.080350
34	0.0851907	0.085897	0.085985	0.0864321	0.0865142	0.0865970	0.0868804	0.0869444	0.0869600	0.0869600
35	0.095342	0.095791	0.095967	0.096128	0.0962916	0.096452	0.0966330	0.0968335	0.0970338	0.0972338
36	0.098224	0.099149	0.100069	0.101019	0.101964	0.102916	0.103875	0.104841	0.105814	0.106785
37	0.107787	0.108777	0.109779	0.110781	0.111603	0.112629	0.113647	0.114665	0.115683	0.116701
38	0.118081	0.119130	0.120207	0.121291	0.122374	0.123447	0.124520	0.125593	0.126663	0.127732
39	0.129308	0.130254	0.131411	0.132378	0.1333750	0.134311	0.135122	0.1357320	0.1365216	0.1374742
40	0.140968	0.142701	0.143443	0.144094	0.1445954	0.145722	0.1468500	0.147978	0.149103	0.150228
41	0.153702	0.155025	0.156358	0.157700	0.159052	0.160314	0.161715	0.163116	0.164558	0.165998
42	0.16809	0.16938	0.17070	0.17209	0.17347	0.17485	0.17623	0.177518	0.178909	0.180211
43	0.183024	0.183547	0.185080	0.186625	0.188180	0.189748	0.191324	0.192912	0.194511	0.196102
44	0.197744	0.199377	0.201072	0.202687	0.204348	0.205676	0.207717	0.209420	0.211139	0.212861

30.6.2. Ezilme ve Aşınmaya Göre Kontrol

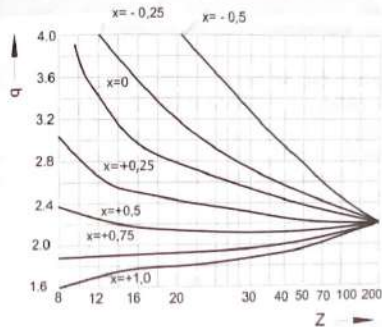
Dışı çarkları düzeltme koşullarının göz önüne alındığı ve yine normal diş çarklarında kullanılan büyütükler ve semboller yardımıyla modül eşitliği

$$m = \frac{\sqrt{M_{\text{ci}} E_{\text{ci}} (i+1)}}{z_1^3 p_m \gamma \sin \alpha_c} \quad (\text{mm})$$

şeklindedir. Burada eşdeğer elastiklik modülü

$$\frac{1}{E} = \frac{1}{2} \left(\frac{1}{E_1} + \frac{1}{E_2} \right)$$

olarak hesaba katılır.



V-mekanizmasındaki kavrama oranı da değişeceğini, dış diş mekanizmalarda

$$z_2 = -\frac{1}{2\pi} \left[\sqrt{\left(\frac{z_1 + 2(X_2 + 1 - \nu)}{\cos \alpha_c} \right)^2 - z_1^2} + \sqrt{\left(\frac{z_1 + 2(X_2 - 1 - \nu)}{\cos \alpha_c} \right)^2 - z_1^2} - (z_2 - z_1) \tan \alpha_c \right]$$

Şekilde hesaplanmalıdır. Burada $\nu = \frac{h_i - h_e}{m}$ olarak dış boyu kısalma faktörünü göstermektedir.

Sonuç olarak yukarıda belirtilen düzeltme yöntemleri dışında diş imalatı yapan birçok firmadan da (MAAG sistemi, V3 sistemi vb.) kendi özel düzeltme ve iyileştirme yöntemleri vardır. En uygun düzeltme yöntemi, hiç kuşkusuz ki diğer bütün üretim ve şekillendirme yöntemlerinde olduğu gibi, geniş ölçüde uygulama alanına ve bu alanda edinilen deneyimlere bağlıdır.

Helisel dişilerde çok özei haller dışında düzeltme yapmanın ne oranda yararı olduğu konusu hala tartışılmaktadır. Ancak planet mekanizmalarında olduğu gibi, eksen kaçıklıklarının ayarlanması zorunlu olmaktadır.

31. DÜZELTİLMİŞ DİŞLİ PROBLEMLERİ

Problem 31.1

$14,5^\circ$ kavrama açılı, 5 mm modülü, 30 dişli bir çarkın taksimat dairesi çapı 150 mm ve bu taksimat dairesindeki diş kalınlığı $2,5\pi$ olacaktır. Çarkın kremayer veya azdırma ile açıldığı varsayılmıştır. Bu çarkı, kavrama açısı 20° ve taksimat dairesi üzerindeki diş kalınlığı $8,255\text{ mm}$ olacak şekilde imal etmek istedigimizde kesici takımın (bıçağın) profilinin kayma miktarı ne olmalıdır?

Cözüm 31.1

İmal edilmiş dişlinin:

$$\text{Diş kalınlığı } S = 2,5\pi = 7,854\text{ mm}$$

$$\text{Kavrama açısı } \alpha_s = 14,5^\circ$$

$$\text{Temel dairesi çapı } d_g = d_s \cdot \cos \alpha_s = 150 \cdot \cos 14,5^\circ = 145,22\text{ mm}$$

İmal edilecek dişlinin:

$$\text{Diş kalınlığı } S_g = 8,255\text{ mm}$$

$$\text{Kavrama açısı } \alpha_g = 20^\circ$$

Kesici takımın (bıçak) profilinin kayma miktarı

$$\Delta = \frac{S_g \cdot \cos \alpha_g + d_g (\operatorname{ev} \alpha_g - \operatorname{ev} \alpha_s) - S \cdot \cos \alpha_s}{2 \cdot \sin \alpha_s}$$

$$\text{Burada } \operatorname{ev} \alpha_s = \tan \alpha_s - \alpha_s = \tan 14,5^\circ - \frac{14,5\pi}{180} = 0,0055$$

$$\operatorname{ev} \alpha_g = \tan \alpha_g - \alpha_g = \tan 20^\circ - \frac{20\pi}{180} = 0,0149$$

olduğuna göre

$$\Delta = \frac{8,255 \cdot \cos 20^\circ + 145,22 (0,0149 - 0,0055) - 7,854 \cdot \cos 14,5^\circ}{2 \cdot \sin 14,5^\circ} = 3,032\text{ mm}$$

olmalıdır.

Problem 31.2

Bir dişli mekanizmasında $\alpha_s = 20^\circ$, $i = 2,75$; $m = 10\text{ mm}$ ve pinyonun imalat taksimat dairesi çapı $d_m = 120\text{ mm}$ dir.

- a) Mekanizmadaki dişlerin dış sayıları nedir?
 b) Altan kesilmesi önlemek için pinyonun profil kaydırma faktörü en az ne olmalıdır?
 c) Çark 0 - dişleri ise eksenler arası uzaklık nedir?

Cözüm 31.2

- a) Mekanizmadaki dişlerin dış sayıları

$$\begin{array}{ll} \text{Pinyon} & z_1 = \frac{d_{\text{m}}}{m} = \frac{120}{10} = 12 \\ \text{Çark} & z_2 = i \cdot z_1 = 2,75 \cdot 12 = 33 \end{array}$$

- b) $\alpha_s = 20^\circ$ için pinyonun profil kaydırma faktörü

$$X_1 = \frac{14 - z_1}{17} = \frac{14 - 12}{17} = 0,11765$$

olmalıdır.

- c) 0 - dişleri için ($X_1 = 0$) eksenler arası uzaklık

$$a_s = a_* \cdot \frac{\cos \alpha_s}{\cos \alpha_*}$$

Burada

$$a_* = m \cdot \frac{z_1 + z_2}{2} = 10 \cdot \frac{12 + 33}{2} = 225 \text{ mm}$$

Diğer taraftan $\Delta = \Delta_1 = X_1 \cdot m = 0,11765 \cdot 10 = 1,1765 \text{ mm}$ ve $\alpha_s = 20^\circ$ için

$$\cos \alpha_* = \frac{\cos \alpha_s}{1 + \Delta / a_*} = \frac{\cos 20}{1 + 1,1765 / 225} = 0,9348 \text{ ve } \alpha_* = 20,8^\circ$$

Böylece eksenler arası

$$a_* = 225 \cdot \frac{\cos 20^\circ}{\cos 20,8^\circ} = 226,1776 \text{ mm}$$

olur.

bir yoldan:

$$a_1 = a_* + \Delta = 225 + 1,1765 = 226,1765 \text{ mm}$$

İşte Aradaki fark, yapılan kabuller ve terk edilen rakamlardan yolaçanmaktadır.

Problem 31.3

Üç mili arasındaki hız değişimini temin etmek amacıyla kullanılan dişlerin dış sayıları $z_1 = 12$ ve $z_2 = 50$ iken bu sisteme hız geçiş oranı (çevrim oranı), 12 tınlı pinyon yerine 11 dişli pinyon monte edilerek değiştirilmek istenmektedir. Diş sayıları 50 olan çark ve merkez mesafeleri aynı kalmaktadır. Dişli çiftinin modülü $m = 10$ olduğuna göre, yeni pinyon için gerekli profil kaydırma faktörünü hesaplayınız ve yeni diş dib boşluğunu standart değer ile kıyaslayınız.

Cözüm 31.3

Çözülmemesi gereken eksen mesafesi

$$a_* = m \left(\frac{z_1 + z_2}{2} \right) = 12 \left(\frac{12 + 50}{2} \right) = 372 \text{ mm}$$

Merkez mesafesi

$$a_1 = m \left(\frac{z_1 + z_2}{2} \right) = 12 \left(\frac{11 + 50}{2} \right) = 366 \text{ mm}$$

Sisteminin kavrama açısı

$$\cos \alpha_* = \frac{a_*}{a_1} \cdot \cos \alpha_s = \frac{366}{372} \cdot \cos 20^\circ = 0,9245 \text{ ve } \alpha_* = 22,4^\circ$$

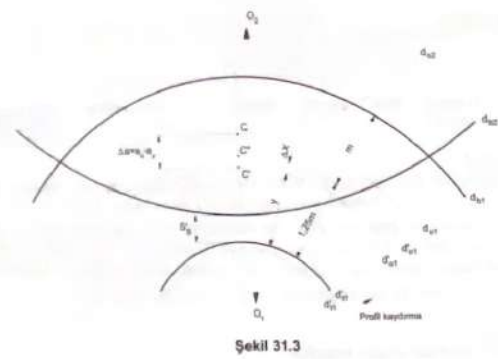
Diğer taraftan

$$\tan \alpha_* = \tan \alpha_s - \alpha_* = \tan 22,4 - 22,4 \cdot \frac{\pi}{180} = 0,0212$$

$$\tan \alpha_* = \tan \alpha_s - \alpha_* = \tan 20 - 20 \cdot \frac{\pi}{180} = 0,0149$$

Profil kaydırma faktörü

$$X_1 + X_2 = \frac{(z_1 + z_2)}{2 \cdot \cos \alpha_*} \cdot (\tan \alpha_* - \tan \alpha_s)$$

düzeltilmiş dişli problemleri

Şekil 31.3

esitliğinde $X_1 = 0$ olduğundan

$$X_1 = \frac{(50+11)}{2 \cdot \tan 20^\circ} (0,0212 - 0,0149) \cong 0,53$$

Eğer $z_1 = 12$ dişli kullanılıyorsa d_{s1} ve d_{s2} yuvarlanma taksimat dairesi C noktasında teğet olarak çalışacaktır. $z_1 = 11$ dişli kullanıldığında d_{s1} imalat taksimat dairesi C' noktasından geçmektedir. Bu durumda $\overline{CC'} = \Delta a = a_s - a_c = 372 - 366 = 6 \text{ mm}$ olur. Ancak dişlerin uygun bir dayanım ile çalışabilmesi için z_1 dişisinin d_{s1} dairesi

$$\Delta X = X_1 m = 0,53 \cdot 12 = 6,36 \text{ mm}$$

kadar C' noktasına kaydırılmalıdır. Şekil 31.3'e göre

$$y = m - \Delta a + S_s' = m(1,25 - X_1)$$

yazılır. Böylece profil kaydırma sonrası diş çiftinde oluşan diş başı boşluğu

$$S_s' = (0,25 - X_1)m + \Delta a = (0,25 - 0,53)12 + 6 = 2,64 \text{ mm}$$

olar. Diş çiftindeki standart boşluk ise

$$S_s = 0,25m = 0,25 \cdot 12 = 3 \text{ mm}$$

Z₁ = 0 olduğuna göre $\Delta = \Delta_1$ olur. Böylece

$$a_s = m \left(\frac{z_1 + z_2}{2} \right) = 10 \left(\frac{11 + 54}{2} \right) = 325 \text{ mm}$$

Z₁ = 0 olduğuna göre $\Delta = \Delta_1$ olur. Böylece

$$\Delta = X_1 m = 0,1765 \cdot 10 = 1,765 \text{ mm}$$

Z₁ = 0 durumda yeni kavrama açısı

$$\cos \alpha_s = \frac{\cos \alpha_s}{1 + \frac{\Delta}{a_s}} = \frac{\cos 20}{1 + \frac{1,765}{325}} = 0,9346 \quad \text{ve} \quad \alpha_s = 20,834^\circ$$

Z₁ = 0 göre montajdaki yeni eksenler arası aralık

düzeltilmiş dişli problemleri**Problem 31.4**

İr pres alt dişli mekanizmasında çevrim oranı $i = 4,9$ ve modül $m = 10 \text{ mm}$ ' dir. Mekanizmanın çalışma şartları ve dişlerin yerleştirileceği yer bakımından küçük imalat taksimat dairesi çapı 110 mm olmak zorundadır. Mekanizma V-kanalızması olacaktır. Buna göre:

- Dişlerin diş sayıları ne olmalıdır?
- Altın kesimleme önlemek için küçük dişinin profil kayma faktörü en az ne olmalıdır?
- Büyük dişli O -dişli olduğuna göre eksenler arası aralık ne kadardır?

Sözüm 31.4*i) Diş sayıları*

$$z_1 = \frac{d_{s2}}{m} = \frac{110}{10} = 11$$

$$z_2 = iz_1 = 4,9 \cdot 11 \cong 54$$

ii) Altın kesimleme olmaması bakımından küçük dişinin profil kaydırma faktörü en az ne olmalıdır.

iii) Standart eksenler arası aralık

$$a_s = m \left(\frac{z_1 + z_2}{2} \right) = 10 \left(\frac{11 + 54}{2} \right) = 325 \text{ mm}$$

Z₁ = 0 olduğuna göre $\Delta = \Delta_1$ olur. Böylece

$$\Delta = X_1 m = 0,1765 \cdot 10 = 1,765 \text{ mm}$$

Z₁ = 0 durumda yeni kavrama açısı

$$\cos \alpha_s = \frac{\cos \alpha_s}{1 + \frac{\Delta}{a_s}} = \frac{\cos 20}{1 + \frac{1,765}{325}} = 0,9346 \quad \text{ve} \quad \alpha_s = 20,834^\circ$$

Z₁ = 0 göre montajdaki yeni eksenler arası aralık

düzeltilmiş dişli problemleri

$$a_s = a_e - \frac{\cos\alpha_s}{\cos\alpha_e} = 325, \frac{\cos 20^\circ}{\cos 20,834} = 326,765 \text{ mm}$$

veya

$$a_s = a_e + \Delta = 325 + 1,765 = 326,765 \text{ mm}$$

d) Küçük dişinin imalat takımları dairesi çapı

$$d_{s1} = m.z_1 = 10.11 = 110 \text{ mm}$$

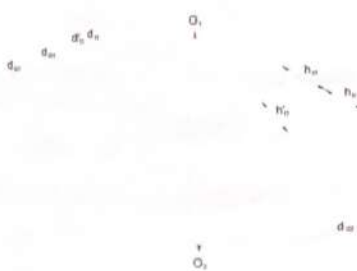
Standart durumda diş dibindeki derinliği

$$h_{s1} = 1,25.m = 1,25.10 = 12,5 \text{ mm}$$

Standart durumda diş tabanı dairesi çapı

$$d_s = d_{s1} - 2.h_{s1} = 110 - 2.12,5 = 85 \text{ mm}$$

Ancak alttan kesilmeyi önlemek bakımından pinyonu imal edecek olan kesici takım $\Delta_s = 1,765 \text{ mm}$ kaydırılmıştır. Bu durumda diş dibindeki derinliği



Şekil 31.4

$$h_s = h_{s1} - \Delta_s = 12,5 - 1,765 = 10,735 \text{ mm}$$

olur. Böylece diş tabanı dairesi çapı da

düzeltilmiş dişli problemleri

$$d_s = 110 - 2.10,735 = 88,53 \text{ mm}$$

olaraktır (Şekil 31.4).

Diş başı yüksekliği

$$h_{s1} = m = 10 \text{ mm}$$

oluşumuna göre diş başı dairesi çapı

$$d_{s1} = d_s + 2.h_{s1} = 110 + 2.10 = 130 \text{ mm} \text{ olur.}$$

Problem 31.5

Bir V-mekanizmasında diş sayıları $z_1 = 11$, $z_2 = 29$, modül $m = 6 \text{ mm}$, boşlukszı eksenler arası uzaklık $a_e = 125 \text{ mm}$, standart kavrama açısı $\alpha_e = 20^\circ$ ve pinyonun düzeltme faktörü $X_1 = 0,5$ olarak bilinmektedir. Çark için olan düzeltme faktörünü hesaplayınız.

Cevap 31.5

Standart eksenler arası uzaklık

$$a_s = \frac{m}{2}(z_1 + z_2) = \frac{6}{2}.(11 + 29) = 120 \text{ mm}$$

oluşumuna göre yeni kavrama açısı

$$\cos\alpha_s = \frac{a_s}{a_e} \cos\alpha_e = \frac{120}{125} \cos 20^\circ = 0,9021 \text{ ve } \alpha_s = 25,564^\circ$$

Evolvent fonksiyonuna göre $ev\alpha_s = ev25,564 = 0,03217$ ve $ev\alpha_e = ev20 = 0,0149$
Diş çarklarının profil kaydırma faktörlerinin toplamı:

$$X_1 + X_2 = \frac{z_1 + z_2}{2 \cdot \tan \alpha_s} \cdot (ev\alpha_s - ev\alpha_e)$$

Eşitliğinden çarkın düzeltme faktörü olarak

$$X_s = \frac{(z_1 + z_2) \cdot (ev\alpha_s - ev\alpha_e)}{2 \cdot \tan \alpha_s} - X_1 = \frac{(11 + 29) \cdot (0,03217 - 0,0149)}{2 \cdot \tan 20^\circ} - 0,5 = 0,448978$$

bulunur.

Problem 31.6

Bir vites kutusunda bir kademeye için verilen çevrim oranı $i = 2,74$ dır. Dişiler düz alın dişli olup modül $m = 4 \text{ mm}$ dir. Diş sayıları $z_1 = 19$ ve $z_2 = 52$ dir. Boşluksuz eksenler arası uzaklık $a_e = 145 \text{ mm}$ olacaktır. Buna göre:

- Bu eksen aralığını gerçekleştirmek için dişlerin profil kaydırma faktörleri ne olmalıdır?
- Yuvarlanma dairesi üzerindeki boşluğun (çevresel yan boşluk) $S_e = 0,08 \text{ mm}$ olması için eksenler arası aralık ne kadar açılmalıdır?

Cözüm 31.6

- a) Standart eksenler arası uzaklık

$$a_e = \frac{m}{2} (z_1 + z_2) = \frac{4}{2} (19 + 52) = 142 \text{ mm}$$

olduğuna göre mekanizmanın kavrama açısı

$$\cos \alpha_e = \frac{a_e}{a_i} \cdot \cos \alpha_i = \frac{142}{145} \cdot \cos 20^\circ = 0,92025 \quad \text{ve} \quad \alpha_e = 23,037^\circ$$

$$\text{Ayrıca } \operatorname{eva} \alpha_e = \tan 23,037^\circ - \frac{23,037 \cdot \pi}{180} = 0,02316$$

$$\operatorname{eva} \alpha_e = \tan 20^\circ - \frac{20 \cdot \pi}{180} = 0,0149$$

Dişli çarkların profil kaydırma faktörleri toplamı

$$X_i + X_{\frac{1}{2}} = \frac{z_1 + z_2}{2 \cdot \tan \alpha_e} \cdot (\operatorname{eva} \alpha_e - \operatorname{eva} \alpha_i) = \frac{19 + 52}{2 \cdot \tan 20^\circ} \cdot (0,02316 - 0,0149) = 0,8056$$

Böylece

$$X = \frac{X_i + X_{\frac{1}{2}}}{2} = \frac{0,8056}{2} = 0,4028$$

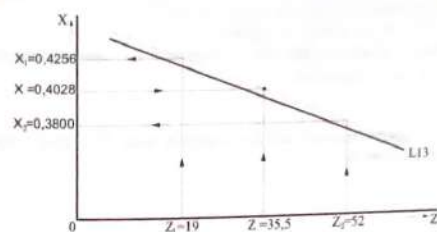
ve

$$z = \frac{z_1 + z_2}{2} = \frac{19 + 52}{2} = 35,5$$

ortalama değerleri bulunur. Mekanizma dişli kutusu olduğundan hızlıdan yavaşa doğru bir güç传递 söz konusudur. O halde Şekil 30.17b'deki diyagramda L13 doğrusu esas alınarak bilinenler yardımıyla

$$X_i = 0,4256 \quad \text{ve} \quad X_{\frac{1}{2}} = 0,38$$

değerleri okunur.

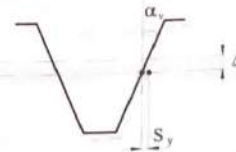


Şekil 31.6a

b) Şekil 31.6b'ye göre

$$S_e = 2 \cdot \Delta \cdot \tan \alpha_e$$

yazılır,



Şekil 31.6b

Dişli çarkındaki çevresel boşluğun $S_e = 0,08 \text{ mm}$ olması için eksenler arası aralık

$$\Delta = \frac{S_e}{2 \cdot \tan \alpha_e} = \frac{0,08}{2 \cdot \tan 23,037^\circ} = 0,094065 \text{ mm}$$

kadar açılmalıdır.

Problem 31.7

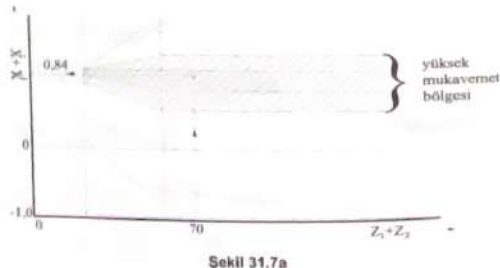
Çok amaçlı bir dişli çark mekanizmasında hızdan yavaşa doğru bir güç akışı vardır. Diş sayıları $z_1 = 21$, $z_2 = 49$ ve modül $m = 5 \text{ mm}$ olarak verilmiştir.

Dayanıklı bir diş dibine etmek için V - Mekanizması yapılacaktır. Buna göre:

- Profil kaydırma faktörleri ne kadar olmalıdır?
- Boşluksuz eksen aralığı ne kadarıdır?
- Kavrama doğrultusundaki diş boşluğunun $0,15 \text{ mm}$ olması için eksenler arası ne kadar açılmalıdır?

Cözüm 31.7

a) Diş çarkları yüksek mukavemet beklenidine Şekil 30.17a'daki diyagramın bu bölgeye dikkate alınmalıdır.



Şekil 30.17a

Diş sayıları toplamı $z_1 + z_2 = 21 + 49 = 70$ için Şekil 30.17a'dan

$$X_1 + X_2 = 0,84$$

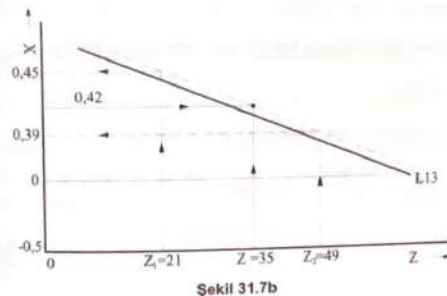
değeri okunur (Şekil 30.17a). Ortalama diş sayısı

$$z = \frac{z_1 + z_2}{2} = 35$$

ve ortalama profil kaydırma faktörü

$$X = \frac{X_1 + X_2}{2} = 0,42$$

değerleri ile hızdan yavaşa güç akışı göz önüne alındığında (Şekil 30.17b), diyagramda L13 doğrusunun en uygun konum olduğu görülmür. Buradan



Şekil 30.17b

$z_1 = 21$ için $X_1 = 0,45$ ve $z_2 = 49$ için $X_2 = 0,39$ değerleri okunur (Şekil 30.17b).

b) Boşluksuz eksenler arası uzaklık

$$a_s = a_e \cdot \frac{\cos \alpha_e}{\cos \alpha_s}$$

Burada

$$\operatorname{ev}20^\circ = \tan 20^\circ = \frac{\pi}{180} \cdot 20 = 0,0149$$

$$\operatorname{ev}\alpha_e = \frac{2 \cdot (X_1 + X_2)}{z_1 + z_2} \cdot \tan \alpha_e + \operatorname{ev}\alpha_s = \frac{2 \cdot 0,84}{70} \cdot \tan 20^\circ + 0,0149 = 0,023635$$

Cetvel 30.4'deki evolvent fonksiyon tablosundan (doğrusal dönüşümle) $\alpha_e = 23,185^\circ$ değeri bulunur.

Standart eksen aralığı

$$a_e = \frac{m}{2} \cdot (z_1 + z_2) = \frac{5}{2} \cdot (21 + 49) = 175 \text{ mm}$$

olduğuna göre boşluksuz eksen aralığı

$$a_s = 175 \cdot \frac{\cos 20^\circ}{\cos 23,185^\circ} = 178,894 \text{ mm}$$

olmalıdır.

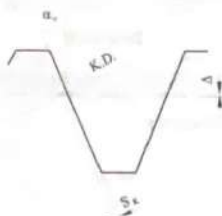
c) Şekil 31.7c'ye göre kavrama doğrusu üzerinde ölçülen boşluk için

$$S_y = 2\Delta \sin \alpha_c$$

yazılı. Buradan eksenler arası aralığın açılma miktarının

$$\Delta = \frac{S_y}{2 \sin \alpha_c} = \frac{0,15}{2 \sin 23,185^\circ} = 0,19045 \text{ mm}$$

olduğu görülür.



Şekil 31.7c

Bu duruma göre yeni eksenler arası açılık (boşluklu)

$$a_{\text{c}} = a_1 + \Delta = 178,894 + 0,19045 = 179,084 \text{ mm}$$

olmaktadır.

Problem 31.8

Silindirik düz dişli çarklardan oluşan ve giriş-çıkış m illeri aynı eksen doğrultusunda çalışan iki kademeli bir dişli kutusunda birinci kademe dişlerinin diş sayısı $z_1 = 12$, $z_2 = 89$ ve modülü $m_1 = 3,5 \text{ mm}$, ikinci kademe dişlerinin diş sayıları ise $z_3 = 20$, $z_4 = 69$ ve modülü $m_2 = 4 \text{ mm}$ 'dır.

a) Birinci kademe dişleri ikinci kademe dişlerle aynı eksende çalıştırılacak ve z_1 dişisini sıfır dişisi olarak yapmak için z_1 dişisinin profil kaydırma faktörü ne olmalıdır?

b) Bu durumda z_1 dişisinin boyutları ne olur? Şekil çizerek kesici takım ile dişinin imalatındaki konumunu gösteriniz.

c) Altan kesilme olmaması için z_1 dişisinin profil kaydırma faktörü ne olmalıdır?

d) Birinci kademe dişlerin, profil kaydırma yapılmadan önce ve sonraki kavrama oranlarını hesaplayınız ve sonucu tartışınız.

e) Diş dibi mukavemetine göre z_1 dişisinin modülünü kontrol ediniz

Bilinenler:

İleten moment $k \cdot M_{\text{st}} = 4100 \text{ daNm}$, malzeme C45 ($\sigma_{\text{sm}} = 1500 \text{ daN/cm}^2$), dinamik yük faktörü $\xi = 1,25$, genişlik sayısı $\psi = 10$, form faktörü $\gamma = 9,5$ ve düzeltilmiş dişlide profil dibi faktörü $q = 2,5$ olarak alınacaktır.

Cözüm 31.8

i) Birinci kademe dişlerin eksen mesafesi

$$a_1 = \frac{m_1}{2} (z_1 + z_2) = \frac{3,5}{2} (12 + 89) = 176,75 \text{ mm}$$

İkinci kademe dişlerin eksen mesafesi

$$a_2 = \frac{m_2}{2} (z_3 + z_4) = \frac{4}{2} (20 + 69) = 178 \text{ mm}$$

Bu durumda a_1 eksen mesafesi $a_1 = a_2 = 178 \text{ mm}$ 'ye değişecektir. z_1 dişisi sıfır diş olacağına göre z_1 V-dişisi yapılarak bu işlem gerçekleştirilebilir. Bu durumda

$$a_1 = a_2 = a_1 \cdot \frac{\cos \alpha_c}{\cos \alpha_s}$$

Degişen kavrama açısı

$$\cos \alpha_s = \frac{a_1}{a_2} \cdot \cos \alpha_c = \frac{176,75}{178} \cdot \cos 20^\circ = 0,933 \text{ ve } \alpha_s \geq 21^\circ \text{ bulunur.}$$

Dişlere uygulanacak profil kaydırma faktörleri

$$X_1 + X_2 = \frac{z_1 + z_2}{2 \tan \alpha_s} (\operatorname{eva} \alpha_c - \operatorname{eva} \alpha_s)$$

Eşitliği ile hesaplanır. Burada

$$\operatorname{eva} \alpha_e = \tan \alpha_e - \alpha_e = \tan 21 - 21 \cdot \frac{\pi}{180} = 0,01734$$

$$\operatorname{eva} \alpha_e = \tan 20 - 20 \cdot \frac{\pi}{180} = 0,0149$$

Böylece

$$X_1 + X_2 = \frac{12+89}{2 \cdot \tan 20} (0,01734 - 0,0149) = 0,3385$$

Burada $X_2 = 0$ olacağına göre Z_1 dişisinin profil kaydırma faktörü $X_1 = 0,3385$ olur.

b) Z_1 dişisinin boyutları

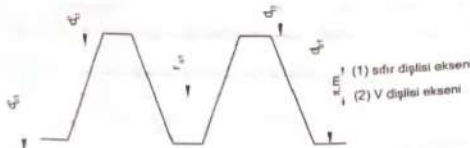
$$d_{n1} = m_z z_1 = 3,5 \cdot 12 = 42 \text{ mm}$$

$$d_{n2} = d_{n1} + 2m = 42 + 2,3,5 = 49 \text{ mm}$$

$$d'_{n1} = d_{n1} + 2m(1 + X_1) = 42 + 2,3,5(1 + 0,3385) = 51,3695 \text{ mm}$$

$$d'_{n2} = d_{n2} - 2,5m = 42 - 2,5,3,5 = 33,25 \text{ mm}$$

$$d''_{n1} = d_{n1} - 2m(1,25 - X_1) = 42 - 2,3,5(1,25 - 0,3385) = 35,6195 \text{ mm}$$



Şekil 31.8

Burada ari düzeltmeli V dişisi yapılmış olup kesici takım standart eksen mesafesine göre

$$\Delta = +X_1 m_z = 0,3385 \cdot 3,5 = 1,18475 \text{ mm}$$

kadar kaydırılmıştır.

c) Altan kesilme olmaması için profil kaydırma faktörü

$$X_1 \geq \frac{14 - z_1}{17} \geq \frac{14 - 12}{17} \geq 0,1176$$

d) Profil kaydırma yapılmadan önceki kavrama oranı

$$\varepsilon = \frac{1}{2\pi} \left[\sqrt{\left(\frac{z_1 + 2}{\cos \alpha_e} \right)^2 - z_1^2} + \sqrt{\left(\frac{z_2 + 2}{\cos \alpha_e} \right)^2 - z_2^2} - (z_1 + z_2) \tan \alpha_e \right]$$

$$= \frac{1}{2\pi} \left[\sqrt{\left(\frac{12 + 2}{\cos 20} \right)^2 - 12^2} + \sqrt{\left(\frac{89 + 2}{\cos 20} \right)^2 - 89^2} - (12 + 89) \tan 20 \right] = 1,63$$

Profil kaydırma sonrası kavrama oranı

$$\varepsilon_e = \frac{1}{2\pi} \left[\sqrt{\left(\frac{z_1 + 2(X_1 + 1 - v)}{\cos \alpha_e} \right)^2 - z_1^2} + \sqrt{\left(\frac{z_2 + 2(X_1 + 1 - v)}{\cos \alpha_e} \right)^2 - z_2^2} - (z_1 + z_2) \tan \alpha_e \right]$$

Burada $v = \frac{h_e - h_1}{m}$ olarak diş boyu kısalma faktöründür. Standart dişinin diş yüksekliği

$$h_e = 2,25 \text{ m} = 2,25 \cdot 3,5 = 7,875 \text{ mm}$$

Veya

$$h_e = \frac{d_{n2} - d_{n1}}{2} = \frac{49 - 33,25}{2} = 7,875 \text{ mm}$$

Profil kaydırma sonrası diş yüksekliği

$$h_e = \frac{d'_{n1} - d'_{n2}}{2} = \frac{51,3695 - 35,6195}{2} = 7,875 \text{ mm}$$

Gördüğü gibi profil kaydırma sonrası diş yüksekliğinde herhangi bir değişime olmamış olup $v = 0$ alınır. $X_1 = 0,3385$ ve $X_2 = 0$ için kavrama oranı

$$\varepsilon_e = \frac{1}{2\pi} \left[\sqrt{\left(\frac{12 + 2(0,3385 + 1)}{\cos 20} \right)^2 - 12^2} + \sqrt{\left(\frac{89 + 2}{\cos 20} \right)^2 - 89^2} - (12 + 89) \tan 21 \right]$$

$$= 1,3735$$

Profil kaydırma sonrası dişlerin kavrama oranı; yük taşıma özelliğini kötü yönde etkileyerek şekilde deşşerek azaltmıştır.

a) Diş dibi mukavemetine göre modül hesabı

Düzeltilme yapılan dişinin modülü

$$m = 8,6 \sqrt{\frac{z_i M_{B1} q}{z_i \sigma_m \gamma' E_i}} = 8,6 \sqrt{\frac{1,25 \cdot 4100 \cdot 2,5}{12.1500 \cdot 10 \cdot 1,3735}} = 3,2 \text{ mm}$$

Standart dişinin modülü ($k=1$ alınarak)

$$m = 6,4 \sqrt{\frac{k z_i M_{B1} \gamma}{z_i \sigma_m \gamma' E}} = 6,4 \sqrt{\frac{1,125 \cdot 4100 \cdot 2,5}{12.1500 \cdot 10 \cdot 1,63}} = 3,3 \text{ mm}$$

Sonuçtan anlaşılaçığı üzere düzeltilmiş diş için gereken modül, standart büyüklüğe göre, daha küçük bir değerde olduğundan düzeltme sonrası diş dibi mukavemeti bakımından herhangi bir sakıncanın ortaya çıkmadığı görürlür.

Problem 31.9

Diş kalınlığı $S_1 = 7,854 \text{ mm}$, diş sayısı $z = 22$ ve standart kavrama açısı $\alpha_s = 20^\circ$ olan bir silindirik düz dişinin,

- a) Baş dairesi ve temel daire üzerindeki diş kalınlığı nedir?
- b) $d_e = 127,76 \text{ mm}$ çapında sıvı tepe oluştuğuna göre sıvı tepe açısı ne kadardır?
- c) Profil kaydırma faktörü $X = +0,38$ olursa taksimat dairesi üzerindeki diş kalınlığı ne olur?
- d) Profil kaydırma işlemi sonrası diş başı ve diş tabanı dairesi çapları ne olur?

Cözüm 31.9

a) Standart dişle

$$m = \frac{2S_1}{\pi} = \frac{2 \cdot 7,854}{\pi} = 5 \text{ mm}$$

$$d_s = m \cdot z = 5 \cdot 22 = 110 \text{ mm}$$

$$d_i = d_s + 2m = 110 + 2 \cdot 5 = 120 \text{ mm}$$

$$d_e = d_s - 2,5 \cdot m = 110 - 2,5 \cdot 5 = 97,5 \text{ mm}$$

$$d_e = d_s \cdot \cos \alpha_s = 110 \cdot \cos 20 = 103,366 \text{ mm}$$

Bir dişli çarkta herhangi bir çaptaki (S_1) diş kalınlığı belli iken başka bir çaptaki diş kalınlığını (S_2) veren eşitlik

$$S_2 = S_1 \cdot \frac{r_2}{r_1} - 2 \cdot r_2 (\operatorname{ev}\alpha_2 - \operatorname{ev}\alpha_1)$$

İşteki gibi. Probleminizde $S_1 = S_2 = 7,854 \text{ mm}$, $r_1 = r_2 = \frac{d}{2} = 55 \text{ mm}$, $r_1 = r_2 = 60 \text{ mm}$, $\alpha_1 = \alpha_s = 20^\circ$ dir. Evolvent temel presibine göre herhangi bir konumda

$$r = \frac{r_s}{\cos \alpha}$$

İşteki gibi burada diş başı dairesi için

$$r_s = r_s \cdot \cos \alpha_s$$

İşteki gibi kullanılarak

$$r_s = r_s \cdot \cos \alpha_s = r_s \cdot \cos \alpha_s$$

Yazılı ve böylece diş başı dairesine karşılık gelen açı

$$\cos \alpha_s = \frac{r_s}{r_s} \cos \alpha_s = \frac{55}{60} \cos 20 = 0,8614 \text{ ve } \alpha_s = 30,5275^\circ$$

Diger taraftan evolvent fonksiyonuna göre

$$\operatorname{ev}\alpha_s = \tan \alpha_s - \alpha_s = \tan 30,5275 - 30,5275 \cdot \frac{\pi}{180} = 0,05689$$

$$\operatorname{ev}\alpha_s = \tan \alpha_s - \alpha_s = \tan 20 - 20 \cdot \frac{\pi}{180} = 0,0149$$

Böylece diş başı çapına karşılık gelen diş kalınlığı

$$S_2 = 7,854 \cdot \frac{60}{55} - 2 \cdot 60 (0,05689 - 0,0149) = 3,5292 \text{ mm}$$

Temel daire üzerindeki diş kalınlığı

$$S_i = S_i \cdot \text{Cos} \alpha_i + d_i \cdot \text{ev} \alpha_i = 7,854 \cdot \text{Cos} 20 + 103,366 \cdot 0,0149 = 8,92 \text{ mm}$$

b) Yine evolvent temel prensibine göre

$$r_i = r_i \cdot \text{Cos} \alpha_i$$

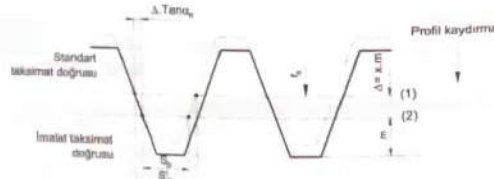
esiliğinden sıvı tepeinin oluşturduğu açı

$$\text{Cos} \alpha_i = \frac{d_i}{d_i} = \frac{103,366}{127,76} = 0,809 \text{ ve } \alpha_i \approx 36^\circ$$

bulunur.

c) Standart dişlide (r_i) dairesi üzerindeki diş kalınlığı (S_i) iken profil kaydırma sonucu aynı yançap üzerindeki diş kalınlığı

$$S'_i = S_i + 2\Delta \cdot \tan \alpha_i \text{ olur (Şekil 31.4).}$$



Şekil 31.9

Burada $\Delta = X.m = 0,38,5 = 1,9 \text{ mm}$ olduğuna göre imalat taksimat dairesi üzerindeki diş kalınlığı

$$S'_i = 7,854 + 2,19 \cdot \tan 20^\circ = 9,237 \text{ mm} \text{ olmaktadır.}$$

d) Profil kaydırma sonrası diş başı dairesi çapı

$$d'_i = d_i + 2.m(1 + X) = 110 + 2,5(1 + 0,38) = 123,8 \text{ mm}$$

Dış taban dairesi çapı

$$d''_i = d_i - 2.m(1,25 + X) = 110 - 2,5(1,25 + 0,38) = 93,7 \text{ mm}$$

32. DİŞLİ ÇARK İMALATI VE YÜZYEY İŞLEMLERİ

32.1. DİŞLİ ÇARKLARIN İMALAT YÖNTEMLERİ

Dişli çarkların imalat yöntemleri, öncelikle talaş kaldırılarak ve talaşsız imalat olmak üzere iki gruba ayrılabilir. Bu iki grup arasındaki sınırlar, imalat düzenden dişin imalat sayısı, hassasiyeti, büyülüklüğü ve malzemesi ile belirlenir. Çoklu zaman talaş kaldırılarak şekillendirme ve daha sonra istenilen toleranslar percevesinde talaş kaldırılarak imalatin tamamlanması yolu izlenerek her iki imalat yönteminin birleştirilmesi gerekebilir.

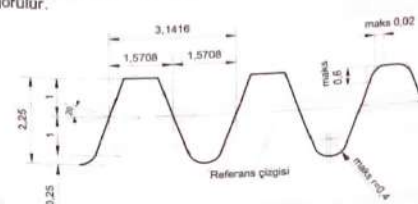
Talaşlı imalat yöntemi kendi arasında yuvarlanma ve profil şekillendirme yöntemi imalat olmak üzere ikiye ayrılmaktadır. Talaşsız imalatta ise dişiler; dokum, basıncılı döküm, ekstrüzyon, sinterleme, sıcak ve soğuk haddeleme, presleme, kalıpta dövmeye gibi yöntemlerle imal edilmektedir.

32.1.1. Silindirik Alın Dışlılarının İmalat Yöntemleri

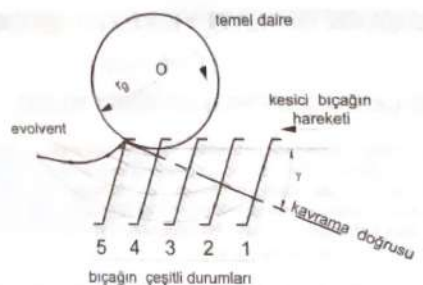
32.1.1.1. Yuvarlanma Yöntemi

Evolvent profilli dışlılarının imalinde kullanılan kesici takım, kesme kenarları; yarıçapı sonsuzda götürülen daireye ait evolvent (doğru) olan standart trapez profilini kremayerdir (Şekil 32.1).

Şekil 32.2'de görüldüğü gibi herhangi bir doğru (kenarı taranmış kesici takım profili) paralel olarak kaydırılır (öteleme hareketi yapılır) ve temel daire etrafında aynı miktar döndürülürse bu doğrunun ana doğru olarak evolventi meydana getirdiği görülür.

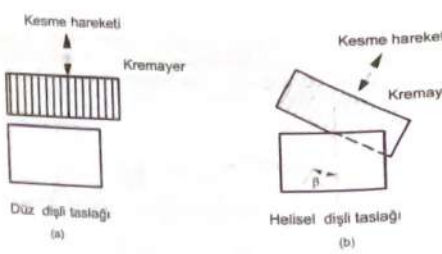


Şekil 32.1 TS 612'ye göre modülü $m=1$ olan referans kremayeri profil



Şekil 32.2

Diş ağıma işleminin aralıksız olabilmesi için kremayerin uzunluğu, açılacak dişinin yuvarlanma dairesi çevresinden biraz daha büyük olması gerekmektedir. Özellikle büyük dişlerde bu mümkün olamayacağının göre kesici takım bir veya birkaç takımlar ilerledikten sonra, diş açılan parça sabit kalmak üzere, başlama noktasına geri çekilir. Çünkü kremayer tipi kesici takımlarla 10 mm'den 5000 mm'ye kadar takımat çapında ve 1 mm'den 30 mm'ye kadar module sahip dişler imal edilebilmektedir. En büyük diş genişliği ise 500 mm'dir. Diş ağıma esnasında istenirse kesici takım sabit tutulur, işlenecek parça hem döner hem de bu dönme kadar öteleme hareketi yapar (Şekil 32.3).



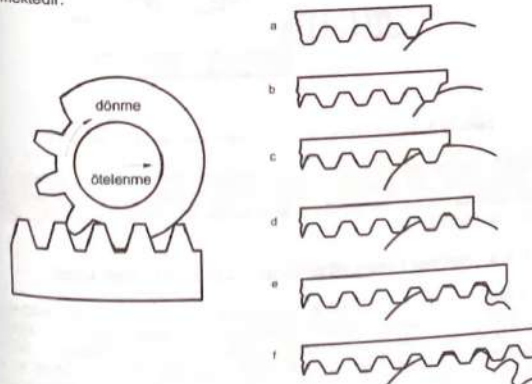
Şekil 32.3

Düz dişli kremayerin diş ana doğruları imal edilecek çark ekseniye paraleldir. Helisel dişli kremayerinde bu doğrular ekseni helis açısı (β_o) yaparlar. Düz dişli

kremayer ile helisel dişli imal edileceğse, ana doğrular dişli taslağı eksenile (β_o) yapacak şekilde yerleştirilmelidir (Şekil 32.3b). Çünkü helisel dişli kremayerlerin normal profili, aynı taksimatlı düz dişli kremayeri alın profiline eşdeğerdir. Kesici takım yine çark eksenine dik öteleme hareketi yapar.

Kremayer tipi kesici takımlarla daha çok diş dişiler imal edilir. Kremayer ile anıksız çavuş (OK) dişli imali de mümkündür. İki helisel kremayer bıçağına, dişlerin sağ ve sol helis ana doğrularına paralel kesme hareketi verilir. Çark ile kremayer bıçağına yukarıda sözü edilen hareket verilir. Ancak kesici takımların parkın ortasında karşılaşmaları için birinin kesme hareketi esnasında diğer geri çekilir.

Şekil 32.4'de kremayer ile evolvent düz dişli imalinde çeşitli konumlar görülmektedir.

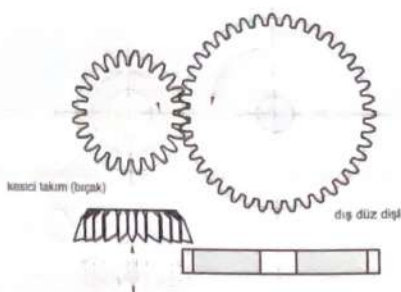


Şekil 32.4 Kremayer ile evolvent düz dişli imalinde çeşitli konumlar

32.1.1.2. Pinyon Şeklindeki Kesici Bıçakla Dişli İmalı (Fellow Yöntemi)

Kremayer bıçağı yerine, kesici şekline sokulmuş ve imal edilecek dişli ile eş çalısan bir forma sahip pinyon dişli çark da kullanılabilir (Şekil 32.5). Diş ağıma esnasında eksenel kesme hareketinden başka kesici bıçak ve imal edilen çark

aynı miktar dönerler. Böylece kesici takım ile imal ettiği dişli çark, alın dişinin eş çalılığının gibi hareket ederler. Diş açma işleminin sürekli olması yanında her an başka dişleri temasta olduğu için kesici pinyon kremayere göre daha dayanıklıdır.



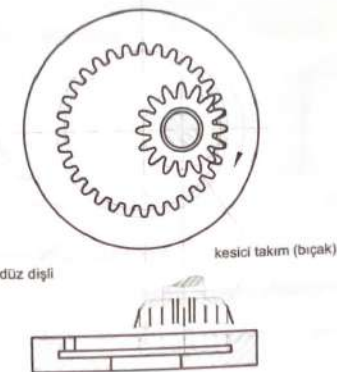
Şekil 32.5 Bir düz diş dişinin pinyon şeklindeki kesici bıçakla imali

Bu yöntem diş diş imalının yanı sıra iç dişlerin imalatına da uygundur (Şekil 32.6). Helisel diş çark şeklindeki kesici takım genislik boyunca helisel kesme hareketi verilecek helisel dişli çarklar imal edilebilir. Bu yöntem ile aralıksız OK dişli imalı da mümkündür.

32.1.1.3. Helisel Freze (Azdırma Frezesi) İle Dişli İmalı

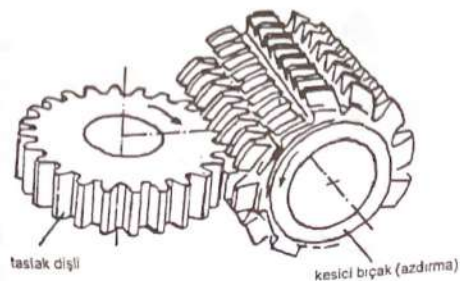
Kesici bıçak, bir helis açısına sahip olup trapez profilli sonsuz vida şeklindedir. Helisel frezenin dişlerinin, kremayenin trapez profilli dişlerinin bir silindir etrafında helisel olarak sanırsızıyla meydana gelmiş olduğu düşünülebilir. Böylece kremayenin doğrusal kesme hareketi, helisel frezede dönme hareketi ile elde edilmiş olur. Ancak helisel freze dişlerine, düzgün aralıklarla, uzunluğu boyuna radyal kesici kenarları oluşturmak üzere kanallar açılmalıdır (Şekil 32.7).

Kesici takım olan helisel freze netice itibarıyle bir sonsuz vida olduğuna göre β_s gibi bir helis açısına sahiptir. Helisel freze aynı zamanda sağ veya sol vida şeklinde de olabilir. Genel olarak düz alın dişlerinin imalinde helisel freze ekseni, diş taslağıının alın düzlemine göre helis açısı β_s kadar eğik durumda yerleştirilerek diş imalıları gerçekleştiriliyor (Şekil 32.8a). Böylece kesme yerindeki helis teşeti, kesilecek diş ana doğruları doğrultusunda olur. Helisel alın dişlerinin imalinde ise bu açı diş eğimi açısı (γ_s) kadar daha fazla olur, yani kesici bıçakla diş taslağı birbirine göre ($\beta_s + \gamma_s$) açılarında eğik konumda çalışırlar (Şekil 32.8b).

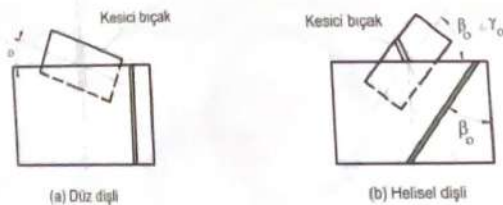


Şekil 32.6 Bir iç düz dişin pinyon şeklindeki kesici bıçakla imali

Helisel freze ile 1,5 mm'den 5000 mm taksimat çapına kadar olan dişileri imal etmek mümkünktedir. Aynı zamanda helisel freze ile çift helisel dişler (OK dişler) imal edilebileceği gibi spiral dişler ve sonsuz vida çarkları da imal edilebilmektedir.



Şekil 32.7 Helisel freze (azdırma frezesi) ile dişli imalının şematik gösterimleri

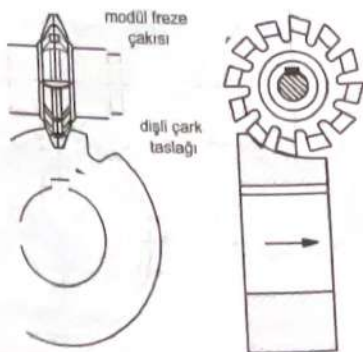
dışılı çark imalatı

Şekil 32.8 Azdırma frezesi ile düz ve helisel dışı imalatın şematik gösterimleri

32.1.1.2. Profil Şekillendirme Yöntemi

32.1.1.2.1. Modül Frezesi ile Dışılı İmalı

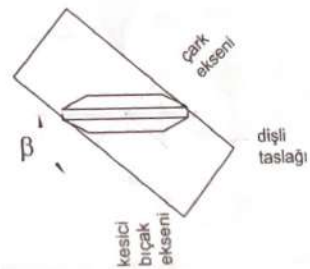
Kesici takım döner disk şeklinde olup kesme kenarları imal edilecek dişlinin iki diş arasındaki aralık (boşluk) profilindedir. Freze bıçağı kendi ekseni etrafında dönerken tazeğah tablasına sabit bağlanmış olan dişli taslağı, tablaya kesme yönünde ilerleme hareketi verilerek kesme işlemi yapılır (Şekil 32.9). Böylece bir diş boşluğu açıldıktan sonra ikinci diş boşluğu için kesme yapılmaksızın çark geri alınarak bir diş taksimatı kadar döndürülür ve aynı işlem tekrarlanarak diş ağıma işlemi tamamlanır.



Şekil 32.9 Modül frezesi ile dişli imalı

dışılı çark imalatı

Modül frezesi ile silindirik helisel dışılı çark imalatı da olanaq dahilindedir. Ancak bu defa kesici takım, dişli ekseni ile (β_o) helis açısı yapacak şekilde kesme işlemi yapmalıdır (Şekil 32.10).



Şekil 32.10 Modül frezesi ile helisel dışı imalı

Modül frezesi ile dişli imalatının en büyük sakıncası, değişik diş sayılan için aynı bıçaklar gerektirmesidir. Bu yöntemle imalat, pahalılığının yanında diğer yöntemlere nazaran daha düşük hassasiyete sahiptir.

32.1.1.2.2. Parmak Frezesi ile Dışılı İmalı

Bu defa kesici takım silindirik olup uç tarafı diş boşluğununa uygun profilde ve kesici ağızlarına sahiptir. Kesici takım (parmak freze) kendi ekseni etrafında dönme hareketi yaparken dişli taslağı da eksenel ilerleme yapar.

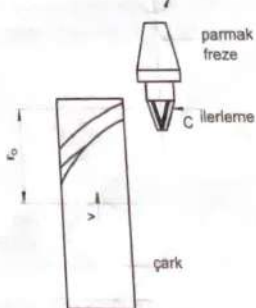
Parmak freze ile daha çok silindirik helisel dişiller imal edilir (Şekil 32.11). Kesici takım kendi ekseni etrafında dönerken diş genişliğinde eksenel ilerleme hareketi de yapar. Buna karşılık dişli taslağı bir miktar döner veya dişli taslağı hem eksenel ilerleme hem de dönme yaparken kesici bıçak sadece dönme hareketi yapar. Parmak freze ile çift helisel dışılı çarklar da (OK dişilleri) imal edilebilir.

32.1.2. Konik Dişli Çarkların İmalat Yöntemleri

32.1.2.1. Düz Konik Dişilerin İmalat Prensipleri

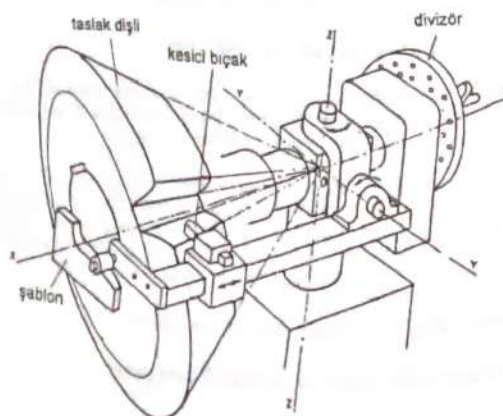
32.1.2.1.1. Şablonla Göre İmalat

Konik dişinin en büyük (diş) taksimat dairesine karşılık gelen profiline uygun olarak yapılan şablon kullanılarak düz konik dişli imal edilebilir (Şekil 32.12). Konı



Şekil 32.11 Parmak freze ile helisel dişli imali

tepeşine göre (Şekil 32.12'de O noktası) orantılı olarak küçülen kesit değişikliği diş şablonu ile ayarlanabilir. Bu şablon (O) merkezinden belli bir uzaklıkta yerleştirilmelidir. Diş aynasında kullanılan kesici bıçak, konik dişli işin düzlemi içinde hareket etmelidir.



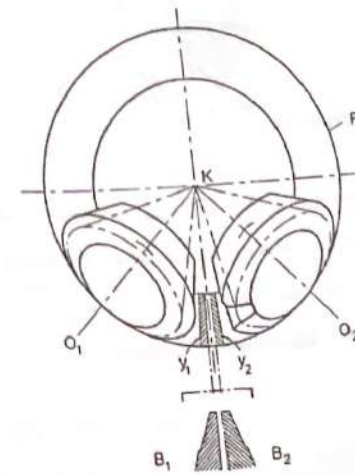
Şekil 32.12 Şablonla göre konik dişli imali

32.1.2.1.2. Yuvarlanma Yöntemine Göre İmalat

Kesici bıçak ile dişli çarkın hareketleri yuvarlanma prensibine uygun olmalıdır. Ancak yuvarlanma hareketi yapan diş taslağı geometrik şekil olarak bir koni olduguına göre, koni tepesine göre de bir eksen etrafında dönmeye hareketi yapar.

Konik dişlerin yuvarlanma yöntemiyle imalatı silindirik dişlerinkine benzer. Ancak silindirik dişli imalatında kremayeri temsil eden bıçaklar, konik dişli imalatında plan dişlisini temsil eder. Bıçakların şekli ve kesme hareketi her an imal edilecek konik dişinin plan dişisinin diş yüzeylerine teğet olacak şekilde olmalıdır. Diş taslağına, bıçaklara göre, bıçakların temsil ettiği plan dişiliyle eş çalışırken yaptığı yuvarlanma hareketi verilir.

Şekil 32.13'de konik dişinin imalatı şematik olarak gösterilmiştir. B_1 ve B_2 bıçaklarının kesme kenarları doğru şekilde olmalıdır. P plan dişisinin y_1 ve y_2 diş yüzeylerine teğet olacak şekilde K merkezine doğru radyal kesme hareketi yaparlar. Çark taksimat konisi, plan dişli taksimat düzleminde, K merkezi etrafında yuvarlanma hareketi yapar. Ancak pratikte bu yuvarlanma hareketi, bıçaklar ileri-geri hızla kesme hareketi yaparken, bıçakları taşıyan gövde ve parkın dönmesi sayesinde oluşturulabilir.



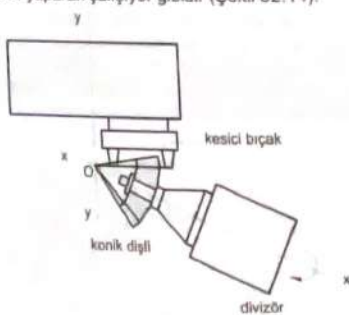
Şekil 32.13 Konik dişinin yuvarlanma yöntemiyle imalatin şematik gösterilmesi

Konik dişli çarklarda takımat konisi yarı açısı $\delta=90^\circ$ olan dişlilere plan dişli adı verilir. Bu dişli, konik dişlerin temel büyütüklerini tanımlamak amacıyla, DIN 3971'e göre, referans profili olarak kullanılmaktadır. Bu nedenle konik dişlerin diş ayan takımları bu dişinin diş şekline göre yapılmaktadır. Yuvarlanma prensibine göre diş ayan ve bu şekilde tasarlanmış bir plan dişli olan kremayer tipi kesici takımı konik dişli imal Şekil 28.33'de görülmektedir.

32.1.2.2. Spiral Konik Dişlerin İmalat Prensipleri

32.1.2.2.1. Gleason Yöntemi

Bu imalat yönteminde; dönmeye hareketi yapan silindirik bir tabla üzerine yerleştirilmiş bıçaklar mevcuttur. Bu bıçakların kestiği diş profilleri, teorik plan dişli ile çalışma durumuna uygundur. Yani diş açılan taslağı sanki bir plan dişli ile yuvarlanma hareketi yaparak çalışıyor gibidir (Şekil 32.14).



Şekil 32.14 Gleason yöntemiye göre helisel konik dişli imalatının şematik gösterilmesi

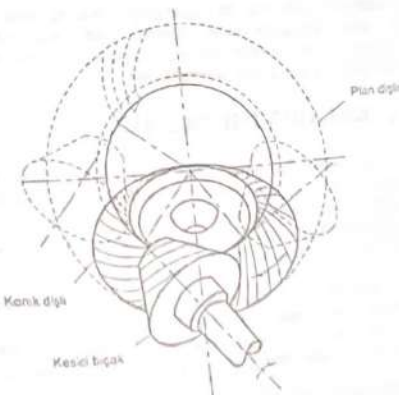
Kesici bıçak kafası uygun dönmeye hareketi yaparken dişli taslağı da yuvarlanma hareketine uygun olarak döner. Bir dişin açılması bitikten sonra dişli taslağı bir takımat döndürülerek ikinci dişin açılmasına geçer.

32.1.2.2.2. Oerlikon – Spiromatik Yöntemi

Bu imalat yönteminde de kesici bıçaklar dönen silindirik bir tabla üzerine yerleştirilmüştür. Tabla dönerken bıçaklar kesme hareketi yaparlar. Bu esnada tablayı taşıyan yatakların gövdesi ile işlenecek çark, plan dişli ile konik dişinin yuvarlanması hareketini yaparlar. Bir diş yüzü tamamen işlendiğten sonra çark geri çekildi, bıçakları diğer bir diş yüzünü işlemeye hazır duruma getirilmesiyle yeni bir kesme işlemi başlar.

32.1.2.2.3. Klingelnberg Yöntemi

Yine yuvarlanma esasına dayanan bu imalat yönteminde kullanılan kesici takım konik olup üzerine sonsuz vida şeklinde diş açılmıştır. İmalat esnasında gerek kesici bıçak gereksiz dişli taslağı, referans çarkı olarak kabul edilen plan dişli ile Çalışmış gibidir (Şekil 32.15).



Şekil 32.15 Klingelnberg yöntemiyle konik dişli imalatı

32.1.3. Diğer Dişli İmalat Yöntemleri

32.1.3.1. Haddeleme (Ovalama) Yöntemi

Dolu malzemeden soğuk veya sıcak haddeleme ile dişli imalı mümkündür. Özellikle büyük seriler halinde imal edilen otomobil dişlerinde uygulanan bir yöntem olarak bilinmektedir. Halen A.B.D. ve Birleşik Devletler Topluluğunda uygulanan bir yöntemdir.

32.1.3.2. Zımbalama Yöntemi

Saat, sayaç, oyuncak gibi çok küçük güç veya hareket ileten yerlerde kullanılan dişlerin imalinde başvurulan bir yöntemdir. Ince saçlardan kesilen dişli taslağı kesici kalıplarda bir defada şekillendirilir.

32.1.3.3. Döküm Dişiller

El vinçleri, tuğla makinaları gibi kaba yerlerde hiç işlenmeden kullanılan diş çarkları bu yöntemle imal edilmektedir. Paslanma olmadığından açık havadaki işlerde rahatlıkla kullanılır. Küçük ve orta boy dişiller için tahta modeller, daha büyük dişiller için ise ya tahta çark parçaları veya forma makinaları kullanılır.

Püskürtmeli dökümle dişli çark imali de küçük güçler (sayaç, aparat vb.) ve büyük seriler için tercih edilir. Bunlarda metal ısıtılırlar yine metal kalıplara basınçla püskürtülür ve kalıpta çok kısa sürede soğuma temin edilir. Plastik dişiller de genel olarak püskürtmeli döküm yolu ile imal edilmektedir.

32.2. DİŞLİ ÇARKLARIN ISİL İŞLEMİ

Oldukça büyük yüzey basıncına maruz olan diş çarklarının yüzeyleri aşınma ve darbeye karşı imalat sonrası sertleştirilmelidir. Sertleştirme işleminden göz önünde bulundurulması gereken en önemli husus sertleştirme derinliğidir. Bu derinlik fazla olursa malzeme elastikliği azalır ve kırılabilir bir diş elde edilir. Sertleştirme derinliği az olursa yüzeyde eziimeler meydana gelir.

Sertleştirme işlemi çelik türünden olan dişli çark malzemeleri için söz konusudur. Isıl işlem esnasında dişli çarkın geometrisinde bozulmalar olabileceğinden bunların istenilen ölçü ve yüzey kalitesine getirilebilmesi için genellikle talaş kaldırımları suretiyle yeni bir işlemenden geçirilmesi kaçınılmaz olmaktadır.

32.2.1. Sementasyonla Sertleştirme

Alaşımı veya alaşimsız sementasyon çelikleri, karbon yüzdesi düşük (%0,3'den az) olan çeliklerdir. Her tarafı kömür tozu ile temas edecek şekilde 900°C 'a kadar ısıtılan ocapta gereken bir süre (örneğin traktör dişlerinde 9–10 saat) kadar bekletildikten sonra dişan çıkarılarak 150°C 'ye kadar soğuması beklenir. Daha sonra kömür kütusundan çıkarılan dişiller 850°C 'daki atmosfer ocağında 30 dakika kadar tavlanır ve soğumasına meydan vermeden bir yağ banyosuna (rafine edilmiş saf madeni yağı) daldırılır. Bu banyodan çıkarılan dişillerin yüzeyi temizlendikten sonra 170 – 180°C 'ye kadar ısıtılarak gerilme giderme tavlamasına (menevigeleme) tabi tutulur. Bu şekilde sertleştirilen diş yüzeylerinin sertliği yaklaşık 58 – 64 HRC dolayında olur.

32.2.2. Alevle Sertleştirme

Diş çarkın yüzeyi yanıcı gazlarla (asetilen, havagazı, bütan gazı vb.) belli bir sıcaklığına kadar ısıtılarak hemen su ile soğutulur. Ancak burada isıtma süresi çok kısa tutularak çekirdeğin isıtmasına meydan verilmemelidir. Bu nedenle sadece diş yüzeylerinde, hatta özellikle diş yanaklarında, bir sertlik tabakası elde edilir. Diş

dışlarındaki sertlik değeri yok denecek kadar azdır. Küçük dişillerin tamamı bir defada ısıtılp soğutularak sertleştirilebilmesine karşılık nispeten büyük dişlerde dişler tek tek ısıtılarak aniden soğutulur ve işlemede süreklişırıltır.

32.2.3. Endüksiyonla Sertleştirme

Alevle sertleştirme yönteminin aynısıdır. Ancak burada isıtma işlemi elektrikle yapılmaktadır. Üzerinden alternatif akım geçmeyecek bir bobinin içine dişli çark yerleştirilerek meydana gelen endüksiyon akımıyla diş çarkın isıtılması işlemi gerçekleştiriliyor. Isının dişli çekirdeğine geçmesine meydana gelen verilmeksizin diş yüzeyi çok hızla ısıtılarak aniden suya daldırılarak yüzeyde sert bir tabaka oluşturulur.

32.2.4. Nitrasyonla Sertleştirme

Sertleştirilecek diş çarkın yüzeyi temizlenerek 500 – 540°C sıcaklığına azot banyosunda (genellikle amonyak gazı kullanılır) uzun süre bekletilir. Bu zaman zarfında diş yüzeyinde çok sert ve ince bir nitrit tabakası oluşur. Sertlik değeri 1000 daN/mm^2 Vickers sertliği dolayında olan böyle bir sertleştirme işleminden yaklaşık $0,5 \text{ mm}$ kalınlıkta sertlik tabakası için gaz banyosunda 50 saat beklemek gereklidir. Nitrasyonla sertleştirme en önemli avantajı, dişlerin kaybetmemeleridir.

32.3. DİŞLİ ÇARK DİŞ YÜZEYLERİNİN TAŞLANMASI

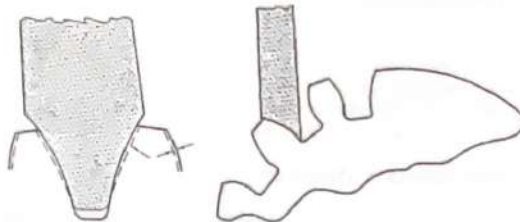
Sertleştirilen diş çarklarında genellikle isıl çekmeler, farklı isıtma ve soğuma nedeniyle çarpılmalar gibi şekil bozuklukları meydana gelebilir. Ayrıca bu esnada yüzey kalitelerinin bozulması olasıdır. Bu nedenle diş yüzeyleri, sertleştirme işleminden sonra, taşlanır. Bunun yanında 350 HB üzerindeki sertliğe sahip malzemelerden dişli imali söz konusu olduğunda bu sertlikteki malzemelerin düzgün kalitede ve ölçüsünde diğer kesici takımlara bitirilebilmesi olası değildir. Tamamlayıcı işlem ancak taşlama ile mümkündür.

Taşlama yöntemleri, talaşı dişli imalatında kullanılan yöntemlerin benzeridir. Bunlardan şekil taşlama ve yuvarlanma yöntemi ile taşlama en çok kullanılan yöntemlerdir.

32.3.1. Şekil (Form) Taşı ile Taşlama

Form freze (modül frezesi) ile diş açma prensibine benzemektedir. Taşın biçimini diş profiliinin aynı olup dişin çalışan yüzeylerini (yanaklarını) taşılar. Bu taşlama yönteminde kullanılan taşlar tek yanaklı veya çift yanaklı olarak kullanılabilir (Şekil 32-16).

Bu yöntemle taşlama işlemi çok hızlı yapılabilir. Ancak tipki diş açmada olduğu gibi her modül için çeşitli diş sayılarına göre aynı aynı taşlar gerektirir. Diğer bir sakincası, düzgünüz aşınan taşların bolenmesinde evolvent eğrisini verebilmek için özel bir tezgaha gereksinim duyulmasıdır.



Şekil 32.16 Dişli çarklarda form şeklindeki taş ile taşlama

32.3.2. Yuvarlanma Yöntemi ile Taşlama

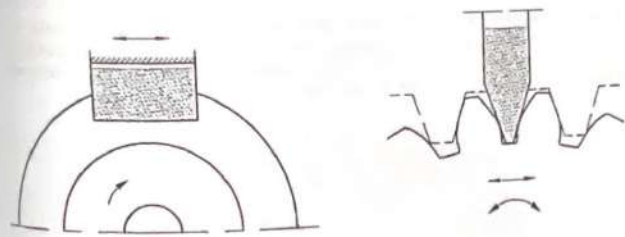
Yuvarlanma yöntemiyle silindirik diş yüzeylerinin taşlanmasıında; kenarları düz disk şeklindeki taşlama taşı, şekil taşlama taşına benzer olarak, kendi eksenin etrafında döner. Bütün diş genişliğini taşlayabilmek üzere ise diş genişliği boyunca ilerleme hareketi yapar. Ayrıca şekil taşlama taşıdan farklı olarak, iki yana diş yüzeylerine doğru ilerleme hareketi yapar. Bu esnada taşlanan dişli de aynı yönde döner. Dişli çark ve taşlama taşıının arasındaki bu karşılıklı son hareket, taşlama taşıının temsil ettiği kremayerin bir diş ile dişli çarkın dişleri arasındaki ileri-geri yuvarlanma hareketine eşdeğerdir.

MAAG yöntemiyle taşlamada, kenarları standart kremayer profili temsil eden karşılıklı iki disk (taşlama taşı) vardır (Şekil 32.17).



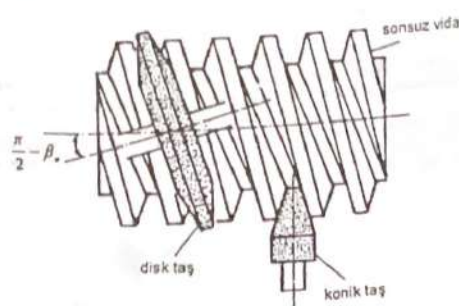
Şekil 32.17

İki diş yanağını bir defada işlemek üzere trapez profilli bir taşlama taşı da kullanılabilir (Şekil 32.18).



Şekil 32.18

Sonsuz vidaların taşlanması ise sonsuz vidanın imalatında olduğu gibi işlem yapılır. Azdırma frezesi tezgahlarında yapılan taşlama işleminde taş kendi eksenin etrafında dönmeye ve ilerlemeye hareketi yapar (Şekil 32.19). Sonsuz vida çarkı gibi çalışan taşlama taşı vidanın eğim açısında doğrultusunda yerleştirilmelidir.



Şekil 32.19 Sonsuz vidanın taşlanması prensibi

Konik dişlerin yuvarlanma yöntemi ile taşlanması ise taşlama taşı, plan dişlerinin bir dişinin yaptığı hareketi yapar. Bütün genişlik bir anda işlendiği için diş genişliği boyunca ilerlemeye gerek yoktur. Bu nedenle taşlama işlemi oldukça hızıdır.

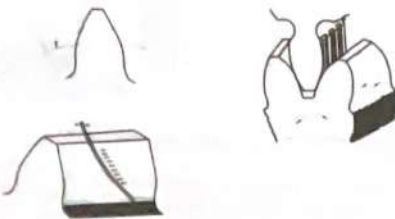


Şekil 32.20 Traşlama bıçağı (raspa)

Traşlama (raspaling), normal kesme işlemine ve taşlamaya göre çok daha hızlı bir son talaş alına işlemidir. Traşlama işlemi, işlenen malzemenin sertliği ile sınırlanmıştır. Profil geometrisi, taksimat hataları ve helis hataları bir dereceye kadar traşlama işlemi sırasında düzeltilebilir.

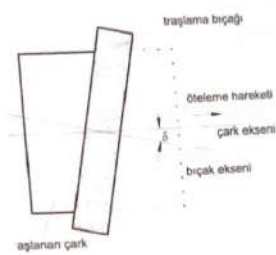
Traşlama bıçakları, dişleri kesici kenarları teşkil etmek üzere, eksene dik düzlemlerde dilişlenmiş silindirik dişli veya kremayer şeklindedir (Şekil 32.20).

Küçük dişlerin traşlanmasımda bıçak dişli, büyük dişlerin traşlanmasımda ise dişli bıçağı döndürür ve bıçak ile dişli temas yüzeyleri birbirlerine küçük bir basıncı bası yapar (Şekil 32.21).



Şekil 32.21 Traşlama bıçağının dişli çarkla temas durumu

Traşlanacak dişli ile bıçak, eksenleri arasında belli bir açı olacak tarzda yerleştirilmiş olmalıdır. Böylece dişli ve bıçak bir çift spiral diş gibi çalışır (Şekil 32.22 de δ açısı).



Şekil 32.22

Bu açı traşlamadaki kesme işlemi gerçekleştirmektedir. Ancak kesme işlemi açıya bağlı olarak artırmakla beraber kavrama doğrusunun uzunluğu azalacağından 10° – 15° arasında olması önerilmektedir. Traşlama bıçakları, çarka göre ya çark eksene paralel veya eksene belli bir açı yapacak şekilde yada eksene dik öteleme hareketi yapmalıdır. Şekil 32.22'de çark eksene paralel öteleme hareketi yapan bir traşlama işlemi görülmektedir.

33. DİŞLİ ÇARKLARIN KONTROLU

İmalat esnasında dışlı çarklarda diş profilleri ve buna bağlı olarak diğer boyutlarda çeşitli hatalar meydana gelir. Oluşan bu hatalar çeşitli yöntemlerle ölçülerek verilen tolerans sınırlına göre durumları araştırılır. Böylece tespit edilebilen hatalar düzelttilir veya imalatta gerekli önlemler alınır.

33.1. DİŞLİ ÇARK HATALARI VE HATALARIN ÖLÇÜLMESİ

Dışlı çarklarda meydana gelen hatalar iki temel nedene dayanır: imalat ve montaj hataları. İmalat esnasında gerek diş açan tezgah ve gerekse kesici takımdan kaynaklanan düzensizlikler meydana gelebilir. Bazı durumlarda diş taslağının kusuru olarak bağlanması bu hatayı daha da artırrır.

Dışlı çarkların montajı sırasında oluşabilecek en büyük hata, eksen uzaklığının iyi ayarlanamamasından kaynaklanmaktadır. Buna ek olarak yataklama şekli ve kullanılan yağın olumsuz etkileri de göz önünde bulundurulmalıdır. Dışlı çarkların yataklanmasında, radyal boşluğu daha az olduğu için, yuvarlanmalı yataklar tercih edilmelidir.

Dışlı çarklarda oluşan hataların kontrol edilmesi genel olarak üç şekilde olmaktadır:

1. Çalışma esnasında kontrol
2. Tek tek hata kontrolü
3. Toplam hata kontrolü

33.1.1. Çalışma Esnasında Kontrol

Bu yöntemde, dışlı çarkın görevini yapıp yapmadığı kabaca kontrol edilir. Düşük devirlerde çalışan ve yüksek özellikler beklenmeyen dışlı çarklarda başvurulan bir uygulama şeklidir. Bir ses kontrol kutusuna bağlanan dışlı çifti gerçek çalışma koşullarındaki devir sayısı ve yük altında çalıştırılarak gürültü ve titreşim kontrolü yapılır. Dışlı çark değişik şartlar altında çok yönlü olarak, örneğin çeşitli diş aralıklarında tek yönlü veya iki yönlü işletme koşullarında çalıştırılarak kontrolleri yapılır. Bazı durumlarda yüksek özellikli dışlı çiftleri de tam yük altında bu yöntemle kontrol edilir.

33.1.2. Tek Tek Hata Kontrolü

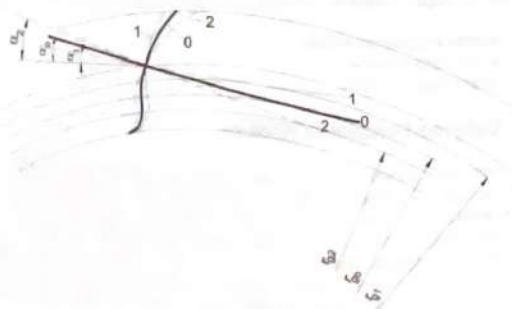
Tek bir dışlı çarktaki hatalar, tamamen o dişinin imalati ile ilgilidir. Bu nedenle yapılabilecek hatalar, hata sınırları (toleranslar) ve bunların kontrolleri iyi bilinmelidir.

Dişli çarklardaki hatalar

- Temel daire ve kavrama açısı
- Diş yan yüzeyi
- Diş kalınlığı
- Bir dişe düşen ve toplam taksimat
- Taksimat atlaması
- Kavrama taksimatı
- Yuvarlaklık
- Diş yönü
- Eksenler arası uzaklık

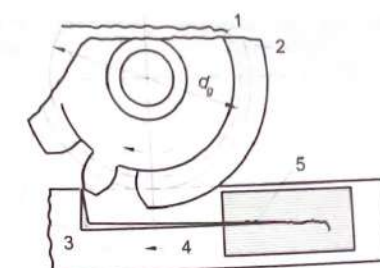
şeklinde sıralanabilir.

Temel daire ve kavrama açısı diş profilini oluşturan temel faktörlerdir. Şekil 33.1'de normal temel daire yarıçapı (r_s) ve kavrama açısı (α_s) dir. Temel daire normalden küçükse (r_s) kavrama açısı (α_s) daha büyük ve evolvent eğrisi (2) daha küçük egnikedir. Bunun tersi olan (1) konumunda ise temel daire daha büyük (r_s), kavrama açısı (α_s) daha küçük ve buna karşılık evolvent eğrisi daha büyük eğriliğe sahiptir.



Şekil 33.1

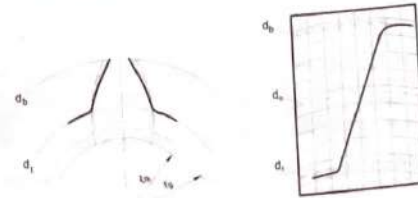
Temel dairenin ve buna bağlı olarak diş yan yüzeylerinin hataları; evolvent profilineşinin şeklinin kontrol edilmesiyle belirlenir. Evolvent profilineşinin kontrolü için kullanılan aparat aşağıdaki gibi çalışır (Şekil 33.2).



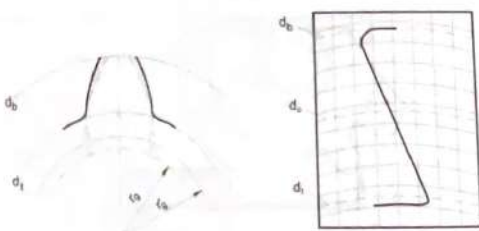
Şekil 33.2

Temel daire çapındaki bir sürtünme çarkı (1) bir cetvel (4) tarafından döndürülmektedir. Kontrolu yapılacak dişli çark (2) sürtünme çarkı miline sıkı olarak bağlanmıştır. Izleyici (3) adı verilen mandalın bir ucu diş yüzeyinde gezinirken diğer ucuna bağlanmış olan kalem (5) milimetrik kağıt üzerine gerekli hataları işaretler. Bu şekilde elde edilen diyagrama evolvent diyagramı adı verilir. Bu aparatla dişli çark, adeta kremer yoluyla çalışılmış gibi hareket eder ve diş profiline herhangi bir hata yoksa düz bir çizgi çizer. Yani diyagramın düz çizgi şeklinde olması, temel dairesinin doğru olduğunu gösterir.

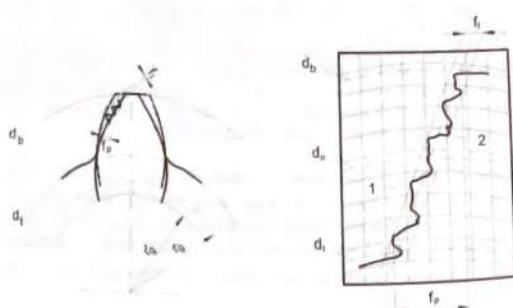
İmalat temel dairesi (r_s) normalden (r_s) küçük ise (Şekil 33.3) dişler fazla yatık, ters olarak büyük ise (Şekil 33.4) dişler fazla dik olur. Elde edilen evolvent diyagramı bir doğru olmayıp zırkazlı ise (Şekil 33.5) diş profilineşinin hatalı olduğu anlaşılır. Şekilde f_s -diş yan form hatasını, f_p -profil hatasını göstermektedir. Burada temel dairenin ölçüsünün tam, daha küçük veya daha büyük olmasının herhangi bir önemi yoktur.



Şekil 33.3 Evolvent temel dairesi gerçek değerinden küçük, yatık diş konumu

dişli çarkların kontrolu

Şekil 33.4 Evolvent temel dairesi gerçek değerinden büyük, dolayısıyla dişler daha dik konumlu



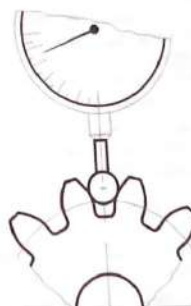
Şekil 33.5 Diş yüzeyinin evolvent olmaması durumunda doğrunun zıpkızaklı oluşu

Yuvarınlık hatalının kontrolü için dişli çark döner bir şekilde mesnetlidir. Bu şekilde merkezlenen dişli çarkın diş boşluklarına makara veya bilyalar konularak bunların tepelerine bağlanan bir ölçü saatinin ucu ile ölçme yapılır (Şekil 33.6). Ölçülen en büyük ve en küçük değerlerin farkları, yuvarınlık hatalısını gösterir.

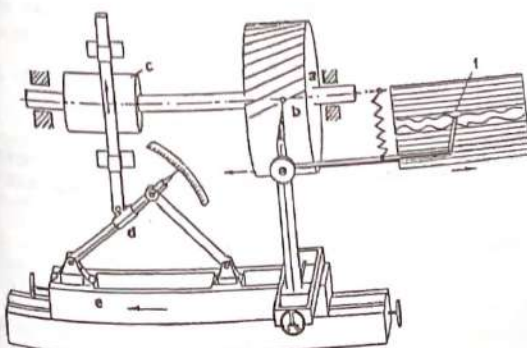
Dişli çarka gelen yüklerin diş yüzeyine düzgün olarak dağılabilmesi için diş yönü (diş eğimi) hatalı belirli sınırların aşmamalıdır. Eğimi kontrol edilecek olan dişli (a) yuvarlanma silindiri (c) miline sıkı bağlanır (Şekil 33.7). (e) Kızağı üzerinde yatay hareket edebilen (c) miline sıkı bağlanır (Şekil 33.7). (e) Kızağı üzerinde eden (b) ile diğer ucu bir tablaya bağlı ve bir ucu diş yanağına temas eden (d) izleyici (b) ile diğer ucu bir diyagram kağıdına temas eden kalemi (f) taşıyan bir manivela vardır. Düz alın dişlerde dişli çark hiçbir hareket yapmaz, helisel alın dişlerinde ise eksenel ilerleme hareketine uygun olarak (β_c) helis eğim açısı

dişli çarkların kontrolu

kadar dönde hareketi yapar. Diyagramda düz yatay çizgi hatalı diş doğrultusunu; sapmalar ise hatalı diş doğrultusunu gösterir.



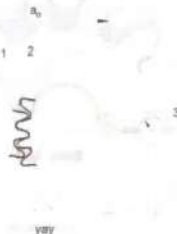
Şekil 33.6



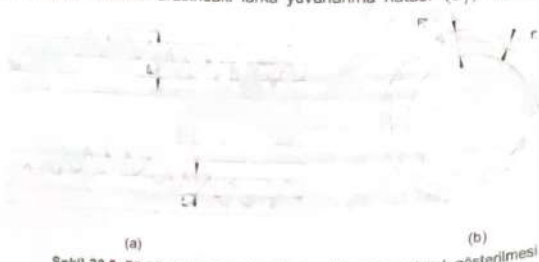
Şekil 33.7 Diş yönü hatalısının kontrol edilmesi

33.1.3. Toplam Hata Kontrolu

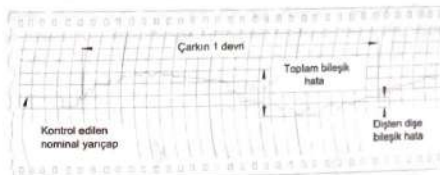
Dışilerin tek dış hatalarının bileşiminden meydana gelen hata şeklidir. Bu hataların kontrolü, Şekil 33.8'de şematik olarak gösterilen cihazla yapılmaktadır. Burada kontrol edilecek dışlı çark (1) ile hatası bir mastar dışlı (2) birbirini üzerinde herhangi bir radyal yük uygulanmaksızın yuvarlanmaktadır. Ancak çevrim oranının olanağın ölçüsünde gerçek değere yakın olması gerekmektedir. Dış yüzeyinde meydana gelen hatalar, ileri-geri gidebilecek şekilde yataklanmış mastarların (2) eksen aralığı (a_i) değişikliğinin ölçüme saatine (3) iletmesi ile kaydedilir. Böylece bileşik hatalar, ölçüme cihazında milimetrik kağıt üzerine işaretlenir. Bileşik hatalar diyagramı adı verilen bu diyagram, şerit (Şekil 33.9a) veya dairese (Şekil 33.9b) şeklinde olabilir.

**Şekil 33.8** Toplam hatanın kontrol edilmesi

Dışlı çarkın bir tam devrindeki gelen hata diyagramda, hata eğrisinin maksimum ile minimum noktaları arasındaki farka yuvarlanma hatası (F_t) adı verilir. Tek

**Şekil 33.9** Bileşik hatanın şerit ve dairesel diyagram olarak gösterilmesi

taraflı yuvarlanma ölçme yönteminde bu hata F_t ile, iki taraflı ölçme sisteminde ise f_t ile gösterilir (Şekil 33.9 ve Şekil 33.10).

**Şekil 33.10**

Bir taksimata karşılık gelen ve birbirini takip eden maksimum ve minimum noktalar arasındaki farka dıştan diş bileşik hata veya yuvarlanma atlayışı denir (f_t). Tek taraflı yuvarlanma ölçme yönteminde bu hata f_t , iki taraflı yuvarlanma ölçme yönteminde ise f_t ile gösterilir.

DIN standartlarında bileşik hata S ile simgeliğine göre Cetvel 33.1'de; dışlı çark kalitesi taksimat dairesi ve module bağılı olarak F_t , F_i , f_t ve f_i' ne ait değerler verilmiştir.

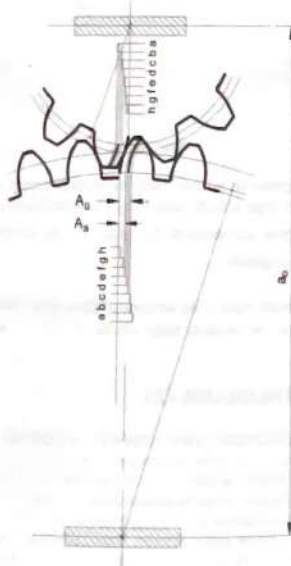
33.2. DİSLİ ÇARK TOLERANSLARI

Dışlı çarkların eş çalışması yanı dışilerin alıştırılması bunlara verilecek toleranstanlar mümkündür. Mil-delik alıştırmalarına benzeyen bu sistemde dışilerin sıkışmadan çalışabilmeleri aralarında bırakılacak boşluklarla olmaktadır. Bu boşluklar dışların kalınlığının veya eksenler arası mesafenin değiştirilmesi ile elde edilmektedir. DIN standartlarına göre eş çalışacak dışlı çiftine verilen bu boşluklar dışlı toleransları olarak ifade edilmektedir. Dışlı çarklarda toleranslar dış kalınlığı, diğer arasındaki uzaklık (dış boşluğu) ve eksenler arası açılık gibi boyutlar için verilebilir. Esasen bu üç boyutun toleransları; dışlı çarkların çalışmasında önemli bir rol oynayan yan boşluğun değerini tayin etmektedir.

Dışlı çarkların sıkışmadan çalışabilmeleri için aralarında bırakılacak boşluk, dış kalınlığını değiştirmekle elde edilir. Dış kalınlığının teorik kalınlığa göre farklı a_1, b_1, \dots, h_1 diye harflerle belirtilir. Cetvel 33.1'de bunlardan bir kısımının üst (A_u) ve alt (A_d) ölçü farkları, dışlı çarkın kalitesine, modülüne ve taksimat dairesi capına bağlı olarak verilmiştir. Cetvelden görüldüğü gibi h en küçük boşluğu göstermekle ve g, f, e, \dots ye doğru dış boşluğu arıtmaktadır. Şekil 33.11'de bu şekilde elde edilen boşluklar şematik olarak ayrıca gösterilmiştir.

dişli çarkların kontrolu

Normal dişli çark mekanizmaları yan boşluksuz olarak imal edilmektedir. 28.1.9. başlığı altında, dişli çarklara gerek çalışma rahatlığı vererek dişlerin kilitlenmesini önlemek gerekse yağ filmi oluşumu, için yeterli boşluk bırakarak aşınmayı azaltmak bakımından bir yan boşluk verilmesi gerektiği vurgulanmıştır. Yukarıda da bahsedildiği gibi bu yan boşluk ya diş kalınlığı azaltılarak veya düzeltilmiş dişlerde olduğu gibi eksenler arası mesafeyi değiştirek elde edilebilir. Özellikle



Şekil 33.11

V-mekanizmalarında eksenler arası aralığın artırılmasının esas amacı montaj kolaylığını sağlamak ve dişlerin eş çalışmasını temin etmek olmakla beraber görüldüğü gibi yağlama ve aşınma gibi nedenlerle bu bir zorunluluktur. Gerek imalat esnasında meydana gelen ölçü farklılıklarını gerekse çalışma esnasındaki genleşmeler dikkate alındığında teorik olarak boşluksuz ancak diş kalınlığını verilen toleransı ölçüler sayesinde sıkışmadan çalışabilecek bir yan boşluğun gerekliliği açık şekilde ortadadır.

dişli çarkların kontrolu

Bir dişli çarkın kalitesi ağırlıklı olarak yüzey işleme kalitesine bağlı olmakla beraber dişle verilecek tolerans bu büyülükten farklı olmaktadır. Bu nedenle dişli çarkların tolerans alanları harflerle ve yüzey kaliteleri sayılarında belirtilir.

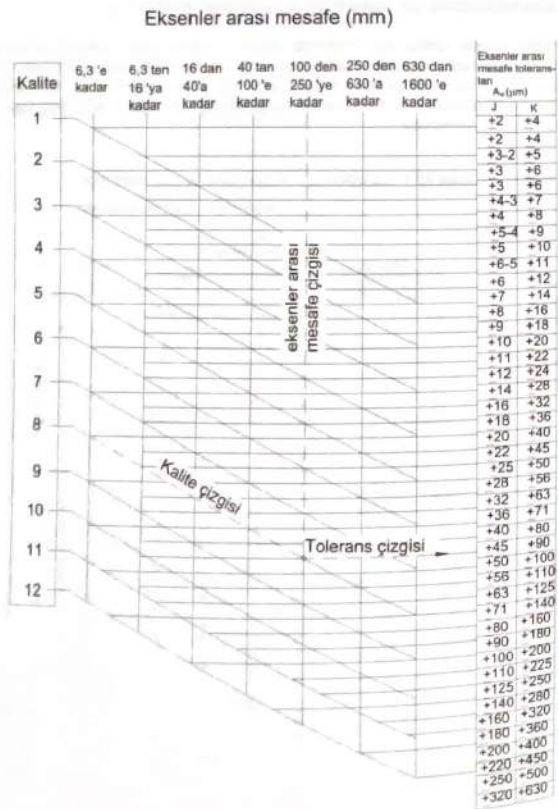
Dişli çark çiftine verilen yan boşluktan başka eksenler arası aralığın alt ve üst sınırları hakkında da bilgi sahibi olmamız gereklidir. Bunlar için yine DIN standartlarına göre düzenlenmiş olan eksenler arası uzaklığı ait toleranslar, kaliteye bağlı olarak, J ve K harfleri ile işaretlenmiştir. Cetvel 33.2'de verilmiştir.

Cetvel 33.1 Diş kalınlıkları ve dişler arası uzaklık toleransları

Değerler mikron (μm) olarak verilmiştir

Modül 1,6 ve hatalı 1,6 ve 1,8 ve hatalı 1,8 ve 2 ve hatalı 2 ve 2,5 ve hatalı	Bileşik hatalar (S)		Diş kalınlıkları toleransları
	Tek taraflı yazılıcılık (S)	İki taraflı yazılıcılık (S')	
2	1	5,5	2
2,5	1	5,5	2
3	1	6	2
3	1	7	2,5
3,5	1,5	8	3
4	1,5	9	3
4,5	1,5	10	3,5
5	2	11	4
5,5	2	12	4,5
6	2	14	5
7	2,5	16	5,5
8	3	17	6
9	3	20	7
10	3,5	22	8
11	4	25	9
12	4,5	28	10
14	5	32	11
16	6,5	36	12
18	6	40	14
20	7	45	16
22	8	50	18
25	9	56	20
28	10	63	22
32	11	71	25
36	12	80	28
40	14	90	32
45	16	100	36
50	18	110	40
56	20	125	45
63	22	140	50

Cetvel 33.2 Dışlı çarklarda eksenler arası uzaklığa ait tolerans değerleri



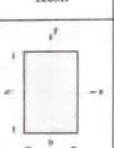
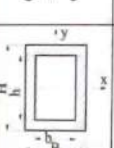
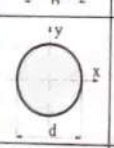
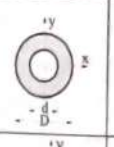
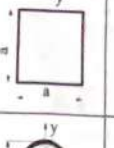
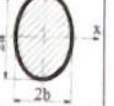
KAYNAKÇA

1. Akkurt, M., Makina Elemanları, Cilt II, Birsen yayınevi, İstanbul, 1997.
2. Akkurt,M., Makina Elemanları Cilt III, Bursa Üniversitesi yayınları, No.4-005-0018, 1980.
3. Akkurt, M., Makina Elemanları Problemleri, Birsen Yayinevi, ISBN 975-511-024-0, İstanbul, 1994.
4. Beneyyat,I., (Decker/Kabus), Çözümlü Makina Elemanları Problemleri, Güven Kitabevi, Ankara, 1974.
5. Cürgül, I., Makina Elemanları Cilt II, Kocaeli Üniversitesi Yayınları, Sayı 1, Doğan Matbaası, İstanbul, 1993.
6. Cürgül, I., Çözümlü Makina Elemanları Problemleri, Kocaeli Üniversitesi Yayınları, Sayı: 7, Kocaeli Üniversitesi Basımevi, Kocaeli, 1997.
7. Cürgül, I., Makina Elemanları ve Çözümlü Problemleri, Cilt I, Birsen Yayinevi, ISBN 975-511-401-7, İstanbul, 2008.
8. Cameron, A., Principles of Lubrication, Longmans, 1967.
9. Cameron, A., Basic Lubrication Theory, Ellis Horwood Limited, Second Edition, Chichester, 1976.
10. Çakmak, M.S., Dışlı Çarklar, Arpacı Matbaacılık, İstanbul, 1980.
11. Desmond, F.M., Principles and Applications of Tribology, Pergamon Pres,Oxford, 1975.
12. Dudley, W.D., Gear Handbook, McGraw-Hill Co. New York, 1972.
13. Faires, M.V., Design of Machine Elements, McMillan Co., New York, 1970.
14. Gediktaş, M., Temiz, V. Palabıyık, İ.M. ve Parlar, Z., Makina Elemanları problemleri, Çağlayan Yayinevi, İstanbul, 1999.
15. Niemann, G., Maschinenelemente, Berlin-Göttingen-Heidelberg-New York, Springer Verlag, 1969.
16. Norton, R.L., Design of Machinery, McGraw-Hill Co., International Editions, 1992.
17. Norton, R.L., Machine Design, Second Edition, Prentice-Hall, 2000.
18. Oberk, E., Jones, F.D. and Horton, H.I., Machinery's Handbook, Industrial Pres Inc., 20th Edition, New York, 1975.
19. Okday, Ş., Makina Elemanları, Cilt II ve Cilt III, Birsen yayinevi, İstanbul.
20. REA's (Research Education Association), The Machine Design Problem Solver, Revised Printing, USA, 1989.
21. Shigley, E.J., Mechanical Design, McGraw-Hill Book Co. New York, 1972.
22. Spotts, F.M., Design of Machine Elements, Prentice-Hall Inc., 1971.
23. SKF Genel Rulman Kataloğu, 3000 T 48.
24. Tochtermann, W., Bodenstein, F., Konstruktionselemente des Maschinenbaues, Berlin-Heidelberg-New York, Springer Verlag, 1982.
25. Ulukan, L., Yağlama Teknigi, İ.T.Ü. Makina Fakültesi, Öğrenci Yayıni, 1970.
26. Ulukan, L., Çözülebilin Kavramalar, İ.T.Ü. Makina Fakültesi, Öğrenci Yayıni, 1971.
27. Ulukan, L., Tashihli Dışiler, İ.T.Ü. Makina Fakültesi, Öğrenci Yayıni, 1970.

Cetvel 1 Birim sistemleri

Büyüklük/Simgə	Uluslararası arası birim sistemi (SI)		Teknik birim sistemi (MKSA)	
	Birim	Simgə	Birim	Simgə
Uzunlik <i>l</i>	metre	<i>m</i>	metre	<i>m</i>
Alan <i>A</i>	metrekare	<i>m</i> ²	metrekare	<i>m</i> ²
Hacim <i>V</i>	metreküp	<i>m</i> ³	metreküp	<i>m</i> ³
Zaman <i>t</i>	saniye	<i>s</i>	dakika	<i>dk</i>
Dəbi (verdi) <i>Q</i>	metreküp/saniye	<i>m</i> ³ / <i>s</i>	metreküp/saniye	<i>m</i> ³ / <i>s</i>
Hız <i>v</i>	metre/saniye	<i>m</i> / <i>s</i>	litre/dakika	<i>l</i> / <i>dk</i>
Açısal hız <i>w</i>	radyan/saniye	<i>rad</i> / <i>s</i>	metre/dakika	<i>m</i> / <i>dk</i>
İvme <i>a</i>	metre/saniyekare	<i>m</i> / <i>s</i> ²	radyan/saniye	<i>rad</i> / <i>s</i>
Devir sayısı <i>n</i>	devir/saniye	<i>1</i> / <i>s</i>	metre/saniyekare	<i>m</i> / <i>s</i> ²
Kütle <i>m</i>	kilogram	<i>kg</i>	devir/dakika	<i>dev</i> / <i>dk</i>
Yöjuşluk <i>p</i>	kilogram/metreküp	<i>kg</i> / <i>m</i> ³	kilogram-kuvvet	<i>kgf</i>
Kuvvet <i>F</i>	Newton	<i>N</i>	kilogram-kuvvet	<i>kgf</i>
Özgül ağırlık <i>γ</i>	Newton/metreküp	<i>N</i> / <i>m</i> ³	kilogram-kuvvet/metreküp	<i>kgf/m</i> ³
Moment <i>M</i>	Newton.metre	<i>N.m</i>	kilogram-kuvvet.metre	<i>kgf.m</i>
Basınç <i>p</i>	Newton/metrekare	<i>N</i> / <i>m</i> ²	kilogram-kuvvet/santimetrekare	<i>kgf/cm</i> ²
Viskozite (dinamik) <i>η</i>	Newton.saniye/ metrekare	<i>N.s/m</i> ²	Poise centipoise	<i>P</i> <i>cP</i>
Viskozite (kinematik) <i>ν</i>	metrekare/saniye	<i>m</i> ² / <i>s</i>	Stokes centistokes	<i>St</i> <i>cSt</i>
Enerji <i>E</i>	Joule	<i>J</i>	kilogram-kuvvet.metre	<i>kgf.m</i>
İş məntəri <i>Q</i>	Joule	<i>J</i>	kilokalori	<i>kcal</i>
Güç <i>P</i>	Watt	<i>W</i>	kilogram-kuvvet.metre/saniye Beyigircü (=736 W)	<i>kgf.m/s</i> <i>BG</i>
Sicaklık <i>T</i>	Kelvin-derece	<i>°K</i>	Celsius-derece	<i>°C</i>

Cetvel 2 Bazı geometrik şekillerin eylemsizlik ve mukavemet momentleri

Kesit	I	I_p	W_e	W_b
	$I_x = \frac{bh^3}{12}$ $I_y = \frac{hb^3}{12}$	-	$W_{ea} = \frac{bh^2}{6}$ $W_{ey} = \frac{hb^2}{6}$	-
	$I_x = \frac{BH^3 - hb^3}{12}$ $I_y = \frac{HB^3 - hb^3}{12}$	-	$W_{ea} = \frac{BH^3 - hb^3}{6H}$ $W_{ey} = \frac{HB^3 - hb^3}{6B}$	-
	$I_x = \frac{\pi d^4}{64}$	$\frac{\pi d^4}{32}$	$\frac{\pi d^3}{32}$	$\frac{\pi d^3}{16}$
	$I_x = \frac{\pi}{64} (D^4 - d^4)$	$\frac{\pi}{32} (D^4 - d^4)$	$\frac{\pi}{32} \left(\frac{D^4 - d^4}{D} \right)$	$W_{ea} = \frac{\pi}{16} \left(\frac{D^4 - d^4}{D} \right)$
	$I_x = I_y = \frac{a^4}{12}$	-	$W_{ea} = W_{ey} = \frac{a^3}{6}$	-
	$I_x = \frac{\pi a^3 b}{4}$ $I_y = \frac{\pi b^3 a}{4}$	$\frac{\pi a^3 b^3}{a^2 + b^2}$	$W_{ea} = \frac{\pi a^2 b}{4}$ $W_{ey} = \frac{\pi b^2 a}{4}$	$\frac{\pi a b^2}{2}$

Cetvel 3 Bazı Malzemelerin Mekanik Özellikleri

Malzeme	Elastiklik modülü (E) daN/mm ²	Kayna modülü (G) daN/mm ²	Poisson oranı (ν)	Ozgül ağırlık (γ)
Alüminyum alaşumları	$0,7242 \cdot 10^4$	$0,2672 \cdot 10^4$	0,334	2,7126
Berilyum bronzu	$1,2656 \cdot 10^4$	$0,4921 \cdot 10^4$	0,285	8,2209
Karbonlu çelik	$2,1093 \cdot 10^4$	$0,8086 \cdot 10^4$	0,292..0,303	7,8057
Dökme çelik	$2,0389 \cdot 10^4$	$0,7875 \cdot 10^4$	0,265	7,7504
Kır dökme çelik	$1,0195 \cdot 10^4$	$0,4219 \cdot 10^4$	0,210..0,270	7,1968
Inconel	$2,1796 \cdot 10^4$	$0,7734 \cdot 10^4$	0,290	8,4977
Magnezyum	$0,4570 \cdot 10^4$	$0,1687 \cdot 10^4$	0,350	1,7992
Molibden	$3,3749 \cdot 10^4$	$1,1953 \cdot 10^4$	0,307	10,1862
Monel metal	$1,8289 \cdot 10^4$	$0,6679 \cdot 10^4$	0,320	8,8299
Nikel-Gümüş alaşımı	$1,3007 \cdot 10^4$	$0,4922 \cdot 10^4$	0,322	8,17469
Nikel alaşımı çelik	$2,1093 \cdot 10^4$	$0,8086 \cdot 10^4$	0,291	7,7504
Fosfor bronzu	$1,1320 \cdot 10^4$	$0,4219 \cdot 10^4$	0,349	8,1656
Paslanmaz çelik (18-8)	$1,9405 \cdot 10^4$	$0,7453 \cdot 10^4$	0,305	7,7504
Titanium	$1,0546 \cdot 10^4$	—	—	4,4841

Not: Verilen değerler, malzemenin elde edilmiş yöntemlerine ve alaşım elementlerine bağlılardır.

Cetvel 4 Emniyet katsayıları (S) değerleri

Büyüklük	Açıklama
1,25...1,5	Kesinlikle tespit edilebilen kuvvetler ile gerilmelere maruz ve kontrol edilebilen şartlar altında çalışan olağanüstü güvenilir malzemeler için. Hafiflik şartının önemli bir istek olduğu yerlerde öncelikle kullanılır.
1,5...2,0	Nispeten sabit çevre şartları altında çalışan ve kolayca tespit edilebilen kuvvetler ile gerilmelere maruz tanınmış malzemeler için.
2,0...2,5	Normal çevre şartlarında çalışan ve tespit edilebilen kuvvetler ile gerilmelere maruz orta kaliteli malzemeler için.
2,5...3,0	Normal çevre, kuvvet ve gerilme şartları altında çalışan az denenmiş ve kırılabilir malzemeler için.
3,0...4,0	Normal çevre, kuvvet ve gerilme şartları altında çalışan denenmemiş malzemeler için. Belirsiz çevre şartlarında çalışan veya belirsiz gerilmelere maruz tanınmış malzemeler için de uygulanabilir.

- Not: 1. Yukarıda tanımlanan emniyet katsayıları değişken zorlanma halleri için geçerli olup bu durumda akma sınırı yerine sürekli mukavemet sınırı esas alınmalıdır.
2. Döküm, dövme, presleme ve kaynak yolu ile imal edilmiş parçalar için kullanılan emniyet katsayılarında genellikle yukarıdakilere nazaran önemli ölçüde bir değişiklik yoktur.
3. Ticari bakımdan hazır standart elemanlarda kullanılacak emniyet katsayıları güvenilir imalatçılar tarafından tavsiye edilen veya makine tasarımları için tespit edilen değerler kullanılmalıdır.
4. Daha büyük bir emniyet katsayılarının gerekligi düşünülürse, bu duruma, ciddi bilimsel veriler göz önünde bulundurularak karar verilmelidir.

Cetvel 5 Emniyetli yüzey basıncı değerleri (daN/cm^2)

Malzeme	Yükleme durumu		
	Statik	Değişken	Darbeli
Çelik	800-1500	600-1000	300-500
Çelik, serileştirilmiş	1500-1800	800-1200	400-600
Çelik döküm	800-1000	500-900	250-350
Dökme demir	700-800	450-550	200-300
Temper döküm	500-800	300-550	200-300
Sert döküm	1000-1500	700-1000	350-500
Bronz	300-400	200-300	100-150
Kızıl döküm	250-350	150-250	80-120
Pirinç, haddelemmiş	300-450	250-350	100-150

Not: Daha sağlıklı değerler için elemanın yüzey kalitesi ve sertliği de göz önünde bulundurulmalıdır.

Cetvel 6 Bazı malzeme çiftleri arasındaki sürtünme katsayıları

Eş çarşan malzemeler	Sürtünme katsayısı
Kuru sürünlmesi	
Çelik-Beyaz metal	0,15...0,3
Çelik-Bakır/Kurşun alaşımı	0,15...0,3
Çelik-Nylon	0,3...0,5
Teflon-Diger malzemeler	0,04...0,12
Grafit-Diger malzemeler	0,08...0,16
Kösele-Odun	0,3...0,5
LASTIK-Diger malzemeler	0,6...0,9
Sıvı sürünlmesi	
Çelik-Dökme demir	Gres 0,05...0,1
Çelik-Bronz	Sıvı Yağ 0,02...0,1
Çelik-Nylon	Sıvı Yağ 0,05...0,1
Sıvı sürünme	
Hidrodinamik yağlama	0,001...0,01
Hidrostatik yağlama	0,00001...0,001
Yuvarlanma sürünlmesi	
Düzlem üzerinde silindir	0,0000...0,001
Yuvarlanmalı yataklar	0,001...0,01
Geometrik olarak hatalı elemanlar	0,05...0,2
Kati yağlayıcılar	
Ince kurşun tabakası kaplı çelik	0,08...0,2
Grafit veya Molibden di sulfid'ten oluşan bir tabaka ile kaplı metaller	0,06...0,2

Cetvel 7 Bazı metallerin fiziksel özellikleri

Metal	Sembol	Yer kabuğu, miktar (%)	Özgül ağırlık (daN/dm ³)	Ergime noktası (°C)	Kayna-ma noktası (°C)	20°C da ışıl iletken. (W/m°C)	Elastik. modülü (daN/dm ²)
Alüminyum	Al	8,13	2,7	660,2	2450	223	7170
Antimon	Sb	-	6,62	630,5	1380	19	-
Berilyum	Be	0,001	1,85	1280	2770	160	29200
Bizmut	Bi	-	9,80	271,3	1580	8,8	3200
Kadmiyum	Cd	-	8,65	320,9	765	92	5000
Seryum	Ce	-	6,8	804	3470	-	-
Krom	Cr	0,037	7,19	1875	2665	67	19000
Kobalt	Co	0,001	8,85	1495	2900	69	20300
Kolombiyum	Cb	-	8,57	2468	4927	-	16000
Bakır	Cu	0,01	8,96	1083	2600	393	11600
Germaniyum	Ge	-	5,32	937,4	2830	-	8000
Altın	Au	0,0000001	19,32	1063	2970	296	8100
İndiyum	Ir	-	22,42	2454	5300	59	54500
Demir	Fe	5,01	7,87	1539	3000	75	21000
Kunun	Pb	0,002	11,35	327,4	1725	35	1800
Lityum	Li	-	0,53	180,5	1330	71	2200
Magnezyum	Mg	2,09	1,74	650	1110	158	4300
Manganiz	Mn	0,1	7,43	1245	2150	-	11000
Cıva	Hg	0,00001	13,55	-26,36	357	8,4	-
Molibden	Mo	0,0001	10,2	2610	5560	146	33500
Nikel	Ni	-	8,91	1453	2730	92	20500
Palladyum	Pd	-	12,02	1354	4000	71	12200
Platin	Pt	-	21,45	1789	4530	71	17000
Radyum	Rh	-	12,44	1966	4500	88	38600
Seleniyum	Se	-	4,8	220	685	-	-
Gümüş	Ag	0,000001	10,49	960,5	2210	418 (0°C)	7400
Silisyum	Si	27,72	2,34	1410	2680	84	11500
Tantal	Ta	-	16,6	2996	3425	34	19000
Kalay	Sn	0,0000001	7,3	231,9	2270	67	5500
Titanium	Ti	0,63	4,5	1668	3280	16,7	12000
Türsten	W	0,005	19,3	3410	5930	200	36500
Uranium	U	-	19,07	1130	3530	26,7	13300
Vanadıyum	V	-	6,1	1400	3400	-	15000
Çinko	Zn	0,004	7,13	419,5	906	113	10500
Zirkonyum	Zr	-	6,49	1850	3580	16,7	8400

Cetvel 8 Metal malzemelere ait bazı özellikler

Malzeme	Özgül ağırlık (daN/dm ³)	Ergime noktası (°C)	İslı iletke nılık (W/m²°C)	İslı genleşm e katsayısi (10 ⁶ °C)	Su miktarı ⁽ⁱ⁾	Kopma mukavemeti (daN/mm ²)	Kopma uzaması (%)	Elastiklik modülü (daN/mm ²)
Dökme	7,80	1400	56,5	12	0	60-100	10-20	22000
Alum döküm	2,70	658	209	23	0	7-10	25-30	6800
Magnezyum dök.	1,70	651	160	25	0	9-11	6-7	4200
Bakır, tıbbi tenejmis	8,90	1080	375	17	0	15-20	40-60	13000
Ring 65/5	7,30-8,40	935	100	18	0	-	-	10600
Tatlı	0,97-1,18	-	-	60-120	0,3-11,0	8,5-15	0,2-5	740-1300
Polyamid, istat yapılı	1,09-1,16	220-260	0,21-0,25	110-145	1,7-3,5	-	-	40-150
Polybenz	0,95	-	-	200	0	3,4 ⁽ⁱⁱ⁾	8-10 ⁽ⁱⁱ⁾	80-100
Elastomerler	1,20-1,60	-	0,16	70	0,2-0,5	1-6	2-500	-
Vulkansız silikonler	0,96-1,30	-	-	-	-	2-4	560-1000	2-4
Lantik, şerit	1,12-1,80	-	-	80	0,3	2,8-7	8-15	380
Polymeritler	1,18-1,19	-	-	-	0,3	6,3-7,6	4-8	260-320
Polyester	1,05	-	0,085	180	0,5	4-6	1,5	120-330
Gom	2,50	-	-	-	-	-	-	4500-10000
Fenol-formaldehid	1,30-1,50	-	0,21	35	0,5	4,5-7	0,7	700-1000
Mesame-formaldehid	1,50	-	0,29	30	0,3	4-5	0,7	1100
Polyester resinsiz silikonlar	1,60-1,90	-	-	-	-	15-80	-	2000-4000
Seramik	2,40-2,50	-	-	-	0,1-0,3	0,4-0,8	-	4300-10000

⁽ⁱ⁾ %60 izafî nemli hava ile dengelenmiş⁽ⁱⁱ⁾ Akma sınırı için

Cetvel 9 Çeşitli Alüminyum Alaşımının bazı mekanik özellikleri

Malzeme	Sembol	Kimyasal bileşimi (%)	Mukavemet değerleri (daN/mm ²)			
			σ_{ak}	σ_K	σ_D	HB
Dönen Alüminyum alaşımının küm ve kalı döküm	UG Al Zn4 Cu4	Cu3-6 Zn3-6 Al ⁽¹⁾ 87	(11-17) 8	(15-20) 12	-	(70-100) 60
	G Al Si 13	Si12-13,5 Mn0,5- Katalan Al	(8-9) 7	(17-22) 14	6,5-11	(50-60) 50
	UG AlSi Cu3 K	Si5-6,5 Mg0,3 Cu2-4 Mn+Fe+Ni+Pb+Sn=1,8	(15-18) 11	(16-21) 13	-	(75-90) 75
	UG AlSiB Cu3 K	(15-20) 11	(18-22) 14	-	(90-105) 90	
	G Al Mg 5	Mg4,5-5,5 Mn0,1-0,4 Si0,8-1,3 Ti0-0,2 Fe0,5 Zn0,2 Cu0,05	(9-10) 11	(16-19) 12	6-8,5 5,5	(55-70) 55
	G Al Mg 5 K ⁽²⁾	(9-10) 12	(17-25) 12	8-9	-	(60-80) 55
Pres döküm	AlSiCuNi 11	Si11,5-13,5 Mn0,5- Cu0,4-0,8 Ni0,2-0,4 Mg0,8-1,5 Fe+Ti=0,8 Katalan Al	-	(14-20)	-	(85-100)
	D Al Mg 9	Mg7-10 Mn0,1-0,8 Si0-0,6 Fe < 1,5 Cu+Zn < 0,3 Cu < 0,1	-	18-25	-	(60-80)
	Al Cu 3 Mg	Cu2,5-5,5 Mg0,2-2 Si0,2-1,5 Mn0,1-1,5	25-32 28-42	38-44 45-58	≈ 16	80-115 110-135
Dönen Alüminyum alaşımının döküm	Al Mg Si	Mg0,7-1,0 Si0,7-1,2 Mn0,6-1,0	-	11-13 20-26	-	30-40 50-60 60-120 70-120
	Al Mg 5	Mg4,0-5,5 Mn0,0-0,8 Zn0,4	11-18 25-30	25-32 30-40	9-12	60-80 80-110
	Al Mg Mn	Sb < 0,2 Mg2,4-3,0 Mn0,6-1,0	8-14 13-18 20-24	18-24 22-26 24-28	-	45-50 55 65

(1) K-Kakil döküm (2) Pl-Platin kaplama

Not: 1) Alüminyum alaşımında: döküm için $E=(7,85-8,5)$ daN/mm², dövme için $E=(6,9-7,2)$ daN/mm² ve $\gamma=(2,6-2,9)$ daN/dm³2) Parantez içi mukavemet değerleri, kesim 100 mm² olan deney çubukları
içindir. Diğerleri ise ortalaması değerlerdir.

Cetvel 10 Bakır alaşımının bazı özellikleri

Alaşım	Eleman şekli	Yapı	Akma sınırı (daN/mm ²)	Kopma mukavemeti (daN/mm ²)	Sertlik (Rockwell)	Bileşimi (%) Cu Zn Pb Sn
San piring	Levhə	Sert	42	52	80B	65 35
	Levhə	Yumuşak	10,5	33	64F	65 35
	Çubuk	Sert	31,5	42	80B	65 35
	Çubuk	Yumuşak	11	33,5	65F	65 35
Kızıl piring	Levhə	Sert	40,0	49	77B	85 15
	Levhə	Yumuşak	8,5	23	59F	85 15
	Levhə	Sert	36,5	40	75B	85 15
	Çubuk	Yumuşak	7,0	28	55F	85 15
	Boru	Sert	40,5	49	75B	85 15
Yaldız piringi	Levhə	Sert	35	39	64B	95 5
	Levhə	Yumuşak	7	24	46F	95 5
Az kürşunu piring	Boru	Sert	42	52,5	80B	67 32,5 0,5-
	Boru	Yumuşak	10,5	33	64F	67 32,5 0,5-
Çok kürşunu piring	Levhə	Sert	42	52	80B	64 34 2 -
	Levhə	Yumuşak	12	34,5	68F	64 34 2 -
Ölmat piringi	Çubuk	Sert	31,5	40,5	78B	61,5 35,5 3 -
	Çubuk	Yumuşak	12,5	34,5	68F	61,5 35,5 3 -
Ticari bronz	Levhə	Sert	38	43	70B	90 10
	Levhə	Yumuşak	7	26	53F	90 10
	Çubuk	Sert	38	42	OB	90 10
	Çubuk	Yumuşak	7	28	55F	90 10
Fosfor bronzu	Levhə	Sert	52,5	37	67B	95 - - 3
	Levhə	Yumuşak	13	33	76F	95 - - 3
	Çubuk	Sert	40,5	49	78B	95 - - 3
	Çubuk	Yumuşak	47,5	65	90B	92 - - 8
Alüminyum bronzu (%)	Boru	Sert	-	49	80B	95
Berilyum- balkır (%2,25)	Çubuk	Sert	52,5	80,5	98B	97
	Çubuk	Yumuşak	17,5	42	77B	97
	Levhə	Sert	102	126,5	-	97

Cetvel 11 Magnezyum, pirinç ve çinko alaşımının bazı mekanik özellikleri

Malzeme	Sembol	Kimyasal bileşim (%)	Mukavemet değerleri (daN/mm ²)				
			σ_{Ak}	σ_K	σ_{cD}	σ_{BcD}	HB
Magnezyum DIN 1728	G Mg Al 3 Zn	Al2,6-3,4 Zn0,6-1,4 Mn0,1-0,5 Kalanı Mg	(5,0-6,5) 4	(16-20) 8	-	-	40
	G Mg Al 6 Zn 1	Al5,3-6,1 Zn2,3-3,1 Mn0,1-0,5 Kalanı Mg	(9-11) 8	(16-20) 13	-	6,5	50
	G Mg Al 9	Al7,8-8,8 Zn0,1-0,8	(10-13)9	(24-28)17	-	55	
	D Mg Al 9 I	Mn0,1-0,5 Kalanı Mg	(10-13)9	(24-28)17	-	55	
	Mg Mn	Mn1,4-2,3 Kalanı Mg	(10-15) 14-20	(20-24) 19-26	8	8	40-50
	Mg Al 5 Mg Al 7	Al5,5-8,0 Zn0,5-2,0 Mn0,05-0,4	20-22	28-32	11	11	-
	G Ma 60	Cu58-60 Kalanı Zn Pb<2	-	25	-	-	70
	Se C Ma 57	Cu54-60 Mn+Al+Fe+Sn=7,5 Kalanı Zn	18-25	45-60	-	-	100- 130
	F 37 Ma 58 F 44 F 51	Cu58 Pb<3 Kalanı Zn	-	37-45 44-54 51-63	-	16	-
	F 29 Ma 63 F 45 F 52	Cu63 Pb0-0,5 Kalanı Zn	-	29-35 35-43 >32	-	20	80- 120 >140
Pirinç DIN 1728	F 40 So Ma 88 F 45 F 60	Cu68-70 Si0,8-1,1 P0,2-0,4 Kalanı Zn	12 31	36 36-42 45	-	-	80- 80- 130 130
	D Zn Al 2 Cu I	Al1,5-2,0 Cu0,8-1,2 Mg0,02-0,05 Kalanı Zn	-	26	-	-	80-
	D Zn Al 4 Cu I	Al3,5-4,3 Cu0,8-1,0 Mg0,02-0,05 Kalanı Zn	-	27	-	-	80
	Zn Al 4 Cu I						
Çinko alaşımı DIN 1724							

Mg alaşım için $\gamma = 1,8 \text{ daN/dm}^2$ ve $E = 4,4 \cdot 10^3 \text{ daN/mm}^2$ Ms alaşım için $\gamma = 8,5 \text{ daN/dm}^2$ ve $E = 8,0 \cdot 10^3 \text{ daN/mm}^2$ Zn alaşım için $\gamma = (6,7-8,9) \text{ daN/dm}^2$ ve $E = 13 \cdot 10^3 \text{ daN/mm}^2$ Not: Parantez içindeki mukavemet değerleri 100 mm² kesil alanı olan deney cubukları için olup diğer değerler ortalaması alınmıştır.

Cetvel 12 İslah çeliklerinin mukavemet değerleri

Malzeme	Mukavemet değerleri (daN/mm ²)				
	σ_K	σ_{Ak}	σ_{cD}	σ_D	τ_D
C22 ve Ck22	50...60	30	-	23	16
C35 ve Ck35	60...72	37	20	27	15
C45 ve Ck45	65...80	40	22	30	17
C60 ve Ck60	75...90	49	-	33	20
30 Mn 5	80...95	55	-	39	20
37 Mn Si 5	90...105	65	-	45	29
42 Mn V 7	100...120	80	-	-	-
34 Cr 4	90...105	65	-	36	20
41 Cr 4	90...105	65	-	50	-
25 Cr Mo 4	80...95	55	25	35	20
34 Cr Mo 4	90...105	65	27	40	22
42 Cr Mo 4	100...120	80	40	53	31
30 Cr Mo V 9	125...145	105	-	50	30
34 Cr Ni Mo 6	110...130	90	-	55	34
30 Cr Ni Mo 8	125...145	105	38	55	32

Not: 1) Akma ve kopma mukavemeti değerleri 16-40 mm arasındaki
çaplar için geçerlidir.

2) Ck: Endüksiyonla sertleştirilmiş çelik

Cetvel 13 Genel yapı çeliklerinin mukavemet değerleri

Çelik türü	Mukavemet değerleri (daN/mm ²)											
	1	2	3	σ_K	σ_{Ak}	σ_{cD}	σ_{cT}	σ_{eD}	σ_{eT}	τ_{bD}	τ_{bT}	HB
Fe 33	Fe 33			33...50	18	-	-	-	-	-	-	-
Fe 34	Fe 34			34...42	20	-	-	17	-	9	-	95...120
Fe 37	Fe 37	Fe 37	37...45	23	12	22	17	26	10	14	105	125
Fe 42	Fe 42	Fe 42	42...50	25	13,5	24	19	30	11	16	120	140
Fe 50	Fe 50		50...60	29	18	31	24	37	14	19	140	170
		Fe 52	52...62	35	18	32	21	40	13	19	140	170
Fe 60	Fe 60		60...72	33	20	35	28	43	16	22	170	195
		Fe 70	70...85	36	23	41	32	50	19	26	195	240

Cetvel 14 Sementasyon çeliklerinin mukavemet değerleri

Malzeme	Mukavemet değerleri (daN/mm ²)					
	σ_k	σ_{ek}	σ_{eD}	σ_{eT}	τ_{bD}	τ_{bT}
C10 ve Ck10	42..52	25	22	-	12	-
C15 ve Ck15	50..65	30	27	42	17	20
15 Cr 3	60..85	40	32	56	20	25
16 Mn Cr 5	80..100	60	44	80	26	37
20 Mn Cr 5	100..130	70	44	70	27	43
15 CrNi 6	90..120	65	44	-	29	-
18 Cr Ni 8	120..145	80	64	108	37	51

Not: Verilen mukavemet değerleri islah işlemi sonrasında altır.

Cetvel 15 Sementasyon çeliklerinin sertlik değerleri

Malzeme	Kırma mukavemet: σ_E (daN/mm ²)			Akma şartı: σ_{ek} (daN/mm ²)			Brinell Sertliği: HB (daN/mm ²) (BSD 30) Y1 Is By
	011 mm	030 mm	060 mm	011 mm	030 mm	060 mm	
C10 ve Ck10	640-780	490-640	-	380	295	-	131 .. 90-126
C15 ve Ck15	740-880	590-780	-	440	355	-	146 .. 03-140
15 Cr 3	740-880	590-780	-	440	355	-	146 .. 103-140
16 MnCr 5	880-1270	880-1160	780-1080	685	635	540	217 170-217 152-201
20 MnCr 5	1230-1470	1180-1420	1080-1320	835	785	685	235 187-235 170-217
20 MoCr 4	980-1270	780-1080	690-930	785	590	490	210 165-210 150-195
25 MoCr 4	1180-1420	1080-1320	980-1270	835	785	685	229 179-229 159-207
15 CrNi 6	780-1030	690-880	-	510	440	-	174 126-174 116-161
18 CrNi 8	880-1180	780-1080	640-930	635	590	-	207 156-207 140-187
17 CrNiMo 8	880-1080	780-1180	640-930	635	590	440	207 156-207 140-187
21 NiCrMo 2	1080-1370	980-1270	780-1080	735	685	540	217 170-217 152-201
16 MnCrSi 5	880-1180	780-1080	-	635	590	-	207 156-207 140-187
20 MnCrSi 5	880-1080	780-1080	-	635	590	-	297 156-207 140-187
20 MoCrSi 4	1080-1370	980-1270	780-1080	735	685	540	217 170-217 152-202
25 MoCrSi 4	1080-1370	980-1270	780-1080	735	685	540	217 170-217 152-201

Not: Yt-yumuşak tavlı, Is-isıl işlemeli, By-belirli yapı durumunda

Cetvel 16 Kır dökme demirin mukavemet değerleri

Adı	Mukavemet değerleri (daN/mm ²)						
	σ_k	σ_{ek}	σ_{eD}	σ_{eT}	τ_{bD}	τ_{bT}	HB
Küresel grafitli							
DDK-38	38	25	19	34	11	21	140..180
DDK-42	42	28	20	36	12	23	150..200
DDK-50	50	35	21	38	12,5	24	170..240
DDK-60	60	42	24	43	14	26	210..280
DDK70	70	50	25	45	15	28	230..320
Lamel grafitli							
DDL-10	10	-	5,5	8	4	5,5	..180
DDL-15	15	-	7	13	5,5	7,5	..200
DDL-20	20	-	9	18	7	10	..220
DDL-25	25	-	11	22	9	12,5	..240
DDL-30	30	-	14	27	11	15	180..250
DDL-35	35	-	16	32	13	17,5	190..270
DDL-40	40	-	19	36	15	20	210..270

Cetvel 17 Temper dökümün mukavemet değerleri

Adı	Mukavemet değerleri (daN/mm ²)						
	σ_k	σ_{ek}	σ_{eD}	σ_{eT}	τ_{bD}	τ_{bT}	HB
DDTB-35	35	-	14	25	8,5	16,5	..220
DDTB-40	40	22	17	29	10	19	..220
DDTB-45	45	26	18	32	11,5	21	..240
DDTB-55	55	36	22	40	14	26	..270
DDTB-65	65	43	26	47	16,5	31	..200
DDTB-38	38	20	15	27	10	18	
DDTS-35	35	20	14	26	8,5	17	..150
DDTA-45	45	30	18	32	11,5	21	160..200
DDTS-55	55	36	22	47	14	26	180..220
DDTS-65	65	43	26	47	16,5	31	210..250
DDTS-70	70	55	28	50	18	33	240..270

Cetvel 18 Alaşimsız dökme çelikler

Adı	Mukavemet değerleri (daN/mm ²)					
	σ_K	σ_{Ak}	σ_{eD}	σ_{eT}	T_{hD}	T_{hT}
DÇ-48	38	19	18	27	11	16,5
DÇ-45	45	23	20	32	12,5	20
DÇ-52	52	26	10	38	12,5	23
DÇ-60	60	30	24	43	14	26,5
DÇ-62	62	35	24	44	14	27
DÇ-70	70	42	25	47	15	29

Cetvel 19 Sıcaklığa dayanıklı alaşımı dökme çelikler (daN/mm²)

Adı	σ_K	σ_{Ak} (°C sıcaklıkta)				$\sigma_K / 10^{\circ} \dots ^{\circ}C$
		20	300	400	500	
DÇ-C 25	45	25	17	13	9	-
DÇ-22 Mo 4	45	25	21	17	14	11,2 3,5
DÇ-22 CrMo 51	53	30	28	24	21	17 25,3 5,9 4,7
DÇ-20 MoV 43	50	30	28	24	22	18 23,4 13,1 6,1
DÇ-20 MoV 84	60	40	32	29	26	22 28,1 15,0 7,5

Cetvel 20 Çivata ve somun imalatında kullanılan bazı çelik türleri

Sembol	İmalat yöntemi		
	Sıcak şekillendirme	Sıcak şekillendirme	Talaş kaldırarak
Çivatalar	3,6	Fe 34	Fe 34
	4,6	Fe 37, C 15	Fe 34, Fe 37
	4,8	-	Fe 34, Fe 37
	5,6	Fe 50, C 35	C 22, C 35
	5,8	-	C 35
	6,6	C 45	Fe 37, C 15
	6,8	-	Fe 60, C 45
	6,9	-	Fe 50, C 35
	8,8	C 35, C 45, 34 Cr 4	Fe 37, C 35, Fe 34
	10,9	41 Cr 4	C 35, C 45, 34 Cr 4
Somunlar	12,9	42 Cr Mo 4, 42 Cr V 6	41 Cr 4
	4,6	Sıcak preslenme	42 Cr Mo 4, 42 Cr V 6
	5,6	Fe 37	-
	5,8	Fe 50, C 35	-
	6,8	-	Soğuk preslenme
Sıyanır banyosunda sertleştirilmiş çelikler	8,8	C 35, C 45	-

Cetvel 21 Çivata ve somun malzemesinin sıcakta akma sınırı değerleri

Malzeme	$20^{\circ}C$ da (σ_K) (N/mm ²)	Sıcaklıklar (°C) ve buna bağlı (σ_{Ak}) değerleri (N/mm ²)					
		20	200	250	300	350	400
C35	500..600	28	22	21	19	17	15
C35	500..600	55	48	46	44	41	38
C45	600..720	36	28	27	25	22	19
C45	600..720	29	27	25	22	19	-
24 Cr Mo 5	600..750	45	42	40	37	34	28 24
24 Cr Mo V 5 5	700..850	55	50	48	46	44	41 38
21 Cr Mo V 5 11	700..850	55	52	51	49	47	44 41 38
X 22 Cr Mo V 12 1	700..850	50	-	40	38	36	33 -
X 8 Cr 16 Ni 13 Mo V Nb	550	27	-	-	-	-	25 23
X 8 Cr 16 Mo B Nb	600	30	-	-	-	-	23 21

Cetvel 22 Bazı dışlı çark malzemelerinin mekanik özellikleri

Malzeme	Sembol	İsıl işlem	Kopma		Akma sınır (N/mm ²)	Sertlik (HB) (N/mm ²)
			σ_K (N/mm ²)	σ_{Ak} (N/mm ²)		
Çelik döküm	DÇ-50	50	26	150	Tavlan- mış	175
	DÇ-60	60	32	125		
Yapı çeligi	Fe 42	42	52	24	Tavlan- miş	180
	Fe 50	50	62	28		
	Fe 60	60	72	32		
	Fe 70	70	85	35		
İslah çelikleri	C 45	66	72	36	İslah edilmiş	210
	C 60	70	85	44		
	37 MnSi 5	80	95	45		
	34 Cr 4	80	95	55		
	42 CrMo 4	90	105	70		
Sementasyon çelikleri	C 10	42	55	25	Sertleştirili- lmış	590
	C 15	50	65	30		
	16 MnCr 5	80	110	60		
	15 CrNi 6	90	120	65		
	20 MnCr 5	100	130	70		
Alev veya induksiyonla sertleştirilmiş çelikler	20 MnCr 5	110	120	-	650	650
	18 CrNi 8	120	145	80		
	C 45	65	80	40		
	37 MnSi 5	90	105	65		
Sıyanır banyosunda sertleştirilmiş çelikler	40 Cr 4	90	105	65	550	550
	40 Cr 4	140	180	-		
	37 MnSi 5	150..190	100..125	100..125		
Dökme demir	Lameli grafitli	20	-	-	170	210
	DDL-20	25	-	-		
	DDL-25	-	-	-		
Küresel grafitli	DKK-45	45	35	-	200	230
	DKK-50	50	35	-		
	DKK-60	60	42	-		

Cetvel 23 Metrik vida boyutları (TS 61/1 ve DIN 13)

Aşırı çap d (mm)	Haفا h (mm)	Çıkarılma çapı d_2 (mm)	Dış dibi çapı d_1 (mm)	Vida yüksekliği t_1 (mm)	Tenmə yükseklığı t_2 (mm)	Yukartıma yarıçapı r (mm)	Dış dibi kesiti A_1 (mm²)	Gerième kesiti A_e (mm²)
1	0,25	0,638	0,693	0,153	0,135	0,036	0,377	0,460
(1,1)	0,25	0,938	0,793	0,153	0,135	0,036	0,494	0,588
1,2	0,25	1,038	0,693	0,153	0,135	0,036	0,626	0,732
(1,4)	0,3	1,205	1,032	0,184	0,162	0,043	0,836	0,983
1,6	0,35	1,373	1,171	0,215	0,189	0,051	1,08	1,27
(1,8)	0,35	1,573	1,371	0,215	0,189	0,051	1,48	1,70
2	0,4	1,740	1,509	0,245	0,217	0,058	1,79	2,07
(2,2)	0,45	1,908	1,648	0,276	0,244	0,065	2,13	2,48
2,5	0,45	2,208	1,948	0,276	0,244	0,065	2,98	3,39
3	0,5	2,675	2,387	0,307	0,271	0,072	4,47	5,03
(3,5)	0,6	3,110	2,764	0,368	0,325	0,087	6,00	6,77
4	0,7	3,545	3,141	0,429	0,379	0,101	7,75	8,78
(4,5)	0,75	4,013	3,580	0,460	0,406	0,108	10,1	11,3
5	0,8	4,460	4,019	0,491	0,433	0,115	12,7	14,2
8	1	5,350	4,773	0,613	0,541	0,144	17,9	20,1
(7)	1	6,350	5,773	0,613	0,541	0,144	26,2	28,9
8	1,25	7,188	6,466	0,767	0,677	0,180	32,8	36,6
(9)	1,25	8,188	7,466	0,767	0,677	0,180	43,8	48,1
10	1,5	9,026	8,160	0,920	0,812	0,217	52,3	58,0
(11)	1,5	10,026	9,160	0,920	0,812	0,217	65,9	72,3
12	1,75	10,863	9,853	1,074	0,947	0,253	76,2	84,3
(14)	2	12,701	11,546	1,227	1,083	0,289	105	115
16	2	14,701	13,546	1,227	1,083	0,289	144	157
(18)	2,5	18,376	14,933	1,534	1,353	0,361	175	192
20	2,5	18,376	16,933	1,534	1,353	0,361	225	245
(22)	2,5	20,376	18,933	1,534	1,353	0,361	281	303
24	3	22,051	20,319	1,840	1,624	0,433	324	352
(27)	3	25,051	23,319	1,840	1,624	0,433	427	459
30	3,5	27,727	25,706	2,147	1,894	0,505	519	561
(33)	3,5	30,727	28,706	2,147	1,894	0,505	647	694
36	4	33,402	31,093	2,454	2,165	0,577	759	817
(38)	4	38,402	34,093	2,454	2,165	0,577	913	976
42	4,5	39,077	36,479	2,760	2,436	0,650	1045	1121
(45)	4,5	42,077	39,479	2,760	2,436	0,650	1224	1306
48	5	44,752	41,866	3,067	2,706	0,722	1377	1473
(52)	5	48,752	45,866	3,067	2,706	0,722	1652	1758
56	5,5	52,428	49,252	3,374	2,977	0,794	1905	2030
(60)	5,5	56,428	53,252	3,374	2,977	0,794	2227	2362
64	6	60,103	56,839	3,681	3,247	0,866	2520	2676
(68)	6	64,103	60,839	3,681	3,247	0,866	2888	3055

Parantez içine alınan değerler zorunluluk olmadıkça kullanılmamalıdır.

Cetvel 24 Metrik ince vidası boyutları (TS61/9)

Gösterilishi	Dış dibi çapı (d_1 - mm)	Dış dibi kesiti (A_1 - mm²)	Gerième kesiti (A_e - mm²)
M 8x1	6,773	36,0	39,2
M 10x1,25	8,466	56,3	61,2
(M 10x1)	8,773	60,5	64,5
M 12x1,25	10,466	86,0	92,1
(M 12x1,5)	10,160	81,1	88,1
(M 14x1,5)	12,160	116	125
M 16x1,5	14,160	157	167
(M 18x1,5)	16,160	205	216
(M 18x2)	15,546	190	204
M 20x1,5	18,160	259	272
M 20x2	17,546	242	258
(M 22x1,5)	20,160	319	333
(M 22x2)	19,546	300	318
M 24x2	21,546	365	384
(M 27x2)	24,546	473	496
M 30x2	27,546	596	621
(M 33x2)	30,546	733	761
M 36x3	32,319	820	865
(M 39x3)	35,319	980	1030
M 42x3	38,319	1150	1210
(M 45x3)	41,319	1340	1400
M 48x3	44,319	1540	1600
(M 52x3)	48,319	1830	1900
M 56x4	51,093	2050	2140
(M 60x4)	55,093	2380	2490
M 64x4	59,093	2740	2850
(M 68x4)	63,093	3130	3240
M 72x4	67,093	3540	3660
(M 76x4)	71,093	3970	4100
M 80x4	75,093	4430	4570

Not: Parantez içindeki değerler tercih edilmemelidir.

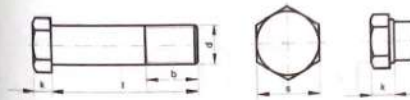
Cetvel 25 Whitworth vida boyutları (TS 61/16 ve DIN 11)

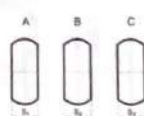
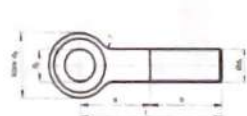
İçin çapı (inch)	Dış üstü çapı $d+D_0$ (mm)	Ortalama çapı $d=D_0$ (mm)	Dış dib çapı $d+D_1$ (mm)	Ardum h (mm)	1° de ki dış sayısı z	Dış yüksekliği t_1 (mm)	Dış dib kesiti (mm ²)
1/4"	6.350	5.537	4.724	1.270	20	0.613	17.5
5/16"	7.938	7.034	6.131	1.411	18	0.904	29.5
3/8"	9.525	8.509	7.492	1.588	16	1.017	44.1
(7/16")	11.113	9.951	8.789	1.814	14	1.162	60.7
1/2"	12.700	11.345	9.990	2.117	12	1.355	78.4
5/8"	15.876	14.397	12.918	2.309	11	1.479	131
3/4"	19.051	17.424	15.598	2.540	10	1.627	196
7/8"	22.226	20.419	18.611	2.822	9	1.807	272
1"	25.401	23.368	21.335	3.175	8	2.033	358
1 1/8"	28.576	26.253	23.929	3.629	7	2.324	450
1 1/4"	31.751	29.458	27.104	3.629	7	2.324	577
1 3/8"	34.426	32.215	29.505	4.233	6	2.711	684
1 1/2"	38.101	35.381	32.680	4.233	6	2.711	839
1 5/8"	41.227	38.034	34.771	5.080	5	3.253	950
1 3/4"	44.442	41.199	37.946	5.080	5	3.253	1131
(1 7/8")	47.654	41.01	40.46	5.65	4 1/4	3.62	12.82
2"	50.802	47.187	43.573	5.645	4 1/2	3.814	1495
2 1/4"	57.152	53.088	49.020	6.350	4	4.066	1887
2 1/2"	63.502	59.436	56.370	6.350	4	4.066	2408
2 3/4"	69.853	65.205	60.558	7.257	3 1/2	4.647	2880
3"	76.203	71.556	68.909	7.257	3 1/2	4.647	3516
3 1/4"	82.553	77.548	72.544	7.816	3 1/8	5.005	4133
3 1/2"	88.903	83.899	78.894	7.816	3 1/8	5.005	4688
3 3/4"	95.254	89.832	84.410	8.467	3	5.422	5598
4"	101.604	98.182	90.760	8.467	3	5.422	6470
4 1/4"	107.354	102.297	96.639	8.835	2 1/8	5.657	7335
4 1/2"	114.304	108.647	102.990	8.835	2 1/8	5.657	8331
4 3/4"	120.655	114.740	108.825	9.237	2 1/8	5.915	5301
5"	127.005	121.090	115.176	9.237	2 1/8	5.915	10419
5 1/4"	133.355	127.159	120.963	9.677	2 1/8	6.196	11492
5 1/2"	139.706	133.509	127.313	9.677	2 1/8	6.196	12730
5 3/4"	146.055	139.549	133.043	10.160	2 1/2	6.506	13902
6"	152.408	145.900	139.394	10.160	2 1/2	6.506	15261

Not: Parantez içindeki değerler zorunluluk olmadıkça kullanılmamalıdır.

Cetvel 26 Altı köşe başlı civata (Metrik)

TS EN 28765

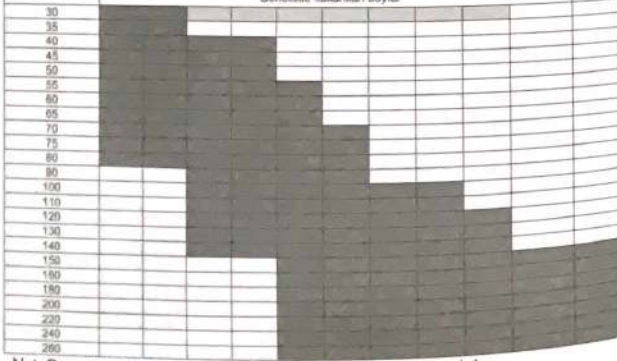


Cetvel 27 Gözülü civata (Metrik vidalı)TS1036/1
DIN 444

(Ölçüler mm' dir)

d_1	M5	M6	M8	M10	M12	M16	M20	M24	M30	(M33)	M36
$\ell = 200^{\circ}$ kadar	15	18	22	25	32	38	45	55	65	70	75
$\ell = 200^{\circ}$ den büyük	-	-	-	-	42	50	60	75	85	90	90
s	11	14	16	18	23	27	32	40	48	54	59
d_2	5	6	8	10	12	16	18	22	28	30	32
d_3	12	14	18	20	25	32	40	45	55	60	65
r	2,5	4	4	4	6	6	6	10	10	16	16
s_1	8	9	11	14	17	19	24	28	34	38	41
s_2	6	7	9	12	14	17	22	25	30	34	36

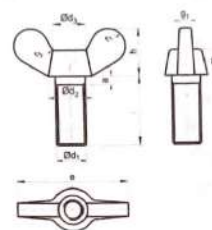
Genellikle kullanılan boyalar:



Not: Parantez içindekiler zorunluluk olmadıkça kullanılmamalıdır.

Cetvel 28 Kelebek başlı civata (Metrik vidalı)

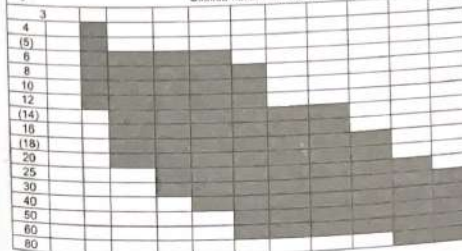
TS 1032/1 (DIN 31)



(Ölçüler mm' dir)

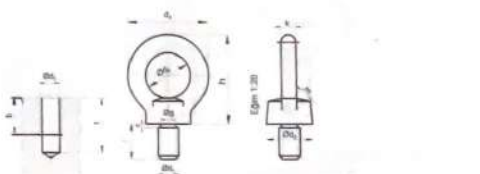
d_1	M2	M3	M4	M5	M6	M8	M10	M12	M16	M20	M24
d_2	5			10	12	16	20	23	29	36	45
d_3	4			8	10	12	16	19	22	28	36
e	12			25	32	40	50	64	72	90	112
g_1	1			2	2,5	3	4	5	6	7	9
h	6			12	16	20	25	32	36	46	56
m	3			6	8	10	12	14	16	20	24
t_1	2			4	5	6	8	10	11	14	16
t_2								1	1	1,2	1,6

Sıklıkla kullanılan boyalar:



Cetvel 29 Halka başlı civata (Metrik vidalı)

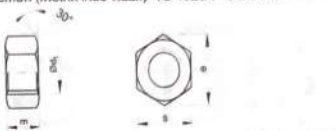
TS 1028/1



(Ölçüler mm' dir)

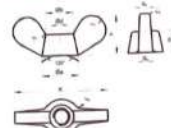
d ₁	M 8	M 10	M 12	M 12x 1.5	M 16	M 16x 1.5	M 20	M 20x 2	M 24	M 24x 2	M 30	M 30x 2	M 36	M 36x 3	M 42	M 42x 3	M 48	M 48x 3	M 56	M 56x 4	M 64	M 64x 4	M 72	M 72x 5	M 77x 4		
d ₂	12	15	18	24	30	36	45	54	63	85	100	110	120	130	147	168	187	208	226	244	264	284	306	326	346		
d ₃	20	25	30	35	40	50	65	75	85	100	110	120	130	140	150	160	170	180	190	200	210	220	230	240	250		
d ₄	36	45	54	63	72	90	108	126	144	166	184	206	226	246	266	286	306	326	346	366	386	406	426	446	466	486	
f	2,5	3	3,5	4	5	6	7	8	9	10	11	12	13	14	15	16	17	18	19	20	21	22	23	24	25	26	
g	8	7,7	9,4	13	18,4	19,6	25	30,3	35,8	41	48,3	55,7	63,7														
h	36	45	53	62	71	90	109	128	147	168	187	208	226														
m	8	10	12	14	16	20	24	28	32	38	42	48	56														
l	13	17	20,5	23	30	36	45	54	63	68	78	90	100														
m	10	12	14	16	19	24	28	32	38	46	50	58	72														
l _{max}	18,5	22,5	26,5	33,5	37,5	44,5	55	65	75	81	93	106	116														

Cetvel 30 Altı köşe somun (Metrik ince vidalı) TS 1026/1 ve DIN 934



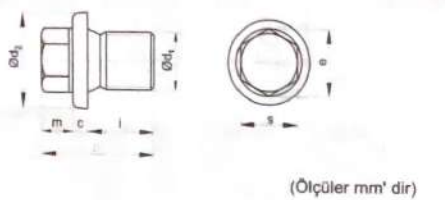
Sembol	Gösteriliği	e (min.)	m	s
M 5	-	8,87	4	8
M 6	-	11,05	5	10
M 8	M 8x1	14,38	6,5	13
M 10	M 10x1,25	18,90	8	17
M 12	M 12x1,5	21,10	10	19
M 16	M 16x1,5	26,5	13	24
M 20	M 20x2	33,50	16	30
M 24	M 24x2	39,93	19	36
M 30	M 30x2	51,28	24	46
M 36	M 36x3	61,31	29	55
M 42	M 42x3	72,61	34	65
M 48	M 48x3	83,91	38	75
M 56	M 56x3	89,56	42	80
M 64	M 64x4	106,37	51	95
M 72x6	M 72x4	117,67	58	105
M 80x6	M 80x4	128,97	64	115
M 90x6	M 90x4	146,77	72	130
M 100x6	M 100x4	162,72	80	145

Cetvel 31 Kelebek somun (Metrik vidalı) (TS 1026/2)



d	b	b	e	g ₁	g ₂	h	m	r ₁	t ₂	t ₃	t ₄
M 2 (M 2,3)	5	4	12	1	1,2	6	3	2	-	0,5	1,2
M 2,6	6	5	16	1,2	1,6	8	4	2,5	-	0,5	1,6
M 3 (M 3,5)	8	6	20	1,6	2	10	5	3	-	0,5	2
M 4	10	8	25	2	2,5	12	6	4	-	0,5	2,5
M 5	12	10	32	2,5	3	16	8	5	-	1	3
M 6	16	12	40	3	4	20	10	6	-	1	4
M 8	20	16	50	4	5	25	12	8	1	1,2	8
M 10	28	22	72	6	6	36	14	10	1	1,2	7
M 12	33	19	64	5	6	32	14	10	1	1,2	6
M 16	36	28	90	7	9	45	20	14	1,6	2	8
M 20	45	36	112	9	11	55	24	18	2,5	3	11

Cetvel 32 Kör tapa (altı köşe başlı, faturalı, metrik ince vidalı) TS 1030/1
DIN 910

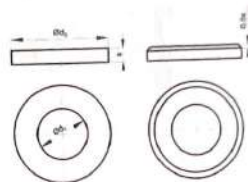


d_1	d_2	c	e	$i \pm 0,2$	l	m	l	s
M8 x 1	-	-	-	-	-	-	-	-
M10 x 1	14		12,7	8	17			11
M12 x 1,5	17	3	16,2		21	6	14	
M14 x 1,5	19		19,6		24		17	
M16 x 1,5	21		21,9		26	8	19	
M18 x 1,5	23		25,4		27	9	22	
M20 x 1,5	25	4	27,7		28			
M22 x 1,5	27				30			
M24 x 1,5	29				30			
M26 x 1,5	31				30			
M27 x 2	32				30			
M30 x 2	36				30			
M33 x 2	39							
M36 x 1,5								
M38 x 2	42							
M38 x 1,5	44							
M39 x 2	46							
M42 x 1,5								
M42 x 2	49	5	31,2		32	11	27	
M45 x 1,5								
M45 x 2	52							
M48 x 1,5								
M48 x 2	55							
M52 x 1,5								
M52 x 2	60							
M56 x 2	64							
M60 x 2	68							
M64 x 2	72							

Not: Bağlantıda rondela kullanılmalıdır.

Cetvel 33 Pul (Rondela)

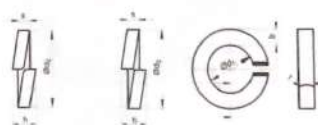
DIN 125



d_1	d_2	s	Metric vida için	d_1	d_2	s	Metric vida için	d_1	d_2	s	Metric vida için
1,7	4,0	0,3	1,6	25	44,0	4	24	62	110	9	60
1,8	4,5	0,3	1,7	27	50,0	4	26	66	115	10	64
2,2	5,0	0,3	2,0	28	50,0	4	27	70	120	12	68
2,5	6,0	0,5	2,3	29	50,0	4	28	74	125	10	72
2,7	6,5	0,5	2,5	31	56,0	4	30	78	135	10	76
2,8	7,0	0,5	2,6	33	60,0	5	32	82	140	12	80
3,2	7,0	0,5	3,0	34	60,0	5	33	87	145	12	85
3,7	8,0	0,5	3,5	36	66,0	5	35	93	160	12	90
4,3	9,0	0,8	4,0	37	66,0	5	36	98	165	12	95
5,3	10,0	1,0	5,0	39	72,0	6	38	104	175	14	100
6,4	12,5	1,6	6,0	40	72,0	6	39	109	180	14	105
7,4	14,0	1,6	7,0	41	72,0	6	40	114	185	14	110
8,4	17,0	1,6	8,0	43	78,0	7	42	119	200	14	115
10,5	21,0	2,0	10,0	46	85,0	7	45	124	210	16	120
13	24,0	2,5	12,0	50	92,0	8	48	129	220	16	125
15	28,0	2,5	14,0	52	92,0	8	50	134	220	16	130
17	30,0	3,0	16,0	54	98,0	8	52	139	230	16	135
19	34,0	3,0	18,0	57	105,0	9	55	144	240	18	140
21	37,0	3,0	20,0	58	105,0	9	56	149	250	18	145
23	39,0	3,0	22,0	60	110,0	9	58	155	250	18	150

yardımcı cetveller

Cetvel 34 Yayılı rondela



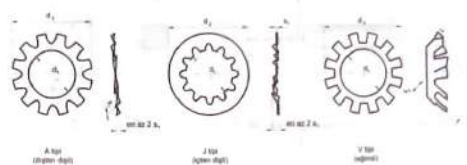
DIN127

d ₁ maks.	d ₂ maks.	h (Ölçüler mm' dir)				b	s	r	Civatala çapı için
		A tipi min.	A tipi maks.	B tipi min.	B tipi maks.				
2.1	4.4	-	-	1	1.2	0.9	0.5	0.1	2
2.4	4.9	-	-	1.2	1.4	1	0.6	0.1	2.3
2.6	5.1	-	-	1.2	1.4	1	0.6	0.1	2.5
2.7	5.2	-	-	1.2	1.4	1	0.6	0.1	2.6
3.1	6.2	1.9	2.1	1.6	1.9	1.3	0.8	0.2	3
3.6	6.7	1.9	2.2	1.6	1.9	1.3	0.8	0.2	3.5
4.1	7.6	2.1	2.5	1.8	2.1	1.5	0.9	0.2	4
5.1	9.2	2.7	3.2	2.4	2.8	1.8	1.2	0.2	5
6.1	11.6	3.6	4.2	3.2	3.8	2.5	1.6	0.3	6
7.1	12.8	3.6	4.2	3.2	3.8	2.5	1.6	0.3	7
8.1	14.8	4.6	5.4	4	4.7	3	2	0.5	8
10.2	18.1	5	5.9	4.4	5.2	3.5	2.2	0.5	10
12.2	21.1	5.8	6.9	5	5.9	4	2.5	1	12
14.2	24.1	6.8	8	6	7.1	4.5	3	1	14
16.2	27.4	7.8	9.2	7	8.3	5	3.5	1	16
18.2	29.4	7.8	9.2	7	8.3	5	3.5	1	18
20.2	33.6	8.9	10.4	8	9.4	6	4	1	20
22.5	35.9	9.8	10.4	8	9.4	6	4	1	22
24.5	40	11	13	10	11.8	7	5	1.6	24
27.5	43	11	13	10	11.8	7	5	1.6	27
30.5	48.2	13.6	16.1	12	14.2	8	6	1.6	30
33.5	52.2	13.6	16.1	12	14.2	10	6	1.6	33
36.5	58.2	13.6	16.1	12	14.2	10	6	1.6	36
39.5	61.2	13.6	16.1	12	14.2	10	6	1.6	39
42.5	68.2	15.6	18.4	14	16.5	12	7	2	42
45.5	71.2	15.6	19.4	14	16.5	12	7	2	45
49	75	15.6	19.4	14	16.5	12	7	2	45
53	83	18	21.2	16	18.9	14	8	2	52
57	87	18	21.2	16	18.9	14	8	2	56
61	91	18	21.2	16	18.9	14	8	2	60
65	95	18	21.2	16	18.9	14	8	2	64
73	103	18	21.2	16	18.9	14	8	2	72
81	111	18	21.2	16	18.9	14	8	2	80
91	121	18	21.2	16	18.9	14	8	2	90
101	131	18	21.2	16	18.9	14	8	2	100

yardımcı cetveller

Cetvel 35 Dişli emniyet pulu

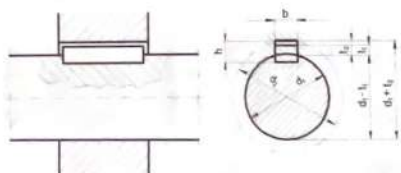
DIN 6797



d ₁ (H13)	d ₂ (H14)	d ₃	s ₁	s ₂	Diş Sayısı		Mili Çapı
					(en az) A ve J tipi	V tipi	
1.7	3.6	-	0.3	-	6	-	1.6
1.8	3.8	-	0.3	-	6	-	1.7
1.9	4	-	0.3	-	6	-	1.8
2.2	4.5	4.2	0.3	0.2	6	6	2
2.5	5	-	0.4	0.2	6	6	2.3
2.7	5.5	5.1	0.4	0.2	6	6	2.5
2.8	5.5	-	0.4	0.2	6	6	2.6
3.2	6	6	0.4	0.2	6	6	3
3.7	7	7	0.5	0.25	6	6	3.5
4.3	8	8	0.5	0.25	8	8	4
5.1	9	-	0.5	-	8	-	5
5.3	10	9.8	0.6	0.3	8	8	5
6.4	11	11.8	0.7	0.4	8	10	6
7.4	12.5	-	0.8	-	8	-	7
8.2	14	-	0.8	-	8	-	8
8.4	15	15.3	0.8	0.4	8	10	8
10.5	18	19	0.9	0.5	10	10	10
12.5	20.5	23	1	0.5	10	10	12
14.5	24	26.2	1	0.6	12	12	14
16.5	26	30.2	1.2	0.6	12	12	16
19	30	-	1.4	-	12	-	18
21	33	-	1.4	-	12	-	20
23	36	-	1.5	-	14	-	22
25	38	-	1.5	-	14	-	24
28	44	-	1.6	-	14	-	27
31	48	-	1.6	-	14	-	30

yardımcı cetveller

Cetvel 36 Boyuna (yuvalı) kama ve feder

TS 147/2...9
DIN 6885

(Ölçüler mm' dir)

Çap d	Yuvalı Kama ve Feder	Düz Kama			Oyuk Kama		
		b x h	t ₁	t ₂	b x h	t ₁	t ₂
6	8	2 x 2	1.1	0.6			
8	10	3 x 3	1.7	1.0			
10	12	4 x 4	2.4	1.3			
12	17	5 x 5	2.9	1.8			
17	22	6 x 6	3.5	2.1			
22	30	6 x 7	4.1	2.4	8 x 5	1.3	3.2
30	38	10 x 8	4.7	2.8	10 x 6	1.8	3.7
38	44	12 x 8	4.9	2.6	12 x 6	1.8	3.7
44	50	14 x 9	5.5	2.9	14 x 6	2.1	4.0
50	58	16 x 10	6.2	3.2	16 x 7	2.4	4.7
58	65	18 x 11	6.8	3.5	18 x 7	2.3	4.8
65	75	20 x 12	7.4	3.9	20 x 8	2.7	5.4
75	85	22 x 14	8.5	4.8	22 x 9	3.1	6.0
85	95	25 x 14	8.7	4.6	25 x 9	2.9	6.2
95	110	28 x 16	9.9	5.4	28 x 10	3.2	6.9
110	130	32 x 18	11.1	6.1	32 x 11	3.5	7.6
130	150	36 x 20	12.3	6.9	36 x 12	3.8	8.3
150	170	40 x 22	13.5	7.7	40 x 14	4.0	9.1
170	200	45 x 25	15.3	8.9	45 x 16	4.7	10.4
200	230	50 x 28	17.0	10.1	50 x 18	5.2	11.7
230	260	56 x 32	19.3	11.8			
260	290	63 x 32	19.8	11.5			
290	330	70 x 36	22.0	13.1			
330	380	80 x 40	24.6	14.5			
380	440	90 x 45	27.5	16.6			
440	500	100 x 50	30.4	18.7			

yardımcı cetveller

Cetvel 37 Emniyet segmanı (Seeger halkası) (mil için)

DIN 471



(Ölçüler mm' dir)

Delik çapı d ₁	h (h11)	Segman				Mil ucu	Eksenel kuvvet (daN)
		b \geq	d ₃	d ₄	d ₂		
15	1.5	2.4	13.8	25.5	14.3	1.7	1.1 400
		2.5	14.7	27.5	15.2		1.2 490
		2.6	15.7	28.5	16.2		1.2 520
		2.7	16.5	29.5	17		1.5 690
20	1.75	3	18.5	32.5	19	2	1.5 770
		3.1	20.5	35.5	21		2.1 845
		3.2	22.2	38	22.9		2.1 1010
		3.4	23.2	39	23.9		2.1 1060
25	2	3.5	25.9	42.5	26.6	2.3	2.1 1500
		30	27.9	44.5	28.6		2.1 1620
		32	29.6	46.5	30.3		2.6 2100
		34	31.5	49	32.3		2.6 2220
35	2.5	4.2	32.2	50	33	3	2.6 2670
		36	4.3	35.2	53		2.6 2910
		40	4.4	36.5	55.5		3.8 3810
		42	4.5	38.5	58		3.8 4000
45	4	4.7	41.5	61.5	42.5	4.3	3.8 4300
		5	44.5	65	45.5		3.8 4600
		51	45.8	68	47		3.8 5700
		52	47.8	70	49		3.8 5950
55	5	5.4	50.8	73.5	52	4.5	3.8 6300
		56	53.8	77	55		3.8 6650
		60	5.8	55.8	79		3.8 6900
		65	6.3	60.8	85		3.8 7500
70	6	6.6	65.5	90.5	67	5.3	3.8 8050
		75	7	70.5	96		3.8 8600
		80	7.4	74.5	101		3.8 10700
		85	7.8	79.5	106		3.8 11400
90	7	8.2	84.5	112	86.5	5.3	3.8 12100
		9	94.5	124	96.5		3.8 13500

Cetvel 38 Emniyet segmanı (Seeger halkası) (Delikler için) DIN 472

(Ölçüler mm'dir)

Delik çapı <i>d</i>	Segman				Delik ucu			Eksenel kuvvet (daN)
	<i>a</i> maks.	<i>b</i>	<i>d</i> ₂ gerilmış	<i>d</i> ₁ min.	<i>d</i> ₂	<i>m</i> ₂ min.	<i>n</i> min.	
20	4,5	2,4	21,5	10	21	1,5	805	1,5
22	4,7	2,8	23,5	11,6	23	882		
24	4,9	3	25,9	13,2	25,2	1160		
25	5		26,9	14	26,2	1200		
26	5,1		27,9	14,8	27,2	1250		
28	5,3	3,2	30,1	16,4	29,4	1580		
30	5,5	3,3	32,1	18	31,4	1690		
32	5,7	3,4	34,4	19,6	33,7	2200		
34	5,9	3,7	36,5	21,2	35,7	2320		
35	6	3,8	37,8	22	37	2620		
37	6,2	3,9	39,8	23,6	39	2980	1,75	2
38	6,3	3,9	40,8	24,4	40	3070		
40	6,5	4,1	43,5	26	42,5	4050		
42	6,7	4,1	45,5	27,6	44,5	4260		
45	7	4,3	48,5	30	47,5	4520		
47	7,2	4,4	50,6	31,6	49,5	4720		
50	7,5	4,6	54,2	34	53	6070		
52	7,7	4,7	56,2	35,6	56	6300		
55	8	5	59,2	38	58	6650		
60	8,5	5,4	64,2	42	63	7250		
62	8,6	5,5	68,2	45,6	65	7480	2,5	2,8
65	8,7	5,8	69,2	48,6	68	7820		
68	8,8	6,1	72,5	49,4	71	8170		
70	9	6,2	74,5	51	73	8420		
72	9,2	6,4	78,5	52,6	75	8850		
75	9,3	6,6	79,5	55,5	78	9000		
80	9,5	7	85,5	60		11200		
85	9,7	7,2	90,5	64,6		83,5		
90	10	7,6	95,5	69		11900		
95	10,3	8,1	100,5	73,4		93,5	3,5	4,3
100	10,5	8,4	105,5	78		13300		
						96,5		
						14000		
						103,5		

Cetvel 39 Standart mil uçları

Mil çapları <i>d</i> (mm)	Döndürme momenti <i>M_b</i> (Nm)	Kama yuvası ölçüler (mm)				Kama kesiti <i>b</i> <i>bxh</i> (mmxmm)
		<i>ℓ</i> ₁	<i>ℓ</i> ₂	<i>b</i>	<i>t</i> ₁	
16	9	40	30	5	2,9	5x5
20	20	50	40	6	3,5	6x6
25	45	60	50			
30	85			8	4,1	8x7
35	160					
40	236	100	90			
45	355					
50	530	120	110			
55	800					
60	1180					
70	1800	150	140			
80	2650					
90	4000	180	170			
100	6000	210	200	28	9,9	28x16
110	9000					

Cetvel 40 Kaymali yatak malzemesinin kalınlığı

Delik çapı <i>d</i> (mm)	Beyaz maden tabakasının kalınlığı (mm)	Kurşun bronz tabakasının kalınlığı (mm)	
	Yatak temel malzemesi		
Dökme demir	Çelik	Dökme demir	Çelik
0 – 50	2,0	1,5	0,5
50 – 80	2,5	2,0	1,0
80 – 120	2,5	2,0	1,0
120 – 160	3,0	2,5	1,5
160 – 200	3,5	2,5	2,0
200 – 250	4,0	3,0	2,0
250 – 300	4,5	3,5	2,0

Cetvel 41 Bazı kaymalı yatak malzemelerinden beklenen özellikler

Malzeme	Bileşim (%)	Sertlik (HB) (N/mm²)	Elastiklik modülü E (N/mm²)	Başarç (N/mm²)
Beyaz Maden (WM)				
Kalay emalı	Cu11.3 Sn11.3 Fe11.5	270	53000	5...30
Kuprum emalı	Sn10.5 Mn2.5 Zn37.5 Cu58	230	31000	25...50
Kalsiyum emalı	Ni1.4 Cr98.6	280	31000	6...30
Demir Easlı				
Kır dökme demir	C3.5 Si2.5 Fe94	1800	170000	10...20
Sinter döküm	Cu7.5 Fe92.5			
Bakır-Cinko Alüminium				
Pb3 Zn35.5 Cu61.5 Al1	540-1420	120000		
Sn0.5 Mn2.5 Zn37.5 Cu58	-	120000		
Alüminyum Alüminium				
Cu1 Sn1.5 Ni1.5 Al91	450	71000	24...39	
Bronz Malzeme				
Kuprun Bronzu	Sn4 Pb14 Zn1.5 Cu 79.5	450	-	20...36
Sn16 Pb14 Cu70	-	-	-	-
Sn8 Pb3.5 Zn1.5 Cu85	530	-	-	-
Sn10 Pb10 Cu80	650	900	25...40	
Al10.5 Fe3.5 Cu68	2020	180	30...48	
Diğer				
Karbon grafit	C + Reçne			10...16
Karbon grafit-takır	C + Cu + Reçne			-
Poliamid	Poliamid			9...14
Teflon	Polietilenaftorilen			-

Cetvel 42 Yağların SAE viskozite sınıflandırması

No	SAE CENTIPOISES		CENTISTOKS		ENGLER		SAYBOL U.S.	
	0°F min/mak.	210°F min/mak.	0°F min/mak.	210°F min/mak.	0°F min/mak.	210°F min/mak.	0°F min/mak.	210°F min/mak.
5W	-	-1300	-	-172	-	-	-6000	-
10W	1200/2400	-	1300/2600	172/343	-	-	6000/12000	-
20W	2400/4800	-	2600/10500	-	343/1386	-	12000/48000	-
20	-	4.7/7.7	5.7/9.6	-	1.45/1.8	-	210/-	-
30	-	7.9/10.6	9.6/12.9	-	1.8/2.12	-	56/70	-
40	-	10.6/13.9	12.9/16.6	-	2.12/2.52	-	70/85	-
50	-	13.9/18.7	16.6/22.7	-	2.52/3.19	-	85/110	-

Not: Otomobil, kamyon, traktör vb. taşıtlar için geliştirilen yağlar SAE (Society of Automotive Engineers - Otomobil Mühendisleri Derneği - ABD) tarafından viskozite özelliklerine göre sınıflandırılmıştır. Bu sınıflandırma, yağların viskozitelerinin Engler, Kinematik (CENTISTOKS), dinamik (CENTIPOISES), Saybolt Universal Sanivesi ve Redwood Sanivesi gibi viskozite birimlerinde verilmesi yerine, belirli viskozite aralıklarını belli numaralar ile ifade etmek esasına dayanmaktadır. Örneğin 30W yağında, 30 sayısı o yağın kinematik viskozitesinin (40°C da - veya 104°F da cSt olarak) bulunması gereken viskozite aralığının garantisidir. W (Winter) simboli ise yağın kış şartlarına uygunluğu belirtmektedir. Bir diğer örnek, SAE5W/30 gösterilerinde 0°F da SAESW özelliginde olan bu yağ 210°F'da SAE30 özelligindedir. Sıcaklık dönüşümünde $C = 5/9 \cdot (F - 32)$ alınmalıdır.

Cetvel 43 Mineral yağların viskozite değerleri

Yağ türleri	Viskozite (cSt)	
	100°C (212°F)	100°F (37.8°C)
Mekik yağı	4...19	8.5...30
İnce makina yağı	19...40	30...65
Ağır makina yağı ve Dizel motoru yağı	40...215	65...450
Silindir yağı	250...700	470...1600

Cetvel 44 Kullanma alanına göre yağların SAE viskozite sınırları

SAE viskozite numarası	viskozite									
	Engler (°E)			Saybolt Universal Sanivesi (SUS)			Centistoks (cSt)			
	0°F	210°F	0°F	0°F	210°F	0°F	Alt sınır	Üst sınır	Alt sınır	Üst sınır
Otomotiv yağları:										
5W	-	172	-	-	-	6000	-	-	1300	-
10W	172	340	-	-	6000	12000	-	-	1300	2600
20W	343	1386	-	-	12000	48000	-	-	2500	10500
20	-	-	1.45	1.8	-	-	210	455	-	-
30	-	-	1.8	2.12	-	-	58	8	-	-
40	-	-	2.12	2.52	-	-	70	70	-	-
50	-	-	2.52	3.19	-	-	85	85	-	-
							110	-	-	-
Aktarma olamayan yağları:										
75	-	-	-	-	-	1500	-	-	3257	-
80	-	-	-	-	-	100000	-	-	3257	21718
90	-	-	-	-	-	-	75	120	-	-
140	-	-	-	-	-	-	120	200	-	-
250	-	-	-	-	-	-	200	-	-	42.7

yardımcı cetveller

1

Cetvel 45 Bazı teknik sistemler için önerilen viskozite değerleri

Teknik sistem	Viskozite (cSt)		
	Hareket başlangıcı	Yük taşıma	Normal çalışma şartları
Motorlar			
Otomobil	1100...7500	4,5	13
Otobüs-Kamyon	2200..6500	6..13	13..17
Uçak (pietonlu)	4300..6500	16	43
Turbo jet	10800	4,5	6
Turbo prop	10800	9	13..17
Jeneratör vb. (sabit)	1100..4300	4,5	10..20
Gemi	1100..4300	6	10..20
Otomobil			
Vites kütüsü (manuel)	21600	4,5	6..65
Vites kütüsü (otomatik)	4300	2,5	10
Diferansiyel	160000	-	-
Direksiyon digitleri	21000..75000	43	260..540
Direksiyon terhibatı	4300	2,5	10
Ötobüs-Kamyon			
Vites kütüsü (standart)	21000..43000	85..200	-
Diferansiyel	160000	85..200	-
Direksiyon digitleri	21000..75000	43	260..540
Direksiyon terhibatı	4300	2,5	10
Hava Kompresörleri			
Silindirler	1500..4300	4,5	16..43
Krank mili yatakları	8600	4,5	13
Hidrolik sistemler			
Takım tezgahları	650..850	7,5	10..280
Cekiciler	650..850	7,5	10
Türbin yatakları			
Hafif yük	75..200	4,5	16..90
Orta yük	-	-	43..160
Ağır yük	-	-	60..110
Dişiler (ve redüktörler)			
Düz silindirik dişli	21000	16..200	n>1000 d/d
Helisel silindirik dişli	21000	16..200	24..170 110..200
Konik ve spiral dişli	21000	16..200	24..170 110..200
			24..200 170..320
Sonsuz vida mekaniz.	21000	110..1100	200..1100
Hypoid dişli	21000	43..430	200..1100
Kremayer	21000	-	200..1100
Açık dişiler	-	2100..6500	-

yardımcı cetveller**Cetvel 46** Yuvarlanmalı yatakların sürtünme ve yük taşıma özellikleri

Rulman	Yük Taşıma Kapasiteli		Sürtünme μ	Şekil
	Radyal	Eksenel		
Sabit Bilyali	Hafif ve Orta	Hafif ve Orta	0,0015	
Oynak Bilyali	Hafif ve Orta	Hafif	0,0010	
Eğik Bilyali	Orta	Orta ve Ağır	0,0020	
İki Sıralı Eğik Bilyali	Orta	Orta	0,0024	
Dört Noktalı Bilyali	Hafif	Orta	0,0022	
Silindirik Makaraları	Ağır	-	0,0011	
İki Sıralı Silindirik Makaraları	Ağır	-	0,0011	
İğneli	Ağır	-	0,0025	
Konik Makaraları	Ağır	Orta ve Ağır	0,0018	
Masuraklı	Çok Ağır	Hafif ve Orta	0,0018	
Eksenel Bilyali	-	Hafif ve Orta	0,0013	
Eğik Eksenel Bilyali	-	Orta	0,0013	

Cetvel 47 Alın ve konik dişiler için standart modül (m) değerleri
(ISO R 54 ve DIN 780) (ölçüler mm)

Seri I	Seri II	Seri III	Seri I	Seri II	Seri III
0,1	0,18	-	8,0	-	(8,5)
0,2	0,22	-	-	9,0	(9,5)
0,3	0,35	-	10,0	-	-
0,5	0,55	-	-	11,0	-
0,7	0,75	-	12,0	-	(13,0)
1,0	1,125	-	-	14,0	-
1,25	1,375	-	16,0	-	15,0
1,5	1,75	-	-	18,0	-
2,0	2,25	-	20,0	-	-
2,5	2,75	-	-	22,0	(24,0)
3,0	-	3,25	25,0	-	-
-	3,5	3,75	-	28,0	-
4,0	-	(4,25)	32,0	-	(30,0)
-	4,5	(4,75)	-	36,0	-
5,0	-	(5,25)	40,0	-	-
-	5,5	(5,75)	-	45,0	(42,0)
6,0	-	6,5	50,0	-	-
-	7,0	(7,5)	-	55,0	-

Not: 1) Verilen modül değerleri normal kesit içindir.
2) Seri 1'deki değerler Seri 2'dekine tercih edilmelidir.
3) Seri 3'deki değerler özel hallerde kullanılmalıdır. Parantez içindeki değerler sadece DIN 780 standardında öngörülmüştür.

Cetvel 48 Sonsuz vida mekanizması için standart modül değerleri

Modül (mm)	Modül (mm)	Modül (mm)
1,0	3,15	10,0
1,25	4,0	12,5
1,6	5,0	16,0
2,0	6,3	20,0
2,5	8,0	-

Cetvel 49 Silindirik alın (düz) dişilerin temel büyüklükleri

Adı / Sembolü	Bağıntısı
Modül / m	$m=t_0/\pi (=d_0/z)$
Diş sayısı / z	$z=d_0/m$
Adım / t_0	$t_0=\pi \cdot m$
Yuvanınma dairesi çapı / d_0	$d_0=z \cdot m$
Diş başı dairesi çapı / d_b	$d_b=d_0+2 \cdot h_0=m(z+2)$
Diş taban dairesi çapı / d_t	$d_t=d_0-2 \cdot h_0=m(z-2,5)$
Temel dairesi çapı / d_a	$d_a=d_0 \cdot \cos \alpha_{so}$
Kavrama açısı / α_{so}	$\alpha_{so}=20^\circ$
Yuvanınma dairesi çevresi / Ç	$\mathcal{C}=\pi \cdot d_0=z \cdot t_0=\pi \cdot z \cdot m$
Cevre hızı / v	$v=\pi \cdot d_0 \cdot n/60 \text{ (m/s)}$
Diş başı yüksekliği / h_0	$h_0=m$
Diş taban denirliliği / h_t	$h_t=1,25 \cdot m$
Toplam diş yüksekliği / h	$h=2,25 \cdot m$
Diş kalınlığı / S_0	$S_0=t_0/2$
Diş boşluğu / ℓ_o	$\ell_o=t_0/2$
Diş genişliği / b	$b=\psi \cdot t_0$
Eksenler arası uzaklık / a_0	$a_0=(d_{a1}+d_{a2})/2=(z+z_1) \cdot m/2$
Çevrim oranı / i	$i=w_{01}/w_{02}=\eta_1/\eta_2=d_{a1}/d_{a2}=t_0/z$

Cetvel 50 Silindirik alın (helisel) dişilerin temel büyüklükleri arasındaki bağıntılar

Adı / Sembolü	Bağıntısı
Alın modülü / m_n	$m_n=t_0/\pi=\frac{m}{\cos \beta_o}$
Normal modülü / m_n	$m_n=t_0/m \cdot \cos \beta_o$
Alın adımı / t_0	$t_0=\pi \cdot m_n=\pi \cdot m \cdot \cos \beta_o$
Normal adım / t_n	$t_n=\pi \cdot m_n=\pi \cdot m \cdot \cos \beta_o=t_0 \cdot \cos \beta_o$
Diş sayısı / z	$z=d_0/m_n$
Eğdeğer diş sayısı / z_n	$z_n=z/\cos^2 \beta_o$
Yuvanınma dairesi çapı / d_0	$d_0=z \cdot m_n$
Diş başı dairesi çapı / d_b	$d_b=d_0+2 \cdot h_0=z \cdot m_n+2 \cdot m_n$
Diş taban dairesi çapı / d_t	$d_t=d_0-2 \cdot h_0=z \cdot m_n+2,5 \cdot m_n$
Temel dairesi çapı / d_a	$d_a=d_0 \cdot \cos \alpha_{no}$
Alın kavrama açısı / α_{so}	$\tan \alpha_{so}=\tan \alpha_{no}/\cos \beta_o$
Normal kavrama açısı / α_{no}	$\alpha_{no}=20^\circ$
Helis eğim açısı / β_o	$\cos \beta_o=t_0/t_n=m_n/m_n$
Cevre hızı / v	$v=\pi \cdot d_0 \cdot n/60 \text{ (m/s)}$
Diş başı yüksekliği / h_0	$h_0=m_n$
Diş taban denirliliği / h_t	$h_t=1,25 \cdot m_n$
Toplam diş yüksekliği / h	$h=2,25 \cdot m_n$
Diş kalınlığı (normal kesitte-taksimat dairesi üzerinde) / S_{0g}	$S_{0g}=\pi t_0/2=\pi \cdot m_n/2$
Diş genişliği / b	$b=\psi \cdot t_0$
Eksenler arası uzaklık / a_0	$a_0=(d_{a1}+d_{a2})/2=(z+z_1) \cdot m_n/2$
Çevrim oranı / i	$i=w_{01}/w_{02}=\eta_1/\eta_2=d_{a1}/d_{a2}=t_0/2z$

Cetvel 51 Düz ve helisel konik dişli çarkların boyutları arasındaki bağıntılar

Adı / Sembolü	Bağıntısı
Dış modül (standart modül) / m_e	$m_e = d_0/z = m_w \cdot \sin\delta_i \cdot \sin\beta_m$
Ortalama modül / m_w	$m_w = m_e \cdot (1 - u \cdot \sin\delta_i) / m_w \cdot (d/2z) \cdot \sin\delta_i = d_w/z$
Eksenler arasındaki açı / ϕ	$\phi = \delta_i + \delta_j$
Taksimat konusun açıları / δ_i ve δ_j	$\phi = 90^\circ$ için $\tan\delta_i = l/i = z_1/z_2$ $\phi < 90^\circ$ için $\tan\delta_i = \sin\phi / (i + \cos\phi)$ $\phi > 90^\circ$ için $\tan\delta_i = \sin(180 - \phi) / (i - \cos(180 - \phi))$
Taksimat konusun uzunluğu / R_e	$R_e = d_0/(2 \cdot \sin\delta_i) = d_w/(2 \cdot \sin\delta_j)$
Yüvartma (taksimat) dairesi çapı / d_w	$d_w = z \cdot m_e$
Ortalama taksimat dairesi çapları / $d_{w,1,2}$	$d_{w,1,2} = d_0 \cdot z \cdot b \cdot \sin\delta_{i,j}$
Dış bölgeleri çapları / $d_{o,1,2}$	$d_{o,1,2} = d_{w,1,2} \cdot 2 \cdot h_{1,2} \cdot \cos\delta_{i,j}$
Dış taban dairesi çapları / $d_{t,1,2}$	$d_{t,1,2} = d_{w,1,2} \cdot 2 \cdot h_{1,2} \cdot \cos\delta_{i,j}$
Bası açısı / χ_i	$\chi_i = \pi/b = m_e/R_e$
Taban açısı / χ_t	$\chi_t = \pi/b$
Dış konutlu (taksimat dairesi üzerinde) / S_d	$S_d = \pi \cdot m_w/2$
Eşdeğer diş sayıları / z_e	$z_{e,1} = z_{1,2} / \cos\delta_{i,j}$
Kavrama açısı / α_e	$\alpha_e = 20^\circ$
Dış taban yükseliği / h_i	$h_i = m_w$
Dış taban derinliği / h_t	$h_t = (1-2) \cdot m_w$ (önerilen $h_t = 1, 1,5, 3 \cdot m_w$)
Toplam diş yüksekliği / h	$h = 2,168 \cdot m_w + 0,05$ (önerilen $h = (2,1-2,3) \cdot m_w$)
Diş genişliği / b	(b) $\sin\delta_i \cdot h_i < 0,3$ veya (2b) $\sin\delta_i \cdot (m_w \cdot z_i) < 0,3$
Ortalama helsis açısı / β_s	$\beta_s = \rho_s / (R_s - b/2)$
Eksantriklik / ρ_s	$\rho_s = \sin\beta_s \cdot (R_s - b/2)$
Ortalama normal modül / $m_{w,n}$	$m_{w,n} = d_0 / (z \cdot \cos\beta_s)$
Dış Alın testinde eşdeğer diş sayıları / z_e	$z_e = z_i / (\cos^2 \beta_s \cdot \cos\delta_i)$

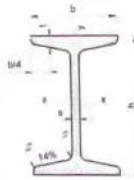
Cetvel 52 Sonsuz vida mekanizmasının temel büyüklükleri arasındaki bağıntılar

Adı/Sembolü	Bağıntısı
Eksen modülü (standart) / m_e	$m_e = m_o / \sin\beta_m = l_e/\pi$
Normal modül / m_n	$m_n = m_e \cdot \sin\beta_m$
Normal kavrama açısı / α_{no}	$\alpha_{no} = 20^\circ$
Alın kavrama açısı / α_{ao}	$\tan\alpha_{ao} = \tan\alpha_{no} / \cos\beta_m$
Sonsuz vida taksimat dairesi çapı / $d_{o,1}$	$d_{o,1} = z_1 \cdot m_e / \tan\beta_m$
Karşı dişli taksimat dairesi çapı / $d_{o,2}$	$d_{o,2} = z_2 \cdot m_e$
Dış başı dairesi çapı / $d_{t,1,2}$	$d_{t,1,2} = d_{o,1,2} + 2 \cdot h_{b,1,2}$
Dış taban dairesi çapı / $d_{t,1,2}$	$d_{t,1,2} = d_{o,1,2} - 2 \cdot h_{b,1,2}$
Dış taban yüksekliği / h_i	$h_i = m_e$
Dış taban yüksekliği / h_b	$h_b = 1,2 \cdot m_e$
Eksenler arasında uzaklık / a_o	$a_o = (d_{o,1} + d_{o,2})/2 = m_e/2 \cdot (z_1/\tan\beta_m + z_2)$
Form sayısı / F	$F = d_0/m_e = z_i/\tan\beta_m$
Ortalama helsis açısı / β_m	$\beta_m = z_i/F$
Sonsuz vida uzunluğu / b_1	$b_1 \cong (12 \dots 16) \cdot m_e$
Çark genişliği / b_2	$b_2 \cong 2,5 \cdot l_e = 2,5 \cdot \pi \cdot m_e$
Carkın eksen adımı / t_e	$t_e = \pi \cdot m_e$
Sonsuz vida ağız (diş) sayısı / g	$g = 1 \dots 4$ (önerilen $g = 2 \dots 3$)
Çark diş sayısı / z_e	$z_e = d_{o,2}/m_e$

Cetvel 53 Dişli çarkların verimleri

Dişli türü	Verim : η
Silindirik alın dişiler (düz ve helisel)	0,97-0,99
Konik dişiler	0,96-0,98
Sonsuz vida mekanizması (kilitlenmeli)	0,25-0,40
Sonsuz vida mekanizması (kilitlenmemesiz)	0,60-0,80

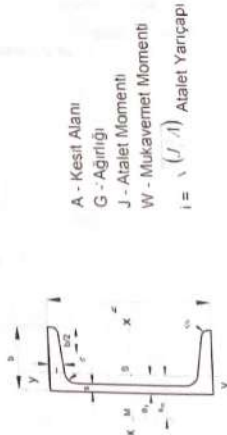
Cetvel 54 Sıcak haddelenmiş normal I profili



A -Kesit Alanı
G -Ağırlığı
J -Atalet Momenti
W -Mukavemet Momenti
 $i = \sqrt{(J/A)}$ Atalet yarıçapı

Sembol I	Boylar (mm)					A cm ²	G kg/m	Statik Değerler							
	h	b	görü	t	t _w			x-x			y-y				
								J _x cm ⁴	W _x cm ³	i _x cm	J _y cm ⁴	W _y cm ³	i _y cm		
80	80	42	3.9	5.8	2.3	7.58	5.95	77.8	19.5	3.20	6.29	3.00	0.91		
100	100	50	4.5	6.8	2.7	10.6	8.32	171	34.2	4.01	12.2	4.86	1.07		
120	120	58	5.1	7.7	3.1	14.2	11.2	328	54.7	4.81	21.5	7.41	1.23		
140	140	66	5.7	8.6	3.4	18.3	14.4	573	81.9	5.61	35.2	10.7	1.40		
160	160	74	6.3	9.5	3.8	22.8	17.9	935	117	6.40	54.7	14.8	1.56		
180	180	82	6.9	10.4	4.1	27.9	21.9	450	161	7.20	81.3	19.8	1.71		
200	200	90	7.5	11.3	4.5	33.5	26.3	2140	214	8.00	117	26.0	1.87		
260	260	113	9.4	14.1	5.6	53.4	41.9	5740	442	10.4	288	51.0	2.32		
300	300	125	10.8	18.2	6.5	69.1	54.2	9800	653	11.9	451	72.2	2.56		
360	360	149	13.7	20.5	8.2	107	84.0	24010	1260	15.0	975	131	3.02		

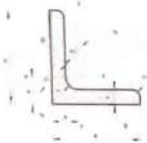
Cetvel 55 Sıcak Haddelenmiş U Profili



A -Kesit Alanı
G -Ağırlığı
J -Atalet Momenti
W -Mukavemet Momenti
 $i = \sqrt{(J/A)}$ Atalet Yarıçapı

Sembol I	Hesaplar (mm)				A cm ²	G kg/m	Statik Değerler						Yüksek mukavemet momenti X _c cm		
	b	t	h	t _w			J _x cm ⁴	W _x cm ³	i _x cm	J _y cm ⁴	W _y cm ³	i _y cm			
65	65	42	5.5	7.5	4	9.03	7.09	57.5	17.7	2.52	14.8	5.07	1.25	1.42	2.60
80	80	43	6	8	4	11.0	8.64	100	20.5	3.10	19.4	6.30	1.26	1.45	2.67
100	100	50	6	8.5	4.5	13.5	10.8	206	41.2	3.93	20.3	8.40	1.47	1.55	2.93
120	120	55	7	9	4.5	17.0	13.4	264	60.7	4.62	43.2	11.1	1.50	1.60	3.03
140	140	60	7	10	4	20.4	16.0	605	86.4	5.45	62.7	14.8	1.75	1.75	3.37
160	160	65	7.5	10.5	5.5	24.0	18.0	675	116	6.21	85.3	18.3	1.89	1.84	3.56
180	180	70	8	11	5.5	26.0	22.0	1300	150	6.96	114	22.4	1.92	1.92	3.75
200	200	75	8.5	11.5	6	32.2	25.3	1910	191	7.70	148	27.0	2.01	2.01	3.94
240	240	90	10	14	7	48.3	37.9	4620	371	9.90	317	43.7	2.56	2.36	4.66
280	280	100	10.5	15	8	56.8	46.2	6030	525	11.7	495	67.8	2.90	2.70	5.41
320	320	110	11	16	8	64.0	54.2	6830	605	13.7	565	78.8	3.20	2.90	5.82

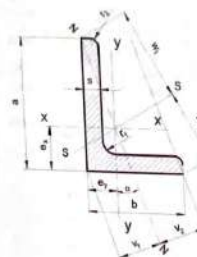
Cetvel 56 Sıcak haddelenmiş eşit kenar L profili



- A - Kesit alanı
- G - Ağırlığı
- W - Mukavemet Momenti
- J - Atalet momenti
- $I = \sqrt{J/A}$ atalete yarıçap
- S-S Eksen açı ortaydır.
- r_1 ve r_2 yanım mm'ye yuvarlatılmıştır

yardımcı cetveller

Cetvel 57 Sıcak haddelenmiş çeşit kenar L profili



- A -Kesit alanı
- G -Ağırlığı
- J -Atalet momenti
- W -Mukavemet momenti
- $i = \sqrt{J/A}$ atlalet yarıçapı

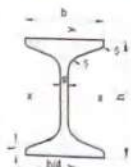
Sembol	Boyutlar (mm)					Aksların köşe mesafeleri (cm)							
	a	b	s	r ₁	r ₂	A cm ²	G kg/m	e _x	e _y	W ₁	W ₂	V ₁	V ₂
30x20 x 3 4	30	20	3 4	3.5	2	1.42	1.11	0.98	0.50	2.04	1.51	0.86	1.04
						1.85	1.45	1.03	0.54	2.02	1.52	0.91	1.03
45x30 x 3 4	45	30	3 4	4.5	2	2.19	1.72	1.43	0.70	3.09	2.23	1.21	1.59
						2.87	2.25	1.48	0.74	3.07	2.26	1.27	1.58
50x40 x 4 5	50	40	4 5	4	2	3.46	2.71	1.52	1.03	3.50	2.85	1.67	1.84
						4.27	3.35	1.56	1.07	3.49	2.88	1.73	1.84
65x50 x 5 7 9	65	50	5 7 9	6.5	3.5	5.54	4.35	1.99	1.25	4.52	3.61	2.08	2.38
						7.60	5.97	2.07	1.33	4.50	3.62	2.19	2.37
80x65 x 6 8 10	80	65	6 8 10	8	4	9.56	7.52	2.15	1.41	4.48	3.83	2.25	2.36
						8.41	6.60	2.39	1.65	5.61	4.63	2.69	2.94
100x75 x 7 9 11	100	75	7 9 11	10	5	11.00	8.66	2.47	1.73	5.59	4.65	2.79	2.94
						13.6	10.7	2.55	1.81	5.56	4.68	2.90	2.95

(Cetvel 57- Devamı)

Sembol	Statik değerler								N-N aksinim yeri tan ζ	
	X - X		Y - Y		S - S		N - N			
	J_{11} $\frac{m}{4}$	W_{11} $\frac{m^3}{cm}$	I_1 $\frac{cm^4}{cm}$	J_{22} $\frac{m}{4}$	W_{22} $\frac{m^3}{cm}$	I_2 $\frac{cm^4}{cm}$	J_{33} $\frac{m}{4}$	W_{33} $\frac{m^3}{cm}$	I_3 $\frac{cm^4}{cm}$	
30x20 x 4	1.25	0.62	0.94	0.44	0.29	0.56	1.43	1.00	0.25	0.431
	1.59	0.81	0.93	0.55	0.38	0.55	1.61	0.99	0.33	0.423
45x30 x 4	4.47	1.46	1.43	1.60	0.70	0.86	5.15	1.53	0.93	0.65
	5.78	1.91	1.42	2.05	0.91	0.85	6.65	1.52	1.18	0.64
90x40 x 5	8.54	2.47	1.57	4.86	1.64	1.19	10.9	1.78	2.46	0.629
	10.4	3.02	1.56	5.89	2.01	1.18	13.3	1.76	3.02	0.625
65x50 x 7	23.1	5.11	2.04	11.9	3.16	1.47	28.6	2.26	6.21	1.06
	31.0	8.99	3.02	15.8	4.31	1.44	38.4	2.25	8.37	1.05
9 x 36.2	36.2	8.77	2.00	19.4	5.39	1.42	47.0	2.22	10.5	0.567
	8 x 52.8	9.41	2.51	31.1	6.44	1.93	68.5	2.85	15.6	0.649
80x60x5 x 10	68.1	12.3	2.49	40.1	8.41	1.91	88.0	2.82	20.3	1.36
	82.2	15.1	2.46	48.3	10.3	1.89	106	2.79	24.8	1.35
100x75x 9	118	17.0	3.15	56.9	10.0	2.19	145	3.49	30.1	0.553
	148	21.5	3.13	71.0	12.7	2.17	181	3.47	37.8	0.549
11 x 176	176	25.9	3.11	84.0	15.3	2.15	214	3.44	45.4	1.58
	176	25.9	3.11	84.0	15.3	2.15	214	3.44	45.4	0.545

Cetvel 58 Sıcak haddelenmiş maden direğii (GI prof)

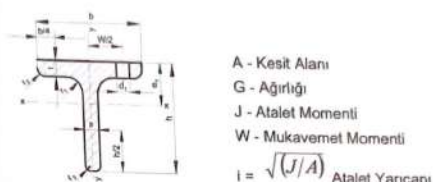
DIN 2141-1



$$J = \sqrt{(J/A)} \text{ Atalet Yarıçapı}$$

Cetvel 59 Sıcak haddelenmiş T profili

DIN 1034



A - Kesit Alanı

G - Ağırılı

J - Atalet Momenti

W - Mukavemet Momenti

$$r = \sqrt{(J/A)} \text{ Atalet Yarıçapı}$$

Sembol	Ölçüler (mm)					A	G	Statik Değerler					
								X - X̄			Y - Ȳ		
T	h	b	$s_{\text{etar}} f_1$	f_2	r_s	cm ²	kg/m	J_x cm ⁴	W_x cm ³	t_c cm	J_y cm ⁴	W_y cm ³	t_b cm
20	20	20	3	15	1	112	0.88	0.38	0.27	0.58	0.20	0.20	0.42
30	30	30	4	2	1	226	1.77	1.72	0.80	0.87	0.87	0.56	0.62
40	40	40	5	2.5	1	377	2.96	5.28	1.84	1.18	2.58	1.29	0.83
50	50	50	6	3	1.5	566	4.44	12.1	3.36	1.48	6.06	2.42	1.03

1

Sembol GI	Geometri (mm)						A cm ²	G kg/m	Statik Değerler					
	n	b	s	t	c	r			X-X cm	W _x cm ³	I _x cm ⁴	J _x cm ⁵	W _y cm ³	I _y cm ⁴
	110	84	10	14	14	5	31.1	24.5	570	103	4.28	4.28	24.0	1.8
120	100	89	11	15.5	15	6	37.8	29.5	815	138	4.56	4.56	32.0	2.0
140	140	110	12	19	17	8	53.0	41.5	1566	227	5.47	5.47	57.3	2.4